

П-1336

22

АКАДЕМИЯ НАУК СССР

ISSN 0502-823X

УСПЕХИ НАУЧНОЙ ФОТОГРАФИИ

XXII

ИЗДАТЕЛЬСТВО «НАУКА»

АКАДЕМИЯ НАУК СССР

НАУЧНЫЙ СОВЕТ ПО ПРОБЛЕМЕ
«ФОТОГРАФИЧЕСКИЕ ПРОЦЕССЫ РЕГИСТРАЦИИ ИНФОРМАЦИИ»
ОРДЕНА ЛЕНИНА ИНСТИТУТ ОБЩЕЙ И НЕОРГАНИЧЕСКОЙ ХИМИИ
им. Н. С. КУРНАКОВА

УСПЕХИ НАУЧНОЙ ФОТОГРАФИИ

Том XXII

ФИЗИКА И ХИМИЯ
ПОЛИМЕТИНОВЫХ КРАСИТЕЛЕЙ.
СПЕКТРАЛЬНАЯ СЕНСИБИЛИЗАЦИЯ

П-1336 П103433
22 Успехи научной фотографии.
T.22. M., 1984.
3-30к.

П103433



«ИЗДАТЕЛЬСТВО НАУКА»
МОСКВА 1984

УДК 547.712+771.534.21+77.021.133+621.373.826.038.824

Сборник составлен из обзорных статей ведущих специалистов в области синтеза и исследования фотографических свойств спектральных сенсибилизаторов, физической химии и квантовохимических исследований полиметиновых красителей, их использования в квантовой электронике, а также специалистов в области спектральной сенсибилизации бессеребряных регистрирующих сред.

Сборник рассчитан на специалистов в области тонкого органического синтеза, научной фотографии, лазерной техники.

Редакционная коллегия:

Члены-корреспонденты АН СССР М. В. АЛФИМОВ

и К. В. ЧИБИСОВ (ответственный редактор),

доктор химических наук М. А. АЛЬПЕРОВИЧ
(заместитель ответственного редактора),

кандидаты химических наук Е. И. ЛЕВКОЕВА
(ответственный секретарь),

Э. Б. ЛИФШИЦ, Н. Н. СВЕШНИКОВ, Б. И. ШАПИРО,
кандидат физико-математических наук Т. Д. СЛАВНОВА,

Е. Н. ПРИБЫЛОВА

ПРЕДИСЛОВИЕ

Сборник «Успехи научной фотографии. Физика и химия полиметиновых красителей. Спектральная сенсибилизация» посвящен памяти члена-корреспондента АН СССР И. И. Левкоева, крупного ученого в области синтеза и исследования органических соединений для фотографических средств регистрации информации.

Сборник включает статьи обзорного характера и сообщения об оригинальных исследованиях, авторами которых являются ученики и сотрудники И. И. Левкоева, а также представители разных научных школ, с которыми он плодотворно сотрудничал. Сборник в основном посвящен проблемам синтеза и исследования свойств полиметиновых красителей.

Полиметиновые красители находят все более широкое применение в различных областях науки и техники. Это связано с тем, что красители этого класса поглощают излучение в широком спектральном диапазоне — в УФ-, видимой и ИК-областях спектра — и обладают большим разнообразием химических и физических свойств. Наряду с традиционной областью их применения в качестве наиболее эффективных спектральных сенсибилизаторов галогенсеребряных фотографических материалов в последние годы они стали использоваться также для сенсибилизации бессеребряных светочувствительных слоев. Особенно следует отметить все более интенсивное их внедрение в квантовую электронику в качестве фототронных затворов, обеспечивающих получение гигантских и ультракоротких импульсов на рубиновых и неодимовых лазерах, и активных сред, генерирующих лазерное излучение в ближней ИК-области спектра.

Советскими учеными внесен значительный вклад в разработку методов синтеза полиметиновых красителей, в теорию цветности и в изучение химических превращений красителей и их физико-химических свойств. Для исследований процессов спектральной сенсибилизации галогенидов серебра характерен комплексный подход, заключающийся в установлении связи между строением красителей, их физико-химическими свойствами и сенсибилизирующими действием. Значительные результаты получены отечественными исследователями в области пассивной модуляции добротности оптических квантовых генераторов и разработки лазеров с плавной перестройкой частоты излучения на основе полиметиновых красителей.

Включенные в настоящий сборник обзорные статьи посвящены в основном систематизации исследований их авторов и поэтому не могут служить источником исчерпывающей информации по рассматриваемым вопросам. Приведенная в этих статьях оценка и интерпретация теоретических и экспериментальных исследований принадлежит их авторам и является в ряде случаев дискуссионной.

Сборник состоит из четырех разделов: первый — синтез и физико-химические свойства полиметиновых красителей, второй — спектральная сенсибилизация, третий — полиметиновые красители в лазерной технике и четвертый — фотополимеризующиеся материалы.

Первый раздел сборника включает серию статей, посвященных обзору методов синтеза полиметиновых красителей различного строения. Особое внимание при этом удалено синтезу красителей, поглощающих в ближней ИК-области спектра, так как именно они представляют наибольший интерес для создания перспективных инфракрасных фотоматериалов и для квантовой электроники. Отдельно рассмотрены результаты систематического изучения влияния атомов фтора и фторсодержащих заместителей в молекулах полиметиновых красителей на их окраску, основность и фотографические свойства. Далее идут статьи, посвященные квантовохимическому рассмотрению связи

1803000000-054
042(02)-84 316-84-I



© Издательство «Наука», 1984 г.

цветности полиметиновых красителей с их строением, изучению обратимых и необратимых химических превращений полиметиновых красителей в основном и электронно-возбужденном состояниях.

Второй раздел открывается статьей, посвященной анализу основных направлений исследования спектральной сенсибилизации фотографических эмульсий в прикладном аспекте, причем основное внимание уделено выявлению зависимости фотографического действия полиметиновых красителей от их строения, физико-химических параметров и условий применения. В этом же разделе рассмотрено влияние спектральных сенсибилизаторов на физические свойства микрокристаллов AgHal и особое внимание уделено нахождению взаимосвязи между химической и спектральной сенсибилизацией. Кроме того, отмечены особенности процессов сенсибилизированной красителями фотогенерации носителей тока в органических полупроводниках.

В третий раздел сборника включены впервые публикуемые обзоры отечественных работ по применению полиметиновых красителей в квантовой электронике.

И, наконец, в четвертом разделе рассматриваются фотографические свойства фотоструктурирующихся и фотополимеризующихся материалов.

Сборник дает представление о результатах работ по синтезу полиметиновых красителей, изучению их химических и физико-химических свойств, исследованию процессов спектральной сенсибилизации, по разработке фототронных и активных лазерных сред на основе полиметиновых красителей, выполненных в СССР в последние годы. Издание настоящего сборника должно стимулировать дальнейшее развитие несомненно важных и актуальных работ, связанных с синтезом, исследованием и применением полиметиновых красителей.

I. СИНТЕЗ И ФИЗИКО-ХИМИЧЕСКИЕ СВОЙСТВА ПОЛИМЕТИНОВЫХ КРАСИТЕЛЕЙ

А. Ф. Вомпе

УДК 547.712

СИНТЕЗ ПОЛИКАРБОЦИАНИНОВ И ИХ ПРЕВРАЩЕНИЯ

В начале тридцатых годов в Советском Союзе были предприняты исследования по синтезу поликарбоцианинов, в частности тиади- и тиатрикарбоцианинов, которые в настоящее время широко применяются для сенсибилизации галогенсеребряных эмульсий в ИК-области спектра.

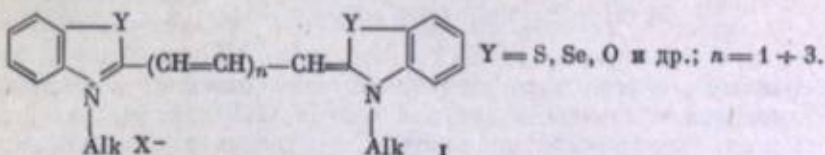
Впервые такие синтезы (хинодикарбоцианинов, хино(2,2'- и 4,4')-трикарбоцианинов, тиа- и селенатрикарбоцианинов и других производных) провели в 1933—1934 гг. под руководством М. Н. Щукиной и Н. А. Преображенского химики МВТУ (А. Ф. Вомпе, М. А. Дмитриев, И. Н. Лобанов, К. Л. Мертц, Н. Ф. Турицына, А. К. Шиллегодский) [1]. Эти исследования продолжил И. Л. Кнунианц [2].

А. И. Киприанов и его сотрудники в Харьковском институте прикладной химии и в Харьковском государственном университете (З. П. Сытник, Е. Д. Сыч), а затем в ИОХ АН УССР (В. М. Зубаровский, Ю. Л. Сломинский, А. И. Толмачев, В. И. Троицкая, И. К. Ушенко, С. Г. Фридман, Л. М. Ягупольский и др.) осуществили синтез большого числа тиакарбоцианинов и их винилевых гомологов, а также поликарбоцианинов с другими гетероостатками [1, 3, 4].

В 1935—1936 гг. работа по синтезу и исследованию фотографических свойств различных поликарбоцианинов была начата И. И. Левкоевым (НИКФИ) совместно с М. А. Атабековой, А. Я. Башкировой, В. В. Дурмашкиной, С. В. Натансон, Б. С. Портиой, Н. Н. Свешниковым, В. А. Смирновой и С. А. Хейфец [4].

Предлагаемый обзор охватывает работы, проведенные в НИКФИ, а затем в ГосНИИхимфотопроекте, по синтезу и изучению фотографических свойств, а также химических превращений поликарбоцианинов.

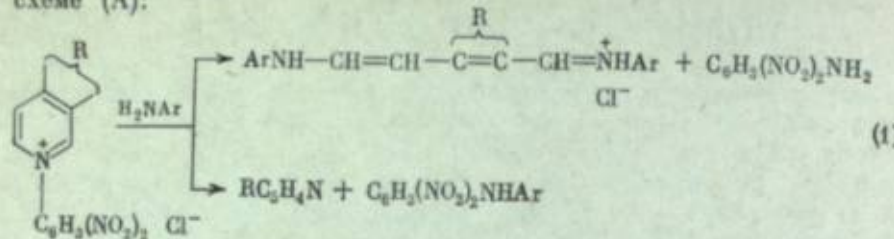
Исходным материалом для получения первых представителей ряда поликарбоцианинов (I) — дикарбоцианинов ($I: n = 2$) послужили соли дианилов и ацетали малоновых альдегидов [5—8], а для трикарбоцианинов ($I: n = 3$) — соли дианилов и дитетрагидрохинолидов глутаконовых альдегидов [9, 10].



Несмотря на большую давность исследований, посвященных размыканию пиридинового кольца, к началу упоминаемых работ почти совершенно не были известны соли дианилов замещенных глутаконовых альдегидов [9, 10]. В связи с этим нами было детально изучено расщепление замещенных пиридиновых оснований. Исследовались реакции разрыва кольцевых C—N-связей в хлординитрофенилатах и бромцианидах пиридиновых оснований под действием аминов. Наблюдалось, что введение в пиридиновое кольцо электронодонорных заместителей облегчает образование хлординитрофенилатов, в то время как электроноакцепторные заместители либо сильно затрудняют, либо вовсе прекращают этот процесс [11, 12].

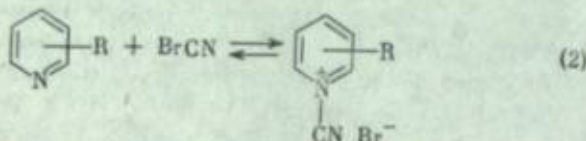
Далее было найдено, что реакции хлординитрофенилатов пиридиновых

оснований с ароматическими аминами могут протекать в двух направлениях по схеме (A):



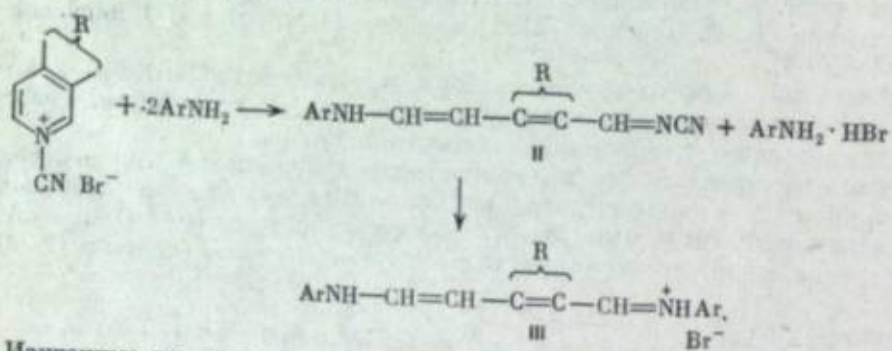
Течение этих реакций зависит как от характера заместителя и его положения в пиридиновом кольце, так и от температурных условий [11, 13].

В дальнейшем изучалось расщепление разнообразных α -, β - и γ -замещенных пиридинов, в частности аллоксипроизводных, под действием бромистого циана и аминов [14]. На эту реакцию, несомненно, оказывает влияние состояние равновесия (2), которое определяется электронной природой и положением заместителя в ядре:

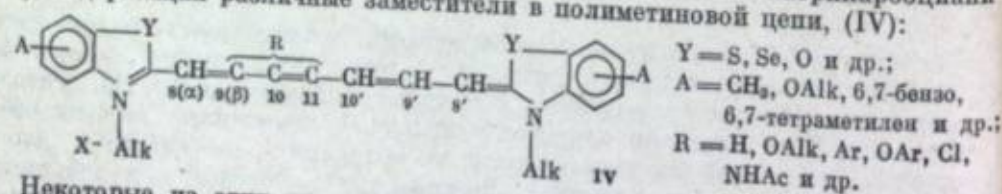


Показано, что скорость расщепления пиридиновых оснований под действием аминов связана также с основностью аминов. Чем выше относительная основность реагирующего амина, тем легче протекает реакция расщепления как самого пиридина, так и его производных [14].

Детально исследовался механизм разрыва кольцевых C—N-связей в пиридиновых основаниях. Показано, что промежуточными соединениями в этих превращениях являются цианиминовые производные (II), которые далее легко переходят в соли дитетрагидрохинолидов (дианилов) замещенных глутаконовых альдегидов (III) [15, 16]:



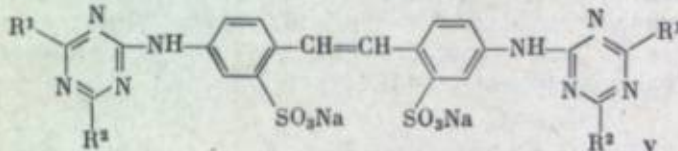
Изученные реакции сделали легко доступными соли дианилов (дитетрагидрохинолидов) замещенных глутаконовых альдегидов (III). Благодаря этому был открыт путь к синтезу трикарбоцианинов (в частности тиатрикарбоцианинов), содержащих различные заместители в полиметиновой цепи, (IV):



Некоторые из этих красителей, в частности 11-аллоксизамещенные [17], оказались весьма эффективными инфракрасовыми сенсибилизаторами и были использованы для разработки соответствующих материалов.

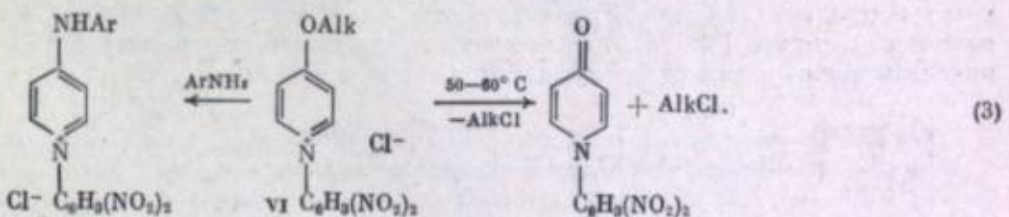
Интересно, что 9- и 11-ациламинозамещенные тиатрикарбоцианины [IV: Y = S, R = NHCOAlk(Ar)] обладают заметно меньшим вуалирующим дей-

ствием по сравнению с другими производными. Вместе с тем сенсибилизирующее действие этих красителей значительно увеличивается с ростом величины pBr эмульсии. Более детальное исследование фотографических свойств красителей IV показало, что их сенсибилизирующее действие зависит не только от природы заместителя (R), но и от его положения в цепи. В дальнейшем было показано, что сенсибилизирующее действие многих представителей этой группы красителей резко возрастает при введении их в галогенсеребряную эмульсию совместно с различными производными 4,4'-диаминостильбен-2,2'-дисульфокислоты (V).

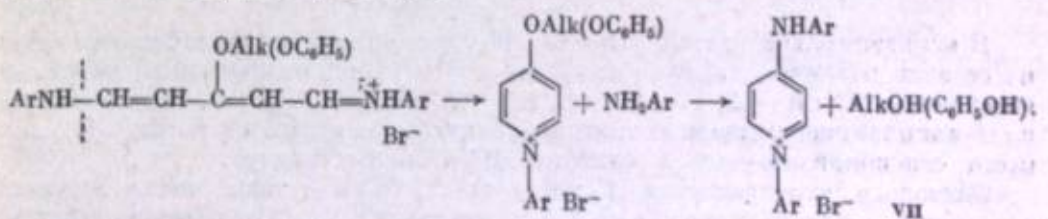


Так, 10- и 11-метилтиатрикарбоцианины, подобно их низшим виниленовым гомологам — 10-алкилтиатрикарбоцианинам [18, 19], значительно увеличивают свое сенсибилизирующее действие при введении их в галогенсеребряную эмульсию совместно с активаторами V [20—22]. Сильный эффект активации достигается и при совместном применении производных V и 11-аллокситиатрикарбоцианинов [22—24].

мео-Аллокситиатрикарбоцианины (IV: Y = S, R = 11-OAlk) по своим химическим свойствам представляли также исключительный интерес. Исходным материалом для синтеза таких красителей послужили соли дианилов *мео*-аллоксиглутаконовых альдегидов [14]. Попытка их получения из хлордinitрофенилатов γ -аллоксизамещенных пиридинов (VI) окончилась неудачей. При этом были обнаружены весьма интересные превращения соединений VI. Оказалось, что по своим химическим свойствам они чрезвычайно близки к оксониевым солям. Так, при нагревании соединений VI до 50—60°C происходит отщепление галогеналкила с образованием N-дinitрофенил- γ -пиридона [16, 25], а при взаимодействии соединений VI с ароматическими аминами аллоксигруппа обменивается на остаток ароматического амина (схема 3) [16, 25].

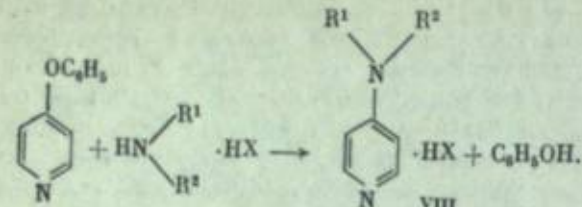


В дальнейшем было показано, что бромгидраты дианилов *мео*-аллоксигеноксизамещенных глутаконовых альдегидов отличаются исключительной неустойчивостью. Уже при комнатной температуре они самопроизвольно циклизуются с образованием бромарилатов γ -аллоксигеноксипиридинов, которые под действием отщепившихся ароматических аминов переходят в бромарилаты γ -ариламинопиридинов (VII) [26]:

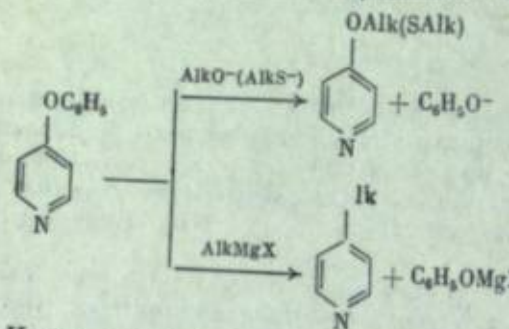


Изученные превращения навели нас на мысль о возможности обмена аллоксигеноксигруппы в простых солях γ -аллоксигеноксипиридинов на остатки аминов. При нагревании γ -геноксикиридина с хлористым аммонием, а также с солями алифатических и ароматических аминов с высокими выходами полу-

чины γ -аминопиридин и ряд γ -алкил- и γ -ариламинопиридинов (VIII) [26, 27]

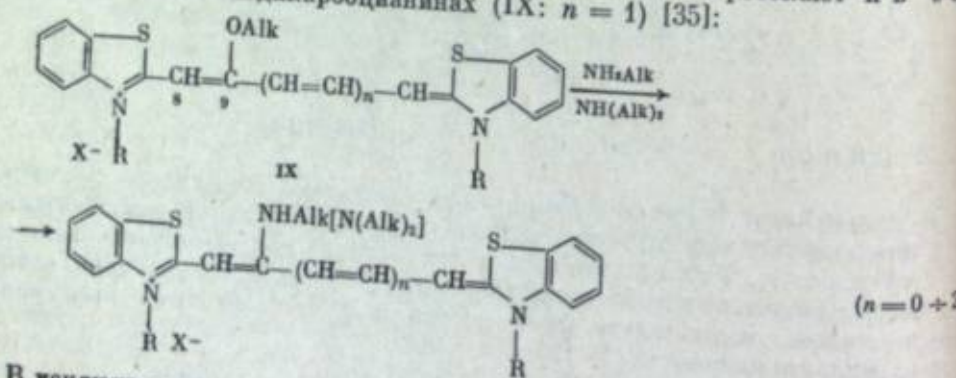


В дальнейшем было показано, что γ -феноксициридин легко реагирует с алкоголятами щелочных металлов, а также с щелочными меркаптидами и магнитными органическими соединениями. Таким способом был получен ряд γ -алкоксигруппированных γ -алкилмеркапто-, γ -алкил- и γ -циклоалкилипироридинов [28–32]:



Изученная реакция является общей при синтезе разнообразных γ -замещенных пиридиновых оснований. Все эти соединения (за исключением аминопроизводных) используются в качестве исходного материала для получения многочисленных тиатрикарбоницианинов (IV).

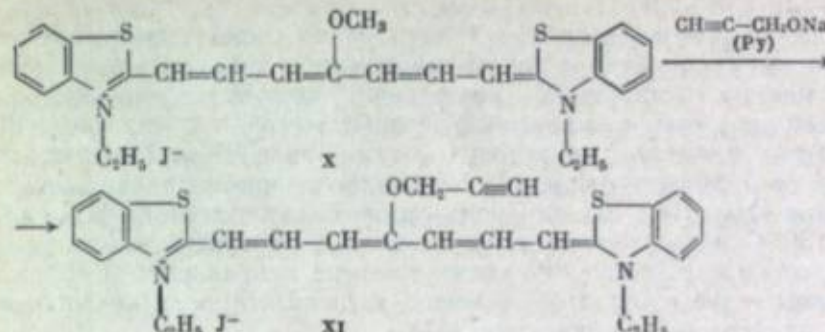
На основании изученных нами реакций обмена алкокси(фенокси)групп в пиридиниевых солях [25] и в пиридинах естественно предположить, что аналогичные превращения будут протекать и в цианиновых красителях, содержащих алкокси(фенокси)группы в активных положениях полиметиновой цепи. Как выяснилось, алкокси(алкилмеркапто)группы в 9-алкокси(алкилмеркапто)тиакарбоницианинах (IX; $n = 0$) обмениваются на остатки алифатических и ароматических аминов [33, 34]. Аналогичные превращения протекают и в 9-алкоксизамещенных тиадикарбоницианинах (IX; $n = 1$) [35]:



В исключительно мягких условиях реакции обмена алкокси(фенокси)групп на остатки различных аминов проходит в 9- и 11-алкокси(фенокси)тиатрикарбоницианинах (IX; $n = 2$; IV; Y = S, R = 11-OAlk(OC₆H₅)₂) [36, 37]. Некоторые из 11-алкоксизамещенных тиатрикарбоницианинов являются высокоеффективными сенсибилизаторами в ближней ИК-области спектра.

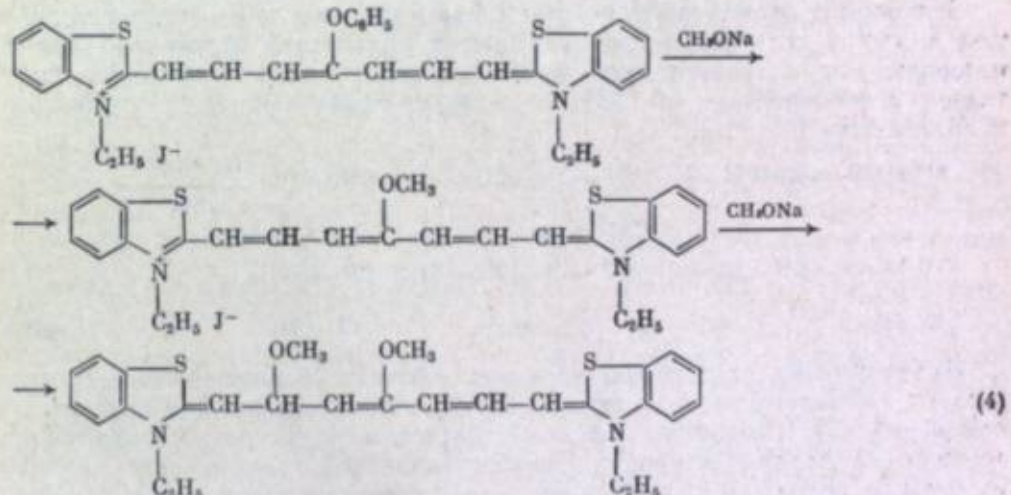
Оказалось, что красители [IV; R = OAlk, OC₆H₅]₂ также легко вступают в реакцию с алкоголятами щелочных металлов. Так, при взаимодействии 11-фенокситиатрикарбонициана (X), который, в свою очередь, легко реагирует с различными алкоголятами щелочных металлов с образованием соответствующих 11-алкоксипроизводных [38]. Например, этим способом удалось синте-

зировать 11-пропаргилокситиатрикарбонициан (XI).



Установлено наличие конформационного равновесия или равновесия поворотных изомеров в растворах этих красителей (IV; R = 11-OAlk) [17].

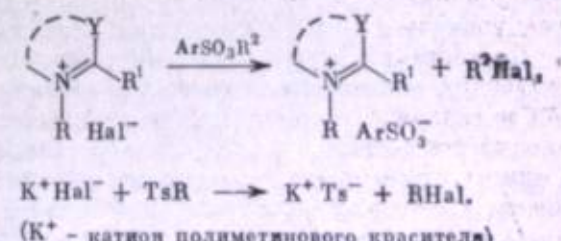
Более детальное исследование данной реакции показало, что наряду с обменом алкоксигруппы в цепи протекает побочный процесс образования эфиров псевдооснований, например, по схеме (4):



В дальнейшем было показано, что различные цианиновые красители при действии на них алкоголятов щелочных металлов превращаются в несолеобразные эфиры псевдооснований. Эта реакция носит общий характер. При действии кислот на эфиры псевдооснований цианиновых красителей легко образуются красители, содержащие анион соответствующей кислоты [39]. Таким образом, разработан весьма простой и удобный метод обмена анионов в полиметиновых красителях. Этот метод позволяет варьировать в широком интервале растворимость различных красителей, что очень важно при сенсибилизации разных сортов эмульсий (например, особомелкозернистых).

Растворы эфиров псевдооснований в апротонных растворителях, как правило, имеют две полосы поглощения, одна из которых отвечает красителю, а вторая смешена в коротковолновую область. В этих растворителях имеет место равновесие между ковалентной и ионизированной формами эфиров псевдооснований.

Исследовалась реакция четвертичных аммониевых солей и полиметиновых красителей (в частности, цианиновых), содержащих галоген-анионы, с алкиловыми эфирами арен- и алкансульфокислот. Показано, что с отщеплением галогеналкилов при этом происходит образование соответствующих

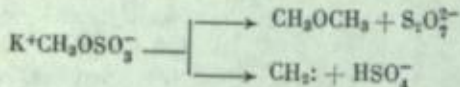


арен- или алкансульфонатов. Выходы последних в большинстве случаев близки к количественным [40—42].

Такой обмен анионов в четвертичных аммониевых солях и полиметиновых красителях нашел применение в кинофотопромышленности. Он дает также возможность изменять растворимость красителей в широком интервале.

Изучена реакция галогеналкилатов 2-метилбензтиазола и его 4,5- и 6,7-бензозамещенных с диметил- и диэтилсульфатами (при 80°C). Показано, что первой стадией этой реакции является обмен галоген-аниона на остаток метил-(этил)-серной кислоты. Найдено, что полученные N-алкилметил(этил)-сульфаты при 100—130°C подвергаются широлитическому распаду.

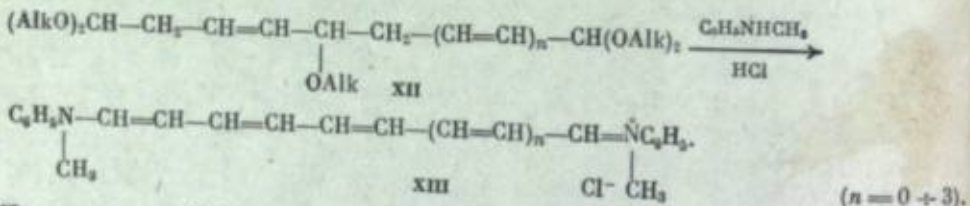
Исследованные превращения протекают по двум направлениям: образование четвертичных солей с бисульфат-анионом и солей с пиросульфат-анионом с выделением диметилового эфира (ср. [43]):



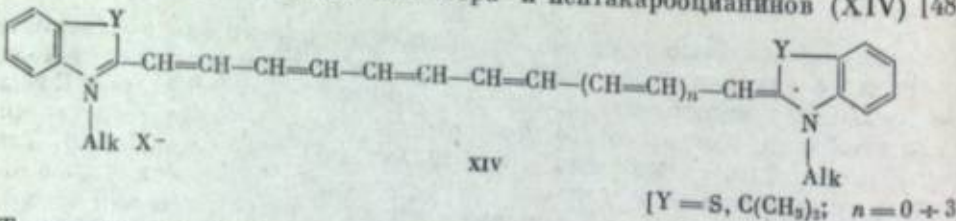
(K⁺ — катион четвертичной аммониевой соли).

Показано промежуточное образование карбена в этих реакциях [44].

В первой половине шестидесятых годов были начаты исследования по синтезу тиатетра- и тиапентакарбоцианиновых красителей. В качестве исходного материала для получения этих красителей использованы алcoxисацетали гептадиен- и ионатриендиалей (XII: n = 0, 1), синтезированные под руководством С. М. Макина [45, 46]:



Производные XII превращались при действии N-метиланилина (в кислой среде) в соответствующие соли ди(N-метил)анилов гептадиен- и ионатриендиалей (XIII) [47]. Как выяснилось далее, последние легко конденсируются с четвертичными солями гетероциклических оснований, содержащих активную метильную группу, с образованием тетра- и пентакарбоцианинов (XIV) [48]:



[Y = S, C(CH₃)₂; n = 0 + 3].

Таким же способом получены аналоги красителей XIV, содержащие одну или две метильные группы в полиметиновой цепи.

Следует отметить, что в СССР первый представитель группы тиатетракарбоцианинов был синтезирован еще в 1938 г. А. К. Шилегодским.

Взаимодействием алcoxисацеталей ундекатетраен- и тридекапентакендиалей с N-метиланилином получены соли ди(N-метил)анилов ундекатетраен- и тридекапентакендиалей (XIII; n = 2, 3) [47, 49]. Осуществлен синтез гекса- и гептакарбоцианинов (XIV; n = 2, 3) [50]. 3,3'-Диэтилтиапента- и -гексакарбоцианины с успехом использовались для сенсибилизации галогенсеребряных эмульсий.

До настоящего времени в химии цианиновых красителей в качестве конденсирующих агентов использовали неорганические основания, алкоголяты щелочных металлов, вторичные или третичные амины (пиперидин, триэтиламин и др.). Однако эти вещества в ряде случаев обладают недостаточной избирательностью и при их применении наблюдаются различные побочные превращения. Удалось показать, что растворы третичных бутилатов калия и лития могут быть с успехом использованы в качестве конденсирующих агентов при синтезе цианиновых

красителей [51]. Например, применение трет-бутилата калия в реакции подэтилата лепидина с хлоргидратом дианила глутаконового альдегида позволило значительно упростить синтез 1,1'-диэтилхино-4,4'-трикарбоцианиниодида (ксеноцианин) по сравнению с предложенными ранее методами [52] и одновременно повысить выход этого красителя с 32 до 85%.

При синтезе 3,3'-диэтил-6,7,6',7'-дibenzo-11-метилтиатрикарбоцианиниодида использование третичного бутилата лития вместо триэтиламина позволило повысить выход красителя с 30—36 до 70%. Кроме того, применение этих конденсирующих агентов открыло путь к синтезу ранее малодоступных цианиновых красителей.

ЛИТЕРАТУРА

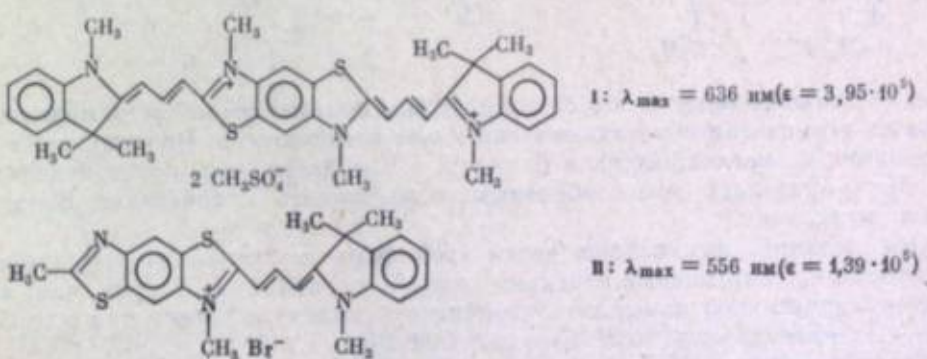
- Чубисов К. В.— В ин.: Козлов П. В. Технология фотокинопленки. М.: Искусство, 1937, т. 2, с. 127.
- Киунянц И. Л., Шилегодский А. К.— Журн. общ. химии, 1948, т. 18, с. 184—189.
- Киприанов А. И. Цвет и строение цианиновых красителей: Избр. тр. Киев: Наук. думка, 1979. 666 с.
- Левкоев И. И.— Успехи науч. фотографии, 1970, т. 15, с. 99—151; 1976, т. 17, с. 5—23.
- Hartley C.— Chem. Ber., 1903, Bd. 36, S. 3658.
- Протопопова Т. В., Сколдинов А. П.— Журн. общ. химии, 1957, т. 27, с. 57—60.
- Яновская Л. А., Кучеров В. Ф.— Изв. АН СССР. Сер. хим., 1960, с. 2184—2192.
- Ogata T.— Proc. Imp. Acad., Tokyo, 1932, vol. 8, p. 421.
- Zincke Th.— Lieb. Ann., 1904, Bd. 330, S. 361; Bd. 333, S. 296.
- König W.— J. prakt. Chem., 1904, Bd. 69, S. 105; 1904, Bd. 70, S. 19.
- Вомпе А. Ф., Турцина Н. Ф.— Докл. АН СССР, 1949, т. 64, с. 341—344.
- Вомпе А. Ф., Турцина Н. Ф.— Журн. общ. химии, 1957, т. 27, с. 3282—3290.
- Вомпе А. Ф., Турцина Н. Ф.— Журн. общ. химии, 1958, т. 28, с. 2864—2873.
- Вомпе А. Ф., Левкоев И. И., Турцина Н. Ф. и др.— Журн. общ. химии, 1964, т. 34, с. 1758—1771.
- Вомпе А. Ф., Турцина Н. Ф.— Докл. АН СССР, 1957, т. 114, с. 1017—1020.
- Вомпе А. Ф. О расщеплении пиридиновых оснований: Дис... д-ра хим. наук. М.: Ин-т орган. химии АН СССР, 1952. Машинопись.
- Вомпе А. Ф., Левкоев И. И., Дурмашкина В. Б. и др.— Журн. орган. химии, 1980, т. 16, с. 1767—1771.
- А. с. 154474 (СССР). Способ сенсибилизации галогенидсеребряных фотографических эмульсий/Вомпе А. Ф., Курепина Г. Ф., Левкоев И. И. и др. Заявл. 03.02.62, № 763224/23—4; Опубл. в Б. И., 1963, № 9; МКИ G 03c.
- А. с. 272813 (СССР). Способ сенсибилизации галогенидсеребряных фотографических эмульсий/Вомпе А. Ф., Натаансон С. В., Иорданский А. Н. и др. Заявл. 15.01.68, № 1211254/23—4; Опубл. в Б. И., 1970, № 19; МКИ G 03c, 1/28.
- А. с. 163071 (СССР). Способ сенсибилизации галогенидсеребряных фотографических эмульсий/Вомпе А. Ф., Курепина Г. Ф., Борин А. В. и др. Заявл. 03.11.62, № 763213/23—4; Опубл. в Б. И., 1964, № 1; МКИ G 03c.
- А. с. 272049 (СССР). Способ сенсибилизации галогенидсеребряных фотографических эмульсий/Вомпе А. Ф., Иванова Л. В., Курепина Г. Ф. и др. Заявл. 24.04.68, № 1235035/23—4; Опубл. в Б. И., 1970, № 18; МКИ G 03c, 1/28.
- А. с. 164526 (СССР). Способ сенсибилизации галогенидсеребряных эмульсий/Вомпе А. Ф., Курепина Г. Ф., Александров И. В. и др. Заявл. 28.04.63, № 833602/23—4; Опубл. в Б. И., 1964, № 15; МКИ G 03c.
- А. с. 168596 (СССР). Способ сенсибилизации галогенидсеребряных эмульсий/Вомпе А. Ф., Курепина Г. Ф., Левкоев И. И. и др. Заявл. 28.04.63, № 833601/23—4; Опубл. в Б. И., 1965, № 4; МКИ G 03c.
- А. с. 247784 (СССР). Способ сенсибилизации галогенидсеребряных фотографических эмульсий/Вомпе А. Ф., Натаансон С. В., Иорданский А. Н. и др. Заявл. 13.11.67, № 1196656/23—4; Опубл. в Б. И., 1969, № 22; МКИ G 03c.
- Вомпе А. Ф., Турцина Н. Ф., Левкоев И. И.— Докл. АН СССР, 1949, т. 65, с. 839—842.
- Вомпе А. Ф., Монич Н. В., Турцина Н. Ф., Иванова Л. В.— Докл. АН СССР, 1957, т. 114, с. 1235—1238.
- Вомпе А. Ф., Монич Н. В., Турцина Н. Ф., Иванова Л. В.— Журн. орган. химии, 1971, т. 7, с. 2590.
- Вомпе А. Ф., Монич Н. В.— Докл. АН СССР, 1966, т. 170, с. 89.
- А. с. 126884 (СССР). Способ получения γ-аллоксилипиридинов/Вомпе А. Ф., Монич Н. В. Заявл. 09.07.59, № 633271/23; Опубл. в Б. И., 1960, № 6; МКИ C 07e.
- А. с. 136377 (СССР). Способ получения γ-алкилипиридинов/Вомпе А. Ф., Монич Н. В. Заявл. 30.07.60, № 675031/23; Опубл. в Б. И., 1961, № 5; МКИ C 07e.
- А. с. 154280 (СССР). Способ получения γ-алкилмеркаптоипиридинов/Вомпе А. Ф., Монич Н. В. Заявл. 15.06.62, № 782837/23; Опубл. в Б. И., 1963, № 9; МКИ C 07c.
- Вомпе А. Ф., Монич Н. В., Мехи Л. М.— Журн. орган. химии, 1974, т. 10, с. 1296.
- Свешников Н. Н., Левкоев И. И., Порт-

- ках Б. С., Лифшиц Э. Б.—Докл. АН СССР, 1952, т. 84, с. 733—736.
34. Свешников Н. И., Левкоев И. И., Вомпе А. Ф., Портная Б. С.—Докл. АН СССР, 1953, т. 88, с. 281—284.
35. А. с. 94257 (СССР). Способ получения тиадикарбоцианиновых красителей с аминогруппой в β-положении полиметиновой цепи/Свешников Н. И., Левкоев И. И., Вомпе А. Ф. Заявл. 31.01.52, № 1496/444856; Опубл. в Б. И., 1952, № 9; МКИ С 09b, 23/00.
36. Вомпе А. Ф., Монич Н. В., Турицмана Н. Ф., Иванова Л. В.—В кн.: Химия, технология и применение производных пиридина и хинолина. Рига: Изд-во АН Латвийской ССР, 1960, с. 193.
37. Спасокукоцкий Н. С., Вомпе А. Ф., Левкоев И. И., Свешников Н. И.—Журн. орган. химии, 1980, т. 16, с. 2427—2434.
38. А. с. 293023 (СССР). Способ получения трикарбоцианиновых красителей/Вомпе А. Ф., Иванова Л. В., Заявл. 20.06.69, № 1339683/23—4; Опубл. в Б. И., 1971, № 5; МКИ С 09b, 23/08; Журн. орган. химии, 1982, т. 18, с. 1089—1094.
39. А. с. 687093 (СССР). Способ обмена анионов в полиметиновых красителях/Вомпе А. Ф., Иванова Л. В., Месхи Л. М. и др. Заявл. 01.03.77, № 2458133/23—05; Опубл. в Б. И., 1979, № 35; МКИ С 09b, 23/00.
40. А. с. 429057 (СССР). Способ получения четвертичных аммониевых солей алифатических или гетероциклических оснований/Вомпе А. Ф., Иванова Л. В., Месхи Л. М. и др. Заявл. 24.05.72, № 1788122/23—4; Опубл. в Б. И., 1974, № 19; МКИ С 07d, 31/22.
41. А. с. 449085 (СССР). Способ получения полиметиновых красителей, содержащих в качестве аниона остатки арен- или алкансульфонилоты/Вомпе А. Ф., Иванова Л. В., Месхи Л. М. и др. Заявл. 16.02.73, № 1883716/23—4; Опубл. в Б. И., 1974, № 41; МКИ С 09b, 23/00.
42. Вомпе А. Ф., Иванова Л. В., Месхи Л. М. и др.—Журн. орган. химии, 1976, т. 12, с. 1355.
43. Сьютер Ч. Химия органических соединений серы/Пер. с англ. под ред. Н. Г. Мельникова. М.: Изд-во иностран. лит., 1950, т. 1, с. 25—26.
44. Вомпе А. Ф., Месхи Л. М.—Журн. орган. химии, 1981, т. 17, с. 1735—1738.
45. Макин С. М. Синтез поливеновых соединений на основе простых виниловых и диеновых эфиров: Дис. ... д-ра хим. наук. М.: МИТХТ им. М. В. Ломоносова, 1966.
46. Яновская Л. А., Юфит С. С., Курлов В. Ф. Химия ацеталей. М.: Наука, 1975. 275 с.
47. Макин С. М., Монич Н. В., Шварцман О. А.—и др. Успехи науч. фотографии, 1976, т. 17, с. 167.
48. А. с. 303339 (СССР). Способ получения симметричных незамещенных в цепи пентакарбоцианиновых красителей/Монич Н. В., Формина Л. В., Левкоев И. И., и др. Заявл. 26.01.70, № 139805/23—4; Опубл. в Б. И., 1971, № 5; МКИ С 09b, 23/08.
49. А. с. 415258 (СССР). Способ получения тридекаметиновых солей/Макин С. М., Вомпе А. Ф., Монич Н. В., Бережанский М. И. Заявл. 03.03.72, № 1756105/23—4; Опубл. в Б. И., 1974, № 6; МКИ С 07d, 87/30.
50. А. с. 503408 (СССР). Способ получения симметричных незамещенных в цепи гекса- или гентакарбоцианиновых красителей/Монич Н. В., Вомпе А. Ф., Макин С. М., Левкоев И. И. Заявл. 16.02.73, № 1884342/23—4; Опубл. в Б. И., 1977, № 23; МКИ С 09b, 23/08.
51. А. с. 516265 (СССР). Способ получения полиметиновых красителей/Вомпе А. Ф., Иванова Л. В., Месхи Л. М. и др. Заявл. 19.07.74, № 2046528/05; Опубл. в Б. И., 1976, № 43; МКИ С 09b, 23/00.
52. Hamer F. M.—In: The cyanine dyes and related compounds. N. Y.: Interscience publ., 1964, p. 253.

водонорных заместителей в четные положения полиметиновой цепи красителя или электроноакцепторных — в ее нечетные положения, считая первым атом углерода, соседний с гетероатомом (правило Фэрстера—Дьюара—Нотта [1]), а также ауксохромных групп в гетеростатки [3].

Введение заместителей в соответствующие положения молекул полиметиновых красителей в ряде случаев используется для смещения поглощения последних в нужную часть спектра. Однако достигаемый при этом эффект, как правило, не превышает нескольких десятков нанометров. Наконец, в синтезе красителей, обладающих интенсивным поглощением в длинноволновой области, может быть использовано открытое в 1965 г. А. И. Киприановым и И. Л. Мушкало явление взаимодействия хромофоров, находящихся в одной молекуле. Согласно теории этого явления, разработанной А. И. Киприановым и Г. Г. Дядюшой, при наличии в молекуле красителя двух хромофоров последние взаимодействуют между собой, давая начало двум новым полосам, из которых одна смещена в сторону больших, а другая — в сторону меньших длин волн по сравнению с поглощением «материнских» красителей. Существенно, что интенсивность обеих полос зависит от геометрического расположения хромофоров друг по отношению к другу, причем, если угол между хромофорами равен 180° , вся интенсивность должна сосредоточиваться на длинноволновой полосе [1].

За счет этого эффекта бискрасители, построенные на основе центросимметричных конденсированных двухосновных гетероциклов, должны поглощать при более длинных волнах и с большей интенсивностью, чем соответствующие монокрасители. Например, полоса поглощения этанольного раствора бискарбоцианина I, синтезированного на основе двучетвертичной соли 2,6-диметилбензо[1,2-d:4,5-d]бистиазола, расположена на 80 нм в более длинноволновой области и значительно более интенсивна, чем у раствора карбоцианина II, полученного на основе моночетвертичной соли того же гетероцикла [4].



УДК 567.789.812.818.541.651.068.82
А. И. Толмачев, Ю. Л. Сломинский, М. А. Кудинова

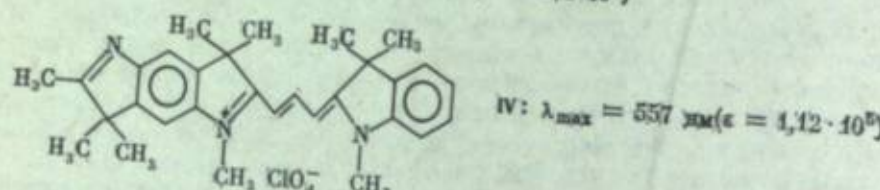
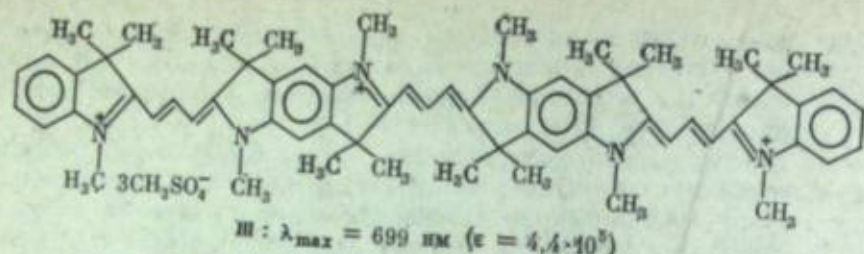
СИНТЕЗ ПОЛИМЕТИНОВЫХ КРАСИТЕЛЕЙ, ПОГЛОЩАЮЩИХ В БЛИЖНЕЙ ИК-ОБЛАСТИ СПЕКТРА

В последнее время в кинофотопромушенности и квантовой электронике возник ряд задач, для решения которых требуются полиметиновые красители, поглощающие в ближней ИК-области спектра и обладающие специфическими комплексом свойств, в том числе высокой интенсивностью и селективностью поглощения.

Углубление окраски полиметиновых красителей может быть вызвано рядом факторов. Известно, что такой эффект дает введение в молекулы симметричных полиметиновых красителей групп, нарушающих планарное расположение и хромофорной системы, однако интенсивность и избирательность поглощения при этом снижаются [1], а сами красители теряют устойчивость и сенсибилизирующие свойства [2]. Углубление окраски можно достичь введением электро-

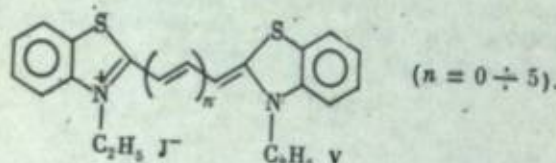
Еще большего эффекта можно достичь, синтезируя полиметиновые красители, содержащие в одной молекуле три хромофора, расположенных в одну линию. Например, полоса поглощения нитрометанового раствора трискарбоцианина III [5], синтезированного на основе двучетвертичной соли центросимметричного метилзамещенного бензодицирроленина, расположена на 142 нм в более длинноволновой области и почти в 4 раза более интенсивна, чем у раствора карбоцианина IV [6], полученного на основе моночетвертичной соли того же основания.

Отметим, что трисцианин III, благодаря высокой интенсивности и селективности его полосы поглощения, а также близости ее максимума с длиной волны излучения оптического квантового генератора на рубине, оказался превосходным модулятором излучения этого лазера [7]. Однако синтез бис- и в особенностях трисцианинов представляет собой сложную задачу. Кроме того, усложнение молекулы красителя сопровождается, как правило, снижением растворимости. Поэтому явление взаимодействия хромофоров в одной молекуле не может найти широкого распространения при синтезе полиметиновых красителей, поглощающих в ИК-диапазоне.



При получении глубокоокрашенных красителей широко пользуются давно известной закономерностью, что удлинение внешней полиметиновой цепи на одну виниленовую группу ($-\text{CH}=\text{CH}-$) в ряду симметричных полиметиновых красителей приводит к смещению максимума поглощения в длинноволновую часть спектра на 90–100 нм [3]. Однако одного этого подхода далеко не достаточно.

Действительно, как показано на примере серии симметричных тиацианинов строения V, при переходе от трикарбониана к тетра- и особенно к пентакарбониану коэффициент экстинкции резко снижается и кривые поглощения уширяются [8].



Следует также подчеркнуть, что с ростом длины полиметиновой цепи красители становятся термически и фотохимически менее устойчивыми. Поэтому при синтезе красителей, поглощающих в ближней ИК-области, удлинение полиметиновой цепи оказалось целесообразным использовать в сочетании с двумя другими подходами.

1. Осуществлять циклизацию части хромофора «мостиковыми» группировками, жестко фиксирующими отдельные звенья полиметиновой цепи, что, как оказалось, значительно повышает устойчивость молекулы красителя и, кроме того, может вызвать ощутимый батохромный эффект.

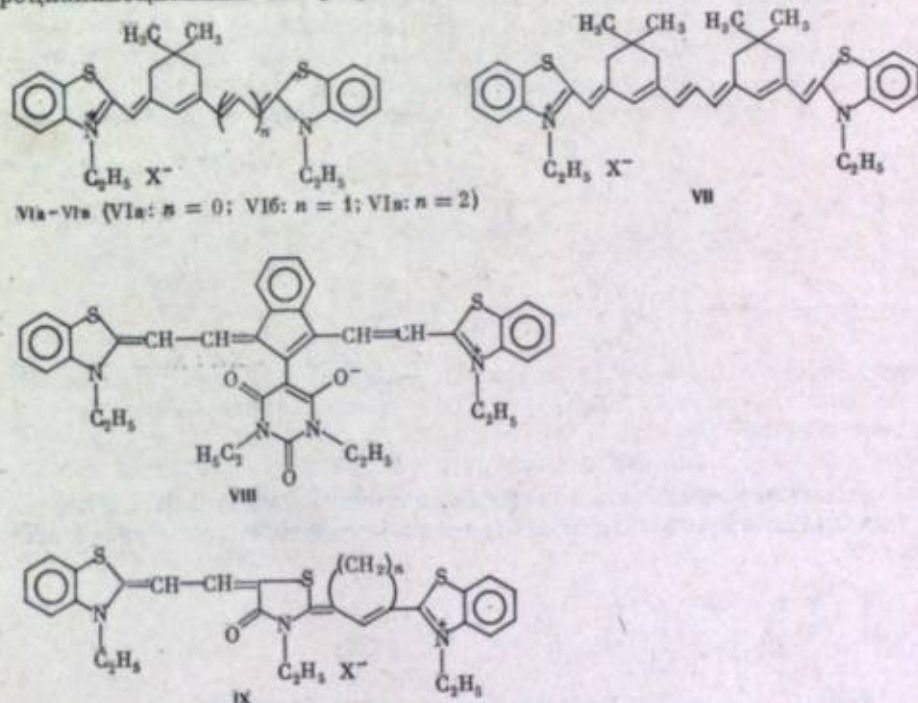
2. Строить полиметиновые красители из гетероциклов, эффективная длина которых по возможности максимальна, а электронодонорность (Φ_0) приближается к среднему значению [9]. Эффективная длина определяет батохромное смещение полосы поглощения под влиянием гетероциклических остатков. При этом можно записать формулу для теоретического вычисления максимума поглощения: $\lambda_{\max} = V(n+1) \text{ нм}$, где V — виниленовый сдвиг. Величина L показывает, из скольких звеньев $=\text{CH}=\text{CH}=$ должна состоять простая полиметиновая цепь, чтобы ее максимум поглощения лежал в той же области, что и у красителя с данными ядрами. Величина Φ_0 , которую удобно выражать в градусах ($0 < \Phi_0 < 90^\circ$), характеризует расположение граничных π -электронных уровней в красителе относительно энергии несвязывающего π -электронного уровня атома углерода полиметиновой цепи.

С ростом внешней полиметиновой цепи снижается не только стабильность красителей, но и их сенсибилизирующее действие [3]. Поэтому гетероциклы, обладающие большой эффективной длиной, следует по возможности шире использовать при целенаправленном синтезе не только полиметиновых красителей для нужд квантовой электроники, но и спектральных сенсибилизаторов инфракрасных материалов. При синтезе полиметиновых красителей для нужд квантовой электроники несомненно наиболее перспективны гетероциклы со средним зна-

чением $\Phi_0 \simeq 45^\circ$. Учитывая, что эффект спектральной сенсибилизации зависит от расположения граничных электронных уровней красителя относительно дна зоны проводимости полупроводника, для спектральной сенсибилизации следует синтезировать красители повышенной основности [2] с гетероостатками, электронодонорность которых выше средней.

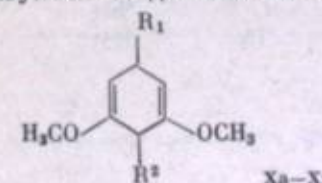
Остановимся далее на методах циклизации внешней цепи полиметиновых красителей мостиковыми группировками. Этот подход следует признать наиболее общим для повышения стабильности полиметиновых красителей, поглощающих в ИК-области, при их целенаправленном синтезе.

До наших работ методы синтеза поглощающих в ИК-области полиметиновых красителей с мостиковыми группировками в хромофоре систематически не разрабатывались. Из известных ранее соединений прежде всего следует отметить красители типа VI и VII, синтезированные на основе 5-замещенных 1,3-циклогександиона и 3-метилциклогексен-2-она [10]. Описаны также некоторые красители иных типов, например голополярные красители строения VIII [11] и мероцианиоцанины IX [12].

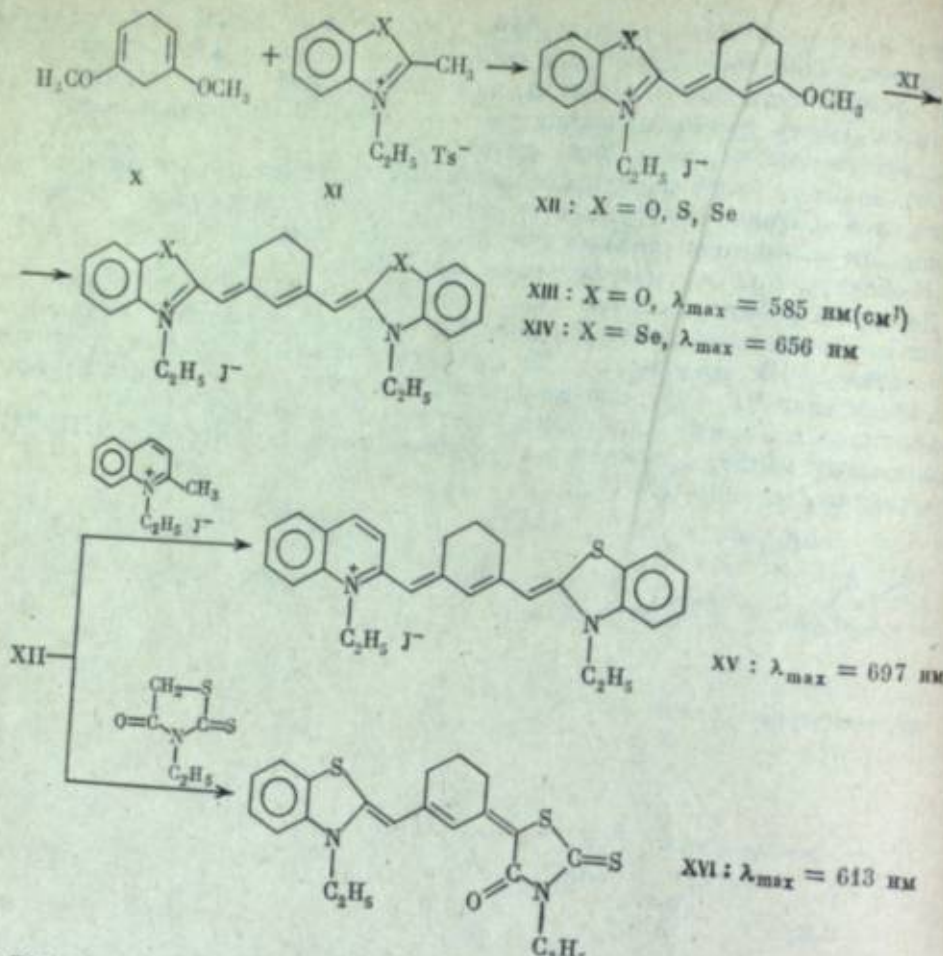


Нами осуществлена реакция между 2,6-диметокси-1,4-дигидробензолом (X), и четвертичными солями α -метилзамещенных азотистых гетероциклов (XI), представляющая собой общий метод синтеза дикарбоцианинов с trimetilenовой мостиковой группой между β, β' -углеродными атомами внешней полиметиновой цепи. В этой реакции вначале образуются продукты моноконденсации типа XII [13], которые могут быть введены во взаимодействие либо со вторым молем той же или другой четвертичной соли, либо с циклическими кетометиленовыми основаниями. При этом образуются соответственно симметричные, например XIII, XIV [14], и несимметричные дикарбоцианины XV или замещенные тетраметинмероцианины XVI [15].

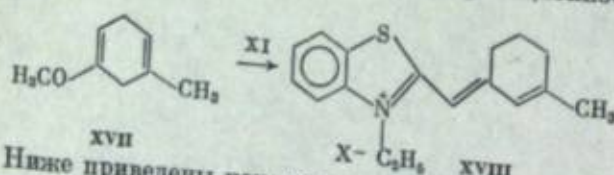
Аналогично 2,6-диметокси-1,4-дигидробензолу реагируют и его замещенные, например Xa–Xж, а также 1,4-дигидробензолы, содержащие только одну метоксигруппу, например XVII. В последнем случае в результате реакции образуются соединения типа XVIII, которые могут



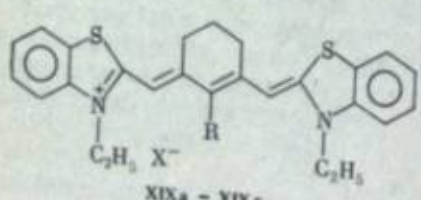
Xa: $R^1 = \text{CONH}_2$; Xd: $R^2 = \text{C}_2\text{H}_5$;
Xb: $R^1 = \text{CH}_3$; Xe: $R^2 = n\text{-C}_3\text{H}_7$;
Xc: $R^2 = \text{CONH}_2$; Xж: $R^1 = R^2 = \text{CH}_3$;
Xg: $R^2 = \text{CH}_3$;



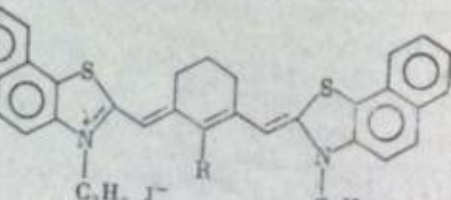
быть использованы для синтеза поликарбоксианинов, однако 2-метокси-6-метилизводные X.



Ниже приведены некоторые из тиадикарбоксианинов, синтезированные опи-
саным методом:



a	H	645 (650)
b	CH_3	649 (648)
c	C_2H_5	652
d	$CONH_2$	612

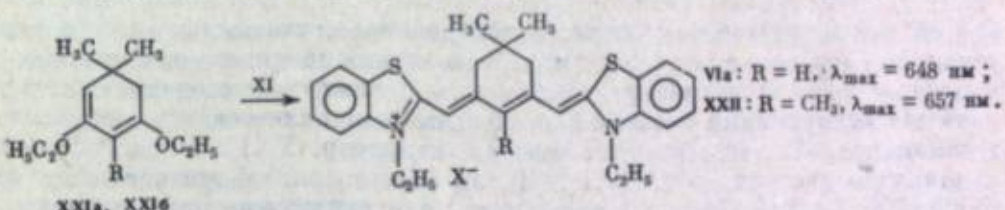


a	H	672 (687)
b	CH_3	676 (684)

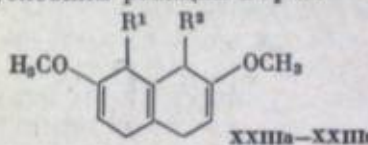
Примечание. В скобках приведены значения λ_{\max} аналога, не содержащего мостиковой группы.
* Здесь и далее λ_{\max} приведены для растворов в метаноле.

Из приведенных значений максимумов поглощения красителей видно, что введение в β,β' -положения полиметиновой цепи тиадикарбоксианинов три-метиленовой группировки сопровождается небольшим гипсохромным эффектом. Такое влияние должны оказывать, согласно правилу Фёрстера—Дьюара—Нотта [1], находящиеся в этих положениях слабые электронодонорные заместители. С этим правилом согласуется также гипсохромный эффект $CONH_2$ -группы и слабый батохромный эффект CH_3 -группы в *мезо*-положении полученных красителей. Последний факт заслуживает особого внимания, так как в дикарбоксианинах с открытой полиметиновой цепью введение в *мезо*-положение метильной группы оказывает обратный эффект, не подчиняющийся указанному правилу [14].

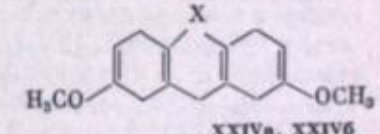
Диметокси-1,3-циклогексадиен (XXI) также реагирует с CH-кислотами, причем в более мягких условиях, чем 1,4-дигидробензолы X [16]. Последнее легко объяснимо, если учесть, что реакция с соединением X начинается, очевидно, с присоединения протона к β -углеродному атому одной из систем винилового эфира, содержащихся в молекуле, а в соединении XXI атом углерода в положении 4 более нуклеофильен, так как сопряжен с двумя алcoxильными группами. Этот способ интересен еще и тем, что позволяет синтезировать дикарбоксианины с 2,2-дизамещенным триметиленовым мостиком, например XXII, которые представляют интерес как спектральные сенсибилизаторы [17]:



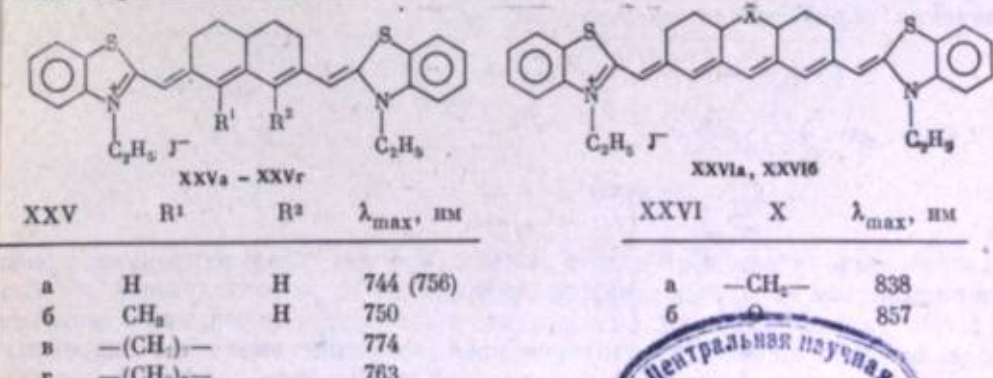
Приведенная выше реакция метоксизамещенных 1,4-дигидроароматических систем носит весьма общий характер. Существенно, что аналогично соединению X реагируют и имеющие с ним сходную структуру конденсированные соединения, например производные тетрагидрофталлина [18] и аценафтиена, гексагидрофеналена, антрацена [19] и ксантина [19] строения XXIII, XXIV, полученные, как и X, восстановлением соответствующих ароматических систем в условиях реакции Берча.



[XXIIIA: $R^1 = R^2 = H$; XXIIIB: $R^1 = H$, $R^2 = CH_3$;
XXIIIC: $R^1 = R^2 = (CH_2)_2$; XXIIID: $R^1 = R^2 = (CH_2)_3$].



Таким образом, этот метод позволяет синтезировать три- и тетракарбоксианины своеобразного строения, например XXV, XXVI, значительная часть внешней полиметиновой цепи которых жестко фиксирована в *транс*-форме несколькими конденсированными циклами.



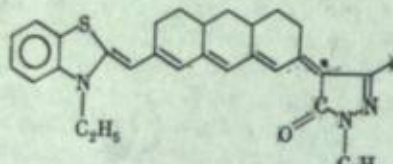
Примечание. В скобках приведено значение λ_{\max} аналога, не содержащего мостиковой группы.



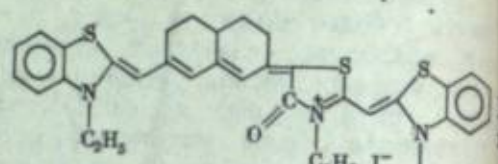
Окраска таких красителей, как и приведенных выше дикарбоцианинов, может быть объяснена правилом Фёрстера—Дьюара—Нотта. Причина различия в поглощении красителей с этиленовым и триметиленовыми мостиками XXV—XXVII будет рассмотрена ниже.

На основе полупродуктов XXIII, XXIV, как и дигидробензолов X, могут быть синтезированы полиметиновые красители и других типов: гексаметиоктаметиномероцианины (например, XXVII), а также мероцианиноцианины (например, XXVIII).

Нами впервые предложен также общий путь получения трикарбоцианинов, содержащих в полиметиновой цепи симметрично расположенную мостиковую группировку, т. е. отделенную от гетеростатков двумя метиновыми звеньями.

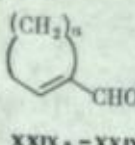


XXVII: $\lambda_{\max} = 795$ нм

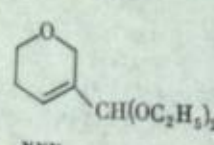


XXVIII: $\lambda_{\max} = 786$ нм

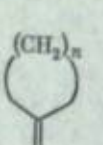
С этой целью разработан синтез солей дианилов, замещенных мостиковыми группами глутаконовых диальдегидов, основанный на применении реакции форагидрохинолина, очевидно, из-за милирования по Вильсмайеру к различным циклическим соединениям. В устрических помех значительно замянную реакцию нами введены непредельные алициклические, а также гетероные устойчивы, так что их выделенные альдегиды или их ацетали (например, XXIX и XXX [20–22]), а также алициклические кетоны (XXXI [23]), их ацетали или эфиры енольных форм (XXXII и XXXIII [24]), а также алкил- или арилзамещенные циклоалкеновые кетоны (типа XXXV [22]).



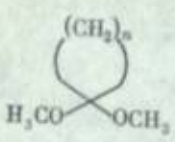
XXIXa – XXIXb



XXX

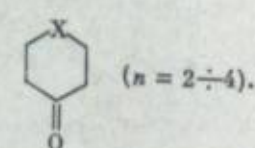


XXXIa – XXXIb



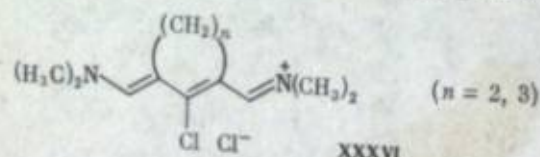
XXXIIa – XXXIIb

XXXIIIa – XXXIIIb: R = OCH₃,
XXXIVa – XXXIVb: R = Alk, Ar



XXXV: X = O, S, NCH₃

Для аминоформилирования использовали комплекс ДМФ с POCl_3 , однако в отличие от работы [26], где в аналогичных условиях описано получение алициклических кетонов солей строения XXXVI, образующиеся продукты без выделения обрабатывали последовательно



(n = 2, 3)

раствором щелочи и солянокислого анилина или аминоформилирование проводили комплексом метил(или этил)форманилида с POCl_3 с последующей обработкой солянокислым анилином. Отметим, что при проведении реакции с кетонами, в ходе которой происходит одновременное замещение енольного гидроксила атомом хлора, при добавлении к реакционной смеси вместо солянокислого ани-

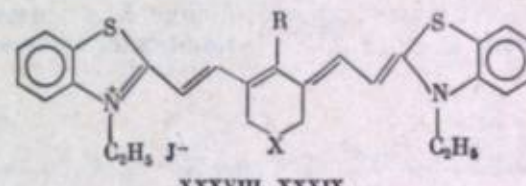
иона свободного основания образуются мезо- NHC_6H_5 -замещенные соединения [23]. Указанным методом синтезировано большое число разнообразных производных глутаконового альдегида строения

XXXVII R X | XXXVII R X | XXXVII R X | XXXVII R X

a	H	—	d	Cl	—	i	Cl	O	n	CH ₃	—
b	H	CH ₂	e	Cl	CH ₂	k	Cl	S	o	C ₆ H ₅	—
v	H	(CH ₂) ₂	j	Cl	CHCH ₃	l	Cl	NCH ₃	p	OCH ₃	CH ₂
g	H	CH ₂ OCH ₃	z	Cl	(CH ₂) ₂	m	NHC ₆ H ₅	—	r	CH ₃	CH ₂
									s	C ₆ H ₅	CH ₂

XXXVII, содержащих мостиковые группировки, а также заместители в мезо-положении.

При использовании в рассматриваемой реакции вместо алициклических непредельных альдегидов их ацеталей или ацеталей соответствующих β -алкоксизамещенных алициклических альдегидов выходы продуктов аминоформилирования заметно повышаются [27]. Отметим также, что аналоги соединений XXXVII,



XXXVIII, XXXIX

тиатрикарбоцианинов строения XXXVIII и XXXIX [21, 22, 28], полученных на основе полупродуктов XXXVIIa—XXXVIIc.

Из сопоставления значений максимумов поглощения красителей XXXVIII и XXXIX с максимумом поглощения незамещенного тиатрикарбоцианина (756 нм) видно, что замыкание γ, γ' -положений полиметиновой цепи трикарбоцианинов полиметиленовой группировкой приводит к углублению окраски, атом хлора в мезо-положении вызывает дальнейшее увеличение этого эффекта. Это согласуется с приведенным выше правилом [1], если рассматривать мостиковую группу как два слабых электронодонорных заместителя и учитывать сильный электроотрицательный эффект атома хлора. Замена центральной CH_2 -группы шестичленного цикла в красителе XXXIXb атомами кислорода, серы или NCH_3 и особенно NHCH_3 (красители XXXIXg—XXXIXj) вызывает повышение окраски, что связано с их отрицательным индукционным эффектом, который снижает электронодонорное влияние мостика.

Таблица 1
Спектральные характеристики тиатрикарбоцианинов XXXVIII и XXXIX

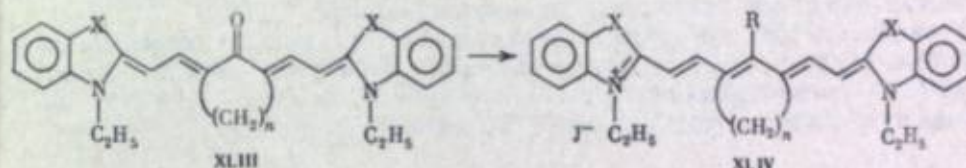
Краситель	X	λ_{\max} , нм ($\epsilon \cdot 10^{-4}$)	
		XXXVIII: R = H	XXXIX: R = Cl
a	—	802 (28,0)	821 (24,8)
б	CH ₂	766 (30,0)	794 (26,1)
в	(CH ₂) ₂	760 (20,5)	790 (28,0)
г	O	764 (27,0)	784 (26,3)
д	S	—	780 (24,7)
е	NCH ₃	—	790 (16,0)
ж	NHCH ₃	—	765 —

Таблица 2

Спектральные характеристики тиатрикарбоцианинов XLVa—XLVк

XLV	R	n	λ_{max} , нм ($\epsilon \cdot 10^{-4}$)	XLV	R	n	λ_{max} , нм ($\epsilon \cdot 10^{-4}$)
а	$\text{N}(\text{CH}_3)_2$	2	684 (15,0)	е	CH_3	2	806 (25,5)
б	$\text{N}(\text{CH}_3)_2$	3	698 (11,1)	ж	CH_3	3	785 (30,7)
в	OCH_3	2	766 (22,8)	з	C_6H_5	2	808 (32,0)
г	OCH_3	3	776 (24,1)	и	C_6H_5	3	782 (30,1)
д	SC_6H_5	3	797 (21,6)	к	CN	3	884 (18,0)

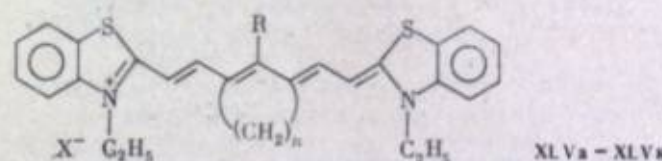
перевести в хлорзамещенные трикарбоцианины, другие же, например XLIII [$X = \text{S}$, $n = 3$], в тех же условиях после обработки метанолом дают продукты фосфорилирования [XLIV: $R = \text{OPO}(\text{OCH}_3)_2$].



[$X = \text{C}(\text{CH}_3)_2$, S, $-\text{CH}=\text{CH}-$ и др.; $n = 2, 3$; R = C_6H_5 , OCH_3 , OCOCH_3 , $\text{OSO}_2\text{C}_6\text{H}_4\text{CH}_3-p.$ Cl, $\text{OPO}(\text{OCH}_3)_2$].

Приведенный и другие примеры показывают, что легкость вытеснения кетогруппы, по-видимому, больше у кетоцианинов с этиленовым мостиком, чем с триметиленовым, и возрастает с уменьшением основности гетероатомов, из которых построен краситель. Аналогичная закономерность наблюдается и в подвижности атома хлора в красителях строения XXXIX.

В табл. 2 приведены спектральные характеристики некоторых тиатрикарбоцианинов XLVa — XLVк, содержащих наряду с мостиковой группировкой заместители в мезо-положении. Соединения XLVa, XLVб, XLVд и XLVк



получены из соответствующих хлорпроизводных XLVг, XLVe—XLVi — конденсацией полупродуктов типа XXXVII, а XLVb — присоединением диметилсульфата к соответствующему кетоцианину.

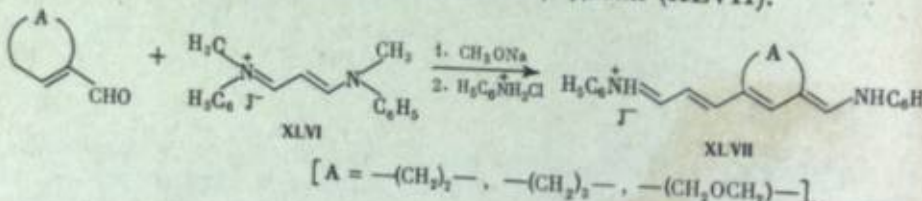
Как видно из таблицы, в отличие от мезо-метил- и мезо-фенилзамещенных соединений, на примере которых подтверждается отмеченная выше закономерность более глубокой окраски трикарбоцианинов с этиленовыми мостиками, для диметиламино- и метоксизамещенных красителей наблюдается противоположная зависимость. Такое обращение эффекта под влиянием указанных заместителей, как и тот факт, что метоксигруппа в мезо-положении тиатрикарбоциана с триметиленовым мостиком, вопреки правилу Фёрстера—Дьюара—Нотта, приводит к некоторому углублению окраски (на 10 нм), вызвано жесткой фиксацией той части хромофора, в которой находится заместитель.

Мостиковые группы снижают возможность устранения пространственных затруднений между заместителем в мезо-положении и атомами водорода в β , β' -положениях полиметиновой цепи путем поворота по ее отдельным углерод-углеродным связям. Существенно, что угол между атомами углерода, стоящими в β , γ , δ -положениях полиметиновой цепи красителей с шестивальным циклом, должен быть меньше, а следовательно, указанные стерические помехи больше,

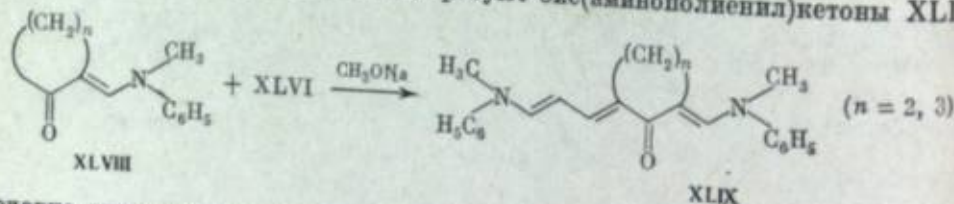
чем у их аналогов с пятизвенным циклом [34]. Под влиянием стерических помех рассматриваемые заместители выходят из плоскости молекулы красителя, благодаря чему их сопряжение с хромофором ослабевает, причем у красителей с шестизвенным циклом в большей степени. В красителе XLVg метоксигруппа настолько выведена из плоскости молекулы, что оказывает на окраску влияние преимущественно своим отрицательным индукционным эффектом. Более подробно окраска данных красителей рассмотрена в работе [24].

На примере трикарбоцианинов замечено [35], а затем подтверждено [36], что введение в симметричные положения полиметиновой цепи мостиковых групп приводит к повышению устойчивости красителей. Поэтому представляло интерес получить тетра- и пентакарбоцианины с циклическими группировками в хромофоре, отделенными от гетеростатков по крайней мере двумя метиновыми группами. Нами найдены пути синтеза тетракарбоцианинов с мостиковыми группами, замыкающими либо несимметричные γ,ϵ -, либо симметричные δ,δ' -положения полиметиновой цепи, т. е. отделенные от концевых ядер по крайней мере двумя или тремя метиновыми группами. С этой целью разработаны методы синтеза соответствующих винилогов солей формамидания, на основе которых обычными методами получались нонаметинцианины.

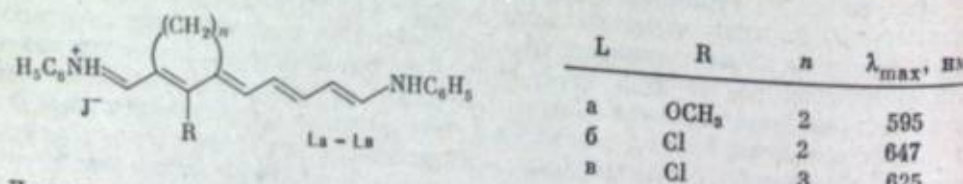
Установлено [37], что алициклические или гетероциклические ненасыщенные альдегиды в присутствии сильных оснований реагируют с иодидом N-метил-N-фенил-[3-(N-метилфениламино)пропен-2-илиден-1]-аммония (XLVI) с образованием нужных производных гепта-2,4-диен-1,7-диала (XLVII).



Для синтеза полупродуктов сходного строения, но содержащих заместитель в цикле, с успехом могут быть использованы и енаминокетоны типа XLVIII, которые с солями строения XLVI образуют бис(аминополиенинил)кетоны XLIX.

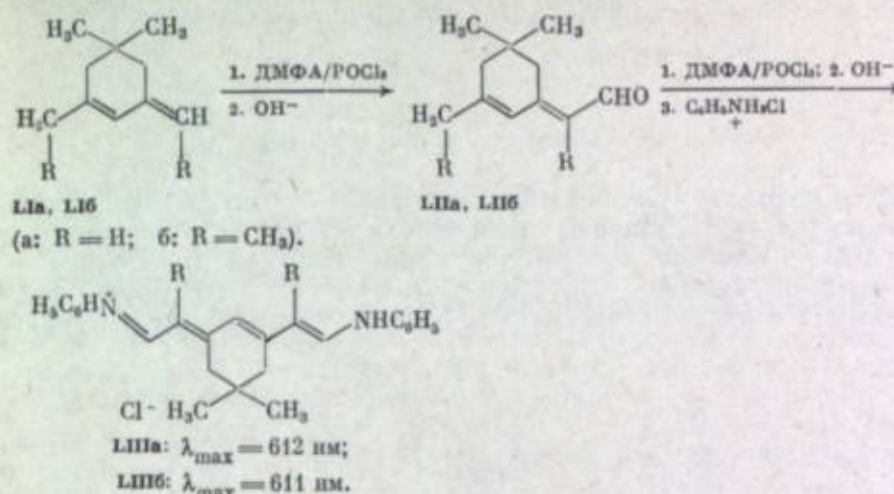


Недавно описаны аналоги этих соединений, содержащие диметиламиногруппы [38]. Под действием алкилирующих агентов или хлороксида фосфора с последующей обработкой анилином в уксусной кислоте соединения XLIX могут быть превращены в производные гепта-2,4-диен-1,7-диала (L) с метоксильной группой или атомом хлора в полиметиновой цепи.

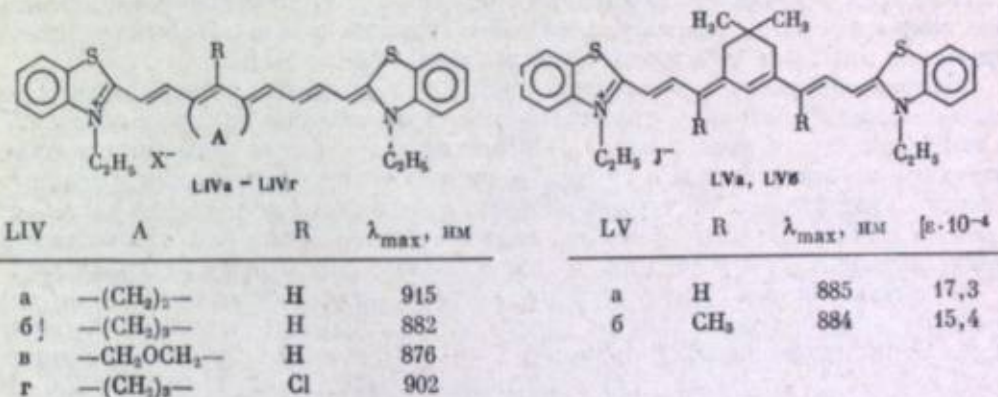


Для синтеза промежуточных продуктов тетракарбоцианиновых красителей с симметрично расположенным в полиметиновой цепи замещенным триметиленовым мостиком, как и в случае полупродуктов для трикарбоцианинов, нами использована реакция формилирования по Вильсмайеру. Найдено [39], что синтезированные из диенов L1a и L1b алкилзамещенные циклогексен-2-илиден-1-ациальдегид (L11a) [40] и проционовый альдегид L11b путем последующего формилирования и обработки солянокислым анилином могут быть превращены

в соли строения L11a и L11b.

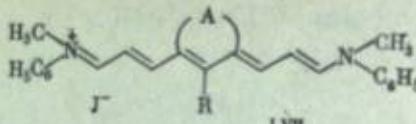
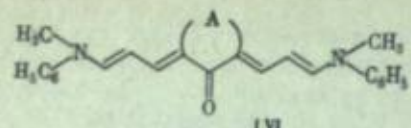


При конденсации полупродуктов XLVII, L, L11a и L11b гетероциклическими оньевыми солями, содержащими активные метильные группы, синтезирован ряд нонаметинцианинов, в том числе производные бензтиазола строения LIVa—LIVb [41] и LVa [39], LVb.



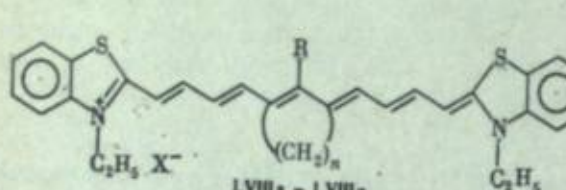
Как следует из сопоставления значений максимумов поглощения этих красителей с максимумом поглощения незамещенного тиатетракарбоцианина (870 nm) во всех рассмотренных случаях мостиковые группы способствуют углублению окраски; последующее замещение двух атомов водорода в хромофоре красителя LVa метильными группами, как и в исходном полупродукте L11, практически не смещает полосы поглощения.

Разработан также синтез ундекаметинцианинов с симметрично расположенной мостиковой группой в полиметиновой цепи. Метод включает в себя конденсацию циклических кетонов с соединением XLVI. Вместо последнего в конденсации могут быть использованы и замещенные β -аминоакролеины, например β (N-тетрагидрохинолил)акролеин. В результате реакции получены бис(амино-полиенинил)кетоны LV [42]. Аналоги этих соединений — содержащие вместо фениламино-диметиламиногруппы, недавно синтезированы другим путем [43]. С бис(амино-полиенинил)кетоном LV удаётся провести те же реакции, что и с описанными выше кетоцианинами XLVII. Кроме реакций с фенил- и метиллитием, диметилсульфатом, хлороксидом фосфора, проведено восстановление в этих соединениях карбонильной группы алюмогидридом лития. Это позволило получить производные иона-3,4,6-триен-1,9-диала LVII [42], с использованием которых синтезированы ундекаметинцианины, содержащие в полиметиновой цепи симметрично расположенный пяти- или шестизвездный углеводородный цикл и в мезо-положении атом водорода, хлора, метоксильную, метильную или фенильную группу, например тиацианины LVIII [44].



[A = $-(CH_2)_2$, $-(CH_2)_3$, σ -фенилен; R = H, CH₃, C₆H₅, OCH₃, Cl].

Анализ спектральных характеристик синтезированных поликарбоцианинов позволяет заключить, что влияние циклических группировок, как и метильных заместителей в хромофоре полиметиновых красителей, на их окраску очень часто не подчиняется правилу Фёрстера—Дьюара—Нотта. Например, вопреки этому правилу, в пентакарбоцианинах (LVIIIe), как и в трикарбоцианинах



	LVIII			LVIII			
	n	R	λ_{max} , нм	n	R	λ_{max} , нм	
a	3	H	980	d	2	CH ₃	1020
b	2	OCH ₃	995*	e	3	CH ₃	1000
c	2	Cl	1058	f	2	C ₆ H ₅	1032
g	3	Cl	1018	g	3	C ₆ H ₅	1002

* Праведены данные для раствора в хлористом метилене.

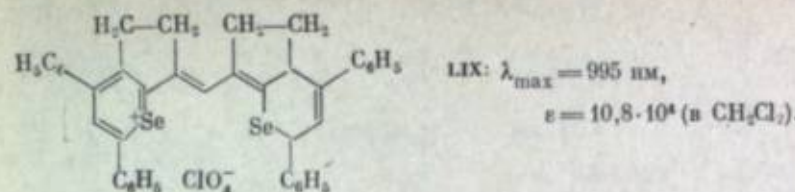
с этиленовой и триметиленовой мостиковыми группами (красители XLV_e—XLV_j), мезо-метильный заместитель приводит к углублению окраски. Отметим, что вопреки тому же правилу, метильная группа в мезо-положении дикарбоцианинов вызывает небольшой гипсохромный эффект [45].

Нельзя объяснить и батохромный эффект симметрично расположенного неопентиленового мостика в хромофоре тиатетракарбоцианина (краситель LV_a), а также отсутствие спектрального эффекта от дальнейшего введения в хромофор этого красителя метильных групп. По-видимому, определяющими в суммарном эффекте этих слабых электронодонорных групп часто может быть не их электронное влияние, а иные факторы, например вызываемые ими стерические помехи, изменение конформации, а также сольватация молекулы красителя.

С использованием описанных выше методов, кроме тиацианинов, нами получено значительное число тиазоло-, окса-, индо-, хино-2(4)-, пирило-, тиопирило- и селенопирилополикарбоцианинов [35, 46—48], а также красителей производных нафто[1,2-d]оксазола, -тиазола и некоторых иных гетероциклов. Ряд трикарбоцианинов подобных типов был описан затем и другими авторами [27, 35, 49]. На примере перечисленных красителей подтверждаются отмеченные выше закономерности в окраске.

Нами проведено также систематическое исследование зависимости эффективной длины в красителях остатков шестизвездных гетероциклов, содержащих один гетероатом, от характера гетероатома, места присоединения гетероцикла к полиметиновой цепи, а также наличия приконденсированных к нему циклических группировок [50]. Глубина окраски красителей, построенных из дифенилзамещенных шестизвездных одноядерных гетероциклов, изменяется в зависимости от природы гетероатома в последовательности NCH₃ < O < S < Se.

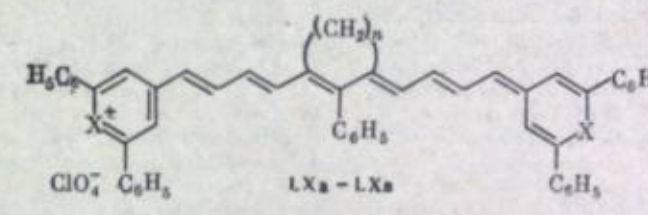
Пирилиевый цикл, его тио- и селеноаналоги, присоединенные к полиметиновой цепи по α -атому, обеспечивают значительно большую глубину окраски, чем присоединенные по γ -атому, в отличие от пиридиневого цикла. Приконденсированные к положениям 2,3 указанных гетероциклов тетра- и особенно триметиленовые группировки способствуют дальнейшему росту эффективной длины гетероструктур, а также повышают их электронодонорность, которая в ряду пирилоцианинов, их тио- и селеноаналогов относительно низка. Из используемых на настоящий момент в синтезе полиметиновых красителей гетероциклов наиболее эффективной длиной обладает цикл 2,3- trimетилен-4,6-дифенилселенопирилия. Полученный на его основе карбоцианин LIX поглощает в той же области, что и тиапентакарбоцианин, причем со значительно более высокой интенсивностью [51].



LIX: $\lambda_{\text{max}} = 995$ нм,
 $\epsilon = 10,8 \cdot 10^4$ (в CH_2Cl_2).

Селенопирилоцианин LIX поглощает в наиболее длинноволновой области среди всех полученных до настоящего времени триметинцианинов.

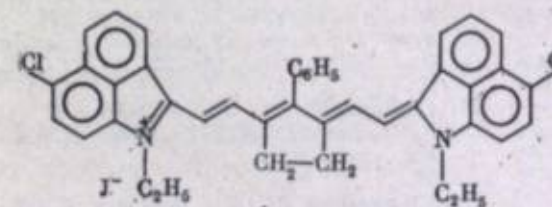
Мостиковые группы, симметрично расположенные в полиметиновой цепи, по-видимому, в большей степени повышают устойчивость молекул красителей. Поэтому неудивительно, что именно с использованием симметрично замещенных винилогов солей формамидиния LIII и LVIII мы смогли синтезировать не только пирилононаметинцианины [39], которые ранее получать не удавалось [36], но и пирилоунидекаметинцианины LX [48].



LX	X	λ_{max} , нм	$\epsilon \cdot 10^{-4}$ в CH_2Cl_2
a	O	1220	15,6
b	S	1315	11,6
v	Se	1340	13,3

Селенопирилопентакарбоцианин LXv поглощает в наиболее длинноволновой области среди всех известных до настоящего времени полиметиновых красителей.

Повышение стабильности молекул полиметиновых красителей путем изложенных выше методов циклизации их полиметиновой цепи мостиковыми группировками, как и выбор для синтеза гетероциклов, обладающих в красителях большой эффективной длиной и электронодонорностью, по возможности близкой к средней величине, облегчает целенаправленный синтез полиметиновых красителей, поглощающих в ближней ИК-области. Например, ядро бенз-[c,d]индола в полиметиновых красителях обладает средним значением $\Phi_0 = 45^\circ$ и значительной эффективной длиной ($L = 6,5$). Поэтому закономерно, что трикарбоцианины типа LXI,



LXI: $\lambda_{\text{max}} = 1055$ нм,
 $\epsilon = 24,9 \cdot 10^4$ (в этаноле).

построенные на основе этого гетероцикла и содержащие симметрично расположенный этиленовый мостик в полиметиновой цепи, оказались весьма устойчивыми соединениями, что способствовало их практическому использованию в квантовой электронике [52].

ЛИТЕРАТУРА

1. Киприанов А. Н. Введение в электронную теорию органических соединений. Киев: Наук. думка, 1975. Гл. XI.
2. Левков И. И.— Успехи науч. фотографии, 1976, т. 17, с. 5—23.
3. Левков И. И., Вомпе А. Ф., Свешников Н. Н.— Журн. Всесоюз. хим. о-ва им. Д. И. Менделеева, 1958, т. 3, вып. 5, с. 597—606.
4. Киприанов А. Н., Мушкило И. Л., Михайленко Ф. А.— Журн. орган. химии, 1967, т. 3, с. 2041—2047.
5. Михайленко Ф. А., Дядюша Г. Г., Богуславская А. Н.— Химия гетероциклических соединений, 1975, № 3, с. 307—376.
6. Михайленко Ф. А., Богуславская А. Н., Киприанов А. Н.— Химия гетероциклических соединений, 1971, № 5, с. 618—620.
7. Асланиди Е. Б., Гандельман И. Л., Тигонов Е. А., Шпак М. Т.— Укр. физ. журн., 1970, т. 65, с. 1284—1294.
8. Т. Джеймс. Теория фотографического процесса/Пер. с англ. под ред. А. Л. Картузянского. Л.: Химия, 1980, с. 196.
9. Дядюша Г. Г., Качковский А. Д.— Укр. хим. журн., 1978, т. 44, с. 948—953.
10. Pat. 2734900 (US).
11. Pat. 607696 (Belg.).
12. Pat. 1171737 (BRD).
13. Сломинский Ю. Л., Кулешин А. В., Толмачев А. И.— Журн. орган. химии, 1970, т. 6, с. 1936—1940.
14. Сломинский Ю. Л., Скульбиденко А. Л., Толмачев А. И.— Укр. хим. журн., 1974, т. 40, с. 1166—1172.
15. Романов Н. Н., Сломинский Ю. Л., Толмачев А. И., Бабичев Ф. С.— Докл. АН УССР. Сер. Б, 1976, № 9, с. 807—810.
16. Сломинский Ю. Л., Романов Н. Н., Степченко З. Н., Толмачев А. И.— Журн. орган. химии, 1979, т. 15, с. 865—868.
17. Химия синтетических красителей/Под ред. К. Венкатаремана; Пер. с англ. под ред. Л. С. Эфроса. Л.: Химия, 1975, с. 260.
18. Толмачев А. И., Сломинский Ю. Л., Киприанов А. Н.— Докл. АН СССР, 1967, т. 177, с. 869—872.
19. Сломинский Ю. Л., Скульбиденко А. Л., Толмачев А. И.— Журн. орган. химии, 1975, т. 11, с. 392—397.
20. А. с. 209503 (СССР). Способ получения солей дианилов α,α' -полиметиленглутаконовых диальдегидов/Сломинский Ю. Л., Кудинова М. А., Толмачев А. И. Заявл. 23.12.69, № 1388388/23—4; Опубл. в Б. И., 1971, № 12; МКИ С 07c 47/38.
21. Сломинский Ю. Л., Шулежко Л. М.— Укр. хим. журн., 1974, т. 40, с. 625—629.
22. Толмачев А. И., Сломинский Ю. Л., Велая Ж. Н., Родова Э. З.— Химия гетероциклических соединений, 1976, № 2, с. 175—178.
23. А. с. 394358 (СССР). Способ получения солей дианилов β -замещенных α,α' -полиметиленглутаконовых диальдегидов/Толмачев А. И., Сломинский Ю. Л.
- Заявл. 7.05.71, № 1654292/23—4; Опубл. в Б. И., 1973, № 34; МКИ С 07c 47/38.
24. Сломинский Ю. Л., Радченко И. Д., Толмачев А. И.— Журн. орган. химии, 1979, т. 15, с. 400—407.
25. Сломинский Ю. Л., Радченко И. Д., Толмачев А. И.— Укр. хим. журн., 1975, т. 41, с. 760—762.
26. Zemlicka J., Arnold Z.— Collection, 1967, vol. 26, p. 2852—2864.
27. Макин С. М., Бойко И. И., Шаергина О. А.— Журн. орган. химии, 1977, т. 13, с. 1189—1192.
28. А. с. 420643 (СССР). Способ получения трикарбоцианиновых красителей/Сломинский Ю. Л., Толмачев А. И., Родова Э. З. Заявл. 7.05.71, № 1655454/23—4; Опубл. в Б. И., 1974, № 11; МКИ С 09b, 23/08; G 03c, 1/20.
29. Сломинский Ю. Л., Дядюша Г. Г., Ушенко И. К. и др.— Укр. хим. журн., 1974, т. 40, с. 1164—1168.
30. Дядюша Г. Г.— Укр. хим. журн., 1964, т. 30, с. 1186—1194.
31. Дядюша Г. Г.— Укр. хим. журн., 1964, т. 30, с. 929—934.
32. Сломинский Ю. Л., Радченко И. Д., Толмачев А. И.— Журн. орган. химии, 1978, т. 14, с. 2214—2221.
33. Сломинский Ю. Л., Радченко И. Д.— Химия гетероциклических соединений, 1974, № 5, с. 711—712.
34. Бабичев Ф. С., Романов Н. Н., Сломинский Ю. Л., Толмачев А. И.— Укр. хим. журн., 1975, т. 41, с. 1165—1170.
35. Толмачев А. И., Кудинова М. А.— Химия гетероциклических соединений, 1971, № 7, с. 924—926.
36. Reynolds G., Drexhage K.— J. Opt. Chem., 1977, vol. 42, p. 885—888.
37. А. с. 594148 (СССР). Способ получения тетракарбоцианиновых красителей/Сломинский Ю. Л., Радченко И. Д., Толмачев А. И. Заявл. 29.05.73, № 1928839/23—4; Опубл. в Б. И., 1978, № 7; МКИ С 09b, 23/08.
38. Красная Ж. А., Стыценко Т. С., Прокопьев Е. П., Кучеров В. Ф.— Изв. АН СССР. Сер. хим., 1978, № 1, с. 116—122.
39. Сломинский Ю. Л., Смирнова А. Л., Кудинова М. А. и др.— Укр. хим. журн., 1978, т. 44, с. 838—840.
40. Traas P., Boelens H., Takken H.— Rev. trav chim., 1976, vol. 95, N 3, p. 57—66.
41. Сломинский Ю. Л., Радченко И. Д., Ефименко Н. И., Толмачев А. И.— Укр. хим. журн., 1980, т. 46, с. 61—63.
42. Сломинский Ю. Л., Радченко И. Д.— Укр. хим. журн., 1977, т. 43, с. 263—270.
43. Красная Ж. А., Стыценко Т. С., Прокопьев Е. П. и др.— Изв. АН СССР. Сер. хим., 1976, № 3, с. 595—600.
44. А. с. 555123 (СССР). Способ получения ундекаметилцианинов/Сломинский Ю. Л., Радченко И. Д., Толмачев А. И. Заявл. 1.07.74, № 2040336/04; Опубл. в Б. И., 1977, № 15; МКИ С 09b, 23/08.
45. Вомпе А. Ф., Монич Н. В., Спасокуко-

УДК 547.441+547.37

С. М. Макин, А. И. Помогаев

АЦЕТАЛИ И ЕНОЛОВЫЕ ЭФИРЫ В СИНТЕЗЕ ЦИАНИНОВЫХ КРАСИТЕЛЕЙ И ИХ ПРЕДШЕСТВЕННИКОВ

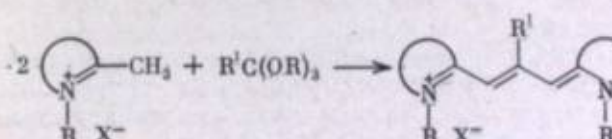
Цианиновые красители известны более 100 лет, однако интерес к изысканию более совершенных методов их получения и синтезу новых представителей этого класса соединений не ослабевает. Это обусловлено возникающими задачами, связанными с регистрацией и хранением информации, и возрастающими требованиями, предъявляемыми к современным фотослоям. Мощным стимулом к синтезу и исследованию цианинов явились открытия последних лет, когда было установлено, что цианиновые красители могут быть успешно использованы в лазерной технике.

В последние 10—15 лет создан ряд принципиально новых подходов к синтезу цианиновых красителей, особенно высших поликарбоцианинов. Эти подходы основаны на химических превращениях ацеталий и еноловых эфиров. В настоящем обзоре рассмотрены методы синтеза цианиновых красителей и их предшественников, разработанные главным образом в лаборатории кафедры органической химии Московского института тонкой химической технологии им. М. В. Ломоносова.

СИНТЕЗ ЦИАНИНОВ ИЗ ПРОИЗВОДНЫХ ДИАЛЬДЕГИДОВ

Получение монокарбоцианинов из ортоэфиров карбоновых кислот

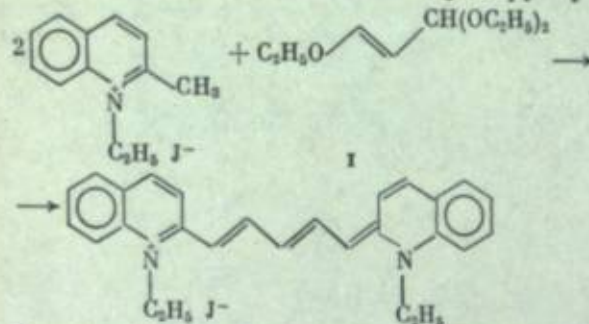
Производные полиеновых альдегидов и прежде всего их ацетали и поликарбоксилиновые можно рассматривать как винилоги ортоэфиров карбоновых кислот, которые одними из первых нашли широкое применение для синтеза монокарбоцианиновых красителей. Конденсацией ортоэфиров различных карбоновых кислот с четвертичными солями гетероциклических оснований, содержащими активную метильную группу, были получены монокарбоцианины с различными заместителями в мезо-положении триметиновой цепи и всевозможными гетероциклическими остатками [1—3]:



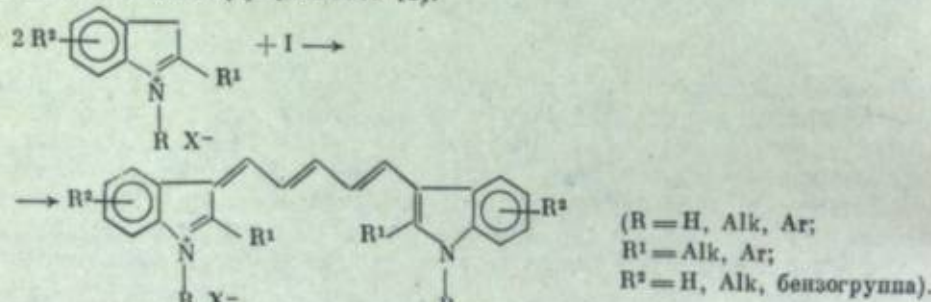
(— здесь и далее четвертичные соли обычно применяемых для синтеза цианиновых красителей гетероциклических азотистых оснований).

Применение производных малонового альдегида
в синтезе дикарбоцианинов

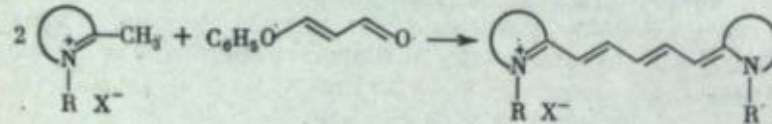
Впервые дикарбоцианиновые красители были получены конденсацией ацеталия β -этоксиакролеина (I) с четвертичными солями гетероциклических оснований, имеющих активную метильную группу [4]:



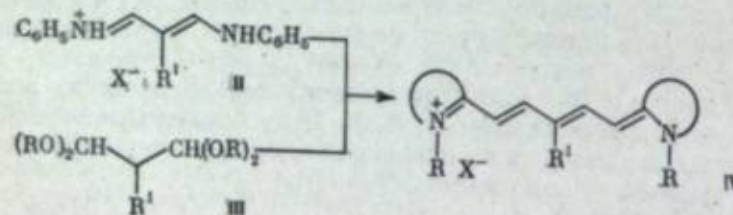
Взаимодействием ацеталия I с четвертичными солями индола был осуществлен синтез индоло-(3)-цианинов [5]:



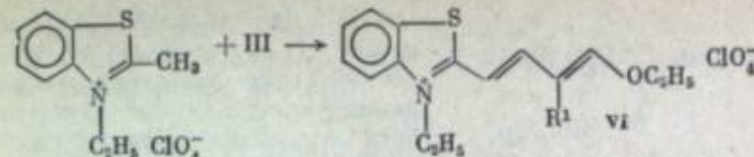
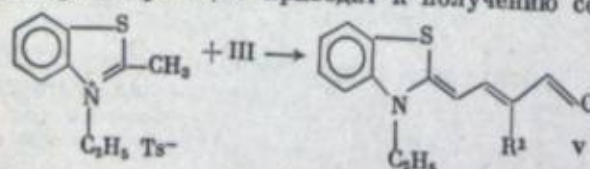
Для синтеза дикарбоцианиновых красителей также использован феноксиакролеин, который, как оказалось, еще легче вступает в конденсацию [6]:



Позднее было показано, что в подобные реакции конденсации могут вступать и соли дианилов малонового альдегида (II) [7], и ацетали малонового альдегида (III) [8], применение которых позволило получить *мезо*-замещенные дикарбоцианины (IV):

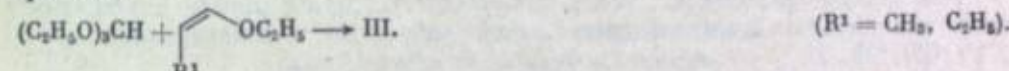


При конденсации ацеталей малонового и алкилмалоновых альдегидов с тозилатами 2-метил-3-этилбензтиазолия и других аналогичных гетероциклических оснований образуются альдегиды V [9, 10], в то время как в присутствии перхлоратов реакция приводит к получению солей VI [11]:

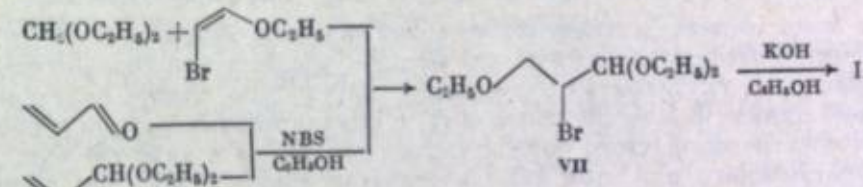


Соединения V и VI могут быть использованы для синтеза несимметричных дикарбоцианиновых красителей.

Обычно незамещенные ацетали малонового альдегида получают конденсацией ортомуравиного эфира с винилалкиловыми эфирами [12, 13]. В нашей лаборатории было показано, что ацетали алкилмалоновых альдегидов (III), используемые для синтеза красителей IV с соответствующими заместителями в *мео*-положении, легко получаются взаимодействием ортомуравиного эфира с алкенилалкиловыми эфирами в присутствии FeCl_3 в качестве катализатора [14]:

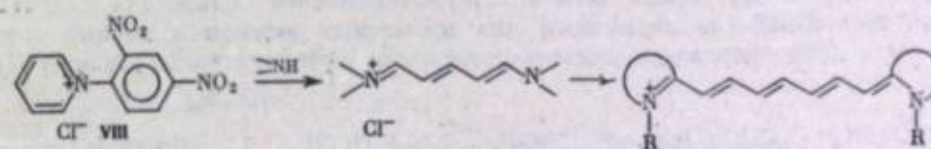


Для синтеза ацетала β -этоксиакролеина разработаны два метода, основанные на дегидробромировании бромида VII, который может быть получен либо конденсацией этилаля с β -бромвинилэтиловым эфиром [15], либо взаимодействием акролеина или его ацетала с бромусукцинимидом в спирте [16]:



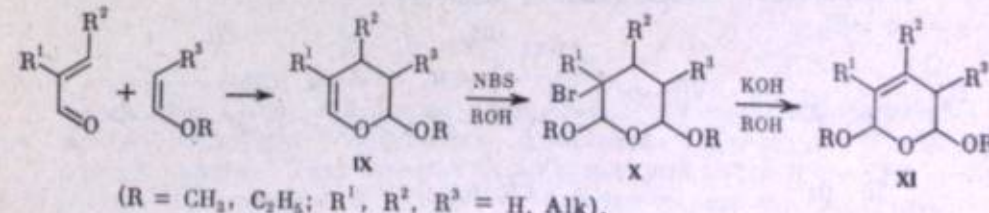
Методы синтеза производных глутаконового альдегида и трикарбоцианинов

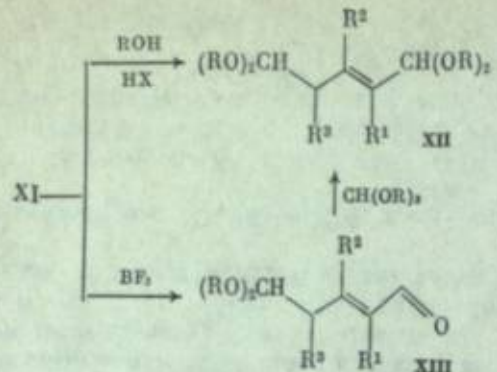
В качестве исходных соединений для синтеза трикарбоцианиновых красителей традиционно применяются соли дианилов глутаконового альдегида [17], которые обычно получают расщеплением пиридиниевых солей типа VIII ароматическими аминами [18]:



Этот метод синтеза солей дианилов глутаконового альдегида находит ограниченное применение из-за малой доступности солей VIII, в особенности замещенных, что затрудняет синтез трикарбоцианиновых красителей с заместителями в полиметиновой цепи.

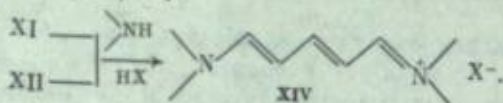
В нашей лаборатории разработаны методы синтеза производных глутаконового альдегида, один из которых основан на диеновой конденсации винилалкиловых эфиров с α,β -ненасыщенными альдегидами [19, 20]:





ноацетали глутаконового альдегида (XIII) [20, 23, 24], которые в свою очередь могут быть переведены в диацетали XII.

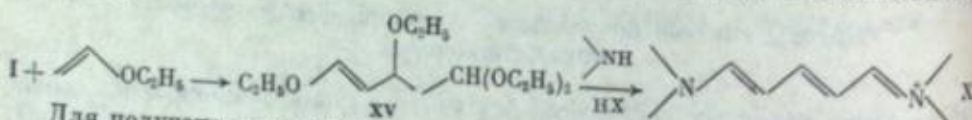
Как дигидропираны XI, так и диацетали XII при действии первичных и вторичных аминов в кислой среде легко превращаются в пентаметиновые соли XIV [20, 25, 26]:



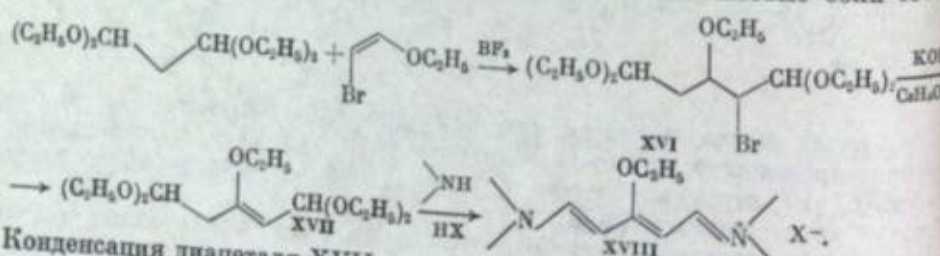
(Здесь и далее $\text{>} \text{NH} = \text{C}_6\text{H}_5\text{NH}_2, \text{C}_6\text{H}_5\text{NHCH}_3$, тетрагидрохинолин.)

Этот метод синтеза пентаметиновых солей является общим и более перспективным по сравнению с классическим методом расщепления солей пиридинов.

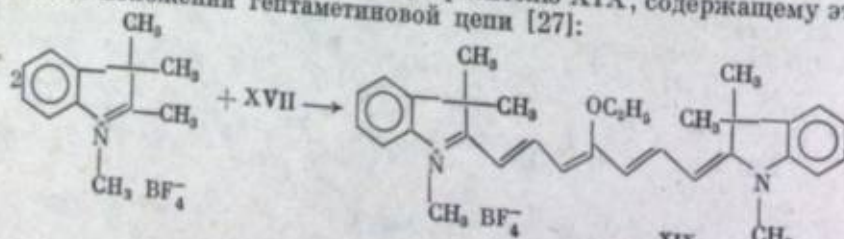
Производные глутаконового альдегида могут быть также получены конденсацией ацетала β -этоксиакролеина (I) с винилэтиловым эфиром в присутствии эфирата трехфтористого бора и хлористого цинка в качестве катализаторов. Образующийся при этом 1,3,5,5-тетраэтоксипентен (XV) при взаимодействии с первичным или вторичным амином в кислой среде дает пентаметиновую соль [16]:



Для получения мезо-этоксизамещенных красителей использована конденсация β -бромвинилэтилового эфира с диацеталем малонового альдегида, в результате которой образуется бромид XVI. Последний при дегидробромировании превращается в диацеталь мезо-этоксиглутаконового альдегида (XVII), который при обработке первичным или вторичным амином в кислой среде может быть легко переведен в соответствующие пентаметиновые соли XVIII [15]:

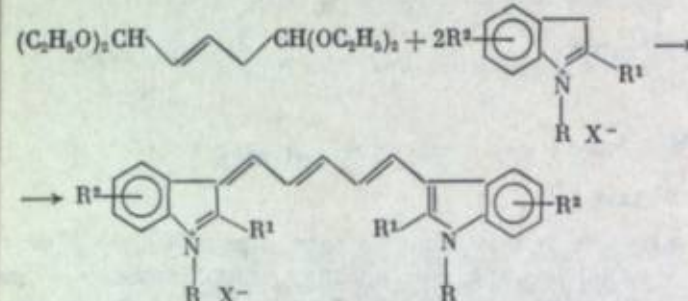


Конденсация диацетала XVII с четвертичной солью 2,3,3-триметилиндолена приводит к трикарбоцианиновому красителю XIX, содержащему этоксигруппу в мезо-положении гентаметиновой цепи [27]:



2,6-Диалкокси- Δ^3 -дигидропираны (XI), полученные по предложенной схеме, представляют собой циклические ацетали глутаконового альдегида. При взаимодействии ацеталей XI со спиртом в присутствии галогенводородных кислот происходит раскрытие пиранового цикла с образованием диацеталей глутаконового альдегида (XII) [21, 22], а при обработке аprotонными кислотами наблюдается их превращение в диацетали глутаконового альдегида (XIII) [20, 23, 24], которые в свою очередь могут быть переведены в диацетали XII.

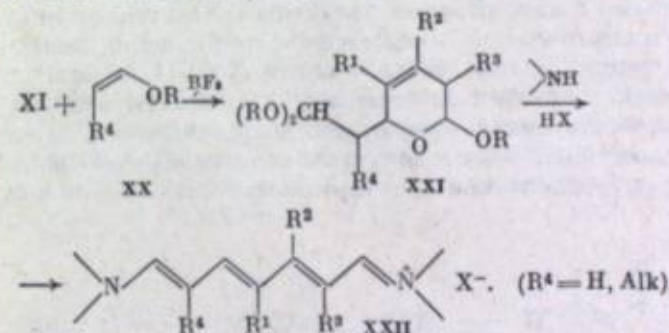
Ацетали глутаконового альдегида могут вступать в конденсацию с солями индола по метиленовой группе гетероцикла с образованием индоло-(3)-цианиновых красителей [5]:



Получение производных гентаметинов для синтеза тетракарбоцианинов

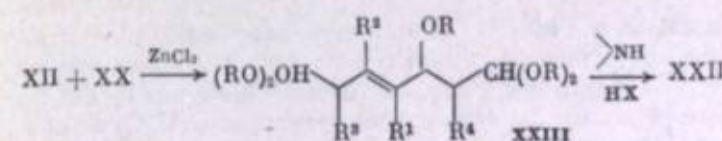
С целью разработки универсальных методов синтеза гентаметиновых солей, которые при конденсации с четвертичными солями гетероциклических соединений образуют тетракарбоцианиновые красители [28], в нашей лаборатории были найдены следующие пути получения соответствующих производных диацетидов, содержащих семь атомов углерода в цепи.

1. Конденсация 2,6-диалкокси- Δ^3 -дигидропиранов (XI) с винилалкиловыми эфирами (XX) при эквимолекулярном соотношении реагентов протекает только за счет α,β -ненасыщенной ацетальной группировки и приводит к образованию дигидропиранов XXI, которые при взаимодействии с первичными или вторичными аминами в кислой среде легко превращаются с раскрытием пиранового цикла и омылением ацетальных групп в соответствующие гентаметиновые соли XXII [20, 29]:



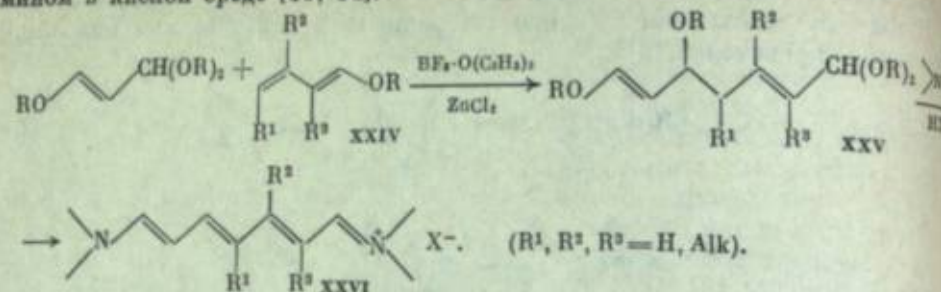
Метод позволяет получать гентаметиновые соли как без заместителей, так и с алкильными группами в различных положениях поливиниловой цепи.

2. Конденсация диацеталей глутаконового альдегида (XII) с эфирами XX происходит также только по α,β -непредельной ацетальной группе и приводит к продуктам одностороннего присоединения XXIII, которые аналогично соединениям XXI дают гентаметиновые соли XXII [30–33].

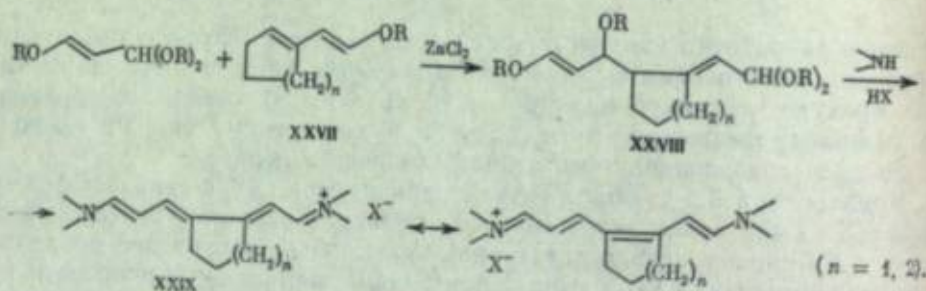


3. Конденсация ацеталей β -алкоксиакролеина (XXIV) при эквимолекулярном соотношении реагентов приводит к образованию 1,1,5,7-тетраалкокси-2,6-гентаметинов (XXV), которые легко переходят в соответствующие гентаметины XXVI при обработке первичным или вторичным

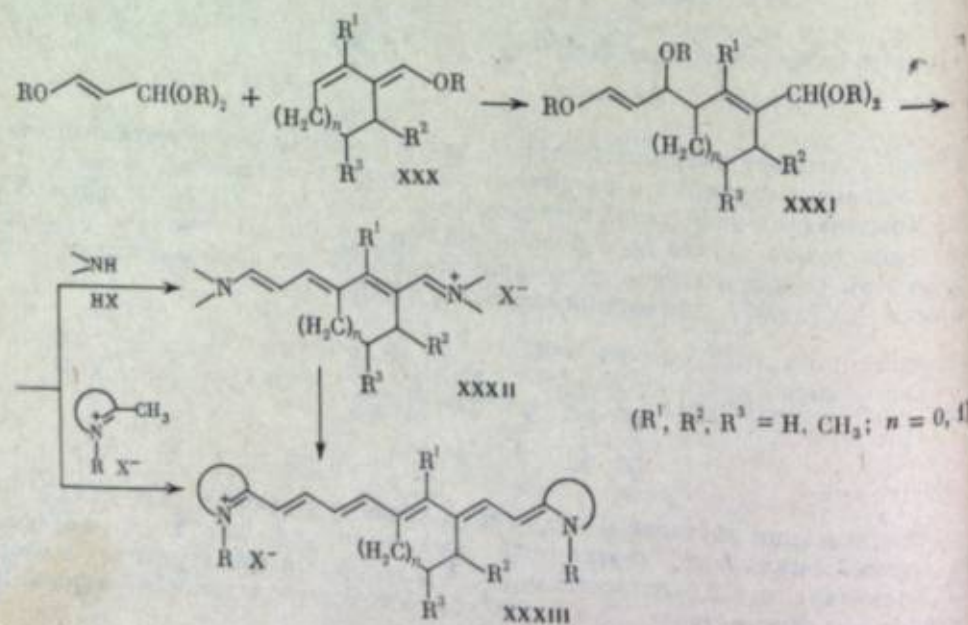
амином в кислой среде [16, 34]:



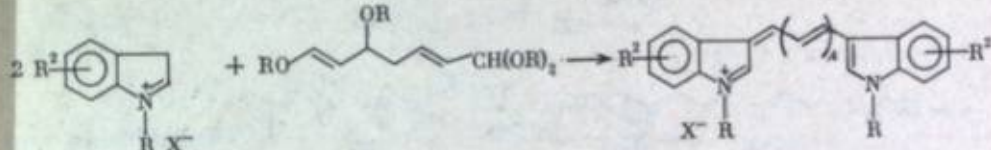
Этот метод позволяет получать гентаметиновые соли с различными заместителями, в том числе и с циклическими фрагментами, включенными в цепь сопряжения. Так, с использованием циклических диенов XXVII через соединение XXVIII получены гентаметиновые соли XXIX с пяти- и шестичленными циклами в хромофорной цепи и закрепленной *цис*- или *s-цис*-конфигурации в одном из звеньев цепи [34]:



Конденсацией ацеталей β -алоксиакролеина с диенами XXX [35] синтезированы производные гентадиендиала XXXI , из которых обработкой первичными или вторичными аминами в кислой среде получены гентаметиновые соли XXXII , содержащие пяти- и шестичленные циклы в цепи сопряжения, имеющие полностью *транс*-конфигурацию. Взаимодействие солей XXXII с четвертичными солями гетероциклических оснований, содержащих активную метильную группу, приводит к соответствующим тетракарбоцианиновым красителям XXXIII [36]. Последние могут быть также получены непосредственно из аллоксипроизводных XXXI при конденсации с четвертичными солями гетероциклических оснований:



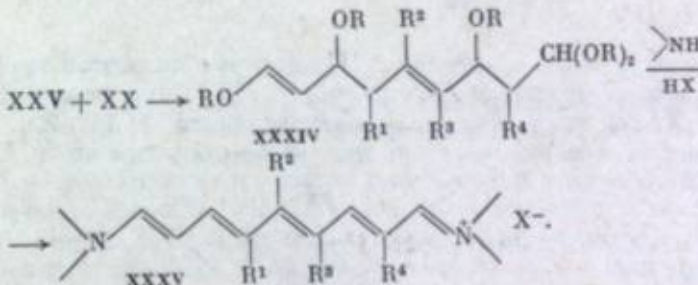
Из 1,1,5,7-тетраэтокси-2,6-гептадиена при конденсации с солями индола синтезированы не замещенные в цепи сопряжения индоло-(3)-цианины [5]:



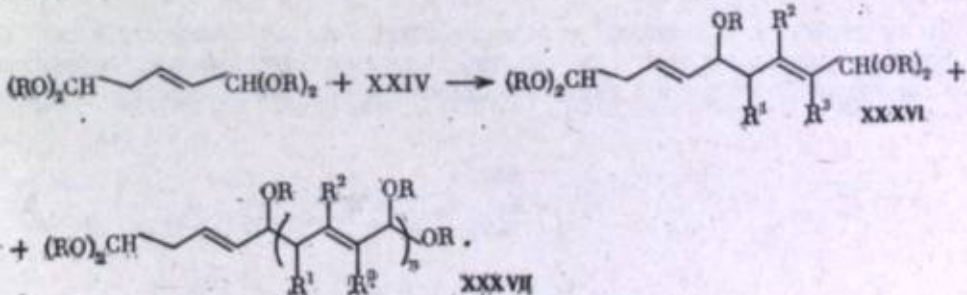
Синтез производных ионатриендиала и получение пентакарбоцианинов на их основе

Методы, разработанные для синтеза производных ионатриендиала, используемых для получения пентакарбоцианиновых красителей, также в большинстве случаев основаны на реакциях конденсации ненасыщенных аллоксиацидов с виниловыми или диеновыми эфирами.

1. Конденсация ацеталей C_7 -аллоксиальдегидов XXV с алкиниловыми эфирами XX приводит к ацеталим C_9 -аллоксиальдегидов XXXIV , при последующей обработке которых первичными или вторичными аминами в кислой среде легко образуются ионаметиновые соли XXXV [16].

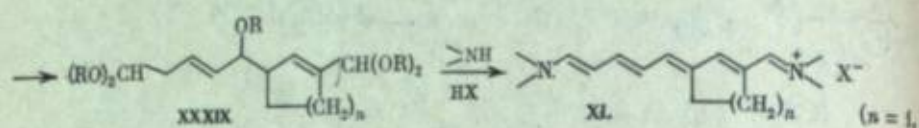
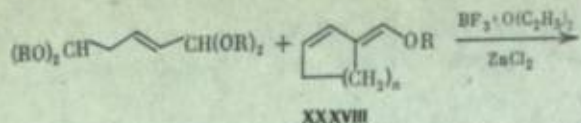


2. Конденсация ацеталей глутаконового альдегида с 1-аллоксидиенами XXIV протекает структурно-направленно только за счет α,β -ненасыщенной ацетальной группы. Реакция имеет характер теломеризации. Наряду с ацеталем C_9 -аллоксиальдегида XXXVI выделены также ацетали C_{15} - и C_{17} -аллоксиальдегидов XXXVII ($n = 2$ и 3 соответственно) [30—32]:

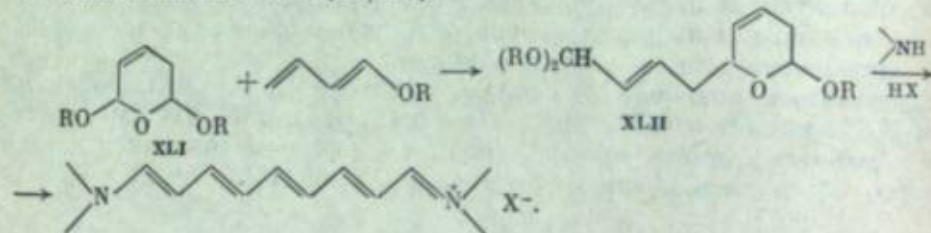


При взаимодействии диацеталей XXXVI с первичными или вторичными аминами в кислой среде получены соответствующие ионаметиновые соли, имеющие различные заместители в полиметиновой цепи, а с использованием диенов XXVII — ионаметиновые соли с пяти- и шестичленными циклами и закрепленной *цис*- или *s-цис*-конфигурацией в одном из звеньев цепи [31—33].

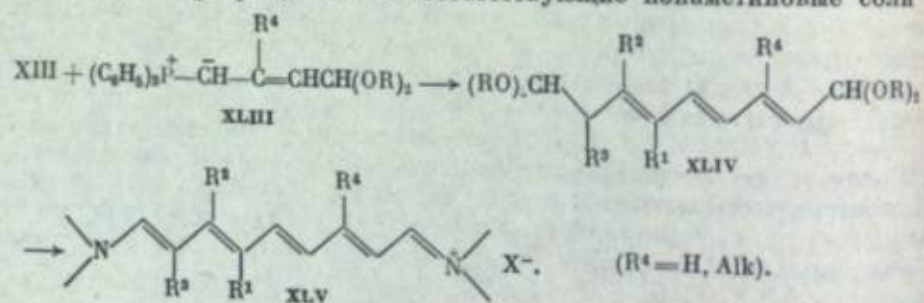
Ионаметиновые соли с полностью *транс*-конфигурацией цепи XL могут быть синтезированы обработкой первичными или вторичными аминами в кислой среде производных диацетала XXXIX , которые в свою очередь получают конденсацией ацеталей глутаконового альдегида с циклическими 1-аллоксидиенами XXXVIII [37, 38]:



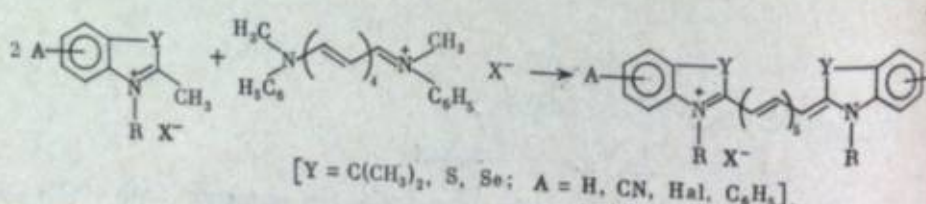
3. Присоединение 2,6-диалкокси- Δ^3 -дигидропирана (XL) к 1-алкоксиям при эквимолекулярном соотношении реагентов протекает, как и в случае присоединения к винилалкиловым эфирам, только за счет α,β -непредельной ацетальной группы с образованием дигидропирана XLII, из которого при обработке первичным или вторичным амином в кислой среде легко образуются ионаметиновые соли [20, 29]:



4. Моноацетали глутаконового альдегида XIII, которые являются продуктами катионотропной перегруппировки дигидропиранов XI, при конденсации по Виттигу с илидом XIII дают ацетали ионатриендиалей XLIV [20]. Их легче превращаются в соответствующие ионаметиновые соли XLV.



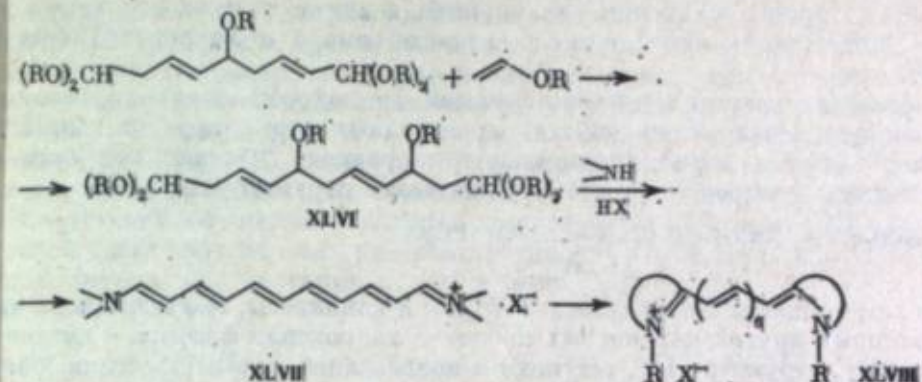
Полученные с помощью перечисленных методов ионаметиновые соединения с успехом используются для синтеза пентакарбоцианиновых красителей. Так, не замещенные в цепи пентакарбоцианины синтезированы по следующей схеме [39]:



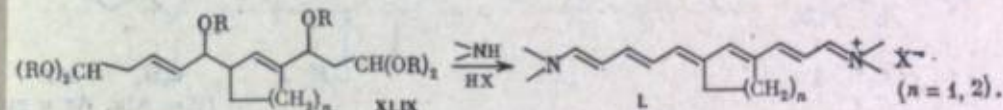
Синтез производных ундекатетраендиала и получения гексакарбоцианинов на их основе

Синтез ундекаметиновых солей осуществляется конденсацией ацеталий C₉-алкоксидиальдегида с винилалкиловыми эфирами и последующей обработкой образующихся ацеталий C₁₁-алкоксидиальдегида XLVI первичными или вторичными аминами в кислой среде [30, 31]. Полученные таким образом ундекаметиновые соли XLVII вступают в реакцию с четвертичными солями гетероциклических оснований, содержащими активную метильную группу, и

важные гексакарбоцианиновые красители XLVIII [40]:

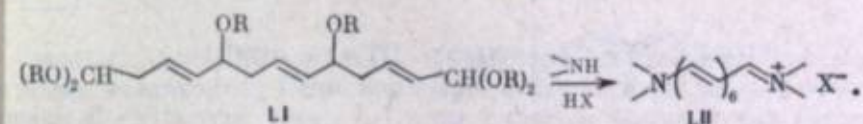


Ундекаметиновые соли L, содержащие пяти- и шестичленные циклические фрагменты в цепи сопряжения, могут быть легко синтезированы взаимодействием соответствующих ацеталей C₁₁-алкоксидиальдегидов XLIX с первичными или вторичными аминами в кислой среде [38]:

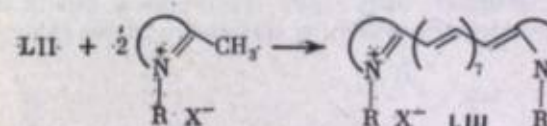


Синтез производных тридеканентаендиала и гексакарбоцианинов

Как уже отмечалось выше, конденсация ацеталей глутаконового альдегида с 1-алкоксидиенами представляет собой реакцию теломеризации, при которой, кроме ацеталий C₉-алкоксидиальдегида, образуются и ацеталии C₁₁-алкоксидиальдегида [30]. Были найдены оптимальные условия проведения этой конденсации с целью синтеза 1,1,5,9,13,13-гексаалкокси-2,6,10-тридекатриена LI, который при обработке первичным или вторичным амином в кислой среде превращается в тридекаметиновые соли LII [41, 42]:



Тридекаметиновые соли LII вступают в конденсацию с четвертичными солями гетероциклических оснований с образованием гексакарбоцианиновых красителей LIII [40]:



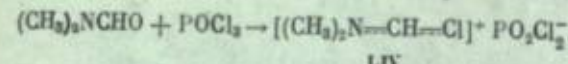
ЦИАНИНЫ, ПОЛУЧЕННЫЕ РЕАКЦИЕЙ АМИНОФОРМИЛИРОВАНИЯ ПО ВИЛЬСМАЙЕРУ—ХААКУ

Реакция аминоформилирования по Вильсмайеру—Хааку открывает большие возможности для синтеза полиметиновых солей и цианиновых красителей из доступных карбонильных соединений и их производных: предельных и полиеновых альдегидов и их ацеталей, виниловых и полиеновых эфиров и др.

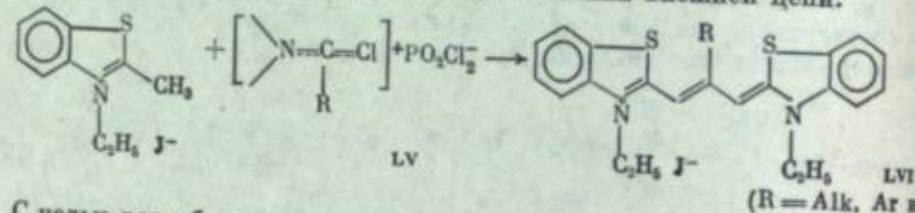
В работах [43—45] впервые исследована возможность получения полиметиновых солей взаимодействием комплекса, полученного из диметилформамида и

фосгена, с винилалкиловыми эфирами, 1-алкоксициденами, ацеталями альдегидов и алкоциальдегидов. Позже было показано, что аминоформилирование альдегидов жирного ряда или их ацеталей, а также полиеновых альдегидов можно осуществлять комплексом диметилформамида и хлороксида фосфора [46, 47].

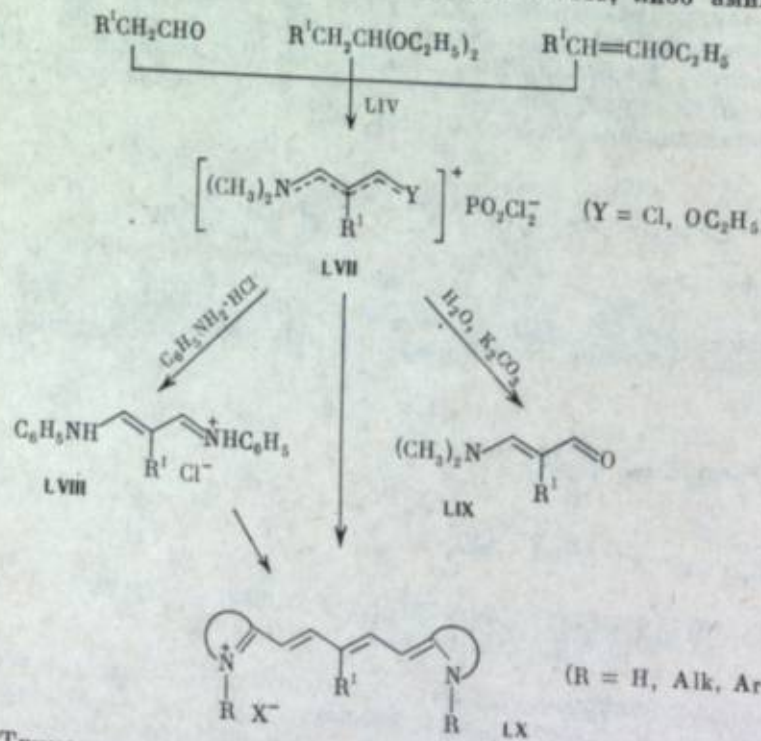
В нашей лаборатории изучена реакция аминоформилирования большого числа карбонильных соединений и их производных формилирующим комплексом, полученным из диметилформамида и хлороксида фосфора, которому согласно данным спектроскопии ЯМР приписывают структуру LIV [48]:



Как сам комплекс Вильсмайера LIV, так и комплексы, полученные из некоторых других карбоновых кислот и хлороксида фосфора и имеющие по-видимому, структуру LV, вступают в конденсацию с четвертичными солями гетероциклических оснований, содержащих активную метильную группу. В результате этой реакции нами выделены соответствующие монокарбоцианиновые красители LXI, замещенные в мезо-положении внешней цепи.



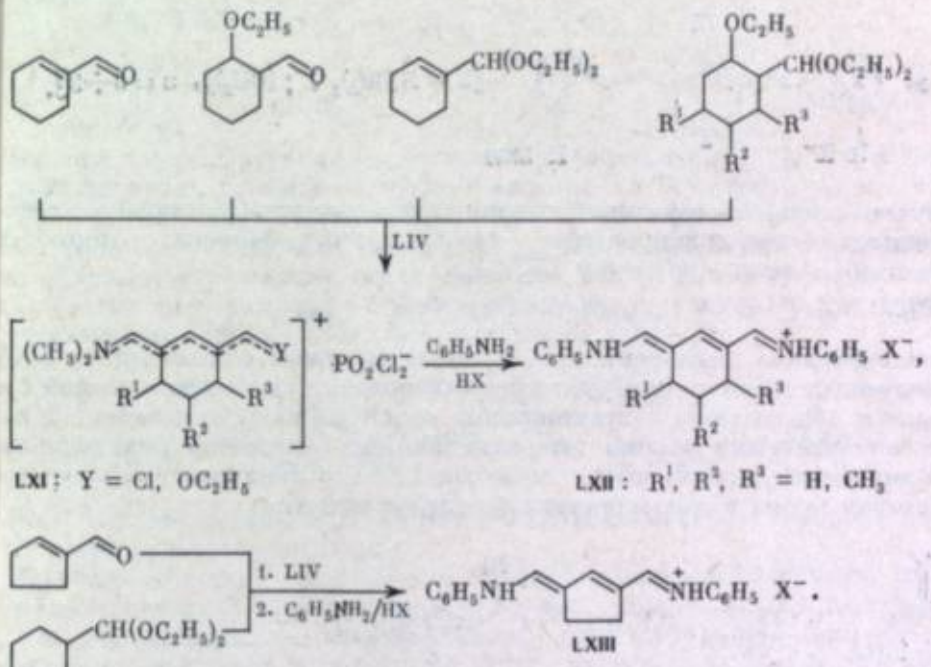
С целью разработки оптимальных методов синтеза дикарбоцианиновых красителей проведено сравнительное изучение аминоформилирования некоторых предельных альдегидов, их ацеталей и алкенилэтиловых эфиров [49]. В результате взаимодействия этих соединений с комплексом LIV образуются винилиформилирующего комплекса LVII, из которых в зависимости от обработки могут быть получены либо триметиновые соли LVIII, либо аминоальдегиды LXI.



Триметиновые соли LVIII являются исходными соединениями для синтеза дикарбоцианиновых красителей путем конденсации их с четвертичными солями гетероциклических оснований с активной метильной группой. Нами показано в мезо-положении цепи сопряжения, путем взаимодействия алициклических

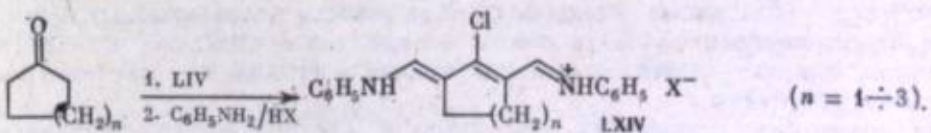
и предшественники триметиновых солей, которыми являются винилоги формилирующего комплекса LVII, также могут вступать в подобную конденсацию с образованием дикарбоцианиновых красителей LX [50]. Очевидно, что возможность введения в конденсацию промежуточных соединений LVII значительно упрощает процесс получения дикарбоцианинов этим методом.

Проведено также исследование аминоформилирования ряда непредельных альдегидов, 2-алкоциальдегидов и их ацеталей циклогексанового и цикlopентанового рядов [51–53], синтез которых рассмотрен в работах [54–56]. В результате взаимодействия этих соединений с формилирующим комплексом LIV последующей обработки продукта аминоформилирования LXI анилином в кислой среде синтезирован ряд пентаметиновых солей LXII и LXIII, содержащих пяти- и шестичленные циклы в цепи сопряжения:



Выходы солей LXII и LXIII в значительной степени зависят от строения исходных соединений. Если при формилировании альдегидов выходы не превышают 8–10% (см. также [57]), то в случае ацеталей они составляют, как правило, более 60%.

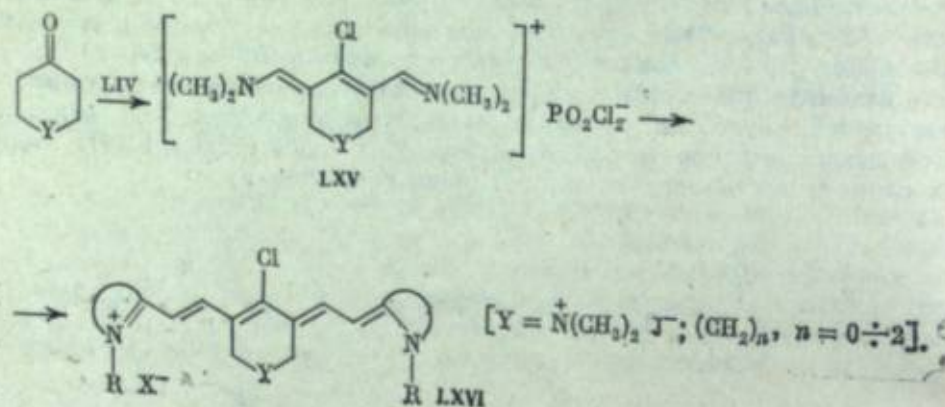
При взаимодействии цикlopентанона или циклогексанона с формилирующим комплексом, полученным из диметилформамида и фосгена, могут быть получены пентаметиновые соли LXIV, содержащие пяти- и шестичленные циклы и атом хлора в мезо-положении цепи сопряжения [58]. Позднее была показана возможность применения для этой цели комплекса LIV [51, 59, 60]:



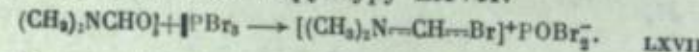
Пентаметиновые соли LXII–LXIV легко вступают в конденсацию с четвертичными солями гетероциклических оснований, содержащих активную метильную группу, с образованием соответствующих трикарбоцианиновых красителей [60–63].

Нами разработан более простой и удобный метод синтеза трикарбоцианиновых красителей LXVI, содержащих циклические фрагменты и атом хлора в мезо-положении цепи сопряжения, путем взаимодействия алициклических

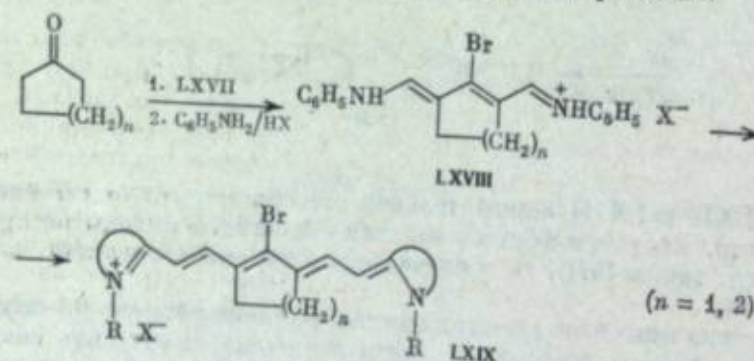
кетонов с комплексом LIV при соотношении реагентов 1 : 2 соответственно последующей конденсации продуктов аминоформилирования LXV без выделения их в виде солей дианилов с четвертичными солями гетероциклических оснований, таких, как 2-метилбензтиазол, хинальдин, лепидин, индолен и др. Красители LXVI образуются при этом с выходами от 40 до 80%.



Изучено также аминоформилирование алициклических кетонов комплексом, полученным из диметилформамида и трехбромистого фосфора, который, как полагают [64], имеет структуру LXVII.

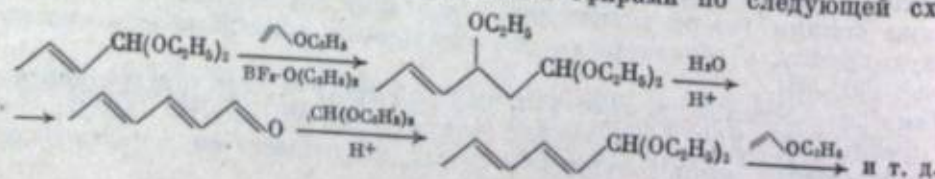


Взаимодействие циклопентанона и циклогексанона с комплексом LXVII и последующая обработка продукта формилирования анилином в кислой среде приводят к образованию пентаметиновых солей LXVIII, конденсацией которых с четвертичными солями гетероциклических оснований получены тиаз-2- и 4-хинотрикарбонатные красители LXIX с циклическими фрагментами и атомом брома в *мезо*-положении цепи сопряжения:

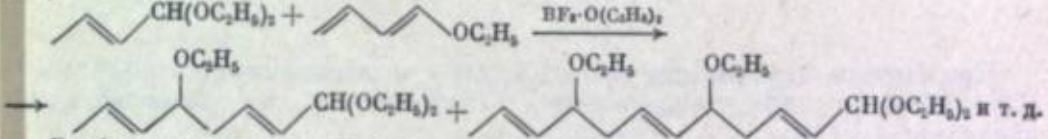
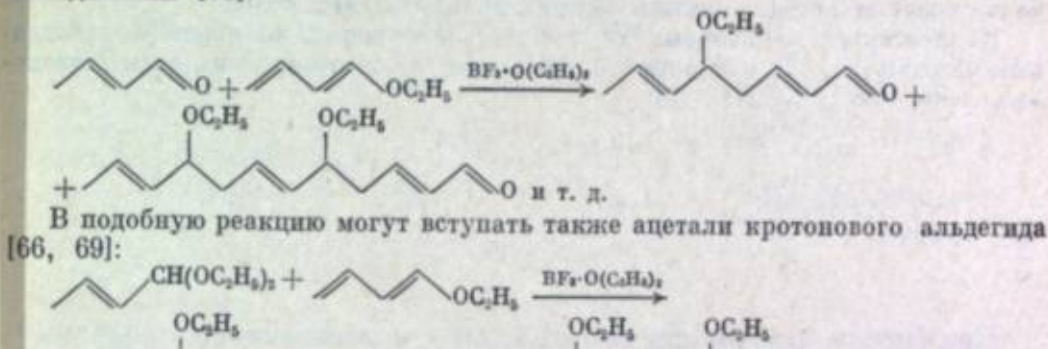


Высшие полиметиновые соли могут быть получены аминоформилированием по Вильсмайеру—Хааку полиеновых альдегидов [47]. Однако полиеновые альдегиды малодоступны и склонны к полимеризации. Поэтому представляют интерес найти эффективные методы получения высших полиметиновых солей на основе предшественников полиеновых альдегидов — ацеталей полиеновых альдегидов, аллоксиальдегидов и полиаллоксиальдегидов, так как они более доступны и устойчивы.

Для получения полиеновых альдегидов и аллоксиацеталей использован метод синтеза, заключающийся в последовательном повторении конденсации непредельных ацеталей с винилалковыми эфирами по следующей схеме:

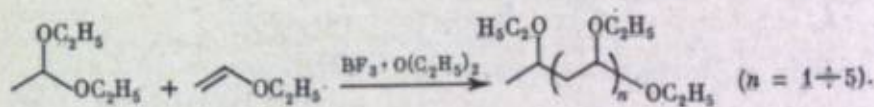


Этим путем осуществлен синтез ацеталей аллоксиальдегидов и полиеновых альдегидов, содержащих от 6 до 12 атомов углерода в цепи [65—67]. Однако более экономичным методом получения высших полиеновых альдегидов и их аллоксипроизводных является конденсация кротонового альдегида с 1-аллоксидиенами [68]:



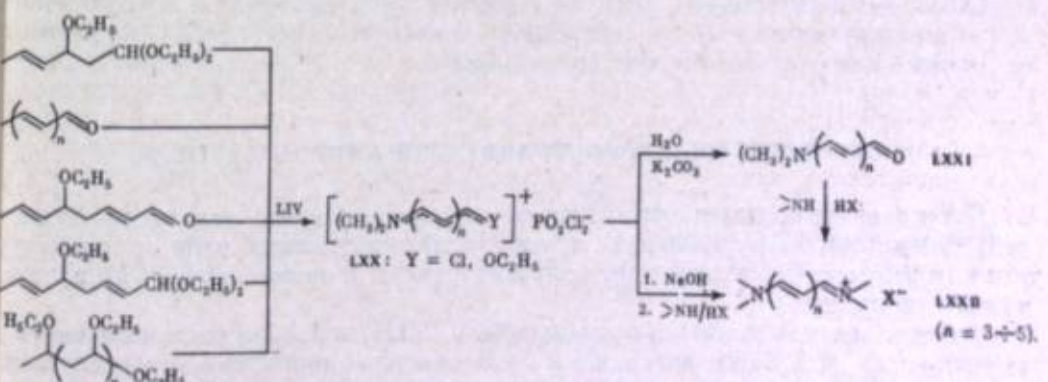
В обоих случаях реакция носит характер теломеризации, однако основными продуктами являются соединения, состоящие из 8 и 12 атомов углерода в цепи.

Для синтеза полиаллоксиалканов предложен еще более простой путь, заключающийся в конденсации ацетала уксусного альдегида с винилалковыми эфирами. Эта реакция также является реакцией теломеризации, однако, меняя соотношения исходных веществ, можно направить синтез в сторону преимущественного образования того или иного теломера [67]:



Этим методом осуществлен синтез полиаллоксиалканов, содержащих от 4 до 10 атомов углерода в цепи.

Изучение реакции аминоформилирования полиеновых альдегидов, аллоксиальдегидов, ацеталей аллоксиальдегидов и полиаллоксиалканов показало [70], что под влиянием сильно электрофильного формилирующего комплекса LIV происходит отщепление всех аллоксильных групп и комплекс присоединяется к образующемуся в результате отщепления полиену. Реакция протекает через образование промежуточного комплекса LXX, который по своему строению является винилогом комплекса Вильсмайера. При обработке водой и раствором поташа комплекс LXX легко превращается в соответствующие полиеновые аминоальдегиды LXXI, а при обработке раствором щелочи и затем первичными или вторичными аминами в кислой среде происходит образование полиметиновых солей LXXII:

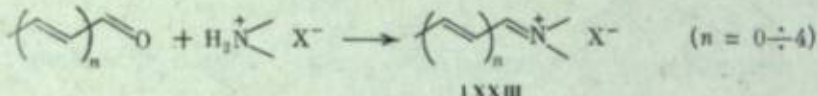


Этим методом осуществлен синтез гента-, иона- и ундекаметиновых солей [70—72].

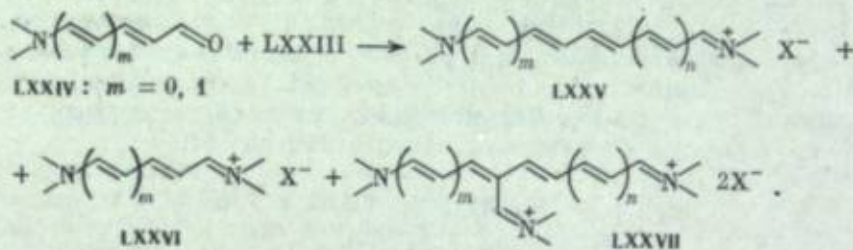
СИНТЕЗ ЦИАНИНОВ НА ОСНОВЕ ПОЛИЕНОВЫХ АМИНОАЛЬДЕГИДОВ

В нашей лаборатории было предпринято детальное изучение взаимодействия солей полиеновых илиденовых оснований с полиеновыми аминоальдегидами, которое в случае успешного протекания реакции могло бы стать одним из наиболее удобных методов синтеза высших полиметиновых солей.

Конденсацией полиеновых альдегидов, полученных по ранее разработанным методам [65, 67], с солями вторичных аминов синтезированы соли илиденовых оснований LXXIII [73]:

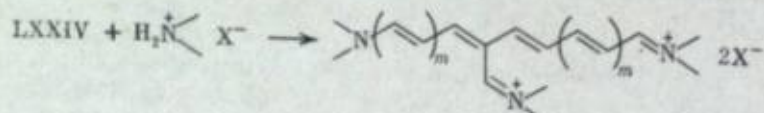


При изучении конденсации солей LXXIII с полиеновыми аминоальдегидами (LXXIV) обнаружено, что эта реакция может протекать одновременно в трех направлениях [74]:



Наряду с получением в небольших количествах ожидаемых продуктов конденсации LXXV в значительной степени наблюдается образование полиметиновых солей исходных аминоальдегидов LXXVI и продуктов самоконденсации полиеновых аминоальдегидов LXXVII, представляющих собой полиметиновые соли с метиниммониевыми заместителями в полиметиновой цепи.

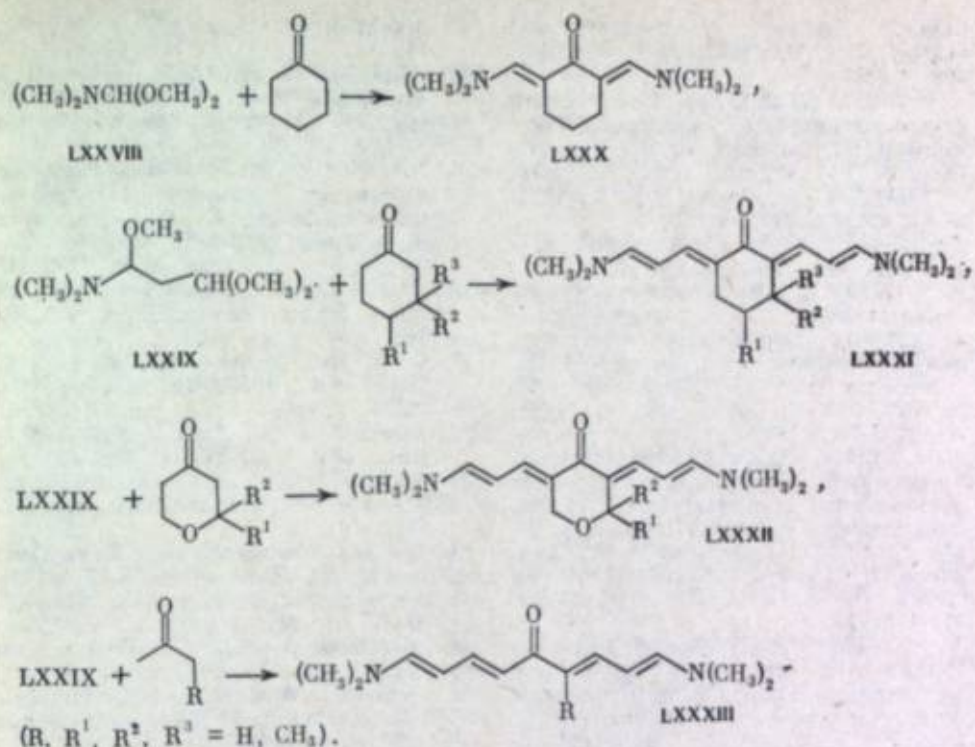
В связи с тем, что процесс самоконденсации полиеновых аминоальдегидов представляет самостоятельный интерес как метод синтеза полиметиновых солей LXXVII и на их основе еще мало исследованных и труднодоступных трехядерных цианиновых красителей, было проведено изучение этого процесса [75]. Самоконденсация протекает очень легко при взаимодействии аминоальдегидов LXXIV с солями вторичных аминов в растворе уксусного ангидрида:



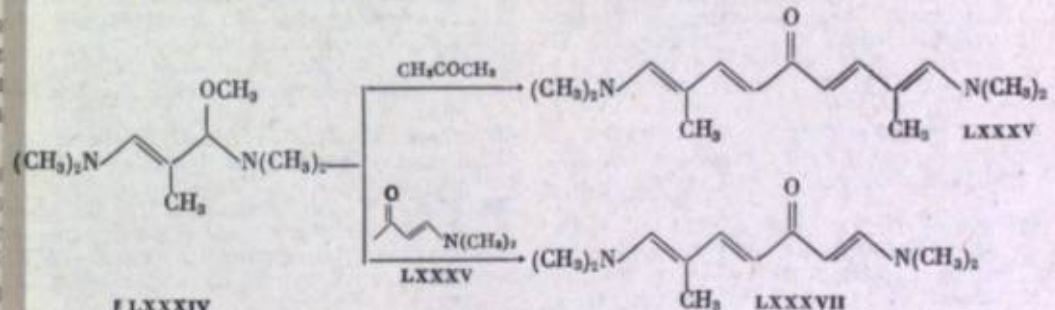
ПОЛУЧЕНИЕ ЦИАНИНОВ ИЗ АЦЕТАЛЕЙ АМИНОАЛЬДЕГИДОВ

В заключение следует остановиться на методе синтеза полиметиновых солей, содержащих алкоxильную группу в *мезо*-положении цепи сопряжения, так как этот метод представляет большой интерес и также основан на превращениях ацеталей.

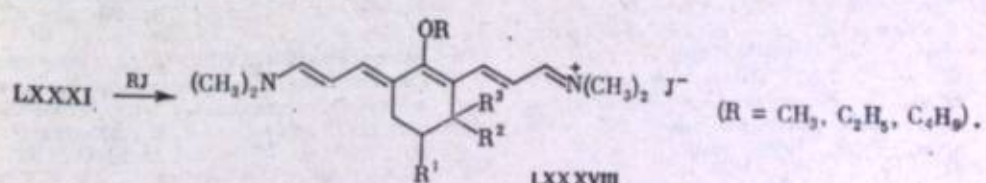
Диметилацеталь диметилформамида (LXXVIII) и 1,3,3- trimетоксидиметиламинопропан (LXXIX) вступают в конденсацию с циклическими и алифатическими кетонами с образованием соответствующих непредельных бисдиметиламинокетонов LXXX—LXXXIII [76—78]:



Ацеталеаминалль LXXIV при взаимодействии с ацетоном или аминокетоном LXXXV образует метилзамещенные непредельные бисдиметиламинокетоны LXXXVI и LXXXVII [79]:



Показано, что непредельные бисдиметиламинокетоны LXXX—LXXXIII и LXXXVI, LXXXVII под действием $(\text{C}_2\text{H}_5)_3\dot{\text{O}}\cdot\text{BF}_4^-$, галогеналкилов или диалкилсульфатов подвергаются алкилированию, которое протекает по кислороду и приводит к образованию соответствующих *мезо*-алкоxиполиметиновых солей. Так, из кетонов LXXXI при алкилировании могут быть получены ионаметиновые соли LXXXVIII [80, 81]:



ЛИТЕРАТУРА

1. König W.—Berichte, 1922, Bd. 55, S. 3293—3297.
2. Hamer F. M.—J. Chem. Soc., 1927, p. 2796—2804; 1928, p. 3160—3163.
3. Brooker L. G. S., White F. L.—J. Amer. Chem. Soc., 1935, vol. 57, p. 2480—2488.
4. Pat. 410487 (Deutschland).
5. А. с. 342874 (СССР). Способ получения индоло-(3)-цианинов/Гневышева Т. Г.

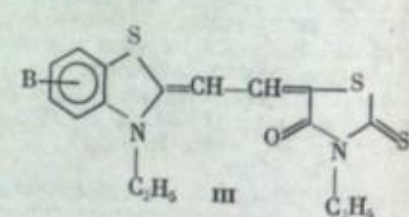
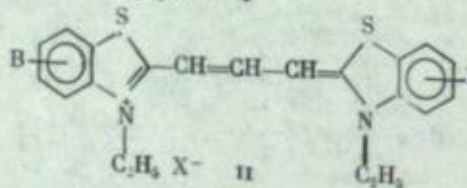
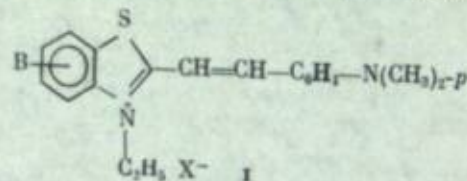
- Заявл. № 1467062/23-4; Опубл. в Б. И., 1972, № 20; МКИ С 09в, 23/08.
6. А. с. 493757 (СССР). Способ получения дикарбониевых красителей/Свешников Н. Н., Формина Л. В., Дурманкина В. В. и др. Заявл. 25.01.74, № 1989473/23-4; Опубл. в Б. И., 1975, № 44; МКИ G 03c, 1/20.
7. Beattie S., Heilbron J. M., Irving F.—J. Chem. Soc., 1932, p. 260—268.
8. А. с. 175393 (СССР). Способ получения симметричных мезо-алкил-мезо-арил-замещенных дикарбониевых красителей/Казыков А. В., Щелкина Е. П., Свешников Н. Н. Заявл. 10.04.63, № 830575/23-4; Опубл. в Б. И., 1965, № 19; МКИ G 03e.
9. А. с. 172338 (СССР). Способ получения γ -алкил(арил)- γ -формилаллилidenовых производных азотсодержащих гетероциклических соединений/Казыков А. В., Щелкина Е. П., Хайрусова Р. Х., Свешников Н. Н. Заявл. 15.11.63, № 865664/23-4; Опубл. в Б. И., 1965, № 13; МКИ C 07d.
10. А. с. 187800 (СССР). Способ получения N-алкил-2-[α -алкил- γ -алкил(арил)- γ -формилаллилiden]-бензтиазолинов/Казыков А. В., Хайрусова Р. Х., Шалонина Е. П. Заявл. 16.04.65, № 1003892/23-4; Опубл. в Б. И., 1966, № 21; МКИ C 07d.
11. А. с. 202149 (СССР). Способ получения алкил(арил, аралкил)перхлоратов δ -алкокси- γ -алкил(арил)бутадиенильных производных гетероциклических оснований/Казыков А. В., Шалонина Е. П. Заявл. 8.12.66, № 1117568/23-4; Опубл. в Б. И., 1967, № 19; МКИ C 07d.
12. Рав. 2459076 (US).
13. Протопопов Г. В., Складник А. И.—Журн. общ. химии, 1957, т. 27, с. 57—62.
14. Назаров И. Н., Макин С. М., Крупчев Б. К.—Журн. общ. химии, 1959, т. 29, с. 3083—3091.
15. Макин С. М., Шаврыгина О. А., Мочалин В. В., Бережная М. И.—Журн. орган. химии, 1969, т. 5, с. 2109—2113.
16. Макин С. М., Абза-Ахмед Исмагил, Бережная М. И.—Журн. орган. химии, 1970, т. 6, с. 453—459.
17. Fisher N. I., Hamer F. M.—J. Chem. Soc., 1933, p. 189—193.
18. Jardine T., Warke W.—Anal., Chem., 1903, Bd. 33, S. 107—111.
19. Макин С. М., Лихошерстов В. М., Шалонина М. П.—Журн. общ. химии, 1964, т. 34, с. 1803—1813.
20. Макин С. М., Тихомиров В. М.—В кн. Конференции «Гетероциклические соединения». Бюл. Наук. журн., 1964, с. 33—34.
21. А. с. 168289 (СССР). Способ получения симметричных мезо-алкил-мезо-арил-замещенных дикарбониевых красителей/Макин С. М., Бойко И. И., Бережная М. И., Кузнецова М. А., Толмачев А. И.—Заявл. 25.01.74, № 1756105/23-4; Опубл. в Б. И., 1974, № 16; МКИ С 09в, 23/08.
22. А. с. 168290 (СССР). Способ получения симметричных мезо-алкил-мезо-арил-замещенных дикарбониевых красителей/Макин С. М., Бойко И. И., Бережная М. И., Кузнецова М. А., Толмачев А. И.—Заявл. 25.01.74, № 1756106/23-4; Опубл. в Б. И., 1974, № 16; МКИ С 09в, 23/08.
23. Журн. орган. химии, 1967, т. 3, с. 74—742.
24. Кошелева Л. М., Береговая Н. И., Шаврыгина О. А., Макин С. М.—МИТХТ им. М. В. Ломоносова, 1970, т. 2, с. 28—32.
25. А. с. 161721 (СССР). Способ получения хлоргидратов динаптолов глутаконового альдегида/Макин С. М., Лихошерстов В. М. Заявл. 14.03.63, № 824557/23-4; Опубл. в Б. И., 1964, № 8; МКИ С 07d.
26. Макин С. М., Лихошерстов В. М.—Журн. орган. химии, 1965, т. 1, с. 64—643.
27. Grahn W., Mrusek M., Reichardt L.—Chem. Ber., 1977, Bd. 110, S. 163—1683.
28. Brooker L. G. S., Keyes G. H.—J. Fin. Inst., 1935, vol. 219, p. 255—262.
29. Макин С. М., Лихошерстов В. М.—Журн. орган. химии, 1965, т. 1, с. 82—837.
30. Макин С. М., Шаврыгина О. А., Бережная М. И., Лихошерстов В. М.—Журн. орган. химии, 1966, т. 2, с. 1349—1350.
31. Макин С. М., Monich N. V., Shavrygina O. A. et al.—Tetrahedron, 1968, vol. 25, p. 4939—4948.
32. Макин С. М., Монич Н. В., Шаврыгина О. А. и др.—Журн. орган. химии, 1970, т. 6, с. 107—112.
33. А. с. 175966 (СССР). Способ получения солей динаптолов или бистетрагидро-полидиолов полиэндиалей/Макин С. М., Хейфер С. А., Монич Н. В., Лихошерстов В. М. Заявл. 25.06.64, № 9070/23-4; Опубл. в Б. И., 1965, № 1; МКИ С 07d.
34. Макин С. М., Абза-Ахмед Исмагил, Журн. орган. химии, 1970, т. 6, с. 150—1505.
35. Макин С. М., Бойко И. И., Бойко И. и др.—Журн. орган. химии, 1970, т. 12, с. 1451—1456.
36. Макин С. М., Бойко И. И., Покровская А. И.—В кн. «Новые в химии азотсодержащих гетероциклов» (Рига, 1979). Тех. дока. Рига: Зипатне, 1979, т. с. 29.
37. Бойко И. И., Бережная М. И., Макин С. М.—Тр. МИТХТ им. М. В. Ломоносова, 1976, т. 6, с. 58—64.
38. А. с. 603297 (СССР). Новые для γ -изоцетиониновые соединения в качестве и межкуточных соединений для синтеза лимониевых красителей/Макин С. М., Монич Н. В., Бережная М. И., Бойко И. И.—Заявл. 12.07.70, № 1932815/23-4; Опубл. в Б. И., 1975, № 3; МКИ С 07c, 87/48.
39. А. с. 603298 (СССР). Способ получения симметричных мезо-алкил-мезо-арил-замещенных дикарбониевых красителей/Макин С. М., Тихомиров В. М., Бережная М. И., Кузнецова М. А., Толмачев А. И.—Заявл. 26.01.70, № 1932816/23-4; Опубл. в Б. И., 1974, № 16; МКИ С 09в, 23/08.
40. А. с. 603299 (СССР). Способ получения симметричных мезо-алкил-мезо-арил-замещенных дикарбониевых красителей/Макин С. М., Тихомиров В. М., Бережная М. И., Кузнецова М. А., Толмачев А. И.—Заявл. 26.01.70, № 1932817/23-4; Опубл. в Б. И., 1974, № 16; МКИ С 09в, 23/08.
41. Arnold Z., Sorm F.—Coll. Czechosl. Chem. Commun., 1958, год. 23, с. 452—461.
42. А. с. 415256 (СССР). Способ получения тридекаметиленовых солей/Макин С. М., Вомпе А. Ф., Монич Н. М., Бережная М. И. Заявл. 3.03.72, № 1756105/23-4; Опубл. в Б. И., 1974, № 6; МКИ С 07c, 87/30.
43. Arnold Z., Sorm F.—Coll. Czechosl. Chem. Commun., 1958, год. 23, с. 452—461.
44. Arnold Z.—Coll. Czechosl. Chem. Commun., 1960, год. 25, с. 1308—1312.
45. Arnold Z., Holy A.—Coll. Czechosl. Chem. Commun., 1965, год. 30, с. 47.
46. Pat. 43168 (DDR).
47. Nikolajewski H.-E., Dähne S., Hirsch B.—Chem. Ber., 1967, Bd. 100, S. 2616—2619.
48. Arnold Z., Holy A.—Coll. Czechosl. Chem. Commun., 1962, год. 27, с. 2886—2892.
49. Макин С. М., Шаврыгина О. А., Бережная М. И., Колобова Т. П.—Журн. орган. химии, 1972, т. 8, с. 1394—1396.
50. А. с. 707946 (СССР). Способ получения замещенных в мезо-положении дикарбониевых красителей/Макин С. М., Помогаев А. И. Заявл. 25.05.77, № 2488737/23-05; Опубл. в Б. И., 1980, № 1; МКИ С 09в, 23/08.
51. Макин С. М., Бойко И. И., Шаврыгина О. А.—Журн. орган. химии, 1977, т. 13, с. 1189—1192.
52. А. с. 437379 (СССР). Способ получения солей динаптолов 2,4-полиметиленглутаконового альдегида/Макин С. М., Бойко И. И. Заявл. 16.03.73, № 1894871/23-4; Опубл. в Б. И., 1975, № 27; МКИ С 07c, 87/48.
53. А. с. 457892 (СССР). Способ получения солей динаптолов 2,4-триметиленглутаконового альдегида и их алкилпреизводных/Макин С. М., Бойко И. И. Заявл. 12.06.73, № 1932815/23-4; Опубл. в Б. И., 1975, № 3; МКИ С 07c, 87/48.
54. Макин С. М., Бойко И. И., Бережная М. И., Бойко Г. Н.—Журн. орган. химии, 1974, т. 10, с. 24—27.
55. Макин С. М., Бойко Г. Н., Бойко И. И. и др.—Журн. орган. химии, 1976, т. 12, с. 1451—1455.
56. Макин С. М., Бойко Г. Н., Бойко И. И., Шаврыгина О. А.—Тр. МИТХТ им. М. В. Ломоносова, 1976, т. 6, с. 65.
57. А. с. 299563 (СССР). Способ получения солей динаптолов $\beta\beta$ -полиметиленглутаконовых дигалоидов/Слонинский Ю. Л., Кузнецова М. А., Толмачев А. И. Заявл. 23.12.69, № 1388388/23-4; Опубл. в Б. И., 1971, № 12; МКИ С 09в, 47/38.
58. Zimmler J., Arnold Z.—Coll. Czechosl. Chem. Commun., 1961, год. 26, с. 2852.
59. А. с. 2042158 (СССР). Способ получения солей динаптолов β -изоцетиониновых- α,α' -дигалоидов/Слонинский Ю. Л., Кузнецова М. А., Толмачев А. И. Заявл. 2.05.71, № 1654292/23-4; Опубл. в Б. И., 1973, № 34; МКИ С 09в, 47/38.
60. Слонинский Ю. Л., Райченко Е. А., Толмачев А. И.—Журн. орган. химии, 1976, т. 12, с. 2256—2261.
61. Слонинский Ю. Л., Шулежко Л. М.—Укр. хим. журн., 1974, т. 40, с. 625.
62. Макин С. М., Бойко И. И., Шаврыгина О. А.—Журн. орган. химии, 1977, т. 13, с. 2440—2443.
63. А. с. 420643 (СССР). Способ получения трикарбониевых красителей/Слонинский Ю. Л., Толмачев А. И., Родова И. З. Заявл. 7.05.71, № 1655454/23-4; Опубл. в Б. И., 1974, № 11; МКИ С 09в, 23/08.
64. Arnold Z., Holy A.—Coll. Czechosl. Chem. Commun., 1961, год. 26, с. 3059—3073.
65. Назаров И. Н., Назарова И. И., Торцов И. В.—Докл. АН СССР, 1958, т. 122, с. 82—85.
66. Назаров И. Н., Красная Ж. А.—Журн. общ. химии, 1958, т. 28, с. 2440—2448.
67. Макин С. М., Судакова В. С.—Журн. общ. химии, 1962, т. 32, с. 3161—3166.
68. Красная Ж. А., Кучеров В. Ф.—Журн. общ. химии, 1960, т. 30, с. 3918—3926.
69. Макин С. М., Рожков И. Н., Судакова В. С.—Журн. общ. химии, 1962, т. 32, с. 3166—3170.
70. Макин С. М., Шаврыгина О. А., Бережная М. И., Кирьянова Г. В.—Журн. орган. химии, 1972, т. 8, с. 674—677.
71. А. с. 292964 (СССР). Способ получения понаметиленовых солей/Макин С. М., Шаврыгина О. А. Заявл. 11.07.69, № 1347808/23-4; Опубл. в Б. И., 1971, № 5; МКИ С 07c, 87/14.
72. А. с. 305174 (СССР). Способ получения полиметиленов/Макин С. М., Шаврыгина О. А. Заявл. 11.07.69, № 1347808/23-4; Опубл. в Б. И., 1971, № 18; МКИ С 09в, 23/08.
73. Колобова Т. П., Бережная М. И., Макин С. М.—Тр. МИТХТ им. М. В. Ломоносова, 1973, т. 3, с. 56—59.
74. Макин С. М., Колобова Т. П., Бережная М. И.—Успехи науч. фотографии, 1976, т. 17, с. 171—174.
75. А. с. 411424 (СССР). Способ получения полиметиленовых солей/Макин С. М., Колобова Т. П. Заявл. 22.09.71, № 1700587/23-4; Опубл. в Б. И., 1974, № 2; МКИ G 02c, 1/12.
76. А. с. 479758 (СССР). Способ получения симметричных бис(дигалоидизоцетионинов)/Красная Ж. А., Стасицкая Т. С., Проньков Е. П. и др. Заявл. 15.02.74, № 199272/23-4; Опубл. в Б. И., 1975, № 29; МКИ С 07c, 97/02.
77. Красная Ж. А., Стасицкая Т. С., Проньков Е. П., Кирюков В. Ф.—Изв. АН СССР. Сер. хим., 1976, с. 505—509.
78. Красная Ж. А., Стасицкая Т. С., Проньков Е. П., Кирюков В. Ф.—Изв. АН СССР. Сер. хим., 1978, с. 456—459.
79. Красная Ж. А., Стасицкая Т. С., Проньков Е. П., Кирюков В. Ф.—Изв. АН СССР. Сер. хим., 1978, с. 123—129.
80. А. с. 536465 (СССР). Способ получения 5-алкенилинаметиленовых солей/Красная Ж. А., Стасицкая Т. С., Проньков Е. П., Кирюков В. Ф. Заявл. 22.04.75, № 2122806/23-4; Опубл. в Б. И., 1976, № 43; МКИ С 07c, 87/30.
81. Красная Ж. А., Стасицкая Т. С., Проньков Е. П., Кирюков В. Ф.—Изв. АН СССР. Сер. хим., 1978, с. 392—396.

ФТОРСОДЕРЖАЩИЕ ЦИАНИНОВЫЕ КРАСИТЕЛИ

Фторсодержащие тиацианины впервые были описаны А. И. Киприановом и Л. М. Ягупольским в 1950 г. [1]. С тех пор опубликовано значительное количество работ, посвященных разработке синтеза различных типов полиметиновых красителей с атомами фтора и фторсодержащими заместителями, а также изучению их свойств. В настоящем обзоре обсуждены основные результаты по изучению влияния атомов фтора и фторсодержащих заместителей в гетеростатке и полиметиновой цепи полиметиновых красителей на их окраску, основное и фотографическую эффективность.

КРАСИТЕЛИ С ЗАМЕСТИТЕЛЯМИ В ГЕТЕРОЦИКЛИЧЕСКИХ ЯДРАХ

Влияние атомов фтора и фторсодержащих заместителей в гетероциклических ядрах на спектры поглощения впервые изучено на примере производных бензотиазола — красителей-стирилов (I), карбоцианинов (II) и мероцианинов (III), максимумы поглощения которых приведены в табл. 1 [1—11].



Описаны также тиамонометин-, ди- и трикарбоцианины с заместителями 6-F [1], 5-CF₃ [2], 5-SCF₃ [8], 6-SCF₃ [8], пентакарбоцианины с группами 5-CF₃, 5-SO₂CF₃ [7], мезо-метил(этил)карбоцианины с заместителями 5- и 6-[1,2], 5-CF₃ [2], 5- и 6-OCF₃ [6], 5- и 6-SCF₃ [8], 5- и 6-NHCOCF₃ [11], 6-SeCF₃ [10]. Известны некоторые несимметричные красители [1, 2, 8, 12], а также тетразамещенные карбоцианины с группой OCF₃ в положении 5, группами OJ, SCH₃, NH₂, NHCOCF₃ в положении 6 [13] и группировкой OCF₂O в положении 5, 6 [6].

В тиакарбоцианинах (ТКЦ) все фторсодержащие заместители, кроме групп CF₃ и SO₂CF₃ в положении 5, оказывают батохромные эффекты вследствие удлинения хромофорной системы. Заместители в положении 6 бензотиазольных ядер обуславливают, как правило, большие батохромные эффекты, чем в положении 5, так как они сопряжены с атомами азота гетероциклических ядер. Ди-заместители в положениях 5, 6 вызывают аддитивные смещения максимумов поглощения [13].

Основность ТКЦ II [14] и электронодонорность гетеростатков [15, 16] поникаются при введении в бензольное ядро фторсодержащих заместителей с положительными значениями σ_n -констант [17]. Для ТКЦ II, содержащих в положениях 6, 6' как электронодонорные, так и электроноакцепторные заместители (B), найдена превосходная корреляционная зависимость между основностью красителей pK_a и σ_n -константами [14, 18]:

$$pK_a = -0.65 - 1.19\sigma_n$$

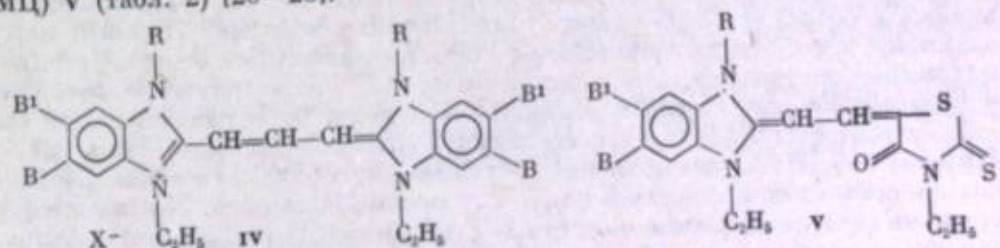
Установлена также линейная зависимость $E_{1/2}^{\text{Red(Ox)}}$ от σ_n -констант заместите-

Таблица 1
Максимумы поглощения (нм) тиацианиновых красителей I—III в этаноле

B	I		II		III	
	λ	$\Delta\lambda$	λ	$\Delta\lambda$	λ	$\Delta\lambda$
H	530		558		524	
5-F			562 [2]	4		
6-F	534 [1]	4	558 [1]	0		
5-CF ₃	540 [2]	10	557 [2]	-1		
6-CF ₃	548 [3]	18	561 [3]	3		
5-CF ₃ , 6-CF ₃			557 [4]	-1		
6-CH=CHCF ₃	550 [5]	20	582 [5]	24	530 [5]	6
6-CF=CFCF ₃	556 [5]	26	579 [5]	21	525 [5]	1
5-OCF ₃	545 [6]	15	561 [6]	3		
6-OCF ₃	540 [6]	10	560 [6]	2		
5-SCF ₃	543 [8]	13	560 [2, 8]	2		
6-SCF ₃	540 [2]	10	568 [8]	10		
5-SO ₂ CF ₃	555 [9]	25	556 [9]	-2	505 [3]	-19
6-SO ₂ CF ₃	566 [3]	36	575 [3]	17	543 [3]	-11
6-SeCF ₃	549 [10]	19	570 [10]	12	522 [10]	-2
5-NHCOCF ₃			573 [11]	15	526 [11]	2
6-NHCOCF ₃			580 [11]	22	532 [11]	8
5-NHSO ₂ CF ₃			562 [11]	4		
6-NHSO ₂ CF ₃			565 [11]	7		

В несимметричных красителях-стирилах I вследствие понижения электронодонорности бензотиазольного ядра уменьшается электронная асимметрия и девиация. Это приводит к тому, что фторсодержащие заместители оказывают в красителях-стирилах более сильные батохромные эффекты, чем в ТКЦ. В противоположность этому в мероцианинах, производных роданина, обладающего высокой электронодонорностью [15], фторсодержащие заместители вызывают увеличение электронной асимметрии и возрастание девиации, вследствие чего спектральный эффект $\Delta\lambda$ уменьшается или даже становится гипсохромным ($\Delta\lambda < 0$).

Наиболее детально изучено влияние фторсодержащих заместителей в ядрах на свойства имидакарбоцианинов (ИКЦ) IV и имидадиметимероцианинов (ИМЦ) V (табл. 2) [20—28].



Описаны ИКЦ IV и ИМЦ V, содержащие в ядрах заместители SO₂CF₂CFH₂, SO₂CF₂CHClF, SO₂CF₂CHFCF₃ [29], SO₂CH₂SO₂CF₃ [24], CH=CH-CF₃, CF=CFCF₃ [5, 21], N=NCF₃ [11], красители с двумя заместителями CF₃, COOCH₃ [28], CF₂OCH₂, OCF₂O [20], OCF₃, Cl [21], SO₂CF₃, OCH₃ [21], 5-SO₂CF₃, 7-Cl [30], 5-CF₃, 7-CF₃ [30], имидади- и трикарбоцианины с группами SO₂CF₃ в ядрах [25, 31], а также ИКЦ, содержащие у атома азота заместители R = (CH₂)_nCF₃, CF₂CHF₂ [32, 33] и др. [34] и красители-стирилы с заместителями CF=CFCI, CF=CFCF₃ у атомов азота [33, 35, 36].

При введении фторсодержащих заместителей в гетеростатки ИКЦ IV спектральные эффекты существенно больше, чем наблюдавшиеся в ряду ТКЦ II;

Таблица 2

Максимумы поглощения (нм) красителей IV и V в этаноле

B	B ₁	IV			V	
		λ	Δλ	λ	Δλ	
<i>R = C₆H₅</i>						
H	H	498		514 [21]		
F	H	502 [20, 21]	4	515 [20]	1	
CF ₃	H	501 [22]	3	515 [21]	—	
C(CF ₃) ₂	H	504 [23]	6	514 [23]	0	
OCF ₃	H	502 [20]	4	518 [20]	4	
SCF ₃	H	511 [10, 20]	13	520 [20, 21]	6	
SeCF ₃	H	510 [10]	12	520 [10]	6	
SO ₂ CF ₃	H	516 [20, 24]	18	520 [21, 25]	6	
SO ₂ CF ₂	H	522 [21, 22]	24	524 [20, 21]	10	
SO ₂ CHF ₂	H	515 [26]	17	519 [26]	5	
SO ₂ CF ₂ CF ₃	H	525 [25]	27	525 [27]	11	
SO ₂ CF(CF ₃) ₂	H	526 [27]	28	525 [27]	11	
SO ₂ C(CF ₃) ₂	H	528 [27]	30	525 [27]	11	
N(CF ₃) ₂	H	502 [11]	4	514 [11]	0	
F	F	506 [20]	8	518 [20]	4	
CF ₃	CF ₃	506 [4, 28]	8	514 [4]	0	
F	CF ₃	507 [4]	9	516 [4]	2	
SO ₂ CF ₂	F	527 [21]	29	526 [21]	12	
<i>R = C₆H₅</i>						
H	H	508 [21, 28]	—	519 [21]	—	
F	H	512 [20]	4	—	—	
CF ₃	H	511 [22]	3	—	—	
SCF ₃	H	517 [25]	9	511 [22]	—8	
SO ₂ CF ₃	H	520 [25]	12	520 [25]	1	
SO ₂ CF ₂	H	525 [22]	17	520 [25]	1	
F	F	515 [20]	7	521 [20]	2	
SO ₂ CF ₃	Cl	531 [21]	23	522 [21]	3	
CF ₃	Cl	518 [20]	10	519 [20]	0	

например, при $B = SO_2CF_3$ $\Delta\lambda$ составляет 25 и 17 нм соответственно. Большее батохромное влияние электроакцепторных заместителей в ряду имидакарбонианов объясняется не только удлинением хромофорной системы, но, по-видимому, и тем, что их сопряжение с одним из атомов азота бензимидазольного цикла снижает гипсохромное влияние азота, если рассматривать его как электронодонорный заместитель в полиметиновой цепи. Этим гипсохромным влиянием в соответствии с представлениями Фэрстера—Дьюара—Нотта [37—39] (правило ФДН) можно объяснить более высокую окраску имидакарбонианов по сравнению с окраской индо- или тиакарбонианов. Замена этильных групп на фенильные у атомов азота ИКЦ (IV: $R = C_6H_5$) уменьшает электронодонорность и гипсохромное влияние атомов азота, поэтому эти красители более глубоко окрашены, чем аналогичные красители IV, где $R = C_2H_5$. Фторсодержащие заместители в положениях 5(6) снижают электронодонорное влияние атомов азота (в красителях с $R = C_2H_5$ сильнее, чем с $R = C_6H_5$) и поэтому оказывают большее батохромное влияние на спектры поглощения имидакарбонианов, чем тиакарбонианов.

Для 5,5'-дизамещенных ИКЦ (IV) также найдены корреляционные уравнения $pK_a = f(\sigma_n)$ [14, 18]:

$$pK_a = 5,83 - 3,22\sigma_n (B) \quad (IV: R = C_6H_5),$$

$$pK_a = 4,17 - 3,16\sigma_n (B) \quad (IV: R = C_2H_5).$$

Таблица 3

Максимумы поглощения (нм) красителей, производных пиридина [45, 46], тиазола [46], 2-хинолина [47—49] и 4-хинолина [47—50]

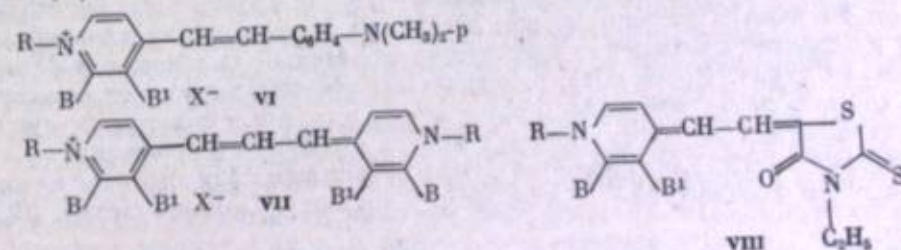
Гетероциклическое ядро	B	B ₁	Красители-стирилы	Карбоцианины		Мероцианины
				λ	Δλ	
II	CH ₃	C ₂ F ₇	H	—	—	643 43 584 19
	C ₂ H ₅	C ₂ F ₇	H	547	67	645 42 — —
	C ₂ H ₅	C ₂ F ₇	C ₂ F ₇	533	53	610 7 567 17
	CH ₃	(CF ₂) ₂ C ₆ H ₅	H	526	—	— — — —
T	—	—	—	—	—	563 13 524 45
X	CH ₃	H	CF ₃	571	49	637 32 575 7
	C ₂ H ₅	F	H	536	9	612 7 572 4
	C ₂ H ₅	CF ₃	H	558	31	608 3 570 2
	C ₂ H ₅	OCF ₃	H	548	21	610 5 — —
	C ₂ H ₅	SCF ₃	H	560	33	617 12 568 0
	C ₂ H ₅	SO ₂ CF ₃	H	586	59	623 18 — —
L	CH ₃	H	CF ₃	632	86	731 25 588 28
	C ₂ H ₅	F	H	564	48	718 7 625 11
	C ₂ H ₅	CF ₃	H	580	34	717 6 621 7
	C ₂ H ₅	OCF ₃	H	576	30	720 9 — —
	C ₂ H ₅	SCF ₃	H	584	38	730 10 618 4
	C ₂ H ₅	SO ₂ CF ₃	H	626	80	745 34 618 4

Из них следует, что понижение основности ИКЦ, вызываемое введением электроакцепторных заместителей, значительно больше, чем в ряду ТКЦ II ($\rho = -3,2$ и 1,19 соответственно). Зависимости $E^{\text{Red(Ox)}}_{1/2} = f(\sigma_n)$ также линейны [40].

В ряду 5,5',6,6'-тетразамещенных ИКЦ (IV) λ_{max} и pK_a , как правило, изменяются аддитивно. Это не касается заместителей, взаимодействующих между собой (CH_3O , F и SO_2CF_3), или объемистых заместителей, копланарность которых нарушается вследствие пространственных затруднений ($B = COOC_2H_5$, $B^1 = Cl$, Br, J, CF₃, COOC₂H₅) [41, 42]. При введении атомов фтора в положение 5,5' ИКЦ IV наблюдается небольшое углубление окраски ($\Delta\lambda = 4$ нм). В противоположность этому замена всех атомов водорода в бензольных ядрах атомами фтора вызывает гипсохромный сдвиг максимума поглощения (-6 нм) [43].

Для мероцианинов III и V найдены линейные корреляционные зависимости между частотами поглощения карбонильных групп, девиациями в хлороформе и константами σ_n заместителей в ядрах [44].

В табл. 3 приведены максимумы поглощения красителей-стирилов VI, цианиновых красителей VII и мероцианинов VIII, содержащих ядра 4-пиридина (II), и аналогичных красителей с ядрами тиазола (T), 2-хинолина (X) и 4-хинолина (L).



Из таблицы видно, что батохромное влияние перфторалкильных групп на спектры поглощения симметричных карбонианов особенно велико в тех кра-

Таблица 4

Спектральные эффекты $\Delta\lambda$ фторсодержащих заместителей В в положении 6 красителей производных бензтиазола (Бт), бензимидазола (Би), 2-хинолина (Х), 4-хинолина (Л)

В	Бт			Би			Х			Л		
	С	Ц	М	С	Ц	М	С	Ц	М	С	Ц	М
F	4	0			4	1	9	7	4	18	7	11
CF ₃	18	3			3	1	31	3	2	34	6	7
OCF ₃	10	2			4	4	21	5		30	9	
SCF ₃	10	10			13	6	33	12	0	38	10	4
SO ₂ CF ₃	36	17	-11	53	18	10	59	18		80	34	4
SO ₂ C(CF ₃) ₃				58	30	11						

Примечание. С — красители-стирилы, Ц — карбоцианины, М — мероцианины (производные роданий).

сителях, в которых эти заместители введены непосредственно в гетероциклическое ядро. Заместители в конденсированных бензольных кольцах влияют слабее.

Введение перфторалкильных групп в α -положение гетероциклического кольца (VI: В = C₃F₇; В¹ = H) вызывает больший батохромный сдвиг, чем введенных в β -положение (В = H; В¹ = C₃F₇).

Батохромное влияние заместителей увеличивается с ростом их электрон-акцепторности. Наиболее электроноакцепторная группа SO₂CF₃ в положениях 6, 6' хино-2- и хино-4-карбоцианинов смещает полосы поглощения в длинноволновую область на 18 и 34 нм соответственно.

Фторсодержащие заместители, понижающие электронодонорность исследованных гетероциклических остатков, обусловливают в ряду красителей-стирилов уменьшение девиаций, а в ряду мероцианинов — их увеличение. Следствием этого является то, что батохромные спектральные эффекты ($\Delta\lambda$) у первых больше, а у вторых меньше (или даже $\Delta\lambda < 0$), чем у соответствующих симметричных карбоцианинов.

В табл. 4 сопоставлены спектральные эффекты заместителей в красителях с различными гетероциклическими ядрами. Видно, что эти эффекты минимальны в производных бензтиазола, больше в производных бензимидазола и 2-хинолина и максимальны в красителях, производных 4-хинолина.

Мероцианины, как правило, проявляют положительную сольватохромию, т. е. в полярных растворителях (спиртах) имеют более глубокую окраску, чем в неполярных (бензол) или менее полярных (хлороформ) [45—50]. Исключение составляют мероцианины с бензимидазольным циклом, проявляющие отрицательную сольватохромию [20, 21].

КРАСИТЕЛИ С ФТОРСОДЕРЖАЩИМИ ЗАМЕСТИТЕЛЯМИ В ПОЛИМЕТИНОВОЙ ЦЕПИ

Влияние фторсодержащих заместителей в полиметиновой цепи на окраску красителей главным образом изучено на производных бензтиазола (табл. 5). Из данных таблицы видно, что атомы фтора в полиметиновой цепи влияют на спектры поглощения красителей значительно сильнее, чем в гетероциклических ядрах. Кроме того, спектральные эффекты зависят от положения атомов фтора в цепи: введение атомов фтора в α - и α, γ -положения смещает полосу поглощения в область длинных волн, а введение в β -положение — в область коротких волн. Такое влияние электронодонорных заместителей находится в хорошем соответствии с правилом Фёрстера—Дьюара—Нотта (ФДН) [64, 65].

Таким образом, атом фтора в полиметиновой цепи влияет на спектры поглощения красителей как электронодонорный заместитель, несмотря на то что его электронодонорный эффект сопряжения меньше, чем электроноакцептор-

Таблица 5

Максимумы поглощения (нм) цианиновых красителей, содержащих в цепи атомы фтора

Краситель	λ	$\Delta\lambda$
Бт—CF=Бт'	453 [51, 52]	30
Бт*—CF=CH—CH=Бт*	567 [53]	9
Бт—CF=CH—CH=Бт'	575 [54, 55]	17
Бт*—CH=CF—CH=Бт*	522 [56]	-36
Бт*—CF=CH—CF=Бт*	592 [57]	34
Бт—CF=CH—CF=Бт'	605 [51]	47
Бт*—CF=CF—CH=Бт*	545 [53, 58]	-13
Бт—CF=CF—CH=Бт'	547 [54]	-11
Бт*—CF=CF—CF=Бт*	578 [58, 59]	20
Бт—CF=CH—CH=CH=CF=Бт'	703 [54]	51
Бт—CH=CH—CF=CH—CH=Бт'	666 [60]	16
Бт*—CF=CH—C ₆ H ₄ N(CH ₃) ₂ -P	525 [57]	-3
Бт—CF=CH—C ₆ H ₄ N(CH ₃) ₂ -P	532 [51]	2
Бт—CF=CF—C ₆ H ₄ N(C ₂ H ₅) ₂ -P	530 [54]	0
Бт*—CF—CH=P	547 [57]	23
Бт*—CF=CH—CH=CH—C ₆ H ₄ N(CH ₃) ₂ -P	570 [61]	-2
Бт*—CF=CH—CH=C[N(CH ₃) ₂]-C ₆ H ₄ N(CH ₃) ₂ -P	523 [61]	17
Бо*—CF=CH—CH=Бо'	500 [62]	18
Бо*—CF=CH—CF=Бо'	517 [62]	35
Бо—CF=CH—CF=Бо'	518 [62]	35
Бо—CF=CH—C ₆ H ₄ N(CH ₃) ₂ -P	492 [62]	-4
Бо'=CF—CH=P	513 [62]	21
X*—CF=CH—CH=X*	640	35
X—CH=CH—CF=CH—CH=X'	717 [60, 63]	7
И—CH=CH—CF=CH—CH=И'	654 [60, 63]	18
Бс—CH=CH—CF=CH—CH=Бс'	675 [60]	15

Примечание. Бт — бензтиазол, Бо — бензимидазол, Х — хинолин-2, И — индоленин, Бс — бензиселена-зол, Р — роданин; те же обозначения со штрихом — гетероциклические остатки в их электронодонорной форме.

* У атомов взята гетероциклическая метильные группы, в остальных случаях — этильные.

ный индуктивный эффект ($\sigma_{\text{и}} = +0,52$, $\sigma_{\text{e}} = -0,35$ [14]). Это объясняется тем, что эффект сопряжения заместителей в цепи оказывает более сильное влияние на спектр поглощения красителя, чем индуктивный эффект [64—66].

Спектральные эффекты заместителей в полиметиновом хромофоре зависят не только от электронной природы заместителя и его положения в цепи, но также от пространственных затруднений, вызванных заместителем. Эти затруднения могут приводить к цис-транс-изомеризации или нарушениям колланарности молекул красителей вследствие поворотов вокруг связей. В том случае, когда заместитель невелик по размеру и не вносит пространственных помех, особенно четко проявляется его электронное влияние на окраску полиметиновых красителей. Атом фтора является именно таким заместителем.

Введение одного атома фтора в α -положение цепи тиакарбоцианина смещает полосу поглощения красителя на 9 нм, а двух атомов фтора в α - и γ -положения — на 34 нм, т. е. больше, чем удвоенный эффект одного атома. Это свидетельствует о том, что атом фтора в α -положении нарушает электронную симметрию молекул красителей, причем бензтиазольный остаток с атомами фтора в α -положении является более электронодонорным, чем незамещенный [67]. Вследствие этого является более электронодонорным, чем незамещенный [67]. Вследствие этого в красителях-стирилах с атомом фтора в α -положении девиация больше, чем в незамещенных красителях, и атомы фтора проявляют даже больший гипсохромный спектральный эффект (-3 нм) вопреки правилу ФДН, чем в симметричных красителях — тиакарбоцианинах (17 нм в расчете на один атом фтора).

Таблица 6

Максимумы поглощения (нм) цианиновых красителей с фторалкильными группами в полиметиновой цепи в этаноле

Краситель	λ , нм	$\Delta\lambda$
Бт*—CH=C(CH ₃)—CH=Бт*	540 [68]	-18
Бт*—CH=C(CH ₂ F)—CH=Бт*	548 [51]	-10
Бт*—CH=C(CHF ₂)—CH=Бт*	568 [56]	10
Бт*—CH=C(CF ₃)—CH=Бт*	581 [56]	23
Бт*—CH=C(C ₂ F ₅)—CH=Бт*	590 [56]	32
Бт*—CH=C(C ₃ F ₇)—CH=Бт*	593 [56]	35
Бо*—CH=C(CF ₃)—CH=Бо*	525 [62]	43
X—CH=C(CH ₃)—CH=X'	649 [69]	43
X—CH=C(CF ₃)—CH=X'	645 [56]	39
X—CH=C(CF ₃)—CH=Бт'	614 [56]	32
Бт'=CH—C(CH ₃)=P	532 [70]	11
Бт*=CH—C(CH ₂ F)=P*	538 [56]	17
Бт*=CH—C(CHF ₂)=P*	549 [56]	28
Бт*=CH—C(CF ₃)=P*	555 [56]	34
Би*—CH—C(CF ₃)=P*	486 [56]	-25
Бт*—CF=C(CF ₃)—CH=Бт*	627 [71]	69
Бо*—CF=C(CF ₃)—CH=Бо*	637 ** [71]	79
Бт*—CF=C(CF ₃)—CH=И*	556 [62]	74
Бт*—CF=C(CF ₃)—CH=Бт*	587 [71]	-
Бт*—C(OCH ₃)=C(CF ₃)—CH=Бт*	582 [71]	-
Бт*—CF—C(CF ₃)=P*	624 [71]	66
Бт*—CF—C(CH ₃)—CH=Бт*	597 [71]	76
Бт*—CF—C(CF ₃)—C(OH)=Бт*	573 [72]	15
Бт*—C(OCH ₃)=C(CF ₃)—C(OH)=Бт*	672 ** [72]	114
Бт*—CH=C(CN)—CH=Бт*	644 ** [72]	86
Бт*—CF=C(CN)—CH=Бт*	610 ** [73]	54
Бт*—C(CN)=CH—CH=Бт*	630 ** [73]	74
Бт*—C(CN)=CF—CH=Бт*	523 ** [73]	-33
Бт*—C(CN)=CH—C ₆ H ₄ N(CH ₃) ₂ -P	495 ** [73]	-61
Бт*—CH=C(CF ₃)—C ₆ H ₄ N(CH ₃) ₂ -P	475 [67]	-53
Бт*—CH=C(CF ₃)—C ₆ H ₄ N(CH ₃) ₂ -P	530 [67]	2
Бт*—C(COCF ₃)=CH—C ₆ H ₄ N(CH ₃) ₂ -P	480 ** [67]	-52
Бт*—C(COCF ₃)=CH—CH=CH—C ₆ H ₄ N(CH ₃) ₂ -P	580 ** [61]	8
Бт*—CH=CF—N=Бт'	451 ** [74]	-16
Бт*—CF=CF—N=Бт'	477 ** [75, 76]	10
Бт*—CH=C(CF ₃)—N=Бт'	514 ** [74]	45
Бт*—CH=C(C ₂ F ₅)—N=Бт'	453 [76]	-14
Бт*—CH=C(C ₃ F ₇)—N=Бт'	439 [76]	-28
Бт*—CF=C(CF ₃)—N=Бт'	437 [76]	-30
	490 [76]	-7

* У атомов азота гетероциклов металлические группы, в остальных случаях — этильные.
** Приведены максимумы поглощения в пирометане.

В мероцианине, наоборот, девиация уменьшается и спектральный эффект ато- ма фтора увеличивается (+23 нм). Аналогичное изменение окраски наблюдает- ся в ряду производных бензоксазола.

Таким образом, атомы фтора в α -положении цепи увеличивают электроно- дононорность гетеростатков, а в гетероциклических ядрах уменьшают, вследст- вие чего спектральные эффекты атомов фтора в ряду красители-стирилы — кар- боцианины — мероцианины в этих двух случаях изменяются в различных на- правлениях.

Атом фтора в β -положении оказывает гипсохромный эффект в соответствии с правилом ФДН. В α, β -дифтортикарбоницанинах гипсохромное влияние ато- мов фтора в β -положении преобладает над батохромным влиянием атомов фто- ра в α -положении, и поэтому эти красители поглощают свет в более коротковол- новой области, чем незамещенный краситель.

Тиакарбоцианин с полностью фторированной полиметиновой цепью погло- щает в более длинноволновой области, чем незамещенный, и имеет высокую ин- тенсивность поглощения света, что указывает на принципиальную возможность существования нового типа полиметиновых красителей с полностью фториро- ванными цепями.

В дикарбоцианинах атомы фтора в γ - и α, β -положениях оказывают бато- хромный эффект в соответствии с правилом ФДН.

Фторалкильные группы в качестве заместителей в полиметиновой цепи ци- аниновых красителей были введены только в β -положение. В табл. 6 приводят- ся спектральные данные красителей, содержащих в цепи частично или полно- стью фторированные алкильные группы, и для сравнения данные об аналогич- ных красителях с метильными и цианогруппами.

Электроноакцепторные заместители в β -положении полиметиновой цепи цианиновых красителей по правилу ФДН должны оказывать батохромные эф- фекты. Действительно, у большинства красителей, в частности во всех симмет- ричных цианиновых красителях, группы CF₃, подобно цианогруппе, смешают полосы поглощения в длинноволновую область. Однако заместители, обладаю- щие большими размерами, например алкильные группы, влияют на окраску не только за счет электронных эффектов, но и за счет того, что частично вызы- вают переход красителей из полностью транс-конфигурации в моно-цис-конфи- гурацию [68]. Аналогичная изомеризация наблюдается и в случае тиакарбоциа- нина с трифторметильной группой в β -положении цепи. Его максимум погло- щения 581 нм в спиртовом растворе соответствует максимуму поглощения сме- си двух стереоизомерных форм, из которых преобладает, по-видимому, моно-цис-форма [72].

Из табл. 6 видно, что при замещении атомов водорода в метильной группе атомами фтора (см. ряды ТКЦ, мероцианинов с заместителями CH₃, CH₂F, CHF₂, CF₃ в цепи) максимумы поглощения постепенно смещаются в длинновол- новую область. В ряду ТКЦ заместители CH₃, CH₂F оказывают гипсохромные эффекты, а CHF₂, CF₃, C₂F₅, C₃F₇ — постепенно возрастающие батохромные. Для тиакарбоцианинов, содержащих разнообразные заместители в β -положе- нии, найдена корреляционная зависимость частоты поглощения от констант σ_{ii} и σ_c заместителей [64].

$$\Delta\lambda = 67 - 1170(\sigma_{ii} + 5,28\sigma_c).$$

Батохромный эффект группы CF₃ в β -положении цепи максимальен в оксакар- боцианине, в молекуле которого пространственные затруднения значительно меньше, чем в тиакарбоцианинах, и наиболее четко проявляется электронное влияние заместителя.

В тиамероцианинах фторалкильные группы оказывают батохромный эф- фект, отражающий как электронное влияние, так и пространственное. Стериче- ские помехи в них вызывают поворот вокруг преимущественно двойной связи и вследствие этого влияют батохромно [56]. В аналогичном бензимидазольном красителе, в котором преобладает внутриионидная границная структура, вы- званные группой CF₃ пространственные помехи обусловливают поворот вокруг преимущественно одинарной связи и поэтому вызывают гипсохромный сдвиг [56].

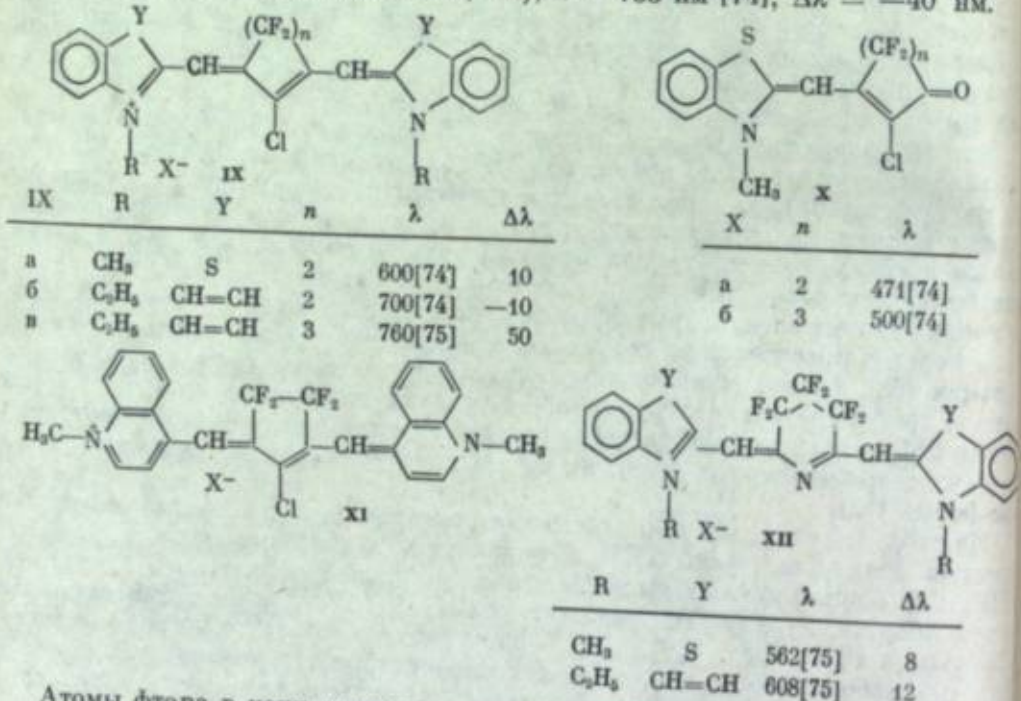
В цианиновых красителях, содержащих в α -положении электронодонорные заместители (F, OCH₃), а в β -положении — электроноакцепторные (CF₃, CN), наблюдаются особенно большие «батохромные взаимодействия» заместителей: смещение полосы поглощения под влиянием двух заместителей противополож- ной электронной природы превышает сумму смещений, вызванных отдельными заместителями в соответствующих монозамещенных красителях [71—73]. Особен- но велико батохромное влияние двух электронодонорных заместителей (F,

ОН и ОСН₃, OH) в α , γ -положениях и одной трифторметильной группы в положении (см. табл. 6).

Спектральный эффект взаимодействия малых по размерам заместителей и CN проявляется не только тогда, когда оба они оказывают батохромный эффект (атом фтора — в α -положении, цианогруппа — в β -положении цепи) но и тогда, когда оба они оказывают гипсохромные эффекты (атом фтора в β -положении, а цианогруппа — в α -положении цепи).

Трифторметильная и трифторацетильная группы в α -положении красителей-стирилов оказывают сильный гипсохромный эффект.

Фторированные мостики в полиметиновой цепи красителей IX–XII, в правило, вызывают батохромный эффект, если создаваемые ими пространственные эффекты невелики. Наличие таких помех приводит, однако, к гипохромным эффектам (красители IXб, XI), $\lambda = 733$ нм [74], $\Delta\lambda = -40$ нм.



Атомы фтора в цепи азатиацианинов (см. табл. 6) влияют на окраску как электронодонорные заместители в соответствии с правилом ФДН, но их спектральные эффекты меньше, чем в ТКЦ [74—79]. Влияние перфторалкильных групп в β -положении азатиакарбоцианинов определяется в основном создаваемыми ими пространственными затруднениями, обусловленными поворотом вокруг преимущественно одинарных связей C—N и, следовательно, гипсохромным смещением полос поглощения [76].

ФОТОГРАФИЧЕСКИЕ СВОЙСТВА ПОЛИМЕТИНОВЫХ КРАСИТЕЛЕЙ

Как известно, суммарный эффект спектральной сенсибилизации при прочих равных условиях определяется строением и свойствами полиметиновых красителей — в первую очередь адсорбцией на поверхности эмульсионных микрокристаллов, способностью к H- и J-агрегации, фотохимической активностью молекул, основностью и окислительно-восстановительными потенциалами¹. Показано, что влияние электронной природы заместителей в гетероостатках полиметиновых красителей на их сенсибилизирующую действие зависит от основности исходных соединений. Введение электроноакцепторных заместителей в *n,n'*-положения к циклическим атомам азота в мало- и среднегомолекулярные индо- и тиакарбоцианины вызывает понижение эффективности красителей, а в ряду хино- и имидакарбоцианинов — ее повышение [80].

¹ О зависимости спектральной сенсибилизации от величин $E_{1/2}^{\text{Red}}$ и $E_{1/2}^{\text{Ox}}$ см. наст. сб., с. 103.

Исследование фотографических свойств ТКЦ II с группами CF_3 , SCF_3 и SO_2CF_3 в положениях 5,5' или 6,6' показало, что все они в 8–12 раз уступают незамещенному красителю [80] (II: $B = \text{H}$, $pK_a = -0,62$; $B = \text{CF}_3$ или SO_2CF_3 , $pK_a = -1,22$ и $-1,84$ соответственно [14]).

В ряду ИКЦ суммарный эффект спектральной сенсибилизации при варьировании заместителей определяется главным образом изменением их основности и склонности к образованию весьма фотохимически активных J-агрегатов, причем в одних случаях преобладает первый, а в других — второй из этих факторов. Так, повышение эффективности в 1,5—2 раза при переходе от 1,1'-3,3'-(C₂H₅)₂-ИКЦ к 5,5'-F₂- и 5,5'-(CH=CH-CF₃)₂-производным ($pK_a = 5,45 \rightarrow 6,00$ и $5,40$ [14]) связано с резким усилением способности красителей к J-агрегации (см. табл. 2) [81]. Увеличение же сенсибилизирующего действия ИКЦ в 1,5—3,0 раза при введении SO₂F-, SCF₃-, SOCF₃- и SO₂CF₃-групп, полностью подавляющих способность красителей к образованию J-агрегатов, обусловлено ростом фотохимической активности молекулярного состояния при понижении основности, например, от $pK_a = 5,45$ до $pK_a = 2,44$ у 5,5'-(SO₂CF₃)₂-замещенного [81]. При этом величина относительного квантового выхода сенсибилизации Φ^{420} M-состояния увеличивается от 0,35 до 0,75 [40, 82].

Сравнение свойств 5,5'-ди- и 5,5',6,6'-тетразамещенных 1,1',3,3'-тетраэтил- и 1,1'-дифенил-3,3'-диэтил-ИКЦ позволило выявить как общие, так и специфические свойства этих групп красителей. Наиболее характерной особенностью 1,1'-дифенилпроизводных является их значительно меньшая способность к J-агрегации, что обусловлено отклонением C_6H_5 -групп от плоскости хромофора, препятствующим в той или иной степени сближению молекул и упорядоченному межмолекулярному взаимодействию [82, 83].

Проводилось также исследование компонентоустойчивости ИКЦ — степени сохранения их сенсибилизирующего действия в присутствии цветных компонент, недиффундирующих [82, 84] и защищаемых [85]. В ряду ИКЦ впервые удалось выявить зависимость компонентоустойчивости полиметиленовых красителей от их способности к агрегации и был сформулирован так называемый принцип единства структуры адсорбционного слоя сенсибилизатора на поверхности эмульсионных микрокристаллов [82, 84].

В противоположность ИКЦ IV введение заместителей в бензимидазольное ядро имидадиметимероцианинов (V) не оказывает существенного влияния на их склонность к H-агрегации, эффективность и компонентоустойчивость [86], что согласуется с установленными ранее закономерностями [87].

В настоящее время осуществлен синтез основных типов полиметиновых красителей с атомами фтора и фторсодержащими заместителями, среди которых обнаружены эффективные спектральные сенсибилизаторы. Выяснено влияние указанных заместителей, в некоторых случаях необычное, на спектральные характеристики, физико-химические и фотографические свойства. Найдены зависимости, в том числе и количественные, между свойствами и строением молекул, позволяющие проводить целенаправленный синтез красителей с заданными параметрами.

ЛИТЕРАТУРА

1. Киприанов А. И., Язупольский Л. М.—Журн. общ. химии, 1950, т. 20, с. 2111—2117.
 2. Киприанов А. И., Язупольский Л. М.—Журн. общ. химии, 1952, т. 22, с. 2209—2215, 2216—2220.
 3. Язупольский Л. М., Назаретян В. П.—Укр. хим. журн., 1967, т. 33, с. 617—622.
 4. Троицкая В. И., Бурмаков А. И., Кудрявцева Л. С., Язупольский Л. М.—Укр. хим. журн., 1971, т. 37, с. 808—811.
 5. Язупольский Л. М., Кондратенко Н. В., Филаков Ю. А.—Журн. общ. химии, 1966, т. 36, с. 828—834.
 6. Язупольский Л. М., Троицкая В. И.—Журн. общ. химии, 1957, т. 27, с. 518—526; 1961, т. 31, с. 628—632.
 7. А. с. 303339 (СССР). Способ получения симметричных незамещенных в цепи пентанарабоциклических красителей/Монич Н. В., Формина Л. В., Левков И. И. и др. Заявл. 26.01.70, № 1398055/23—4; Опубл. в Б. И., 1971, № 16, МКИ С 09б, 23/08.
 8. Язупольский Л. М., Маренец М. С.—Журн. общ. химии, 1955, т. 25, с. 1771—1775.
 9. Язупольский Л. М., Маренец М. С.—

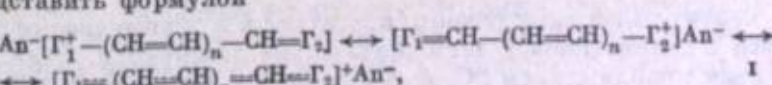
- Журн. общ. химии, 1959, т. 29, с. 278—283.
10. Язупольский Л. М., Волошук В. Г.—Укр. хим. журн., 1970, т. 36, с. 66—71.
 11. Дронкина М. И., Макаров С. П., Кондратенко Н. В., Язупольский Л. М.—Укр. хим. журн., 1969, т. 35, с. 535—540.
 12. Язупольский Л. М., Маренец М. С.—Журн. общ. химии, 1953, т. 23, с. 481—488.
 13. Язупольский Л. М.—Журн. общ. химии, 1959, т. 29, с. 1312—1315.
 14. Либшиц Э. Б., Спасокукоцкий Н. С., Язупольский Л. М. и др.—Журн. общ. химии, 1968, т. 38, с. 2025—2030.
 15. Ильченко А. Я.—Укр. хим. журн., 1976, т. 42, с. 160—163.
 16. Brooker L. G. S.—Rev. Mod. Phys., 1942, vol. 14, p. 275—293.
 17. Язупольский Л. М., Ильченко А. Я., Кондратенко Н. В.—Успехи химии, 1974, т. 43, с. 64—94.
 18. Либшиц Э. Б., Язупольский Л. М., Народицкая Д. Я., Козлова Е. С.—В кн.: Реакционная способность органических соединений. Тарту: Тарт. гос. ун-т, 1969, т. 6, с. 317—328.
 19. Куркина Л. Г., Сеников Г. П., Либшиц Э. Б., Альперович М. А.—Сб. науч. тр. Всесоюз. ин-та и проект. ин-та хим.-фотогр. пром-сти, 1979, вып. 29, с. 100—106.
 20. Язупольский Л. М., Каюшник Г. И., Троицкая В. И.—Журн. общ. химии, 1964, т. 34, с. 307—317.
 21. Язупольский Л. М., Троицкая В. И., Левкоев И. И. и др.—Журн. общ. химии, 1967, т. 37, с. 191—198.
 22. Язупольский Л. М., Троицкая В. И.—Журн. общ. химии, 1959, т. 29, с. 2409—2416.
 23. Кондратенко Н. В., Юрченко Н. Г., Язупольский Л. М.—Укр. хим. журн., 1978, т. 44, с. 1192—1193.
 24. Язупольский Л. М., Кондратенко Н. В.—Журн. общ. химии, 1963, т. 33, с. 920—928.
 25. Язупольский Л. М., Троицкая В. И., Груд Б. Е., Кондратенко Н. В.—Журн. общ. химии, 1965, т. 35, с. 1644—1650.
 26. Седова Л. И., Гандельман Л. З., Алексеева Л. А., Язупольский Л. М.—Журн. общ. химии, 1969, т. 39, с. 2057—2062.
 27. Троицкая В. И., Попов В. И., Рудик В. И. и др.—Укр. хим. журн., 1980, т. 46, с. 1181—1186.
 28. Либшиц Э. Б., Ильченко А. Я., Язупольский Л. М. и др.—Докл. АН СССР, 1977, т. 236, с. 1375—1378.
 29. Троицкая В. И., Гандельман Л. З., Ханзин И. И., Язупольский Л. М.—Укр. хим. журн., 1969, т. 35, с. 830—836.
 30. Язупольский Л. М., Троицкая В. И.—Журн. общ. химии, 1959, т. 29, с. 2730—2736.
 31. Троицкая В. И., Язупольский Л. М.—Химия гетероциклических соединений, 1974, № 2, с. 275—278.
 32. Троицкая В. И., Рудик В. И., Либшиц Э. Б., Язупольский Л. М.—Журн. орган. химии, 1973, т. 9, с. 1051—1058.
 33. Троицкая В. И., Рудик В. И.—Успехи науч. фотографии, 1976, т. 17, с. 152—155.
 34. Троицкая В. И., Рудик В. И.—Укр. хим. журн., 1977, т. 43, с. 729—732.
 35. Троицкая В. И., Рудик В. И., Коновалов Е. В., Язупольский Л. М.—Журн. орган. химии, 1974, т. 10, с. 1524—1529.
 36. Шагалова Д. Я., Троицкая В. И., Язупольский Л. М. и др.—Журн. науч. прикл. фотографии и кинематографии, 1977, т. 22, с. 377—379.
 37. Фёстер Т.—Успехи химии, 1940, т. 1, с. 71—104.
 38. Dewar M. G. S.—J. Chem. Soc., 1952, p. 2329—2334.
 39. Knott E. B.—J. Chem. Soc., 1952, p. 1024—1028.
 40. Шагалова Д. Я., Куркина Л. Г., Либшиц Э. Б.—Сб. науч. тр. Всесоюз. ин-та и проект. ин-та хим.-фотогр. пром-сти, 1980, вып. 30, с. 139—146.
 41. Либшиц Э. Б., Язупольский Л. М., Народицкая Д. Я., Левкоев И. И.—В кн.: Реакционная способность органических соединений. Тарту: Тарт. гос. ун-т, 1970, т. 7, с. 953—958.
 42. А. с. 167746 (СССР). Способ сенсибилизации галогенидосеребряных эмульсий фотоматериалов/Либшиц Э. Б., Язупольский Л. М., Левкоев И. И., Юфа П. И./Заявл. 14.03.64, № 8877856/23—Опубл. в Б. И., 1965, № 2; МКИ С 03
 43. Троицкая В. И., Фурин Г. Г., Рудик В. И. и др.—Химия гетероциклических соединений, 1981, № 12, с. 1675—1679.
 44. Либшиц Э. Б., Леонтьева Л. О., Шаповалова Д. Я., Язупольский Л. М.—Сб. науч. тр. Всесоюз. ин-та и проект. ин-та хим.-фотогр. пром-сти, 1976, вып. 21, с. 41—49.
 45. Язупольский Л. М., Галушко А. Г., Троицкая В. И.—Журн. общ. химии, 1968, т. 38, с. 1736—1741.
 46. Язупольский Л. М., Галушко А. Г.—Журн. общ. химии, 1969, т. 39, с. 2087—2091.
 47. Ковалычук Р. Е., Ильченко А. Я., Крайнер З. Я., Язупольский Л. М.—Укр. хим. журн., 1980, т. 46, с. 827—831.
 48. Крайнер З. Я., Гудзь П. Ф., Либшиц Э. Б., Язупольский Л. М.—Успехи науч. фотографии, 1976, т. 17, с. 156—160.
 49. Крайнер З. Я., Гудзь П. Ф., Язупольский Л. М.—Химия гетероциклических соединений, 1978, № 1, с. 76—78.
 50. Крайнер З. Я., Гудзь П. Ф., Язупольский Л. М.—Химия гетероциклических соединений, 1973, № 2, с. 235—238.
 51. Язупольский Л. М., Груд Б. Е.—Журн. общ. химии, 1961, т. 31, с. 3955—3961.
 52. Груд Б. Е., Стерлинг Р. И., Язупольский Л. М.—Журн. общ. химии, 1964, т. 34, с. 4122—4123.
 53. Язупольский Л. М., Ильченко А. Я., Кульчицкий М. М.—Докл. АН СССР, 1973, т. 209, с. 138—140.
 54. Язупольский Л. М., Груд Б. Е.—Журн. общ. химии, 1967, т. 37, с. 2470—2476.
 55. Язупольский Л. М., Кульчицкий М. М., Дмитриенко В. Н.—Журн. орган. химии, 1978, т. 14, с. 1740—1744.
 56. Ильченко А. Я., Трушанина Л. И., Язупольский Л. М.—Журн. орган. химии, 1972, т. 8, с. 1729—1735.
 57. Язупольский Л. М., Груд Б. Е., Катериненко Л. И.—Журн. общ. химии, 1968, т. 38, с. 1732—1736.
 58. Язупольский Л. М., Язупольский Ю. Л.—Журн. орган. химии, 1977, т. 13, с. 1996—2000.
 59. Язупольский Л. М., Кульчицкий М. М., Ильченко А. Я.—Журн. орган. химии, 1972, т. 8, с. 2447.
 60. Reichardt C., Halbritter.—Ber., 1971, Bd. 104, S. 822—829.
 61. Ковалычук Р. Е., Ильченко А. Я.—Укр. хим. журн., 1976, т. 42, с. 1174—1178.
 62. Язупольский Л. М., Трушанина Л. И., Ильченко А. Я.—Журн. орган. химии, 1975, т. 11, с. 2168—2172.
 63. Кульчицкий М. М.—Укр. хим. журн., 1979, т. 45, с. 872—874.
 64. Ильченко А. Я., Либшиц Э. Б., Язупольский Л. М.—Укр. хим. журн., 1978, т. 44, с. 942—947.
 65. Ильченко А. Я.—Укр. хим. журн., 1978, т. 44, с. 1187—1191.
 66. Ильченко А. Я., Ковалычук Р. Е., Язупольский Л. М.—Журн. орган. химии, 1973, т. 9, с. 1744—1748.
 67. Ильченко А. Я., Ковалычук Р. Е., Язупольский Л. М.—Журн. орган. химии, 1975, т. 11, с. 2163—2167.
 68. West W., Pearce S., Grummt F.—J. Phys. Chem., 1967, vol. 71, p. 1316—1326.
 69. Киприанов А. И., Дядюша Г. Г., Михайленко Ф. А.—Успехи химии, 1966, т. 35, с. 823—852.
 70. Дейчмайстер М. В., Сытник З. П., Левкоев И. И., Либшиц Э. Б.—Журн. общ. химии, 1954, т. 24, с. 898—905.
 71. Язупольский Л. М., Кульчицкий М. М., Ильченко А. Я.—Журн. орган. химии, 1972, т. 8, с. 2182—2187.
 72. Язупольский Л. М., Кульчицкий М. М., Ильченко А. Я. и др.—Журн. орган. химии, 1975, т. 11, с. 830—886.
 73. Язупольский Л. М., Кульчицкий М. М., Ильченко А. Я.—Журн. орган. химии, 1974, т. 10, с. 1321—1324.
 74. Ильченко А. Я., Трушанина Л. И., Язупольский Л. М.—Журн. орган. химии, 1979, т. 15, с. 1532—1535.
 75. Трушанина Л. И., Ильченко А. Я., Расторгуева Н. М., Язупольский Л. М.—Журн. орган. химии, 1981, т. 17, с. 1034—1039.
 76. Кульчицкий М. М., Язупольский Ю. Л., Язупольский Л. М.—Укр. хим. журн., 1976, т. 42, с. 200—202.
 77. Язупольский Л. М., Язупольский Ю. Л.—Журн. орган. химии, 1975, т. 11, с. 1140—1141.
 78. Язупольский Ю. Л., Ильченко А. Я., Язупольский Л. М.—Журн. орган. химии, 1977, т. 13, с. 2000—2004.
 79. Ильченко А. Я., Кульчицкий М. М., Трушанина Л. И., Язупольский Л. М.—Успехи науч. фотографии, 1976, т. 17, с. 136—141.
 80. Levkoev I. I., Lifschitz E. B., Natanson S. V. et al.—In: Ergebn. intern. Konf. wiss. Photogr. (Köln, 1956). Darmstadt: Verl. O. Helwich, 1958, S. 109—116.
 81. Либшиц Э. Б., Левкоев И. И., Язупольский Л. М., Барвиль Н. С.—В кн.: Совещание по химии сенсибилизаторов и сенсибилизации кинопотоматериалов (Киев, 1962): Тез. докл. Киев: ИОН АН УССР, 1962, с. 33—34; Журн. науч. и прикл. фотографии и кинематографии, 1966, т. 11, с. 175—186.
 82. Шагалова Д. Я. Исследование фотографических свойств и компонентустойчивости карбоцианиновых красителей производных бензимидазола: Автореф. дис. ... канд. техн. наук. М.: ГосНИИхимфотопроект, 1976. 24 с.
 83. Либшиц Э. Б., Шагалова Д. Я., Язупольский Л. М., Левкоев И. И.—Журн. науч. и прикл. фотографии и кинематографии, 1979, т. 24, с. 140—142.
 84. Либшиц Э. Б., Левкоев И. И., Народицкая Д. Я. и др.—Сб. науч. тр. Всесоюз. ин-та и проект. ин-та хим.-фотогр. пром-сти, 1968, вып. 1, с. 79—88.
 85. Кудрявская Н. В., Либшиц Э. Б., Шумелка Г. П.—Сб. науч. тр. Всесоюз. ин-та и проект. ин-та хим.-фотогр. пром-сти, 1977, вып. 25, с. 58—74.
 86. Кудрявская Н. В., Троицкая В. И.—Сб. науч. тр. Всесоюз. ин-та и проект. ин-та хим.-фотогр. пром-сти, 1981, вып. 32, с. 25—35.
 87. Либшиц Э. Б., Язупольский Л. М., Спасокукоцкий Н. С. и др.—В кн.: Междунар. конгр. по фотографической науке (Москва, 1970): Докл. М.: Внешторгиздат, 1970, секция А, В, с. 254—257.

УДК 541.65:667.662

Г. Г. Дядюша, А. Д. Качковский

ТЕОРИЯ ЦВЕТНОСТИ ПОЛИМЕТИНОВЫХ КРАСИТЕЛЕЙ

Полиметиновые красители — излюбленный объект теории цветности ввиду простоты и однообразия строения их хромофора, которое в общем виде можно представить формулой



где n — число виниленовых групп; G — концевые группы (ядра) произвольного строения; An — анион.

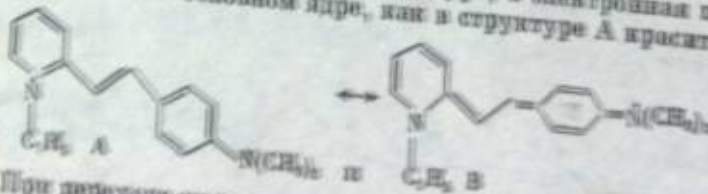
Для этих красителей характерны высокointенсивные узкие длинноволновые полосы поглощения, обусловленные $\pi \rightarrow \pi^*$ -переходами. При увеличении дли-

ны полиметиновой цепи эти полосы линейно смещаются в сторону длинных волн [1]. Такая закономерность легко интерпретируется методами свободного электрона (СЭ) [2] и молекулярных орбиталей (МО) [3]. В полиметиновой цепи чередуются атомы, сопряженные с ее донорным и акцепторным концами, или, другими словами, заряды атомов. С химической точки зрения это значит, что чередуются базофильные положения, подверженные нуклеофильной атаке и ацидофильные, чувствительные к электрофильным реагентам.

В возбужденном состоянии заряды на атомах изменяются на обратные [4]. Вследствие этого введение электроноакцепторных заместителей (или замещение CH-группы на более электроотрицательные изоэлектронные атомы или группы) в ацидофильные положения или же введение электронодонорных заместителей в базофильные положения приводят к повышению цвета. И, наоборот, введение в ацидофильные положения электронодонорных заместителей, а в базофильные — электроноакцепторных вызывает батохромные сдвиги полос поглощения. Эти правила строго обоснованы в рамках метода валентных связей (ВС) для среднего положения симметрических красителей [5]. С помощью методов СЭ [6] и МО [3] легко достигается обобщение правил о направлении смещения первых полос поглощения при замещении, известных как правила Ферстера—Дьюара—Нотта. Для их соблюдения перезарядка атомов полиметиновой цепи при возбуждении необходима. Анализ показывает, что достаточно выравнивания зарядов в возбужденном состоянии. Тем не менее эти правила могут перестать выполняться в случае несимметрических красителей, концевые остатки которых сильно отличаются от основности. Нарушение правил может также наблюдаться при сильных побочных эффектах, например если выделение заместителей приводит к значительным пространственным затруднениям в молекуле красителя.

Для анализа влияния на цветность пространственных затруднений существенно, что связи в полиметиновой цепи симметрических красителей выравниваются, имеют повышенный порядок ($> 1,5$) и приближаются к ароматическим. В возбужденном состоянии выравненность связей сохраняется, но величины порядков всех связей уменьшаются. Это соответствует представлению о том, что энергия возбуждения складывается из ослабления связей в полиметиновой цепи [7]. В результате оказывается, что нарушение коллинеарности симметрического полиметинового хромофора всегда должно сильнее повышать энергию основного состояния, чем возбужденного, и приводить к углублению окраски. Напротив, усиление взаимодействия π-орбиталей, например, при введении в полиметиновый хромофор тройных связей, должно повышать окраску, как это и наблюдается [8]. Такие эффекты строго соблюдаются в средней части полиметиновой цепи. Но даже здесь возможны нарушения закономерности при модификации полиметиновой цепи, например при азазамещении в ацидофильные положения [8]. Исключения должны наблюдаться также для связей, близких к ядрам у весьма сильнососновных и у весьма малоосновных красителей [10].

У несимметрических красителей в основном состоянии чередуются более длинные связи с пониженным порядком и более короткие, отличающиеся повышенным порядком, соответственно расположению простых и двойных связей в более выгодной резонансной структуре, а электронная плотность концентрируется на менее основном ядре, как в структуре А красителя II.



При переходе молекулы несимметрического красителя в возбужденное состояние порядки связей в полиметиновой цепи значительно изменяются. Если воспользоваться простым приближением ВС, в возбужденном состоянии следовало бы ожидать чередование связей, обратного чередованию в основном состоянии, поскольку возбужденное состояние описывается второй, менее выгодной, гра-зиальной резонансной структурой, например структурой B в случае красителя II. Согласно же расчетам, выполненным по методу МО, в полиметиновой цепи не-

симметрических красителей происходит существенное выравнивание порядков связей, причем связи, имеющие в основном состоянии повышенный порядок, несколько уменьшают его, а связи с пониженным порядком при возбуждении приобретают существенно двойной характер.

Такое изменение порядков связей, предсказываемое как в рамках метода СЭ, так и в приближении МО, позволяет объяснить наблюдаемую тенденцию к увеличению батохромных сдвигов при повороте частей молекулы вокруг связей с повышенным порядком и появление гипсохромных сдвигов, если коллинеарность нарушается по связям с пониженным порядком [11]. Величины этих эффектов, кроме степени пространственных затруднений, зависят также от амплитуды чередования связей, которая определяется степенью асимметрии красителя.

Таким образом, электронные и спектральные свойства симметрических и несимметрических красителей могут различаться даже качественно, и нам необходимо количественно характеризовать степень их асимметрии. Оценки этой очень важной величины чаще всего делаются на основании явления гипсохромных смещений у несимметрических красителей, открытого независимо Киприановым [12] и Брукером [13].

Асимметрия характеризуется величиной девиации, т. е. разностью между средним арифметическим ($\bar{\lambda}$) длины волны максимума поглощения «материнских» симметрических (λ_1 и λ_2) и наблюданной длиной волны максимума поглощения λ несимметрического красителя [13]. Однако при сравнении кривых поглощения разной ширины, а также формы и степени структурированности более надежные результаты дают применение средних положений полос поглощения в шкале длины волны, а не максимумов поглощения [14].

Происхождение девиации проще всего объясняется методом ВС [15]. При этом оказывается, что величина девиации квадратично зависит от разности энергий граничных структур. Такой характер зависимости находит отражение в правилах чувствительности Брукера [13, 16], согласно которому спектральные эффекты, возникающие при небольших изменениях основности, например при введении заместителей в состав концевых ядер несимметрических красителей, пропорциональны девиациями. Аналитически разность основностей b_{LR} ядер может быть выражена формулой Платта [17]

$$b_{LR} = (1/\bar{\lambda}_J \lambda) \sqrt{(\bar{\lambda}_J - \lambda)(\bar{\lambda}_J + \lambda)},$$

откуда девиация выражается формулой

$$\bar{\lambda}_J - \lambda = b_{LR}^2 \lambda_J^2 \lambda^2 / (\bar{\lambda}_J + \lambda). \quad (1)$$

Эта формула отражает наблюдаемый быстрый рост девиаций ($\bar{\lambda}_J - \lambda$) при увеличении глубины окраски красителей, который особенно ярко проявляется в рядах винилогов [13]. В отличие от симметрических красителей, у которых длины волн полос поглощения неограниченно возрастают при удлинении полиметиновой цепи и образуют расходящиеся ряды, у несимметрических красителей они возрастают до некоторого предела и образуют сходящиеся ряды [13]. Это выражается в прогрессирующем уменьшении виниленовых сдвигов.

Величина b_{LR} в методе ВС имеет смысл разности энергий граничных структур (в обратных сантиметрах) [17]. Но в выражении (1) она приобретает также простой смысл предельного волнового числа, к которому стремятся положения полос ряда весьма длинных несимметрических красителей с данными ядрами. Аналогичная величина в методе СЭ имеет смысл амплитуды периодического потенциала, возникающего на дне модельной потенциальной ямы из-за чередования существенно двойных и существенно одинарных связей.

Величина b_{LR} не получила широкого распространения, так как на ее основе могут быть выполнены точные расчеты лишь для несимметрических красителей с длиной полиметиновой цепью. Метод девиаций вообще неприменим для полиметиновых красителей, у которых влияние разности основностей маскируется изменением пространственных затруднений. Поворот остатков красителя вокруг какой-либо связи стабилизирует одну из граничных структур и соответственно уменьшает или увеличивает девиацию [11]. Если пространственные затруднения могут быть устранены поворотами вокруг связей с пониженным

порядком, то пространственные затруднения приводят к увеличению диполя [18]. Увеличение девиаций наблюдается также в полярных растворителях, которые способствуют фиксации заряда на одном из ядер [19].

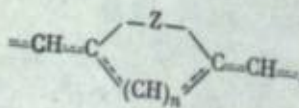
Метод MO для красителей с короткой полиметиновой цепью оценивает величину λ_c , как среднее арифметическое для случая выравненных связей, что вполне удовлетворительно [20]. Если ядра близки по основности, а материнские красители сильно различаются по области поглощения, могут наблюдаться стабильные девиации, что делает выражение (1) неприменимым. Более строгая оценка начала отсчета девиаций требует привлечения дополнительных параметров.

Основность ядер в полиметиновых красителях не следует смешивать с основностью гетероатомов в гетероциклических ядрах [21]. Они различаются потому, что основность ядра может изменяться в зависимости от того, к какому атому гетероцикла присоединяется полиметиновая цепь. Несомненно, основность ядер аналогична основности соответствующих метиленовых оснований или основности самих красителей [22]. В этой связи основность ядер обуславливает легкость обесцвечивания красителей кислотами (при повышении основности) или основаниями (при понижении).

Большое практическое значение для сенсибилизации фотографических эмульсий И. И. Левкоев [23] придавал выбору ядер с оптимальной основностью. Красители с ядрами высокой основности обнаруживают склонность к взаимодействию, чрезмерное понижение основности, напротив, приводит к разрушению сенсибилизации. Это связано с еще одной исключительно важной характеристикой красителей — их окислительно-восстановительными потенциалами [24]. Потенциалы ионизации и сродство к электрону красителей в одноэлектронном приближении определяются, как и энергия возбуждения, энергиями граничных орбиталей. Поэтому квантохимическими методами корректнее оценивают именно эти величины, а не степень чередования связей в основном и возбужденном состояниях, что, собственно, является предметом учета вибрационных взаимодействий. При увеличении длины полиметиновой цепи потенциалы ионизации поникаются, а сродство к электрону увеличивается, в то время как повышение основности приводит к одновременному понижению и тех и других [25]. Введение электронодонорных (электроноакцепторных) заместителей вближайшего конца полиметиновой цепи или в ядро приводит к увеличению (уменьшению) основности ядра в соответствии с влиянием заместителей на энергию орбиталей.

Не задерживаясь более на описании общих свойств простой полиметиновой цепи, достаточно хорошо освещенных в литературе, подробно остановимся на зависимости цветности и основности полиметиновых красителей от глубоких изменений их химического строения, включая строение концевых гетероциклических ядер.

Рассмотрим различные способы замыкания части полиметиновой цепи в цикл



где Z может быть простой связью, атомом (O , S) или группой атомов (NH , CO , $CH=CH$, $o-C_6H_4$ и т. д.).

Изменения в спектрах поглощения при циклизации (т. е. по сравнению с красителями с незамещенной цепью) могут быть описаны с помощью теории возмущений [26]. Такое описание будет адекватным, если возмущение относительно невелико, т. е. степень сопряжения по вновь образующимся связям не превышает сопряжения в полиметиновой цепи. Кроме того, циклизация не должна сопровождаться сильными пространственными затруднениями, влияние которых могло бы оказаться доминирующим. В отличие от эффектов замещения, которые определяются вкладами атомных орбиталей в граничные MO красителя, эффекты циклизации также зависят от знаков этих вкладов. Другими словами,

должен быть учтен специфический волновой характер молекулярных орбиталей, благодаря которому эффект циклизации может в одних случаях оказаться значительно меньше, а в других — значительно больше эффекта введения в соответствующие положения заместителей с подобным электронным влиянием.

Проще всего предвидеть спектральные эффекты симметричной циклизации в симметричных красителях [27]. Эти красители можно разделить на два класса: А и В [28]. К классу А относятся симметричные красители, средний атом полиметиновой цепи которых ацидофилен. У таких красителей верхняя заполненная MO (ВЗМО) симметрична относительно плоскости симметрии, а нижняя вакантная MO (НВМО) антисимметрична и имеет узел на среднем атоме. Для красителей класса В, признаком которых является базофильность среднего положения, симметрия граничных MO противоположна. Направление смещения орбиталей при каждом способе циклизации определяется только их симметрией. Например, при замыкании цикла простой связью энергии симметричных MO поникаются, а антисимметричных — повышаются. Величина эффекта зависит от вкладов атомных орбиталей и обычно очень велика [26]. Вопреки распространенному мнению, что «короткое замыкание» хромофора должно приводить к повышению цвета, у красителей класса В наблюдаются значительные базохромные сдвиги:

X	λ_{max} , нм	$lg \varepsilon$
-H-H-	629	4,61[29]
-	860	3,44[29]

Заметное влияние сохраняется даже при образовании гидрированных пятичленных циклов из метиленовых групп, связанных с полиметиновой цепью только сверхсопряжением [30]:

$(CH_2)_n$	n	λ_{max} , нм	$\varepsilon \cdot 10^{-4}$
$C_6H_5-\dot{N}H-CH-C=CH$	2	529	9,25
IV	3	496	10,50

Для сравнения использованы не диметилпроизводные, в которых можно было бы ожидать стерические эффекты, а шестизвенные. Последние можно рассматривать как результат циклизации диметилпроизводного метиленовой группы. При такой циклизации энергии антисимметричных уровней должны были бы остаться неизменными с точностью до индуktивного эффекта, а энергии симметричных уровней — понизиться, т. е. должен наблюдаваться сдвиг, противоположный влиянию циклизации простой связью. Если этот эффект и помогает проявлению эффекта циклизации связью, то он заведомо должен быть значительно меньшим по абсолютной величине.

Виниленовая и *o*-фениленовая группы вызывают у красителей класса В гипсохромные сдвиги [26], что вытекает из общих положений об отталкивании уровней энергии одинаковой симметрии и отсутствия взаимодействия уровней разной симметрии. Этот факт противоречит представлениям о взаимодействии хромофоров [31], если рассматривать группы $CH=CH$ и *o*- C_6H_4 как второй высокоокрашенный хромофор. С такой точки зрения можно ожидать только базохромный сдвиг длинноволновой полосы поглощения [32]. Противоречие устраняется, если в теории взаимодействия хромофоров учесть, кроме локально возбужденных состояний, состояния с переносом заряда. В случае двух параллельных хромофоров разных классов конфигурации с переносом заряда полносимметричны, и взаимодействие с ними должно приводить к дополнительной стабилизации основного состояния, не затрагивая антисимметричного возбужденного состояния, что и обуславливает наблюдаемый гипсохромный сдвиг.

Для красителей класса А, полиметиновая цепь которых замкнута в симметричный цикл группами C_6H_5 или *o*- C_6H_4 , конфигурации с переносом заряда дол-

жны быть антисимметричны. Именно их взаимодействие с возбужденной конфигурацией полиметинового хромофора объясняет глубокую окраску этих красителей. Взаимодействия полиметинового хромофора с этиленовым или бензольным хромофором, поглощающим в дальней УФ-области, было бы явно недостаточно для объяснения наблюдаемых эффектов. Эти интерпретации подтверждаются расчетами [33].

Приведенные закономерности вытекают из теории групп и справедливы качественно вне зависимости от численных параметров. С известной осторожностью они могут быть применены и для несимметричной циклизации полиметиновой цепи между двумя ацидофильными или базофильными положениями. Для количественной оценки влияния произвольных циклизаций в полиметиновой цепи симметричных красителей на цветность достаточно знать четыре параметра красителя: энергии граничных МО и вклады в них атомных орбиталей среднего углеродного атома или его соседа, если первый равен нулю [10]. Эти параметры для каждого красителя могут быть оценены эмпирически по положению его полосы поглощения и потенциальному восстановления, а также по спектрам его производных, например мезо-азапроизводных. Если бы теория возмущений была непогрешима и мы могли бы учесть всю совокупность факторов, влияющих на цветность, включая взаимодействие с растворителями, совокупность этих параметров позволяла бы описать цветность всевозможных производных данного красителя. Но, поскольку точность количественных оценок невелика, а красителей много, оценки даже всего лишь четырех параметров для каждого красителя бесперспективны.

Эта задача существенно упрощается благодаря тому, что указанные параметры закономерно изменяются в рядах винилогов. Дополнительные упрощения возможны для красителей с весьма длинной полиметиновой цепью. Асимптотические закономерности, выводимые для красителей с бесконечно длинной цепью, конечно, лишь с известной степенью приближения могут быть применены к красителям, содержащим несколько виниловых групп. Но они однозначно характеризуют весь ряд винилогов и с хорошим приближением определяют параметры для высших членов ряда. Кроме того, если полиметиновая цепь достаточно длинна, а вклад концевых групп сравнительно невелик, такой подход позволяет непосредственно оценивать влияние строения концевых групп на длину волны полосы поглощения и окислительно-восстановительные свойства красителей. До наших исследований пути к решению таких задач не были известны.

Для симметричных красителей с весьма длинной полиметиновой цепью выражения для энергии граничных и близких к ним электронных уровней оказываются зависящими только от длины полиметиновой цепи и двух параметров ядер — их эффективной длины L и электронодонорности Φ_0 [34—37]:

$$\epsilon_i \approx \alpha - (\Phi_0 - \pi/2)(n + L)^{-1}\beta, \quad (2)$$

где α и β — обычные кулоновский и резонансный интегралы в методе МО Хюккеля [38].

Границные уровни, электронный переход между которыми обусловливает окраску полиметиновых красителей, отвечают значениям энергии с $k_1 = 0$ для НВМО и $k_2 = 1$ для ВЗМО. При этом положение максимума поглощения дается соотношением

$$\lambda_{\max} = V(n + L), \quad (3)$$

где $V \approx 100$ нм — виниленовый сдвиг, т. е. смещение полосы поглощения при удлинении полиметиновой цепи на одну виниленную группу, а n — общее число винилевых групп в молекуле красителя I.

Вклады атомных орбиталей средних атомов в НВМО и ВЗМО для весьма длинных полиметинов оказываются одинаковыми и равными $(n + L)^{-1}$. Для весьма длинных несимметричных красителей с выравненными связями эффективная длина равна среднему арифметическому из эффективных длин «материнских» красителей [35].

Из формулы (3) видно, что эффективная длина L оценивает батохромный сдвиг максимума поглощения под влиянием концевых групп или же длину мо-

нометинового ($n = 0$) красителя, выраженную эквивалентным числом виниленовых групп [35]. Однако эффективную длину не следует отождествлять с действительными геометрическими размерами концевых групп. Она лишь показывает, какое число виниленовых групп должна содержать линейная полиметиновая цепь, чтобы ее первая полоса поглощения лежала в той же области спектра, что и полоса красителя с данной концевой группой.

Параметр L по физическому смыслу аналогичен эмпирическим параметрам: «эффективному числу углеродных связей в общей длине цепи», предложенному Платтом [17], и «дополнительному числу эффективных электронных пар» в работе Дене [39]. Однако в нашем случае эффективная длина и электронодонорность вычисляются теоретически через младшие коэффициенты секулярных полиномов концевых групп ($Q = q_0 + q_1x + \dots$) и их миноров ($R = r_0 + r_1x + \dots$), т. е. фрагментов ядер Г без атома, который соединен с полиметиновой цепью [35]:

$$L = (2q_1r_0 - 2q_0r_1 + q_0^2)/(q_0^2 + r_0^2), \quad (4)$$

$$\tan \Phi_0 = -q_0/r_0. \quad (5)$$

При расчетах можно включить в состав концевых групп часть полиметиновой цепи, например m метиновых групп. Эффективная длина таких усложненных ядер L_m равна $L_0 + m$, что находится в точном согласии с ее физическим смыслом. Этим самым подтверждается корректность предлагаемого приближения, поскольку полученные результаты не должны зависеть от того, где проводится граница между полиметиновой цепью и концевыми группами.

Величины длин волн максимумов поглощения, вычисленные по формуле (3), неплохо согласуются с экспериментальными значениями (с точностью, которую обеспечивает метод МО Хюккеля для красителей) [34]. Естественно, наблюдается хорошее согласие результатов, полученных в рамках описанного выше приближения, с вычислениями по стандартному методу Хюккеля, что подтверждает эквивалентность этих подходов при квантовохимическом анализе красителей, однако предлагаемый метод является более удобным, особенно для химиков, поскольку он не требует применения сложной вычислительной техники.

Параметр Φ_0 , характеризующий влияние концевых ядер, определяет положение граничных МО согласно формуле (2). Кроме того, величину Φ_0 можно определить, зная энергию орбиталей:

$$\Phi = \frac{\pi}{2} \frac{e_e - \alpha}{e_e - e_0}, \quad \lim_{n \rightarrow \infty} \left\{ \frac{\pi}{2} \frac{e_{e,n} - \alpha}{e_{e,n} - e_{0,n}} \right\} = \Phi_0. \quad (6)$$

Величины Φ оказываются близкими к Φ_0 для всего ряда винилогов, начиная с первого члена, и асимптотически стремятся к ней [35]. Поэтому Φ_0 является однозначной характеристикой концевых групп в красителях независимо от длины полиметиновой цепи.

Выражение (6) раскрывает физический смысл Φ_0 как относительного положения ферми-уровня полиметиновой цепи (α) в энергетической щели красителя или, наоборот, Φ_0 задает положение щели относительно энергии несвязанного p_{π} -электрона атома углерода полиметиновой цепи (см. рисунок).

С увеличением Φ_0 у симметричных красителей, поглощающих в одной области спектра (т. е. при одинаковой величине щели $e_e - e_0$), потенциал ионизации падает, а электронодонорные свойства растут. В зависимости от величины параметра Φ_0 гетероциклические ядра располагаются в той же последовательности, что и в ряду основностей по Брукеру, определенному экспериментально по девиациям красителей.

Таким образом, параметр Φ_0 может служить удобной количественной характеристикой основности концевых групп в красителях, и это особенно важно, поскольку прямые квантовохимические оценки основности красителей или их метиленовых оснований затруднены. Этот параметр (Φ_0) назван электронодонорностью концевых групп в красителях, чтобы не путать его с экспериментальными оценками основности.

Из рисунка видно, что для сильноосновных ядер (например, 2-пиридина) граничные уровни смешены вверх и $\Phi_0 > 45^\circ$, а для слабоосновных ядер (таких как 2,6-диизопропил-4-метокси-4-пиридин) смешены вниз и $\Phi_0 < 45^\circ$.

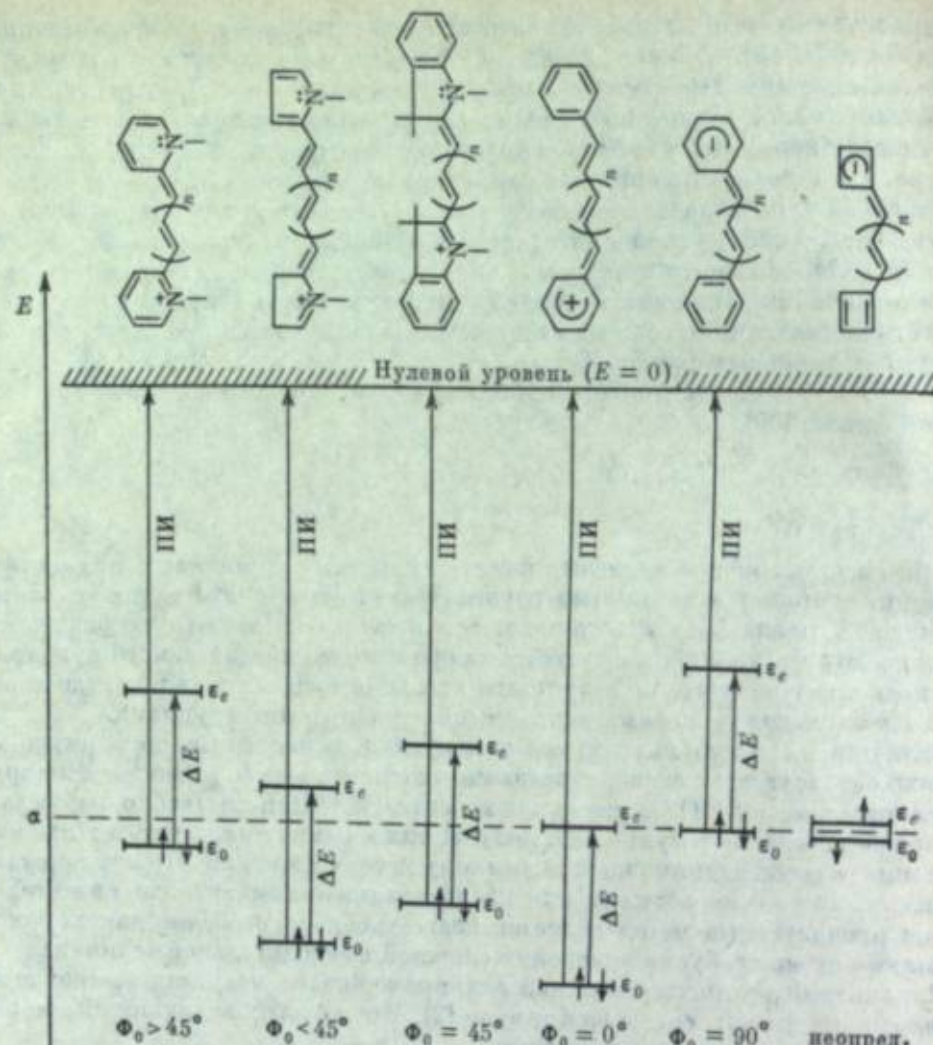


Рис. 1. Расположение граничных уровней относительно энергии несвязанного *p*-электрона α -углеродного атома цианиновых красителей с ядрами разной основности

ких, как 2-пиррол), наоборот, граничные MO лежат более глубоко и $\Phi_0 < 45^\circ$. Симметричному расположению уровней относительно энергии несвязанного электрона (α) соответствует значение $\Phi_0 = 45^\circ$. К таким среднеосновным ядрам относится, например, индоленин. В этом случае достигается максимальная делокализация π -электронов и выравнивание порядков связей. На рисунке представлен также пример, когда одной из граничных MO является несвязывающая MO. Когда имеет место вырождение электронных уровней (например, в цианобутадиене), электронодонорность Φ_0 , а также эффективная длина L математически неопределенны.

С помощью параметров L и Φ_0 можно исследовать влияние концевых групп на спектральные эффекты, имеющие место при замене СН-групп в полиметиновой цепи на изоалкотронные атомы (например, $-\text{N}=$), при введении заместителей, т. е. при изменениях химического строения, а также при возникновении пространственных затруднений и нарушении при этом плоскостного строения молекул красителей.

Электронные эффекты, возникающие при таких изменениях в химическом строении полиметиновой цепи и приводящие к смещению длинноволновой полосы поглощения, определяются главным образом общей длиной хромофора, а не основностью [36].

$$\Delta \lambda_{\max} = (-1)^{n+p+1} \left\{ \lambda_{\max}^0 / \pi \right\} (\cos pA \cos pB) h, \quad (7)$$

где $A = (2\Phi_0 - \pi/2)/(n + L)$; $B = \pi/2(n + L)$; p — число атомов, разделяющих данный атом от атома, находящегося в мезо-положении; \hbar — возмущение, которое моделируется изменением кулоновского интеграла ($\alpha_p = \alpha + \hbar\beta$).

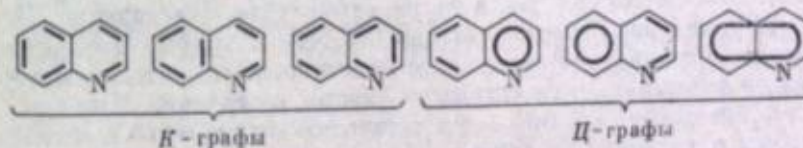
Качественно эта формула обобщает в математическом виде правило Ферстера—Дьюара—Нотта [3, 5, 6] о направлении смещения длинноволновой полосы поглощения. Направление, как видно, определяется величиной p , местом возмущения r и природой возмущения h , но не основностью концевых групп. На-против, эффекты, возникающие при пространственных затруднениях, сильно зависят от основности ядер. Если моделировать такие эффекты изменением па-раметра связи (резонансного интеграла $\beta_{p,p+1} = \eta\beta$), то, например, формула для смещения полосы для связи, соседней с ядром ($p = n$), принимает вид

$$\Delta \lambda_{\text{max}} = - (V/2) \{1 + (2L-1) \cos 2\Phi_0\} (\eta - 1). \quad (8)$$

Как видно, в зависимости от Φ_0 может изменяться даже направление смещения. Этим самым уточняются выводы теории ВС [40], которая предсказывала только батохромные сдвиги под влиянием стерических помех у симметричных красителей, поскольку предполагалось, что порядки всех связей ПЦ при возбуждении поникаются. Более тщательный анализ предсказывает возможность разных по знаку эффектов для одного и того же типа изменения взаимодействия атомов в ПЦ (аптиленовая связь, поворот по связи).

Для вычисления параметров ядер по формулам (3), (4) наиболее удобным оказался метод, основанный на применении теории графов, в частности теоремы Сакса [37]. Такой подход позволил связать эффективную длину и электронодонорность с числом структур Кекуле, числом циклов и положением гетероатомов, т. е. непосредственно с информацией о химическом строении концевых групп. Применение теории графов особенно удобно еще и тем, что удается математически характеризовать топологию молекулы, которую нельзя просто выразить числом.

С химической точки зрения так называемым графам Сакса, необходимым при вычислении младших коэффициентов секулярных полиномов Q и R , наглядно можно сопоставить кекулевские структуры (K -графы) и структуры с делокализованными по периметру цикла л-электронами (Π -графы). Двойные связи при таком подходе можно рассматривать как компоненты графов Сакса. Например, для хинолина можно написать три K - и три Π -графа:



Необходимые коэффициенты секулярных полиномов Q и R вычисляются с помощью теоремы Сакса [37, 41]. Например, свободный член полинома Q вычисляется по формуле

$$q_0 = \sum_{S \in \{K, H\}} (-1)^{e(S)} s^r(S) \prod_i (-1)^{v_i}, \quad (9)$$

где суммирование ведется по всему набору K - и \tilde{L} -графов для графа концевой группы; произведение — по всем циклам, построенным на v_i вершинах; величина $c(S)$ равна числу компонент (число двойных связей и циклов); $r(S)$ — числу циклов в каждом S -м графе Сакса. Подобным образом вычисляются другие коэффициенты, а также учитывается наличие гетероатомов [37, 42].

Применение теории графов позволяет дать наглядную химическую интерпретацию электронодонорности Φ_0 , которая является характеристикой основности ядер. Можно видеть, что полином Q относится к электроноакцепторной форме ядра при классическом написании формулы красителя в виде граничных структур I, а R — к электронодонорной форме, поскольку удалаемый атом принадлежит двойной связи в ПЦ. Поскольку Φ_0 определяется по формуле (4) коэффициентами q_0 и r_0 , т. е. наборами графов Сакса для граничных форм ядра, то электронодонорность можно трактовать как отношение возможностей дело-

Γ^+	Γ	Тип	L	Φ_{Γ}
$H_2C=CH-(CH=CH)_m-$	$H_2C^--(CH=CH)_m-CH=$	—	$2m+1,5$	90
$H_2N^+-CH-(CH=CH)_m-$	$H_2N-(CH=CH)_m-CH=$	—	$2m+2,5$	45
$HC\equiv CH-(CH=CH)_m-$	$HC^=(CH=CH)_m-CH=$	—	$2m+2,0$	90
$O=CH-(CH=CH)_m-$	$O^--(CH=CH)_m-CH=$	—	$2m+2,2$	27
$CH=C-$	$CH^-C=$	A	Неопределенно	
$(CH=CH)_m$	$(CH=CH)_m$	X	$0,5m+1,5$	90
$NH^+=C-$	$NH-C=$	A	$2m+2,0$	0
$(CH=CH)_m$	$(CH=CH)_m$	X	$0,59m+1,53$	76
$O^+=C-$	$O-C=$	A	$2m+2,0$	0
$(CH=CH)_m$	$(CH=CH)_m$	X	$0,8m+1,6$	60
$+NH$ $HC \diagup \quad \diagdown C=CH-$ $\diagdown \quad \diagup (CH=CH)_{m-1}$	NH $HC \diagup \quad \diagdown C-CH=$ $\diagdown \quad \diagup (CH=CH)_{m-1}$	A	$m+2,5$	135
		X	$m+2,4$	8

Примечание. Через X обозначены ядра хюникелевского типа (m — четно); через A — антихюникелевского типа (m — нечетно). Для расчета примито: $a_N = a + \beta$; $a_0 = \beta + 2\delta$; $\beta_{CN} = \beta_{CO} = \beta_{CC}$; $\frac{a^2}{c} - c = \frac{\beta^2}{c}$.

кализации π -электронов в ядре с дефицитом электронов и в ядре, более богатом электронами. Другими словами, параметр Φ_0 определяет вклад в стабилизацию основного состояния молекулы красителя ядром в электроноакцепторной форме (Γ^*) по отношению к электронодонорной форме (Γ).

Такая трактовка расширяет выводы Брукера [13], который характеризовал основность (или, точнее, «дополнительную» стабилизацию двойных связей) только отношением числа некулевских структур для отдельных форм ядра. В нашем случае основность характеризуется электронодонорностью Φ_0 , при вычислении которой корректно учитываются наличие гетероатомов и гетеросвязей, вес и знак каждой структуры, а также структуры, отвечающие Π -графам, которые к тому же имеют вдвое больший вес, чем K -графы. Это связано с тем, что наш подход математически вытекает из метода МО Хюккеля, который сравнительно точно учитывает структурные факторы в строении молекул.

С помощью теории графов удобно систематически исследовать зависимости между параметрами и химическим строением ядер. Во многих случаях такой подход позволяет записать выражения для L и Φ_0 в удобном для анализа аналитическом виде [37]. Простейшие примеры приведены в таблице. Аналогично можно исследовать влияние анилирования концевых групп [43].

Для качественных выводов достаточно задаваться произвольным разумным набором орбитальных параметров, например параметрами Стрейтвизера [38]. При более детальной разработке какого-либо класса полиметинов они должны быть корректированы с учетом экспериментальных данных, так как из-за различия электронного распределения параметры не обязательно сохраняются при переходе к другим классам соединений. Целесообразно также использовать в качестве параметров элементы самосогласованного гамильтонiana, полученные в каком-либо более строгом приближении — от приближения Парра—Призера — Попла до приближений ab initio.

ЛИТЕРАТУРА

1. Hünig W.—Ztschr. angew. Chem., 1925, Bd. 38, S. 743—748.
 2. Kuhn H.—J. Chem. Phys., 1949, vol. 17, p. 1198—1212.
 3. Dewar M. J. S.—J. Chem. Soc., 1950, p. 2329—2334.
 4. Dähne S.—Ztschr. Chem., 1970, Bd. 10, S. 168—178.
 5. Förster Th.—Ztschr. phyz. Chem., 1940, Bd. B48, S. 12—17.
 6. Knott E. B.—J. Chem. Soc., 1951, p. 1024—1028.

7. Киприанов А. И., Дядюша Г. Г., Михайленко Ф. А.—Успехи химии, 1966, т. 35, с. 823—852.
 8. Mee J. D.—J. Amer. Chem. Soc., 1974, vol. 96, p. 4712—4714.
 9. Дядюша Г. Г., Вербовская Т. М., Киприанов А. И.—Укр. хим. журн., 1966, т. 32, с. 357—361.
 10. Дядюша Г. Г.—Укр. хим. журн., 1965, т. 31, с. 1171—1177.
 11. Киприанов А. И., Михайленко Ф. А.—Журн. общ. химии, 1961, т. 31, с. 786—793.
 12. Киприанов А. И., Пильгин Г. Т.—Учен. зап. Харьк. гос. ун-та, 1937, т. 10, с. 104—115; Киприанов А. И. Цвет и строение цианиновых красителей: Избр. тр. Киев: Наук. думка, 1979, с. 23—34.
 13. Brooker L. G. S.—Rev. Mod. Phys., 1942, vol. 14, p. 275—284.
 14. Сич Е. Д., Белая Ж. Н., Дядюша Г. Г.—Укр. хим. журн., 1964, т. 30, с. 1065—1069.
 15. Herzfeld K. F., Sklar A. L.—Rev. Mod. Phys., 1942, vol. 14, p. 295—301.
 16. Brooker L. G. S., Sprague R. H., Cressman H. W. J.—J. Amer. Chem. Soc., 1945, vol. 67, p. 1889—1893.
 17. Plaatt J. R.—J. Chem. Phys., 1956, vol. 25, p. 80—105.
 18. Киприанов А. И., Дядюша Г. Г.—Докл. АН УССР, 1959, с. 1119—1125.
 19. Дядюша Г. Г., Ищенко А. А., Деревянко Н. А. и др.—Укр. хим. журн., 1980, т. 46, с. 1186—1193.
 20. Дядюша Г. Г.—Укр. хим. журн., 1965, т. 31, с. 1293—1300.
 21. Киприанов А. И. Введение в электронную теорию органических соединений. Киев: Наук. думка, 1975, с. 155.
 22. Киприанов А. И., Фридман С. Г., Пупко Л. С.—В кн.: Киприанов А. И. Цвет и строение цианиновых красителей: Избр. тр. Киев: Наук. думка, 1979, с. 501—521.
 23. Левков Н. И.—Успехи науч. фотографии, 1972, т. 5, с. 92.
 24. Tani T.—I. Photogr. Sci., 1971, vol. 19, p. 161—166.
 25. Городовский В. М., Каилиновская Н. А., Казымов А. В.—Успехи науч. фотографии, 1976, т. 17, с. 121—128.
 26. Dewar M. J. S.—J. Amer. Chem. Soc., 1952, vol. 74, p. 3341—3345.
 27. Дядюша Г. Г.—Укр. хим. журн., 1964, т. 30, с. 1186—1194.
 28. Дядюша Г. Г.—Укр. хим. журн., 1964, т. 30, с. 929—934.
 29. Fraser M., Melera A., Reid D. H.—J. Chem. Soc. B, 1966, p. 483—489.
 30. Сломинский Ю. Л., Дядюша Г. Г., Ушакова И. К. и др.—Укр. хим. журн., 1974, т. 40, с. 1163—1168.
 31. Киприанов А. И. Цвет и строение цианиновых красителей: Избр. тр. Киев: Наук. думка, 1979, с. 303—327.
 32. Киприанов А. И., Дядюша Г. Г.—В кн.: Киприанов А. И. Цвет и строение цианиновых красителей: Избр. тр. Киев: Наук. думка, 1979, с. 439—445.
 33. Fabian J., Zimmer A.—J. prakt. Chem., 1979, Bd. 321, S. 449—465.
 34. Дядюша Г. Г., Качковский А. Д.—Укр. хим. журн., 1975, т. 41, с. 1176—1181.
 35. Дядюша Г. Г., Качковский А. Д.—Укр. хим. журн., 1978, т. 44, с. 948—953.
 36. Дядюша Г. Г., Качковский А. Д.—Укр. хим. журн., 1978, т. 44, с. 1069—1075.
 37. Дядюша Г. Г., Качковский А. Д.—Теорет. и эксперим. химия, 1979, т. 15, с. 152—161.
 38. Страйтлигер Э. Теория молекулярных орбит. М.: Мир, 634 с.
 39. Dähne S., Radeglia R.—Tetrahedron, 1971, vol. 27, p. 3673—3693.
 40. Brooker L. G. S., White F. L., Sprague R. H. et al.—Chem. Rev., 1947, vol. 41, p. 325—351.
 41. Gutman I., Trinajstic N.—Top. Curr. Chem., 1973, vol. 42, p. 49—93.
 42. Ajhara I.—J. Amer. Chem. Soc., 1976, vol. 98, p. 6840—6844.
 43. Дядюша Г. Г., Качковский А. Д.—Теорет. и эксперим. химия, 1980, т. 16, с. 615—619.

УДК 77.021.430:547.712-543.5

М. А. Альперович, Р. Д. Рацхина, В. Г. Хесин

ХИМИЧЕСКИЕ ПРЕВРАЩЕНИЯ ПОЛИМЕТИНОВЫХ КРАСИТЕЛЕЙ В ОСНОВНОМ ЭЛЕКТРОННОМ СОСТОЯНИИ

Полиметиновые красители (ПМК) уже на протяжении более 80 лет привлекают пристальное внимание исследователей, главным образом в связи с тем, что являются наиболее эффективными спектральными сенсибилизаторами фотографических материалов [1] и удобным объектом для разработки основных положений теории цветности органических соединений [2]. В последнее десятилетие интерес к ПМК возрос еще в большей степени, так как среди них были найдены эффективные соединения для фототронных затворов, обеспечивающих получение гигантских импульсов и импульсов микросекундной длительности на рубиновых и неодимовых лазерах, и для активных сред лазеров на органических соединениях, генерирующих излучение в ближней ИК-области [3]. ПМК представляют также интерес для получения бессеребряных фотоматериалов

лов, основанных на химических превращениях красителей при различных энергетических воздействиях [4, 5].

К полиметиновым красителям предъявляется большой комплекс разнообразных, часто противоположных, требований, которым применяемые соединения удовлетворяют пока еще не полностью. Нельзя также считать во всех случаях оптимальными условия их использования.

В настоящее время установлены многочисленные зависимости между строением и свойствами ПМК, выяснен ряд важных физико-химических факторов определяющих процесс спектральной сенсибилизации и эффективность использования ПМК в лазерной технике. Однако вопросам химических превращений полиметиновых красителей в условиях их практического использования уделяется должного внимания.

На основании опубликованных в литературе данных о различных электрофильных и нуклеофильных реакциях ПМК и результатах изучения их электронной структуры расчетными и различными физико-химическими методами [6] можно высказывать лишь предположения о возможных реакциях, отвечающих, с одной стороны, за их деградацию в реальных условиях применения а с другой — играющих важную роль в процессах спектральной сенсибилизации, десенсибилизации и вуалеобразования.

Ясные представления о термической устойчивости ПМК различного строения в условиях, исключающих возможность их взаимодействия с другими реагентами, до проведения настоящей работы практически отсутствовали. Имелось лишь упоминание о термическом дезалкилировании [7] и дезалкилировании [4] цианинов.

Неоднократно сообщалось, что многие ПМК, особенно содержащие длинные полиметиновые цепочки, являются нестабильными соединениями [8, 9], достаточно быстро обесцвечиваются в спиртовых растворах в темноте при обычной температуре. Однако, каков химизм необратимого разрушения ПМК в этих условиях, в том числе при пониженных значениях pH среды, ранее было установлено. Лишь в работе [10] была отмечена важная роль кислорода в процессах обесцвечивания растворов криптоцианина при повышенных температурах.

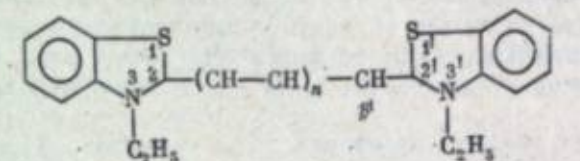
Лардэк [11] указывал на то, что в случае некоторых высокоосновных ПМК реакция их электрохимического окисления может быть необратимой. Одним из дальнейших путей превращения первичных продуктов одноэлектронного окисления цианинов — дикатион-радикалов — оставались невыясненными. Вместе с тем этот вопрос представляет значительный интерес, так как и в первичном акте спектральной сенсибилизации, и при акцептировании дырок из AgI₂ и в процессах вуалеобразования должны образовываться дикатион-радикалы ПМК [12], превращения которых необходимо учитывать при рассмотрении факторов, оказывающих влияние на суммарный эффект спектральной сенсибилизации.

В связи с этим нами было предпринято систематическое исследование направлений термических превращений ПМК, реакций, приводящих к их деградации в спиртовых и водных средах, в том числе при пониженных значениях pH. При изучении термических превращений продуктов одноэлектронного окисления ПМК особое внимание уделено продуктам взаимодействия ПМК с ионами серебра.

В качестве объектов исследования выбраны карбоцианины с различными гетероциклическими остатками и поликарбоцианины с разной длиной внешней цепи. Для установления состава и строения продуктов химических превращений ПМК использованы тонкослойная, бумажная, газожидкостная хроматография, хромато-масс-спектрометрия, УФ-, ИК- и ЯМР-спектроскопия, полярография и масс-спектрометрия.

Поскольку интерпретация приведенных в литературе данных по бумажной хроматографии цианинов [13] затруднена по методологическим причинам, сведения о тонкослойной хроматографии ПМК весьма разрознены [14], а масс-спектры ПМК при электронном ударе ранее не были описаны, нами было проведено систематическое исследование хроматографических свойств ПМК в условиях бумажной и тонкослойной хроматографии в зависимости от

Таблица 1
Результаты квантовохимических расчетов электронной структуры тиацианинов I



<i>n</i> = 1	—CH—CH—	<i>n</i> = 2	—CH—CH—CH—CH—
	8 9	8 9 10 9'	8 9 10 9'
<i>n</i> = 3	—CH—CH—CH—CH—CH—CH—		
	8 9 10 11 10' 9'		
<i>n</i> = 4	—CH—CH—CH—CH—CH—CH—CH—CH—		
	8 9 10 11 12 11' 10' 9'		
<i>n</i> = 5	—CH—CH—CH—CH—CH—CH—CH—CH—CH—		
	8 9 10 11 12 13 12' 11' 10' 9'		

а. Величины зарядов на атомах (*q*)

<i>n</i>	1,1'	2,2'	3,3'	8,8'	9,9'	10,10'	11,11'	12,12'	13
1	0,185	0,153	0,267	-0,135	0,139	-0,079	—	—	—
2	0,180	0,142	0,261	-0,131	0,134	-0,069	0,130	—	—
3	0,175	0,133	0,254	-0,131	0,126	-0,067	0,124	-0,057	—
4	0,171	0,124	0,249	-0,133	0,118	-0,065	0,119	-0,053	0,120
5	0,167	0,117	0,245	-0,135	0,112	-0,065	—	—	—

б. Величины порядков связей (*p_{rs}*)

<i>n</i>	1—2 (1'—2')	2—3 (2'—3')	2—5 (2'—5')	8—9 (8'—9')	9—10 (9'—10')	10—11 (10'—11')	11—12 (11'—12')	12—13 (12'—13')
1	0,392	0,478	0,641	0,634	0,643	—	—	—
2	0,382	0,466	0,656	0,618	0,658	0,627	—	—
3	0,373	0,456	0,671	0,601	0,673	0,610	0,643	—
4	0,345	0,447	0,684	0,584	0,688	0,595	0,659	0,626
5	0,357	0,438	0,696	0,571	—	—	—	—

в. Дипольные моменты связей (*μD*)

<i>n</i>	1—2 (1'—2')	2—3 (2'—3')	2—5 (2'—5')	8—9 (8'—9')	9—10 (9'—10')	10—11 (10'—11')	11—12 (11'—12')	12—13 (12'—13')
1	0,055	0,155	0,403	0,384	0,298	—	—	—
2	0,065	0,160	0,380	0,370	0,273	0,279	—	—
3	0,071	0,166	0,367	0,362	0,258	0,269	0,253	0,242
4	0,080	0,171	0,357	0,348	0,246	0,259	0,241	—
5	0,084	0,174	0,350	—	—	—	—	—

г. Индексы реакционной способности

<i>n</i>	F					f _E			
	1,1'	2,2'	3,3'	8,8'	9,9'	1,1'	2,2'	3,3'	8,8'
1	0,354	0,221	0,580	0,457	0,095	0,042	0,118	0,391	0,000
2	0,364	0,228	0,595	0,458	0,084	0,067	0,101	0,329	0,012
3	0,375	0,233	0,608	0,460	0,071	0,078	0,085	0,264	0,031
4	0,385	0,237	0,619	0,463	0,061	0,080	0,072	0,213	0,045
5	0,394	0,241	0,629	0,465	0,052	0,078	0,062	0,176	0,054

строения [15] и закономерностей их фрагментации в условиях масс-спектрометрии [16, 17]. Полученные результаты явились надежной основой для идентификации ПМК сложного строения и продуктов их химического превращения.

Для оценки прочности связей в ПМК различного строения и их реакционной способности проведен квантовохимический расчет их электронной структуры по методу самосогласованного поля в приближении Парра—Паризера—Попла [18, 19].

Как показывает анализ данных табл. 1, в тиакарбоцианине (I; $n = 1$) с высокой полярностью должны обладать связь между циклическим атомом азота и этильной группой и связи $C_2—C_8$ и $C_8—C_9$ внешней полиметиновой цепи, что указывает на возможность протекания не только известной реакции дезалкилирования этого красителя, но и термической гетеролитической диссоциации $C_2—C_8$ - и $C_8—C_9$ -связей.

При удлинении полиметиновой цепи снижается величина положительного заряда на атомах азота и серы тиазольных циклов, а также на нечетных атомах углерода полиметиновой цепи. С ростом цепи снижаются также порядки связей и возрастает их полярность в тиазольных циклах, при этом уменьшаются дипольные моменты связей (μD) и выравниваются порядки связей p_{rs} вдоль полиметинового хромофора. В соответствии с величинами реакционной способности F [20] действию радикальных реагентов в наибольшей степени должны подвергаться циклические атомы азота и атомы углерода в положениях 8,8', причем с ростом n эта способность увеличивается для всех указанных в таблице атомов. Величина граничной электронной плотности f_E [20], наибольшая для 8,8'-атомов углерода и атомов азота, при удлинении полиметиновой цепи снижается для этих атомов.

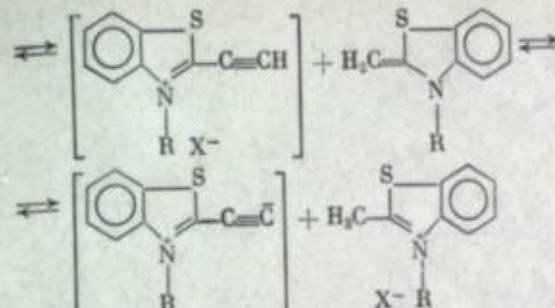
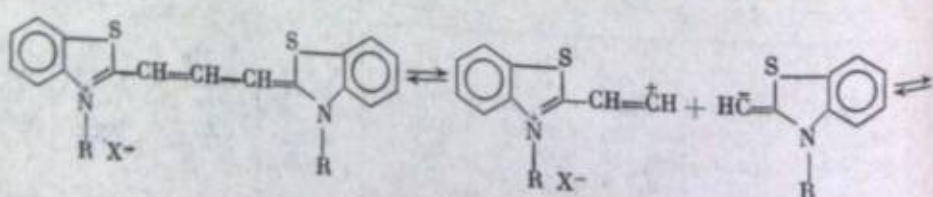
На основании результатов квантовохимических расчетов можно предполагать, что в ряду 3,3'-диэтилтиацианинов I с увеличением числа винилевых групп (n) должна снижаться вероятность термической элиминирования этикатиона от циклического атома азота и гетеролитической диссоциации $C_2—C_8$ -связей полиметиновой цепи. В то же время должны увеличиваться лабильность связей в тиазольных циклах и вероятность протекания гомолитических процессов. Повышение поляризуемости атомов с ростом n должно приводить к увеличению реакционной способности ПМК в растворах в гетеролитических реакциях.

РЕАКЦИИ ТЕРМОЛИЗА ПОЛИМЕТИНОВЫХ КРАСИТЕЛЕЙ

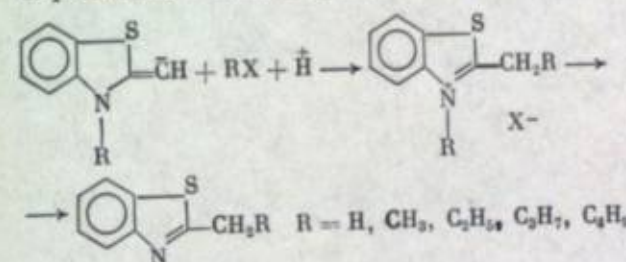
Продолжительное нагревание цианиновых красителей, в том числе тиакарбоцианинов I с $n = 4 \div 6$, в кристаллическом состоянии при 100°C в инертной атмосфере практически не вызывает их изменений; в расплаве ($175 \div 300^\circ\text{C}$), а также при кипячении их растворов в нитробензоле и хлорбензоле исследованные цианины претерпевают различные превращения [21—23].

Так, при нагревании 3,3'-диэтилтиакарбоцианиниодида (I; $n = 1$) при $270 \div 300^\circ\text{C}$ и при кипячении его раствора в нитробензоле наряду с ангидрооснованием красителя образуется 2-метил-3-этилбензтиазолийиодид. Качественными реакциями в реакционной смеси обнаружены соединения с тройной связью. Кроме того, среди летучих продуктов термолиза красителя (I; $n = 1$) идентифицированы бензтиазол и его 2-алкилзамещенные, а также 2-метилен-3-этилбензтиазолин и продукты его превращений.

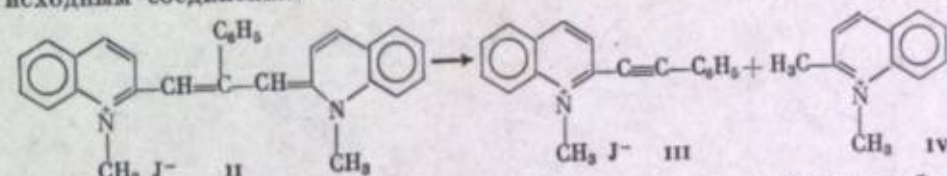
Анализ состава и соотношения продуктов термолиза, а также выяснение последовательности стадий реакций позволили высказать предположение, что 3,3'-диалкилтиакарбоцианины наряду с дезалкилированием способны гетеролитически обратимо диссоциировать по $C_8—C_9$ -связи полиметиновой цепи:



Образование 2-алкилбензтиазолов объясняется следующими реакциями:



Для обоснования предложенной схемы необходимо идентифицировать 2-ацетиленилбензтиазол и его четвертичную соль. Однако эти соединения малоустойчивы и их не удается выделить в индивидуальном виде [24]. В то же время соли 2-фенилацетиленилхинолина достаточно стабильны и легко образуют карбоцианины при взаимодействии с четвертичными солями 2(4)-метилзамещенных гетероциклов [25]. Можно было ожидать, что термолиз красителя II приведет к исходным соединениям III и IV:



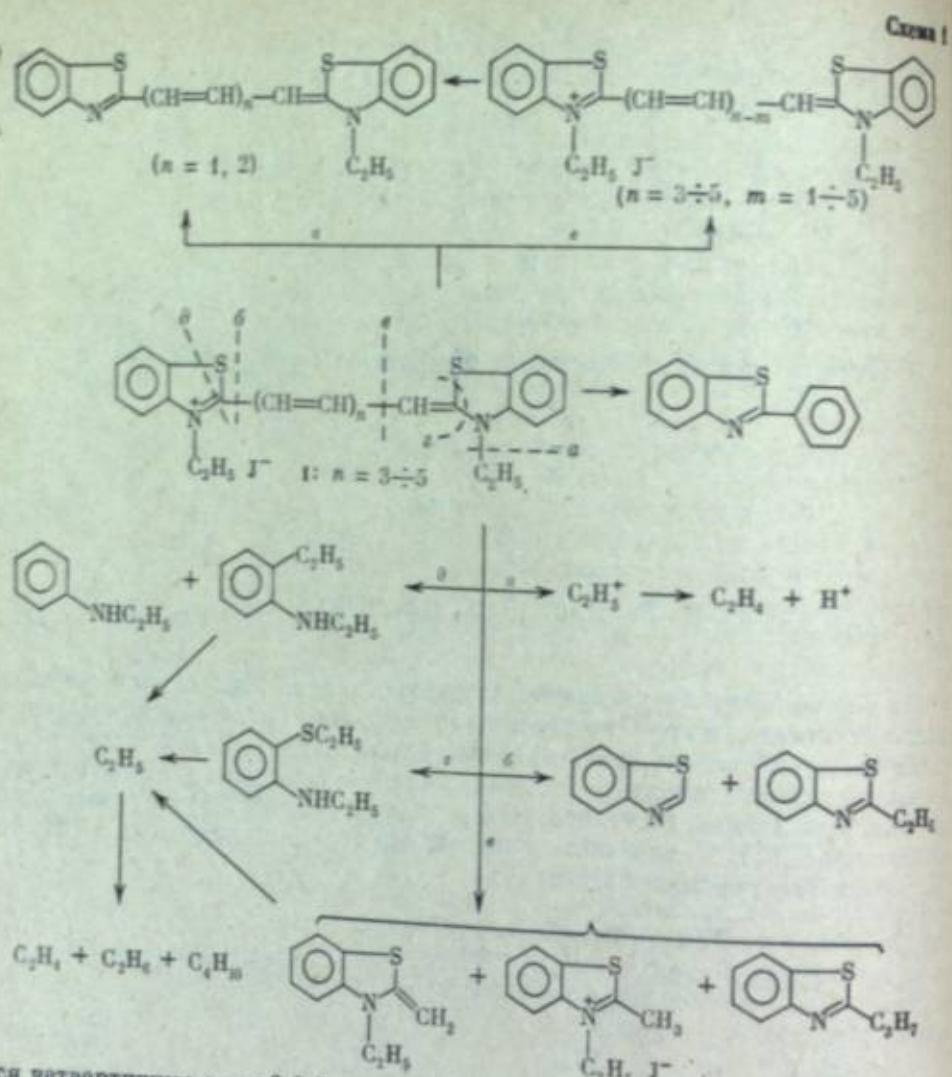
Действительно, среди продуктов превращения красителя II в нитробензоле ($200^\circ\text{C}, 10$ мин) обнаружены четвертичные соли III и IV. Из пиролизата II ($300^\circ\text{C}, 1$ мин) выделен 2-фенилацетиленилхинолин. Таким образом, для красителя II предложенная схема термической диссоциации $C_2—C_8$ -связей полиметиновой цепи полностью подтверждается составом продуктов превращений.

Термолиз тиацианинов I с $n = 2 \div 5$ приводит к образованию красителей с более короткой полиметиновой цепью, причем выход последних снижается с ростом n и появляется относительно больше продуктов, свидетельствующих о гомолитическом разрыве связей $C_2—C_8$ и в тиазольных циклах. Из продуктов дезалкилирования красителей обнаружены ангидрооснования только с $n = 1$ и 2. При этом показано, что при термолизе тиацианинов I с $n = 2 \div 5$ процессы, приводящие к образованию красителей с более короткой цепью, предшествуют дезалкилированию и, очевидно, аналогично тиакарбоцианину I с $n = 1$ обусловлены диссоциацией по $C_8—C_9$ -связи и последующим сокращением числа виниловых групп в четвертичных солях 2-метилполиенбензтиазолов. Для тиацианинов I с $n = 2 \div 4$ отмечено также образование 2-фенилбензтиазола в результате реакции циклизации внутри полиметиновой цепи.

Направления термической фрагментации тиаполикарбоцианинов I с $n = 2 \div 5$ могут быть представлены схемой 1.

Полученные результаты в основном согласуются с данными квантовохимических расчетов. Однако ожидавшаяся легкость гетеролитической диссоциации $C_2—C_8$ -связи в тиацианинах экспериментально не подтверждается.

Обнаруженная термическая диссоциация $C_\alpha—C_\beta$ -связи внешней полиметиновой цепи имеет общий характер для карбоцианинов, содержащих различные гетероциклические остатки. Так, при термолизе индокарбоцианинов образу-



ются четвертичные соли 2,3,3- trimетилиндоленина и продукты их термических превращений [26]:

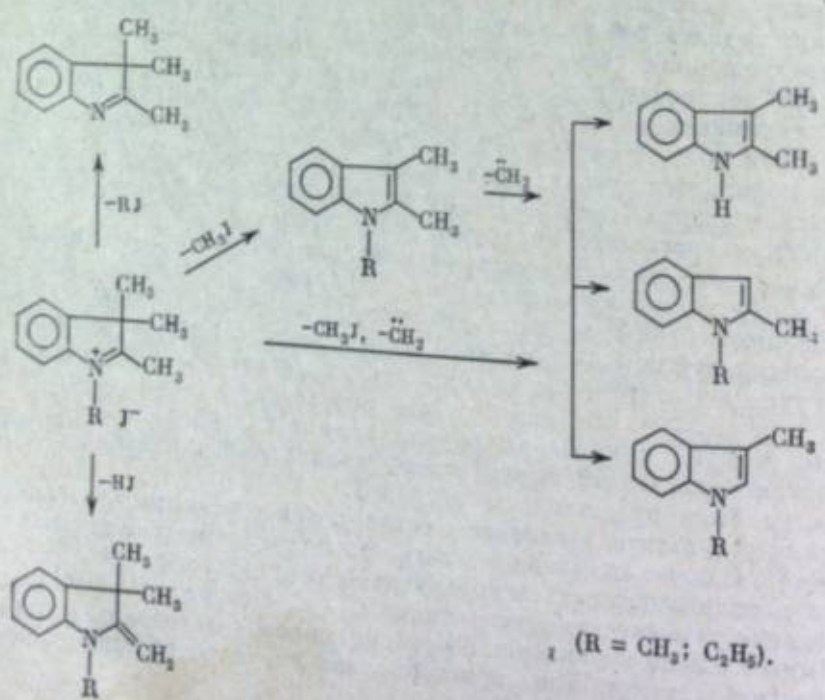


Таблица 2

Соединение	Формула	Выход (в %) в условиях		$\lambda_{\text{max}}^{\text{OH}}$ нм
		A	B	
VI		30	25	418
VII	 (R ^I , R ^{II} = CH ₃ , C ₂ H ₅)	20	10	536
VIII		20	20	458
I, $n = 1$		20	15	559
IX		2-3	5-7	634
X		2-3	10-12	644

Таблица 2 (окончание)

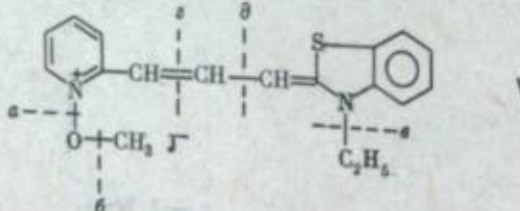
Соединение	Формула	Выход (в %) в условиях		λ_{max} нм в $\text{C}_2\text{H}_5\text{OH}$
		A	B	
XI		—	2—3	282, 288
XII		—	5—7	362

Примечание. Среди летучих продуктов в условиях A обнаружены $\text{CH}_3\text{O}-\text{C}_2\text{H}_5$, CH_3OH , CH_3J и $\text{C}_2\text{H}_5\text{J}$.

При термолизе несимметричных карбоцианинов при температуре выше и точки плавления, а также в высококипящих растворителях образуются соответствующие симметричные красители. При сплавлении двух симметричных карбоцианинов, отличающихся строением гетероциклических остатков, происходит образование несимметричных красителей. При совместном термолизе симметричных карбоцианинов и четвертичных солей 2(4)-метилзамещенных гетероциклов обнаружены не только несимметричные, но и симметричные карбоцианины, производные введенной в реакцию четвертичной соли [21].

При замене в несимметричных карбоцианинах алкильной группы при одном из циклических атомов азота на алкооксигруппу лабильность красителей резко возрастает, в связи с чем они были предложены в качестве энергочувствительных систем для регистрации изображения [4]. Согласно патентным данным, при термических, механических и фотохимических воздействиях эти красители обесцвечиваются в результате гомолитического элиминирования алкооксигруппы с образованием ангидрооснований. Строение каких-либо других продуктов превращения N-алкооксизамещенных карбоцианинов в литературе не приведено.

Нами исследованы термические превращения 1-метокси-3'-этилпиридо-2-тиакарбоцианина (V) при нагревании его в твердом виде при 70°C в течение 2 мин в инертной атмосфере (условия А) и при кипячении раствора красителя в смеси хлороформа с бензолом (1 : 9) в течение 30 мин (условия Б) [23, 27].



Приведенные в табл. 2 данные свидетельствуют о том, что в сравнительно мягких условиях в красителе V происходит разрыв не только связи $\text{N}-\text{O}$ (α), но и $\text{O}-\text{CH}_3$ (δ) и даже $\text{N}-\text{C}_2\text{H}_5$ (ϵ). Образование соединений I ($n = 1$), IX и X обусловлено термической диссоциацией по C-C-связям полиметиновой цепи (γ , δ), а XI и XII — миграцией метоксигруппы в положения 2 и 9 красителя V и последующими превращениями.

Следует отметить, что при воздействии на растворы полиметиновых красителей лазерного излучения большой интенсивности, приводящего к локальному нагреву среды, среди продуктов их деградации наряду с соединениями, образующимися в результате окисления ПМК синглетным кислородом [28], обнаружены также продукты их термического распада [29].

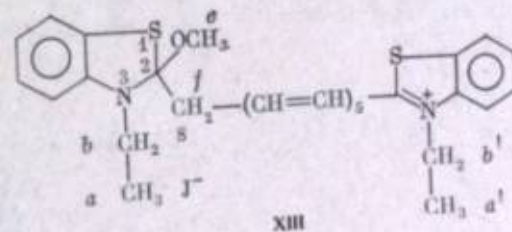
РЕАКЦИИ, ПРИВОДЯЩИЕ К ДЕГРАДАЦИИ ПОЛИМЕТИНОВЫХ КРАСИТЕЛЕЙ В СПИРТОВЫХ И ВОДНЫХ СРЕДАХ

А. И. Киприанов с сотр. [30] показали, что необратимое обесцвечивание высокоосновных карбоцианинов в основном происходит в кислых водно-спиртовых растворах, в то время как низкоосновные красители легче деградируют в щелочных средах. Таким образом, факторами, определяющими пониженную устойчивость цианиновых красителей в растворах, являются их способность к образованию при протонировании двутетвертичных солей и склонность к взаимодействию с гидроксильными ионами, приводящему к образованию псевдооснований. При удлинении полиметиновой цепи цианинов увеличиваются их основность и кислотность, что вызывает рост скорости их необратимого обесцвечивания как при пониженных, так и при повышенных значениях pH среды.

Вместе с тем даже в нейтральных спиртовых растворах тиаполикарбоцианины I с $n \geq 4$ обладают очень низкой устойчивостью. Следует отметить, что ранее химизм реакций необратимой деградации поликарбоцианиновых красителей и строение конечных продуктов их деструкции как в нейтральных спиртовых растворах, так и при повышенных значениях кислотности среды при комнатной температуре не были установлены.

Нами исследован процесс обесцвечивания 3,3'-диэтилтиапентакарбоцианиниодида (I: $n = 5$) при хранении его спиртовых растворов в темноте при комнатной температуре [31]. С целью установления строения продуктов обесцвечивания красителя I ($n = 5$) его насыщенный воздухом раствор в метиловом спирте ($c = 1,5 \cdot 10^{-3}$ моль/л) выдерживали в течение 45 сут при 20°C , при этом краситель полностью разрушался. После хроматографического разделения продуктов превращения выделено с выходом 60% соединение XIII ($\lambda_{\text{max}} = 462$ нм), с выходом 10% — соединение XIV ($\lambda_{\text{max}} = 452$ нм) и следы веществ с $\lambda_{\text{max}} = 450$ и 442 нм.

На основании определения молекулярной массы, результатов элементарного микроанализа, присутствия среди летучих продуктов пиролиза соединения XIII наряду с $\text{C}_2\text{H}_5\text{J}$ также CH_3J , CH_3OH (не являющегося кристаллизационным) и $\text{C}_2\text{H}_5\text{OH}$, данных ПМР и масс-спектрометрии установлено, что соединение XIII представляет собой аддукт (I: $n = 5$) с метиловым спиртом (1 : 1) строения



Спектр ПМР (спектр снят в CDCl_3 , δ рассчитаны относительно ТМС):

$\delta_{\alpha, \alpha'}$	$\delta_{b, b'}$	δ_e	δ_f	$J_{ab} = J_{\alpha', b'}$	J_f, Γ_f	Γ_α
1,22(тр) 1,25(тр)	3,68(кв) 5,85(кв)	3,72(с)	2,03(л)	7	7	

Соединение XIII крайне неустойчиво. При хранении на воздухе, при действии оснований и хроматографировании на активном оксиде алюминия оно

разлагается с образованием 2-метокси-3-этилбензтиазолийиодида и смеси тиацианинов I с более короткой цепью. Лишь при адсорбции на AgHal из раствора частично регенерируется исходный краситель (I: $n = 5$).

Близкими свойствами обладает соединение XIV, однако при его разложении образуется не 3-этилбензтиазолинон-2, как в предыдущем случае, а 2-формилметилен-3-этилбензтиазолин. Вероятно, XIV представляет собой продукт присоединения молекулы метилового спирта к красителю по связи C_4-C_5 или C_9-C_{10} . Аналогичные продукты присоединения образуются из тиацианинов I ($n = 4$ и 6), при этом с удлинением полиметиновой цепи скорость разложения возрастает.

Таким образом, процесс обесцвечивания тиаполикарбоцианинов I с $n = 4-6$ при хранении в темноте в нейтральных спиртовых растворах при обычной температуре объясняется тем, что они вступают в реакцию нуклеофильного присоединения молекул спирта по двойным связям внешней полиметиновой цепи.

Тиаполикарбоцианины I с $n < 4$ достаточно устойчивы при комнатной температуре в нейтральных спиртовых и водно-спиртовых растворах, однако в присутствии кислот они также вступают в реакцию с растворителями [23].

Так, при выставлении $1 \cdot 10^{-3}$ моль/л обескислороженного раствора двуэтетвертичной соли тиакарбоцианина XV ($\lambda_{\text{max}}^{\text{H}_2\text{O}} = 310$ нм) в среде 20%-ной серной кислоты образуется новое соединение XVI ($\lambda_{\text{max}} = 287$ нм), отличающееся в спектральном свойствам от исходной двуэтетвертичной соли. Процесс протекает селективно, так как семейство кривых поглощения, полученное в процессе

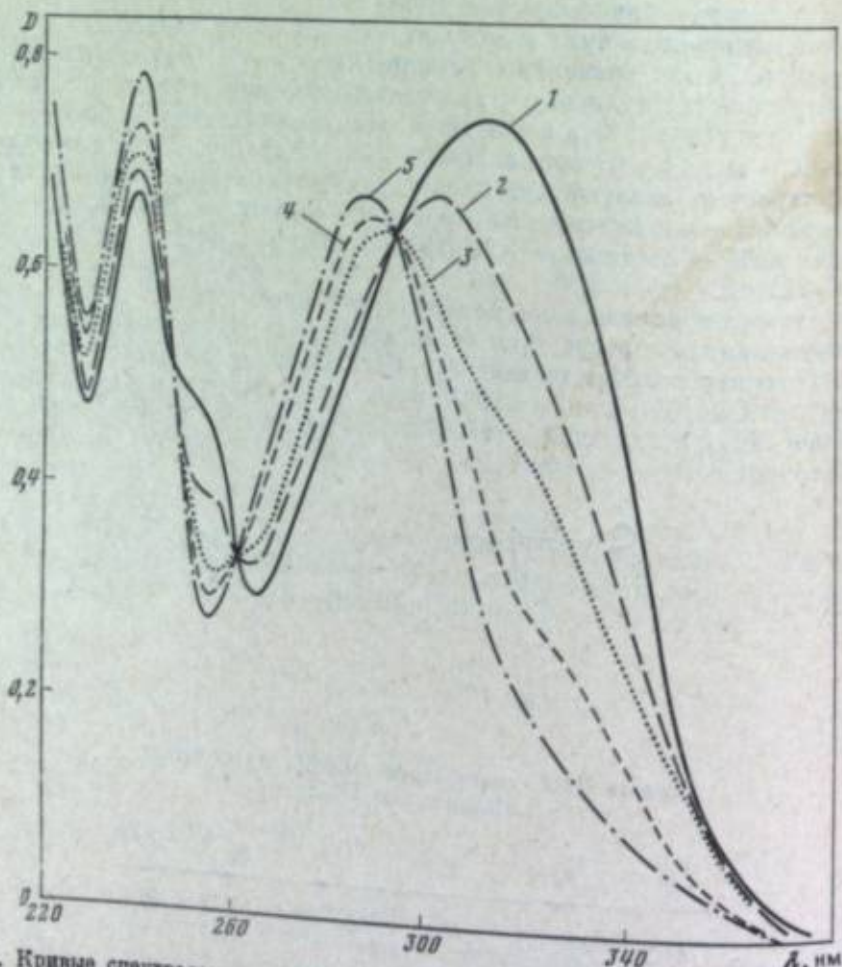
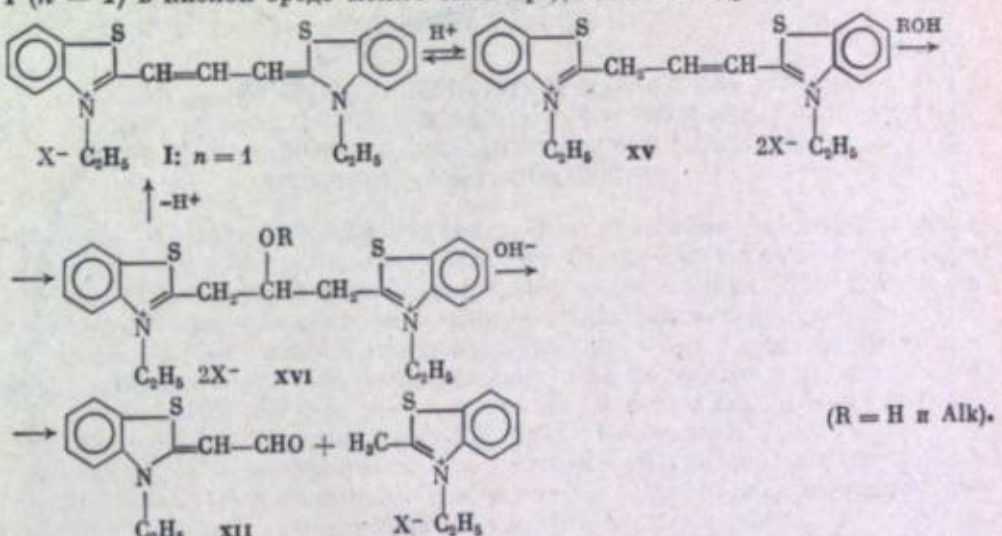


Рис. 1. Кривые спектрального поглощения, полученные в процессе выставления раствора двуэтетвертичной соли XV в 20%-ной H_2SO_4 . Время выставления, час: 1 — 0 (исходный раствор); 2 — 45; 3 — 96; 4 — 192; 5 — 648. $c_{\text{кр}} = 1 \cdot 10^{-4}$ моль/л. $I = 0.1$ см.

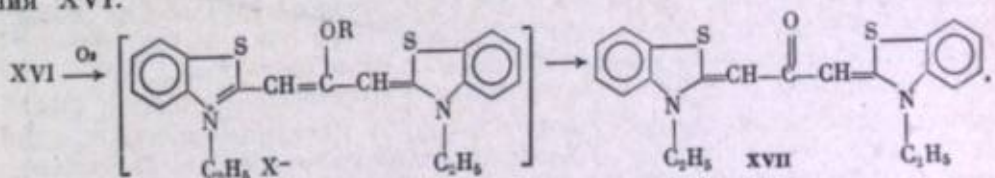
выставления, имеет изобистические точки (рис. 1). Аналогичные превращения наблюдаются при выставлении $1 \cdot 10^{-2}-1 \cdot 10^{-3}$ моль/л растворов соединения XV в среде водной соляной и 80%-ной трифторуксусной кислот. Однако в 95—100%-ной трифторуксусной кислоте двуэтетвертичная соль красителя XV стабильна даже в насыщенном воздухом растворе [32] и краситель I ($n = 1$) может быть полностью регенерирован через 10 сут хранения. Соединение XVI образуется и при выставлении водно-спиртовых (50—60%) и спиртовых растворов красителя I ($n = 1$), содержащих кислоту в концентрациях, при которых образование двуэтетвертичной соли XV спектрально не наблюдается. Через 10—12 сут выставления $2 \cdot 10^{-3}$ моль/л раствора красителя I ($n = 1$) в 60%-ном водном этиловом спирте в системе устанавливается равновесие (рис. 2).

Выделить в индивидуальном состоянии и охарактеризовать соединение XVI не удалось, так как оно устойчиво только в кислой среде. При разбавлении реакционных смесей регенерируется до 97% исходного красителя I ($n = 1$), а при нейтрализации 1 N NaOH — 60—65% красителя и, кроме того, около 25% 2-формилметилен-3-этилбензтиазолина (XII) и четвертичная соль 2-метилбензтиазола.

В соответствии с приведенными данными процесс обесцвечивания красителя I ($n = 1$) в кислой среде может быть представлен следующей схемой:



Состав и строение основных продуктов реакции практически не зависят от присутствия кислорода. Однако при проведении реакции в насыщенном воздухом растворе после нейтрализации наблюдается образование в небольших количествах тиакетоцианина XVII, что свидетельствует о протекании окислильных [33] и гидролитических [34] процессов и подтверждает строение соединения XVI:



Аналогичные реакции имеют место и для других цианиновых красителей. При увеличении основности гетероструктур и длины полиметиновой цепи скорость необратимого обесцвечивания возрастает за счет гидролитических процессов и окисления кислородом в кислой среде аддуктов красителей с молекулами спиртов или воды, находящихся в равновесии с исходными цианинами. Об этом свидетельствует образование из 1,1'-диэтилхино-4,4'-карбоцианин- n -толуолсульфоната (XVIII) трехъядерного неоцианина и 1,1'-диэтил-4-метил-2,4'-цианина (XIX и XX), из тиатрикарбоцианина I ($n = 3$) — красителей с более короткой полиметиновой цепью, ангидрооснования тиакарбоцианина, 3-этилбензтиазолинона-2, 2-формилметилен- и 2-формилаллилиден-3-этилбензтиазолинона.

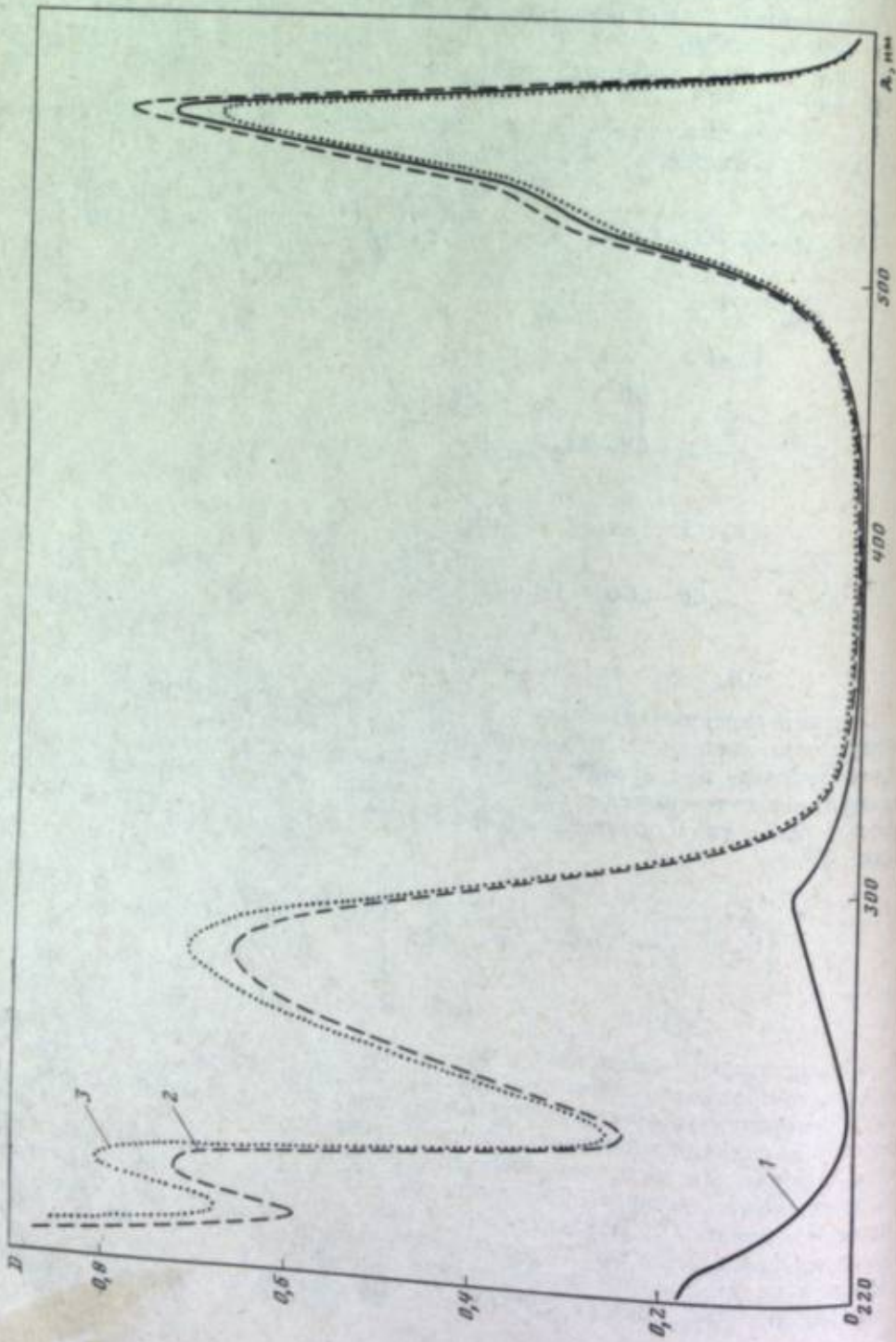
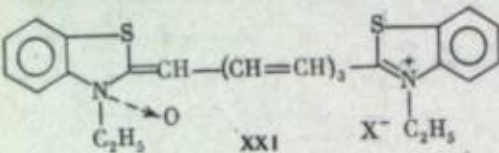


Рис. 2. Кривые спектрального поглощения, полученные в процессе гидратации раствора красителя I ($n = 1$) в 60%-ном этиловом спирте в присутствии 0,5 N HCl

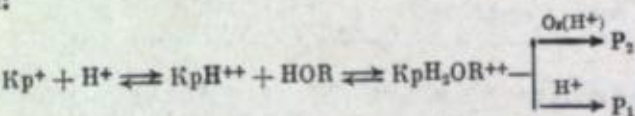
Время гидратации, час:

1 — 0 (исходный раствор);
2 — 240;
3 — 268, сырьё — $2 \cdot 10^{-4}$ моль/л.
разбавление:
1 — 1 : 40;
2, 3 — 1 : 2.

линов, а в присутствии кислорода, кроме того, красителя XXI с $\lambda_{\text{max}}^{\text{CaH}_2\text{ON}} = 744$ нм, образующегося при одноэлектронном окислении красителя I ($n = 3$).



Согласно приведенным данным, последовательность реакций, приводящих к деградации цианиновых красителей в кислых спиртовых и водных растворах в естественных условиях хранения, может быть представлена следующей схемой:



где P_1 и P_2 — продукты гидролитического и окислительного превращений аддуктов красителей с молекулами растворителей.

РЕАКЦИИ ВЗАИМОДЕЙСТВИЯ ПОЛИМЕТИНОВЫХ КРАСИТЕЛЕЙ С ИОНАМИ СЕРЕБРА В РАСТВОРАХ И РЕАКЦИИ ОДНОЭЛЕКТРОННОГО ЭЛЕКТРОХИМИЧЕСКОГО ОКИСЛЕНИЯ ПОЛИМЕТИНОВЫХ КРАСИТЕЛЕЙ

Известно, что высокоосновные полиметиновые красители способны взаимодействовать в растворе с ионами серебра, что коррелирует с их вуалирующим действием в галогенсеребряных фотографических эмульсиях [35]. Считалось [36], что первой стадией реакции является образование π -комплексов ПМК с ионами серебра, из которых действием фиксаторов Ag^+ регенерируются исходные красители, а при самопроизвольном распаде комплексов выделяется металлическое серебро. Однако вопрос о строении как предполагаемых комплексов, так и продуктов их превращений оставался открытым.

Нами исследовано взаимодействие с ионами серебра и одноэлектронное электрохимическое окисление 3,3'-диэтилтиаполикарбоксиан-*n*-толуолсульфонатов (I: $n = 3 \div 5$) и 1,1'-диэтилхино-4,4'-карбоцианин-*n*-толуолсульфоната (XVIII) [23] и одноэлектронное электрохимическое окисление тиацианинов (I: $n = 1 \div 2$), не вступающих в растворах в окислительно-восстановительную реакцию с солями серебра.

В табл. 3 приведены результаты определения методом потенциометрического титрования *n*-толуолсульфоната серебра, вступающего в реакцию с красителями I ($n = 3 \div 5$) и XVIII, металлического серебра, выделяющегося через различные промежутки времени, и образующейся при реакции кислоты.

На основании данных потенциометрического титрования можно сделать вывод, что уже в первые моменты реакции происходит окислительно-восстановительный процесс с выделением металлического серебра. Соотношение нормального редокс-потенциала¹ ($E_{\text{Ag}/\text{Ag}^+}^0$) системы Ag/Ag^+ и $E_{1/2}^{\text{ox}}$ красителей свидетельствует о возможности быстрого протекания реакции окисления красителей ионами серебра. Вследствие этого образующимся соединениям не может быть приписано строение комплексов. Действительно, если добавлять в реакционные смеси краситель— AgTs (в соотношении 1 : 2) фиксаторы ионов серебра (KJ, KCN) регенерация исходных красителей не наблюдается в отличие от данных работы [36].

Как и следовало ожидать, с ростом длины полиметиновой цепи тиацианинов в соответствии со снижением $E_{1/2}^{\text{ox}}$ склонность красителей к взаимодействию с ионами серебра возрастает, что выражается в увеличении количества метал-

¹ В метиловом спирте $E_{\text{Ag}/\text{Ag}^+}^0 = 0,764$ В [38].

Таблица 3

Результаты потенциометрического контроля реакции взаимодействия красителей I ($n = 3+5$) и XVIII с *n*-толуолсульфонатом серебра в метиловом спирте

Соединение	$E_{1/2}^{\text{ок}}, \text{В}$	Кр : AgTs (по кривой титрования)	рAg в точке эквивалентности	Кр : НХ	Кр : Ag	
					через 10 мин	через 30 ч
I: $n = 3$	0,48 [37]	1 : 2	4,0	1 : 2	1 : 0,8	1 : 1,1
I: $n = 4$	0,37 [37]	1 : 2	7,7	1 : 2	1 : 1,2	1 : 1,5
I: $n = 5$	0,28 [37]	1 : 3	8,6	1 : 3	1 : 1,6	1 : 2,0
XVIII	0,19 [11]	1 : 2	см. *	см. **	1 : 0,7	1 : 1,0

* Кривая титрования нечеткая.

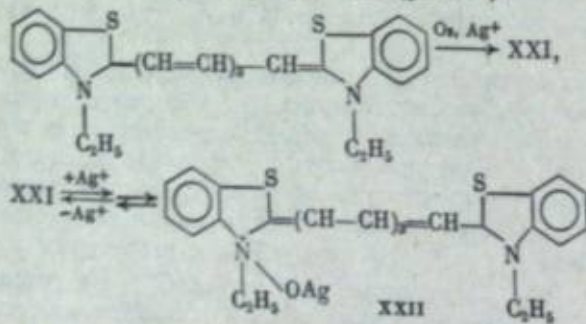
** Часть кислоты расходуется на реакцию с красителем.

лического серебра, выделяющегося за один и тот же промежуток времени а также в увеличении рAg системы в точке, соответствующей половине объема титранта (AgTs).

Приведенные в табл. 3 данные подтверждают, что при реакции с соли серебра выделяется эквивалентное прореагировавшему Ag^+ количество свободной кислоты [39]. Содержащееся в продуктах реакции ионно-связанное серебро восстанавливается в течение 10–24 час. В реакционных растворах после восстановления всего количества серебра обнаружены красители с меньшей, чем у исходных, длиной полиметиновой цепи, четвертичные соли 2(4)-метилзамещенных гетероциклов и другие соединения, образующиеся и при выставлении подкисленных насыщенных воздухом растворов исследуемых красителей.

При окислении 3,3'-диэтилтиатрикарбонии-*n*-толуолсульфоната (I: $n = 3$) в насыщенных воздухом растворах спиртов, ацетонитрила и хлороформа ($c = 1 \cdot 10^{-4} \pm 5 \cdot 10^{-6}$ моль/л) эквимолекулярным количеством AgTs наблюдается образование красителя XXI, максимум поглощения которого в этиловом спирте (744 нм) смешен на 16 нм гипсохромно относительно максимума поглощения исходного красителя. Появление этого красителя отмечалось среди продуктов превращения тиатрикарбониина в кислых спиртовых растворах в присутствии кислорода воздуха (см. выше).

Краситель XXI способен обратимо присоединять 1 г-экв соли серебра. Образующийся при этом продукт XXII имеет широкую полосу поглощения с максимумом при 520–540 нм (рис. 3).



Соответственно при соотношении красителя I ($n = 3$) и AgTs , равном 1 : 2, 1 г-экв Ag^+ восстанавливается до металлического, а второй оказывается ионно-связанным в соединении XXII. Таким образом, первая стадия процесса представляет собой одноэлектронную окислительно-восстановительную реакцию, в результате которой должен образовываться реакционноспособный дикватион-радикал красителя (Кр²⁺):



При взаимодействии красителя I ($n = 3$) с AgTs в соотношении (1 : 1) в отсутствие кислорода соединения XXI и XXII не образуются, хотя все количества введенных в реакцию ионов серебра восстанавливаются до металлического

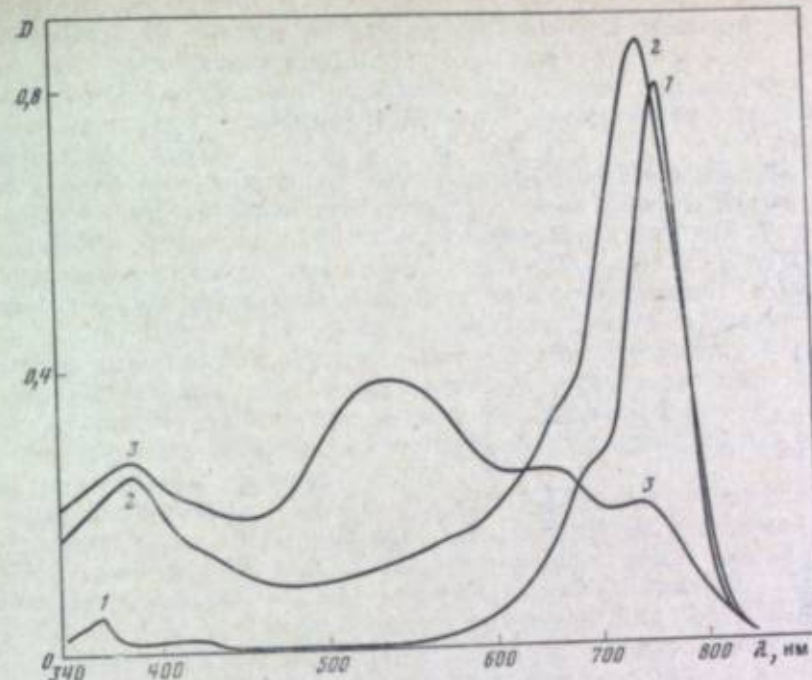


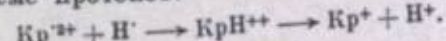
Рис. 3. Кривые спектрального поглощения в этиловом спирте
1 — краситель I ($n = 3$), ($c = 1 \cdot 10^{-4}$ моль/л, $l = 0,3$ см); 2 — реакционный раствор краситель — AgTs (1 : 1), ($l = 1$ см); 3 — то же (1 : 2), ($l = 1$ см)

серебра. При этом в реакционной смеси остается до 10% исходного красителя I ($n = 3$) и образуется соединение KpNOCH_3 (XXIII: $\lambda_{\text{max}} = 385$ нм). В процессе реакции в растворе накапливается свободная кислота.

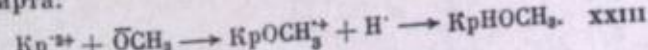
При электролизе обескислорожденного раствора красителя I ($n = 3$) в метиловом спирте при потенциале, соответствующем его одноэлектронному окислению, концентрация исходного красителя постепенно снижается и в системе накапливаются кислота и соединение XXIII. Длительный электролиз обескислорожденного ацетонитрильного раствора практически не приводит к изменению количества красителя I ($n = 3$) и образованию соединения XXIII в электрохимической ячейке, однако при этом наблюдается появление кислоты.

Приведенные данные можно объяснить тем, что образующийся при одноэлектронном окислении (как ионами серебра, так и электрохимически) дикватион-радикал (Kp^{2+}) вступает в различные реакции.

В отсутствие кислорода он, очевидно, акцептирует H^+ от растворителя, регенерируя исходный краситель I ($n = 3$) и обуславливая накопление в системе протонов:

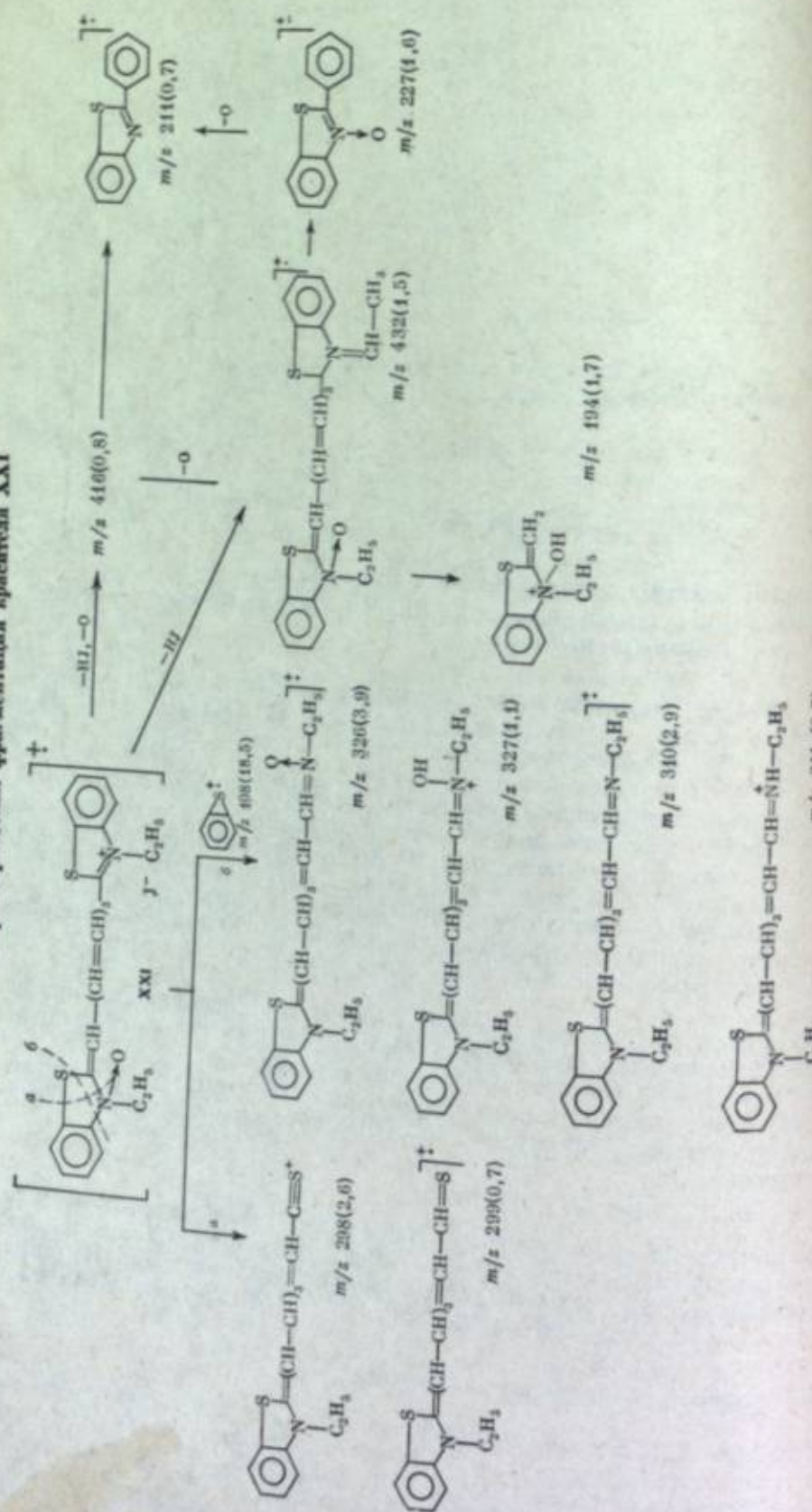


При взаимодействии с метиловым спиртом Kp^{2+} благодаря своей высокой электрофильной активности, вероятно, присоединяет ионы CH_3O^- и затем, отрывая атом водорода от растворителя, образует соединение XXIII, представляющее собой аддукт молекулы красителя I ($n = 3$) с молекулой метилового спирта:



Соединение XXIII крайне неустойчиво и при деградации дает те же соединения [тиацианины (I: $n = 0 \div 2$), 3-этилбензтиазолин-2 (XI), 2-формилметилен-3-этилбензтиазолин (XII) и пр.], которые были идентифицированы при обесцвечивании спиртового раствора красителя I ($n = 3$) в присутствии кислоты. Этот факт подтверждает высказанное предположение о строении соединения XXIII.

Масс-спектрометрическая фрагментация красителя XXI



Соединение XXI получается при взаимодействии красителя I ($n = 3$) с AgX только в присутствии кислорода, что наводит на мысль о его образовании в результате реакции Kr^{2+} с кислородом. Действительно, при электрохимическом окислении соединения I ($n = 3$) в присутствии кислорода образуется краситель XXI.

Представляло интерес выяснить его строение. Краситель XXI был выделен в виде иодида и изучен различными физико-химическими методами. Он отличается высокой лабильностью. Так, при концентрировании его растворов при $30\text{--}40^\circ\text{C}$ в токе инертного газа образуются тиацианины (I: $n = 0 \div 2$), антидирооснование тиакарбоцианина, карбонильные соединения XI, XII и четвертичная соль 2-метилбензтиазола. Среди продуктов превращения XXI в указанных условиях обнаружен также исходный тиатрикарбоцианин (I: $n = 3$), что, безусловно, свидетельствует об отсутствии глубоких изменений структуры красителя XXI по сравнению с соединением I ($n = 3$). Это подтверждается близостью спектральных свойств обоих соединений как в видимом, так и в ИК-диапазоне спектра.

Масс-спектр красителя XXI ($70 \text{ эВ}, 140^\circ\text{C}$) обладает достаточно высокой селективностью ($S_{1,0} = 6$). Первый ион, регистрируемый в масс-спектре красителя XXI, имеет $m/z 432$ (1.5 % от полного ионного тока), что на 16 единиц превышает массу иона $[\text{M} - \text{HX}]^+$ для тиатрикарбоцианина [16, 17]. В отличие от красителя I ($n = 3$) в масс-спектре красителя XXI наблюдаются интенсивные пики ионов ($m/z: 327, 326, 311, 310, 299, 298$), обусловленные, вероятно, разрывом одного из тиазольных колец по двум возможным направлениям с включением одного из гетероатомов в состав осколочных ионов. Анализ масс-спектра красителя XXI позволяет с определенной вероятностью интерпретировать его как спектр N-оксида тиатрикарбоцианина (I: $n = 3$), в котором имеет место лишь частичное смещение электронной плотности с атомом азота на атом кислорода.

Вместе с тем, судя по электронному спектру поглощения, истинное строение красителя XXI отличается от строения классических N-оксидов и требует дальнейшего изучения.

Краситель XXI образуется, очевидно, при взаимодействии дикатион-радикала I ($n = 3$) с кислородом по схеме 2.

Схема 2

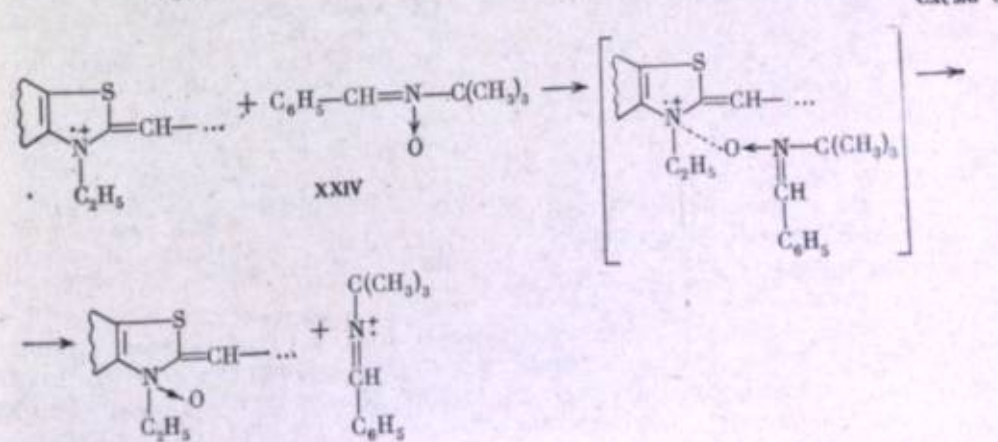
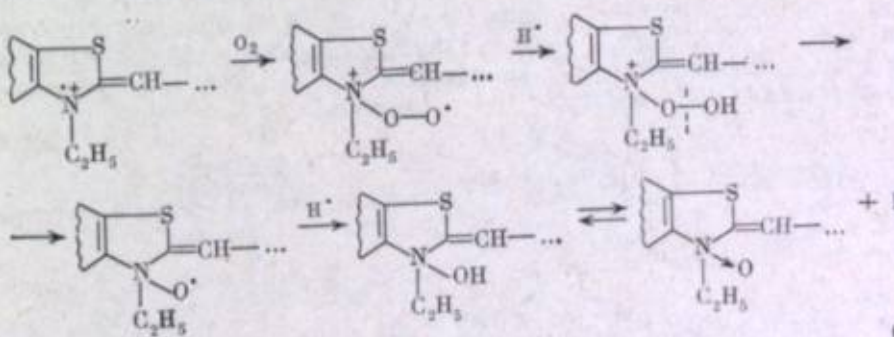
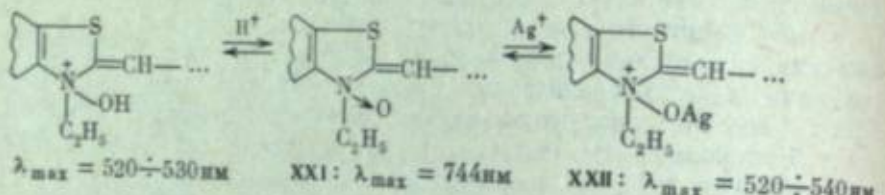


Схема 3

Соединение XXI образуется также при электрохимическом окислении красителя I ($n = 3$) в бескислородной атмосфере в присутствии *трет*-бутилфенонитрона (XXIV), вероятно, согласно схеме 3.

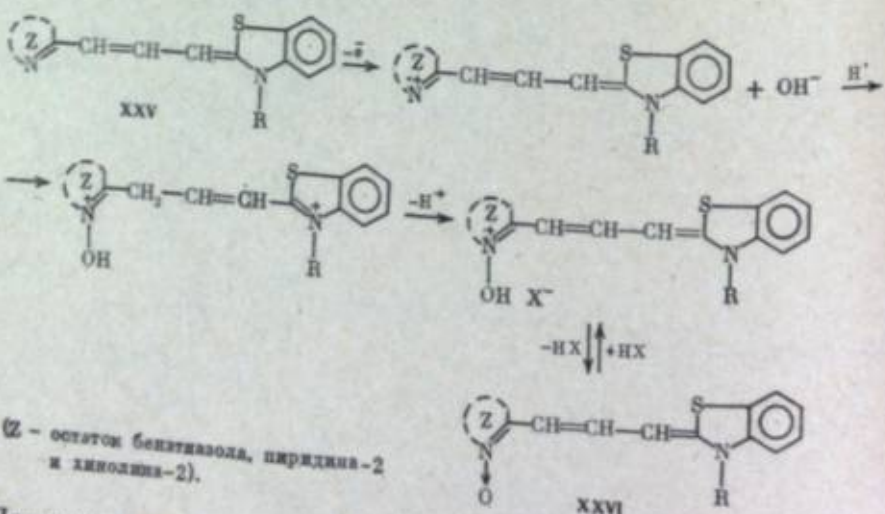
При обратимом присоединении красителем XXI ионов серебра или проявляется разделение зарядов между атомами N и O, «полиметавое состояние» [6] при этом нарушается и кривая поглощения оказывается заметно смещенной в сторону коротких длин волн:



Соединения, аналогичные по спектральным характеристикам красителю XXI, образуются при однозелектронном окислении насыщенных воздухом спиртовых растворов 3,3'-диэтилтиакарбо- и -дикарбонианин-*n*-толуолсульфоната (I: $n = 1$ и 2), не окисляющихся ионами серебра, и в небольших количествах при окислении 3,3'-диэтилтиатетракарбонианин-*n*-толуолсульфоната (I: $n = 1$) ионами серебра. Максимумы поглощения этих красителей в этиловом спирте (545, 640 и 856 нм соответственно) смещены на 12–15 нм в коротковолновую область по сравнению с исходными тиацианинами I ($n = 1, 2, 4$).

При электрохимическом окислении тиацианинов I ($n = 1, 2, 4, 5$) и XVI и при окислении красителей I ($n = 4$ и 5) и XVIII ионами серебра независимо от присутствия кислорода в среде метилового или этилового спирта (аналогично соединению I с $n = 3$) наблюдается образование соединений, поглощающих в области второго электронного перехода исходных красителей. Для красителей I ($n = 4$ и 5) и XVIII эти соединения являются основными продуктами реакции. На основании почти полной идентичности состава продуктов разрушения и продуктов сольволиза соответствующих красителей в кислотных спиртовых растворах можно полагать, что они являются аддуктами красителей с молекулой спирта.

Ангидрооснования карбонианинов XXV при взаимодействии с ионами серебра и однозелектронном электрохимическом окислении также образуют N-оксиды XXVI [39]. Однако в этом случае образование связи N—O происходит не за счет взаимодействия с кислородом, а в результате акцептирования катион-радикалом OH⁻-ионов.



Приведенные данные свидетельствуют о том, что в реальных условиях ПМК могут подвергаться деградации в результате реакций термолиза, взаимодействия с гидроксилодержащими растворителями и одноэлектронного окисления. Однако факторы, обуславливающие обесцвечивание ПМК в растворах

очевидно не исчерпываются указанными реакциями. В случае аprotонных сред нельзя исключать возможности взаимодействия ПМК с продуктами радикально-цепного окисления растворителей кислородом воздуха — пероксидными радикалами, гидропероксидами и пероксидами [40]. В среде галогенуглеводородов может иметь место обесцвечивание ПМК фотохимически генерируемыми радикалами растворителей [5]. Вопрос о реакционной способности ПМК в отношении различных радикальных агентов малоизучен и требует специального исследования.

ЛИТЕРАТУРА

- Джеймс Т. Теория фотографического процесса / Пер. с англ. под ред. А. Л. Картузянского. Л.: Химия, 1980. 672 с.
- Киприанов А. И. Введение в электронную теорию органических соединений. Киев: Наук. думка, 1975. 190 с.
- Малышев В. И. — Наст. сб., с. 177–192.
- Eastman Kodak. Откр. заявки ФРГ № 1950746, 1970; № 1950757, 1970; № 1950779, 1970; № 1950785, 1970.
- Pat. 1152608 (BRD).
- Dähne S. — Ztschr. Chem., 1970, Bd. 10, S. 168–183.
- Brooker L. G. S., Sprague R. H., Smyth C., Lewis G. — J. Amer. Chem. Soc., 1940, vol. 62, p. 1116–1125.
- Кован И. М. Химия красителей. М.: Госхимиздат, 1956. 696 с.
- Hamer F. M. The cyanine dyes and related compounds. N. Y.: L: Intersci. publ., 1964. 790 р.
- Теплякова Н. В., Калия О. Л., Лебедев О. Л. — Журн. физ. химии, 1975, т. 49, с. 1154–1159.
- Large R. — In: Photographic sensitivity (Cambridge, 1972): Proc. N. Y.: Acad. press, 1973, p. 241–263.
- Dähne S. — Photogr. Sci. and Eng., 1979, vol. 23, p. 219–239.
- Jeffreys R. — In: Ergeb. intern. Konf. wiss. Photogr. (Köln, 1956). Darmstadt: Verl. O. Helwisch, 1958, Section A-1, S. 123–128.
- Kues H., Teague C. — J. Chromatogr., 1977, vol. 135, p. 221–225.
- Райхина Р. Д., Колодкин Ф. Л., Альперович М. А., Головин В. И. — Сб. науч. тр. Всесоюз. н.-и. и проект. ин-та хим.-фотограф. пром-сти, 1977, вып. 25, с. 38–48.
- Тюрин В. С., Альперович М. А., Мирохина Е. И., Головин В. И. — В кн.: Лазеры на основе сложных органических соединений: Тез. докл. II Всесоюз. конф. Душанбе, 1977, с. 76–78.
- Альперович М. А., Абдесеа В. И., Райхина Р. Д., Левкоев И. И. — В кн.: Лазеры на основе сложных органических соединений (Минск, 1975): Тез. докл. I Всесоюз. конф. Минск: ИФ АН БССР, 1975, с. 144–145.
- Киприанов А. И., Фридман С. Г., Пупко Л. С. — Сб. науч. работ Ин-та орган. химии АН УССР, 1947, № 13, с. 40–67.
- Альперович М. А., Райхина Р. Д., Абдесеа В. И. и др. — Докл. АН СССР, 1978, т. 239, с. 1350–1353.
- Толмачев А. И., Корнилов М. Ю., Карабан Е. Ф. — Теорет. и эксперим. химия, 1976, т. 12, с. 817–821.
- Киприанов А. И., Ушенко И. К. — Журн. общ. химии, 1947, т. 17, с. 1538–1451.
- Свешников Н. Н., Левкоев И. И., Портнова Б. С., Либштадт Э. Б. — Докл. АН СССР, 1952, т. 84, с. 733–736.
- Natanson S. V. — Acta phys.-chim. URSS, 1946, Bd. 21, S. 430–436.
- Покровская К. И., Левкоев И. И., Натансон С. В. — Журн. физ. химии, 1956, т. 30, с. 161–171.
- Loutfy R., Sharp J. — Photogr. Sci. and Eng., 1976, vol. 20, p. 165–174.
- Справочник химика / Под ред. Б. П. Никольского. М.: Л.: Химия, 1964, т. 3, с. 826.
- Райхина Р. Д., Альперович М. А., Сеников Г. П. — Химия гетероциклических соединений, 1979, № 6, с. 761–766.
- Теплякова Н. В., Калия О. Л., Лебедев О. Л., Лукьянченко Е. А. — Журн. орган. химии, 1976, т. 12, с. 1032–1036.

ИОНЫЕ РАВНОВЕСИЯ ЦИАНИНОВЫХ КРАСИТЕЛЕЙ В ОРГАНИЧЕСКИХ РАСТВОРИТЕЛЯХ

Цианиновые красители, являющиеся солеобразными соединениями, находятся в растворах в виде равновесной смеси различных ионных форм (свободных ионов, контактных и сольватно разделенных ионных пар, ион-тройников и т. д.) [1] и не полностью ионизированных молекул [2]. Равновесие между этими формами может смещаться в сторону одной из них при изменении температуры, природы растворителя, замене одного из ионов, при введении в раствор ионных и сольватирующих добавок. Состояние указанных равновесий определяет ионный состав растворов красителей и может оказывать значительное влияние на характер гомолитических и гетеролитических превращений цианинов в основном и электронно-возбужденных состояниях.

Однако в литературе вопрос о диссоциации цианиновых красителей в растворах в зависимости от их строения и природы среды освещен недостаточно.

Шайбе с сотр. [3] и Шеппарт [4] показали, что в разбавленных водных растворах пинакианол и тиакарбоцианин находятся в мономерной диссоциированной форме. При увеличении концентрации растворов наблюдается агрегация красителей, которую Шайбе отнес к ассоциации одноименно заряженных ионов красителя, а Шеппарт — к ассоциации катионов красителя с участниками анионов. В более поздних работах [5, 6] было доказано, что Н- и J-агрегаты цианиновых красителей состоят из катионов и анионов, но характер связи между ними не обсуждался.

Фёрстер [7] предложил квадрупольную модель агрегатов ионогенных красителей, в которых присутствие противоиона увеличивает термодинамическую стабильность агрегата. МакКай и Хилсон [8] объяснили изменения электрических спектров и электропроводности некоторых монометин- и карбоцианиновых красителей в смесях растворителей образованием ионных пар и отмечали длинноволновую полосу в спектре поглощения к свободному катиону красителей, а наблюдавшие две гипсохромно смещенные полосы — соответственно к «ионным парам, разделенным растворителем» (Н-полоса), и к «ионным парам, разделенным молекулами растворителя» и обладающим повышенной склонностью к агрегации (L-полоса). Убедительного обоснования такого отнесения полос авторами не дано.

Следует отметить, что в литературе практически отсутствуют данные по реакционной способности ионных форм цианиновых красителей. Лишь в работе [9] на основании наблюданного влияния природы аниона на скорость обесцвечивания криптоцианина в спиртовом растворе высказано предположение о связи этого процесса со степенью диссоциации красителя. Однако экспериментальные данные по влиянию природы аниона на константу диссоциации криптоцианина в этиловом спирте не приведены.

Настоящая работа посвящена исследованию ионных равновесий тиаполикарбоцианинов I ($n = 1 \div 4$, $X^- = J^-$; $n = 5$, $X^- = J^-, ClO_4^-, BF_4^-$, T и индолентакарбоцианинов II ($X^- = F_3CSO_3^-$, J^- , F_3CCOO^- , Ts^-)¹ в органических растворителях с различной диэлектрической проницаемостью.

Изучение электропроводности растворов красителей проводили в терmostabilированной стеклянной ячейке с помощью кондуктометра OK-102 (ВНИИЭМ) снабженного куполообразным электродом. Константу ячейки определяли эталонным раствором хлористого калия. Спектральные исследования проводили на спектрофотометре Сагу-14Р (США). В работе использовали растворы, предварительно очищенные по стандартным методикам [10].

В растворителях с высокой диэлектрической проницаемостью, таких, как метиловый ($\epsilon = 32,6$) или этиловый ($\epsilon = 24,3$) спирт, вид спектров поглощения исследованных красителей не зависит от их концентрации (в интервале 1–10 моль/л).

¹ Авторы выражают благодарность Н. В. Моич за синтез пентакарбоцианиновых красителей с различными анионами.

$= 10^{-3} \div 10^{-6}$ моль/л) и поэтому характеризует частицу одного типа или равновесное состояние сольватно разделенных ионных пар ($B^+ \parallel X^-$) и свободных ионов (B^+ и X^-) с очень близкими спектрами поглощения:



Кондуктометрические измерения, проведенные для ряда тиаполикарбоцианинов I в этиловом спирте, показали, что красители, так же как и тетраалкилзамещенные аммониевые соли [11], являются сильными электролитами и полностью диссоциированы на ионы в указанном интервале концентраций. Изменение эквивалентной электропроводности (κ) этих растворов подчиняется уравнению Колърауша

$$\kappa = \kappa_0 - B \sqrt{c} \quad (2)$$

На рис. 1 представлены графики зависимости $\kappa - \sqrt{c}$ для 3,3'-диэтилтиаполикарбоцианиодидов. Как видно на рисунке, во всех случаях теоретическая прямая, полученная при подстановке в уравнение (2) коэффициента B , вычисленного по формуле (3) для 1,1-валентных электролитов, находится в хорошем соответствии с экспериментальными данными. Отклонение κ от вычисленной не превышает $\pm 0,1$ л·моль⁻¹·Ом⁻¹·см²:

$$B = \frac{5,77 \cdot 10^3}{(\epsilon T)^{1/2}} \kappa_0 + \frac{57,967}{\eta (\epsilon T)^{1/2}}, \quad (3)$$

где ϵ — диэлектрическая проницаемость растворителя; T — температура, К; η — вязкость растворителя, сПз.

Наблюдаемое при удлинении полиметиновой цепи понижение эквивалентной электропроводности растворов красителей может быть обусловлено уменьшением подвижности катионов как за счет увеличения их размеров, так и за счет увеличения относительного содержания в растворе донорно-акцепторных комплексов катионов красителей со спиртом [12].

При переходе к растворителю с более низкой диэлектрической проницаемостью — хлористому этилену ($\epsilon = 10,4$) — эквивалентная электропроводность растворов исследуемых красителей зависит от концентрации в согласии с законом разбавления Остwalda, предполагающим простой характер ионных равновесий, и свидетельствует о существовании в системе равновесия (1) при условии подчиняемости поглощения растворов закону Ламберта—Бера. Электронные спектры исследованных красителей в хлористом этилене в интервале концентраций $c = 10^{-3} \div 10^{-6}$ моль/л не изменяются.

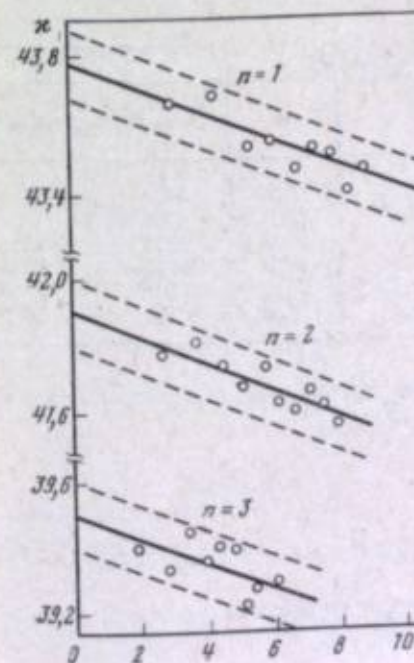


Рис. 1. Зависимость эквивалентной электропроводности от концентрации 3,3'-диэтилтиаполикарбоцианиодидов в этиловом спирте при 25° С для разных n

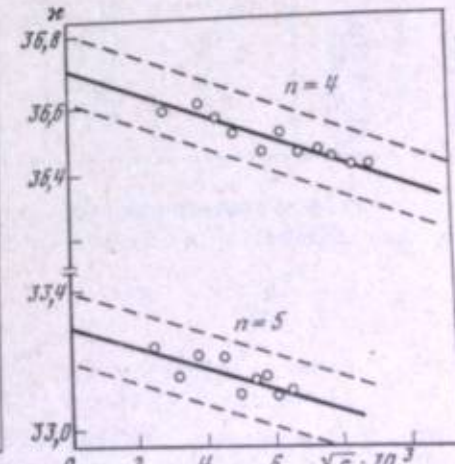


Таблица 1

Зависимость эквивалентной электропроводности (κ , $\text{моль}^{-1} \cdot \text{Ом}^{-1} \cdot \text{см}^2$) растворов 3,3'-диэтаполикарбоцианинодиолов в хлористом этилене от концентрации c (моль/л) при 25°C для различных n :

$n=1$	2	3	4	5	6	7	
$\times 10^3$							
3,4	59,55	1,8	58,4	1,2	53,2	1,5	49,2
4,4	59,5	3,6	54,45	2,4	51,6	3,0	47,95
6,0	58,0	5,4	51,9	3,58	50,8	4,5	46,2
7,8	55,5	7,15	49,4	4,7	49,2	5,05	45,05
9,2	53,9	8,9	48,9	5,8	47,9	7,4	44,05
10,7	52,4	10,6	47,9	6,9	46,8	8,8	42,85
12,2	51,5	12,3	46,7	8,0	45,0	10,25	5,0
13,8	50,5	14,0	45,1	9,05	45,8	11,65	40,05
16,4	49,9	15,7	45,2	10,0	44,9	14,4	38,8

Таблица 2

Зависимость эквивалентной электропроводности κ ($\text{моль}^{-1} \cdot \text{Ом}^{-1} \cdot \text{см}^2$) растворов 3,3'-диэтаполикарбоцианинодиолов в хлористом этилене от концентрации красителя c (моль/л) при 25°C для различных X^- :

$X^- = \text{ClO}_4^-$	NO_3^-	SO_4^{2-}	$\text{Cl}^- = \text{Br}^-$
$\times 10^3$	$\times 10^3$	$\times 10^3$	$\times 10^3$
49,85	53,2	52,67	18,85
32,0	37,7	41,34	23,3
19,8	41,2	30,87	10,0
5,8	49,8	30,33	5,0
2,2	49,5	5,17	2,0
1,25	50,5	2,55	1,25

Таблица 3

Зависимость эквивалентной электропроводности растворов 3,3'-диэтаполикарбоцианинодиолов в хлористом этилене от концентрации красителя c (моль/л) при 25°C для различных ионов азота:

ClO_4^-	NO_3^-	SO_4^{2-}	$\text{Cl}^- = \text{Br}^-$
$\times 10^3$	$\times 10^3$	$\times 10^3$	$\times 10^3$
49,85	53,2	52,67	18,85
32,0	37,7	41,34	23,3
19,8	41,2	30,87	10,0
5,8	49,8	30,33	5,0
2,2	49,5	5,17	2,0
1,25	50,5	2,55	1,25

Данные по изменению эквивалентной электропроводности растворов от концентрации приведены в табл. 1—3, а графики Фуосса для диссоциации красителей — на рис. 2—4. Полученные таким способом значения K и κ_0 диэтаполикарбоцианинов и индоцентикарбоцианинов в хлористом этилене приведены в табл. 4. Как видно из таблицы и рис. 1, в хлористом этилене эквивалентная электропроводность растворов красителей выше, чем в этиловом спирте. При этом характер изменения κ_0 с увеличением числа виниленовых групп (n) в диэтаполикарбоцианине сохраняется, что свидетельствует об определяющей роли размеров катионов в изменении подвижности ионов. Значение K при удлинении полиметиновой цепи красителя уменьшается не очень существенно. Значительно большее влияние на степень диссоциации красителей в хлористом

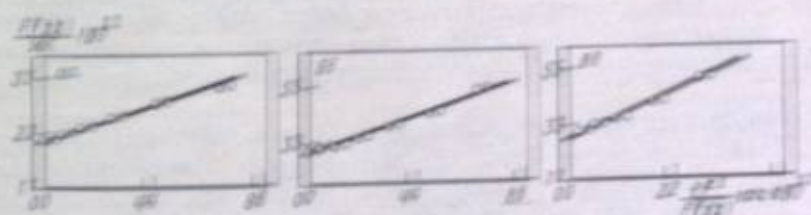
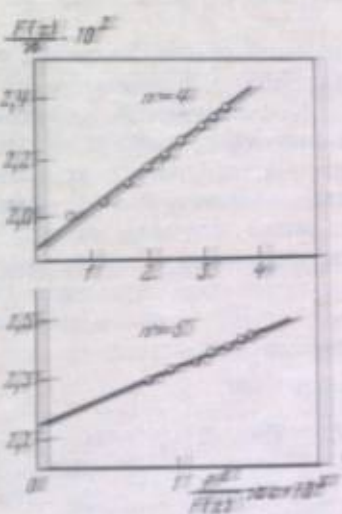
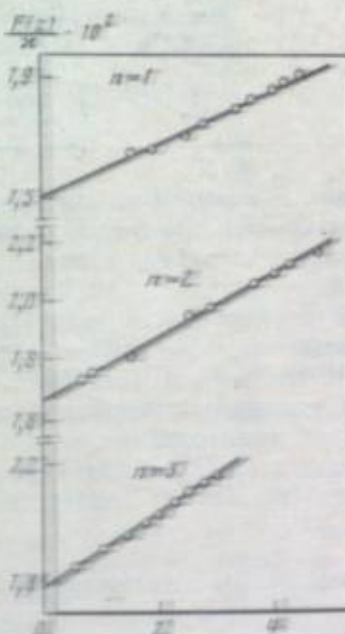


Рис. 2. Графики Фуосса для диссоциации 3,3'-диэтаполикарбоцианинодиолов в хлористом этилене при 25°C для различных n :

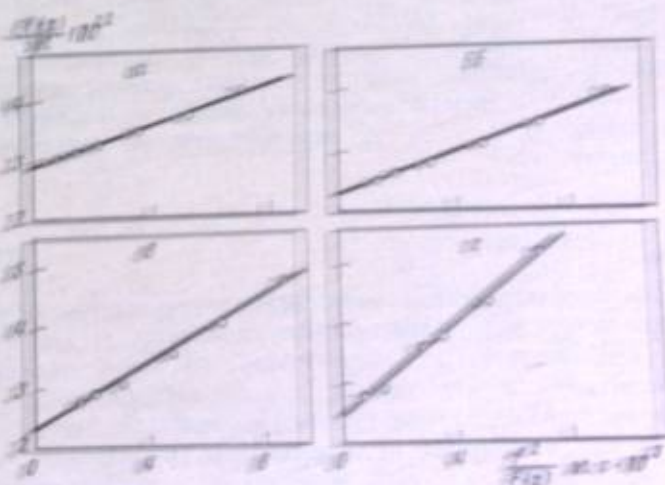


Рис. 3. Графики Фуосса для диссоциации индоцентикарбоцианинов с различными ионами в хлористом этилене при 25°C .
Легенда: $\text{---} \times \text{---} \text{ClO}_4^-$; $\text{---} \circ \text{---} \text{NO}_3^-$; $\text{---} \square \text{---} \text{SO}_4^{2-}$; $\text{---} \diamond \text{---} \text{Cl}^- = \text{Br}^-$.

Таблица 4

Зависимость концентрационность (α_c) и константы диссоциации (K) красителей I и III в хлористом этилене при 25°C

α_c	X^-	α_c	$K \cdot 10^6$	α_c	X^-	α_c	I_3
Краситель I							
1	B^-	64,5	2,5	1	ClO_4^-	54,9	1
2	B^-	61,2	2,5	2	BF_4^-	49,0	1
3	B^-	56,8	2,5	3	Ts^-	42,4	1
4	B^-	52,8	2,4	4	$TsCO_3^-$	35,0	1
5	B^-	46,7	2,3	5	F^-	44,8	2
Краситель III							
1	B^-	54,5	2,5	1	ClO_4^-	54,9	1
2	B^-	51,2	2,5	2	BF_4^-	49,0	1
3	B^-	46,8	2,5	3	Ts^-	42,4	1
4	B^-	42,8	2,4	4	$TsCO_3^-$	35,0	1
5	B^-	36,7	2,3	5	F^-	44,8	2

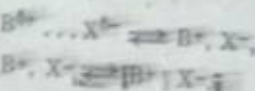
этото оказывает природа аниона, причем K изменяется обратно с концентрацией аниона. Интересно отметить, что полученные данные не перекликаются со значением K , определенным в хлористом этилене для тетрабутиламмония ($K = 2,28 \cdot 10^{-6}$) [14].

Растворы исследованных красителей в хлорбензоле, растворители с более низкой диэлектрической проницаемостью ($\epsilon = 5,6$), в отличие от соответствующих выше случаев, не подчиняются закону Ламберта — Бера. Увеличение интенсивности длинноволновой полосы в спектре поглощения красителей при снижении их концентрации, как это видно на примере тиапентакарбоцианингидризата (рис. 5), может быть следствием диссоциации контактных ионных пар (B^+ , X^-) на свободные ионы



или дезагрегации красителя. При этом нельзя исключать также падение равновесия (1). По аналогии с тетрабутиламмонийникратом (в хлорбензоле $K = 1,88 \cdot 10^{-6}$ [14]) при переходе от хлористого этилена к хлорбензолу можно было ожидать уменьшения константы диссоциации полиганинов на четыре порядка. К сожалению, из-за низкой растворимости исследованных красителей в хлорбензоле надежного определения зависимости электропроводности растворов от концентрации красителей провести не удалось.

При повышении температуры хлорбензольного раствора в спектре поглощения пентакарбоцинина (рис. 6) наблюдаются изменения, аналогичные тем, что были при увеличении концентрации красителя в хлорбензоле (рис. 5). Причиной этих изменений не может быть агрегация красителя. Это время известно, что снижение температуры раствора способствует разделению ионов [1]. Поэтому относительное увеличение интенсивности длинноволновой полосы поглощения на рис. 6 может быть следствием как диссоциации контактных ионных пар красителя (равновесие 1), так и сдвига вправо равновесий между не полностью ионизированными ионами ($B^{2+} \dots X^{2-}$), контактными и сольватно разделенными ионами:



При этом на состояние последних двух равновесий не должно оказывать влияния изменение концентрации красителя в растворе.

Добавление в хлорбензольный раствор трихлорусусной кислоты также приводит к изменению спектра поглощения тиапентакарбоцинина (рис. 7). Кислота, обладающая как ионизирующими, так и сольватирующим способностью по отношению к цианиновым красителям, может смешивать пары в четырех равновесиях. При этом, по всей вероятности, она не должна влиять

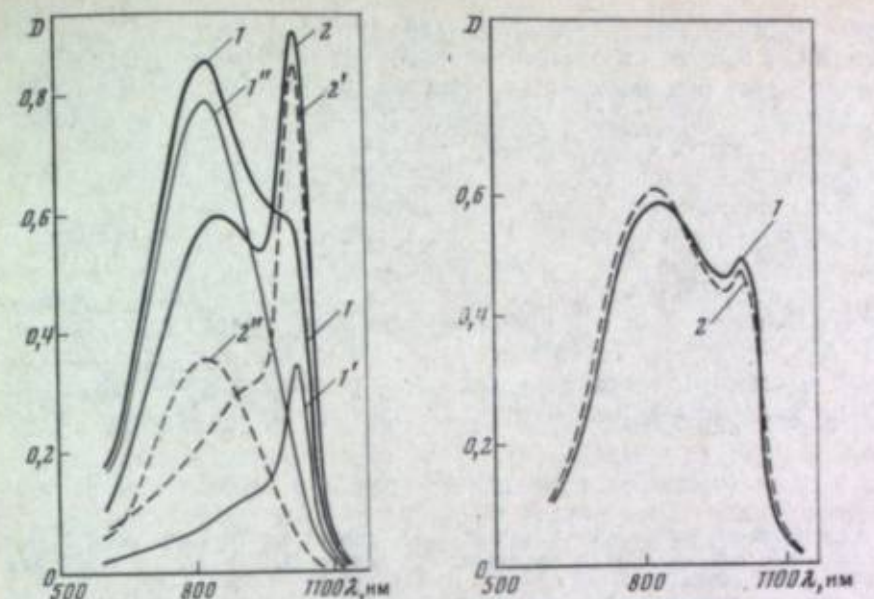


Рис. 5. Электронный спектр поглощения 3,3'-диэтилтиапентакарбоцианингидризата в хлорбензоле

Концентрация красителя, 10^4 моль/л: 1 — 10 ($I = 1$ см); 2 — 1 ($I = 10$ см). Результат графического разделения спектров обозначен 1' и 1'', 2' и 2'' соответственно

Рис. 6. Электронный спектр поглощения 3,3'-диэтилтиапентакарбоцианингидризата в хлорбензоле

Температура, $^\circ\text{C}$: 1 — 25; 2 — 60. $c_{\text{кр}} = 0,7 \cdot 10^{-4}$ моль/л

дезагрегацию красителей, так как известно, что даже в водных растворах при изменении pH среды на три единицы склонность катионных красителей к агрегации не изменяется [15]. Как видно из рисунка, одновременно со смещением равновесий идет протонирование красителя кислотой [16]. Эти процессы взаимосвязаны, и в системе поддерживается устойчивое равновесие, о чем свидетельствует наличие изобистических точек.

Спектры поглощения хлорбензольных растворов красителя в области 600—1200 нм состоят из двух перекрывающихся полос. Процедура разделения полос, проведенная нами, аналогична приведенной в работе [17]. Соотношения высот и полуширин длинноволновой полосы поглощения на кризисе (рис. 7) приняты за табулированные значения (условие максимального разделения ионов). С помощью зависимости, связывающей эти величины, вначале, как это показано на рис. 5, воспроизводится длинноволновая полоса поглощения. Разность между регистрируемой оптической плотностью и рассчитанной указанным путем для каждой длины волны дает спектр другой частицы. Длинноволновая полоса может характеризовать как свободные ионы красителей, так и сольватно разделенные ионные пары, имеющие, как было показано выше, в случае цианиновых красителей практически идентичные спектры поглощения.

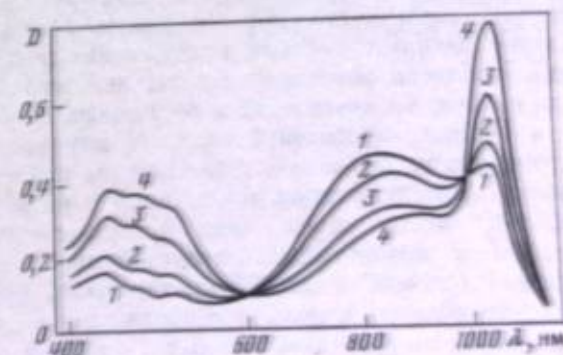


Рис. 7. Электронный спектр поглощения 3,3'-диэтилтиапентакарбоцианингидризата в хлорбензоле ($c = 0,5 \cdot 10^{-4}$ моль/л) при добавлении трихлорусусной кислоты

Концентрация кислоты, моль/л:
1 — 0; 2 — $1 \cdot 10^{-6}$;
3 — $1 \cdot 10^{-4}$; 4 — $1 \cdot 10^{-2}$

спектры поглощения. Коротковолновая полоса характеризует ионные пары или не полностью ионизированные молекулы красителей.

Наблюдаемое при разбавлении раствора (см. рис. 5) соизмеримое изменение интенсивности полос, полученных после разделения кривых поглощения, является еще одним доказательством отсутствия агрегации молекул красителей в исследованных хлорбензольных растворах. Концентрацию всех компонентов в растворе определяют упомянутые выше равновесия.

Анализ полученных данных и сопоставление их с опубликованными [18] позволяет сделать следующие выводы. Цианиновые красители в органических растворителях могут находиться в виде различных ионных пар. Понижение диэлектрической проницаемости растворителя приводит к уменьшению в растворе доли свободных ионов. Состояние ионных равновесий цианиновых красителей в органических растворителях определяется диэлектрической проницаемостью растворителя, природой катиона и аниона красителя.

ЛИТЕРАТУРА

- Ионы и ионные пары в органических реакциях/Пер. под ред. И. П. Балецкой. М.: Мир, 1975. 424 с.
- Raijgarb H. Растворители в органической химии/Пер. под ред. Л. С. Эфроса. Л.: Химия, 1973. 150 с.
- Scheibe G., Mareis A., Ecker H.—Naturwissenschaften, 1937, Bd. 25, S. 474—475.
- Sheppard S. E.—Rev. Mod. Phys., 1942, vol. 14, p. 303—340.
- Dietz F.—J. Signal. AM, 1973, Bd. 1, S. 157—180.
- Steiger R., Kitzing R., Hagen R., Stoeckly-Evans H.—J. Photogr. Sci., 1974, vol. 22, p. 151—167.
- Förster Th.—Pure and Appl. Chem., 1962, vol. 4, p. 121—128.
- McKay R. B., Hillson P. J.—Trans. Faraday Soc., 1965, vol. 61, p. 1787—1810.
- Теплякова Н. В., Калин О. Л., Лебедев О. Л.—Журн. физ. химии, 1975, т. 49, с. 1154—1159.
- Вайсбергер А., Прокшаузер Э., Ридик Дж., Тунс Э. Органические растворители/Пер. под ред. Я. М. Балецкого. М.: Изд-во иностран. лит., 1976, 519 с.
- Иманов Н. А. Электрохимия растворов. М.: Химия, 1976. 488 с.
- Альперович М. А., Абдеева В. И.—Практика науч. фотографии, 1976, т. 1, с. 111—115.
- Fuss R. M., Accascina F. Electroconductance. N. Y.: Interscience, 1994. 294 p.
- Харнед Г., Оуэн Б. Физическая химия растворов электролитов. М.: Изд-во иностран. лит., 1952, с. 200.
- Лешик В. Л., Баранова Е. Г.—АН СССР. Сер. физ., 1956, т. 20, № 1.
- Абдеева В. И., Альперович М. А., Иманов Н. А.—Докл. АН СССР, 1976, т. 241, с. 1341—1345.
- Соловьев А. А., Демьянов В., Балецкая И. П., Рейтвейс О. А.—Журн. орган. химии, 1976, т. 12, с. 72—75.
- Nyg J.—In: Dye Sensitization (Bressanone, 1970). L.; N. Y.: press, 1970, p. 26—43.

В. А. Кузьмин

УДК 541.44:547.72

ФОТОХИМИЯ ПОЛИМЕТИНОВЫХ КРАСИТЕЛЕЙ

Исследование элементарных фотохимических процессов с участием молекул красителей и родственных им соединений всегда было в центре внимания исследователей, которые изучают фотохимию сложных органических молекул. Интенсивное развитие техники предъявляет новые требования к уровню знаний в области фотохимии красителей, что обусловлено прежде всего широким применением красителей в различных областях. Традиционным направлением фотохимии красителей является изучение фотоустойчивости красителей, применяемых на практике, исследование механизма и кинетики элементарных процессов фотодеструкции красителей в различных материалах и сенсибилизированных этими красителями фотохимических реакций. Фотосенсибилизация эмульсий красителями, фотоустойчивость цветных фотоматериалов, создание новых бессребряных фотоматериалов, фотохромных материалов, способных для записи голограммического изображения — вот далеко не полный перечень разделов современной техники, которые способствуют развитию фун-

ментальных исследований в области фотохимии красителей и сложных гетероциклических соединений.

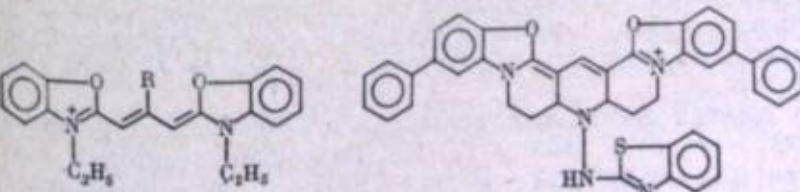
В настоящем сообщении рассмотрены вопросы кинетики быстрых фотохимических реакций с участием полиметиновых красителей и родственных соединений, содержащих систему сопряженных связей. Данные по фотохимии полиметиновых красителей в значительной степени основаны на результатах, полученных в ИХФ АН СССР при выполнении работ с отделом ГосНИИ-фотопроекта, который на протяжении многих лет возглавлял И. И. Левкоев.

Прогресс в исследовании механизмов фотохимических реакций и кинетики элементарных фотопроцессов, который наблюдается в последние двадцать лет, обусловлен во многом развитием и широким применением метода импульсного и лазерного фотолиза [1].

Исследования в области фотохимии полиметиновых красителей стимулируются не только применением этих соединений как сенсибилизаторов в фотографии, но и применением полиметиновых красителей в лазерной технике [2, 3]. Полиметиновые красители обладают высокими коэффициентами экстинкции в видимой области спектра ($\epsilon \sim 10^5 \text{ M}^{-1} \cdot \text{cm}^{-1}$); эти полосы поглощения довольно узкие, что дает возможность проводить селективное фотовозбуждение красителей в растворах, содержащих другие органические молекулы. Структуру полиметиновых красителей можно изменять таким образом, что при этом будут сильно меняться спектр поглощения и другие физико-химические свойства [4]. Например, изменяя длину полиметиновой цепи в молекулах карбоцианиновых красителей, можно получать красители, поглощающие в области от 400 до 1200 нм [4, 5].

Важным при рассмотрении фотоники полиметиновых красителей является вопрос о путях деградации энергии электронного возбуждения и связи квантовых выходов различных фотофизических и фотохимических процессов со строением красителей. Наличие полиметиновой цепочки в красителях обуславливает возможность процесса фотоизомеризации у этих соединений, поэтому схема уровней для молекулы полиметинового красителя включает, кроме системы уровней исходного изомера (например, транс-изомера), систему уровней фотоизомера (одного или нескольких цис-изомеров). Основные процессы деградации энергии для молекул полиметиновых красителей — флюoresценция, интеркомбинационная конверсия, внутренняя конверсия без изменения геометрии молекулы и фотоизомеризация.

Радиационное время жизни флюoresценции можно оценить из спектров поглощения по формуле Фэрстера. Для карбоцианиновых красителей такие оценки были выполнены с помощью различных модифицированных уравнений и составили 2—4 нsec [6]. Время жизни флюoresценции полиметиновых красителей в полимерных матрицах, желатине и других жестких средах, измеренное с помощью импульсного флюориметра, совпадает с предсказанным из спектров поглощения [7]. В жидких растворах для карбоцианиновых красителей, имеющих жесткую структуру (когда вращение вокруг полиметиновой цепочки невозможно), также получены относительно большие значения времени жизни флюoresценции ($\tau_{\text{фл}} = 3 \text{ нsec}$) [7]. Для красителей с незакрепленной полиметиновой цепью в жидких растворах основной путь дезактивации энергии электронного возбуждения — фотоизомеризация и безызлучательная дезактивация (например, за счет крутильных колебаний полиметиновых цепочек), что и обуславливает малые величины времени жизни флюoresценции и невысокие квантовые выходы флюoresценции [7]:



(R = CH₃) $\Phi_{\text{фл}} = 0,005$; $\Phi_T = 0,01$; $\Phi_{\text{фл}} = 0,83$; $\Phi_T = 0,03$;
 $\Phi_{\text{в.н.}} = 0,98$; $\tau_{\text{фл}} < 0,35 \text{ нsec}$. $\Phi_{\text{в.н.}} = 0,14$; $\tau_{\text{фл}} = 3,0 \text{ нsec}$.

где $\Phi_{\text{фл}}$ — квантовый выход флюoresценции; $\tau_{\text{т}}$ — квантовый выход интеркомбинационной конверсии; $\Phi_{\text{в.к}}$ — квантовый выход внутренней конверсии изменения геометрии молекулы; $\tau_{\text{фл}}$ — время жизни флюoresценции.

Измерения времени жизни флюoresценции в жидких растворах выполнены с помощью пикосекундных лазерных импульсов [8—10]. Эксперименты показали, что для растворов полиметиновых красителей $\Phi_{\text{фл}} = 10 \pm 200$.

Имеются данные о флюoresценции полиметиновых красителей из возбужденного состояния [11], однако флюoresценция из второго возбужденного синглетного состояния незначительна и наблюдавшаяся авторами несомненно может быть в значительной мере обусловлена примесями, образующимися в результате термического или фотохимического распада молекул красителей.

Низкотемпературные измерения спектров поглощения карбоцианиновых красителей показали, что в растворе возможно существование смеси изомеров [12]. При фотовозбуждении в полосе поглощения одного из изомеров наблюдалось образование другого фотоизомера, что доказано по спектрам поглощения, которые для цис- и транс-форм тиакарбоцианиновых красителей, например, различаются на 15—20 нм [12]. По данным работы [12], транс-изомер тиакарбоцианинового красителя поглощает в длинноволновой области спектра, а цис-изомер — в коротковолновой.

Прямыми рентгеноструктурными методами детальная геометрия полиметиновых красителей может быть установлена только для кристаллического состояния [13—16]. Согласно рентгеноструктурным измерениям в кристаллах тиакарбоцианинов, краситель имеет транс-конфигурацию, а для замещенных тиакарбоцианинов кристаллы построены из моно-цис-изомеров [14, 15]. Спектральные исследования при низких температурах показали, что термодинамически стабильным является транс-изомер [12, 17].

Спектрально-кинетические характеристики фотоизомеров тиакарбоцианиновых красителей изучены методом импульсного фотолиза [17—19]. При комнатной температуре кинетика гибели фотоизомеров следует закону первого порядка $k = (1 \div 10^4)$ сек⁻¹, константа скорости гибели фотоизомера для карбоцианинов мало зависит от растворителя [20—22]. В симметричных карбоцианиновых красителях фотоизомеризация происходит на первом синглетном возбужденном уровне, что доказано в экспериментах по триплет-триплетному переносу энергии от триплетных состояний ароматических углеводородов на молекулы красителей [19, 23, 24]. Сенсибилизированное заселение триплетных уровней красителей не приводило к образованию фотоизомеров в случае симметричных карбоцианинов.

Поскольку имеются сведения о флюoresценции из высших возбужденных состояний для полиметиновых красителей, в работе [25] проверена возможность процесса фотоизомеризации из этих состояний. Обнаружено, что отношение $\Phi_{\text{фл}}/\Phi_{\text{изом}}$ остается постоянным независимо от интенсивности возбуждающего света и от того, в какой спектральной области производилось фотовозбуждение в видимой (переход на первый возбужденный синглетный уровень) или в ультрафиолетовой области (переход на высшие возбужденные состояния). Это свидетельствует о том, что фотоизомеризация карбоцианиновых красителей происходит также на первом возбужденном синглетном уровне, а при возбуждении в высшие возбужденные состояния эффективно протекает внутренняя конверсия в первый возбужденный синглетный уровень без изменения геометрии молекулы. Полученные результаты ставят под сомнение возможность флюoresценции из высших возбужденных состояний для полиметиновых красителей, поскольку константы скорости фотоизомеризации, как было отмечено для этого класса красителей, значительно выше, чем константы излучательного перехода из этого возбужденного состояния.

Увеличение времени жизни флюoresценции в более вязких растворах в жестких средах описано в работах [7, 10]. Измерения квантовых выходов различных процессов деградации энергии возбуждения — флюoresценции ($\Phi_{\text{фл}}$), изомеризации ($\Phi_{\text{изом}}$), интеркомбинационной конверсии ($\Phi_{\text{т}}$), выполненные для 3,3'-диэтилтиакарбоцианина в растворах различной вязкости (спирт-пропанол-глицерин), показали, что затруднения во вращении полиметиновой

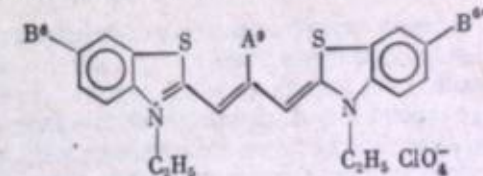
цепочки в вязких растворах приводят к уменьшению квантового выхода фотоизомеризации и к увеличению выходов флюoresценции и интеркомбинационной конверсии [26]. При этом остается справедливым равенство $\Phi_{\text{фл}} + \Phi_{\text{изом}} + \Phi_{\text{т}} = 1,0$. Увеличение времени переориентации сольватной оболочки красителя в вязких средах приводит к уменьшению константы скорости изомеризации, которая непосредственно связана с поворотом молекулы, в то время как другие константы скоростей флюoresценции и интеркомбинационной конверсии, по-видимому, не изменяются.

Строение молекул тиацианиновых красителей сильно влияет на взаимное расположение и характер пересечения потенциальных поверхностей возбужденного и основных состояний различных изомеров, что и определяет направление и вклад процессов фотоизомеризации, интеркомбинационной и внутренней конверсии. Для тиакарбоцианинов показано, что введение в положение 10 полиметиновой цепи метильной группы не приводит к возникновению сильных стерических препятствий и поворот вокруг связи 2—8 происходит с высоким квантовым выходом [27]. У тиакарбоцианинов с заместителями в положении 9 полиметиновой цепи возможность полного поворота относительно связи 8—9 доказана по спектрам поглощения фотоизомера, а фотоизомеризация с полным поворотом вокруг связи 2—8 становится невозможной из-за стерических препятствий.

Наличие более объемных заместителей в полиметиновой цепи или нескольких заместителей делает невозможным из-за стерических препятствий процесс фотоизомеризации с полным поворотом фрагментов полиметиновой цепи (красители, содержащие несколько атомов фтора [28], группы CH_2O и $\text{C}_2\text{H}_5\text{O}$). Стерические препятствия для полного вращения имеются не только у замещенных в полиметиновой цепи красителей, но и у незамещенных хинолиновых и индолениновых карбоцианиновых красителей, что также делает невозможным фотоизомеризацию с полным поворотом гетероцикла относительно плоскости полиметиновой цепочки и другого гетероцикла. Наличие стерических препятствий в 9-метил- и в 9-метоксизамещенных карбоцианиновых красителях приводит к уменьшению квантового выхода флюoresценции [7], а по данным работ [29, 30] — к увеличению выхода интеркомбинационной конверсии.

Ниже показано влияние внутреннего эффекта тяжелого атома на процессы деградации энергии в полиметиновых красителях на примере хино-замещенных тиакарбоцианиновых красителей [31] (в положение 9 полиметиновой цепи введены атомы фтора, хлора, брома, иода):

B^* = B''	H	H	H	H	Br	I
A^*	[F]	Cl	Br	J	H	H
$\Phi_{\text{фл}}$	0,55	0,011	0,012	0,0005	0,054	0,062
$\Phi_{\text{изом}}$	0,40	0,50	0,50	0,0005	0,70	0,80
$\Phi_{\text{т}}$	0,03	0,12	0,14	1,00	0,05	0,11
$\Phi_{\text{в.к}}$	0,02	0,47	0,35	0	0,25	0,03

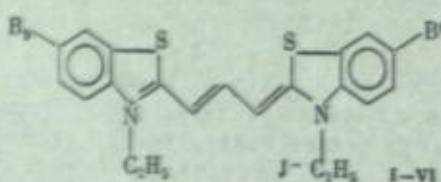


Увеличение спин-орбитального взаимодействия при переходе от 9-фтор-к 9-подзамещенному красителю приводит к увеличению квантового выхода интеркомбинационной конверсии, и для подзамещенного красителя интеркомбинационная конверсия становится единственным каналом дезактивации электронной энергии. Наиболее сильно эффект тяжелого атома проявляется при введении атомов брома или иода в положение 9 полиметиновой цепи по сравнению с 6,6'-дигалогензамещенными красителями. Это указывает на то, что возбуждение в триплетной молекуле локализовано в большей степени в полиметиновой цепи, чем в гетероциклических остатках.

Дезактивация триплетных состояний происходит с довольно высокой константой скорости, поэтому можно считать, что значения $k_{\text{т.с.}} = 10^4 \div 10^5$ сек⁻¹, полученные в растворе, близки к значению истинных констант процесса интеркомбинационной конверсии.

комбинационной конверсии из триплетного состояния в основное. Поскольку энергетическая щель перехода ${}^3M_1 \rightarrow {}^3M_1$ ($\Delta E = 3100 \div 3500 \text{ см}^{-1}$) значительно меньше, чем перехода ${}^3M_1 \rightarrow {}^1M_0$ ($E_T = 13900 \div 14900 \text{ см}^{-1}$), то влияние тяжелого атома значительно сильнее сказывается на величине $k_{S^* \rightarrow T}$, т.е. $k_{T \rightarrow S}$ [31]. Сильное влияние тяжелого атома на интеркомбинационные переходы наблюдается только при наличии заместителей в положении 9 полиметиновой цепи. Это обусловлено, вероятно, также появлением сильной ангармоничности колебаний в полиметиновой цепи, что и приводит к увеличению периода колебательных волновых функций начального и конечного состояний системы. Большая полуширина спектров поглощения (2000 см^{-1}) и спектра фосфоресценции (1000 см^{-1}) для 3,3'-диэтил-9-изотиакарбоцианина указывает на сильное перекрывание волновых функций соответствующих состояний.

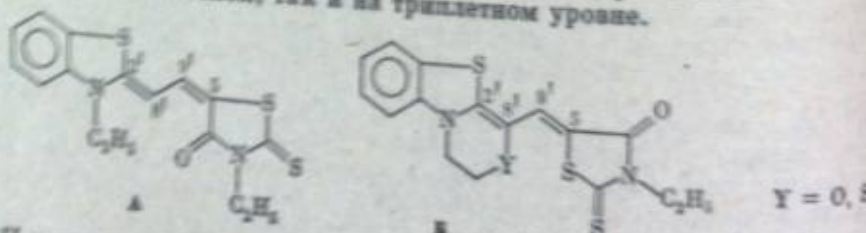
Примером конкуренции процессов деградации энергии электронного возбуждения служат также данные по изменению констант скоростей различных процессов дезактивации синглетного возбужденного состояния в молекулах изотиакарбоцианинов, у которых квантовый выход в триплетное состояние близок к нулю ($<10^{-6}$) и нет заместителей в полиметиновой цепи, так что фотоизомеризация происходит относительно одной и той же связи для разных красителей. При переходе красителя I к IV увеличивается карбонатофорное сопряжение и сильно уменьшается $k_{\text{изом}}$, а значения других констант изменяются не сильно:



Номер красителя	$B^1 = B^2$	$k_{\text{изом}}$	$k_{\text{бл}}$	$k_{\text{в.к}}$
I	H	$6,3 \cdot 10^6$	$3,1 \cdot 10^6$	$6,0 \cdot 10^6$
II	C₂H₅	$1,3 \cdot 10^6$	$2,1 \cdot 10^6$	$8,5 \cdot 10^6$
III	C₂H₅(CH=CH)–	$3,0 \cdot 10^6$	$3,0 \cdot 10^6$	$5,7 \cdot 10^6$
IV	C₂H₅(CH=CH)₂	$8,7 \cdot 10^6$	$2,4 \cdot 10^6$	$1,1 \cdot 10^6$

В этом случае происходит фактически только изменение скорости фотоизомеризации, что и приводит к изменению соотношения вкладов фосфоресценции и внутренней конверсии в процесс дезактивации. Уменьшение $k_{\text{изом}}$ говорит о наличии энергии активации процесса фотоизомеризации (в случае красителя IV), который зависит от порядка связи 1–8 в возбужденном состоянии. Увеличение порядка связи 2–8 в возбужденном состоянии приводит к увеличению энергии активации вращения и к уменьшению $k_{\text{изом}}$.

Рассмотренные ранее циановые красители претерпевают фотоизомерию только на первом синглетном возбужденном уровне. Как показано в работе [32, 33], фотоизомеризация мероцианиновых красителей может происходить как на синглетном, так и на триплетном уровне.



При прямом фотоизобуждении мероцианиновых красителей (A) фотоизомерия притекает на синглетном уровне и приводит к образованию двух фотоизомеров, различающихся по спектрам поглощения и по кинетике гибели красителя в исходный транс-изомер:

2,3-цис-изомер (время жизни $5 \cdot 10^{-3}$ сек) и 5,9'-изомер (время жизни 0,5 с).

При сенсибилизированном фотоизобуждении в результате триплет-триплетного переноса энергии происходит заселение триплетного состояния меро-

циана, дезактивация которого происходит исключительно по пути фотоизомеризации с образованием 5,9'-цис-изомера.

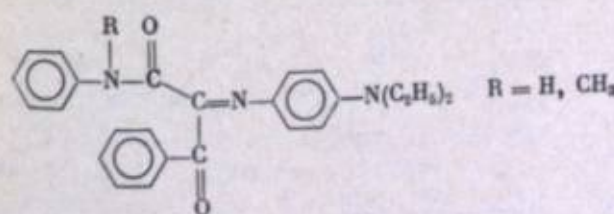
Интересной особенностью мероцианинов является наличие у этого класса красителей сильной сольватохромии [34]. Сильное взаимодействие молекул растворителей с красителями может определять механизм дезактивации энергии. Так, при слабой сольватации в толуоле фотоизомеризация мероцианина приводит к образованию двух фотоизомеров, а в случае сильной сольватации мероцианина в пропаноле фотоизомеризация приводит к образованию только одного долгоживущего 5,9'-цис-изомера. Взаимодействие мероцианиновых красителей с молекулой спирта происходит за счет связи атома кислорода роданинового остатка с растворителем, причем это взаимодействие достаточно сильное, и спирт можно рассматривать как жестко связанный с красителем [34]. Такая сольватация и приводит к стерическим препятствиям при вращении относительно связи 2–8, чего нет при вращении фрагментов молекулы относительно связи 5–9. Однако в целом вопрос о влиянии сольватации на процесс дезактивации энергии и на фотохимию мероцианиновых красителей остается практически не изученным.

Вопрос о геометрии фотоизомеров полиметиновых красителей в растворах может быть решен на основании сравнения спектрально-кинетических характеристик фотоизомеров различных, близких по структуре, красителей (поскольку проведение, например, рентгеноструктурных измерений в растворе невозможно).

Введение в полиметиновую цепь пяти- и шестичленных циклов, фиксирующих структуру отдельных фрагментов полиметиновой цепи, полностью исключает процесс фотоизомеризации вокруг данной связи, что и было использовано для установления структуры короткоживущих фотоизомеров [32–36]. Фотоизомеризация незамещенных в полиметиновой цепи красителей происходит для карбоцианинов относительно связи 2–8, для дикарбоцианинов относительно связи 9–10 и для трикарбоцианинов относительно связи 8–9. Красители с заместителями в полиметиновой цепи, не вызывающими сильных стерических препятствий, также изомеризуются относительно связи 2–8 (карбоцианины). Наличие стерических препятствий у карбоцианинов, имеющих заместители в положении 9, приводит к тому, что фотоизомеризация у этих красителей происходит относительно связи 8–9 [7, 27, 31, 35].

Идентификация фотоизомеров мероцианиновых красителей (рассмотренных ранее производных роданина) была проведена путем сравнения спектров поглощения и времени жизни фотоизомеров этих красителей с красителем Б, имеющим в полиметиновой цепи шестичленный цикл, который фиксирует связь 2–8' [33]. В молекуле такой структуры невозможна изомеризация относительно связей 2'–8' и 8'–9', поскольку стерические препятствия возникают также и при вращении фрагментов молекулы относительно связи 8'–9' между атомами серы бензтиазола и кислородом роданинового остатка. Единственным фотоизомером является 5,9'-цис-изомер, который по спектру поглощения и времени жизни аналогичен долгоживущему фотоизомеру красителя без шестичленного цикла.

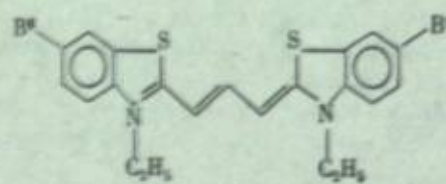
Деградация энергии электронного возбуждения путем фотоизомеризации имеет место также для близкого по свойствам класса азометиновых красителей, находящих применение в цветных многослойных кинофотоматериалах [37]:



Сравнение спектрально-кинетических свойств этих двух красителей ($R = H$ и CH_3) исключает возможность кето-енольной таутомерии и подтверждает наличие процесса фотоизомеризации [37]. Процессы фотоизомеризации азометинов

тиловых красителей обратимы и не приводят к разложению красителей, вероятно, и обуславливает высокую фотоустойчивость красителей этого класса.

Обратимость процесса фотоизомеризации установлена также для большинства полиметиновых красителей. Для карбоцианиновых красителей, в правило, основным устойчивым состоянием является *транс*-конфигурация а фотоизомером — *цикло*-конфигурация. Для симметричных карбоцианинов пределение электронной плотности и порядки связей в полиметиновой цепи зависит от заместителей в положениях 6 и 6'. Введение электронодонорных заместителей в положения 6 и 6' тиакарбоцианинов приводит к увеличению электронной плотности и соответствующему увеличению энергии связи 1-около которой происходит изомеризация. Наблюдается хорошая корреляция между константой гибели *цикло*-изомера ($k_{цикло-транс}$), которая пропорциональна свободной энергии активации процесса изомеризации, значениями констант Гамметта σ_0 для заместителей в положениях 6 и 6'.

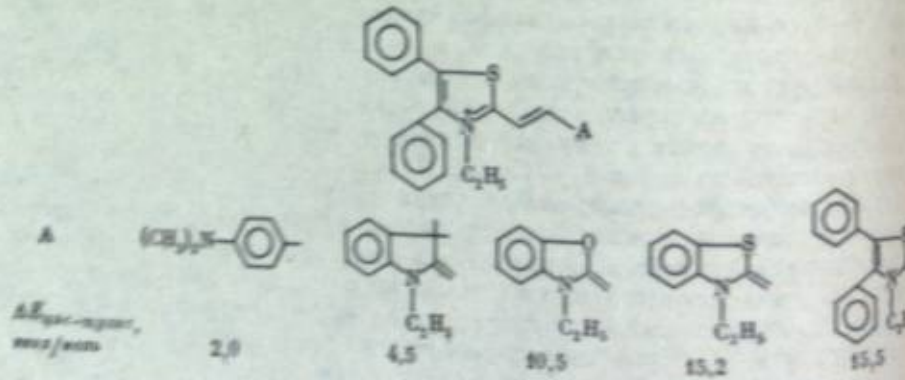


$B^{\prime\prime} = B^{\prime\prime\prime}$

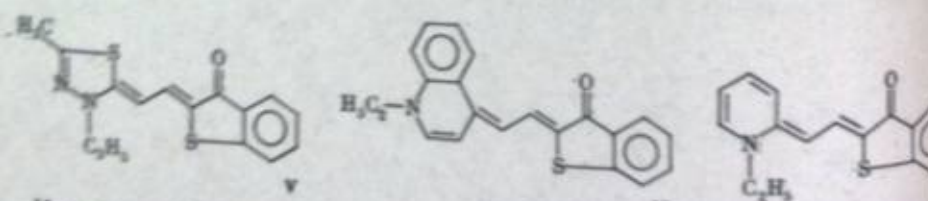
$k_{цикло-транс} \cdot 10^{-2}, \text{ сек}^{-1}$ NH₂ OH OCH₃ H C₂H₅ I Br CN NO₂

0.5 0.6 0.7 0.9 1.2 1.3 1.5 3.8 8.0

При переходе от красителей с симметричным строением к несимметрическим происходит изменение в распределении электронной плотности в полиметиновой цепи, что определяется различием в основностях гетероциклических ядер [2, 38]. Связи в несимметрических красителях альтернируют, и изомеризация происходит легче вокруг связи, которая по порядку ближе к одинарной. Энергия активации процесса релаксации фотоизомеров при переходе от симметрических красителей к несимметрическим уменьшается:



Для диметиногидразиновых красителей V—VII производных тиофен-из-3 обнаружена сильная зависимость константы гибели фотоизомеров от растворителя, что обусловлено сильным специфическим взаимодействием молекул красителей этого класса с растворителем, также приводящим к перераспределению электронной плотности в полиметиновой цепи и к изменению порядка связей (см. таблицу):



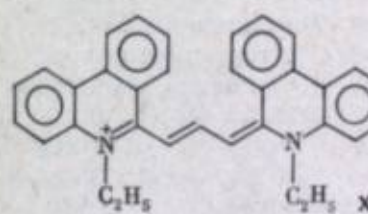
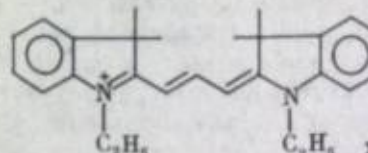
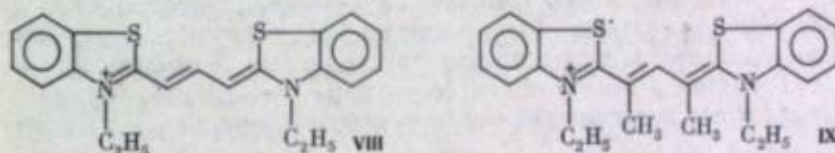
Константы $k_{цикло-транс}$ сильно изменяются, когда в качестве растворителя используются спирты, где возможно образование водородной связи между молекулами спирта и атомом кислорода кетометиленового основания, что должно приводить к стабилизации биполярной структуры и к изменению электро-

Константы $k_{цикло-транс}$ (сек⁻¹) мероцианиновых красителей

Краситель	Растворитель					
		HCON(CH ₃) ₂	CHCl ₃	C ₂ H ₅ OH	C ₆ H ₅ OH	C ₆ H ₅ ONH ₂
V	4,2 · 10 ⁻¹	2,9 · 10 ⁻¹	2,0	2,9 · 10 ¹	6,7	3,0
VI	2,3 · 10 ⁻¹	4,1 · 10 ⁻¹	3,2	1,9 · 10 ²	4,9 · 10 ²	8,0 · 10 ²
VII	7,1	1,4 · 10 ¹	4,4 · 10 ¹	1,2 · 10 ⁴	3,5 · 10 ³	2,0 · 10 ³

плотности в полиметиновой цепи. Сильное влияние спиртов уже было рассмотрено ранее для мероцианиновых красителей производных N-этилроданина в процессах фотоизомеризации, где растворитель влиял на поворот молекулы в возбужденном состоянии.

Другим важным фактором, определяющим время жизни фотоизомеров полиметиновых красителей, является наличие стерических препятствий в молекулах. *транс*- и *цикло*-конфигурации испытывают сильные пространственные затруднения при вращении вокруг связей C—C полиметиновой цепи в результате взаимодействия между заместителями в этой цепи или между гетероциклами. Поворот в этих случаях возможен при фотоизомеризации только на угол <180°. При увеличении стерических препятствий в красителях уменьшается угол поворота в фотоизомере, увеличивается константа скорости и уменьшается энергия активации процесса релаксации фотоизомера:

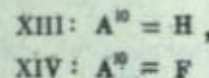
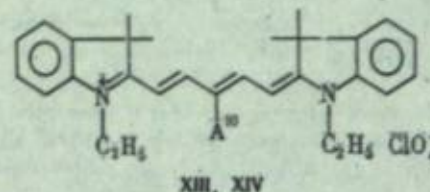


Краситель	$k_{цикло-транс}, \text{ сек}^{-1}$	$\Delta E_{цикло-транс}, \text{ ккал/моль}$	Краситель	$k_{цикло-транс}, \text{ сек}^{-1}$	$\Delta E_{цикло-транс}, \text{ ккал/моль}$
VIII	1,7 · 10 ²	16,4	XI	1,8 · 10 ⁴	8,8
IX	1,8 · 10 ⁴	10,5	XII	1,0 · 10 ⁷	7,9
X	1,0 · 10 ⁶	10,7			

По сравнению с обычными фотоизомерами для стерически затрудненных фотоизомеров характерно повышение уровней основных состояний изомеров и измененная форма потенциального барьера перехода *цикло*-*транс* [39, 40]. Для стерически затрудненных полиметиновых красителей в литературе предполагался высокий квантовый выход внутренней конверсии (дезактивация без изменения геометрии) [7]. Прямое экспериментальное доказательство существования стерически затрудненных фотоизомеров, выполненное методом импульсного лазерного фотолиза, и определение квантовых выходов фотоизомеризации,

достигающих 0,9, дает возможность сделать заключение, что фотоизомеризация — достаточно общий процесс деградации энергии электронного возбуждения в полиметиновых красителях [39, 40].

В процессе фотоизомеризации может образоваться сразу несколько изомеров. Применение метода импульсного фотолиза с лазерным фотовоздействием позволило во многих случаях установить вклад фотоизомеризации в процесс безызлучательной дезактивации энергии, а также дало возможность различать экспериментально фотоизомеризацию с образованием короткоживущих фотоизомеров и внутреннюю конверсию без изменения геометрии молекул. Для дикарбоцианиновых красителей XIII и XIV образование нескольких короткоживущих фотоизомеров, пространственно-затрудненных и незатрудненных, доказано в работе [41].



При использовании полиметиновых красителей в качестве активных для лазеров образование фотоизомеров уменьшает эффективность преобразования излучения и при малых квантовых выходах флюoresценции красителей приводит к возникновению в системе генерации лазерного излучения. Как было показано [39, 40], генерация лазерного излучения не наблюдается для красителей IX—XIII, что обусловлено сильным поглощением фотоизомеров в области предполагаемой генерации. Для красителя VIII генерация лазерного излучения наблюдалась при возбуждении второй гармоникой неодимового лазера, поскольку фотоизомер поглощает в более коротковолновой области, чем исходный изомер, и нет перекрытия спектров флюoresценции и поглощения фотоизомера.

В работе [42] обнаружена замедленная флюoresценция красителей при триплет-триплетной аннигиляции молекул антрацена (донор триплетной энергии) и карбоцианиновых красителей (акцептор), на основании чего в работе [43] рассмотрен механизм фотоизомеризации при переносе энергии с последующим заселением триплетного, а затем и синглетного возбужденного состояния (синглетное возбужденное состояние возникает в процессе триплет-триплетной аннигиляции). На основе модели фотоизомеризации, предложенной в работе [42], рассмотрена схема фотоизомеризации 3,3'-диэтилоксадикарбоцианина [43]. Основное состояние для оксацикарбоцианина находится примерно на 2,3 ккал/моль ниже состояния фотоизомера, а энергия активации изомеризации $\Delta E_a = 14$ ккал/моль (переход между изомерами в основных состояниях).

Механизм фотоизомеризации, рассмотренный в работе [43], включает процесс перехода молекулы красителя после возбуждения в состояние с некоторой промежуточной геометрией (изогнутое состояние), а затем из этого промежуточного состояния молекула может попасть в основное состояние или в фотоизомер (также в основном состоянии). Поскольку 90% молекул возвращаются в основное состояние без изменения геометрии, в работе [43] сделан вывод, что процесс внутренней конверсии также происходит через это изогнутое состояние. Косвенным подтверждением этой схемы служат эксперименты по определению зависимости выхода флюoresценции от температуры; для этого процесса $\Delta E = -4,8$ ккал/моль (понижение температуры ведет к увеличению флюoresценции и снижению фотоизомеризации и внутренней конверсии).

Окрашенными формами важного класса органических фотохромных соединений на основе спиропиранов являются мероцианиновые формы этих соединений, свойства которых во многом сходны со свойствами цианиновых и мероцианиновых красителей. Образование окрашенной формы представляет собой сложный процесс, включающий поглощение света молекулой спиропирана, переход энергии на реакционный уровень хроменовой части, разрыв связи $C-O$, изменение гибридизации центрального углеродного атома и изомеризацию ме-

дианиновой формы в устойчивый изомер [44]. Открытая мероцианиновая форма может существовать в виде четырех стереоизомеров, а после раскрытия связи $C-O$, вероятно, образуется изомер, который частично сохраняет структуру спиропирановой закрытой формы — *цис*-цисоидный изомер [45]. Такой короткоживущий изомер наблюдали методом импульсного фотолиза в жидкых растворах для некоторых спиропиранов [46—48]. Образование *цис*-цисоидного изомера доказано как для процессов раскрытия спиропиранов, так и для процессов закрытия цикла.

В работе [48] показано, что при облучении видимым светом раскрытой мероцианиновой формы спиропирана происходит закрытие пиранового кольца с предварительным образованием того же *цис*-цисоидного изомера в качестве промежуточного продукта. Таким образом, фотоизомеризация предшествует реакции закрытия мероцианиновой формы спиропирана.

Спектрально-кинетические характеристики триплетных состояний полиметиновых красителей приведены в работах [19, 23, 49—52], а фотохимические реакции с участием триплетного состояния красителей рассмотрены в работах [53, 54], в которых были установлены процессы переноса электрона между триплетными молекулами при триплет-триплетной аннигиляции и при самотушении триплетных состояний основным состоянием красителя, а также процессы тушения триплетных состояний донорами и акцепторами электронов. Спектр поглощения полустановленной формы красителя получен в реакции 3,3'-дизил-9-метокситиакарбоцианина в триплетном состоянии с аскорбиновой кислотой и 2-нафтиламином (доноры электрона), а спектр поглощения окисленной формы — в реакции красителя в триплетном состоянии с метилвиологеном [54].

Фотохимические процессы переноса электрона с участием полиметиновых красителей имеют важное значение для понимания механизма оптической сенсибилизации фотографических эмульсий [55—61]. В работах [57, 58] показано, что предполагаемый процесс оптической сенсибилизации включает перенос электрона от красителя в возбужденном состоянии на ловушку в кристалле галогенида серебра.

Окислительно-восстановительные процессы с участием полиметиновых красителей и связь электрохимических редокс-потенциалов и спектральных характеристик ряда полиметиновых красителей с фотографическими свойствами рассмотрены в работе [61], где авторы исследовали около ста красителей карбоцианинового ряда. Теоретически обосновано и экспериментально проверено простое линейное уравнение, связывающее энергию первого возбужденного состояния (E^* , эВ) и абсолютную разность между ионизационным потенциалом (IP) и сродством к электрону (EA) [61]:

$$E^* = (IP - EA) - 3,28.$$

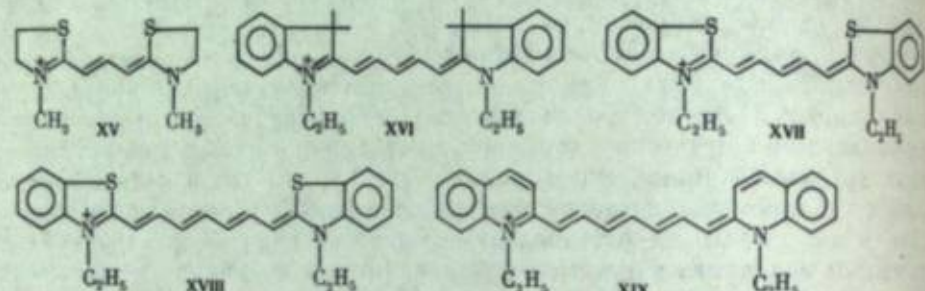
Исследование механизма переноса электрона с участием возбужденных состояний красителей и родственных соединений является одним из главных вопросов фотохимии красителей. Предполагается, что тушение триплетных состояний акцепторами или донорами электрона происходит через образование комплекса с переносом заряда [62—64]. Спектрально-кинетические характеристики для таких возбужденных комплексов (триплетные эксиплексы) получены лишь для ограниченного числа систем: для взаимодействия молекулы хлорофилла в триплетном состоянии с акцептором электрона (бензохиноном) [63] и для 2,6-дифенилбензохинона-1,4 в триплетном состоянии с донорами электрона (ароматическими аминами) [65].

Полиметиновые красители представляют собой удобный для исследования класс соединений, поскольку имеется возможность в широком интервале изменять как окислительно-восстановительные свойства красителей, так и положение уровня триплетной энергии красителей или изменять одну из этих величин. Тушение триплетных состояний донорами или акцепторами электрона можно представить следующими реакциями:



При этом стационарная концентрация таких комплексов мала и экспериментально наблюдается только процесс уменьшения времени жизни триплетных состояний в присутствии доноров или акцепторов.

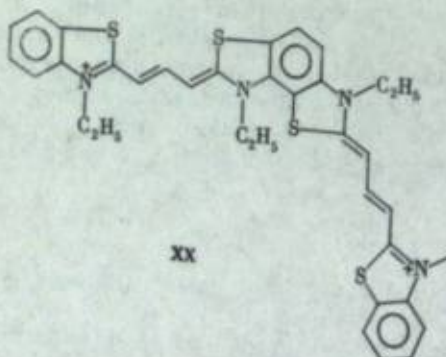
Доказательством механизма переноса электрона при тушении триплетного состояния карбоцианиновых красителей донором электрона (анизидин) является увеличение константы тушения (k_q) с ростом сродства к электрону в возбужденном состоянии красителя (EA^*):



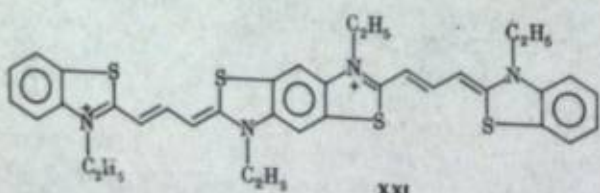
Номер красителя	$EA^*, \text{эВ}$	$k_q, \text{M}^{-1} \cdot \text{сек}^{-1}$
XV	1,0	$1,3 \cdot 10^6$
XVI	0,68	$6,6 \cdot 10^7$
XVII	0,48	$7,5 \cdot 10^8$

Номер красителя	$EA^*, \text{эВ}$	$k_q, \text{M}^{-1} \cdot \text{сек}^{-1}$
XVIII	0,26	$4,6 \cdot 10^5$
XIX	0,12	$7,4 \cdot 10^4$

В соответствии с предположением о тушении триплетного состояния через образование комплекса с переносом заряда наблюдается увеличение константы тушения триплетных состояний красителя XXI донором электрона (*n*-толуидином) и красителя XXI акцептором электрона (*n*-бромнитробензолом) при увеличении диэлектрической постоянной растворителя (ϵ):

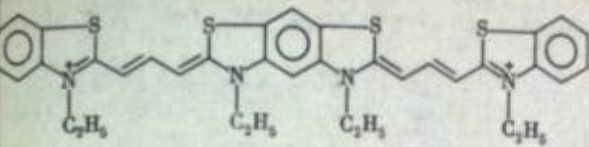


Растворитель (спирт)	ϵ	$k_q, \text{M}^{-1} \cdot \text{сек}^{-1}$
Октиловый	10	$1,8 \cdot 10^6$
Изоамиловый	15	$4,0 \cdot 10^6$
Проциловый	20	$9,4 \cdot 10^6$
Метиловый	33	$1,1 \cdot 10^7$



Растворитель (спирт)	ϵ	$k_q, \text{M}^{-1} \cdot \text{сек}^{-1}$
Октиловый	10	$4,7 \cdot 10^6$
Октиловый + проциловый (2 : 1)	14	$6,5 \cdot 10^6$
Октиловый + проциловый (1 : 2)	17	$9,8 \cdot 10^6$

Константа скорости тушения триплетного состояния бискарбоцианинового красителя XXII увеличивается при переходе от акцепторов с невысоким значением сродства к электрону к таким сильным акцепторам, как хлоранил и тетрацианхинодиметан, при этом значение k_q приближается к значению дифракционной константы:



Акцептор	$EA^*, \text{эВ}$	$k_q, \text{M}^{-1} \cdot \text{сек}^{-1}$
Нитробензол	0,50	$6,7 \cdot 10^6$
Метиленолотен	0,64	$1,3 \cdot 10^6$
<i>n</i> -Бензалин	1,40	$5,0 \cdot 10^6$
Хлоранил	2,40	$5,2 \cdot 10^6$
Тетрацианхинодиметан	2,90	$4,5 \cdot 10^6$

Исследование процессов переноса электрона выполнено на карбоцианиновых красителях, содержащих в молекуле один или два хромофора. Интересной особенностью нового класса цианиновых красителей, содержащих два хромофора, является то, что квантовый выход интеркомбинационной конверсии для этих красителей равен 0,07—0,20 [52], в то время как для тиакарбоцианина квантовый выход интеркомбинационной конверсии равен нулю. Спектры поглощения триплетных состояний бискарбоцианиновых красителей примерно совпадают по положению максимумов с синглет-синглетными спектрами поглощения, что свидетельствует о взаимодействии возбужденных хромофоров в молекуле красителя и о расщеплении триплетных уровней в бискрасителях [52]. Появление дополнительных уровней в триплетных состояниях у бискрасителей при взаимодействии хромофоров, по-видимому, и приводит к усилению интеркомбинационной конверсии за счет уменьшения энергии между синглет-во-возбужденным состоянием и уровнем триплетного состояния, образовавшимся после расщепления триплетного уровня.

Развитие исследований в области фотохимии полиметиновых красителей в дальнейшем приведет к созданию новых систем для лазерной техники и к созданию новых эффективных сенсибилизаторов фотозмульсий. Знание механизмов фотопреакций красителей этого класса послужит основой для целенаправленного синтеза красителей с заранее заданными свойствами.

ЛИТЕРАТУРА

1. Hammes G. Investigation of rates and mechanisms of reactions. N. Y.: John Wiley & Sons, 1974. 258 p.
2. The theory of the photographic process/ Ed. T. H. James. N. Y.: Macmillan Publ. Co., Inc., 1977. 545 p.
3. Dye lasers/Ed. F. P. Schäfer. B.: Springer-Verl., 1973. 234 p.
4. Левкоев И. И., Хайкин М. С., Шамальская Д. В.—Успехи науч. фотографии, 1968, т. 13, с. 86—92.
5. Hamer F. M. The cyanine dyes and related compounds. N. Y.; L.: Intersci. publ., 1964, p. 327.
6. Roth N. J. L., Craid A. C.—J. Phys. Chem., 1974, vol. 78, p. 1154—1161.
7. Kelly T. M., O'Brien D. F.—Photogr. Sci. and Eng., 1974, vol. 18, p. 68—71, 76—79.
8. Razi Nagvi K., Sharma D. K., Hoytink G. J.—Chem. Phys. Lett., 1973, vol. 22, p. 5—12.
9. Arthurs E. G., Bradley D. J., Puntambekar P. N. et al.—Opt. Commun., 1974, vol. 12, p. 360—369.
10. Fouassier J. P., Lougnot D., Faure J.—Chem. Phys. Lett., 1975, vol. 30, p. 448—457.
11. Дадюша Г. Г., Пржонская О. В., Туганов Е. А., Шпак М. Т.—Изв. АН СССР. Сер. физ., 1972, т. 36, с. 945—951.
12. West W., Pearce S., Grum F.—J. Phys. Chem., 1967, vol. 71, p. 1316—1325.
13. Wheatley P. J.—J. Chem. Soc., 1959, p. 3245—3253, 4096—4099.
14. Scheibe G., Heiss J., Feldman K.—Ber. Bunsenges. phys. Chem., 1974, Bd. 70, S. 52—67.
15. Steiger R., Kitzing R., Hagen R., Stoeckly-Evans H.—J. Photogr. Sci., 1974, vol. 22, p. 151—167.
16. Cooper W., Liebert N. B.—Photogr. Sci. and Eng., 1971, vol. 16, p. 25—33; Cooper W.—Photogr. Sci. and Eng., 1973, vol. 17, p. 3—9.
17. McCartin P. J.—J. Chem. Phys., 1965, vol. 42, p. 2980—2986.
18. Dörr F., Kotschy S., Kausen H.—Ber. Bunsenges. phys. Chem., 1965, Bd. 69, S. 11—19.
19. Demster D. N., Merrow T., Rankin R., Thompson G. F.—J. Chem. Soc. Faraday Trans., Part II, 1972, vol. 68, p. 1479—1486.
20. Виноградов А. М., Кузьмин В. А., Романов Н. Н., Бабичев Ф. С.—Изв. АН СССР. Сер. хим., 1978, с. 1785—1789.
21. Чубисов А. К.—Теорет. и эксперим. химия, 1966, т. 2, с. 825—831.
22. Knudtson Y. T., Eyring E. M.—J. Phys. Chem., 1974, vol. 78, p. 2355—2364.
23. Чубисов А. К., Кузьмин В. А., Ройтман Г. П. и др.—Изв. АН СССР. Сер. физ., 1970, т. 6, с. 1288—1291.
24. Чубисов А. К., Кузьмин В. А., Либенов Ю. И.—Оптика и спектроскопия, 1974, т. 36, с. 919—924.
25. Кузьмин В. А., Виноградов А. М.—Изв. АН СССР. Сер. хим., 1977, с. 2613—2618.

III. СПЕКТРАЛЬНАЯ СЕНСИБИЛИЗАЦИЯ

Д. Е. Гриффин, Д. М. Шагалов, В. А. Кузьмин

ОСНОВНЫЕ НАПРАВЛЕНИЯ ИЗУЧЕНИЯ ПРОЦЕССА СПЕКТРАЛЬНОЙ СЕНСИБИЛИЗАЦИИ ГАЛОГЕНСЕРЕБРЯНЫХ ЭМУЛЬСИЙ

Объем статьи не позволяет сделать даже краткий анализ публикаций за последние 10–15 лет, посвященных исследованию спектральной сенсибилизации галогенсеребряных эмульсий полиметиновыми красителями. В связи с тем, что в литературе выявляются противоречивые тенденции, представляется целесообразным сделать обзор лишь тех работ, которые, по нашему мнению, характеризуют основные направления изучения спектральной сенсибилизации в принципиальном аспекте.

В этот период углубились и расширились исследования зависимости фотографических свойств полиметиновых красителей (ПМК) от их строения и параметров применяемых эмульсий. Наряду с этим получили развитие работы по выяснению количественных корреляций между способностью красителей к химической и спектральной сенсибилизации, а также к десенсибилизации и их физико-химическими свойствами — в первую очередь электрохимическими потенциалами окисления и восстановления.

Основное внимание в обзоре уделено выявлению определенных зависимостей фотографического действия красителей от их строения, физико-химических свойств и условий применения, а также сравнению различных критериев определения суммарного эффекта спектральной сенсибилизации.

В литературе приводятся многочисленные данные, характеризующие изменение свойств ПМК в эмульсиях, различающихся составом твердой фазы, способом ее выделения, формой микрокристаллов галогенида серебра и их размером. Анализ этих данных, в том числе более 2000 патентов, позволяет считать, что увеличение публикаций на эту тему связано, во-первых, с разработкой мелко- и особомелкозернистых эмульсий (МЭЭ и ОМЭЭ) для получения высокоразрешающих слоев (голография, микрозондовая и др.) и, во-вторых, с ростом удельного веса фотоматериалов весьма узкого назначения, в частности для регистрации различных излучений [1].

Необходимо подчеркнуть, что анализ работ по влиянию эмульсионных факторов на суммарный эффект спектральной сенсибилизации сложен, так как зачастую в них отсутствуют количественные данные, характеризующие эффективность красителей, или авторы сравнивают ПМК совершенно различного строения. Кроме того, в литературе много противоречивых сведений о свойствах красителей, что обусловлено не только разнообразием применяемых эмульсий, но и тем, что в ряде случаев выводы делаются на основании исследования свойств весьма ограниченного числа соединений.

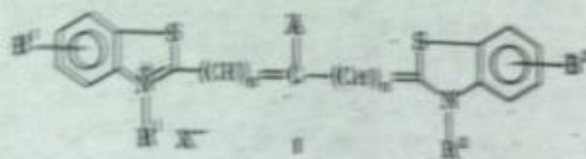
Наиболее типичным примером могут служить данные, касающиеся способности цианинов к J-агрегации на микрокристаллах галогенидов серебра с различной огранкой. Так, при исследовании 9-метил(этил)тиакарбонианов (ТКЦ) с различными заместителями при атомах азота, склонных к J₁- и J₂-агрегации, одни авторы утверждают, что J-агрегаты преимущественно образуются на кубах [2], а другие — на октаэдрах [3]. Буйай с сотр. [4], изучавшая 1,1'-диэтокси-2-монометинцанин, обладающий способностью к образованию J-агрегатов одного типа ($\lambda_{max} = 580$ нм), считает, что они одинаково легко образуются и на кубах, и на октаэдрах.

Результаты работ [5–7] убедительно свидетельствуют о том, что характер спектров поглощения красителей и светочувствительность сенсибилизованных слоев зависит не только от формы микрокристаллов, но и от величины ρ_{Ag} , а также наличия стабилизатора 5-метил-7-окси-1,3,4-триазолидолина

26. Федоров А. П., Кузьмин В. А., Лаптев И. В. — Докл. АН ССР, 1973, т. 207, с. 1125–1128.
27. Федоров А. П., Кузьмин В. А., Лаптев И. В. — Докл. АН ССР, 1973, т. 207, с. 1129–1132.
28. Кузьмин В. А., Чубасов А. П., Чубасова Н. В. — Докл. АН ССР, 1973, т. 207, с. 1133–1135.
29. Кузьмин В. А., Чубасов А. П., Чубасова Н. В. — Докл. АН ССР, 1973, т. 207, с. 1136–1138.
30. Кузьмин В. А., Чубасов А. П., Чубасова Н. В. — Докл. АН ССР, 1973, т. 207, с. 1139–1140.
31. Кузьмин В. А., Чубасов А. П., Чубасова Н. В. — Докл. АН ССР, 1973, т. 207, с. 1141–1142.
32. Кузьмин В. А., Чубасов А. П., Чубасова Н. В. — Докл. АН ССР, 1973, т. 207, с. 1143–1144.
33. Кузьмин В. А., Чубасов А. П., Чубасова Н. В. — Докл. АН ССР, 1973, т. 207, с. 1145–1146.
34. Копрак Р. Й. — J. Chem. Phys., 1974, vol. 61, p. 1080–1091.
35. Кузьмин В. А., Чубасов А. П., Чубасова Н. В. — Докл. АН ССР, 1975, т. 224, с. 189–192.
36. Шевцова Л. А., Ганимова А. С., Манак С. М. и др. — Докл. АН ССР, Сер. хим., 1979, т. 249, с. 749–753.
37. Кузьмин В. А., Чубасов А. П., Чубасова Н. В. — Химия высоких энергий, 1977, т. 11, с. 38–42.
38. Капришко А. Н. — Успехи химии, 1960, т. 29, с. 1336–1354.
39. Дармакан А. П., Кузьмин В. А., Рожков Н. Н., Бабичев Ф. С. — Докл. АН ССР, 1976, т. 227, с. 1139–1142; 1977, т. 229, с. 1367–1370.
40. Кузьмин В. А., Дармакан А. П. — Chem. Phys. Lett., 1978, vol. 54, p. 159–163.
41. Лифанов Ю. П., Кузьмин В. А., Чубасов А. П., Лекисов Н. Н. — Журн. прикл. спектроскопии, 1974, т. 20, с. 221–224.
42. Orlando G., Siebrand W. — Chem. Phys. Lett., 1975, vol. 30, p. 352–359.
43. Rulliere C. — Chem. Phys. Lett., 1976, vol. 43, p. 303–311.
44. Brown G. H. — Photochromism. N. Y.: John Wiley & Sons, 324 p.
45. Hirshberg J., Fisher E. — J. Chem. Soc., 1954, p. 3129–3136; Heiligman-Rim R., Hirshberg J., Fisher E. — J. Phys. Chem., 1962, vol. 66, p. 2470–2481.

Сравнение величиной ϕ_{τ}^{420} между нами, как известно, является широким и строительным способом оценки эффективности инфракрасных сенсибилизаторов [6] и некоторых других красителей (см. библиографию в [6, 8–11]). Обобщение имеющихся литературных и экспериментальных данных позволяет сказать, что рост дополнительной светочувствительности сенсибилизирующих фотослоев обусловлен не только изменением электроположительного характера системы [13, 14], но и специфическим влиянием иона брома и серебра на состав ПМК, что особенно четко проявляется в ряду карбоцианинов. В результате систематических исследований адсорбции последних на галогенидах меди С. В. Наташкой с сотр. показано [5–8, 11, 15–17], что величина ϕ_{τ}^{420} системы в зависимости от строения сенсибилизаторов может обуславливать существенные изменения их склонности к агрегации, количества адсорбированного красителя, прочности адсорбции и, по-видимому, ориентации на поверхности, о чем свидетельствует увеличение относительного изавитого коэффициента сенсибилизации ($S_{0.55}^{420}$) [15]. Большое значение имеет также способ изменения ϕ_{τ}^{420} (pAg) системы [6].

Влияние pBr на способность красителей к агрегации и значение этого фактора для спектральной сенсибилизации наглядно иллюстрирует следующий пример. В 1920 г. было обнаружено, что метилаты большинства красителей менее эффективны, чем этилаты, и хотя это «странные правило» суждалось многими исследователями [18], оно более 30 лет не находило объяснения. И. И. Левков и Э. Б. Лишинц [18, 19] экспериментально показали, что N,N' -диметилаты и N,N' -диэтлаты тиакарбо-, тиодикарбо-, циано- и карбоцианинов, не отличающиеся по склонности к агрегации, близки по эффективности. Причиной слабого сенсибилизирующего действия N,N' -диэтлатов тиа-, циано-, селено- и тионкарбоцианинов, а также соответствующих диметилатов является их значительная склонность к образованию за счет микрокристаллов фотокинетически маловолновых H_2 -агрегатов (табл. 1, а и б). На примере тиацианинов (I), в частности 3,3'-диметилтиацианина,



четко показано, что для H_2 -агрегата величина относительного изавитого коэффициента сенсибилизации $\phi_{\tau}^{420} = 0.002$, тогда как для М- и H_2 -составов ϕ_{τ}^{420} = 0.3–0.6.

Таблица 1

Свойства тиацианинов строения I ($B_1=B_2=A=H$)

R^1, R^2	n	pK_a	$E_{1/2}^{Red}$, в	$E_{1/2}^{Ox}$, в	$S_{0.55}^{420}$ при pBr		ϕ_{τ}^{420} при $pBr = 2.2$		
					2.2	4.5	M-состав	H_2 -агрегаты	H_2 -состав
CH_3	1	-0.57	0.80	-1.00	20	250	0.55	0.40	<0.1
CH_3	1	-0.62	0.90	-1.05	100	250	0.60	0.55	0.30
CH_3	2	0.76	0.38	-0.82	40	—	0.33	0.35	—
CH_3	2	0.64	0.58	-0.84	100	—	0.38	0.25	—

* Точное определение величины ϕ_{τ}^{420} H_2 -агрегата 3,3'-диметилтиацианина невозможно.

** ϕ_{τ}^{420} для М-состава – 0.6; для H_2 -состава – 0.5 [20].

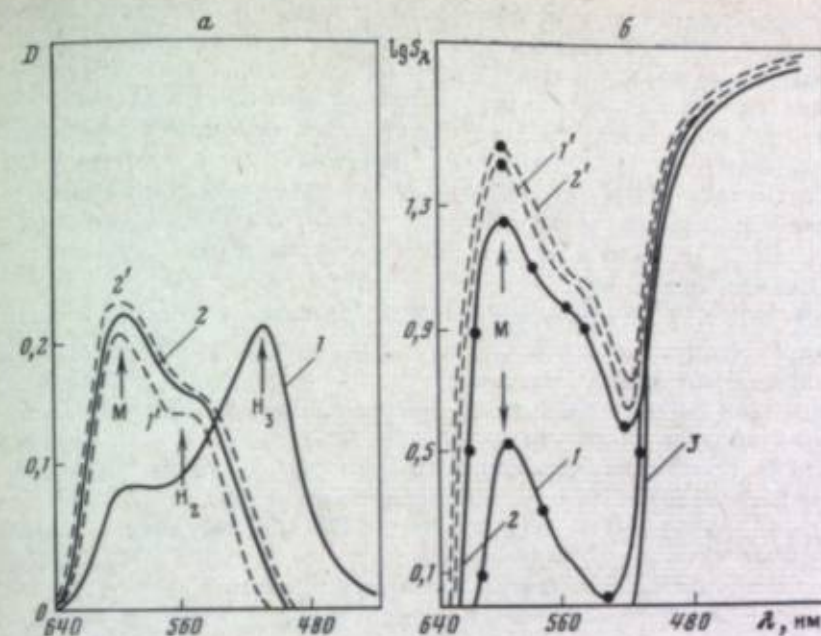


Рис. 1. Кривые спектрального поглощения (а) и распределения спектральной чувствительности (б) слоев, содержащих ТКЦ I ($B = A = H, n = 1; c_{ip} = 32 \cdot 10^{-6}$ моль/моль AgHal>)
1, 1' – $R^1 = R^2 = CH_3$; 2, 2' – $R^1 = R^2 = C_2H_5$; 1, 2 – pBr 2.2; 1', 2' – pBr 4.5; 3 – несенсибилизованная эмульсия

Сравнимые величины ϕ_{τ}^{420} М-состояния тиакарбо- и дикарбоцианинов с метильными и этильными группами при атомах азота являются логическим следствием близких значений pK_a , $E_{1/2}^{Red}$ и $E_{1/2}^{Ox}$ (см. 1) этих красителей. Позднее было установлено [6], что различие свойств метилатов и этилатов цианинов – вполне управляемый процесс. Так, при уменьшении концентрации ионов брома в $AgBr(J)$ -эмulsionии (изменение pBr от 2.2 до 4.5) склонность 3,3'-диметил-ТКЦ к H_2 -агрегации подавляется (кривые 1 и 1' на рис. 1, а): спектры поглощения этого красителя и 3,3'-диэтил-ТКЦ в эмульсии аналогичны (кривые 1' и 2' на рис. 1, а) и обуславливают одинаковую дополнительную светочувствительность фотослоев¹ ($S_{0.55}^{420}$) (кривые 1' и 2' на рис. 1, б). Рост величины $S_{0.55}^{420}$, очевидно, происходит за счет увеличения ϕ_{τ}^{420} молекулярного состояния этих красителей при уменьшении концентрации Br-ионов, что, вероятно, обуславливает более благоприятную ориентацию сенсибилизаторов на поверхности AgHal [16].

Состав твердой фазы эмульсии и способ ее выделения, как известно [9], в значительной степени определяют сенсибилизирующее действие красителей, причем анализ разрозненных данных затруднен существенным изменением склонности сенсибилизаторов к агрегации.

Установлено, что способность N,N' -дialкилатов карбоцианинов к образованию J -агрегатов при переходе от $AgBr$ -к $AgBr(Cl)$ -и особенно к $AgCl$ -эмulsionям, как правило, уменьшается, а к $AgBr(J)$ -эмulsionям – увеличивается [9, 21]. Способность к образованию полимолекулярных состояний и относительная эффективность N,N' -ди- γ -сульфоалкилцианинбетаинов в меньшей степени зависит от состава микрокристаллов галогенида серебра [22].

Показано [23], что осадители твердой фазы эмульсии типа натриевых солей полистиролсульфокислоты и кислого сернокислого поливинилового спирта, как правило, не оказывают существенного влияния на светочувствительность фотослоев, сенсибилизованных красителями самого различного строения. При применении поверхностно-активных веществ (ПАВ) типа алкинафталини-

¹ Значения $E_{1/2}^{Ox}$ и $E_{1/2}^{Red}$ (в метаноле) красителей определены Л. Г. Куркиной, которой мы выражаем глубокую благодарность.

(бензил)сульфонил или алкилсульфатов сенсибилизирующее действие ионо- и дисульфоалкилицингетанинов практически не изменяется, а N,N -дигидрокарбонанинов резко подавляется. Так, в крупнозернистых $\text{AgBr}(\text{J})$ -эмulsionах $1,1',3,3'$ -тетраэтил- $5,5'$ -дифтормидакарбоцианин, проявляющий значительную склонность к J-агрегации, в 2,5 раза превосходит по эффективности соответствующий незамещенный краситель. В присутствии ПМК и имидакарбоцианины (ИКЦ) адсорбируются на поверхности микрокристаллов в молекулярном состоянии и в соответствии с близкими величинами их основности ($pK_a = 5,45$ и $6,00$) обусловливают одинаковый, но меньший уровень светочувствительности слоев [24].

Мелкозернистые и особомелкозернистые эмульсии со средним диаметром непроявленных микрокристаллов $d \leq 0,2$ и $<0,1$ мкм соответственно за последние 10 лет приобрели большое значение в связи с широким использованием и спектроразрешающих фотоматериалов в микроэлектронике и голографии. Открыто множество патентов не только на способы изготовления этих эмульсий, но и на их спектральную сенсибилизацию красителями различных классов — цианинами, мероцианинами, мероцианиноцианинами и др. [1, 25—27]. Однако как в патентах, так и в оригинальных работах [28—35] сведения о зависимости свойств ПМК от их строения ограничены.

При задерживании размера микрокристаллов в пределах $d = 1,1 \div 0,2$ мкм в основном сохраняются одни и те же закономерности, связывающие строение сенсибилизаторов и их фотографическую эффективность. Так, во всех случаях, включая ОМЭЗ, сенсибилизирующее действие цианинов уменьшается при удлинении полиметиновой цепи (табл. 2, см. также [30]).

Эффективность карбоцианинов при вступлении электроноакцепторных и электронодонорных заместителей в гетеростатки изменяется в зависимости от основности исходных красителей [19]. Что же касается склонности цианин к агрегации, то пока не представляется возможным сделать определенные выводы, так как часто превалирующее значение имеет не только размер ядра, но и способ получения эмульсии.

Сенсибилизация особомелкозернистых эмульсий полиметиновыми красителями имеет следующие основные особенности.

1. Собственная чувствительность большинства ОМЭЗ, особенно примитивных, т. е. без восстановительной или сернисто-золотой сенсибилизации, повышается в присутствии многих ПМК. При этом в одних статьях отмечается, что химическая сенсибилизация максимальна у красителей с $E_{1/2}^{\text{ox}} = 0,35$ или $0,5$ В, а затем резко падает при его увеличении [31, 32]. По другим данным значительная химическая сенсибилизация наблюдается при использовании красителей с $E_{1/2}^{\text{ox}} = 0,50 \div 0,70$ В [28, 35] и даже 1,0 В [34] (мероцианины, мероцианиноцианины и имидакарбоцианины).

Повышение собственной чувствительности особомелкозернистых эмульсий имеет место также в присутствии различных соединений, например бензимидазола [28], цветных недиффундирующих компонент [36] и феррицианида калия [37], что связывается с возможным акцептированием им положительных дырок.

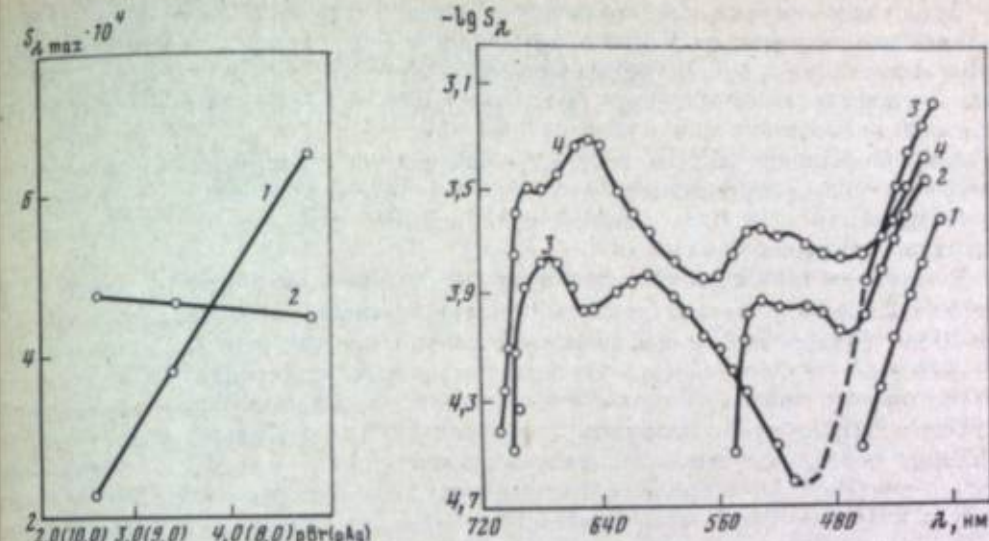


Рис. 2. Зависимость фотографической эффективности красителей при оптимальных концентрациях от pBr (pAg)

1 — ТКЦ II ($R^1 = R^2 = C_2H_5$, $B^1 = B^2 = SO_2N(CH_3)_2$); 2 — мероцианин IV ($Z =$ бензоксазол, $Y = NC_6H_4R$, $R^1 = R^2 = C_2H_5$)

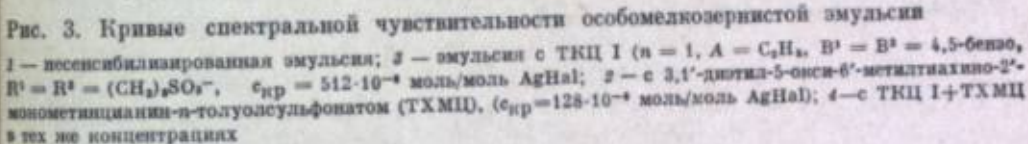


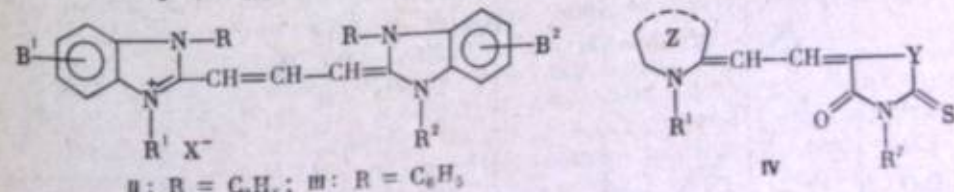
Рис. 3. Кривые спектральной чувствительности особомелкозернистой эмульсии

1 — несенсибилизированная эмульсия; 2 — эмульсия с ТКЦ I ($n = 1$, $A = C_2H_5$, $B^1 = B^2 = 4,5$ -бензо-, $R^1 = R^2 = (CH_2)_2SO_2^-$, $c_{\text{кр}} = 512 \cdot 10^{-4}$ моль/моль AgHal); 3 — с 3,1'-диэтил-5-окси-6'-метилтиазино-2'-монометицианин-п-толуолсульфонатом (ТХМЦ). ($c_{\text{кр}} = 128 \cdot 10^{-4}$ моль/моль AgHal); 4 — с ТКЦ I + ТХМЦ в тех же концентрациях

шается в присутствии многих ПМК. При этом в одних статьях отмечается, что химическая сенсибилизация максимальна у красителей с $E_{1/2}^{\text{ox}} = 0,35$ или $0,5$ В, а затем резко падает при его увеличении [31, 32]. По другим данным значительная химическая сенсибилизация наблюдается при использовании красителей с $E_{1/2}^{\text{ox}} = 0,50 \div 0,70$ В [28, 35] и даже 1,0 В [34] (мероцианины, мероцианиноцианины и имидакарбоцианины).

Повышение собственной чувствительности особомелкозернистых эмульсий имеет место также в присутствии различных соединений, например бензимидазола [28], цветных недиффундирующих компонент [36] и феррицианида калия [37], что связывается с возможным акцептированием им положительных дырок.

2. При уменьшении размеров микрокристаллов наблюдается рост эффективности сенсибилизации красителями, находящимися на поверхности AgHal преимущественно в M-состоянии, например тиацианинами I (см. табл. 2). Даже для слабоадсорбирующегося 3,3'-диэтилтиазолинокарбоцианина, большая часть которого обнаруживается в желатиновой фазе у крупнозернистых эмульсий (КЭЗ), чувствительность $S_A/A_\lambda = 2 \cdot 10^{-4}$, т. е. сравнима с наблюдавшейся у одного из эффективных ортохроматических красителей — ИКЦ II [$B^1 = B^2 = SO_2N(CH_3)_2$, $R^1 = R^2 = C_2H_5$] — $S_A/A_\lambda = 4 \cdot 10^{-4}$.



3. В особомелкозернистых эмульсиях более четко, чем в крупнозернистых, проявляется влияние концентрации ионов брома (серебра) на сенсибилизирующую действие красителей, способность к активации (см. ниже) и суперсенсибилизации.

Таблица 2
Эффективность сенсибилизации $\text{AgBr}(\text{J})$ -эмulsion с различным размером микрокристаллов цианинами строения I (концентрация красителей — $c \cdot 10^{-4}$ моль/моль AgHal)

n	A	B^1, B^2	R^1, R^2	$\lambda_{\text{ макс.}}$ нм	ОМЭЗ ($d = 0,03$ мкм)		КЭЗ ($d = 1,0$ мкм)		
					c	Φ_p^{120} при pBr		c	
						2,0	4,0		
1	C_2H_5	4,5-бензо-	$(CH_2)_2SO_2^-$	510	256	0,70	0,90	32	0,8
				670 (J_2)	—	—	—	—	—
1	H	H	C_6H_5	610	768	0,30	0,57	160	0,70
				670 (J_2)	—	0,30	0,44	—	0,55
2	H	H	C_6H_5	590	192	1,73	1,90	16	0,90
				700	256	1,50	1,65	64	0,65
3	H	H	C_6H_5	820	96	0,80	1,40	8	0,38
				830	192	0,35	0,85	16	0,28
4	H	H	C_6H_5	950	64	—	0,39	—	—
				950	128	—	0,32	—	—
				950	64	—	0,24	—	—
				950	128	—	0,11	—	—

Так, в крупнозернистых эмульсиях эффективность ряда ИКЦ II и III [38] и диметинмероцианинов IV [39] практически не меняется при увеличении $p\text{Br}$ эмульсии от 2,2 до 4,9. В ОМЭЭ, как видно из рис. 2, эффективность ИКЦ II резко возрастает при увеличении $p\text{Br}$, а мероцианина IV при этом даже несколько снижается.

Из рис. 3 видно, что при использовании ТКЦ и тиахиномонометициана (ТХМЦ) в особомелкозернистых эмульсиях суперэффект имеет место в области сенсибилизации обоих красителей и значительно превосходит наблюдаемый в крупнозернистых эмульсиях ($\Delta \lg S_{680} < 0,1$).

4. В особомелкозернистых эмульсиях по сравнению с крупнозернистыми способность многих 9-алкилокса- и тиакарбоцианинов к образованию на поверхности микрокристаллов J-состояний и фотохимическая активность последних поникаются (см. табл. 2), что является в первую очередь следствием избытка ионов серебра в системе, а также наличия соединений, повышающих коллоидную стабильность, например, производных триазолидолицина. В связи с этим в особомелкозернистых эмульсиях представляется наиболее рациональным применение красителей, адсорбирующихся преимущественно в M- или H-состояниях: меро- и мероцианиноцианинов, стирильных красителей, а также некоторых имидакарбоцианинов [28, 40, 41].

5. Спектральные сенсибилизаторы оказывают влияние не только на фотографические, но и на голографические параметры особомелкозернистых эмульсий — дифракционную эффективность амплитудных и фазовых голограмм [41] и степень отклонения от закона взаимозаместимости при экспонировании импульсами высокой интенсивности $\sim 10^{-8}$ — 10^{-9} сек [41—44].

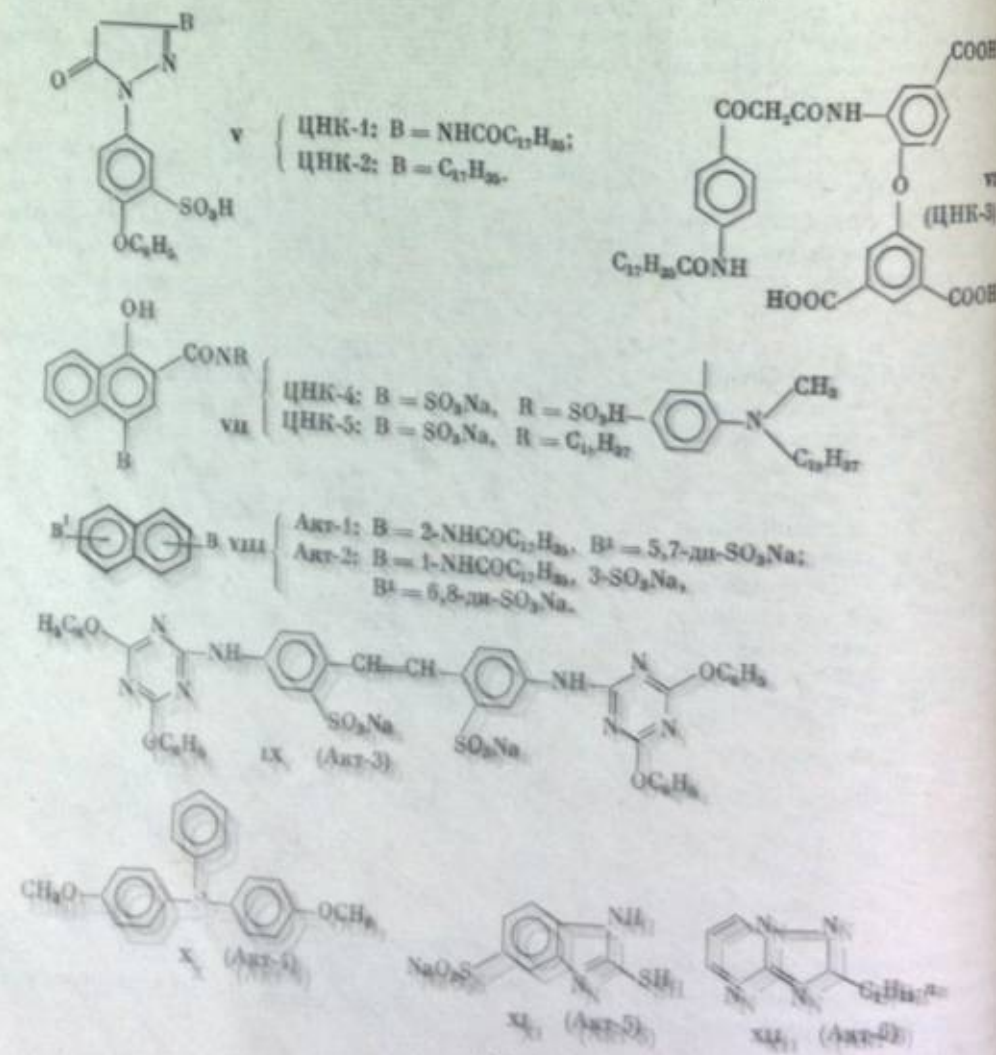


Таблица 3

Компонентоустойчивость ТКЦ I [$n = 1$, $\text{A} = \text{C}_6\text{H}_5$,
 $\text{R}^1 = (\text{CH}_2)_3\text{SO}_3^-$, $\text{R}^2 = \text{C}_6\text{H}_5$ или $(\text{CH}_2)_3\text{SO}_3^-$] [22]

Состав твердой фазы	d , мкм	Компонентоустойчивость с ЦНК-I	
		$\text{B}^1 = \text{B}^2 = \text{OCH}_3$ (или CH_3)	$\text{B}^1 = \text{OCH}_3$ (или CH_3); $\text{B}^2 = 4,5\text{-бензо-}$
$\text{AgBr}(\text{J})$	1,0—1,2	60	80—100
$\text{AgBr}(\text{J})$	0,7	100	120
$\text{AgBr}(\text{J})$	0,4	100	125
$\text{AgCl}(\text{Br})$	0,2	<1	40
$\text{AgCl}(\text{Br})$	0,2	70 *	90 *

* В присутствии ионов CNS^- .

Влияние эмульсионных факторов на свойства красителей проявляется в еще большей степени при использовании их в смесях или в присутствии различных веществ, в первую очередь цветных недиффундирующих компонент (ЦНК) строения V—VII и активаторов спектральной сенсибилизации (Акт) строения VIII—XII. Эффекту суперсенсибилизации, т. е. повышению светочувствительности фотослоев при использовании смесей красителей, посвящено огромное количество патентов, публикация которых систематически продолжается [1], и значительное число статей, причем обсуждается несколько вариантов механизма этого процесса [10, 45—47]. В значительно меньшей степени [8, 11] в обзорах освещены весьма важные свойства спектральных сенсибилизаторов: способность к активации² и компонентоустойчивость K (степень изменения сенсибилизирующего действия при введении в эмульсию активаторов и цветных недиффундирующих компонент), которые могут быть выражены в виде отношения

$$K = S_{0,85}^{\text{ЖК-18(ЖК-14)}} / (\text{сенсибилизатор} + \text{Акт или ЦНК}) S_{0,85}^{\text{ЖК-18(ЖК-14)}} \quad (\text{сенсибилизатор}).$$

В связи с этим представлялось целесообразным обсудить зависимость этих свойств красителей от некоторых факторов.

Ранее были изучены причины подавления сенсибилизирующего действия красителей цветными недиффундирующими компонентами [39, 48—51] и установлены определенные зависимости между строением ПМК различных типов и их компонентоустойчивостью в крупнозернистых $\text{AgBr}(\text{J})$ -эмulsionах. При этом в течение более 25 лет компонентоустойчивость считалась свойством, присущим данному сенсибилизатору, хотя отдельные результаты свидетельствовали об ее изменении при варьировании эмульсионных факторов. Так, при увеличении $p\text{Br}$ эмульсии от 2,3 до 3,4 компонентоустойчивость тиадиметинмероцианинов, например производных тионафтенона-3, относительно ЦНК-1 повышается от 20 до 50% [48], а некоторых карбоцианинов и мероцианиноцианинов понижается [39].

В дальнейшем было показано, что степень подавления сенсибилизирующего действия карбоцианинов цветными недиффундирующими компонентами в большей или меньшей степени зависит от состава и размера микрокристаллов эмульсии. Например, компонентоустойчивость ТКЦ увеличивается при уменьшении размера микрокристаллов (табл. 3), резко падает в $\text{AgCl}(\text{Br})$ -эмulsionах и возрастает при введении в последние ионов CNS^- [22] или J^- [52].

В 1968 г. впервые была обнаружена четкая зависимость между компонентоустойчивостью ИКЦ II и III и структурой адсорбционного слоя этих красителей на поверхности микрокристаллов [53]. Было показано, что повышение компонентоустойчивости ИКЦ от 5 до 100% при введении в ядра заместителей, как правило, связано либо с подавлением, либо с усилением склонности к J-агрегации, что в обоих случаях обусловливает более однообразную структуру адсорбционного слоя (рис. 4, a, кривые 1—3). Позднее было найдено

² В работах [45—47] эффект активации, т. е. способ повышения сенсибилизирующего действия красителей при помощи соединений различного строения, рассматривается как один из вариантов суперсенсибилизации.

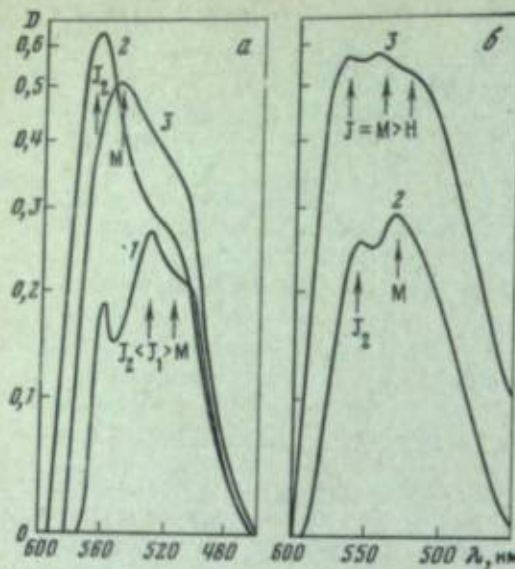


Рис. 4. Кривые спектрального поглощения ИКЦ II в эмульсиях с размером микрокристаллов $d = 1,0 \text{ мкм}$ (а) и $0,05 \text{ мкм}$ (б)

$J - R^1 = R^2 = C_6H_5, B = H; J - R^1 = R^2 = C_6H_5, B = 5-Cl; J - R^1 = n-C_6H_{11}, R = (CH_3)_3SO_3^-, B = 5-COOC_2H_4,$

[24, 54, 55], а также при дополнительном введении в эмульсию в первом случае органических сульфокислот определенного строения, а во втором — четвертичных солей гетероциклических оснований [55].

Известно [56], что для повышения светочувствительности сенсибилизированных фотослоев могут быть использованы различные органические соединения с $\lambda_{\max} < 400 \text{ нм}$, в частности ЦНК V—VII [57], ациламинонафталинсульфокислоты (VIII), триазинильные производные 4,4'-диаминостильбен-2,2'-дисульфокислот (IX), триарилфосфины (X), гетероциклические основания XI, XII.

Эффект активации чрезвычайно специфичен. В значительной степени он зависит от строения и физико-химических свойств сенсибилизаторов и активаторов, а также условий их применения.

1. Соединения строения VIII—XII являются активаторами в случае сенсибилизаторов определенного типа, тогда как в других случаях они либо не изменяют, либо подавляют сенсибилизирующую действие красителей:

а) ациламинонафталинсульфокислоты (VIII) обусловливают эффект активации N,N' -дикарбонатов дифенилакарбонатов [58], не активируют соответствующие N,N' -дисульфо-алкилпроизводные [59] с близкими величинами pK_a и $E_{1/2}^{Ox}(Red)$ и понижают эффективность многих красителей, например 3,3',9-триазил-5,5'-дифенилоксакарбонанинитрата в 2 раза;

б) триарилфосфины (X) и гетероциклические основания XI, XII повышают дополнительную светочувствительность фотослоев, сенсибилизированных тетра-, пента- и гексакарбонатами [56], не проявляют активирующего действия в случае 3,3'-диэтилтиатрикарбонатов и понижают эффективность карбо- и дикарбонатов;

в) триазинильные производные 4,4'-диаминостильбен-2,2'-дисульфокислоты (например, IX), используемые обычно совместно с восстановителями типа ароматических фенолов, обладают более широким спектром действия — повышают эффективность многих ди- и трикарбонатов [60, 61], мероцианинионов [62] и некоторых других красителей [63]. При этом не удается выявить зависимости между степенью активации красителей и особенностями их строения или окислительно-восстановительными свойствами (табл. 4, 5). В ряду трикарбонатов активаторы типа IX играют роль антигуалирующих веществ (табл. 6), что осложняет анализ результатов. В подобных случаях основным активатором является восстановитель³, например пирокатехин (XIII), в присутствии которого чувствительность фотослоев повышается и за счет снижения десенсибилизирующего действия красителей.

³ Частное сообщение С. В. Наталион и Н. В. Богдановой, которым мы выражаем благодарность.

Таблица 4
Влияние активаторов на светочувствительность фотослоев, сенсибилизированных красителями I

Краситель строения I ($B^1 = B^2 = H$)	Активатор (в присутствии XIII)	$S_{0,85}^{KC-14}$ при рBr		$E_{1/2}^{Red}, \text{B}$	$E_{1/2}^{Ox}, \text{B}$
		2,2	3,6		
2 H	C ₂ H ₅	Без активатора IX	1,0 2,0	2,6 5,0	-0,83 +0,58
	CH ₃	Без активатора IX	1,0 4,0	3,0 8,0	-0,87 +0,62
2 CH ₃	(CH ₃) ₃ SO ₃ ⁻	Без активатора IX	1,0 1,0	4,5 4,5	-0,98 +0,55
	-OC ₂ H ₅	Без активатора IX	1,0 4,0	1,8 5,7	-0,85 +0,30
4 9,11-(CH ₂) ₃	C ₂ H ₅	Без активатора IX	1,0 3,5	8,0 20,0	— —

Примечание. Величины $S_{0,85}^{KC-14}$ слоев при рBr 2,2 в отсутствие активатора приняты за 1,0.

Таблица 5
Влияние активатора IX на величины относительных квантовых выходов сенсибилизации М-состояния тиацапанинов I ($B^1 = B^2 = H; R^1 = R^2 = CH_3, A = OCH_3$)

я в красителе I	Активатор IX	$S_{0,85}^{KC-14}$ при рBr		φ_r^{420} при рBr	
		2,2	3,6	2,2	3,6
1	Без активатора	1,0	1,5	0,28	0,58
	В присутствии активатора	1,9	1,8	0,52	0,54
2	Без активатора	1,0	1,9	0,26	0,90
	В присутствии активатора	1,8	2,2	0,50	0,88
3	Без активатора	1,0	2,0	0,19	0,44
	В присутствии активатора	2,0	2,7	0,43	0,46

Примечание. Величины $S_{0,85}^{KC-14}$ слоев при рBr 2,2 в отсутствие активатора приняты за 1,0.

Таблица 6
Влияние пирокатехина (XIII) и активатора IX на параметры фотослоев, сенсибилизированных красителями I ($B^1 = B^2 = H; A = CH_3; R^1 = R^2 = C_6H_5$)

Краситель строения I я	Добавки	рBr 3,6				$D_{0,85}^{S'}$	
		$S_{0,85}^{S'}$		$\varphi_r^{S'}$			
		красный	синий	красный	синий		
2	Без добавки	170 (200)*	100 (125)*	3,00	2,98	0,19 (0,11)*	
	XIII	180	115	3,20	3,17	0,10	
	IX	460	95	3,12	3,08	0,11	
	XIII + IX	570	110	2,98	3,15	0,10	
3	Без добавки	85 (150)*	35 (65)*	3,15	3,00	0,75 (0,20)*	
	XIII	240	75	2,95	2,90	0,38	
	IX	150	35	3,17	3,08	0,20	
	XIII + IX	390	70	3,10	3,15	0,18	

* Приведены величины светочувствительности при плотности вуали, соответствующей слою с активатором IX.

Таблица 7

Влияние соединений V—VII и IX на сенсибилизирующее действие красителей в КЗЭ и ОМЗЭ

Краситель	Добавки	$S_{\text{ЖС-18}}^{0,85}$	
		КЗЭ ($d = 1,0 \text{ мкм}$)	ОМЗЭ ($d = 0,08 \text{ мкм}$)
I: $B^1 = B^2 = 4,5\text{-бензо};$ $A = C_2H_5;$ $R^1 = R^2 = (CH_2)_5SO_3^-;$	Без добавки	100	100
VI		140	400
II: $R^1 = R^2 = C_2H_5;$ $B^1 = B^2 = SO_2CF_3$	Без добавки	100	100
V		100	150
IV: $Z = \text{бензоксазол};$ $Y = S;$ $R^1 = R^2 = C_2H_5;$	Без добавки	100	100
VI		90	300
VII		85	240
I: $B^1 = B^2 = 6,7\text{-бензо};$ $R^1 = R^2 = C_2H_5; n = 3$	Без добавки	100	100
IX		300	1000

Таблица 8

Влияние активаторов различного типа на эффективность спектральной сенсибилизации крупнозернистых эмульсий красителем XIV

Добавки	Интенсивность М-полосы, % ($\lambda_{\text{max}} = 550 \text{ нм}$)	S_{max}	φ_{r}^{420}
Без добавки	100	100	0,23
V (ЦНК-1)	67	70	0,26
VII (ЦНК-4)	45	27	0,12
VII (ЦНК-5)	30	10	0,05
IX	102	200	0,43

2. Специфичность эффекта активации проявляется в зависимости от эмульсионных факторов. При повышении pBr эмульсии от 2,2 до 3,6 активация сенсибилизирующего действия карбо-, дикарбо- и трикарбоцианинов соединениями IX уменьшается, а дibenзотиакарбоцианинов в присутствии Акт-1 практически исчезает [6]. Интересно отметить, что введение активаторов в эмульсию и уменьшение концентрации ионов брома обусловливают в ряде случаев почти одинаковый рост величин относительного квантового выхода сенсибилизации (φ_{r}^{420}) (см. табл. 5).

Следует подчеркнуть, что степень активации уменьшается в эмульсиях с осаждением твердой фазы ПАВ [23] и резко увеличивается в мелко- и особо-мелкозернистых эмульсиях (табл. 7).

3. Эффект активации специфичен даже в ряду соединений одного типа, например ЦНК. Из табл. 8 видно, что ЦНК-1 не оказывает влияния на величину φ_{r}^{420} М-состояния 3,3'-диэтил-5,5'-дibenзилтиодиазоло-1,3,4-карбоцианина (XIV), а производные 1,2-оксинафтойной кислоты (ЦНК-4 и особенно ЦНК-5) уменьшают ее. Квантовый выход этого же красителя в присутствии IX растет.

С другой стороны, соединения V—VII (ЦНК-1, ЦНК-3 и ЦНК-5) обуславливают значительный рост φ_{r}^{420} М-состояния мероцианиоцианинов XV (рис. 5). Очевидно, это является логическим следствием экспериментально установленного факта, что и активирующее, и депрессирующее влияние подобных соединений обусловлено наличием в молекуле главным образом высокомолекуляр-

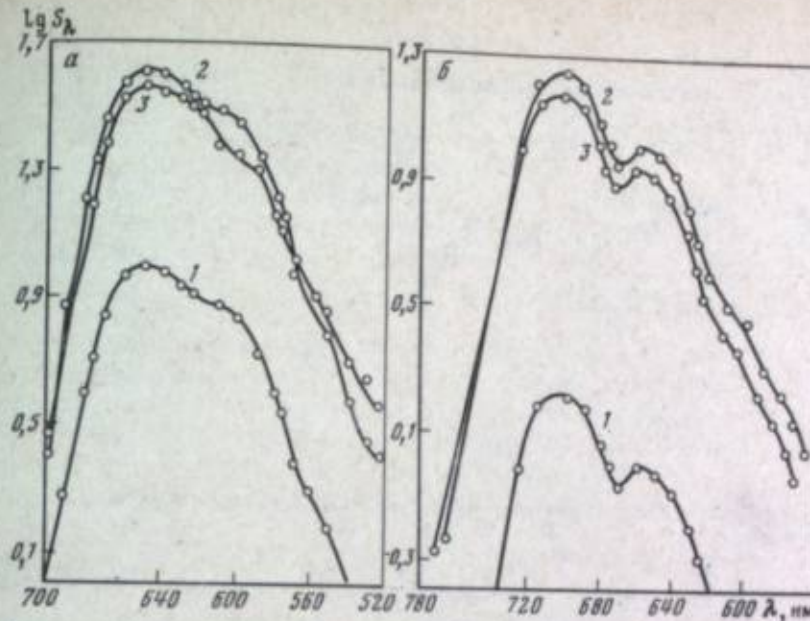
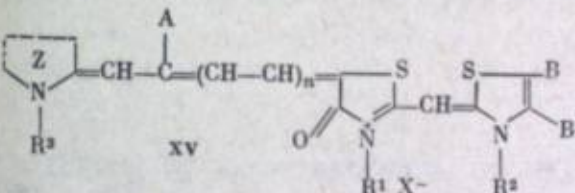


Рис. 5. Кривые распределения спектральной чувствительности крупнозернистых эмульсий, сенсибилизованных мероцианиоцианином XV ($R^1 = R^2 = R^3 = C_2H_5, n = 0, B = B^1 = C_6H_5$)

a) $Z = 4,5\text{-дифенилтиазол}, c_{\text{кр}} = 48 \cdot 10^{-4} \text{ моль/моль AgHal}: I - \text{без активатора} (\varphi_{\text{r}} = 0,28), z - \text{с ЦНК-1} (\varphi_{\text{r}} = 0,65), x - \text{с ЦНК-3} (\varphi_{\text{r}} = 0,66), b) Z = \text{хинолин-4-yl}, c_{\text{кр}} = 32 \cdot 10^{-4} \text{ моль/моль AgHal}: I - \text{без активатора} (\varphi_{\text{r}} = 0,23), z - \text{с ЦНК-1} (\varphi_{\text{r}} = 0,71), x - \text{с ЦНК-5} (\varphi_{\text{r}} = 0,68)$

ного алифатического остатка, а также кислотной группы [50].



4. Анализ некоторых физико-химических свойств активаторов и сенсибилизаторов не позволяет выявить однозначные зависимости между ними и эффектом активации:

а) Показано, что батохромный сдвиг максимума М-полосы в присутствии различных активаторов, установленный в водно-спиртовых (9 : 1) растворах [49, 51, 64] на поверхности микрокристаллов, в одних случаях четко выявлен, в других — не обнаруживается. Однако наличие сдвига 10—20 нм, обусловленного взаимодействием пары катион ди- или трикарбоцианина и анион сульфокислоты IX [65], не определяет эффекта активации.

Так, из рис. 6 видно, что в случае $9,11-(CH_2)_3-$ и $9,11-CH_2CHCONH_2CH_2-$ замещенных тиадикарбоцианинов при введении соединения IX в особомелкозернистую эмульсию имеет место батохромный сдвиг М-полосы (16 и 23 нм), но активация наблюдается только у первого из них ($\Delta \lg S = 0,3$ и $-0,06$ соответственно). Однако из рис. 5 и табл. 8 следует, что как при активации, так и при депрессии сенсибилизирующего действия красителей XIV и XV максимум поглощения М-полосы в эмульсии не изменяется.

б) Влияние активаторов на адсорбцию сенсибилизаторов исследовано главным образом в модельных системах — в спиртовых и водно-спиртовых суспензиях $AgBr$. Из табл. 9 [59] видно, что при введении соединений VIII в системы с pBr 2,5 и 5,0, содержащие ТКЦ I ($n = 1, B^1 = B^2 = 4,5\text{-бензо}; A = R^1 = R^2 = C_2H_5$), адсорбция этого красителя увеличивается, но повышение сенсибилизирующего действия наблюдается только при pBr 2,5 [6]. В системах же, содержащих соответствующий ТКЦ I с γ -сульфопропильными группами при атомах азота, не склонный к активации, коадсорбция активатора VIII (Акт-1)

Таблица 9

Влияние активаторов на адсорбцию красителей I на препарате AgBr*

pBr системы	Активатор VIII	Количество адсорбированного активатора (10^4 ммоль/г AgBr)	препаратом после адсорбции ТКЦ I ($A = \text{CaH}_2$; $B^1 = B^2 = 4,5\text{-бензо}$) при	
			исходным препаратом	
			$R^1 = R^2 = \text{CaH}_2$	$R^1 = R^2 = (\text{CH}_3)_2\text{SO}_4^-$
2,5	Акт-1	0,3	0,8	0,2
5,0	Акт-1	0,6	1,0	0,3
2,5	Акт-2	0,07	0,4	0,07
5,0	Акт-2	0,07	0,4	0,07

* Концентрация исходных растворов: красителей — $3 \cdot 10^{-3}$ моль/л, активаторов — $2 \cdot 10^{-3}$ моль/л.

с сенсибилизатором не имеет места, а адсорбция активатора VIII (Акт-2) даже уменьшается [59].

О причинах повышения сенсибилизирующего действия красителей активаторами строения V—XII высказывались различные предположения, однако ясности в этом вопросе нет. Питч и Краус [66] полагают, что этот эффект может быть обусловлен либо тем, что ЦНК являются химическими сенсибилизаторами, что наблюдается главным образом в особомелкозернистых эмульсиях [36], либо образованием химических соединений сенсибилизатор—ЦНК [67, 68].

Ристер [45] и Гильман [46] также считают основной причиной активации взаимодействие в адсорбционном слое красителей с активаторами, содержащими

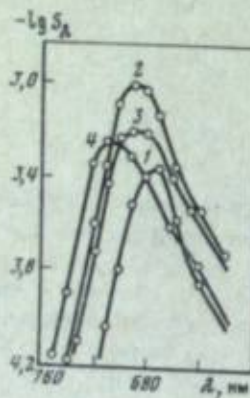


Рис. 6. Кривые распределения спектральной чувствительности особомелкозернистых эмульсий ($d = 0,05$ мкм), сенсибилизованных красителями I ($n = 2$, $B^1 = B^2 = \text{H}$, $R^1 = R^2 = \text{C}_2\text{H}_5$). 1, 2: $A = 0,11-(\text{CH}_3)_2$; 3, 4: $A = 9,11-\text{CH}_2\text{CH}(\text{CONH}_2)\text{CH}_2$. 1, 3 — краситель + Акт-3. Концентрация красителей $12 \cdot 10^{-4}$ моль/моль AgBr

ми сульфогруппы. Причем эти сульфокислоты играют роль своеобразных «цепментирующих или склеивающих» веществ, возможно отделяющих сенсибилизатор от поверхности AgHal^4 , в результате чего уменьшается вероятность рекомбинации фотоэлектрона с дыркой красителя.

В связи с тем, что одни и те же соединения оказывают и активирующую, и депрессирующую влияние на спектральную сенсибилизацию полиметиновыми красителями, часто обладающими очень близкими значениями pK_a , $E_{1/2}^{\text{Ox}}(\text{Red})$, но отличающимися гидрофобно-гидрофильным балансом или пространственной конфигурацией молекулы, можно предположить, что эти эффекты обусловлены однотипными процессами.

Изменение величины Φ_{r} M-состояния различных красителей в присутствии в адсорбционном слое соединений V—IX при постоянном положении максимума M-полосы свидетельствует об изменении ориентации молекул ПМК на по-

* Возможность проявления сенсибилизирующего действия красителем, не адсорбированным непосредственно на поверхности микрокристаллов, однозначно не доказана [9, 10].

верхности. Косвенным, но, с нашей точки зрения, убедительным доказательством этого предположения служит почти одинаковое увеличение значений Φ_{r} M-состояния ПМК, наблюдаемое при введении активаторов или при уменьшении концентрации Br-ионов в системе [16, 50].

Возможно, что роль активаторов заключается и в вытеснении с поверхности эмульсионных микрокристаллов ионов брома (или каких-то соединений), снижающих эффективность процесса спектральной сенсибилизации, так как при увеличении pBr системы, как уже отмечалось, активация уменьшается, а в ряде случаев и не наблюдается [16].

Основное содержание работ другого направления в исследовании спектральной сенсибилизации заключается в выявлении количественных зависимостей фотографического действия ПМК от величин окислительно-восстановительных потенциалов и в изучении механизмов спектральной и химической сенсибилизации, суперсенсибилизации и десенсибилизации.

За последние 10—15 лет опубликовано большое число статей [29—35, 45, 69—77], в которых описаны свойства красителей самого разнообразного строения, существенно различающихся значениями $E_{1/2}^{\text{Red}}$ (от $-0,54$ до $-1,60$) и $E_{1/2}^{\text{Ox}}$ (от $0,21$ до $1,63$), в частности тиа- и хино-2-цианинов с различной длиной цепи, эффективных ортохроматических сенсибилизаторов — имидакарбоцианинов с $E_{1/2}^{\text{Red}} = -1,4$ В и $\Phi_{\text{r}}^{420} = 0,99$ — и типичных десенсибилизаторов $-5,5'$ и $6,6'$ -динитро-ТКЦ, индолоцианинов и феносафранина с $E_{1/2}^{\text{Red}} < | -0,8 |$ В (см. *).

В общем виде зависимость фотографического действия полиметиновых красителей от величин $E_{1/2}^{\text{Red(Ox)}}$ определяют так называемые «пороговые» значения потенциалов: $E_{1/2}^{\text{Ox}} = 0,35 \div 0,5$ В и $E_{1/2}^{\text{Red}} = -1,05$ В. Эффективная спектральная сенсибилизация характерна для красителей с $E_{1/2}^{\text{Red}} > | -1,05 |$ В (см. *) и $E_{1/2}^{\text{Ox}} > 0,5$ В; при $E_{1/2}^{\text{Red}} < | -0,72 |$ В она проявляется в очень слабой степени или вообще отсутствует. Максимальная способность к химической сенсибилизации наблюдается у ПМК с $E_{1/2}^{\text{Red}} > | -0,72 |$ В при $E_{1/2}^{\text{Ox}} < 0,35$ [32], $< 0,5$ [33] и даже $< 1,0$ В [34]. Десенсибилизирующее действие присущее красителям с $E_{1/2}^{\text{Red}} < | -0,95 |$ В и $E_{1/2}^{\text{Ox}} < 0,35$ В. Склонность к вулеобразованию проявляется у тиатри-, тетра- и пентакарбоцианинов с $E_{1/2}^{\text{Ox}} \leq 0,3$ В при $E_{1/2}^{\text{Red}} < | -0,72 |$ В.

Наряду с этим ряд авторов пытается выявить количественные корреляции между значениями $E_{1/2}^{\text{Ox(Red)}}$ полиметиновых красителей и величинами, характеризующими их фотографическое действие, используя различные критерии для его определения.

Способность к химической сенсибилизации и десенсибилизации определяется (для оптимальных концентраций) величинами

$$P_m = 100 \lg E_{0,3 \text{ несен}} / E_{0,3 \text{ сен}} \quad [31, 34]; \quad S = S_{\text{сен}}^{420} / S_{\text{несен}}^{420} \quad [35].$$

Для характеристики сенсибилизирующего действия в различных работах использовались следующие величины:

1) дополнительная светочувствительность сенсибилизованных слоев за счет фильтром — $S_{0,85}^{\text{жк-18}}$ [18, 19, 38, 78];

2) светочувствительность в максимуме полосы сенсибилизации — S_{\max} [35];

3) относительная квантовая чувствительность — S_A / A_λ [24, 30];

4) относительный квантовый выход сенсибилизации M-, H- и J-состояний — $\Phi_{\text{r}}^{420} = A_{420} \cdot 420 S_\lambda / \lambda A_\lambda S_{420}$ [9, 10, 19, 20, 78]; RQF по [32];

5) максимальная спектральная чувствительность $J_m = 100 [1 - \lg E_{0,3}]$ (минус синий) + C (см. ?).

* Обозначения «больше (>)» или «меньше (<)» относятся к абсолютной величине $E_{1/2}^{\text{Red}}$, как это принято в работах [31, 34].

Отмечается [32], что при $E_{1/2}^{\text{Red}} > | -1,05 |$ В и $E_{1/2}^{\text{Ox}} > 0,35$ В абсолютные значения $E_{1/2}^{\text{Ox}}$ несущественны для спектральной сенсибилизации.

С и C' — произвольные константы. (Для всех красителей, в том числе VI и VII с $J_m = 147$ и 9, $P_m = 176$ и 50, в эмульсии с $d = 0,05$ мкм в работе [31] значение C' принято равным 200, что, естественно, нивелирует величины $S_m = 171$ и 159 и представляется неоправданым.)

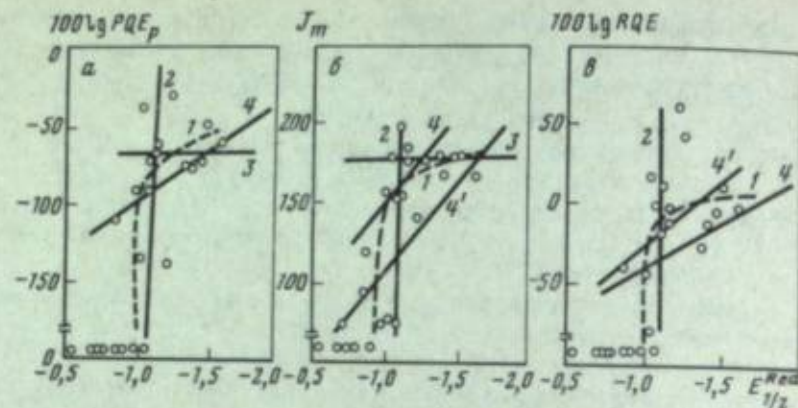


Рис. 7. Зависимость фотографической квантовой эффективности (а), максимальной спектральной сенсибилизации (б) и относительной квантовой эффективности (в) красителей от величины их потенциала восстановления

6) относительная спектральная чувствительность $S_m = J_m - P_m + C$ [31—34]⁷;

7) фотографическая квантовая чувствительность $PQE = (1/A_\lambda)E_{d\lambda}/\lambda$ [32—34].

Опубликованные данные позволяют сделать заключение о том, что во многих случаях зависимости суммарного эффекта спектральной сенсибилизации, определяемого по различным критериям, от величины $E^{\text{Red}}_{1/2}$ не однозначны и не имеют столь общего характера, как это отмечается в ряде работ. Например, расположение точек на рис. 6—8 в работе [32] позволяет, по нашему мнению, представить зависимости $PQE (J_m, RQE) = f(E^{\text{Red}}_{1/2})$ иначе, чем у автора (рис. 7, кривая 1 [32]). Кривые на рис. 7 соответствуют: 2 — «пороговой вертикали», [73], 3 — «горизонтали» для мероцианинов [75], 4 — повышению эффективности ПМК при увеличении $E^{\text{Red}}_{1/2}$ от $-1,0$ до $-1,6$ В, что совпадает с выводом Харитоновой [30], сделанным для инфрасенсибилизаторов [$E^{\text{Red}}_{1/2} = -(0,7 \div 1,18)$ В], но противоречит данным для ИКЦ II о росте ϕ_r^{420} М-состояния при уменьшении $E^{\text{Red}}_{1/2}$ от $-1,80$ до $-1,3$ В [35].

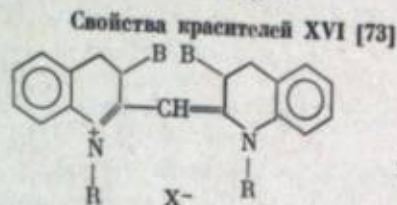
При анализе результатов работ [29—35, 69—78] следует иметь в виду следующее.

1. Изучаемые системы во многих случаях не соответствуют друг другу и реальным условиям применения сенсибилизаторов, так как авторы исследовали красители в равных, а не в оптимальных концентрациях. Так, при изучении тиацианинов I ($A = B = H$, $R = C_2H_5$, $n = 1 \div 4$) в одних случаях [31, 32] их вводят в особомелкозернистую эмульсию в количестве $6 \cdot 10^{-4}$ моль/моль AgHal, т. е. почти оптимальном для красителей I ($n = 1$), в других же [30] — в количестве $0,6 \cdot 10^{-4}$ моль/моль AgHal, близком к оптимальному для три- и тетракарбоцианинов.

2. Анализ данных по зависимости потенциалов окисления и восстановления ПМК от их строения показал, что величины $E^{\text{Red(Ox)}}_{1/2}$ изменяются пропорционально электронному характеру заместителей, но не отражают влияния их положения в молекуле, а также на компактность, планарность и гидрофобно-гидрофильный баланс. Кроме того, значения $E^{\text{Red(Ox)}}_{1/2}$ полиметиновых красителей, безусловно, не связаны с другими свойствами, часто определяющими суммарный эффект спектральной сенсибилизации, — способностью к адсорбции и агрегации на поверхности микрокристаллов. Поэтому количественные корреляции между эффективностью сенсибилизаторов, в частности величинами ϕ_r и значениями $E^{\text{Red}}_{1/2}$ (даже при $E^{\text{Red}}_{1/2} > -1,05$ В), не могут иметь достаточно общий характер.

Это заключение подтверждается тем, что, во-первых, во всех группах ПМК выявлены многочисленные отклонения от зависимости $\phi_r (S_{\max}) = f(E^{\text{Red}}_{1/2})$, во-вторых, изменение эмульсионных факторов часто оказывает различное

Таблица 10



R	B	$E^{\text{Ox}}_{1/2}, \text{B}$	$E^{\text{Red}}_{1/2}, \text{B}$	pK_a [75]	ϕ_r^{420}
CH ₃	H	+1,08	-1,04	—	0,21
C ₂ H ₅	H	+0,99	-1,03	1,50	0,03—0,05
C ₂ H ₅	CH ₃	+1,00	-1,00	2,87	0,005

Таблица 11

Свойства красителей I ($n = 1$; $B^1 = B^2 = CH_3O$)

Условный номер красителя	R^1, R^2	A	pK_a	$E^{\text{Ox}}_{1/2}, \text{B}$	$E^{\text{Red}}_{1/2}, \text{B}$	$S_{\text{IRC-18}}$ 0,85	ϕ_r^{420} для состояния			λ_{\max} J -состо- яния, нм
							H ₂	M	J	
1	C ₂ H ₅	H	-0,52	0,71	-1,42	40	0,29	0,38	—	650
2	C ₂ H ₅	C ₂ H ₅	0,96	0,73	-1,21 -1,50	100	0,30	0,35	0,80	650
3	C ₂ H ₅	n-C ₃ H ₇	0,87	0,75	-1,20 -1,50	40	0,32	0,32	0,20	630
4	n-C ₃ H ₇	C ₂ H ₅	0,87	0,74	-1,18 -1,48	30	0,45	0,20	0,19	625
5	(CH ₃) ₂ SO ₃ ⁻	C ₂ H ₅	0,88	0,72	-1,28 -1,49	140	0,57	0,67	0,79	650
6	n-C ₄ H ₉	C ₂ H ₅	0,74	—	—	25	0,20	0,17	0,21	625
7	(CH ₃) ₂ SO ₃ ⁻	C ₂ H ₅	1,08	—	—	120	0,68	0,67	0,98	650

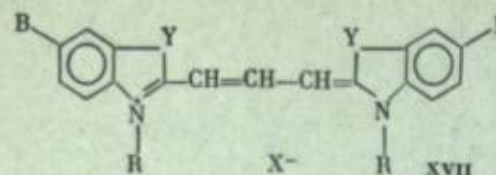
влияние на фотографическую активность ПМК с равными или очень близкими значениями pK_a , $E^{\text{Red}}_{1/2}$, $E^{\text{Ox}}_{1/2}$.

Ниже приведены некоторые наиболее характерные, с нашей точки зрения, примеры для ПМК различного строения.

Монометинианы. Еще в 1937—1941 гг. [9] было выявлено, что введение CH_3 -групп в положения 3 или 3,3'-хино-2-цианинов лишает краситель способности к спектральной сенсибилизации благодаря нарушению плоскости молекулы. Как видно из табл. 10, величины $E^{\text{Red}}_{1/2}$ и $E^{\text{Ox}}_{1/2}$ при этом не изменяются, а $\phi_r^{420} = 0,05$ и $<0,005$ [73]. Кроме того, для N,N'-диметил- и N,N'-диэтилхино-2-цианинов в противоположность ранее отмеченной меньшей эффективности первого красителя [74] приведены значения $\phi_r^{420} = 0,21$ и 0,05 соответственно [73]⁸.

Карбо-, ди- и трикарбоцианины. В ряду 5,5'-диметокси(диметил)-9-этилтикарбоцианинов с различными заместителями при атомах азота с близкими величинами pK_a и почти равными $E^{\text{Red(Ox)}}_{1/2}$ наблюдается существенно разная фотохимическая активность M-, J- и H-состояний, что обусловлено гидрофобно-гид-

⁸ Величины ϕ_r^{420} найдены графически (см. рис. 19 в работе [73]).



рофильным балансом алкильных и сульфоалкильных групп при атомах азота⁹ (табл. 11).

Исходя из близких величин $E_{1/2}^{\text{Red}}$ индо-, тиа- и хино-2-карбоцианинов (XVII: B = H) ($-1,08$; $-1,00$; $-1,11$

соответственно [81]) и зависимости $\varphi_r = f(E_{1/2}^{\text{Red}})$, следовало ожидать, что введение заместителей в *n,n'*-положения к циклическим атомам азота будет оказывать однотипное влияние на эффективность ПМК.

Однако ранее была установлена совершенно иная закономерность, обусловленная существенным различием их основности (B = H; $pK_a = -1,45$; $-0,62$; $+1,40$) [82]. Так, из табл. 12 видно, что введение метоксигрупп в *n,n'*-положения красителя XVII, вызывающее увеличение pK_a^{10} ($\Delta pK_a = 0,24$; $0,36$; $0,87$) и $E_{1/2}^{\text{Red},10}$ ($\Delta E_{1/2}^{\text{Red}} = 0,14$; $0,12$; $0,07$), приводит к повышению сенсибилизирующего действия индо- и тиакарбоцианинов, а в случае хино-2-производных — к его понижению [19]. Введение же электроакцепторных заместителей оказывает противоположное влияние, особенно четко проявляющееся в ряду высокоос-

Таблица 12

Свойства красителей XVII

B	Y	R	$E_{1/2}^{\text{Ox}}$, В	$E_{1/2}^{\text{Red}}$, В	pK_a	S_{\max}
H	C(CH ₃) ₂	CH ₃	0,90	-1,08	-1,45	1
	S	C ₂ H ₅	0,82	-1,00	-0,62	1
	-CH=CH-	C ₂ H ₅	0,50	-1,11	1,40	1
	C(CH ₃) ₂	CH ₃	0,84	-1,22	-1,21	4
	S	C ₂ H ₅	0,71	-1,12	-0,26	1,2
	-CH=CH-	C ₂ H ₅	0,62	-1,18	2,27	0,4

новых ИКЦ [19, 38]. Это соотношение эффективности ПМК XVII (B = H) и соответствующих *n,n'*-дизамещенных наблюдается в эмульсиях с различным размером зерен ($d = 1,1 \pm 0,05$ мкм).

В ряду 5,5'-дизамещенных ИКЦ II (ИКЦ III) (B = H \rightarrow SO₂CF₃) зависимость фотографического действия (φ_r^{420} M- и J-состояний или $S_{0,85}^{\text{IKC-18}}$, S_{\max} фотослоев) от их основности [$pK_a = 5,45$ (4,45) \rightarrow 2,44 (1,00)] и электрохимических потенциалов [$E_{1/2}^{\text{Red}} = 1,80$ ($-1,74$) \rightarrow 1,34 ($-1,31$), $E_{1/2}^{\text{Ox}} = 0,51$ (0,64) \rightarrow 0,81 (0,85)] [35] имеет однотипный характер. Однако выясниено, что отклонение фенильных групп в 1,1'-положениях от плоскости бензимидазольных ядер не влияет на значения $E_{1/2}^{\text{Red}}$ и $E_{1/2}^{\text{Ox}}$ [35], но обуславливает существенное различие свойств ИКЦ II и ИКЦ III по окраске, величинам pK_a и φ_r^{420} , а также по способности к агрегации [80]. Не менее важно и то, что в крупнозернистых эмульсиях ИКЦ III в противоположность ИКЦ II проявляют десенсибилизирующее действие ($S < 100$) [80]. В особомелкозернистых эмульсиях у ИКЦ II и ИКЦ III наблюдалась значительная склонность к химической сенсибилизации ($S > 100$), которая уменьшалась при увеличении $E_{1/2}^{\text{Ox}}$ (понижении основности), и только у красителей с $E_{1/2}^{\text{Ox}} > 0,70$ В обнаружилось слабое десенсибилизирующее действие [35].

⁹ «Вклад» J-состояния ($\lambda_{\max} = 650$ нм) в суммарный эффект спектральной сенсибилизации четко выявляется при сравнении φ_r^{420} M- и H-состояний 3,3'-диэтил-5,5'-диметокси-9-H,-9-C₂H₅- и -9-n-C₃H₇-TKЦ (№ 1—3 в табл. 11) и величин $S_{0,84}^{\text{IKC-18}}$ соответствующих фотослоев.

¹⁰ В ряду *n,n'*-дизамещенных карбоцианинов значения pK_a [79, 82] и $E_{1/2}^{\text{Red(Ox)}}$ [35, 81] изменяются строго пропорционально величинам σ_n -констант Гамметта заместителей.

Таблица 13
Окислительно-восстановительные свойства и сенсибилизирующее действие тиацианинов I в крупнозернистых AgBr(J)-эмulsionах

Условный номер красителя	Красители I			$E_{1/2}^{\text{Red}}$, В	$E_{1/2}^{\text{Ox}}$, В	$S_{0,85}^{\text{IKC-14}}$ при рBr
	n	A	R ¹ , R ²			
1	2	H	C ₂ H ₅	-0,87	+0,53	120
2	2	10-CH ₃	C ₂ H ₅	-0,91	+0,58	100
3	2	10-CH ₃	(CH ₃) ₂ SO ₃ ⁻	-1,02	+0,50	35
4	2	9,11-(CH ₃) ₂	C ₂ H ₅	-1,22	+0,56	55
		CONH ₂				
5	2	9,11-CH ₂ CHCH ₂	C ₂ H ₅	-1,10	+0,58	220
6	2	10-C ₆ H ₅	C ₂ H ₅	-0,89	+0,63	58
7	2	9-C ₆ H ₅	C ₂ H ₅	-0,90	+0,56	25
8	3	H	C ₂ H ₅	-0,74	+0,32	35
9	3	11-CH ₃	C ₂ H ₅	-0,80	+0,29	12
10	3	11-OCH ₃	C ₂ H ₅	-0,83	+0,31	80
11	3	11-OC ₆ H ₇ -(i)	C ₂ H ₅	-0,85	+0,30	70
12	3	10,12-(CH ₃) ₂	C ₂ H ₅	-0,79	+0,29	50
13	3	9,11-(CH ₂) ₄	C ₂ H ₅	—	—	22
						50

Таким образом, величина $E_{1/2}^{\text{Ox}}$, характеризующая способность полиметиновых красителей к химической сенсибилизации и десенсибилизации, в разных системах соответствует не только 0,35—0,5 В [30, 31], но и 0,70 [35] и 1,0 В [34], поэтому неправомерно использовать интервал значений $E_{1/2}^{\text{Ox}} = 0,35 \pm 1,00$ В в качестве «порогового».

Из табл. 13 видно, что в случае тиадикарбоцианинов с очень близкими значениями $E_{1/2}^{\text{Ox}}$ при изменении $E_{1/2}^{\text{Red}}$ от $-0,87$ до $-1,22$ В наблюдается понижение эффективности (№ 1—4). Рост эффективности имеет место и при уменьшении $E_{1/2}^{\text{Red}}$ от $-1,22$ до $-1,10$ | В (№ 4 и 5).

В ряду тиатрикарбоцианинов увеличение $E_{1/2}^{\text{Red}}$ от $-0,74$ | до $-0,85$ | В приводит сначала к снижению сенсибилизирующего действия, а затем к его повышению (№ 8—11). Как правило, эти эффекты проявляются более четко в эмульсиях с относительно низким значением рBr. Аналогично отмеченному выше красители с очень близкими окислительно-восстановительными потенциалами (№ 9 и 10) обуславливают различный уровень $S_{0,85}^{\text{IKC-14}}$ фотослоев.

Мероцианины. Ранее отмечалось, что в противоположность карбоцианинам введение заместителей в гетеростатки тиа- и имидадиметимероцианинов производных роданина и тиоафтенона-3 не оказывает существенного влияния на их фотографические свойства [79]. Показано, что в ряду имидадиметимероцианинов с остатком 3-этилтиазолидинон-2-она-4 повышение эффективности в крупнозернистых эмульсиях на 30—50% при введении электроакцепторных группировок ($\sigma_n = 0,06 \pm 0,96$) можно связать лишь с уменьшением склонности этих красителей к H-агрегации [83].

Для нескольких окса- и тиадиметимероцианинов производных роданина и тиогидантиона с $E_{1/2}^{\text{Red}}$ от $-1,16$ до $-1,80$ В опубликованные в работе [32] значения φ_r (0,74; 0,53; 1,00 и 0,96) в особомелкозернистых эмульсиях не позволяют установить определенную зависимость между этими величинами. Вместе с тем оксадиметимероцианин с остатком 3-этил-2-(бензтиазолил-2'-имино)-тиазолидинона-4 ($E_{1/2}^{\text{Ox}} = +0,45$ В; $E_{1/2}^{\text{Red}} = -1,49$ В) отмечается как самый эффективный ортохроматический сенсибилизатор особомелкозернистых эмульсий ($S = 145$) по сравнению с панхроматическим 3,3',9-триэтил-5,5'-дихлортиакарбоцианинбромидом ($E_{1/2}^{\text{Ox}} = 0,87$ В; $E_{1/2}^{\text{Red}} = -1,06$ В; $S = 122$) [29].

Таблица 14

Окислительно-восстановительные свойства и сенсибилизирующее действие мероцианинцианина XV в особомелкозернистой AgBr(J)-эмulsionии с различным размером микрокристаллов

Условный номер красителя	Красители XV (B = С6Н5)						$E_{1/2}^{\text{Red}}$, B	$E_{1/2}^{\text{Ox}}$, B	$S_{\lambda \max} \cdot 10^{-4}$ при \bar{d} (мкм), разных	
	z	A	n	B ¹	B ²	R ² , R ³			0,03 *	0,05 **
1	4,5-Дифенил- тиазол	—	0	C ₆ H ₅	C ₆ H ₅	C ₆ H ₅	-1,32	+0,59	3,8	25
2	4-Фенилтиазол	—	0	H	C ₆ H ₅ (CH ₂) ₃ SO ₃ ⁻	-1,25	+0,47	4,9	18	
3	4-Фенил-5-ме- тилтиазол	—	0	H	C ₆ H ₅ (CH ₂) ₃ SO ₃ ⁻	-1,31	+0,44	4,5	19	
4	5-Метоксибен- тиазол	OC ₆ H ₅	1	C ₆ H ₅	C ₆ H ₅	C ₆ H ₅	-1,01	+0,44	1,3	23
5	Хинолин-4	—	0	C ₆ H ₅	C ₆ H ₅	C ₆ H ₅	-1,03	+0,45	0,8	13
6	Хинолин-4	—	0	H	C ₆ H ₅	(CH ₂) ₃ SO ₃ ⁻	-1,11	+0,41	0,9	15

* Примитивная особомелкозернистая эмульсия.

** Особомелкозернистая эмульсия с восстановительной сенсибилизацией.

Однако показано, что, как правило, мероцианины — производные 2-алкил-(арил, гетарил)иминотиазолидиона-4, в том числе и указанный выше краситель, в крупнозернистых эмульсиях проявляют крайне слабое сенсибилизирующее действие, что обусловлено их незначительной адсорбцией на микрокристаллах [84].

Мероцианинцианины XV с равными или близкими значениями потенциалов восстановления ($\Delta E_{1/2}^{\text{Red}} = -0,06$ В и $+0,10$ В) исследованы в различных эмульсиях (табл. 14). В примитивной особомелкозернистой эмульсии N,N'-ди- γ -сульфоалкилпроизводные обуславливают большую величину S_{\max} фотослоев, чем красители с алкильными группами (ср. № 1–3), либо равную ей (№ 5, 6). В особомелкозернистых эмульсиях с восстановительной сенсибилизацией и в крупнозернистых эмульсиях более эффективны полиметиновые красители с алкильными группами при циклических атомах азота.

Таким образом, и в этом ряду красителей, адсорбирующихся на микрокристаллах преимущественно в M-состоянии, суммарный эффект спектральной сенсибилизации не удается непосредственно связать с величинами $E_{1/2}^{\text{Red(Ox)}}$.

Выше неоднократно отмечалась [6, 8, 35, 77] специфичность изменения сенсибилизирующих свойств ПМК, в том числе с близкими значениями $E_{1/2}^{\text{Red(Ox)}}$ при варьировании эмульсионных факторов — величины рВг (см. табл. 1, 4) и типа эмульсии (см. табл. 14). Из большого числа опубликованных и полученных нами экспериментальных данных ниже приведены три примера, четко иллюстрирующих зависимость фотографического действия красителей от параметров эмульсии.

1. Показано [7], что в полидисперской эмульсии, в которой образуются глубокие ловушки фотоэлектронов, способность ряда ТКЦ, в том числе приведенных в табл. 11 [78], к десенсибилизации не обнаруживается. В монодисперской эмульсии (на октаэдрах) образуются мелкие электроноакцепторные центры и эти же красители ($E_{1/2}^{\text{Red}} > -1,1$ В и $E_{1/2}^{\text{Ox}} > 0,6$ В) десенсибилизируют, т. е. глубина ловушки недостаточна для удержания электрона. Следовательно, способность ПМК к десенсибилизации, т. е. рекомбинации электронов с дырками, захваченными красителями, определяется в данном случае не величинами $E_{1/2}^{\text{Ox(Res)}}$, но условиями их применения, в первую очередь характером центров [7].

2. Одни и те же красители с $E_{1/2}^{\text{Ox}} > 0,35$ В (например, оксадиметинмероцианин [31, 32]; $E_{1/2}^{\text{Ox}} = 0,40$ В; $E_{1/2}^{\text{Red}} = -1,60$ В) повышают собственную светочувствительность эмульсии с сернистозолотой сенсибилизацией ($P_m = 195$)

[31] и проявляют слабое десенсибилизирующее действие на эмульсии с восстановительной сенсибилизацией ($P_r = -11$) [32].

3. Высокоосновные хино-2-дикарбо- и тиатрикарбоцианины ($pK_a = +2,73, +1,61$ [75]; $E_{1/2}^{\text{Ox}} = 0,28$ и $0,26$ В; $E_{1/2}^{\text{Red}} = -0,98$ и $-0,72$ В [31]) обуславливают значительную плотность вуали фотослоев в средне- и крупнозернистых AgBr(J)-эмulsionиях ($d = 0,4 \div 1,0$ мкм) даже при концентрациях $(4 \div 12) \cdot 10^{-6}$ моль/моль AgHal [85] и не обнаруживают склонности к вуалеобразованию в мелко- и особомелкозернистых эмульсиях при концентрациях $(200 \div 400) \cdot 10^{-6}$ моль/моль AgHal.

Таким образом, указанные выше «пороговые» значения $E_{1/2}^{\text{Ox(Res)}}$ полиметиновых красителей для спектральной и химической сенсибилизации и десенсибилизации, по-видимому, определяют превалирующее свойство ПМК лишь в примитивных особомелкозернистых эмульсиях. Использование же значений потенциалов окисления и восстановления ПМК в качестве основных параметров, обуславливающих суммарный эффект спектральной сенсибилизации различных фотографических эмульсий, неправомерно, так как не обеспечивает необходимый объем информации о поведении красителей в этих системах.

Известно, что при адсорбции ПМК на эмульсионных микрокристаллах возможно образование л-комплексов с катионом Ag⁺ решетки или с AgHal (см. ссылки [36—39] в работе [11]), обусловленное как электростатическим, так и л-электронным взаимодействием, причем последнее может быть весьма значительным, так как связано с делокализацией л-электронов по сопряженной цепи красителей.

Пропорциональная зависимость скорости образования комплексов переноса заряда ИКЦ с веществами, проявляющими электроноакцепторные свойства (например, с *n*-бензохиноном), от величин их pK_a [86] косвенно подтверждает, что основность является одним из важнейших факторов, определяющих суммарный эффект спектральной сенсибилизации. Возможно, что определение значений pK_a большого числа сенсибилизаторов в адсорбированном состоянии на поверхности микрокристаллов позволит более четко выявить зависимость фотографического действия ПМК от их основности [77].

Анализ изложенного подтверждает заключение об очень сложной зависимости суммарного эффекта спектральной сенсибилизации от всех свойств ПМК, в том числе значений $E_{1/2}^{\text{Ox(Res)}}$, а также от эмульсионных условий, оказывающих значительное, в ряде случаев превалирующее, влияние на фотографическое действие красителей.

Поэтому, как неоднократно отмечалось ранее [11, 18, 19, 38, 78], только в группах ПМК, отличающихся одним элементом строения, удается выявить параметры, определяющие фотографическое действие: pK_a , $E_{1/2}^{\text{Red(Ox)}}$, гидрофобно-гидрофильный баланс, планарность молекулы, адсорбция и способность к агрегации на микрокристаллах, фотохимическая активность молекулярного и полимолекулярных Н- и J-состояний.

Вопрос о критерии оценки суммарного эффекта спектральной сенсибилизации также очень сложен. Представляется неоправданным применение всех относительных величин, включающих произвольные константы (см. выше, а также [31—34]).

При изучении эффективности спектральной сенсибилизации в прикладном аспекте, как правило, критериями являются общая и дополнительная (за светофильтрами $S_{0,85}^{KC-18}$ и $S_{0,85}^{KC-14}$) светочувствительность фотослоев, энергетическая светочувствительность при определенных длинах волн (S_{\max}), относительная квантовая чувствительность (S_{λ}/A_{λ}), а также относительные квантовые выходы сенсибилизации (Φ_r^{420}).

На большом экспериментальном материале установлено, что зависимость Φ_r^{420} от концентрации красителя в эмульсии также может служить весьма полезной характеристикой, так как максимальные значения Φ_r^{420} для многих красителей не совпадают с Φ_r^{420} при оптимальных концентрациях [20]. Если при увеличении концентрации красителей величина Φ_r^{420} систематически уменьшается (кривые I—3 на рис. 8), как это имеет место в случае ряда тиацианинов I

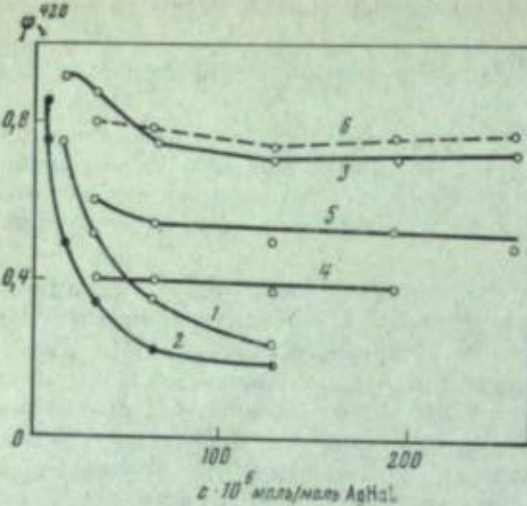


Рис. 8. Зависимость величины относительного квантового выхода сенсибилизации для M-состояния красителей от их концентрации в крупнозернистой эмульсии

1 — тиацианин I ($n = 1$, $R^1 = R^2 = C_6H_5$, $A = H$, $B^1 = B^2 = CH_3$), $c = 32 \cdot 10^{-6}$ моль/моль AgHal; 2 — мероцианиноцианин XV ($Z = 3$ -этил-6,7-тетраметилбензотиазол, $A = -C_6H_5$, $n = 0$, $R^1 = R^2 = C_6H_5$, $B = CH_3$, $B^1 = COOC_2H_5$), $c = 16 \cdot 10^{-6}$ моль/моль AgHal; 3 — тиацианин I ($n = 1$, $R^1 = R^2 = C_6H_5$, $A = CH_3$, $B^1 = B^2 = H$), $c = 128 \cdot 10^{-6}$ моль/моль AgHal; 4 — мероцианин IV ($Y = S$, $Z = 3$ -этилбензотиазол, $R^1 = R^2 = C_6H_5$), $c = 160 \cdot 10^{-6}$ моль/моль AgHal; 5, 6 (для J-состоиний) — ИИЦ II ($R^1 = R^2 = (CH_3)_2SO_4^-$, $B^1 = B^2 = COOC_2H_5$), $c = 160 \cdot 10^{-6}$ моль/моль AgHal

или мероцианиноцианинов XV, то их эффективность значительно возрастает при повышении рВг эмульсии или в присутствии активаторов определенного типа (см., например, табл. 4 и 13, а также работы [57, 58, 60]).

Если же величина Φ_r^{420} красителей почти не зависит от концентрации, например в случае мероцианинов (кривая 4 на рис. 8), а также многих N,N'-дисульфоалкилцианинбетанинов (кривые 5 и 6), то увеличение эффективности спектральной сенсибилизации указанными способами, как правило, не достигается.

Таким образом, характер зависимости $\Phi_r^{420} = f(c)$ свидетельствует о возможности повысить сенсибилизирующее действие красителей при варьировании эмульсионных факторов или активаторов.

ЛИТЕРАТУРА

- Климо Э. Ф., Колодкин Ф. Л., Либшиц Э. Б. Обзорная информация. Сер. Химико-фотограф. промст. М.: НИИХХИМ, 1979. 51 с.
- Günther E., Moisar E.—J. Photogr. Sci., 1965, vol. 13, p. 280—290.
- Borginon H., Danckaert V.—Photogr. Korr., 1962, Bd. 98, S. 84—89; Phillipaerts H., Vanassche W., Claes F. H.—J. Photogr. Sci., 1972, vol. 20, p. 215—223.
- Boyer S., Cappaerle J.—J. Chem. Phys., 1963, vol. 60, p. 1123—1130.
- Бреслав Ю. А., Кузнецова Л. Н., Уксусова В. А. и др.—Журн. науч. и прикл. фотографии и кинематографии, 1975, т. 20, с. 321—327.
- Натансон С. В., Кузнецова Л. Н.—Успехи науч. фотографии, 1976, т. 17, с. 61—69.
- Grishina L. N., Breslav Y. A., Natanson S. V.—In: Papers from the ICPS (Rochester, 1978). Rochester: Inst. of Technol., 1978, vol. IV-16, p. 175.
- Натансон С. В.—Успехи науч. фотографии, 1970, т. 15, с. 78—98.
- Миз К., Джеймс Г. Теория фотографического процесса/Пер. с англ.; Под ред. А. Л. Картузянского, В. Н. Синцова. Л.: Химия, 1973. 576 с.
- Джеймс Г. Теория фотографического процесса/Пер. с англ.; Под ред. А. Л. Картузянского. Л.: Химия, 1980. 672 с.
- Климо Э. Ф., Натансон С. В.—В кн.: Кинотехника. М.: НИКФИ, 1963, вып. 2, с. 40—55.
- Натансон С. В., Костица М. М.—Тр. НИКФИ, 1960, вып. 40, с. 50—55.
- Лифшиц Э. Б., Радовицкая Е. В., Вакар А. Г., Левкоев И. И.—Журн. науч. и прикл. фотографии и кинематографии, 1975, т. 20, с. 400—404.
- Лифшиц Э. Б., Натансон С. В., Климо Э. Ф. и др.—В кн.: Современное развитие метода выделения твердой фазы фотографической эмульсии. Ярославль: Верх.-Волж. изд-во, 1974, с. 160—177.
- Шагалова Д. Я. Исследование фотографических свойств и компонентустойчивости карбоцианиновых красителей производных бензимидазола: Автореф. дис. ... канд. техн. наук. М.: ГосНИИхимфотопроект, 1976. 24 с.
- Pat. 1402420 (England).
- Pat. 3706570 (US).
- Pat. 3788859 (US).
- Натансон С. В., Климо Э. Ф., Сергеева Э. Н.—В кн.: Проблемы голограммы. М.: МИРЭА, 1973, вып. 3, с. 105—108.
- Costa L., Grum F., Gilman P. P., jun.—Photogr. Sci. and Eng., 1974, vol. 18, p. 261—275.
- Харитонова А. И. Исследование факторов, определяющих свойства инфракрасмических мелкозернистых фотослоев, с целью разработки фотопластинок для оптоэлектроники: Автореф. дис. ... канд. техн. наук. М.: ГосНИИхимфотопроект, 1979. 20 с.
- Leubner I. H.—Photogr. Sci. and Eng., 1976, vol. 20, p. 61—68.
- Leubner I. H.—Photogr. Sci. and Eng., 1978, vol. 22, p. 270—280.
- Leubner I. H.—In: Papers from the ICPS (Rochester, 1978). Rochester: Inst. of Technol., 1978, vol. IV-8, p. 159—162.
- Leubner I. H.—Photogr. Sci. and Eng., 1980, vol. 24, p. 138—143.
- Шагалова Д. Я., Куркина Л. Г., Либшиц Э. Б.—Сб. науч. тр. Всесоюз. ин-та хим. фотогр. промст., 1980, вып. 30, с. 139—145.
- А. с. 457960 (СССР). Химический сенсибилизатор для галогенсеребряной желатиновой особомелкозернистой фотографической эмульсии/Кононенко И. И., Климо Э. Ф., Богомолов К. С. и др. Заявл. 10.07.73, № 1946378/23—4; Опубл. в Б. И., 1975, № 3; МКИ G 03c, 1/10.
- Каплун Л. Я., Шапиро Б. И., Богомолов К. С.—Журн. науч. и прикл. фотографии и кинематографии, 1980, т. 25, с. 142—143.
- Лифшиц Э. Б., Левкоев И. И., Якупольский Л. М., Барвиль Н. С.—Журн. науч. и прикл. фотографии и кинематографии, 1966, т. 11, с. 175—186.
- Лифшиц Э. Б., Лазарева Т. М.—Сб. науч. тр. Всесоюз. ин-та и проект. ин-та хим. фотогр. промст., 1968, вып. 1, с. 88—103.
- Лифшиц Э. Б., Лазарева Т. М.—Сб. науч. тр. Всесоюз. ин-та и проект. ин-та хим. фотогр. промст., 1968, вып. 1, с. 99—151.
- А. с. 104783 (СССР). Способ повышения светочувствительности кинофотоматериалов, сенсибилизованных родацианиновыми красителями/Натансон
- 24.05.72, № 1787940/23—4; Опубл. в Б. И., 1974, № 19; МКИ G 03c, 1/12.
- Климо Э. Ф., Каплун Л. Я., Сергеева Э. Н. и др.—Сб. науч. тр. Всесоюз. ин-та и проект. ин-та хим. фотогр. промст., 1980, вып. 30, с. 134—138.
- Jespur C. F. W., Williets F. W.—J. Photogr. Sci., 1975, vol. 23, N 5, p. 203—215.
- Кононенко И. И., Климо Э. Ф., Груз Э. А.—В кн.: III Всесоюз. конф. по голограммам (Ульяновск, 1978): Тез. докл. Л.: ЛИЯФ, 1978, с. 303—304.
- Климо Э. Ф., Кононенко И. И., Сергеева Э. Н. и др.—В кн.: Сб. науч. тр. «Фотографические материалы и химические вещества для их получения»/Под ред. Э. Б. Лифшиц, В. С. Чельцова. М.: ГосНИИхимфотопроект 1981, с. 56—61.
- Hister O.—Photogr. Sci. and Eng., 1969, vol. 13, p. 13—20.
- Gilman P. B., jun.—Photogr. Sci. and Eng., 1974, vol. 18, p. 418—430.
- Шапиро Б. И.—Журн. науч. и прикл. фотографии и кинематографии, 1980, т. 25, с. 64—75.
- Лифшиц Э. Б., Рыбникова Т. Д., Лазарева Т. М.—Журн. науч. и прикл. фотографии и кинематографии, 1963, т. 8, с. 381—384.
- Лифшиц Э. Б. Исследование сенсибилизирующих свойств родацианиновых красителей и влияния на них цветных недиффундирующих компонент: Автореф. ... канд. хим. наук. М.: НИКФИ, 1952. 40 с.; Лифшиц Э. Б., Натансон С. В., Левкоев И. И.—Журн. физ. химии, 1954, т. 28, с. 1572—1580; Натансон С. В., Лифшиц Э. Б., Левкоев И. И.—Журн. науч. и прикл. фотографии и кинематографии, 1956, т. 1, с. 174—182.
- Лифшиц Э. Б., Натансон С. В., Левкоев И. И.—Успехи науч. фотографии, 1962, т. 8, с. 44—55.
- Лифшиц Э. Б., Рыбникова Т. Д.—В кн.: Кинотехника. М.: НИКФИ, 1963, вып. 2, с. 75—104; Лифшиц Э. Б., Лазарева Т. М.—Журн. науч. и прикл. фотографии и кинематографии, 1964, т. 9, с. 266—276.
- Iablonka S., Markocci W.—In: Kurzreferate ICPS-1974. Dresden, 1974, Bd. 1, S. 61.
- Лифшиц Э. Б., Левкоев И. И., Народичская Д. Я.—Сб. науч. тр. Всесоюз. ин-та и проект. ин-та хим. фотогр. промст., 1968, вып. 1, с. 79—88.
- А. с. 794592 (СССР). Способ сенсибилизации галогенсеребряных фотографических эмульсий для цветных кинофотоматериалов/Лифшиц Э. Я., Шагалова Д. Я., Формина Л. В. и др. Заявл. 23.11.73, № 1971568/23—04; Опубл. в Б. И., 1981, № 1; МКИ G 03c, 1/00.
- Шагалова Д. Я., Лифшиц Э. Б.—Сб. науч. тр. Всесоюз. ин-та и проект. ин-та хим. фотогр. промст., 1979, вып. 28, с. 160—172.
- Левкоев И. И.—Успехи науч. фотографии, 1970, т. 15, с. 99—151.
- А. с. 429405 (СССР). Фотографический материал/Кононенко И. И., Богомолов К. С., Натансон С. В. и др. Заявл.

**ЛЮМИНЕСЦЕНТНЫЕ ИССЛЕДОВАНИЯ
ВЗАИМОДЕЙСТВИЯ СПЕКТРАЛЬНЫХ СЕНСИБИЛИЗАТОРОВ
С ПРИМЕСНЫМИ ЦЕНТРАМИ
ГАЛОГЕНСЕРЕБРЯНЫХ ФОТОГРАФИЧЕСКИХ ЭМУЛЬСИЙ**

- С. В., Либшиц Э. Б., Сытник З. П. и др. Заявл. 14.04.54, № 453757/1961; Опубл. в Б. И., 1970, № 26; МКИ 57в, 8/01; А. с. 104282 (СССР). Способ повышения светочувствительности кинофотоматериалов, сенсибилизованных дикарбонициами/Натасон С. В., Либшиц Э. Б., Покровская К. И. и др. Заявл. 14.04.54, № 453286/1960; Опубл. в Б. И., 1965, № 3; МКИ 57в, 8/01; А. с. 110135 (СССР). Способ повышения светочувствительности галоидсеребряных кинофотоматериалов, сенсибилизованных родацианиновыми красителями/Либшиц Э. Б., Натасон С. В., Покровская К. И. и др. Заявл. 15.08.56, № 556275; Опубл. в Б. И., 1958, № 3; МКИ 57в, 8/01.
- А. с. 319277 (СССР). Способ повышения светочувствительности панхроматических негативных кинофотоматериалов, сенсибилизованных 4,5,4'5'-дibenзотиакарбоцианинами/Либшиц Э. Б., Натасон С. В., Левкоев И. И. Заявл. 15.04.54, № 460039; Опубл. в Б. И., 1976, № 39; МКИ G 03c.
- Клишко Э. Ф., Сеникова Н. И.— Сб. науч. тр. Всесоюз. ин-та хим.-фотогр. пром-сти, 1979, вып. 28, с. 119—130.
- А. с. 154474 (СССР). Способ сенсибилизации галоидсеребряных фотографических эмульсий/Вомпе А. Ф., Курепина Г. Ф., Курекова Г. Ф., Левкоев И. И. и др. Заявл. 3.02.1962, № 763224/23—4; Опубл. в Б. И., 1963, № 9; МКИ G 03c.
- А. с. 164528 (СССР). Способ сенсибилизации галоидсеребряных эмульсий/Вомпе А. Ф., Курепина Г. Ф., Александров И. В. Заявл. 28.04.1963, № 833602; Опубл. в Б. И., 1964, № 15; МКИ G 03c.
- Pat. 569808 (Belg.).
- Pat. 4199360 (US).
- Клишко Э. Ф., Натасон С. В.— Сб. науч. тр. Всесоюз. ин-та хим.-фотогр. пром-сти, 1969, вып. 1, с. 104—121.
- Вомпе А. Ф., Курепина Г. Ф., Левкоев И. И.— Сб. науч. тр. Всесоюз. ин-та хим.-фотогр. пром-сти, 1979, вып. 28, с. 184—186.
- Pietzsch H., Kraatz P.— Wiss. Ztschr. Hochsch. Chem. (Jena-Merseburg), 1971, Bd. 13, S. 81—85.
- Горожанский Ю. Н., Грацианская З. И.— Журн. науч. и прикл. фотографии и кинематографии, 1957, т. 2, с. 42—50.
- Borginon H., Berendsen R.— J. Photogr. Sci., 1965, vol. 13, p. 165—169.
- Tani T.— Photogr. Sci. and Eng., 1969, vol. 13, p. 231—248; 1970, vol. 14, p. 237—250; J. Photogr. Sci., 1971, vol. 19, p. 161—166.
- Large R. F.— In: Photographic sensitivity (Cambridge, 1972); Proc. N. Y. Acad. press, 1973, p. 241—263.
- Vanasseche W.— J. Photogr. Sci., 1973, vol. 21, p. 180—192.
- Gilman P. B., jun.— Photogr. Sci. and Eng., 1974, vol. 18, p. 475—485.
- Penner J. L., Gilman P. B., jun.— Photogr. Sci. and Eng., 1975, vol. 19, p. 102—114.
- West W., Carroll B. H., Whitcomb D. H.— J. Phys. Chem., 1952, vol. 56, p. 1054—1067.
- Либшиц Э. Б., Спасокукоцкий Н. С., Коллова Е. С., Левкоев И. И.— Успехи науч. фотографии, 1976, т. 17, с. 99—102.
- Gärtler O., Konteczny B., Grossmann J. V., Bach G.— J. prakt. Chem., 1973, Bd. 315, S. 323—332.
- Левкоев И. И., Либшиц Э. Б., Натасон С. В.— In: Papers from the ICPS (Rochester, 1978). Rochester: Inst. of Technol., 1978, vol. IV, p. 147.
- Levkoev I. I., Lifschitz E. B., Natanson S. B.— In: Congr. et Colloq. L'Université Liège (Liège, 1962). Vol. 23 Scientific Photography. Oxford etc.: Pergamon press, 1962, p. 440—456; В кн.: Кинотехника. М.: НИКФИ, 1963, вып. 2, с. 5—22.
- Либшиц Э. Б., Ягупольский Л. М., Народицкая Д. Я. и др.— В кн.: Междунар. Конгр. по фотограф. науке (Москва, 1970): Докл. М.: Внешторгиздат, 1970, секция А, В, с. 254—257.
- Либшиц Э. Б., Шагалова Д. Я., Ягупольский Л. М. и др.— Журн. науч. и прикл. фотографии и кинематографии, 1979, т. 24, с. 140—142.
- Куркина Л. Г., Сеников Г. П., Либшиц Э. Б., Альперович М. А.— ОБ. Всесоюз. ин-та хим.-фотогр. пром-сти, 1979, вып. 28, с. 100—106.
- Либшиц Э. Б., Спасокукоцкий Н. С., Ягупольский Л. М. и др.— Журн. общ. химии, 1968, т. 38, с. 2025—2030.
- Кудрявская Н. В., Троцкая В. И.— В кн.: Сб. науч. тр. «Фотографические материалы и химические вещества для их получения»/Под ред. Э. Б. Либшиц, В. С. Чельцова, М.: Госхимиздат, 1981, с. 25—35.
- Герштейн Р. А., Либшиц Э. Б., Сытник З. П.— Сб. науч. тр. Всесоюз. ин-та хим.-фотогр. пром-сти, 1979, вып. 28, с. 5—13; 14—22.
- Покровская К. И., Левкоев И. И., Натасон С. В.— Журн. физ. химии, 1956, т. 30, с. 161—171.
- Nys J., Van den Neujel W.— Photogr. Korr., 1966, Bd. 102, S. 37—45.

Возникновение примесных центров в процессе синтеза галогенсеребряных фотографических эмульсий хорошо подтверждается многочисленными данными [1]. Хотя взаимосвязь химической и спектральной сенсибилизаций отмечалась во многих работах (например, [2, 3]), однако роль примесных центров в формировании спектральной чувствительности выяснена еще недостаточно. Сложность в решении указанной задачи определяется отсутствием надежных экспериментальных методов, позволяющих выделить из совокупности процессов, протекающих при образовании скрытого изображения, непосредственное взаимодействие красителей с примесными центрами различной природы.

Традиционным приемом повышения светочувствительности AgHal-эмulsionий, как известно, является сернистая сенсибилизация, начальная стадия которой связана с возникновением сернистосеребряных кластеров переменного состава [4]. В связи с этим практическое значение имеет изучение взаимодействия органических красителей с $(Ag_2S)_n$ -кластерами. Приводимые ниже данные позволяют расширить представления о возможных способах обмена энергией между спектральным сенсибилизатором и примесным центром.

В качестве объектов исследования были выбраны однородные AgBr-эмulsionии, синтезированные методом контролируемой двухструйной эмульсификации при $pAg = 8.6$. Эмульсии со средним размером кубических микрокристаллов $d = 0.21 \text{ мкм}$ подвергали сернистой сенсибилизации при 50°C в присутствии $1.8 \cdot 10^{-4} \text{ моль Na}_2\text{S}_2\text{O}_3/\text{моль AgBr}$ в течение 3,5 час. В случае микрокристаллов $d = 0.15 \text{ мкм}$ продолжительность созревания эмульсии при 47°C составляла 3 часа, а концентрация сенсибилизатора — $1.0 \cdot 10^{-3} \text{ моль Na}_2\text{S}_2\text{O}_3/\text{моль AgBr}$. Люминесцентные исследования проводили при 77 K по методике, описанной в работе [4]. Все опыты, относящиеся к измерению спектров возбуждения свечения, выполняли в условиях, при которых на образец попадало одинаковое число квантов различной частоты. Для установления спектрального распределения коэффициента отражения T и оптической плотности D фотозмульсионных слоев использовали спектрофотометр СФ-10.

В работах [4—7] показано, что сернистая сенсибилизация галогенсеребряных эмульсий сопровождается появлением низкотемпературной люминесценции в ближней ИК-области спектра. Ответственными за указанное свечение являются сернистосеребряные кластеры типа $(Ag_2S)_n$ или $(Ag_2S)_nAg_m$ [6—8], созданные в процессе химической сенсибилизации, причем спектральное положение полосы люминесценции зависит от величины n . Характерные спектры люминесценции

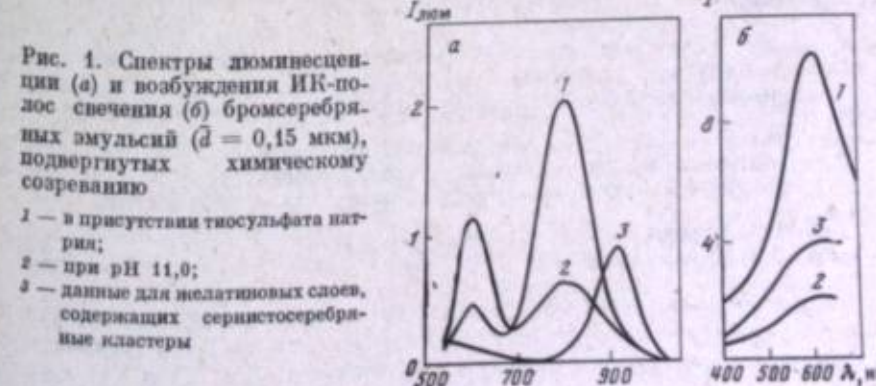


Рис. 1. Спектры люминесценции (а) и возбуждения ИК-полос свечения (б) бромсеребряных эмульсий ($d = 0.15 \text{ мкм}$), подвергнутых химическому созреванию:
 1 — в присутствии тиосульфата натрия;
 2 — при pH 11.0;
 3 — данные для незатиновых слоев, содержащих сернистосеребряные кластеры

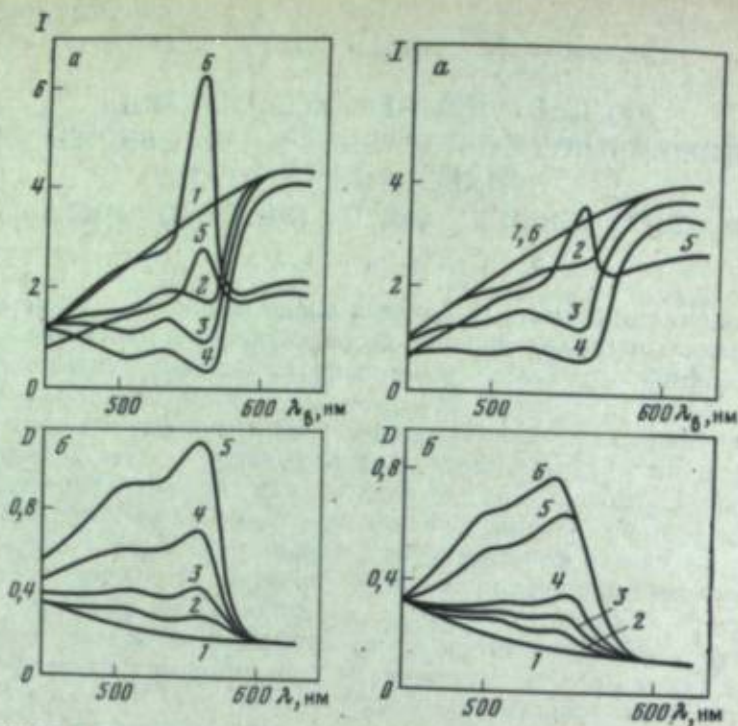


Рис. 2. Зависимость интенсивности ИК-люминесценции от длины волны падающего на образец света (а) и спектральное распределение оптической плотности (б) желатиновых слоев, содержащих сернистосеребряные кластеры и краситель VII
Концентрация красителя, 10^4 моль/л: 1 — 0; 2 — 0,25; 3 — 0,5; 4 — 1,0; 5 — 5,0; 6 — 10,0

Рис. 3. Зависимость интенсивности ИК-люминесценции от длины волны падающего на образец света (а) и спектральное распределение оптической плотности (б) желатиновых слоев, содержащих сернистосеребряные кластеры и краситель II (2—5); то же и краситель V (б)
Концентрация красителя, 10^4 моль/л: 1 — 0; 2 — 0,1; 3 — 0,25; 4 — 0,5; 5 и 6 — 1,0 (кривые 1 и 6 на рис. а, не могут быть показаны раздельно)

и возбуждения ИК-свечения сернистосенсилизированного AgBr -фотослоя приведены на рис. 1 (кривые I).

Помимо изучения свойств эмульсий, проведены также исследования сернистосеребряных кластеров, полученных в желатиновой среде по описанной ранее методике [7]. Их спектр люминесценции характеризуется интенсивным максимумом при $\lambda = 920$ нм (см. рис. 1, а, кривая 3). Поскольку положение максимума свечения (Ag_2S)_n-кластеров по оси длин волн зависит от n [7], то, как следует из данных, представленных на рис. 1, размер примесных образований, созданных в желатиновой среде, больше, чем у сернистосеребряных центров, возникших при сернистой сенсилизации AgBr -эмulsionей.

В качестве спектральных сенсилизаторов использованы имид-, оксакарбонил-, хино-(2)-цианины:

натриевая соль 3,3'-ди- γ -сульфоцапроил-1,1'-диэтил-5,5'-дикарбозтоксими-	I
диакарбонилибетамина	
1,1',3'-ди-триэтил-3- γ -сульфоцапроил-5,5'-дикарбозтоксимида карбоциани-	II
бетами	
1,1',3,3'-тетраэтил-5,5'-дикарбозтоксимида карбоцианиниодид	III
1,1',3,3'-тетраэтил-5,5',6,6'-тетрахлоримида карбоцианиниодид	IV
1,1',3,3'-тетраэтил-6,6'-бис(трифторметилсульфонил)имида карбоциани-	V
ниодид	
3,3',9-триэтил-5,5'-дифенилоксакарбоцианиниитрат	VI
1,1'-диэтил-2,2'-хиноцианиниодид	VII

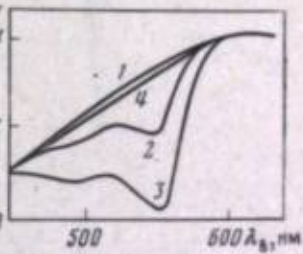
Красители отобраны таким образом, чтобы их поглощение приходилось на область от 500 до 600 нм, а свечение не накладывалось на ИК-люминесценцию (Ag_2S)_n-кластеров. Спектры поглощения красителей I—IV, VI и VII содержат полосы, характерные для молекулярного (M-полоса) и агрегированного (бо-

лее длинноволновая J-полоса) состояний. Исключение составляет краситель V, находящийся преимущественно в молекулярном состоянии.

На рис. 2, а и 3, а приведены зависимости интенсивности люминесценции I сернистосеребряных кластеров от длины волны возбуждающего света λ_{B} . Оказалось, что в случае малой концентрации красителей VII (рис. 2, а) и II (рис. 3, а) в желатиновой среде наблюдается уменьшение величины I , если для возбуждения использовать свет, поглощаемый M- и J-состояниями. Увеличение концентрации приводит к появлению типичной сенсилизированной красителем люминесценции кластеров [9].

Чтобы объяснить характер изменения вида кривых $I = f(\lambda_{\text{B}})$ для образцов с различной концентрацией, необходимо прежде всего иметь в виду, что в ис-

Рис. 4. Зависимость интенсивности ИК-люминесценции от длины волны падающего на образец света для желатиновых слоев, содержащих сернистосеребряные кластеры (1), сернистосеребряные кластеры и краситель II ($3 \cdot 10^{-4}$ моль/л) (2), сернистосеребряные кластеры после прохождения света через 2 разделенные (3) и совмещенные (4) желатиновые слоя 1 и 2
Концентрация красителя 10^{-4} моль/л (3,4). Кривые нормированы при $\lambda = 450$ нм.



следованной системе возможно поглощение света красителем, который не связан с примесными центрами. Оценка указанного фильтрового эффекта может быть осуществлена с помощью следующих экспериментов.

Как уже отмечалось выше, желатиновая среда, содержащая (Ag_2S)_n-кластеры и краситель, характеризуется при определенных значениях с снижением I . Однако если указанную систему составить из двух желатиновых слоев, один из которых (условно слой 1) содержит только краситель, а другой (условно слой 2) — только кластеры, то вид кривой $I = f(\lambda_{\text{B}})$ существенно зависит от взаимного расположения этих образцов. В частности, зависимость $I = f(\lambda_{\text{B}})$ для слоя 2, возбуждаемого светом, прошедшем через совмещенный с ним слой 1, практически не отличается от аналогичной зависимости для одного слоя 2 (рис. 4, кривые 1, 4). Поскольку люминесценция красителя приходится на область возбуждения свечения (Ag_2S)_n и характеризуется достаточно высоким квантовым выходом, то в данном случае имеет место эффективное возбуждение кластеров светом, излучаемым красителем. Именно по этой причине избирательное уменьшение I при использовании света, поглощаемого красителем, не наблюдается. Если же желатиновые слои расположить вдоль направления распространения света от источника на таком расстоянии, чтобы интенсивность излучения слоя 1 в месте нахождения слоя 2 была пренебрежимо малой, то зависимость $I = f(\lambda_{\text{B}})$ указает на существование фильтрового эффекта (см. рис. 4, кривая 3).

Значит, в исследованной нами гомогенной среде поглощаемый красителем свет трансформируется в люминесцентное излучение, которое достаточно эффективно возбуждает свечение примесных центров. Поэтому отмеченное выше уменьшение интенсивности люминесценции (Ag_2S)_n-кластеров при использовании для возбуждения света из области поглощения красителя, очевидно, связано с рассмотренным Фано эффектом антирезонанса [10].

В работе [11] Фано показал, что если возбужденные состояния атомов или молекул перекрываются с континуумом энергетических состояний другой подсистемы, то при наличии конфигурационного взаимодействия между уровнем и континуумом в спектре поглощения наблюдаются характерные провалы, получившие название антирезонанса (см. также работы [12—16]). В таком случае описанное выше уменьшение I можно определить как явление антисенсилизации, обусловленное антирезонансом возбужденных состояний красителя и кластера. Важно подчеркнуть, что указанная антисенсилизация совершенно не связана с диссипацией энергии, а определяется исключительно интерференцией возбужденных состояний. Этот вывод подтверждается также избирательностью в проявлении данного эффекта по отношению к строению красителя. Так, селективное снижение I не наблюдается для красителя V (см. рис. 3, а).

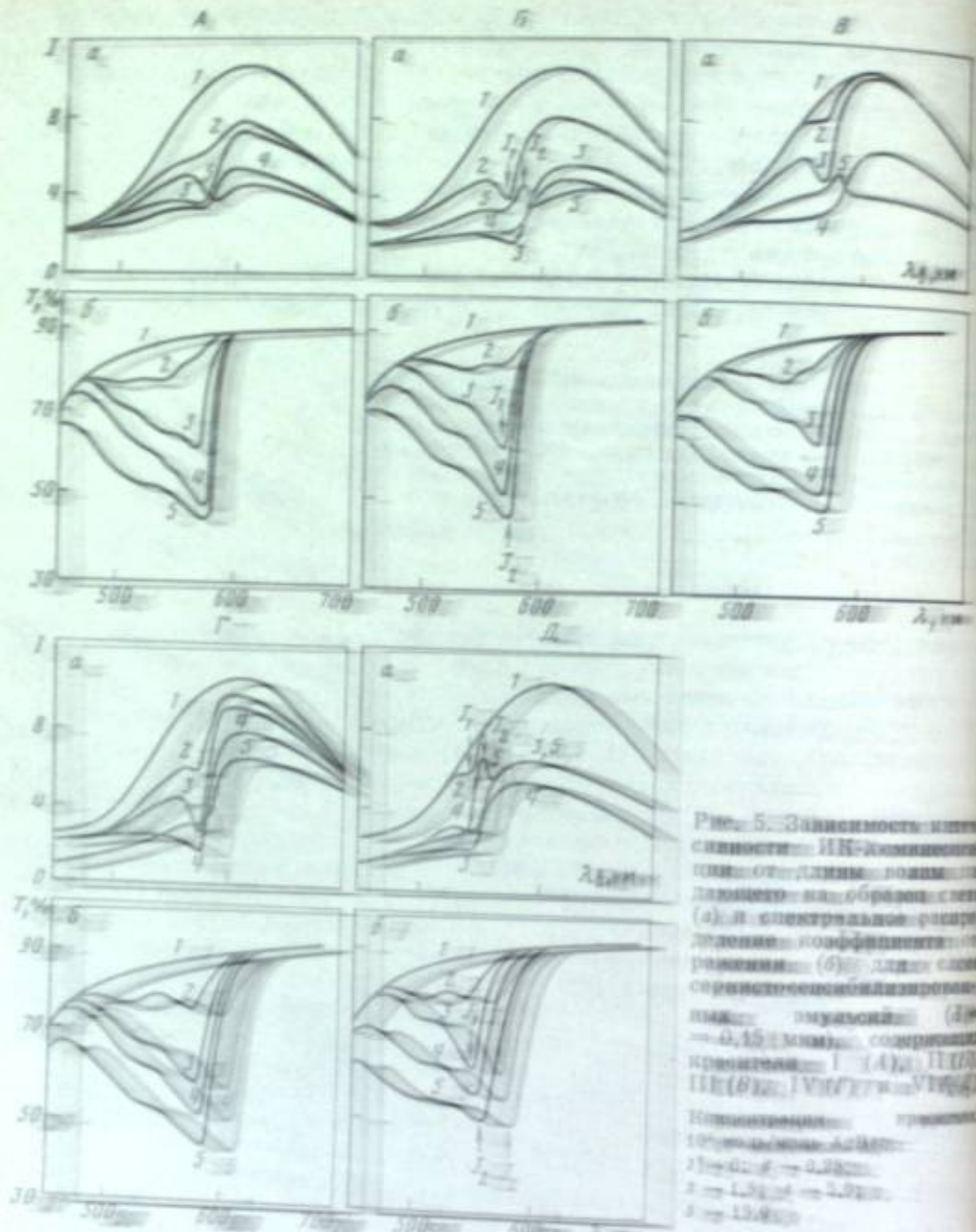


Рис. 5. Зависимость интенсивности ИК-люминесценции от длины волны падающего на образец света для бромсеребряной эмульсии ($d = 0,15$ мкм), химически сенсибилизированной при pH 11,0 и содержащей краситель II
Концентрация красителя, 10^4 моль/моль AgBr: 1 — 0; 2 — 0,25; 3 — 1,5; 4 — 5,0; 5 — 15,0

Необходимым условием для проявления антирезонанса является не только энергетическое соответствие возбужденных уровней красителя и $(Ag_2S)_n$ -кластера, но также и непосредственный контакт сенсибилизатора с примесным центром. Поэтому люминесцентный метод позволяет однозначно установить непосредственное взаимодействие красителей с продуктами химической сенсибилизации, причем, как показали дополнительные измерения, антисенсибилизация люминесценции не является специфической особенностью $(Ag_2S)_n$ -кластеров. Подтверждением этого служат приводимые ниже экспериментальные данные, относящиеся к Ag_2O -центрам.

Оксидосеребряные образования на поверхности AgBr-микрокристаллов ($d = 0,15$ мкм) были получены в результате химического созревания эмульсии при $47^\circ C$ и pH 11,0 (указанное значение pH создавали 1 M раствором KOH).

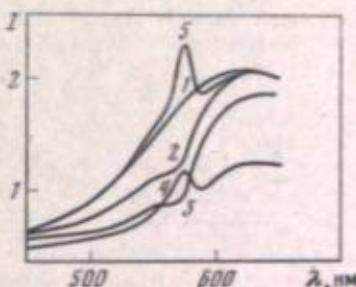


Рис. 6. Зависимость интенсивности ИК-люминесценции от длины волны падающего на образец света для бромсеребряной эмульсии ($d = 0,15$ мкм), химически сенсибилизированной при pH 11,0 и содержащей краситель II

Концентрация красителя, 10^4 моль/моль AgBr: 1 — 0; 2 — 0,25; 3 — 1,5; 4 — 5,0; 5 — 15,0

Созревание проводили в течение 1,5 час с применением инертной желатины, не содержащей сернистых соединений. Спектры люминесценции эмульсии, сенсибилизированной по описанному выше методу, характеризуются наличием полосы с $\lambda_{\max} = 800$ нм, обусловленной свечением $(Ag_2O)_n$ -кластера (см. рис. 1, а, кривая 2). Если в эмульсию дополнительно ввести краситель в различных количествах, то зависимости $I = f(\lambda_s)$ для этих кластеров имеют вид, аналогичный описанному ранее для $(Ag_2S)_n$ центров.

Анализ результатов, представленных на рис. 5, 6, указывает на то, что повышение концентрации красителя сопровождается снижением эффекта антисенсибилизации и увеличением интенсивности сенсибилизированной красителем люминесценции кластеров. Очевидно, при больших концентрациях красителя кластеры покрываются не мономолекулярными, а полимолекулярными слоями красителя, и поэтому появляется возможность передачи энергии к кластеру от возбужденного красителя из «наружных» слоев. Таким образом, в общем случае вид кривых $I = f(\lambda_s)$ обусловлен «наложением» эффектов антисенсибилизации и сенсибилизации, и если каким-то образом увеличить расстояние между кластером и красителем, то это должно привести к резкому уменьшению антисенсибилизации, хотя эффект сенсибилизации, связанный с переносом энергии между разделенными подсистемами, может и сохраняться (см., например, работы [17, 18]).

Неодинаковый характер взаимодействия красителя из «наружных» и «внутренних» слоев с кластером проявляется также в наблюдаемом иногда различном спектральном положении на кривых $I = f(\lambda_s)$ максимума при сенсибилизации и минимума при антисенсибилизации люминесценции. Из сопоставления представленных на рис. 5, Б и 5, Д зависимостей $I = f(\lambda_s)$ и $T = f(\lambda)$ следует, что в явлении антисенсибилизации участвуют J_1 -агрегаты, а в сенсибилизации — J_2 -агgregаты красителя (введены обозначения, предложенные в работе [19]). С учетом приведенных выше рассуждений можно заключить, что агрегированию спектральных сенсибилизаторов в виде J_2 -агрегатов способствует полислойная адсорбция красителей.

Введение красителей в систему, содержащую сернистосеребряные кластеры, сопровождается не только снижением интенсивности свечения кластеров при использовании для возбуждения света из области поглощения красителя, но и уменьшением величины I в том случае, если для возбуждения применяется излучение, длина волны которого больше, чем длина волны света, поглощаемого красителем. Важно отметить, что данное явление не связано с эффектом анти-

резонанса. Действительно, наблюдаемое с ростом концентрации красителя уменьшение вклада антирезонанса в зависимость $I = f(\lambda_{\text{в}})$ и появление сенсибилизированной люминесценции кластеров не только не устраниют указанное снижение I , но и, как правило, увеличивают его (см. рис. 2, 3, 5Б, 5В, 5Д). Очевидно, рассматриваемое явление связано с безызлучательным переносом энергии от возбужденного кластера на триплетные уровни красителя. Таким образом, при определенных (отмеченных выше) условиях возможен перенос энергии как с синглетных уровней красителя к кластеру, так и от возбужденного кластера на триплетные уровни красителя. Указанная ситуация реализуется благодаря тому, что примесный кластер имеет достаточно широкий

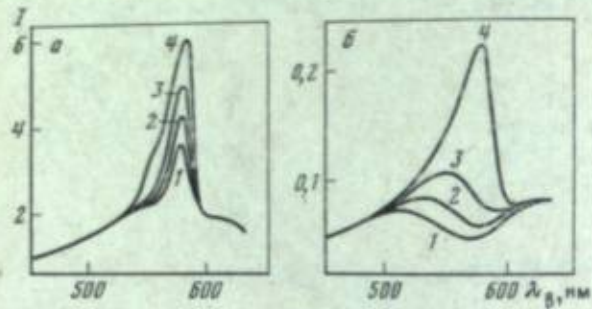


Рис. 7. Зависимость интенсивности ИК-люминесценции от длины волны падающего света для слоев сернистосенсибилизированных эмульсий ($d = 0,21$ мкм) до (а) и после (б) фиксирования раствора тиосульфата натрия

Концентрация красителя VII в слоях, 10^{-4} моль/моль AgBr: 1 — 1,0; 2 — 3,0; 3 — 6,0; 4 — 30,0. Кривые нормированы при $\lambda = 450$ нм

спектр возбужденных состояний. Значит, в рассмотренной системе в зависимости от частоты используемого для возбуждения люминесценции света кластер может выполнять функцию либо донора, либо акцептора энергии.

Известно, что если сернисто- или спектрально сенсибилизированные AgBr-фотослои подвергнуты фиксированию, то бромид серебра, который может быть одним из каналов обмена энергией электронного возбуждения между красителем и примесным центром, растворяется, а $(Ag_2S)_n$ -центры и краситель остаются в желатиновой пленке в исходном состоянии [20, 21].

На рис. 7 представлены зависимости $I = f(\lambda_{\text{в}})$ для фотоэмulsionционных слоев и после фиксирования. В полном соответствии с предлагаемым механизмом взаимодействия в системе краситель—кластер устранение указанного выше канала миграции энергии сопровождается уменьшением интенсивности сенсибилизированной люминесценции кластеров, и поэтому на кривых $I = f(\lambda_{\text{в}})$ в большей мере начинает проявляться наблюдаемый только для непосредственно контактирующих подсистем эффект антисенсибилизации. Поскольку растворение микрокристаллов ослабляет сенсибилизирующую действие красителя, то, очевидно, передача энергии в случае галогенсеребряных слоев обусловлена в основном переносом электронов и дырок через кристаллическую решетку AgBr, а роль обменно-резонансного или индуктивно-резонансного взаимодействия в процессах передачи энергии от красителя к адсорбированному на поверхности эмульсионного микрокристалла сернистосеребряному центру незначительна. Если же краситель и примесные кластеры распределены в гомогенной желатиновой среде, то появление сенсибилизированной люминесценции кластеров возможно только в результате резонансного взаимодействия.

Рассмотренный антiresонанс возбужденных состояний может служить эффективным методом исследования процессов спектральной сенсибилизации. Известно, что наиболее эффективными орто- и панхроматическими спектральными сенсибилизаторами являются J-агрегирующиеся цианины различного строения. В ряде работ [22, 23] установлено, что при увеличении концентрации этих красителей наблюдается падение собственной и дополнительной светочувствительности особенно существенное для сернистосенсибилизированных монодисперсных эмульсий [24, 25]. Отмеченное снижение светочувствительности связывают с миграцией дырок по J-агрегату адсорбированного красителя и последующим окислением этими дырками центров скрытого изображения. Рассматриваемая десенсибилизация может быть уменьшена либо введением органических соединений, и в частности адсорбией оксипроизводных тетразаинденов [23—26], либо разделением красителя и примесного центра кристал-

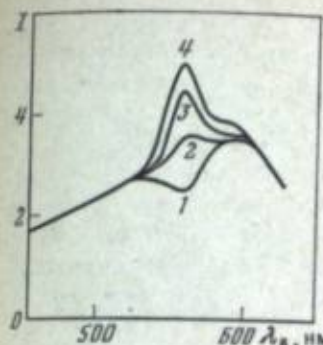


Рис. 8. Зависимость интенсивности ИК-люминесценции от длины волны падающего света для слоев сернистосенсибилизированных эмульсий ($d = 0,21$ мкм), содержащих краситель II (10^{-4} моль/моль AgBr) и ста-соли

Концентрация ста-соли, г/л: 1 — 0; 2 — 0,1; 3 — 0,3; 4 — 0,8. Кривые нормированы при $\lambda = 450$ нм

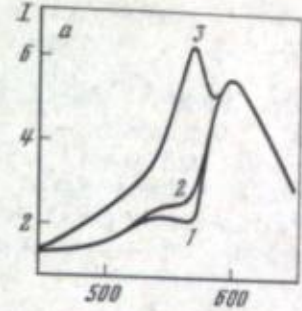


Рис. 9. Зависимость интенсивности ИК-люминесценции от длины волны падающего света для слоев сернистосенсибилизированных эмульсий, содержащих $6 \cdot 10^{-5}$ (а) и $3 \cdot 10^{-4}$ моль красителя II/моль AgBr (б)

Микрокристаллы ($d = 0,21$ мкм) покрыты дополнительными AgBr-оболочками следующей толщины (h , нм): 1 — 0 (без оболочки); 2 — 1,0; 3 — 2,0. Кривые нормированы при $\lambda = 450$ нм

лическими слоями галогенида серебра (эмulsion типа ядро — оболочка) [27]. В настоящее время не существует единой точки зрения на механизм повышения светочувствительности слоев указанными методами.

Выше было показано, что определенное пространственное разделение красителя и примесного кластера сопровождается снижением эффекта антисенсибилизации и возрастанием интенсивности сенсибилизированной люминесценции кластера. В связи с этим представляется возможным исследовать с помощью эффекта Фано влияние некоторых соединений на адсорбцию красителей в химически сенсибилизированных эмульсиях. На рис. 8 приведены зависимости $I = f(\lambda_{\text{в}})$ для химически и спектрально сенсибилизированных AgBr-эмulsionей, содержащих различные количества 5-метил-7-окси-1,3,4-триазаиндолицина (ста-соли). Из полученных результатов следует, что введение ста-соли ослабляет явление антисенсибилизации, а при концентрациях, превышающих 0,1 г/л, регистрируется только типичный случай сенсибилизированной люминесценции кластеров.

Аналогичное изменение спектров $I = f(\lambda_{\text{в}})$ можно наблюдать, если изолировать сернистосеребряные кластеры от красителя дополнительными наращенными слоями бромида серебра. Формирование указанных слоев толщиной h осуществляли введением в спектрально сенсибилизированную эмульсию растворов $AgNO_3$ и KBr по методике, изложенной в работе [28]. Величину h определяли расчетным путем в предположении, что отложение бромида серебра происходит только на поверхности предварительно сформированных микрокристаллов. Сделанное допущение об отсутствии других мест кристаллизации AgBr подтверждено электронно-микроскопическими наблюдениями. Из представленных на рис. 9 экспериментальных результатов следует, что уменьшение антисенсибилизации и соответствующее увеличение интенсивности сенсибилизированной люминесценции наблюдаются при разделении кластера и молекулы красителя уже несколькими слоями кристаллической решетки AgBr.

Из сопоставления приведенных данных можно заключить, что ста-соли обеспечивают пространственную изоляцию красителя от сернистосеребряного кластера. Этот результат хорошо согласуется с известным фактом преимущественной адсорбции ста-соли на сульфиде серебра по сравнению с галогенидом серебра [29] (именно с этим обычно связывается стабилизирующее действие ста-соли [30]). Сделанный вывод, очевидно, справедлив и по отношению к серебряным центрам светочувствительности, которые также эффективно адсорбируют ста-соль [26, 29].

ИССЛЕДОВАНИЕ ПРИРОДЫ СВЯЗИ МЕЖДУ СПЕКТРАЛЬНОЙ И ХИМИЧЕСКОЙ СЕНСИБИЛИЗАЦИЕЙ

Процесс спектральной сенсибилизации согласно любой современной теории осуществляется с участием локальных электронных уровней в запрещенной зоне фотопроводника [1, 2]. По механизму сенсибилизации переносом электрона от возбужденной молекулы в С-зону фотопроводника электрон с локального уровня используется для восстановления ион-радикала красителя, а по механизму передачи энергии от фотовоизбужденной молекулы красителя локальные уровни являются ее акцепторами, в результате чего осуществляется перевод электронов с них в С-зону фотопроводника.

Даже в рамках таких общих представлений очевидна кардинальная роль локальных центров в процессе спектральной сенсибилизации, а следовательно, имеется возможность управления ее эффективностью с помощью предварительной химической сенсибилизации, создающей необходимые локальные уровни в фотопроводнике.

Эти выводы подтверждены результатами многочисленных исследований по влиянию химических добавок на сенсибилизованный фотоэффект в различных неорганических и органических полупроводниках [2]. Фотопроводимость полупроводников в области поглощения красителя может быть существенно повышена с помощью добавок веществ, обладающих по отношению к субстрату электроноакцепторными свойствами, таких, как молекулы кислорода, галогенов, хинона, ангидридов, флуоренонов и др. [3—16]. Противоположное действие на эффективность сенсибилизированного фотоэффекта наблюдалось при адсорбции электронодонорных молекул, таких, как бензидин, фенотиазин [17].

Однако в вопросе о связи между спектральной и химической сенсибилизацией для фотографической чувствительности эмульсионных галогенсеребряных слоев подобная определенность в настоящее время отсутствует [1, 18]. В одних исследованиях получены экспериментальные данные о несомненной зависимости эффективности спектральной сенсибилизации в фотоматериалах от характера предварительной химической обработки микрокристаллов бромистого серебра, а в других работах эффективность спектральной сенсибилизации не менялась при введении химических добавок в эмульсию. Трудность разработки способов управления спектральной сенсибилизацией эмульсий с помощью химических добавок обусловлена, несомненно, сложностью строения фотографического слоя, определяющей многоступенчатость протекания процесса образования в нем скрытого фотографического изображения.

В решении данной проблемы важным этапом является изучение природы и свойств локальных центров фотопроводника, участвующих в акте сенсибилизированного фотоэффекта. Для этого нам представлялось целесообразным определить и сопоставить спектры локальных уровней в несенсибилизируемых и сенсибилизируемых красителями фотопроводниках. Выполнение такой программы связано с преодолением больших экспериментальных трудностей, так как измерения необходимо проводить на широкозонных полупроводниках, притом на образцах с сильно развитой поверхностью. К настоящему времени удалось разработать ряд методов, позволяющих решать поставленную задачу.

Вначале методом термостимулированной проводимости (ТСП) удалось изучить уровни прилипания для поликристаллических слоев ZnO и AgJ до и после адсорбции молекул сенсибилизатора и десенсибилизатора [19].

Для примера на рис. 1 приведены спектры ТСП слоев AgJ и ZnO с сенсибилизатором и десенсибилизатором, полученные при нагревании со скоростью 0,20 град/сек, после предварительного освещения при 100 К светом из области поглощения этих фотопроводников ($\lambda = 365$ нм) или из области сенсибилизации ($\lambda = 546$ нм). Найдены уровни прилипания, занимающие квазинепрерывный ряд в интервале энергий 0,1—0,4 эВ для AgJ и 0,1—1,0 эВ для ZnO под С-зоной

Были обнаружены, что при определенных условиях сенсибилизация может происходить в пределах широкозонных полупроводников и не иметь связи с уменьшением концентрации красителя между слоями, занятыми сенсибилизатором и десенсибилизатором. Показано, что можно использовать различные красители для сенсибилизации широкозонных полупроводников, не имеющих связи с красителем, находящимся в смежном слое. Показано, что при постоянной концентрации красителя сенсибилизация широкозонных полупроводников может быть осуществлена с помощью красителей, имеющих различные константы сенсибилизации. Показано, что при постоянной концентрации красителя сенсибилизация широкозонных полупроводников может быть осуществлена с помощью красителей, имеющих различные константы сенсибилизации.

ЛИТЕРАТУРА

1. Гайдук Е. В. Техн. физика, 1970, № 12, 2270—2272.
2. Гайдук Е. В. Техн. физика, 1970, № 12, 2273—2275.
3. Гайдук Е. В. Техн. физика, 1970, № 12, 2276—2278.
4. Гайдук Е. В. Техн. физика, 1970, № 12, 2279—2281.
5. Гайдук Е. В. Техн. физика, 1970, № 12, 2282—2284.
6. Гайдук Е. В. Техн. физика, 1970, № 12, 2285—2287.
7. Гайдук Е. В. Техн. физика, 1970, № 12, 2288—2290.
8. Гайдук Е. В. Техн. физика, 1970, № 12, 2291—2293.
9. Гайдук Е. В. Техн. физика, 1970, № 12, 2294—2296.
10. Гайдук Е. В. Техн. физика, 1970, № 12, 2297—2299.
11. Гайдук Е. В. Техн. физика, 1970, № 12, 2300—2302.
12. Гайдук Е. В. Техн. физика, 1970, № 12, 2303—2305.
13. Гайдук Е. В. Техн. физика, 1970, № 12, 2306—2308.
14. Гайдук Е. В. Техн. физика, 1970, № 12, 2309—2311.
15. Гайдук Е. В. Техн. физика, 1970, № 12, 2312—2314.
16. Гайдук Е. В. Техн. физика, 1970, № 12, 2315—2317.
17. Гайдук Е. В. Техн. физика, 1970, № 12, 2318—2320.
18. Гайдук Е. В. Техн. физика, 1970, № 12, 2321—2323.
19. Гайдук Е. В. Техн. физика, 1970, № 12, 2324—2326.
20. Гайдук Е. В. Техн. физика, 1970, № 12, 2327—2329.
21. Гайдук Е. В. Техн. физика, 1970, № 12, 2330—2332.
22. Гайдук Е. В. Техн. физика, 1970, № 12, 2333—2335.
23. Гайдук Е. В. Техн. физика, 1970, № 12, 2336—2338.
24. Гайдук Е. В. Техн. физика, 1970, № 12, 2339—2341.
25. Гайдук Е. В. Техн. физика, 1970, № 12, 2342—2344.
26. Гайдук Е. В. Техн. физика, 1970, № 12, 2345—2347.
27. Гайдук Е. В. Техн. физика, 1970, № 12, 2348—2350.
28. Гайдук Е. В. Техн. физика, 1970, № 12, 2351—2353.
29. Гайдук Е. В. Техн. физика, 1970, № 12, 2354—2356.
30. Гайдук Е. В. Техн. физика, 1970, № 12, 2357—2359.
31. Гайдук Е. В. Техн. физика, 1970, № 12, 2360—2362.
32. Гайдук Е. В. Техн. физика, 1970, № 12, 2363—2365.
33. Гайдук Е. В. Техн. физика, 1970, № 12, 2366—2368.
34. Гайдук Е. В. Техн. физика, 1970, № 12, 2369—2371.
35. Гайдук Е. В. Техн. физика, 1970, № 12, 2372—2374.
36. Гайдук Е. В. Техн. физика, 1970, № 12, 2375—2377.
37. Гайдук Е. В. Техн. физика, 1970, № 12, 2378—2380.
38. Гайдук Е. В. Техн. физика, 1970, № 12, 2381—2383.
39. Гайдук Е. В. Техн. физика, 1970, № 12, 2384—2386.
40. Гайдук Е. В. Техн. физика, 1970, № 12, 2387—2389.
41. Гайдук Е. В. Техн. физика, 1970, № 12, 2390—2392.
42. Гайдук Е. В. Техн. физика, 1970, № 12, 2393—2395.
43. Гайдук Е. В. Техн. физика, 1970, № 12, 2396—2398.
44. Гайдук Е. В. Техн. физика, 1970, № 12, 2399—2401.
45. Гайдук Е. В. Техн. физика, 1970, № 12, 2402—2404.
46. Гайдук Е. В. Техн. физика, 1970, № 12, 2405—2407.
47. Гайдук Е. В. Техн. физика, 1970, № 12, 2408—2410.
48. Гайдук Е. В. Техн. физика, 1970, № 12, 2411—2413.
49. Гайдук Е. В. Техн. физика, 1970, № 12, 2414—2416.
50. Гайдук Е. В. Техн. физика, 1970, № 12, 2417—2419.
51. Гайдук Е. В. Техн. физика, 1970, № 12, 2420—2422.
52. Гайдук Е. В. Техн. физика, 1970, № 12, 2423—2425.
53. Гайдук Е. В. Техн. физика, 1970, № 12, 2426—2428.
54. Гайдук Е. В. Техн. физика, 1970, № 12, 2429—2431.
55. Гайдук Е. В. Техн. физика, 1970, № 12, 2432—2434.
56. Гайдук Е. В. Техн. физика, 1970, № 12, 2435—2437.
57. Гайдук Е. В. Техн. физика, 1970, № 12, 2438—2440.
58. Гайдук Е. В. Техн. физика, 1970, № 12, 2441—2443.
59. Гайдук Е. В. Техн. физика, 1970, № 12, 2444—2446.
60. Гайдук Е. В. Техн. физика, 1970, № 12, 2447—2449.
61. Гайдук Е. В. Техн. физика, 1970, № 12, 2450—2452.
62. Гайдук Е. В. Техн. физика, 1970, № 12, 2453—2455.
63. Гайдук Е. В. Техн. физика, 1970, № 12, 2456—2458.
64. Гайдук Е. В. Техн. физика, 1970, № 12, 2459—2461.
65. Гайдук Е. В. Техн. физика, 1970, № 12, 2462—2464.
66. Гайдук Е. В. Техн. физика, 1970, № 12, 2465—2467.
67. Гайдук Е. В. Техн. физика, 1970, № 12, 2468—2470.
68. Гайдук Е. В. Техн. физика, 1970, № 12, 2471—2473.
69. Гайдук Е. В. Техн. физика, 1970, № 12, 2474—2476.
70. Гайдук Е. В. Техн. физика, 1970, № 12, 2477—2479.
71. Гайдук Е. В. Техн. физика, 1970, № 12, 2480—2482.
72. Гайдук Е. В. Техн. физика, 1970, № 12, 2483—2485.
73. Гайдук Е. В. Техн. физика, 1970, № 12, 2486—2488.
74. Гайдук Е. В. Техн. физика, 1970, № 12, 2489—2491.
75. Гайдук Е. В. Техн. физика, 1970, № 12, 2492—2494.
76. Гайдук Е. В. Техн. физика, 1970, № 12, 2495—2497.
77. Гайдук Е. В. Техн. физика, 1970, № 12, 2498—2500.
78. Гайдук Е. В. Техн. физика, 1970, № 12, 2501—2503.
79. Гайдук Е. В. Техн. физика, 1970, № 12, 2504—2506.
80. Гайдук Е. В. Техн. физика, 1970, № 12, 2507—2509.
81. Гайдук Е. В. Техн. физика, 1970, № 12, 2510—2512.
82. Гайдук Е. В. Техн. физика, 1970, № 12, 2513—2515.
83. Гайдук Е. В. Техн. физика, 1970, № 12, 2516—2518.
84. Гайдук Е. В. Техн. физика, 1970, № 12, 2519—2521.
85. Гайдук Е. В. Техн. физика, 1970, № 12, 2522—2524.
86. Гайдук Е. В. Техн. физика, 1970, № 12, 2525—2527.
87. Гайдук Е. В. Техн. физика, 1970, № 12, 2528—2530.
88. Гайдук Е. В. Техн. физика, 1970, № 12, 2531—2533.
89. Гайдук Е. В. Техн. физика, 1970, № 12, 2534—2536.
90. Гайдук Е. В. Техн. физика, 1970, № 12, 2537—2539.
91. Гайдук Е. В. Техн. физика, 1970, № 12, 2540—2542.
92. Гайдук Е. В. Техн. физика, 1970, № 12, 2543—2545.
93. Гайдук Е. В. Техн. физика, 1970, № 12, 2546—2548.
94. Гайдук Е. В. Техн. физика, 1970, № 12, 2549—2551.
95. Гайдук Е. В. Техн. физика, 1970, № 12, 2552—2554.
96. Гайдук Е. В. Техн. физика, 1970, № 12, 2555—2557.
97. Гайдук Е. В. Техн. физика, 1970, № 12, 2558—2560.
98. Гайдук Е. В. Техн. физика, 1970, № 12, 2561—2563.
99. Гайдук Е. В. Техн. физика, 1970, № 12, 2564—2566.
100. Гайдук Е. В. Техн. физика, 1970, № 12, 2567—2569.
101. Гайдук Е. В. Техн. физика, 1970, № 12, 2570—2572.
102. Гайдук Е. В. Техн. физика, 1970, № 12, 2573—2575.
103. Гайдук Е. В. Техн. физика, 1970, № 12, 2576—2578.
104. Гайдук Е. В. Техн. физика, 1970, № 12, 2579—2581.
105. Гайдук Е. В. Техн. физика, 1970, № 12, 2582—2584.
106. Гайдук Е. В. Техн. физика, 1970, № 12, 2585—2587.
107. Гайдук Е. В. Техн. физика, 1970, № 12, 2588—2590.
108. Гайдук Е. В. Техн. физика, 1970, № 12, 2591—2593.
109. Гайдук Е. В. Техн. физика, 1970, № 12, 2594—2596.
110. Гайдук Е. В. Техн. физика, 1970, № 12, 2597—2599.
111. Гайдук Е. В. Техн. физика, 1970, № 12, 2600—2602.
112. Гайдук Е. В. Техн. физика, 1970, № 12, 2603—2605.
113. Гайдук Е. В. Техн. физика, 1970, № 12, 2606—2608.
114. Гайдук Е. В. Техн. физика, 1970, № 12, 2609—2611.
115. Гайдук Е. В. Техн. физика, 1970, № 12, 2612—2614.
116. Гайдук Е. В. Техн. физика, 1970, № 12, 2615—2617.
117. Гайдук Е. В. Техн. физика, 1970, № 12, 2618—2620.
118. Гайдук Е. В. Техн. физика, 1970, № 12, 2621—2623.
119. Гайдук Е. В. Техн. физика, 1970, № 12, 2624—2626.
120. Гайдук Е. В. Техн. физика, 1970, № 12, 2627—2629.
121. Гайдук Е. В. Техн. физика, 1970, № 12, 2630—2632.
122. Гайдук Е. В. Техн. физика, 1970, № 12, 2633—2635.
123. Гайдук Е. В. Техн. физика, 1970, № 12, 2636—2638.
124. Гайдук Е. В. Техн. физика, 1970, № 12, 2639—2641.
125. Гайдук Е. В. Техн. физика, 1970, № 12, 2642—2644.
126. Гайдук Е. В. Техн. физика, 1970, № 12, 2645—2647.
127. Гайдук Е. В. Техн. физика, 1970, № 12, 2648—2650.
128. Гайдук Е. В. Техн. физика, 1970, № 12, 2651—2653.
129. Гайдук Е. В. Техн. физика, 1970, № 12, 2654—2656.
130. Гайдук Е. В. Техн. физика, 1970, № 12, 2657—2659.
131. Гайдук Е. В. Техн. физика, 1970, № 12, 2660—2662.
132. Гайдук Е. В. Техн. физика, 1970, № 12, 2663—2665.
133. Гайдук Е. В. Техн. физика, 1970, № 12, 2666—2668.
134. Гайдук Е. В. Техн. физика, 1970, № 12, 2669—2671.
135. Гайдук Е. В. Техн. физика, 1970, № 12, 2672—2674.
136. Гайдук Е. В. Техн. физика, 1970, № 12, 2675—2677.
137. Гайдук Е. В. Техн. физика, 1970, № 12, 2678—2680.
138. Гайдук Е. В. Техн. физика, 1970, № 12, 2681—2683.
139. Гайдук Е. В. Техн. физика, 1970, № 12, 2684—2686.
140. Гайдук Е. В. Техн. физика, 1970, № 12, 2687—2689.
141. Гайдук Е. В. Техн. физика, 1970, № 12, 2690—2692.
142. Гайдук Е. В. Техн. физика, 1970, № 12, 2693—2695.
143. Гайдук Е. В. Техн. физика, 1970, № 12, 2696—2698.
144. Гайдук Е. В. Техн. физика, 1970, № 12, 2699—2701.
145. Гайдук Е. В. Техн. физика, 1970, № 12, 2702—2704.
146. Гайдук Е. В. Техн. физика, 1970, № 12, 2705—2707.
147. Гайдук Е. В. Техн. физика, 1970, № 12, 2708—2710.
148. Гайдук Е. В. Техн. физика, 1970, № 12, 2711—2713.
149. Гайдук Е. В. Техн. физика, 1970, № 12, 2714—2716.
150. Гайдук Е. В. Техн. физика, 1970, № 12, 2717—2719.
151. Гайдук Е. В. Техн. физика, 1970, № 12, 2720—2722.
152. Гайдук Е. В. Техн. физика, 1970, № 12, 2723—2725.
153. Гайдук Е. В. Техн. физика, 1970, № 12, 2726—2728.
154. Гайдук Е. В. Техн. физика, 1970, № 12, 2729—2731.
155. Гайдук Е. В. Техн. физика, 1970, № 12, 2732—2734.
156. Гайдук Е. В. Техн. физика, 1970, № 12, 2735—2737.
157. Гайдук Е. В. Техн. физика, 1970, № 12, 2738—2740.
158. Гайдук Е. В. Техн. физика, 1970, № 12, 2741—2743.
159. Гайдук Е. В. Техн. физика, 1970, № 12, 2744—2746.
160. Гайдук Е. В. Техн. физика, 1970, № 12, 2747—2749.
161. Гайдук Е. В. Техн. физика, 1970, № 12, 2750—2752.
162. Гайдук Е. В. Техн. физика, 1970, № 12, 2753—2755.
163. Гайдук Е. В. Техн. физика, 1970, № 12, 2756—2758.
164. Гайдук Е. В. Техн. физика, 1970, № 12, 2759—2761.
165. Гайдук Е. В. Техн. физика, 1970, № 12, 2762—2764.
166. Гайдук Е. В. Техн. физика, 1970, № 12, 2765—2767.
167. Гайдук Е. В. Техн. физика, 1970, № 12, 2768—2770.
168. Гайдук Е. В. Техн. физика, 1970, № 12, 2771—2773.
169. Гайдук Е. В. Техн. физика, 1970, № 12, 2774—2776.
170. Гайдук Е. В. Техн. физика, 1970, № 12, 2777—2779.
171. Гайдук Е. В. Техн. физика, 1970, № 12, 2780—2782.
172. Гайдук Е. В. Техн. физика, 1970, № 12, 2783—2785.
173. Гайдук Е. В. Техн. физика, 1970, № 12, 2786—2788.
174. Гайдук Е. В. Техн. физика, 1970, № 12, 2789—2791.
175. Гайдук Е. В. Техн. физика, 1970, № 12, 2792—2794.
- 1

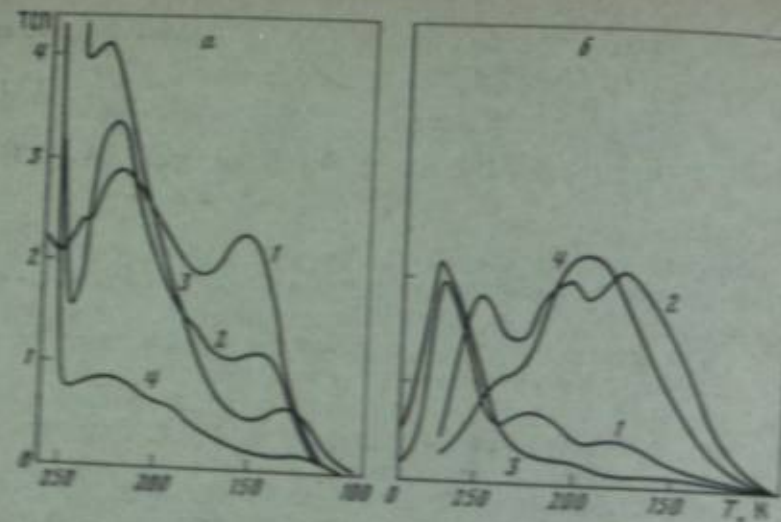


Рис. 1. Спектры термостимулированной проводимости (TSC) слоев AgBr (4) и ZnO (5), полученные после освещения при 293 К светом с $\lambda = 365$ (1, 3) и 545 нм (2, 4).
1, 2 — слои нерастворимые; 3, 4 — слои растворимые с замороженными ячейками.

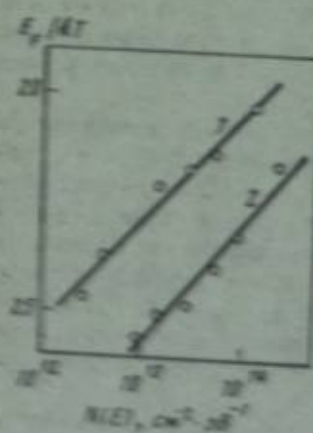


Рис. 2. Энергетическое распределение присущервенных локальных центров прилипания в микрокристаллах ZnO.
1 — для нерастворимых; 2 — для растворимых (с $n = 1 \cdot 10^{18} \text{ см}^{-3}$ ZnO).

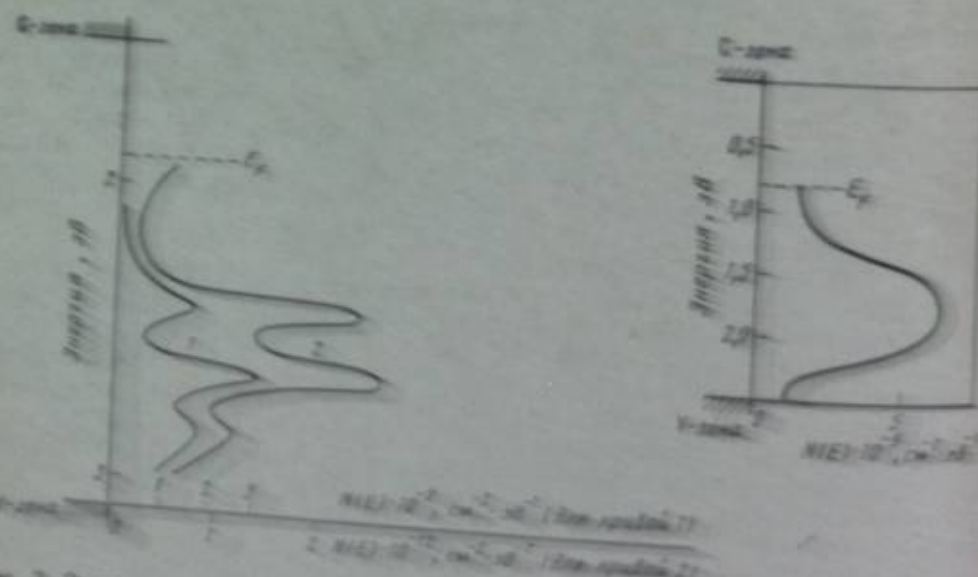


Рис. 3. Энергетическое распределение присущервенных локальных центров прилипания в кристаллах ZnO.
1 — для нерастворимых; 2 — для растворимых (с $n = 1 \cdot 10^{18} \text{ см}^{-3}$ ZnO).

Рис. 4. Энергетическое распределение присущервенных локальных центров прилипания в кристаллах ZnO.
1 — для нерастворимых; 2 — для растворимых (с $n = 1 \cdot 10^{18} \text{ см}^{-3}$ ZnO).

с концентрациями 10^{17} — 10^{18} см^{-3} и сечениями захвата порядка 10^{-17} — 10^{-18} см^{-2} . Показано, что эти уровни могут при генерации носителей заряда светом в одинаковой степени заполняться как из области собственного поглощения фотопроводника, так и из области поглощения красителя. После адсорбции молекул сенсибилизатора концентрация этих центров повышалась, а в присутствии молекул фотографического десенсибилизатора понижалась.

Затем для поликристаллического ZnO, применяемого для изготовления электрофотографических бумаг, локальные поверхностные состояния, расположенные вблизи уровня Ферми, были изучены методом эффекта поля [20, 21].

В поверхностной области ZnO в интервале энергий 0,1—0,8 эВ под С-зоной установлено существование непрерывного экспоненциального распределения локальных состояний, частично заполненных электронами (рис. 2). Поверхностная плотность таких состояний вблизи уровня Ферми равна $10^{12} \text{ см}^{-2} \cdot \text{эВ}^{-1}$, а характеристическая температура, определяющая скорость ее роста с энергией, близка к комнатной. Эти состояния могут быть уровнями прилипания и центрами быстрой рекомбинации. При адсорбции молекул красителя-сенсибилизатора плотность этих центров увеличивается примерно на порядок (рис. 2, кризис 2). В этих же слоях ZnO методом оптического гашения фотопроводимости были обнаружены заполненные локальные уровни на глубине 1,7 эВ под С-зоной [22].

Далее путем измерения спектров фоторазрядки электростатического потенциала в области примесного поглощения были определены полные спектры заполненных локальных состояний в интервале энергий от уровня Ферми до V-зоны для ZnO-электрофотографических слоев [23] и для слоев из микрокристаллов AgBr в полимерном связующем [24].

Измеренный в интервале энергий 0,8—3,0 эВ под С-зоной спектр плотности заполненных локальных состояний для поликристаллического оксида цинка на воздухе при 293 К (рис. 3) имеет четко выраженную структуру с максимумами около 2,7; 2,3; 1,8 и менее 1,0 эВ с плотностями поверхностных состояний порядка $10^9 \text{ см}^{-2} \cdot \text{эВ}^{-1}$ для несенсибилизированного слоя (кривая 1). Эти состояния могут быть центрами фотогенерации носителей заряда и центрами медленной рекомбинации.

Как и в случае уровней прилипания, плотность заполненных поверхностных состояний фотопроводника увеличивается примерно на порядок при адсорбции молекул сенсибилизатора (кривая 2).

На слоях AgBr (микрокристаллы $l = 3 \text{ мкм}$, диспергированные в полимерном связующем) подобные измерения выполнены при 200 К, когда была заморожена ионная проводимость. Низкоэнергетическая граница заполненных состояний при этих условиях приходится на 0,88 эВ. В энергетическом спектре локальных центров (рис. 4) наблюдается одна широкая полоса в интервале от 0,9 до 2,5 эВ с плотностью состояний $6 \cdot 10^9 \text{ см}^{-2} \cdot \text{эВ}^{-1}$ в максимуме 1,8 эВ. Интегральная плотность заряженных поверхностных центров составляла $2 \cdot 10^{11} \text{ см}^{-2}$.

Таким образом, совокупность разработанных методов позволяет определить энергетическое распределение локальных электронных уровней по всей ширине запрещенной зоны сенсибилизируемых фотопроводников.

Но для рассмотрения процесса сенсибилизации не менее существенным оказывается вопрос о топографии данных центров в сенсибилизируемых кристаллах.

В кристаллах ZnO спектр локальных состояний формируется в первую очередь собственными дефектами решетки и хемисорбированным кислородом [17]. Даже в наиболее чистых образцах ZnO в объеме кристаллов имеется сверхстехиометрический цинк в концентрации 10^{16} — 10^{17} см^{-3} в виде межузельных атомов цинка или вакансий ионов кислорода, создающих донорные уровни на глубине 0,05 эВ. Термическое возбуждение электронов с этих центров в С-зону определяет высокую электронную проводимость ZnO, составляющую у монокристаллов величину 10^3 — $10^4 \text{ Ом}^{-1} \cdot \text{см}^{-1}$.

Кардинальные изменения проводимости происходят при взаимодействии кристалла с кислородом. Доказано, что не происходит диффузии кислорода в решетку ZnO, а только адсорбция его молекул на поверхности фотопроводника. При этом осуществляется термически активированный захват электронов

с донорных центров через С-зону на поверхностные уровни адсорбированного кислорода, принимающего формы O_2^- , O^- и O^{2-} . В результате у поверхности кристалла создается барьер Шоттки: отрицательный заряд на заполненных поверхностных состояниях ниже уровня Ферми и положительный заряд в виде ионизированных донорных центров в приповерхностной области, оцениваемой нами в $2 \cdot 10^{-6}$ см, на глубине дебаевского радиуса экранирования. При этом высота изгиба зон ZnO на воздухе составляет в зависимости от условий адсорбции от 0,4 до 0,7 эВ, что дает напряженность электрического поля в области барьера, равную $(2 \div 3,5) \cdot 10^5$ В·см $^{-1}$. Однако значительная часть объема внутри микрокристаллов ZnO за пределами дебаевского радиуса не затронута воздействием адсорбированного кислорода.

Показано, что суммарная концентрация локальных состояний у поверхности выше, чем в объеме микрокристалла, но их плотность вблизи уровня Ферми из-за наличия изгиба зон оказывается ниже, чем в объеме [20]. Если удельное сопротивление поликристаллических слоев с размером микрокристаллов ~ 1 мкм в высоком вакууме может быть примерно таким же, как у монокристалла ZnO , то в атмосфере воздуха удельное сопротивление этих слоев оказывается больше на 8–10 порядков из-за наличия межкристаллических барьеров.

Естественно, что оценка величин плотностей локальных центров для поликристаллических слоев дает усредненные значения. Флюктуациями в распределении плотностей локальных центров, создающими потенциальные ямы глубиной $\sim 0,2$ эВ в электронных энергетических уровнях ZnO , объясняют сложную зависимость дрейфовой подвижности электронов в таких слоях от величины внешнего электрического поля [25]. Исследования механизма токопрохождения в поликристаллических слоях ZnO показали, что амплитуда разброса высоты межкристаллических барьеров в них может достигать величины 0,5 эВ [26].

Аналогичная ситуация в топографии локальных центров имеет место и для кристаллов $AgHal$. В них локальные электронные уровни создаются в запрещенной зоне как собственными дефектами, так и примесями. Роль последних, очевидно, особенно значительна в эмульсионных микрокристаллах фотографического слоя вследствие их обязательной химической сенсибилизации.

Существенно, что, как и в случае сенсибилизуемых кристаллов ZnO , у поверхности кристаллов $AgHal$ создается резкий барьер Шоттки, состоящий из объемного положительного заряда и компенсирующего его отрицательного заряда, локализованного на поверхности. Высота барьера для эмульсионных микрокристаллов составляет 0,2–0,3 эВ [1]. Его возникновение обусловлено в первую очередь свойствами основных дефектов: энергия образования межузельных ионов-серебра значительно меньше энергии образования катионных вакансий в решетке, в результате чего концентрация первых вблизи поверхности может быть существенно большей, чем концентрация вторых. Концентрация Ag^{+} , определяющая высокую ионную проводимость микрокристаллов $AgBr$, позволяет оценить в них величину дебаевского радиуса экранирования $\sim 10^{-6}$ см, что дает для напряженности поля изгиба зон в микрокристаллах $AgBr$ значение $\sim 10^4 \div 10^5$ В·см $^{-1}$.

Таким образом, структура электронных локальных центров в разных исследованных сенсибилизирующихся красителями фотопроводниках примерно одинакова. Интересно сопоставить с ней структуру локальных уровней несенсибилизируемого фотопроводника.

В работах [6, 10] найдены условия, в которых отсутствует сенсибилизация фотоэффекта в AgJ и ZnO адсорбированными красителями. Иодид серебра для таких опытов готовили многократной перекристаллизацией из раствора в КJ при неактивном освещении [6]. Адсорбция молекул красителя на такой образец не приводила к его сенсибилизации, в спектре фотопроводимости незасвеченного слоя имелась лишь полоса собственной чувствительности AgJ , и отсутствовал фотоэффект в области поглощения красителя. Сенсибилизованный фотоэффект появлялся лишь после некоторого засвечивания такого AgJ или после адсорбции на нем молекул иода.

В опытах с ZnO [10] установлено, что если краситель адсорбировать в вакууме на слой фотопроводника, предварительно отренированный при 500° С

и поэтому не содержащий адсорбированных молекул кислорода, то в нем не обнаруживается сенсибилизированного фотоэффекта. Только после адсорбции на такой образец кислорода в нем появляется эффект спектральной сенсибилизации. Однако в подобных условиях применение описанных выше методов определения спектров локальных уровней не представляется возможным. Сопоставить спектры локальных уровней для сенсибилизируемого и несенсибилизируемого фотопроводников удалось для образцов ZnS .

Недавно разработан способ химической сенсибилизации сульфидов цинка и кадмия, в результате которой эти фотопроводники из несенсибилизуемых превращаются в эффективно сенсибилизуемые адсорбированными красителями [16].

В исходных кристаллах ZnS и CdS , обладающих хорошей фотопроводимостью в области полос их собственного поглощения (рис. 5, кривая 1), эффект сенсибилизации красителями полностью отсутствует. Но в то же время энергия фотовозбуждения эффективно переносится от красителя к адсорбенту, о чем свидетельствует полное тушение фотoluminesценции молекул красителей в адсорбированном состоянии на данных слоях.

Ситуация меняется после введения в кристаллы примесных ионов хлора, которые, замещая в решетке ионы серы, создают, согласно работе [27], в этих фотопроводниках мелкие донорные уровни. После химической сенсибилизации в спектре фотопроводимости полученного порошка $ZnS(Cl)$ появляется дополнительная полоса с максимумом 440 нм и заметно возрастает фоточувствительность во всей видимой области (рис. 5, кривая 2).

Существенно, что такой фотопроводник можно с высокой эффективностью спектрально сенсибилизировать красителями различных классов (кривые 3 и 4). После предварительной химической сенсибилизации сульфидов цинка и кадмия эффективность спектральной сенсибилизации в них красителями повышается по крайней мере в тысячи раз. Сенсибилизуемость фотопроводников зависит от количества введенной примеси. С ростом концентрации примеси наблюдается немонотонное изменение эффективности сенсибилизации; оптимальной является концентрация хлорида $\sim 0,1$ вес. %, а при дальнейшем увеличении его до 3,0 вес. % эффективность сенсибилизации красителем монотонно уменьшается почти в 100 раз.

Для таких слоев исходного ZnS , в котором отсутствует эффект сенсибилизации красителями, и легированного ионами хлора, обладающего эффективной спектральной сенсибилизацией, изучены энергетические спектры локальных центров по всей ширине запрещенной зоны [28]. Энергетические спектры мелких локальных центров (уровней прилипания), измеренные методом термостимулированной проводимости в интервале 0,12–0,8 эВ под С-зоной для исходного и легированного ZnS , даны на рис. 6.

В исходных слоях ZnS спектр уровней прилипания (рис. 6, а) состоит из ряда дискретных состояний, интегральная поверхностная плотность которых составляет $4 \cdot 10^{10}$ см $^{-2}$. Наиболее мелкие уровни обнаружены на глубине 0,30–0,34 эВ, а самые глубокие — на глубине 0,80 эВ.

В слоях ZnS , легированного хлором, спектр уровней прилипания (рис. 6, б) существенно иной: локальные состояния образуют квазинепрерывный ряд в интервале энергий 0,18–0,55 эВ с максимумом энергий 0,37 эВ. Интегральная плотность этих состояний увеличивается до $4,4 \cdot 10^{14}$ см $^{-2}$.

На рис. 7 приведены спектры плотности заполненных локальных поверхностных состояний для этих же слоев, измеренные в интервале энергий 0,8–3,2 эВ от дна С-зоны. В спектре локальных уровней исходного ZnS наблюдаются две полосы с максимумами энергии 2,8 и 2,05 эВ (рис. 7, а), а после легирования фотопроводника спектр сильно меняется в результате появления еще трех полос с максимумами 2,4; 1,6 и <1,0 эВ (рис. 7, б). Интегральная плотность заполненных поверхностных состояний в исходном ZnS составляет $6 \cdot 10^{10}$ см $^{-2}$, а в легированном — $4,3 \cdot 10^9$ см $^{-2}$.

Измерения температурной зависимости электропроводности этих слоев показали, что термическая энергия активации темновой проводимости E_T исходного ZnS равна 1,13 эВ, а после легирования ZnS она уменьшается до 0,95 эВ. Несовпадение величин E_T со значением границы заполненных состояний,

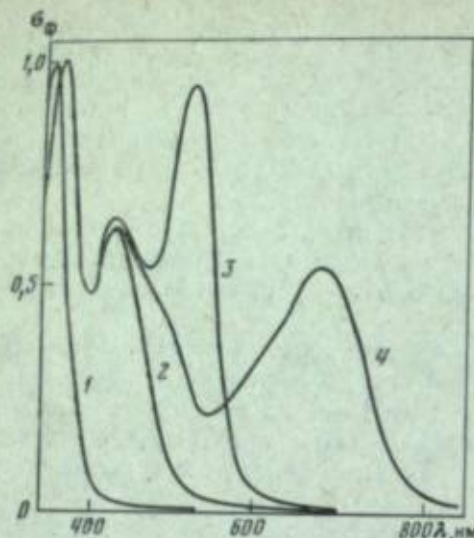


Рис. 5. Спектры фотопроводимости слоев
1 — ZnS; 2 — ZnS(Cl); 3 — ZnS(Cl) окрашен
кинитризином; 4 — ZnS(Cl) окрашен гексаме-
тиленететрамином и хлоратом

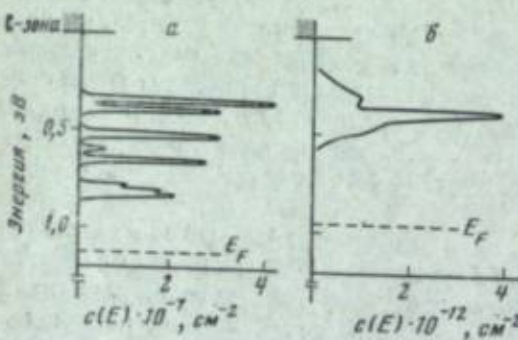


Рис. 6. Энергетическое распределение при-
поверхностных локальных центров при-
липания в микрокристаллах ZnS (а) и
ZnS(Cl) (б)

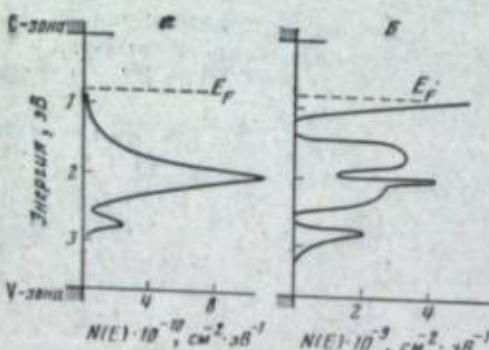


Рис. 7. Энергетическое распределение за-
полненных приповерхностных локальных
центров в микрокристаллах ZnS (а) и
ZnS(Cl) (б)

равным 0,8 эВ (рис. 7), объясняется существованием приповерхностного изгиба зон, составляющего для исходных слоев 0,33 эВ, а для легированных — 0,15 эВ.

Наиболее глубокие центры в области 2,8 и 2,4 эВ связываются с примесью меди в кристаллах ZnS, уровни на глубине 2,05 и 1,6 эВ — с вакансиями цинка и серы соответственно, а полоса в области <1,2 эВ приписывается донорным уровням, созданным в результате замещения ионов серы в решетке на ионы хлора. С последними в легированных слоях связывается полоса уровней прилипания с максимумом 0,37 эВ. Их энергия ионизации складывается из энергии ионизации относительно плоских зон (0,22 эВ) и энергии приповерхностного барьера (0,15 эВ). Первая величина, полученная таким косвенным путем, хорошо совпадает со значением энергии ионизации доноров в легированных хлором монокристаллах ZnS [28].

В результате того, что плотность мелких донорных уровней в легированном фотопроводнике на четыре порядка выше, чем в исходном веществе, значения Фабеевского радиуса экранирования различаются в них почти на два порядка. А именно, в исходном ZnS он получается равным $5 \cdot 10^{-5}$ см, тогда как в легированных хлором слоях он составляет $7 \cdot 10^{-7}$ см. В результате этого напряженность электрического поля барьера в исходном ZnS составляет $5,5 \cdot 10^5$, а в легированном — $2 \cdot 10^6$ В·см⁻¹. Создание такого поля, как отмечалось выше, является решающим для осуществления сенсибилизированного фотоэффекта.

Таким образом, в этих опытах продемонстрировано целенаправленное создание условий в фотопроводнике, необходимых и достаточных для возможности его сенсибилизации красителем. Для таких веществ, как галогениды серебра и таллия, оксиды переменного состава и некоторые другие сенсибилизирующиеся соединения, эти условия в той или иной степени автоматически реализуются в процессе изготовления кристаллов, а для других, к числу которых относятся и сульфиды, они должны создаваться специально. Следовательно, формируя эти условия, можно

управлять эффективностью спектральной сенсибилизации фотопроводника. Такая подготовка фотопроводника к сенсибилизации включает создание в нем началь локальных центров двух типов (мелких и глубоких донорных центров с определенными плотностями), а затем образование барьера Шоттки в результате компенсации мелких донорных центров в приповерхностной области хемосорбированным кислородом, обычно осуществляющейся у ряда полупроводников при их нахождении на воздухе.

Такая структура локальных уровней фотопроводника должна способствовать процессу спектральной сенсибилизации в рамках любого из двух альтернативных механизмов процесса: перенос энергии или перенос электрона от возбужденной молекулы красителя к фотопроводнику.

Глубокие локальные центры по первой гипотезе нужны для возможности восприятия фотопроводником энергии от красителя, в результате чего электрон с такого уровня переводится в С-зону. Согласно второй гипотезе они необходимы для передачи электрона ион-радикалу красителя, образовавшемуся в результате передачи молекулой красителя электрона фотопроводнику в акте сенсибилизации. Необходимые для этого локальные центры в сенсибилизируемых фотопроводниках, как показано выше, имеются. Их энергетическое распределение указывает на возможность сенсибилизации исследованных веществ в интервале 400—1500 нм. Достаточной для обеспечения рассматриваемых процессов является и концентрация этих центров.

Подобные уровни могут быть и в несенсибилизирующихся фотопроводниках (см. рис. 7, а), и факт отсутствия люминесценции красителей в адсорбированном состоянии на них, как и при адсорбции на сенсибилизирующихся веществах, свидетельствует об эффективной передаче энергии от красителя этим центрам. Однако эффективность использования переданной энергии для сенсибилизированного фотоэффекта в этих двух случаях различна. Определяющей здесь оказывается структура уровней в приповерхностной области, формируемая мелкими локальными центрами.

Наличие в фотопроводнике мелких донорных центров является необходимым, но не достаточным условием для его сенсибилизируемости красителем. Например, в несенсибилизирующемся ZnO, отрецированном в высоком вакууме, такие уровни безусловно имеются. Но лишь после адсорбции на такой слой ZnO молекул кислорода, взаимодействие которых с мелкими донорными центрами приводит к образованию барьера Шоттки, в данном фотопроводнике создаются условия для эффективной спектральной сенсибилизации.

Поле барьера, напряженность которого согласно приведенным выше оценкам для сенсибилизирующихся фотопроводников составляет 10^5 — 10^6 В·см⁻¹, может существенным образом влиять как на стадию генерации носителей заряда, так и на стадию их рекомбинации. Интересно, что направление этого влияния должно быть одинаковым для альтернативных гипотез о механизме сенсибилизации.

При образовании барьера Шоттки сенсибилизация по механизму переноса энергии должна усилиться, во-первых, за счет генерации носителей с заряженными поверхностными уровнями, воспринимающими энергию фотовозбуждения от красителя, вследствие увеличения их концентрации и, во-вторых, за счет генерации носителей с объемных локальных центров. В последнем случае в отсутствие поля барьера вслед за стадией генерации будет осуществляться процесс рекомбинации электрона с оставшейся на локальном центре дыркой. Поле барьера предотвращает этот процесс, существенно увеличивая время жизни фотоэлектрона, что подтверждено исследованиями релаксации фотопроводимости галогенидов серебра и таллия [29] и оксида цинка [21]. Это оказывается особенно существенным для случая сенсибилизированного фотоэффекта, для которого вследствие передачи энергии от красителя на расстояния до 10^{-3} см носители возникают в пределах поля приповерхностного барьера.

Вероятность сенсибилизации путем фотоинъекции электрона от красителя тоже должна увеличиться вследствие уменьшения величины потенциала ионизации молекулы красителя, если она окажется адсорбированной на поверхности твердого тела вблизи отрицательно заряженного дефекта [30]. Роль последних может взять на себя поверхностные состояния барьера Шоттки.

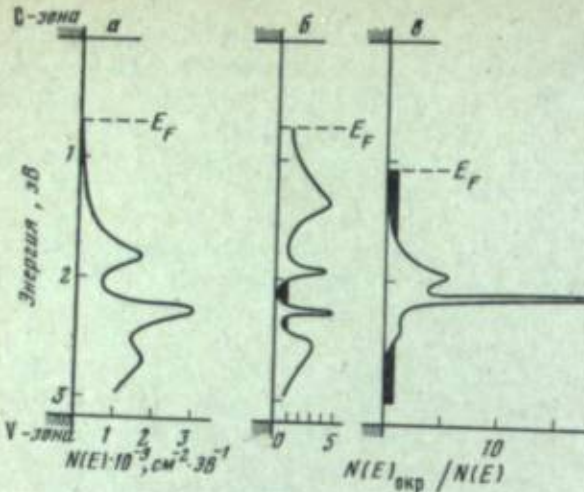


Рис. 8. Энергетическое распределение заполненных поверхностных локальных центров в микрокристаллах ZnO
 а — до окрашивания;
 б — после адсорбции молекул трифосфина;
 в — после адсорбции пинакриптона желтого ($c_{kp} = 1 \cdot 10^{-8}$ г/г ZnO)

Таким образом, проведенный анализ показывает, что на основании исследований по влиянию химической сенсибилизации на эффективность спектральной сенсибилизации красителями нельзя сделать вывод в пользу одного из двух механизмов спектральной сенсибилизации.

Существенное участие в химической сенсибилизации (или десенсибилизации) фотопроводника принимают и молекулы красителя — спектрального сенсибилизатора. Степень химической десенсибилизации зачастую определяет возможность использования того или иного красителя в качестве спектрального сенсибилизатора фотографических материалов. Из приведенных на рис. 2 и 3 данных видно, что адсорбированные молекулы красителей изменяют плотности мелких и глубоких локальных уровней фотопроводника.

С целью выяснения механизма взаимодействия молекул красителя с фотопроводником было изучено изменение энергетического спектра локальных заполненных центров в микрокристаллах оксида цинка при адсорбции молекул типичного сенсибилизатора — трифосфина и типичного десенсибилизатора — пинакриптона желтого [31]. Результаты приведены на рис. 8.

Спектр плотности заполненных поверхностных состояний, представленный на рис. 8, а для неокрашенного ZnO, существенно изменяется в результате адсорбции на фотопроводник молекул спектрального сенсибилизатора или десенсибилизатора (рис. 8, б, в), что свидетельствует о сложном характере взаимодействия адсорбента с адсорбатом. Представленные в виде отношения плотностей локальных состояний в окрашенном и неокрашенном фотопроводниках эти спектры позволяют отчетливо выделить энергетические участки увеличения ($N_{окр}(E)/N(E) > 1$) и уменьшения ($N_{окр}(E)/N(E) < 1$) заполненных состояний под влиянием адсорбированных красителей. Интегральная плотность заполненных состояний в результате адсорбции трифосфина увеличивается в 1,5 раза, а при адсорбции пинакриптона желтого — в 2,3 раза. При этом под влиянием молекул сенсибилизатора наиболее обогащаются «хвосты» плотности состояний, а после адсорбции молекул десенсибилизатора эти хвосты, наоборот, исчезают, но существенно возрастают полосы у середины запрещенной зоны.

Молекулы сенсибилизатора вследствие их высокой поляризующей способности при адсорбции, по-видимому, увеличивают концентрацию мелких акцепторных состояний как донорного, так и акцепторного типа, лежащих вблизи дна С-зоны и верха V-зоны соответственно. Локализация ими носителей зарядов в темноте в приповерхностной области фотопроводника соответствует дополнительной химической сенсибилизации. При фотовозбуждении красителя в акте сенсибилизации эти заряды делокализуются.

При адсорбции молекул десенсибилизатора, обладающих, как известно, значительной электроноакцепторной способностью, происходит темновая делокализация зарядов с мелких донорных и мелких акцепторных уровняй и усиление уровней вблизи середины запрещенной зоны. Последние могут одинаково эффективно захватывать как электроны, так и дырки, играя роль центров

быстрого канала рекомбинации, уменьшающих время жизни неравновесных носителей заряда.

Таким образом, эти результаты показывают, что краситель, чтобы стать эффективным спектральным сенсибилизатором, должен быть и хорошим химическим сенсибилизатором фотопроводника.

Приведенные результаты со всей очевидностью свидетельствуют о существовании тесной связи между процессом спектральной сенсибилизации фотопроводника с его предварительной химической сенсибилизацией. В то же время необходимость в создании сложной структуры локальных центров, участвующих в сенсибилизированном фотоэффекте, показывает, что управление эффективностью спектральной сенсибилизации с помощью химических добавок к фотопроводнику является сложным процессом.

ЛИТЕРАТУРА

- Джейкс Т. Х. Теория фотографического процесса/Пер. с англ. под ред. А. Л. Картузянского. Л.: Химия, 1980. 672 с.
- Акимов И. А., Черкасов Ю. А., Черкашин М. И. Сенсибилизованный фотoeffект. М.: Наука, 1980.
- Пущайко Е. К.—Докл. АН СССР, 1953, т. 91, с. 1071—1074.
- Акимов И. А., Пущайко Е. К.—Докл. АН СССР, 1955, т. 102, с. 481—484.
- Акимов И. А.—Докл. АН СССР, 1958, т. 121, с. 311—314.
- Акимов И. А.—Физика твердого тела, 1962, т. 4, с. 1549—1558.
- Мильников В. С., Теренин А. Н.—Докл. АН СССР, 1964, т. 155, с. 1167—1170.
- Inoue E., Kokado H., Yamaguchi T.—J. Phys. Chem., 1965, vol. 69, p. 767—774.
- Hayashi Y., Kuroda M., Inami A.—Bull. Chem. Soc. Jpn., 1966, vol. 39, p. 1660—1670.
- Пименов Ю. Д.—Докл. АН СССР, 1967, т. 176, с. 135—138.
- Пущайко Е. К.—Биофизика, 1969, т. 14, с. 810—818.
- Memming R.—Photochem. and Photobiol., 1972, vol. 16, p. 325—333.
- Демидов К. Б., Акимов И. А.—Журн. науч. и прикл. фотографии и кинематографии, 1972, т. 17, с. 463—465.
- Черкасов Ю. А.—Оптика и спектроскопия, 1975, т. 39, с. 1140—1143.
- Bode U., Hauffe K.—J. Electrochem. Soc., 1978, vol. 125, p. 51—58.
- Акимов И. А.—Докл. АН СССР, 1980, т. 251, с. 135—138.
- Акимов И. А.—В кн.: Спектроскопия фотопревращений в молекулах. Л.: Наука, 1977, с. 239—256.
- Чибисов К. В. Природа фотографической чувствительности. М.: Наука, 1980. 404 с.
- Демидов К. Б., Акимов И. А.—Физика и техника полупроводников, 1968, т. 2, с. 210—215.
- Погорян Т. И., Акимов И. А.—Журн. науч. и прикл. фотографии и кинематографии, 1973, т. 18, с. 49—51, 457—459.
- Akimov I., Demidov K., Ionov L., Poughan T.—Phys. status solidi (a), 1975, Bd. 29, S. 359—365.
- Акимов И. А., Демидов К. Б., Мешков А. М.—Журн. науч. и прикл. фотографии и кинематографии, 1972, т. 17, с. 122—125.
- Демидов К. Б., Акимов И. А.—Журн. науч. и прикл. фотографии и кинематографии, 1977, т. 22, с. 66—67.
- Akimov I., Demidov K. In: Papers from the ICPS (Rochester, 1978). Rochester: Inst. of Technol., 1978, p. 59—60.
- Демидов К. Б., Акимов И. А.—Журн. науч. и прикл. фотографии и кинематографии, 1978, т. 23, с. 126—128.
- Винников А. Я., Мешков А. М., Саевушкин В. Н.—Физика твердого тела, 1980, т. 22, с. 2989—2995.
- Бьюб Р. Фотопроводимость твердых тел. М.: Изд-во иностран. лит., 1962, с. 200.
- Демидов К. Б., Титов А. В., Акимов И. А.—Журн. науч. и прикл. фотографии и кинематографии, 1981, т. 26, с. 375—377.
- Акимов И. А., Пущайко Е. К.—В кн.: Фотоэлектрические и оптические явления в полупроводниках. Киев, 1959, с. 301—313.
- Nelson R. C., Jianoulis P.—J. Photogr. Sci., 1974, vol. 22, p. 17—22.
- Демидов К. Б., Акимов И. А.—Журн. науч. и прикл. фотографии и кинематографии, 1980, т. 25, с. 379—381.

Б. И. Шапиро, Л. Я. Каплун, Л. Г. Буркина

ИССЛЕДОВАНИЕ ЭФФЕКТИВНОСТИ АКЦЕПТИРОВАНИЯ ФОТОЭЛЕКТРОНОВ И ДЫРОК В ПРОЦЕССАХ ХИМИЧЕСКОЙ И СПЕКТРАЛЬНОЙ СЕНСИБИЛИЗАЦИИ ОСОБОМЕЛКОЗЕРНИСТЫХ ГАЛОГЕНСЕРЕБРЯНЫХ ЭМУЛЬСИЙ

Одна из основных тенденций в разработке новых особомелкозернистых галогенсеребряных фотоматериалов для голограмм состоит в повышении их светочувствительности (как собственной, «синей», так и дополнительной, «красной»).

Собственная светочувствительность негативных галогенсеребряных фотографических материалов в значительной степени определяется эффективностью раздельного акцептирования электронов и дырок, образовавшихся при фотоизлучении AgHal , т. е. уменьшением доли рекомбинационных процессов.

При этом если дырки должны быть захвачены компонентами эмульсии необходимо, то электроны, напротив, должны быть лишь временно локализованы на акцепторных уровнях и в конце концов через зону проводимости (ЗП) AgHal или поверхностную подзону попасть на центры чувствительности (найболее глубокие ловушки) и дать при реакции с межузельными (или поверхностными) ионами серебра скрытое изображение.

Продукты химической сенсибилизации: восстановительной, сернистой (S) или сернисто-золотой ($\text{S} + \text{Au}$) — как раз и служат акцепторами фотоэлектронов и дырок. Однако относительно их роли в акцептировании фотовоизлучения носителей заряда, особенно в особомелкозернистых эмульсиях (ОМЗ), нет единого мнения. Так, считают, что S -центры могут служить как акцепторами дырок (на ранней стадии химического созревания), так и акцепторами электронов (на последующих стадиях) [1—3].

Эффективность спектральной сенсибилизации, а следовательно, и величина дополнительной светочувствительности определяются, с одной стороны, вероятностью перехода электрона от Kp^* в зону проводимости [4—13] или на поверхности ловушки [14] и затем на центры светочувствительности. Эта вероятность является функцией полярографического потенциала полуволны восстановления красителей $E_{\text{red}}^{\text{red}}$ [6—17]. С другой стороны, спектральная чувствительность в значительной мере зависит от судьбы дырок красителя, которые могут либо служить центрами рекомбинации, либо транслироваться в валентную зону (ВЗ) AgHal и окислять возникшие при захвате электронов центры скрытого изображения. Последний процесс определяется величиной полярографического потенциала полуволны окисления красителей $E_{\text{ox}}^{\text{ox}}$ [6, 7]. Таким образом, процессы спектральной сенсибилизации в значительной мере должны быть связаны с дырочно- и электроноакцепторными функциями продуктов химической сенсибилизации.

Целью настоящего исследования являются изучение роли продуктов химической сенсибилизации в формировании собственной и спектральной чувствительности ОМЗ и оценка возможности достижения предельных величин чувствительности.

В работе исследовалась монодисперсная особомелкозернистая $\text{AgBr}(\text{J})$ -эмulsionia (0,4 мол.% AgJ) со средним размером кубических микрокристаллов $l = 0,065 \text{ мкм}$. Исследовали примитивную эмульсию, эмульсию с S - и $(\text{S} + \text{Au})$ -сенсибилизацией. Такие эмульсии — удобные объекты исследования продуктов химической сенсибилизации, ибо из-за сильно развитой поверхности количества этих, как правило, поверхностных, продуктов значительно увеличено по сравнению с крупнозернистыми эмульсиями.

Для исследования в работе применен метод конкурентных реакций, суть которого состоит в том, что в эмульсию дополнительно вводят соединения с ярко выраженным дырочно- или электроноакцепторными свойствами. По винищу тех или иных дополнительно вводимых акцепторов дырок или элек-

тронов на эмульсию с определенным типом химической сенсибилизации можно судить о функциях центров и об их вкладе в акцептирование либо дырок, либо электронов.

В качестве акцепторов дырок применяли как неорганические, так и органические вещества. Характерным представителем неорганических акцепторов дырок может служить ион $[\text{Fe}(\text{CN})_6]^{4-}$. Нормальный окислительно-восстановительный потенциал системы $[\text{Fe}(\text{CN})_6]^{3-}/[\text{Fe}(\text{CN})_6]^{4-}$ в растворе равен +0,36 В [18]. Из органических акцепторов дырок выбран ряд красителей, адсорбирующихся на поверхности AgHal преимущественно в М-состоянии, полярографический потенциал полуволны окисления которых в спирте $E_{\text{ox}}^{\text{ox}}$ относительно насыщенного каломельного электрода (н.к.э.) варьировали в широком интервале потенциалов — от +0,49 до +1,12 В. Это было сделано с целью нахождения зависимости степени химической сенсибилизации красителями от их окислительных потенциалов.

Химическая сенсибилизация мелкозернистых эмульсий красителями отмечалась в ряде работ [19—21]. Ее связывают с захватом красителем дырки AgHal [19]. Тани [22] действительно наблюдали появление сигналов ЭПР, как он считает, от катион-радикалов красителей, верхний заполненный электронный уровень которых находился на 0,3 эВ выше валентной зоны AgBr .

Условный «нормальный потенциал валентной зоны» AgBr (или потенциал дырок) при 298 К и $p\text{Ag}$ 8,0 оценен равным 1,2 В (относительно н.к.э.) [11]. Для $\text{AgBr}(\text{J})$ -эмulsionий, содержащих 0,4 мол.% AgJ , эта величина практически не должна отличаться от значения для AgBr . Таким образом, ион $[\text{Fe}(\text{CN})_6]^{4-}$ и выбранные красители способны восстанавливать (акцептировать) дырки $\text{AgBr}(\text{J})$. На рис. 1 приведены спектры поглощения исследованных красителей в эмульсии.

В качестве акцепторов электронов применяли ионы серебра. Ионы серебра являются промежуточными ловушками фотоэлектронов, из которых электроны затем за счет тепла решетки могут переходить через зону проводимости (или поверхностную подзону) AgHal на более глубокие ловушки — центры чувствительности. Концентрацию ионов серебра в эмульсии характеризовали равновесной концентрацией ионов в растворе и определяли потенциометрически. Величина $p\text{Ag}$ эмульсии перед поливом в большинстве случаев (за исключением экспериментов по исследованию влияния $p\text{Ag}$ на чувствительность) была равна 8,6.

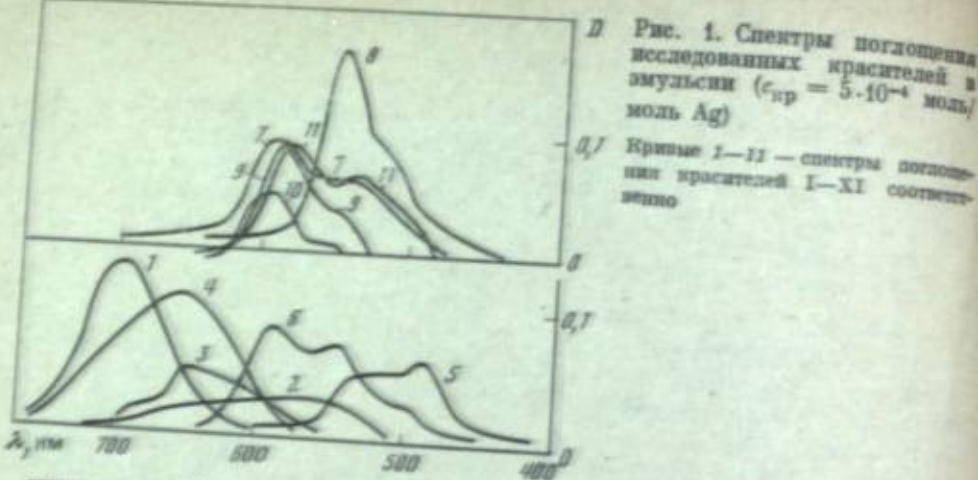
Оптимальная концентрация ферроцианида калия составляла 10^{-3} моль/моль серебра, концентрация красителей — $5 \cdot 10^{-4}$ моль/моль серебра. Все вещества, вводимые дополнительно в эмульсию, не изменяли дисперсности микрокристаллов AgHal , которую контролировали по светорассеянию эмульсии.

Собственную светочувствительность эмульсий определяли на сенситометре ФСР-41 по критерию $S_{0,85+D}$ за синим светофильтром ФС-7 с узкой кривой пропускания ($\lambda_{\text{max}} = 420 \text{ нм}$). Установлено, что все вещества, вводимые в эмульсию, не изменяют поглощения фотослоя в максимуме пропускания светофильтра. Спектральную светочувствительность фотослоев определяли за светофильтрами ЖС-18 (для красителей II, V, VI и VIII), ОС-14 (для красителей VII, IX—XI) и КС-14 (для красителей I, III и IV) в зависимости от максимума поглощения спектрально сенсибилизованных эмульсий (граница пропускания светофильтров 510, 580 и 640 нм соответственно).

Вследствие монодисперсности эмульсий коэффициент контрастности всех исследованных слоев был $\gamma > 6,0$, что нивелировало его влияние на определение светочувствительности и коэффициентов K .

Потенциалы $E_{\text{red}}^{\text{red}}$ и $E_{\text{ox}}^{\text{ox}}$ красителей измерены в метаноле относительно н.к.э. на вращающемся стеклографитовом и ртутном капельном электродах соответственно. Значения редокс-потенциалов приведены в табл. 1 и 2. Для интерпретации приведенных в табл. 1 и 2 экспериментальных данных введены следующие коэффициенты:

K — отношение собственной светочувствительности эмульсии (примитивной, с S - и с $(\text{S} + \text{Au})$ -сенсибилизацией) к величине чувствительности примитивной



D Рис. 1. Спектры поглощения исследованных красителей в эмульсии ($c_{kp} = 5 \cdot 10^{-4}$ моль/моль Ag). Кривые I—XII — спектры поглощения красителей I—XI соответственно.

эмulsion; коэффициент характеризует влияние продуктов химической сенсибилизации, акцепторов электронов и дырок на собственную чувствительность; K_1 — отношение дополнительной светочувствительности примитивной эмульсии с ферроцианидом калия к дополнительной светочувствительности примитивной эмульсии; K_2 — отношение ферроцианида калия на дополнительную чувствительность; K_3 — отношение дополнительной светочувствительности эмульсии с S-сенсибилизацией к дополнительной светочувствительности примитивной эмульсии; характеризует влияние продуктов S-сенсибилизации на спектральную чувствительность; K_4 — отношение дополнительной светочувствительности S-сенсибилизированной эмульсии с ферроцианидом калия и светочувствительности примитивной эмульсии с ферроцианидом калия; характеризует влияние S-сенсибилизации на спектральную светочувствительность эмульсии с ферроцианидом калия; K_5 — отношение дополнительной светочувствительности S-сенсибилизированной эмульсии с ферроцианидом калия к дополнительной светочувствительности S-сенсибилизированной эмульсии без ферроцианида калия; характеризует влияние ферроцианида калия на спектральную чувствительность эмульсии с S-сенсибилизацией; K_6 — отношение дополнительной светочувствительности примитивной эмульсии с красителем и дополнительной светочувствительности примитивной эмульсии; характеризует влияние продуктов (S + Au)-сенсибилизации на дополнительную светочувствительность; K_7 — аналогично K_5 для (S + Au)-сенсибилизированной эмульсии; характеризует влияние (S + Au)-сенсибилизации на спектральную чувствительность эмульсии с ферроцианидом калия; K_8 — аналогично K_5 для (S + Au)-сенсибилизированной эмульсии; характеризует влияние ферроцианида калия на чувствительность эмульсии с (S + Au)-сенсибилизацией.

Табл. 1 иллюстрирует влияние акцепторов дырок и ионов серебра на собственную чувствительность особомолиевернистых эмульсий. Как следует из табл. 1, введение в примитивную эмульсию эффективного акцептора дырок — ферроцианида калия — приводит к двадцатикратному увеличению чувствительности. Коэффициент химической сенсибилизации K красителями меняется в пределах от 0,7 до 20. Наибольшая величина K наблюдается для красителей с $E_{ox}^{red} < 0,5$ В и уменьшается с ростом E_{ox}^{red} . Например, для красителей с $E_{ox}^{red} = -0,8 \sim -1,4$ В химическая сенсибилизация вообще не наблюдается. Для красителей XI с $E_{ox}^{red} = -1,12$ В наблюдается даже десенсибилизация, которую можно объяснить захватом электронов красителем из зоны проводимости AgHai (десенсибилизация 1-го рода), поскольку для этого красителя $E_{ox}^{red} = -0,78$ В. Согласно данным работы [7], уровень десенсибилизации красителем по зоне — потенциалу электронного захвата при $rAg = 8,0$ соответствует потенциальному $E_{ox}^{red} = -0,86$ В (относительно $Ag/AgCl$ -электрода).

Введение ферроцианид-ионов, конкурирующих с красителем, захватывает дырок, снижает собственную чувствительность. При этом значения коэффициента K для различных красителей уменьшаются и приближаются к 20

Таблица 1
Влияние акцепторов дырок и ионов серебра на собственную светочувствительность ОМЭЗ (проявитель Д-19, время проявления 5 мин).

Краситель	Вводимые вещества	$K_{AgFe(CN)_3}^*$	K			E_{ox}^{red}, V	E_{ox}^{red}, V
			Примитивная	с S-сенсибилизацией	с (S+Au)-сенсибилизацией		
—	Контрольная эмульсия	—	1,0	5,0	65	—	—
—	$AgNO_3$ **	+	20	40	120	—	—
I	3-Аллил-3'-этил-4',5'-дифенил-4-кето-5(3'-этил-5'-метоксибензтиазолинилиден-2'-этоксибутенил)тиазолинотиазолоциантиазолсульфат	—	80	130	200	—	—
II	3,3'-Диэтил-5,5'-бис(диметиламино)тиакарбоцианинодиод	—	10	35	230	0,49	-0,97
III	Триэтиламиновая соль 3-этил-3'-γ-сульфоциан-4'-фенил-4-кето-5(3'-γ-сульфоциан-4'-фенилтиазолинилиден-2'-этаптил)тиазолинотиазолоцианнитетамина	+	20	45	200	0,50	-1,05
	То же + $AgNO_3$ **	—	25	30	230	0,52	-1,20
IV	3,3'-Диэтил-4',5'-дифенил-4-кето-5(3'-этил-4',5'-дифенилтиазолинилиден-2'-этаптил)тиазолинотиазолоцианнитетамина	—	90	130	210	—	—
V	1,1',3,4'-Тетраэтил-5,5'-бис(диметилсульфамидо)имида карбоцианинодиод	+	20	40	240	0,59	-1,17
VI	3,3'-Диэтил-6,6'-диметилтиакарбоцианинодиод	—	1,0	15	85	0,75	-1,08
VII	3,3'-Диэтил-5,5'-диметилтиакарбоцианинодиод	—	20	45	300	0,77	-1,06
VIII	3,3'-Диэтил-5,5',6,6'-тетраметилтиакарбоцианинодиод	—	6,0	10	100	0,81	-1,24
IX	3,3'-Диэтилтиакарбоцианинодиод	—	20	35	300	0,82	-1,09
X	3,3'-Диэтил-5,5'-дихлортитиакарбоцианинодиод	—	1,0	3,0	60	0,99	-0,87
XI	3,3'-Диэтил-5,5'-бис(трифторметил)тиакарбоцианинодиод	—	0,7	—	45	1,12	-0,78
	+	13	—	100	—	—	—

* Газор $K_{AgFe(CN)_3}$ взяты изводим через краситель.

** Значки доводки до такого значения раб. при котором уровень звука не превышал 0,05—0,08.

и самого ферроцианид-иона. Таким образом, акцептирование дырок красителями в примитивной эмульсии не обеспечено, особенно красителями с $E_{ox}^{red} > 0,75$ В.

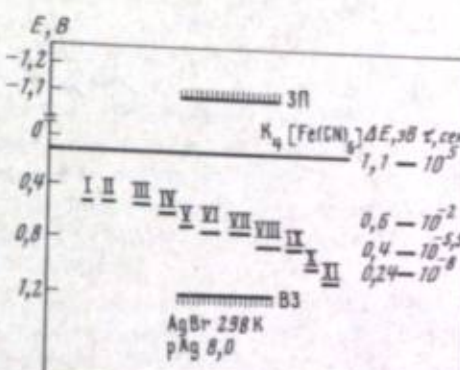
При введении в примитивную эмульсию ионов серебра наблюдается наибольший прирост светочувствительности ($K = 80$), вероятно, за счет эффективности захвата электронов, приводящего к образованию скрытого изображения [2]. Так как действие ионов серебра обратимо (при повышении rAg до 8,6 [2]), то повышение светочувствительности достигала исходного значения. Вдув светочувствительности за счет протекания восстановительной сенсибилизации не включается. Совместное введение акцепторов дырок и электронов в эмульсию (см. табл. 1 и работу [2]) не дает аддитивного эффекта, и достигаемый уровень светочувствительности практически соответствует уровню, достиженному только акцептированием электронов. Здесь возможна по крайней мере два объяснения: либо выше избыточной концентрации ионов серебра на поверхности

повышению чувствительности. Автор связывает граничное значение $E_{1/2}^{\text{Ox}} = -0,5$ В с потенциалом ($S + \text{Au}$)-центров, образовавшихся в процессе химической сенсибилизации. Согласно же нашим данным, характер влияния красителей на собственную чувствительность практически одинаков как на примитивных эмульсиях, так и на эмульсиях с различным типом химической сенсибилизации.

Красители с $E_{1/2}^{\text{Ox}} = 0,8 \div 1,1$ В либо вызывают незначительный прирост светочувствительности эмульсий с ($S + \text{Au}$)-сенсибилизацией, либо не изменяют ее. Для таких красителей дополнительное введение ферроцианида калия вызывает рост K . Необходимо отметить, что в ряде случаев красители оказы-

Рис. 2. Схема расположения высших заполненных электронных уровней исследованных красителей (в шкале электрохимических потенциалов) относительно валентной зоны AgBr при 298 К и $p\text{Ag} = 8,0$

Красители I—XI см. в табл. 1.
 $\Delta E = (\ln v)/kT$, $v = 10^{12}$



вают большее влияние на эмульсии с S - и ($S + \text{Au}$)-сенсибилизацией, чем на примитивную, что может быть связано с большей избирательностью адсорбции красителей на центрах сернистой сенсибилизации.

На рис. 2 приведена схема расположения высших заполненных электронных уровней исследованных красителей (в шкале электрохимических потенциалов) относительно валентной зоны AgHal . Различие потенциалов, измеренных относительно Ag/AgCl -электрода и н.к.э., в пределах точности фотографического эксперимента несущественно. Потенциал системы $[\text{Fe}(\text{CN})_6]^{4-}/[\text{Fe}(\text{CN})_6]^{3-}$ относительно н.к.э. равен 0,12 В.

Как следует из рис. 2, окислительные потенциалы красителей I—IV, приходящих к химической сенсибилизации, больше, чем потенциал иона $[\text{Fe}(\text{CN})_6]^{4-}$. С этим может быть связана меньшая эффективность химической сенсибилизации примитивных эмульсий красителями в сравнении с ионом $[\text{Fe}(\text{CN})_6]^{4-}$. Можно было бы предположить, что отсутствие аддитивного эффекта при введении композиции этих красителей и ферроцианида калия связано с вытеснением красителя с поверхности AgHal ионами $[\text{Fe}(\text{CN})_6]^{4-}$. Однако, как было показано специальными опытами (см. ниже), ферроцианид калия для ряда красителей даже увеличивает эффективность спектральной сенсибилизации, что было бы невозможным при десорбции красителя. По-видимому, композиция краситель + ферроцианид калия, так же как и один ферроцианид калия, обеспечивает практически полный захват дырок AgHal .

Отсутствие или малая величина химической сенсибилизации красителями с $E_{1/2}^{\text{Ox}} > 0,75$ В могут быть связаны со значительной вероятностью последующей инъекции образующихся дырок красителя в валентную зону или поверхностную подзону AgHal .

На рис. 2 приведены оценочные времена жизни дырки красителя (до ее инъекции в валентную зону) в зависимости от энергетической щели между валентной зоной и уровнем дырки красителя (ΔE). Оценка сделана для частотного фактора, равного 10^{12} [14]. Таким образом, для $\Delta E^\circ \leq 0,4$ В время жизни перманентной дырки красителя не должно превышать $10^{-6,5}$ сек, т. е. вероятность ее инъекции в валентную зону действительно велика. Согласно работе [7], инъекция дырок красителя в глубь $\text{AgBr}(J)$ -микрокристаллов при $p\text{Ag} = 8,0$ наблюдается для красителей с $E_{1/2}^{\text{Ox}} > 0,85$ В ($\Delta E^\circ = 0,35$ В).

Если предположить, что вероятность захвата дырок AgHal подобными красителями в присутствии ферроцианида калия остается такой же, как и без

Таблица 2

Влияние акцепторов электронов и дырок на дополнительную светочувствительность ОМЭЭ (проявитель Д-19, время проявления 5 мин)

Краси- тель	Прими- тивная эмуль- сия	Эмульсия с S-сенсибилизацией				Эмульсия с (S + Au)-сенсиби- лизацией			$E_{1/2}^{\text{Ox}}$, В	$E_{1/2}^{\text{Red}}$, В
		K_1	K_2	K_3	K_4	K_1	K_2	K_3		
I	1,2	3,9	2,0	1,0	45	24	1,0	0,49	-0,97	
II	1,0	1,2	2,1	1,0	25	25	1,2	0,50	-1,05	
III	1,0	1,7	2,9	1,0	20	20	1,0	0,52	-1,20	
IV	1,5	2,2	0,7	0,7	24	20	0,6	0,59	-1,47	
V	4,0	2,3	2,2	3,6	15	6,5	1,7	0,71	-1,48	
VI	7,5	10	3,3	2,5	125	50	3,0	0,75	-1,08	
VII	13	23	3,6	2,0	200	3,2	2,1	0,77	-1,06	
VIII	17	18	2,7	2,7	165	25	2,7	0,81	-1,24	
IX	10	2,7	2,0	7,5	55	42	2,0	0,82	-1,00	
X	22	2,6	1,2	9,6	80	10	2,5	0,99	-0,87	
XI	90	-	-	-	-	15	1,5	1,12	-0,78	

AgHal затруднен выход дырок, образовавшихся в объеме микрокристалла, для последующей реакции с акцепторами дырок на поверхности, либо канал захвата электронов столь эффективен, что дырки не разрушают образующееся скрытое изображение.

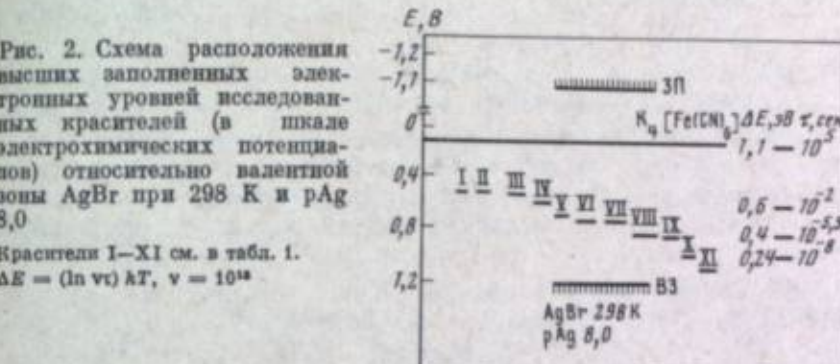
Сернистая сенсибилизация приводит к росту K до 5. Введение конкурирующих с продуктами S-сенсибилизации акцепторов дырок — ионов $[\text{Fe}(\text{CN})_6]^{4-}$ — увеличивает K до 40, т. е. в два раза больше, чем для примитивной эмульсии. Таким образом, можно предположить, что продуктам S-сенсибилизации присуща электроноакцепторная функция. Однако если этот так, то электроноакцепторная функция выражена слабо, ибо введение в примитивную эмульсию эффективных акцепторов электронов — ионов серебра — (до pAg 6,0) позволяет достичнуть значительно большей величины K . Для красителей с $E_{1/2}^{\text{Ox}} \approx 0,5 \div 0,6$ В величина K для эмульсии с S-сенсибилизацией составляет 30–40, т. е. близка к значению K при введении ферроцианида калия. Это еще раз свидетельствует о дырочноакцепторных свойствах подобных красителей. Действительно, дополнительное введение ионов $[\text{Fe}(\text{CN})_6]^{4-}$, конкурирующих с красителем за захват дырок, практически не изменяет K для подобных красителей. Красители с $E_{1/2}^{\text{Ox}} \approx 0,8 \div 1,1$ В либо не увеличивают эффективность химической сенсибилизации, либо приводят к ее росту, однако меньшему по сравнению с красителями с $E_{1/2}^{\text{Ox}} \approx 0,5$ В.

Проведение (S + Au)-сенсибилизации вызывает значительный прирост светочувствительности эмульсии ($K = 65$). Светочувствительность этих эмульсий на порядок выше, чем образцов с S-сенсибилизацией. Вероятно, рост светочувствительности при введении ионов золота связан с акцептированием электронов и с увеличением стабильности центров скрытого изображения при «зачечии» [24]. Дополнительное введение ферроцианида калия вызывает двухкратное увеличение K , следовательно, акцептирование дырок в эмульсии с (S + Au)-сенсибилизацией не обеспечено. Еще более значительный рост K характерен для красителей с $E_{1/2}^{\text{Ox}} = 0,5 \div 0,6$ В. Следовательно, такие красители выступают в роли дополнительных химических сенсибилизаторов эмульсий с (S + Au)-сенсибилизацией.

В работе [19] изучалось влияние красителей на собственную чувствительность AgBr(J)-эмulsion с (S + Au)-сенсибилизацией ($l = 0,05$ и $0,18$ мкм). При этом найден рост собственной светочувствительности с уменьшением $E_{1/2}^{\text{Ox}}$ до $\sim 0,5$ В. Дальнейшее уменьшение $E_{1/2}^{\text{Ox}}$ не приводит к дополнительному

повышению чувствительности. Автор связывает граничное значение $E_{1/2}^{\text{Ox}} = 0,5$ В с потенциалом (S + Au)-центров, образовавшихся в процессе химической сенсибилизации. Согласно же нашим данным, характер влияния красителей на собственную чувствительность практически одинаков как на примитивных эмульсиях, так и на эмульсиях с различным типом химической сенсибилизации.

Красители с $E_{1/2}^{\text{Ox}} = 0,8 \div 1,1$ В либо вызывают незначительный прирост светочувствительности эмульсий с (S + Au)-сенсибилизацией, либо не изменяют ее. Для таких красителей дополнительное введение ферроцианида калия вызывает рост K . Необходимо отметить, что в ряде случаев красители оказы-



вают большее влияние на эмульсии с S- и (S + Au)-сенсибилизацией, чем на примитивную, что может быть связано с большей избирательностью адсорбции красителей на центрах сернистой сенсибилизации.

На рис. 2 приведена схема расположения высших заполненных электронных уровней исследованных красителей (в шкале электрохимических потенциалов) относительно валентной зоны AgHal. Различие потенциалов, измеренных относительно Ag/AgCl-электрода и и.к.э., в пределах точности фотографического эксперимента несущественно. Потенциал системы $[\text{Fe}(\text{CN})_6]^{4-}/[\text{Fe}(\text{CN})_6]^{3-}$ относительно и.к.э. равен 0,12 В.

Как следует из рис. 2, окислительные потенциалы красителей I–IV, принадлежащих к химической сенсибилизации, больше, чем потенциал иона $[\text{Fe}(\text{CN})_6]^{4-}$. С этим может быть связана меньшая эффективность химической сенсибилизации примитивных эмульсий красителями в сравнении с ионом $[\text{Fe}(\text{CN})_6]^{4-}$. Можно было бы предположить, что отсутствие аддитивного эффекта при введении композиции этих красителей и ферроцианида калия связано с вытеснением красителя с поверхности AgHal ионами $[\text{Fe}(\text{CN})_6]^{4-}$. Однако, как было показано специальными опытами (см. ниже), ферроцианид калия для ряда красителей даже увеличивает эффективность спектральной сенсибилизации, что было бы невозможным при десорбции красителя. По-видимому, композиция краситель + ферроцианид калия, так же как и один ферроцианид калия, обеспечивает практически полный захват дырок AgHal.

Отсутствие или малая величина химической сенсибилизации красителями с $E_{1/2}^{\text{Ox}} > 0,75$ В могут быть связаны со значительной вероятностью последующей инъекции образующихся дырок красителя в валентную зону или поверхность подзону AgHal.

На рис. 2 приведены оценочные времена жизни дырки красителя (до ее инъекции в валентную зону) в зависимости от энергетической щели между валентной зоной и уровнем дырки красителя (ΔE°). Оценка сделана для частотного фактора, равного 10^{12} [14]. Таким образом, для $\Delta E^\circ < 0,4$ В время жизни перманентной дырки красителя не должно превышать $10^{-3,5}$ сек, т. е. вероятность ее инъекции в валентную зону действительно велика. Согласно работе [7], инъекция дырок красителя в глубь AgBr(J)-микрокристаллов при pAg 8,0 наблюдается для красителей с $E_{1/2}^{\text{Ox}} > 0,85$ В ($\Delta E^\circ = 0,35$ В).

Если предположить, что вероятность захвата дырок AgHal подобными красителями в присутствии ферроцианида калия остается такой же, как и без

вого, то рост K_3 для композиции краситель + ферроцианид калия до некоторого предельного значения (см. табл. 1) может быть связан либо с переносом дырок красителей ионами $[Fe(CN)_6]^{4-}$, либо с акцептированием ионами дырок, выделенных из катион-радикала красителя обратно в валентную зону. Вероятно, что рост чувствительности при введении ферроцианида калия просто связан с присоединением дырок $AgHal$ ферроцианид-ионам.

Когда лавинные электронов на эмульсиях с S-сенсибилизацией более эффективны по сравнению с такими же процессами на эмульсиях ($K = 130$). Но введение с $(S + Au)$ -сенсибилизацией приводит однократный прирост, связанный как введение акцепторов электронов, так и введение акцепторов дырок, за исключением $K_3[Fe(CN)_6]$. Аддитивный эффект при совместном введении ферроцианида калия и электронов на эмульсиях с S- и $(S + Au)$ -сенсибилизацией отсутствует (см. табл. 1 и работу [23]).

На основании полученных результатов можно заключить, что дырочноакцепторный прирост природы S- и $(S + Au)$ -сенсибилизации особенно характеризует лавинный контингент полупроводниковому потенциальному, не меньшему 0,5 В. Правда, необходимо отметить, что подобные цепочки являются весьма грубой, так как спектральная сенсибилизация определяется не столько полупроводниковым потенциалом, сколько качественной «акцепторно-дополнительной» природой красителей, которая в первую очередь зависит от величины активационных барьеров и концентрации реагентов.

Примечание в табл. 2 значения коэффициентов K_4 — K_7 характеризуют «дополнительные» и «акцепторные» свойства продуктов химической сенсибилизации в процессах спектральной сенсибилизации. Поскольку величина дополнительной чувствительности определяется различными спектральными признаками, то эти результаты можно качественно сравнивать лишь для одного и того же красителя, а сопоставление данных для разных красителей может быть только качественным.

Коэффициент K_5 характеризует суперсенсибилизирующее действие ферроцианида калия, которое отчетливо проявляется на красителях с $E_{1/2}^{ox} > 0,7$ В. По-видимому, эффект суперсенсибилизации ферроцианид-ионами связан с введением ионов $[Fe(CN)_6]^{4-}$ либо дырок красителей, либо дырок, выделенных из катион-радикала красителя в валентную зону, и с уменьшением величины дырок реабсорбционных процессов. Ферроцианид калия практически не влияет на эффективность спектральной сенсибилизации красителями с $E_{1/2}^{ox} \approx 0,5$ В, вероятно на то что потенциал окисления ферроцианид-ионов (согласно данным по собственной чувствительности $AgHal$) меньше этой величины. Вероятное объяснение этому может быть в том, что отсутствует непосредственный контакт между красителем и ферроцианид-ионами, из-за чего акцепт дырок красителя ионом может осуществляться только через валентную зону (или полировочную подшину) $AgHal$. Поскольку вероятность инъекции дырок сравнительно велика лишь для красителей с $E_{1/2}^{ox} > 0,75$ В, то только для таких красителей и можно ожидать суперсенсибилизацию ферроцианидом. Так как вероятность инъекции дырок должна увеличиваться с ростом $E_{1/2}^{ox}$, то в этом же направлении должен изменяться суперсенсибилизирующий эффект ферроцианида калия, что соответствует данным табл. 2.

Сернистая сенсибилизация (K_6) приводит к несколько большему росту дополнительной чувствительности, создаваемой красителями с $E_{1/2}^{ox} \approx 0,5$ В, чем введение ферроцианида калия, что связано с отмеченной выше электроноакцепторной функцией продуктов S-сенсибилизации. Значительно больший прирост, наблюдаемый для некоторых красителей с $E_{1/2}^{ox} > 0,75$ В, может быть связан с дырочноакцепторной функцией центров S-сенсибилизации. Электроноакцепторные свойства сернистых центров особенно проявляются на эмульсиях с ферроцианидом калия, в которых обеспечено акцептирование дырок (величина K_3). В этом случае для большинства красителей наблюдается двухкратный прирост чувствительности.

Коэффициент K_7 характеризует влияние ферроцианида калия на спектральную чувствительность эмульсии с S-сенсибилизацией. Из табл. 2 следует, что продукты S-сенсибилизации в отличие от ферроцианида калия не полностью

обеспечивают акцептирование дырок красителей с $E_{1/2}^{ox} > 0,7$ В (ср. K_4 и K_1), благодаря чему ферроцианид-ионы на эмульсиях с S-сенсибилизацией проявляют суперсенсибилизирующий эффект по отношению к упомянутым красителям.

Большая величина коэффициента K_5 связана с возрастанием эффективности захвата фотоэлектронов центрами, образующимися при $(S + Au)$ -сенсибилизации. Этот канал разделения фотовоизбужденных носителей заряда особенно важен для красителей с активными дырками, т. е. с $E_{1/2}^{ox} > 0,75$ В. Возможно, что здесь проявляется и дырочноакцепторная функция $(S + Au)$ -центров. Роль остаточных дырочных процессов на $(S + Au)$ -эмulsionах характеризуется коэффициентом K_6 , который для красителей с $E_{1/2}^{ox} > 0,75$ В значительно меньше K_5 .

Коэффициент K_7 оценивает суперсенсибилизирующий эффект ферроцианида калия на эмульсиях с $(S + Au)$ -сенсибилизацией. Наблюдаемый двух-трехкратный рост дополнительной светочувствительности для красителей с $E_{1/2}^{ox} > 0,7$ В связан с акцептированием дырок красителей. Этот коэффициент характеризует «запас» спектральной светочувствительности особомелкозернистых эмульсий для сенсибилизаторов с $E_{1/2}^{ox} > 0,75$ В.

Таким образом, показано, что метод конкурентных реакций является информативным при изучении электроно- и дырочноакцепторных функций продуктов химической сенсибилизации, а также при исследовании процессов спектральной сенсибилизации. Методом конкурентных реакций установлено, что химическая сенсибилизация красителями примитивных особомелкозернистых эмульсий, эмульсий с S- и $(S + Au)$ -сенсибилизацией обусловлена захватом дырок $AgHal$; при этом условие эффективной химической сенсибилизации для всех исследованных типов эмульсий единое: необходимо, чтобы $E_{1/2}^{ox} < 0,5$ В (относительно н.к.э.). Этим же методом показано, что продукты S-сенсибилизации особомелкозернистых эмульсий в области собственной чувствительности $AgHal$ проявляют слабые электроно- и дырочноакцепторные свойства. Для продуктов $(S + Au)$ -сенсибилизации в значительно большей степени характерны электроноакцепторные свойства; подобные продукты, однако, не обеспечивают акцептирование дырок.

Продукты S-сенсибилизации в процессах спектральной сенсибилизации проявляют как электроноакцепторные, так и дырочноакцепторные свойства, при этом электроноакцепторные свойства выявляются на всех красителях, а дырочноакцепторные — лишь на красителях с $E_{1/2}^{ox} > 0,75$ В. Продукты $(S + Au)$ -сенсибилизации в спектрально сенсибилизованных эмульсиях обладают в основном электроноакцепторными свойствами; дырочноакцепторные свойства, вероятно, проявляются в случае красителей с $E_{1/2}^{ox} > 0,75$ В. Ферроцианид-ионы являются суперсенсибилизаторами для красителей с $E_{1/2}^{ox} > 0,75$ В на всех исследованных типах эмульсий из-за неполного акцептирования дырок красителей продуктами химической сенсибилизации. Суперсенсибилизирующий эффект максимальен на примитивных эмульсиях и несколько меньше на химически сенсибилизованных особомелкозернистых эмульсиях.

На основании проведенных исследований может быть сделан вывод о том, что традиционная сернисто-золотая сенсибилизация особомелкозернистых эмульсий не обеспечивает достижения предельных величин светочувствительности и имеется некоторый «запас» как по собственной, так и по дополнительной светочувствительности.

Авторы выражают благодарность Э. Б. Лишиц за помощь при постановке работы.

ЛИТЕРАТУРА

1. Миз К., Джеймс Т. Теория фотографического процесса/Пер. с англ.; Под ред. А. Л. Картузянского, В. Н. Синцова. Л.: Химия, 1973, с. 122—125.
2. Мейклар П. В. Физические процессы при образовании скрытого изображения. М.: Наука, 1972, с. 241.
3. Мейклар П. В.—Журн. науч. и прикл. фотографии и кинематографии, 1977, т. 22, с. 308—314.
4. Dahne S.—In: Dye Sensitization: Symp. (Bressanone, 1967)/Ed. F. Berg, U. Mazzucato, M. Metier, G. Semerano. L.: Focal press, 1970, p. 69—91.
5. Tani T., Kikuchi S., Honda K.—Photogr. Sci. and Eng., 1968, vol. 12, p. 80—89.
6. Tani T.—Photogr. Sci. and Eng., 1970, vol. 14, p. 237—247.
7. Berriman R. W., Gilman P. B.—Photogr. Sci. and Eng., 1973, vol. 17, p. 235—243.
8. Gilman P. B.—Photogr. Sci. and Eng., 1974, vol. 18, p. 475—485.
9. Carroll B. H.—Photogr. Sci. and Eng., 1977, vol. 23, p. 151—163.
10. Gilman P. B.—Pure and Appl. Chem., 1977, vol. 49, p. 357—377.
11. Шапиро Б. И.—Журн. науч. и прикл. фотографии и кинематографии, 1977, т. 22, с. 143—156.
12. Dietz F.—J. Signal A. M., 1978, Bd. 6, S. 245—266, 341—361.
13. Dahne S.—Photogr. Sci. and Eng., 1979, vol. 23, p. 219—239.
14. James T. H.—Photogr. Sci. and Eng., 1972, vol. 16, p. 120—125.
15. Tani T., Kikuchi S.—Rep. Inst. Industr. Sci. Univ. Tokyo, 1968, vol. 18, p. 58—138.
16. Sturmer D. M., Gaugh W. S., Brushchi B. J.—Photogr. Sci. and Eng., 1974, vol. 18, p. 49, 56—63.
17. James T. H.—Photogr. Sci. and Eng., 1974, vol. 18, p. 100—108.
18. Справочник химика. М.; Л.: Химия, 1964, т. 3.
19. Leubner I. H.—Photogr. Sci. and Eng., 1976, vol. 20, p. 61—68.
20. Шиба К., Кубодера С.—В кн.: Международный конгресс по фотографической науке (Москва, 1970): Докл. М.: Внешторгиздат, 1970, с. 250—253.
21. Натансон С. В., Климо Э. Ф., Сергеева Э. Н.—В кн.: Проблемы голограммы. М.: МИРЭА, 1973, вып. 3, с. 105—108.
22. Tani T.—Photogr. Sci. and Eng., 1975, vol. 19, p. 356—363.
23. Капалун Л. Я., Шапиро Б. И., Бозомолов К. С.—Журн. науч. и прикл. фотографии и кинематографии, 1980, т. 25, с. 142—144.
24. Faelens P. A.—In: Papers from the ICPS (Rochester, 1978). Rochester: Inst. of Technol., 1980, p. 127—129.

УДК 547.712
3. Ф. Климо, Э. Н. Сергеева, И. И. Кононенко, М. А. Альперович,
Б. И. Шапиро

О ВЗАИМОДЕЙСТВИИ ПОЛИКАРБОЦИАНИНОВ С КОМПОНЕНТАМИ ФОТОГРАФИЧЕСКОЙ ГАЛОГЕНСЕРЕБРЯНОЙ ЭМУЛЬСИИ

Светочувствительность инфракрасмических слоев, сенсибилизованных поликарбонатными красителями, значительно возрастает при понижении rAg системы, а также при введении в эмульсию различных суперсенсибилизирующих соединений [1—4]. Механизм действия этих факторов недостаточно выяснен. В частности, нет данных о влиянии rAg и суперсенсибилизаторов на характер поглощения и стабильность поликарбонатных в эмульсии.

Нами высказано предположение о том, что рост светочувствительности инфраслоев под влиянием ионов Ag^+ и суперсенсибилизаторов может быть связан с повышением интенсивности поглощения M-полосы красителя и его стабильности в адсорбированном состоянии.

Для проверки этой гипотезы были изучены спектры поглощения и стабильность 3,3'-диэтил-9,11,9',11'-бис(β,β-диметилтриметилен)-тиапентакарбонатниода (Кр-1) и 3,3'-диэтилтиапентакарбонатниода (Кр-2) в водно-спиртовых и водно-желатиновых растворах без AgHal-эмulsion и с добавкой ее. Кроме того, светочувствительность сенсибилизированной AgHal-эмulsion исследована в зависимости от rAg и присутствия суперсенсибилизатора — дигидро-*p*-анизил-фенилфосфина.

Во всех опытах использовали особомелкозернистую $\text{AgBr}(\text{J})$ -эмulsion (3 мол. % AgJ) со средним размером микрокристаллов $d = 0,05 \text{ мкм}$. Применение такой эмульсии, обладающей малым рассеянием и отражением, позволило непосредственно получить спектры поглощения красителей в эмульсии в ИК-области спектра. Измерения проводили на спектрофотометре EPS-3T фирмы «Хитачи».

Таблица 1

Зависимость поглощения D 3,3'-диэтил-9,11,9',11'-бис(β,β-диметилтриметилен)-тиапентакарбонатниода от величины rAg и времени выставления эмульсии при 40° С

Номер опыта	rAg	Время выставления эмульсии, мин.	Суперсенсибилизатор	λ_{\max} , нм	D	$D_{\text{иск}}/D$
1	4,6	5	Отсутствует	1043	0,73	—
2		18	*	1043	0,60	1,21
3		30	*	1043	0,51	1,43
4		5	Присутствует	1043	0,59	—
5		18	*	1043	0,47	1,25
6		30	*	1043	0,40	1,47
7	5,6	5	Отсутствует	1048	0,69	—
8		18	*	1048	0,41	1,68
9		30	*	1048	0,37	1,86
10		5	Присутствует	1058	0,78	—
11		18	*	1058	0,72	1,08
12		30	*	1058	0,69	1,13
13	7,6	5	Отсутствует	1059	0,33	—
14		18	*	1059	0,16	2,06
15		30	*	1059	0,13	2,53
16		5	Присутствует	1072	1,00	—
17		18	*	1072	0,94	1,06
18		30	*	1072	0,90	1,10

Примечание. $D_{\text{иск}}$ — оптическая плотность при времени выставления 5 мин.

Таблица 2

Влияние суперсенсибилизатора на поглощение 3,3'-диэтил-9,11,9',11'-бис(β,β-диметилтриметилен)-тиапентакарбонатниода в эмульсии (rAg 5,6) при различном способе введения суперсенсибилизатора

Номер опыта	Время выставления эмульсии с Кр-1, мин	Суперсенсибилизатор	λ_{\max} , нм	D	$D_{\text{иск}}/D$
1	5	Отсутствует	1047	0,54	—
2	10	*		0,42	1,28
3	20	*		0,29	1,86
4	5	Вводился до красителя	1059	1,04	—
5	10	То же		0,98	1,06
6	20	*		0,86	1,20
7	10	Вводился после красителя через 5 мин	~1062	0,78	1,33
8	20	То же		0,72	1,44
9	20	10 мин		0,70	1,48
10	20	15 мин		0,60	1,73

Примечание. В опытах с суперсенсибилизатором за $D_{\text{иск}}$ принято значение D из опыта 4.

Полученные результаты представлены на рис. 1—6 и в табл. 1 и 2. Из рис. 1 следует, что по мере увеличения содержания воды в водно-спиртовых смесях наблюдается трансформация спектра, характерная для спиртового раствора Кр-1, а именно изменение соотношения интенсивностей длинноволновой ($\lambda_{\max} = 980 \text{ нм}$) и коротковолновой ($\lambda_{\max} = 780 \text{ нм}$) полос в пользу последней. Добавление желатины приводит к появлению новой полосы ($\lambda_{\max} = 710 \text{ нм}$) в еще более коротковолновой области спектра. Эта полоса может быть обусловлена образованием агрегатов красителя (типа Н-агрегатов) на желатине, которая при этом играет роль ориентирующей матрицы [5].

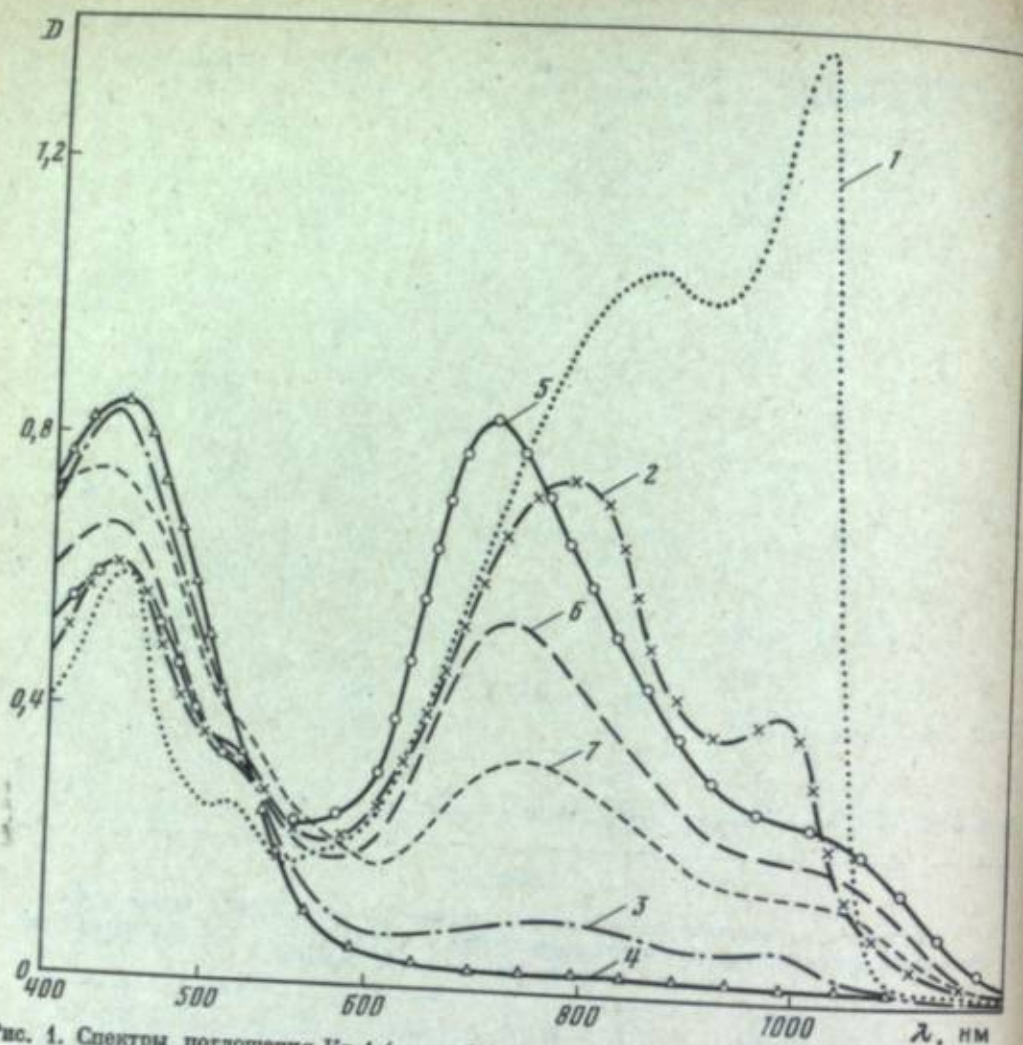


Рис. 1. Спектры поглощения Кр-1 ($c_{\text{кр}} = 2,5 \cdot 10^{-6} \text{ M}$) в растворах
1 — в 96%-ном спирте; 2—4 — в водно-спиртовой смеси (2 : 1); 5—7 — в водно-спиртовой смеси (4 : 1)
с добавлением 1% желатины.
Время выставления при 40° С, мин: 1, 2, 5 — 1; 3, 4, 7 — 20; 6, 8 — 50

Если по аналогии с интерпретацией спектров поглощения в спирте [6] коротковолновую полосу поглощения красителя отнести к электронодонорно-акцепторным комплексам (ЭДА-комплексам) красителей с компонентами среды, то на основании полученных спектров можно заключить, что равновесие в системе краситель—вода сильнее смещено в сторону ЭДА-комплексов, чем в спирте, благодаря чему резко падает длинноволновое поглощение молекулярной формы Кр-1. Характерно, что со временем наблюдается резкое падение интенсивности ИК-полос поглощения Кр-1, что может быть связано с образованием продуктов присоединения молекул воды и спирта по двойным связям полиметиновой цепи красителя [7]. Действительно, при этом в видимой области спектра наблюдается рост интенсивности полосы с $\lambda_{\text{max}} = 440 \text{ нм}$, очевидно относящейся к указанному продукту присоединения. Желатина тормозит деградацию красителя. Аналогичные изменения спектров поглощения красителя в водно-спиртовых и водно-желатиновых растворах наблюдаются и для Кр-2.

Интенсивность полос поглощения тиапентакарбоцианинов в водно-желатиновом растворе существенно зависит от pAg (рис. 2) и резко падает при уменьшении pAg до 5,6, что происходит, по-видимому, за счет реакции Кр-1 с ионами Ag^+ [6]. Скорость обесцвечивания Кр-1 в интервале $\text{pAg} = 6,1 \rightarrow 8,6$ изменяется мало. Таким образом, в водно-желатиновых и особенно в водно-спиртовых растворах исследованные красители нестабильны. Время полураспада Кр-1 при $\text{pAg} = 6,1 \rightarrow 8,6$ составляет примерно 25 мин.

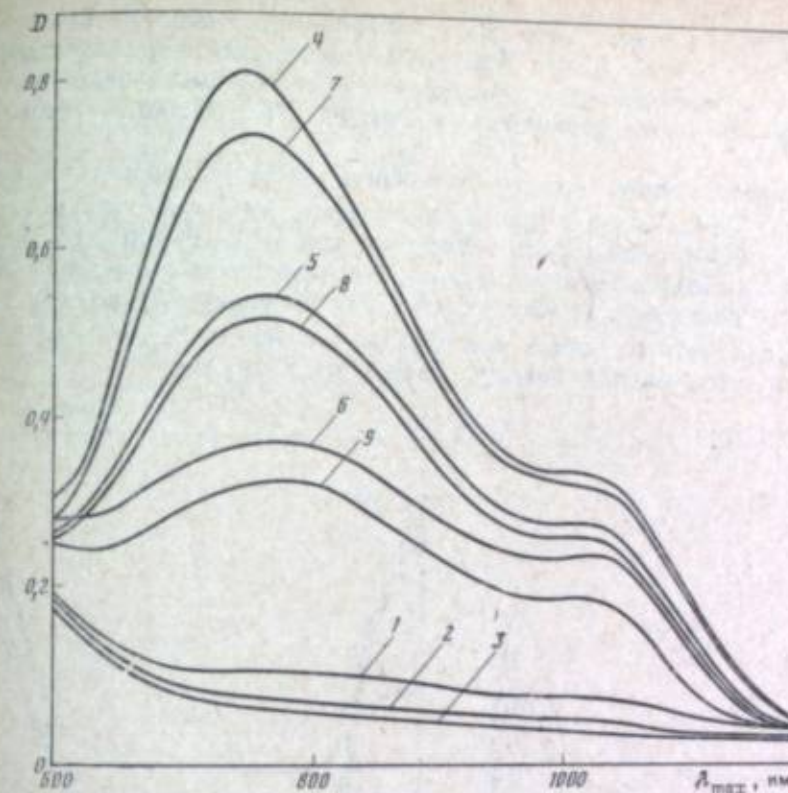


Рис. 2. Спектры поглощения Кр-1 ($c_{\text{кр}} = 4 \cdot 10^{-6} \text{ M}$) в 3%-ном водно-желатиновом растворе при различных pAg
 $\text{pAg}: 1—3 = 5,6; 4—6 = 6,1; 7—9 = 8,6$.
Время выставления раствора при 40° С, мин: 1, 4, 7 — 5; 2, 3, 8 — 15; 5, 6, 9 — 30

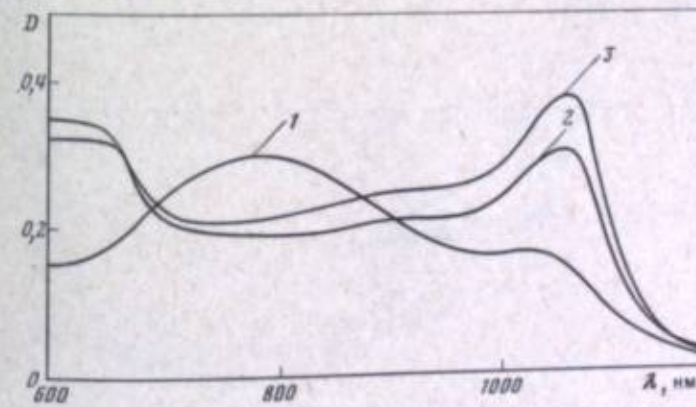


Рис. 3. Спектры поглощения Кр-1
1 — в водно-желатиновом растворе; 2 — после добавления к раствору AgHal-эмulsionи; 3 — после разбавления AgHal-эмulsionи водно-желатиновым раствором. Концентрация желатины — 1,5%; красителя — $1,7 \cdot 10^{-6}$ моль/л; AgHal — 0,14 моль/л. Измерение проведено через 15 мин после введения красителя

Добавление эмульсии к водно-желатиновому раствору красителя вызывает существенное изменение спектра: увеличивается интенсивность М-полосы и наблюдается смещение ее в длинноволновую область за счет снижения интенсивности коротковолновой полосы. Длинноволновая полоса ($\lambda_{\text{max}} = 1070 \text{ нм}$) характерна для Кр-1, адсорбированного на AgHal в М-состоянии (рис. 3). Таким образом, поглощение водно-желатинового раствора в области 710—780 нм отвечает ЭДА-комплексам с водой и желатиной и Н-агрегатам красителя, а не продуктам его распада.

На рис. 4 и в табл. 1 приведена зависимость поглощения Кр-1 от концентрации ионов Ag^+ в эмульсии. При понижении pAg в интервале от 7,6 до 4,6

наблюдается рост интенсивности полосы адсорбированного красителя и некоторый ее гипсохромный сдвиг. С ростом концентрации ионов Ag^+ возрастает стабильность адсорбированного красителя в процессе выставивания эмульсии. Приведенные данные свидетельствуют о том, что Кр-1 наиболее стабилен при pAg 4,6.

Можно предположить, что при адсорбции на AgHal краситель образует комплекс типа $[\text{Kr} \rightarrow \text{Ag}_{\text{пов}}^+/\text{AgHal}]$. Увеличение интенсивности поглощения и стабильности адсорбированного красителя при уменьшении pAg , вероятно, связано с увеличением концентрации комплекса вследствие роста поверхностной концентрации ионов Ag^+ . Гипсохромный сдвиг М-полосы обусловлен нарушением полиметинового состояния при образовании связи между $\text{Ag}_{\text{пов}}^+$ и отрицательно заряженными метиновыми углеродными атомами.

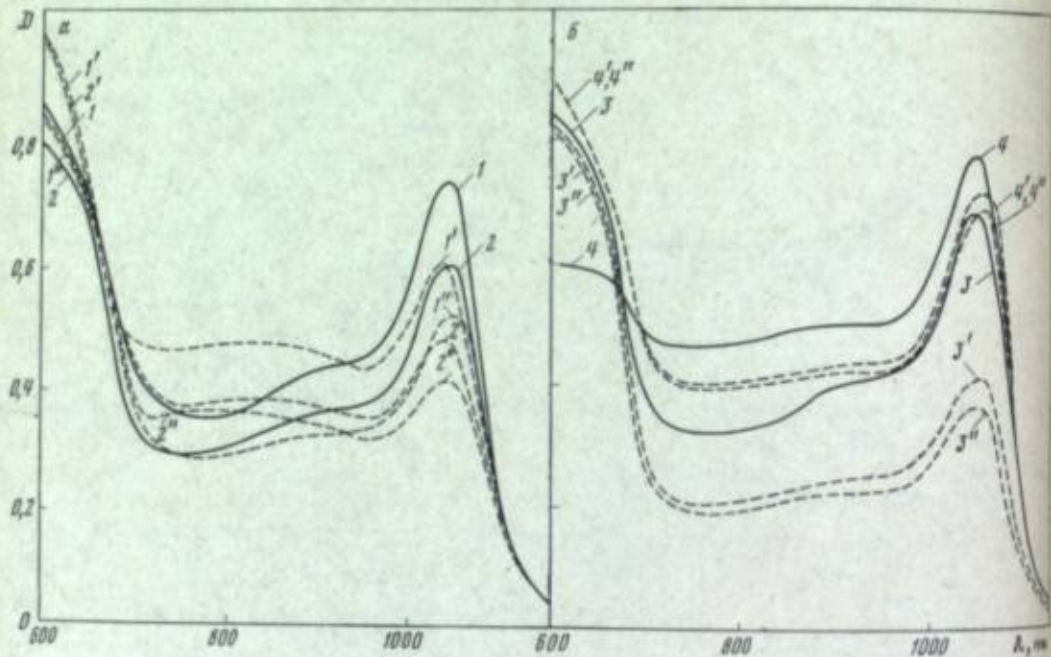


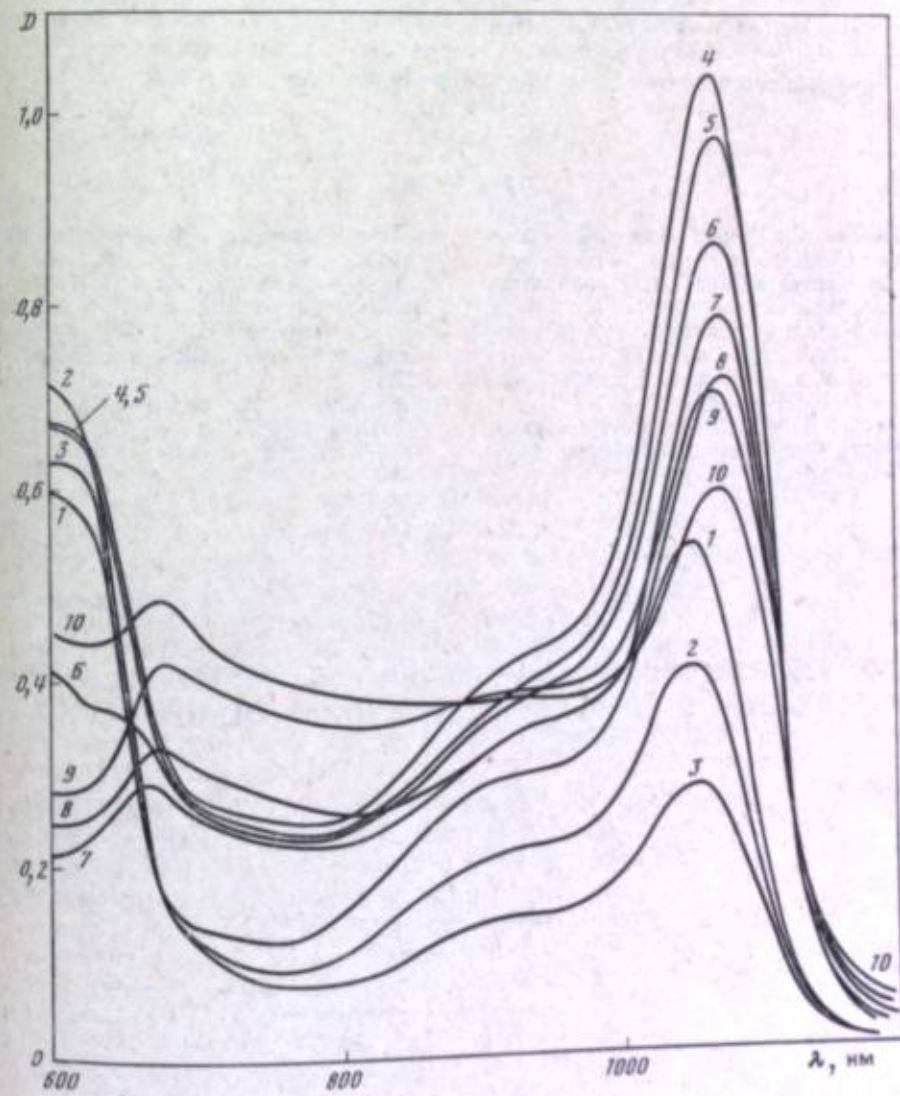
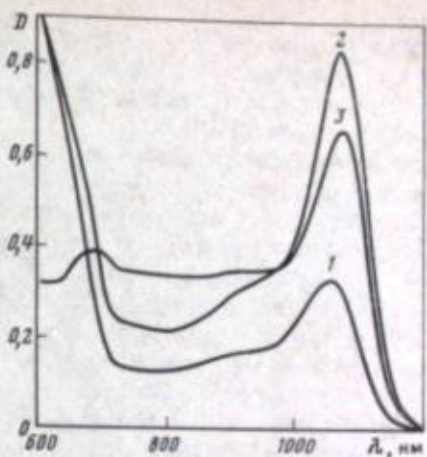
Рис. 4. Спектры поглощения Кр-1 в эмульсии (1, 3, 5) и в присутствии суперсенсибилизатора (2, 4, 6) при различных pAg
 pAg : а — 4,6; б — 5,6; в — 7,6.
 Время выставления растворов при 40°C : 1—6 — 5; 1'—6' — 18; 1''—6'' — 20.
 Концентрация красителя $2,5 \cdot 10^{-4}$; суперсенсибилизатора $1 \cdot 10^{-2}$ моль/моль AgHal

Рис. 5. Спектры поглощения Кр-1 в расплавленной эмульсии (1) и в присутствии суперсенсибилизатора (2, 3) при pAg 7,6

2 — суперсенсибилизатор введен перед красителем; 3 — через 5 мин после красителя. Концентрация красителя $1,5 \cdot 10^{-4}$; суперсенсибилизатора $1 \cdot 10^{-2}$ моль/моль AgHal

Рис. 6. Спектры поглощения Кр-1 в эмульсии (1—3) и в присутствии суперсенсибилизатора (4—10) при pAg 5,6

Введение суперсенсибилизатора: 4—6 — перед красителем; 7, 8 — через 5 мин; 9 — через 10; 10 — через 15 мин после красителя. Время выставления эмульсии при 40°C после введения красителя, мин: 1, 4 — 5; 2, 5, 7 — 10; 3, 6, 8—10 — 20



Введение суперсенсибилизатора в эмульсию с pAg 7,6 резко повышает интенсивность поглощения красителя. Менее ярко выражен этот эффект при pAg 5,6, а при pAg 4,6 наоборот, наблюдается уменьшение интенсивности полосы. Обращает на себя внимание четко выраженное стабилизирующее действие ди(*n*-анизил)фенилфлуоресцеина при pAg 5,6 и особенно при pAg 7,6. Причем это действие превосходит влияние избытка ионов Ag^+ . Кроме того, суперсен-

себилизатор при $pAg = 5,6 \div 7,6$ батохромно смещает полосу поглощения красителя при $pAg 5,6$ на 10 нм, а при $pAg 7,6$ на 13 нм. Подобный сдвиг отсутствует при $pAg 4,6$, вероятно, из-за превалирующего коротковолнового сдвига под действием ионов Ag^+ .

Необходимо отметить, что рост поглощения тиацентакарбоцианинов в присутствии суперсенсибилизатора наблюдается и при введении его в эмульсию после красителя, что иллюстрируется рис. 5 и 6, а также табл. 2. Характерно, что при введении суперсенсибилизатора после красителя прирост поглощения меньше, чем при предварительном его добавлении, и уменьшается по мере увеличения паузы между введением красителя и суперсенсибилизатора. Однако даже после выставления эмульсии с красителем в течение 15 мин введение суперсенсибилизатора приводит к росту поглощения красителя.

Таким образом, показано, что уменьшение pAg , а также введение суперсенсибилизатора ди(*п*-анилил)фенилфосфина увеличивают интенсивность поглощения (гиперхромный эффект) и стабильность тиацентакарбоцианинов, адсорбированных на микрокристаллах $AgHal$ в молекулярном состоянии, за счет уменьшения их взаимодействия с водой и желатиной. С этим может быть связан частично рост светочувствительности инфракрасометрических слоев под влиянием суперсенсибилизаторов и при понижении pAg эмульсии.

ЛИТЕРАТУРА

1. Джейкс Т. Теория фотографического процесса // Пер. с англ. член. ред. А. Д. Карагуланова. Л.: Химия, 1960, с. 263, 265.
2. Ленкен И. И. — Успехи науч. фотографии, 1959, т. 15, с. 99—652.
3. Гилье Р. В. — Photoogr. Sci. and Eng., 1954, vol. 18, p. 428—429.
4. Шапиро Б. И. — Журн. науч. и пром. фотографии и кинематографии, 1960, т. 25, с. 64—75.
5. Самостылев М. В. — Успехи хими, 1963, т. 32, с. 1233—1289.
6. Азаревич М. А., Ленкен И. И., Райзман Р. Д. и др. — In: Papers from the ICPS (Всесоюзная, 1978). Rochester Inst. of Technol., 1978, sect. IV, p. 279—281.
7. Азаревич М. А., Райзман Р. Д., Адамов В. И. и др. — Докл. АН ССР, 1978, т. 239, с. 1350—1353.

Ю. Н. Смирнов, Н. В. Мейклэр

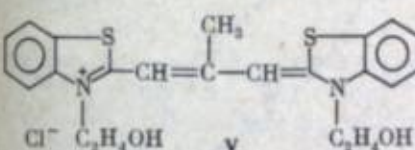
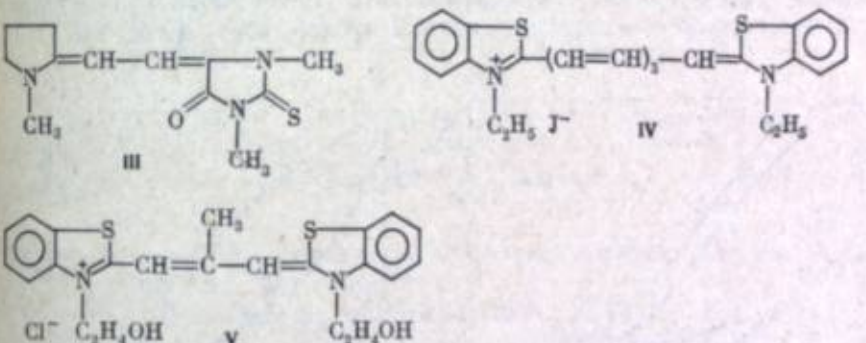
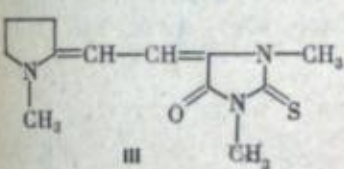
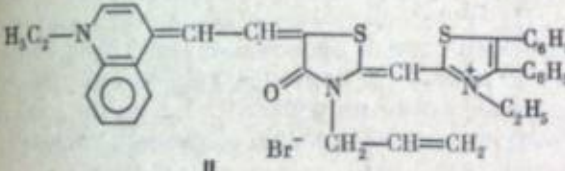
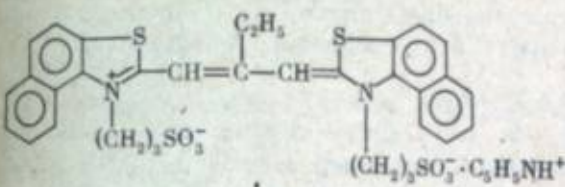
УДК 616.372.52

ВЛИЯНИЕ АДСОРБЦИИ КРАСИТЕЛЕЙ РАЗЛИЧНЫХ КЛАССОВ НА ФИЗИЧЕСКИЕ СВОЙСТВА ЭМУЛЬСИОННЫХ МИКРОКРИСТАЛЛОВ

Известно, что адсорбция красителей — спектральных сенсибилизаторов на эмульсионных микрокристаллах приводит к изменению фотографических и физических свойств микрокристаллов. В частности, в нашей работе [1], а также в работе Тани [2] показано, что адсорбция красителей вызывает изменение ионной проводимости микрокристаллов. Это связывается с изменением на их поверхности концентраций подвижных темновых воспителей заряда. Кроме того, показано [1, 3, 4], что адсорбция различных соединений, в частности красителей, приводит к изменению поверхностных свойств микрокристаллов. Красители, адсорбирующиеся на поверхности микрокристаллов, изменяют не только их поверхностную светочувствительность, но, как показано различными методами с использованием травления поверхности микрокристаллов, и глубинную [5, 6]. Приведенные ниже исследования позволяют уточнить механизмы электронных и ионных процессов, происходящих в галогенсеребряных микрокристаллах в результате адсорбции красителей.

В настоящей работе изучалось влияние адсорбции красителей различных классов (I—V) на ионную проводимость модельных бромсеребряных микрокристаллов со средним размером 5—7 мкм, а также изменение внутренних электрических полей после адсорбции на микрокристаллах спектральных сен-

сибилизаторов. На спектрально сенсибилизованных эмульсионных микрокристаллах практически применяемых фотографических эмульсий исследование распределение светочувствительности по глубине.



Исследование ионной проводимости модельных микрокристаллов проводилось по усовершенствованной нами импульсной методике Гамильтона и Бреди [1, 7], состоящей в наложении на микрокристаллы импульсов электрического поля и света, причем последний накладывается с некоторой задержкой относительно первого. Время релаксации поля внутри кристалла t оценивали по времени, в течение которого относительное число микрокристаллов со смещением центров проявления Δ к аноду составляло $1/e$. Ионную проводимость определяли по формуле $\sigma = e/t$, где e — диэлектрическая проницаемость бромистого серебра.

Определение величины внутреннего электрического поля в модельных микрокристаллах проводили по измерению величины налагаемого внешнего импульсного электрического поля E , при котором достигалась максимальная асимметрия центров проявления, т. е. после частичного проявления микрокристаллов все видимые частицы серебра оказывались смещенными в направлении положительного электрода ($\Delta = 1$).

При синхронном действии на микрокристаллы импульсов поля и света максимальная асимметрия центров проявления ($\Delta = 1$) наблюдается в том случае, когда внешнее налагаемое на микрокристаллы электрическое поле больше внутреннего электрического поля. В этом случае преимущественный дрейф фотозелектронов в микрокристаллах происходит под действием внешнего электрического поля и центры проявления образуются в основном в направлении положительного электрода. В противном случае топография центров проявления в микрокристаллах определяется направлением дрейфа фотозелектронов под действием внутренних электрических полей [1] и асимметрия центров проявления не наблюдается.

Распределение светочувствительности по глубине спектрально сенсибилизованных $AgBr(J)$ -микрокристаллов практически применяемых фотомультиликаторов изучали методом последовательного травления в 0,6 %-ном растворе тиосульфата натрия с предварительным окислением поверхностных центров скры-

того изображения в растворе $K_3Fe(CN)_6$ [8, 9]. При этом распределение светочувствительности по глубине микрокристалла носит несколько условный характер, так как тиосульфат натрия растворяет микрокристаллы неравномерно, наиболее активно в его дефектных местах [10]. Поэтому мы строим зависимость светочувствительности от времени травления, считая, что по мере растворения микрокристаллов открываются более глубокие подповерхностные центры в них более дефектных местах.

Исследования показали, что адсорбция на модельных микрокристаллах анионного (I) и катионных (II, IV и V) красителей в концентрации $1,5 \cdot 10^{-5}$ моль/моль $AgBr$ приводят к уменьшению времени релаксации электрического поля в микрокристаллах, т.е. к увеличению их ионной проводимости. На рис. 1 приведены зависимости Δ от t для красителей I—III. Видно, что адсорбция мероцианинового красителя (III) в той же концентрации, что и I и II, не приводит к значительному изменению ионной проводимости. Отсюда можно заключить, что адсорбция анионных и катионных красителей приводит к увеличению концентрации темновых носителей заряда на поверхности микрокристаллов, адсорбция же мероцианинового красителя практически не изменяет исходную концентрацию.

Увеличение концентрации адсорбированного катионного красителя IV приводит к постепенному увеличению ионной проводимости (рис. 2), т.е. на

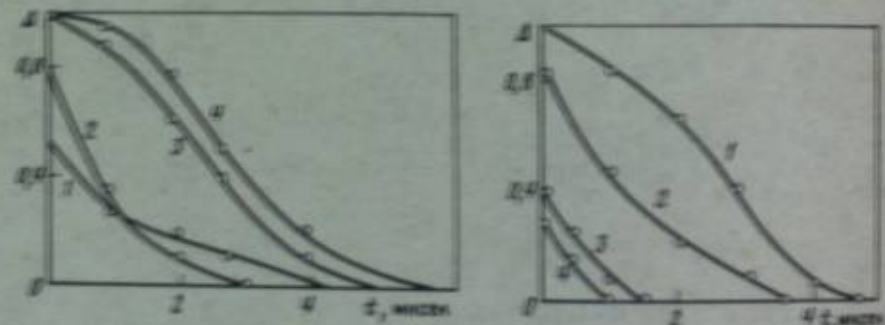


Рис. 1. Кривые релаксации внутреннего электрического поля в микрокристаллах после адсорбции на них красителей

Красители: 1 — анионный (I); 2 — катионный (III); 3 — без красителя; 4 — мероцианиновый (III)

Рис. 2. Кривые релаксации внутреннего электрического поля в микрокристаллах после адсорбции на них красителя IV
Концентрации красителя, 10^5 моль/моль $AgBr$: 1 — 0; 2 — 0,15; 3 — 5; 4 — 2,5

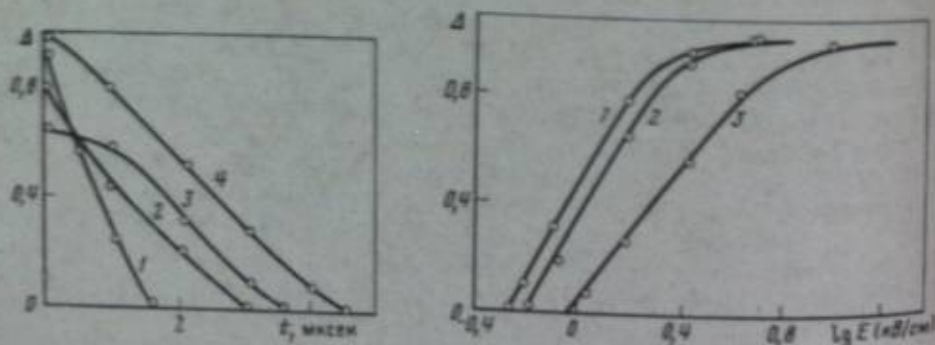


Рис. 3. Кривые релаксации внутреннего электрического поля в микрокристаллах после адсорбции на них красителей

Красители: 1 — карбоцианиновый (VI); 2 — трикарбоцианиновый (IV); 3 — пентакарбоцианиновый (VII); 4 — без красителя

Рис. 4. Изменение величин асимметрии центров проявления в зависимости от величины внутреннего электрического поля для микрокристаллов после адсорбции на них красителей
Красители: 1 — без красителя; 2 — мероцианиновый (III); 3 — анионный I и катионный II

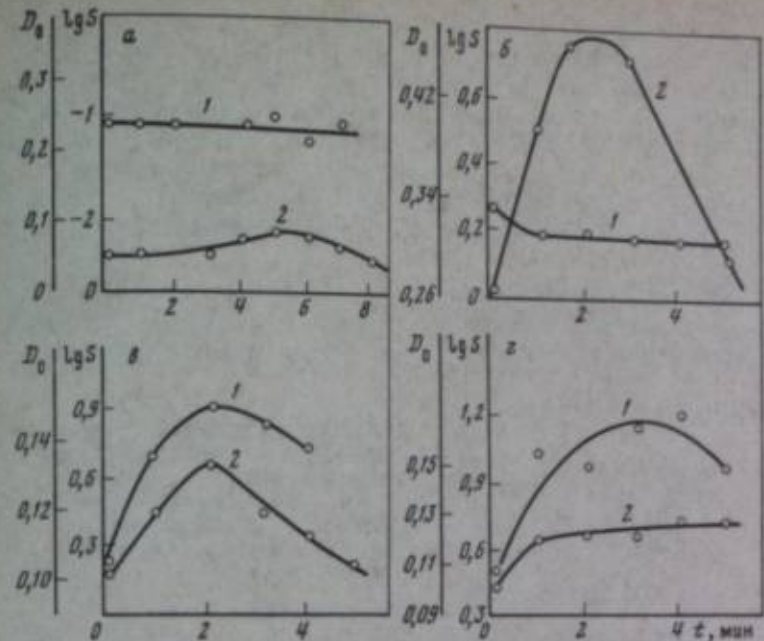


Рис. 5. Зависимость светочувствительности S (1) и плотности вуали D_0 (2) от времени травления $AgBr$ -микрокристаллов после адсорбции на них красителей
Красители: а — без красителя; б — катионный II; в — катионный V; г — анионный I

поверхности микрокристаллов не происходит увеличения концентрации подвижных темновых зарядов.

Изучение адсорбции на микрокристаллах красителей с различной длиной полиметиновой цепи (с одной и той же концентрацией $0,36 \cdot 10^{-5}$ моль/моль $AgBr$) привело к выводу, что чем длиннее цепь полиметинового красителя, тем меньше увеличение ионной проводимости. По-видимому, полиметиновая цепь частично связывает подвижные ионы серебра на поверхности МК, притом тем больше, чем она длиннее (рис. 3).

Нами впервые наблюдалось, что если до адсорбции на микрокристаллах красителя при экспонировании его импульсом света синхронно с импульсом поля максимальная асимметрия центров проявления достигается при величине внешнего электрического поля E , равной $2,5$ кВ/см, то после адсорбции красителя I или II она достигается при $E = 5$ кВ/см. Адсорбция мероцианинового красителя (III) не изменяет исходной величины E (рис. 4). Исходя из этого, можно предположить, что адсорбция на микрокристаллах анионных или катионных красителей приводит к увеличению в них внутренних электрических полей. Адсорбция мероцианинового красителя III в силу электронейтральности его молекулы не изменяет исходной величины внутреннего электрического поля.

У несенсибилизованных $AgBr$ (J)-эмulsionий со средним размером микрокристаллов $0,5$ — $0,8$ мкм до их спектральной сенсибилизации микрокристаллы имеют равномерное распределение светочувствительности по глубине (рис. 5, а). После спектральной сенсибилизации этих микрокристаллов катионным красителем II распределение светочувствительности по глубине изменяется мало (рис. 5, б), а после спектральной сенсибилизации катионным красителем V (рис. 5, в), так же как и после сенсибилизации анионным красителем I (рис. 5, г). Сенсибилизация мероцианиновым красителем III не изменяет исходное распределение светочувствительности по глубине микрокристалла. В зависимости от типа адсорбированных красителей наблюдается и различное распределение оптической плотности вуали по глубине микрокристаллов (см. рис. 5, 6).

Таким образом, адсорбция на микрокристаллах красителей в большинстве случаев приводит к изменению распределения светочувствительности и оптической плотности вуали по их глубине. Это распределение различно и зависит

от типа адсорбированного красителя. Адсорбция красителей на модельных AgBr-микрокристаллах приводит к изменению исходной топографии центров проявления. Это изменение также зависит от типа адсорбированного красителя, определяющего перераспределение темновых носителей заряда. Адсорбция красителей всех типов на химически сенсибилизированных микрокристаллах не изменяет заметно исходное распределение их светочувствительности по глубине (см. рис. 6). По-видимому, влияние красителей на распределение темновых заряженных частиц значительно слабее влияния химической сенсибилизации.

Полученные результаты показывают, что адсорбция красителей на химически несенсибилизированных микрокристаллах приводит к изменению их физических и фотографических свойств. Изменяется их ионная проводимость, внут-

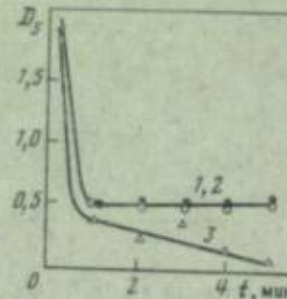


Рис. 6. Зависимость оптической плотности D_0 от времени травления химически сенсибилизированных микрокристаллов AgBr(J) после адсорбции на них красителей:
1 — краситель I;
2 — V;
3 — без красителя

реннее электрическое поле и распределение светочувствительности и вуали по глубине. Краситель, адсорбируясь на микрокристалле, производит в нем перераспределение темновых подвижных зарядов, и, следовательно, изменяется эффективность процессов, происходящих после действия света.

Механизм образования центров скрытого изображения в микрокристаллах с адсорбированным анионным красителем можно представить в следующем виде. Поверхность микрокристалла при адсорбции на нем анионного красителя приобретает отрицательный заряд. Этот заряд нейтрализуется подвижными ионами серебра из объема микрокристалла. Образуется приповерхностный положительный объемный заряд, т. е. возникает двойной электрический слой. В установленном состоянии поле внутри кристалла равно нулю.

Межузельные ионы серебра в приповерхностном слое микрокристалла электростатически связаны с зарядом красителя, адсорбированного на его поверхности, и чем ближе эти ионы к поверхности, тем эта связь сильнее. Поэтому межузельные ионы серебра, находящиеся в непосредственной близости к поверхности микрокристаллов, частично связываются красителем и не могут участвовать в процессе образования центров скрытого изображения. При наложении на микрокристаллы небольших по величине внешних электрических полей энергия связанных ионов серебра в поле меньше энергии указанной связи. Эти ионы серебра не могут вносить свой вклад в ионную проводимость.

Действительно, из рис. 5, г видно, что адсорбция анионного красителя I приводит к меньшему значению светочувствительности на поверхности микрокристаллов, чем в подповерхностной области. Вместе с тем Тани [2], измеряя ионную проводимость микрокристаллов методом диэлектрических потерь, при котором на микрокристаллы налагаются небольшие по величине электрические поля, показал, что адсорбция на микрокристаллах анионных красителей приводит к уменьшению их ионной проводимости. Это можно объяснить тем, что в опытах Тани энергия связи подвижных ионов серебра с красителем была больше энергии этих ионов в прикладываемом поле.

Адсорбция катионных красителей в разных случаях вызывает различное перераспределение темновых зарядов и светочувствительности по глубине микрокристалла. Так, для красителя II значительного изменения распределения светочувствительности не наблюдается. Для красителя V, наоборот, у поверхности светочувствительность оказывается меньше, чем в подповерхностном слое. По-видимому, при адсорбции катионного красителя увеличивается кон-

центрация и подвижность поверхностных или подповерхностных ионов серебра в зависимости от природы адсорбирующего красителя. С увеличением длины полиметиновой цепи катионного красителя рост ионной проводимости уменьшается, по-видимому, в результате связывания ионов серебра метиновой цепью.

Исходя из этих данных, десенсибилизирующее действие красителя в области собственного поглощения микрокристалла, увеличивающееся с удлинением полиметиновой цепи красителя [11], можно объяснить, наряду с акцептированием фотозелектронов [12], также и связыванием подвижных ионов серебра на поверхности микрокристалла молекулами красителей.

Исходя из сказанного, можно заключить, что в эмульсионном микрокристалле существует два вида внутренних электрических полей. Первое электрическое поле — темновое — образуется во время адсорбции на микрокристалле различных заряженных соединений и производит перераспределение концентраций темновых зарядов в объеме микрокристалла. Второе электрическое поле образуется во время действия на микрокристаллы света и обусловлено градиентом концентраций фотозелектронов. Этот градиент концентраций определяется разной скоростью нейтрализации фотозелектронов в различных частях микрокристалла, причиной чего является неравномерное распределение темновых зарядов в объеме микрокристалла.

По-видимому, наблюдаемое влияние красителей на свойства микрокристаллов нельзя объяснить только с точки зрения электроакцепторных или электронодонорных свойств адсорбированных красителей без учета темновых процессов, происходящих при их адсорбции.

ЛИТЕРАТУРА

- Смирнов Ю. П. — Журн. науч. и прикл. фотографии и кинематографии, 1973, т. 18, с. 247—251.
- Tani T. — Photogr. Sci. and Eng., 1974, vol. 18, p. 620—626.
- Grossweiner L. J., Brennan W. D. — J. Photogr. Sci., 1969, vol. 17, p. 189—193.
- Tani T. — Photogr. Sci. and Eng., 1972, vol. 16, p. 163.
- Tani T. — Photogr. Sci. and Eng., 1973, vol. 17, p. 306—312.
- Tani T. — Photogr. Sci. and Eng., 1971, vol. 15, p. 5.
- Hamilton J. F., Brady L. E. — J. Appl. Phys., 1959, vol. 30, p. 1893.
- Malinowski J. — J. Photogr. Sci., 1964, vol. 12, p. 143—155.
- Кальмансон З. В. — Журн. науч. и прикл. фотографии и кинематографии, 1963, т. 43, с. 219—221.
- Чубисов К. В. Основные проблемы химики фотографических эмульсий. М.: Изд-во МГУ, 1962, с. 49—50.
- Collier S. S., Gilman R. B. — Photogr. Sci. and Eng., 1972, vol. 16, p. 413—420.
- Власов В. Г., Мирмильтейн М. Д., Мейклар П. В. — Успехи науч. фотографии, 1976, т. 17, с. 78—81.

УДК 721.534.13:678.746.322

Б. М. Румянцев, Е. И. Балабанов, Л. В. Семенова, Г. Н. Юдина,
Л. А. Мельничук

ИССЛЕДОВАНИЕ ПЕРВИЧНЫХ ФОТОФИЗИЧЕСКИХ ПРОЦЕССОВ СЕНСИБИЛИЗИРОВАННОЙ ФОТОГЕНЕРАЦИИ НОСИТЕЛЕЙ ТОКА В ПОЛИ-Н-ВИНИЛКАРБАЗОЛЕ И ПОЛИ-Н-ЭПОКСИПРОПИЛКАРБАЗОЛЕ

Перспективными органическими электрофотографическими материалами, обладающими высокой фоточувствительностью в видимой области спектра, являются материалы на основе поли-N-винилкарбазола (ПВК) и поли-N-эпоксипропилкарбазола (ПЭПК). В качестве сенсибилизаторов могут быть использованы красители различных классов (триарилметановые, цианиновые, пирилиевые, ксантеновые) или электронные акцепторы, образующие с полимерами комплексы с переносом заряда (КПЗ) [1, 2]. В результате поглощения света в полимере, содержащем сенсибилизатор, образуются свободные носители тока, нейтрализующие начальный потенциал зарядки слоя [3].

Процесс фотогенерации в органических полимерных слоях сложен и включает несколько стадий. Это связано с тем, что в полимерах со слабыми межмолекулярными связями процессы прямой ионизации (автоионизация) идут с низкой вероятностью. Поэтому основную роль в фотогенерации играют возбужденные состояния молекул сенсибилизатора A_1^* (или их комплексов), образующиеся первоначально при поглощении света:



так как собственная область поглощения ПВК и ПЭПК находится в УФ-области спектра.

Превращения энергии первичных возбуждений составляют стадию первичных фотофизических процессов фотогенерации. На этой стадии эффективность фотогенерации β определяется соотношением скоростей процессов, приводящих впоследствии к образованию носителей тока, W_r , и процессов деградации энергии возбуждения W_d , не приводящих к ионизации:

$$\beta = W_r / (W_r + W_d). \quad (2)$$

Одним из важных каналов превращения состояний A_1^* является безызлучательный диполь-дипольный перенос энергии (БПЭ) [4] к различным центрам, в том числе к центрам генерации и центрам тушения. В настоящей работе показано, что центрами генерации являются КПЗ [5] или эксиплексные места [6], т. е. такие места, где за счет образования комплекса полимера с сенсибилизатором имеется частичный перенос заряда в основном (КПЗ) или возбужденном состоянии [эксиплекс (AD)₀].

При миграции энергии возбуждения к центру генерации происходит образование ион-радикальной пары:



которая представляет собой связанную пару электрон—дырка.

Концентрация и время жизни ион-радикальной пары зависят от напряженности внешнего магнитного поля [7], что позволяет проследить за их участием во всех фотофизических процессах. Превращение ион-радикальной пары в свободные носители тока может быть представлено следующей схемой:



Согласно схеме (4) возможна обратная рекомбинация ион-радикальной пары ($A^- \dots D^+$), приводящая к образованию эксиплекса (AD)₀^{*}. Процессы (3) и (4), происходящие после попадания первичного возбуждения к центру генерации, а также следующие за ними рекомбинация свободных носителей, их захват и пр. составляют вторую стадию процесса фотогенерации.

Настоящая работа посвящена в основном исследованию первичных фотофизических процессов при спектральной сенсибилизации органических полимерных слоев, т. е. путем превращения энергии первичного возбуждения A_1^* , в частности роли процессов безызлучательного переноса энергии.

Одним из важных каналов деградации состояния A_1^* является безызлучательный перенос энергии на центры T_0 , уровни энергии которых расположены ниже уровня A_1^* ; дальнейшая миграция с них невозможна (ловушки энергии). Здесь происходит безызлучательный (или излучательный) распад состояния A_1^* (центр тушения):



Ловушками энергии (центрами тушения) могут быть дефекты в полимерной цепи, молекулы примеси, неактивные молекулы и ассоциаты сенсибилизатора. Нами исследована природа центров тушения и показано, что основную роль в деградации возбуждения для эффективных сенсибилизаторов играют ассоциаты молекул сенсибилизатора. Поскольку концентрация как центров генерации, так и центров тушения обычно невелика, роль процессов безызлучательного переноса энергии в определении эффективности процесса сенсибилизации

очень существенна. Если в молекуле сенсибилизатора имеет место эффективная внутримолекулярная безызлучательная конверсия, то в этом случае величина W_{BPI} , которая, как известно [4], пропорциональна квантовому выходу флюoresценции, мала. Если же процессы внутримолекулярной безызлучательной конверсии мало эффективны (квантовый выход флюoresценции достаточно высок), то безызлучательный перенос энергии к центрам генерации может успешно конкурировать со скоростью излучательного перехода.

Следует ожидать, что достаточно высокий квантовый выход флюoresценции сенсибилизатора может явиться одним из необходимых условий высокой эффективности фотогенерации, т. е. условием того, что скорость W_r , определяемая скоростью безызлучательного переноса энергии к центрам генерации, будет превосходить скорость процессов W_d , не приводящих к образованию носителей тока. Поэтому в качестве сенсибилизаторов исследованы красители с достаточно высоким квантовым выходом флюoresценции (родаминовые, оксазиновые, пиридиновые и 1,8-нафтоilen-1,2-бензимидазол).

Одной из задач настоящей работы является выяснение особенностей процесса безызлучательного переноса энергии в слоях полимеров ПВК и ПЭПК с различным молекулярным весом: от 10^3 до 10^6 . Обнаружено, что в слоях полимеров с молекулярным весом (M_w) $> 10^5$ пространственное распределение молекул сенсибилизатора отличается значительной пространственной неоднородностью, что приводит к интенсификации процессов безызлучательного переноса энергии при очень низком содержании сенсибилизатора: $c \approx 10^{-5}$ моль/л. Высокая пространственная неоднородность распределения приводит и к усилению образования ассоциатов из молекул сенсибилизатора, а также к значительному изменению их роли в первичных фотофизических процессах фотогенерации (превращение неактивных ассоциатов в активные).

Особенность настоящей работы при исследовании стадии первичных фотофизических процессов фотогенерации в процессе сенсибилизации состоит в одновременном наблюдении как возбужденных, так и ионизированных состояний, возникающих в сенсибилизируемых слоях под действием возбуждающего света, в один и тех же условиях. Изучение ионизированных состояний (носителей тока) проводили путем измерения стационарной фотопроводимости сенсибилизированных слоев. Наблюдение возбужденных состояний осуществляли изучением флюoresцентных характеристик (относительный квантовый выход, спектры) слоев. Для выяснения роли процессов безызлучательного переноса энергии между молекулами сенсибилизатора исследованы концентрационная деполяризация [4] и тушение [8] флюoresценции сенсибилизатора в слоях полимеров.

Существенным является исследование влияния внешнего магнитного поля $H < 2$ кЭ ($T = 293$ К) на стационарную фотопроводимость и интенсивность флюoresценции. В схеме процессов сенсибилизированной фотогенерации (3) чувствительным к магнитному полю является возбужденное состояние ион-радикальной пары. Изучение влияния магнитного поля позволяет надежно идентифицировать участие ион-радикальной пары во всех фотофизических процессах [9].

Электрофотографическая методика, позволяющая определять относительный квантовый выход фотогенерации, описана в работе [3]. По этой методике измерили электрофотографическую чувствительность слоев S :

$$S = (\Delta V / \Delta t) (1/dI), \quad (6)$$

где ΔV — изменение начального потенциала зарядки слоя V_0 за время Δt при освещении образца светом интенсивностью I ; d — толщина образца. Обычно принимали $\Delta V = 0,1 V_0$.

Начальную напряженность поля в слое $E = V_0/d$ выбирали достаточно высокой, чтобы величину S измерять на участке линейной зависимости $V(t)$, где величина dV/dt постоянна и, как известно [10], определяется квантовым выходом фотогенерации η :

$$\eta \sim dV/dt. \quad (7)$$

Из выражений (6) и (7) определяли относительный квантовый выход фотогенерации $\eta = S \Pi_0 / S_0 \Pi$ как отношение величин S и S_0 , т. е. чувствительности

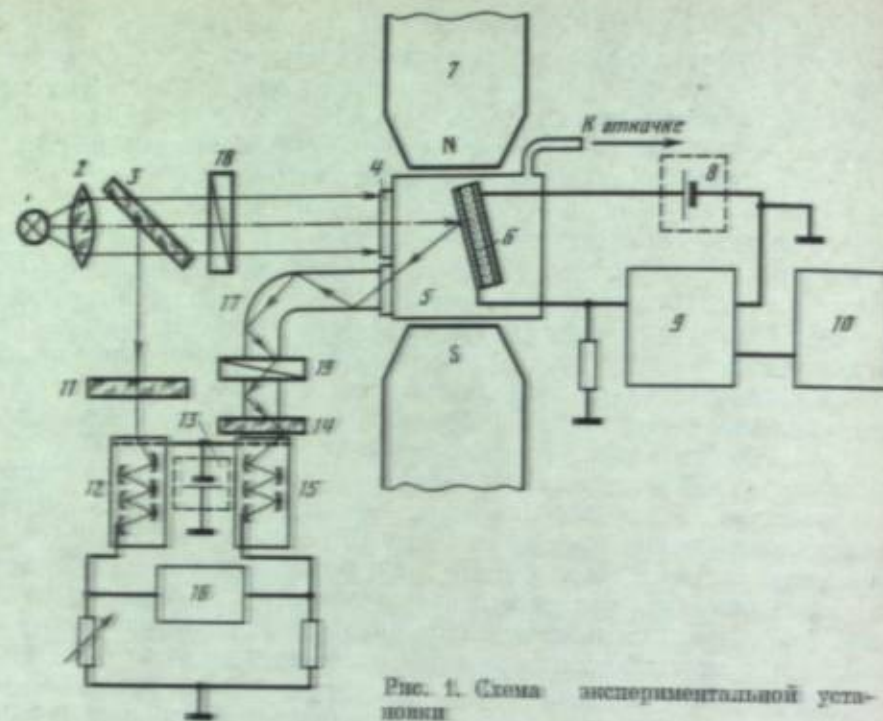


Рис. 1. Схема экспериментальной установки

1 — источник света; 2 — конденсор; 3 — светофильтр; 4 — кварцевое окно; 5 — измерительная камера; 6 — образец; 7 — электромагнит; 8 — источник напряжения; 9 — электрометрический усилитель МЭ-2; 10 — самонизирующий прибор; 11 — светофильтр; 12 — фотоумножитель ФЭУ-79; 13 — высоковольтный источник ВС-42; 14 — светофильтр; 15 — фотоумножитель ФЭУ-79; 16 — микровольтметр постоянного тока В2-3; 17 — светофильтр; 18 — поляризатор; 19 — анализатор.

слои с данной и стандартной концентрациями сенсибилизаторов, с учетом долей поглощенной световой энергии Π и Π_0 . За стандартную обычно выбирали самую низкую концентрацию сенсибилизатора. Заряды слоев производили в поле подложечного (в отдельных случаях отрицательного) коронного разрядника. Ослабление образцов производили или при помощи лампы погашивания со стеклянными светофильтрами, или при помощи лампы ДКСП-200 с монохроматором МДР-2.

Спектры поглощения слоев снимали на спектрофотометре ЕРС-3Г фирмы «Хатами». Спектры флюoresценции снимали с использованием монохроматора МДР-3 при возбуждении лампой ДКСП-200 с набором светофильтров.

Исследование стационарной фотопроводимости, относительного интенсивного выхода флюoresценции f (при регистрации в интегральном режиме), выполнено на них матитном поле H , в тихие поляризационные измерения производили на установке, схема которой показана на рис. 2.

Объект (стационарного или поляризованного типа с электродами из SnO_2 или алюминия) помещали в измерительную камеру, находящуюся между полюсами электромагнита. Направленность магнитного поля H меняли в пределах 0—200 Гц. Измерения проводили на воздухе. В качестве источника света служили лампы погашивания: нодные лампы БПН-42-400 с набором стеклянных светофильтров или стеклянные лампы ДРЧ-500 (СНД-4204) с монохроматором МДР-2.

При исследовании фотопроводимости на образец подавали постоянное напряжение от источника Б1-2 или батарейного блока. Фотопроводимость и ее изменение в магнитном поле регистрировали электрометрическим усилителем УМ-2 с системой компенсации стационарного сигнала (при измерении изменений фотопроводимости $\delta = \frac{\Delta I_{\text{фл}}}{I_{\text{фл}}} = \frac{I_{\text{фл}}(H) - I_{\text{фл}}(0)}{I_{\text{фл}}(0)}$). Ранее было показано [1], что изменение фотопроводимости матитным полем связано только с изменившимися контактами захода (или скорость) фотогенерации:

$$\delta = \frac{\Delta I_{\text{фл}}}{I_{\text{фл}}} = 10\beta = \frac{\Delta I}{I}.$$

Систему УМ-2 снимали на самонизирующий прибор КСН-4.

Для регистрации интегральной интенсивности флюoresценции использовали фотоумножитель ФЭУ-79 (15) с набором светофильтров (14). Световод (~1,5 м) позволял максимально удалить фотоумножитель от электромагнита. Для измерения изменений интенсивности флюoresценции в магнитном поле $L = \frac{\Delta I_{\text{фл}}}{I_{\text{фл}}} = \frac{[I_{\text{фл}}(H) - I_{\text{фл}}(0)]}{I_{\text{фл}}(0)}$ использовали систему компенсации постоянного сигнала, которая состояла из фотоумножителя ФЭУ-79 (12) и набора светофильтров (11).

Фотоумножитель (12) подбирали так, чтобы его чувствительность совпадала с чувствительностью основного фотоумножителя (15). В качестве сигнала для фотоумножителя (12) использовали регулируемую часть возбуждающего светового потока. Равенства сигналов от обоих фотоумножителей можно было добиться, меняя интенсивность этого светового потока. Микровольтметр постоянного тока В2-3, служивший нуль-индикатором, позволял регистрировать малые изменения сигнала фотоумножителя (15). Такая схема позволила значительно уменьшить нестабильность сигнала, связанную как с нестабильностью возбуждающего светового потока, так и с нестабильностью высоковольтного источника питания фотоумножителя (13). Измеряли величины $L > 0,1\%$.

Для определения относительного квантового выхода флюoresценции f (при измерении концентрационного тушения флюoresценции) находили отношение интенсивности флюoresценции образцов с данной и стандартной концентрациями сенсибилизатора $f = \frac{I_{\text{фл}}(P)}{I_{\text{фл}}(P_0)}$. За стандартную принимали обычно наименьшую из использованных концентраций.

При исследовании концентрационной деполяризации измеряли величину анизотропии флюoresценции r при возбуждении ее поляризованным светом в полосе поглощения сенсибилизатора:

$$r = \frac{(I_{\text{фл}}^{\max} - I_{\text{фл}}^{\min})}{(I_{\text{фл}}^{\max} + 2I_{\text{фл}}^{\min})}, \quad (9)$$

где $I_{\text{фл}}^{\max}$ и $I_{\text{фл}}^{\min}$ — максимальное и минимальное значения интенсивности флюoresценции.

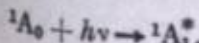
Для исключения влияния рассеяния и реабсорбции при измерении величины r принимали специальные меры [12, 13].

Образцы готовили поливом из раствора полимера с красителем на кварцевые подложки с проводящим покрытием из SnO_2 . Затем образцы сушили в вакууме в течение суток.

В работе использованы следующие материалы: промышленный поли- N -винилкарбазол (М. в. = $3 \cdot 10^4$), очищенный однократным переосаждением из хлороформа гептаном; промышленный поли- N -эпоксипропилкарбазол (М. в. = $1,5 \cdot 10^3$); поли- N -винилкарбазол марки BASF-LUVICAN (М. в. = $1,7 \cdot 10^5$); высокомолекулярный поли- N -эпоксипропилкарбазол (М. в. = $6 \cdot 10^4 \div 10^6$); синтезированный на кафедре синтеза полимеров МИТХТ им. Ломоносова (А. Н. Праведников, В. А. Тверской, Н. Н. Лузина, А. В. Ткачев); родамин 6Ж и другие родаминовые красители промышленного производства, очищенные перекристаллизацией; очищенные пирилиевые красители, синтезированные в НИОПиК (Ю. Н. Поршинев, В. А. Чуркина); оксазиновые красители промышленного производства (использованы без очистки); 1,8-нафтоилен-1',2'-бензимидазол (люминор желто-зеленый 490РТ) промышленного производства.

ПОСЛЕДОВАНИЕ ПЕРВИЧНЫХ ФОТОФИЗИЧЕСКИХ ПРОЦЕССОВ ФОТОГЕНЕРАЦИИ В НИЗКОМОЛЕКУЛЯРНЫХ ПОЛИ- N -ВИНИЛКАРБАЗОЛЕ И ПОЛИ- N -ЭПОКСИПРОПИЛКАРБАЗОЛЕ С МОЛЕКУЛЯРНЫМ ВЕСОМ $< 3 \cdot 10^4$

При добавлении в слои ПВК и ПЭПК родаминовых и оксазиновых красителей в спектре электрофотографической чувствительности появляется новая полоса, положение которой определяется спектром поглощения красителя (рис. 2). Отсюда следует, что поглощение света приводит прежде всего к образованию синглетно-возбужденной молекулы красителя:



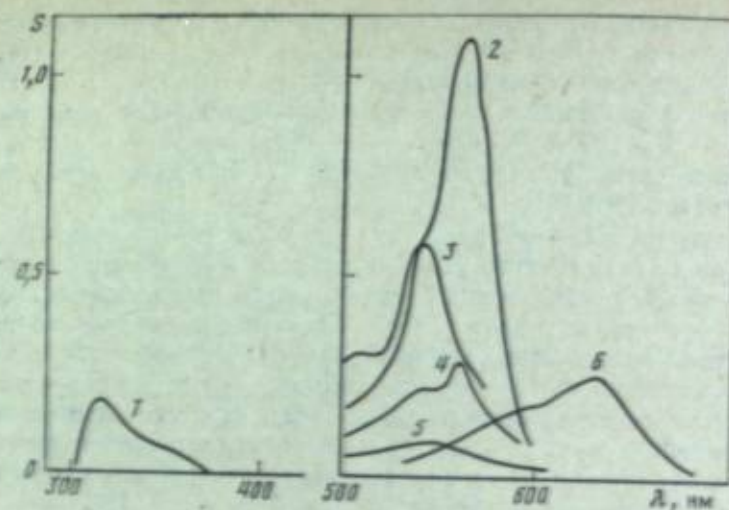


Рис. 2. Спектры электротографической чувствительности слоев низкомолекулярных ПЭПК с сенсибилизаторами:
1 — несенибилизованный ПЭПК; 2 — с родамином 3В; 3 — с родамином 6Ж; 4 — с родамином С; 5 — с оксазиновым красителем.

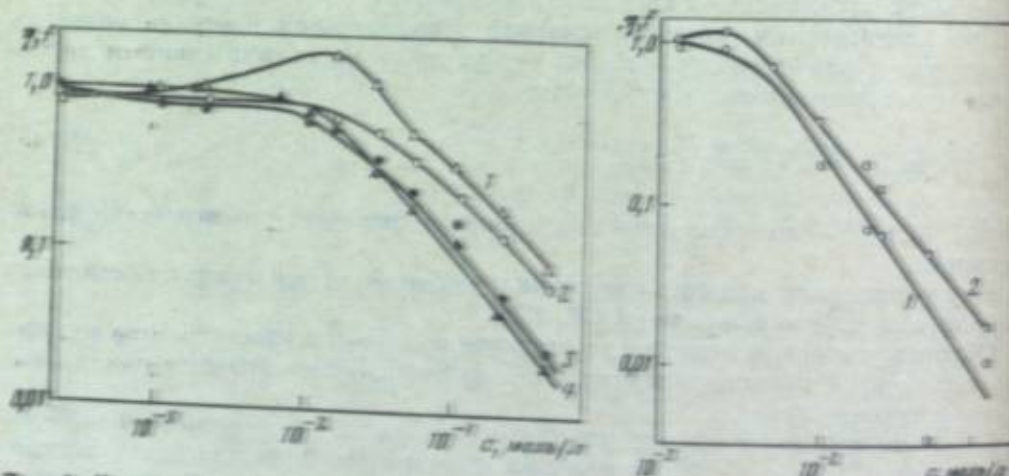


Рис. 3. Концентрационные зависимости относительных квантовых выходов фотогенерации (2, 3) и флюoresценции (1, 4) для слоев ПВК с родамином 6Ж (2, 3) и ПЭПК с родамином 6Ж (2, 4).

Рис. 4. Концентрационные зависимости относительных квантовых выходов фотогенерации (1) и флюoresценции (2) для слоев ПЭПК с оксазиновым красителем.

На рис. 3 и 4 приведены зависимости относительных квантовых выходов флюoresценции и фотогенерации от содержания сенсибилизатора в ПВК и ПЭПК. Из рисунков видно, что для этих красителей концентрационное тушение флюoresценции сенсибилизатора в слоях полимеров сопровождается и спектральным сдвигом относительного квантового выхода фотогенерации η . Известно, что концентрационное тушение флюoresценции для родаминовых красителей связано с образованием лептотипных ассоциатов (димеров) [6, 16].



Одновременное измерение концентрационной деполяризации флюoresценции позволяет показать, что снижение η при близкодействии, дарящее спектральный сдвиг, происходит при неизменении концентрации сенсибилизатора (рис. 5). Следовательно, это явление связана с близкодействием между концентрирующим сенсибилизатором (конкуренция концентрирующих молекул сенсибилизатора и красителями) и

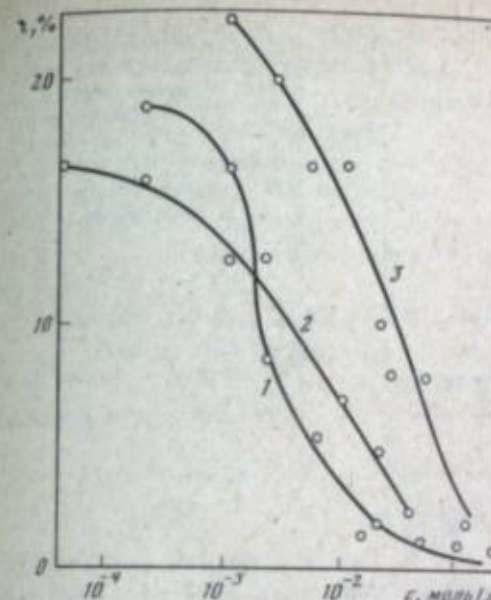
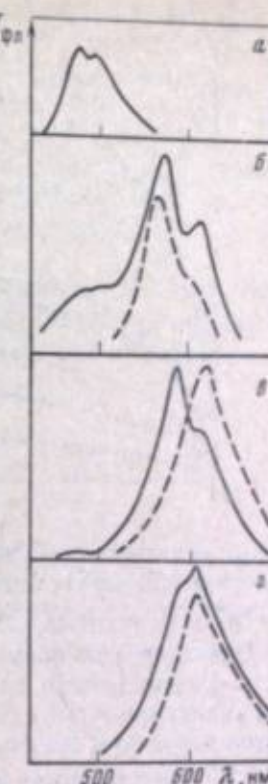


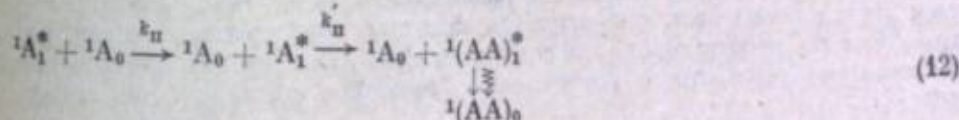
Рис. 5. Зависимость концентрационной деполяризации флюoresценции для слоев ПЭПК с родамином 6Ж (1), ПВК с родамином 6Ж (2) и ПЭПК с оксазиновым красителем (3).

Рис. 6. Спектры флюoresценции слоев ПЭПК (сплошные кривые) и полиметилфенилсиликсана К-55 (пунктирные) с родамином 6Ж.

Концентрация родамина 6Ж, моль/л: а — 0; б — 10^{-3} ; в — $3 \cdot 10^{-4}$; г — 10^{-4} . Восбуждение светом с $\lambda = 366$ нм.



воздействию), приводящим к возбуждению неактивных ассоциатов с последующей плучательной и безызлучательной их деградацией:



Таким образом, исследования концентрационных зависимостей η , f и τ (см. рис. 3—5) позволяют сделать вывод, что в слоях низкомолекулярных ПВК и ПЭПК центрами тушения являются прежде всего ассоциаты из молекул сенсибилизатора. Образование ассоциатов подтверждается исследованием спектров флюoresценции слоев с родамином 6Ж (рис. 6). Длинноволновый максимум $\lambda = 610 \div 620$ нм в этих спектрах, усиливающийся с ростом концентрации красителя, связан с образованием ассоциатов [15]. Из рис. 5 следует, что получение ассоциатов деполяризовано. Это можно объяснить тем, что ввиду их низкой концентрации прямое поглощение света ими отсутствует. Как показывают наши опыты, зависимости концентрационной деполяризации флюoresценции для родамина 6Ж в слоях ПВК и ПЭПК совпадают с аналогичными зависимостями для родамина 6Ж в этанол-глицериновых смесях. Величина критической концентрации переноса в обоих случаях составляет $c_{cr} = 10^{-3}$ моль/л, что соответствует критическому радиусу переноса $R_c \approx 7$ нм.

Природу центров генерации в полимерных слоях ПВК и ПЭПК, сенсибилизованных родаминовыми и оксазиновыми красителями, позволяет установить обнаруженнное ранее в работах [6, 16] влияние внешнего магнитного поля на стационарную фотопроводимость и интенсивность флюoresценции. На рис. 7 показаны зависимости относительных изменений фотопроводимости δ и интенсивности флюoresценции L от напряженности магнитного поля H для слоев ПЭПК с родамином 6Ж и оксазиновым красителем. Согласно работе [9], знак и характер этих зависимостей свидетельствуют об участии в процессе фотогенерации и флюoresценции в сенсибилизованных слоях ион-радикальных пар ($A^- \dots D^+$), образующихся из эксиплексов, возникающих при взаимодействии

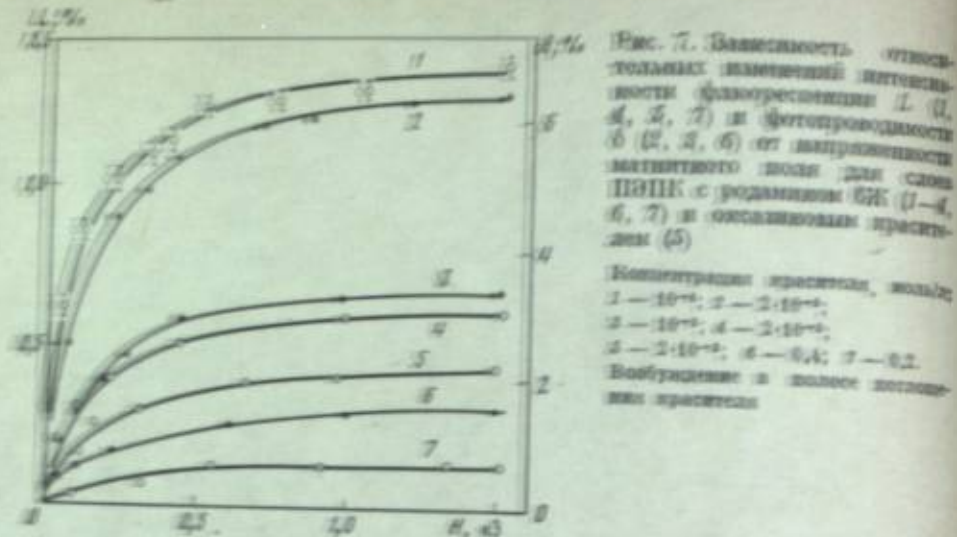


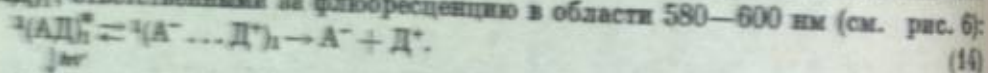
Рис. 7. Зависимость относительных изменений интенсивности флюоресценции L (1, 4, 5, 7) и фотопроводимости δ (2, 3, 6) от напряженности магнитного поля для слоя ПЭПК с родамином БЖ (1-4, 6, 7) и оксазиновым красителем (5).

Концентрации красителя, моль/л:
1 — 10^{-6} ; 2 — $2 \cdot 10^{-6}$;
3 — 10^{-5} ; 4 — $2 \cdot 10^{-5}$;
5 — $2 \cdot 10^{-4}$; 6 — 0,4; 7 — 0,2.
Возбуждение в зоне поглощения красителя.

стии синглетно-возбужденной молекулы красителя A_1^* с хромофорной (карбоксильной) группой полимера D_0 :



Однаковое по знаку и характеру влияние магнитного поля на интенсивность флюоресценции и выход фотогенерации (рис. 7) позволяет сделать вывод, что «магниточувствительные» состояния ион-радикальных пар ответственны за фотогенерацию и связаны взаимными переходами с эксиплексными состояниями ${}^3(AD)_1^*$, ответственными за флюоресценцию в области 580—600 нм (см. рис. 6):



Таким образом, образование ион-радикальных пар прямо связано с наличием эксиплексных мест, концентрация которых определяется концентрацией красителя, но, вообще говоря, не совпадает с ней, так как для образования эксиплекса требуется строго определенное взаимное расположение его компонент [17].

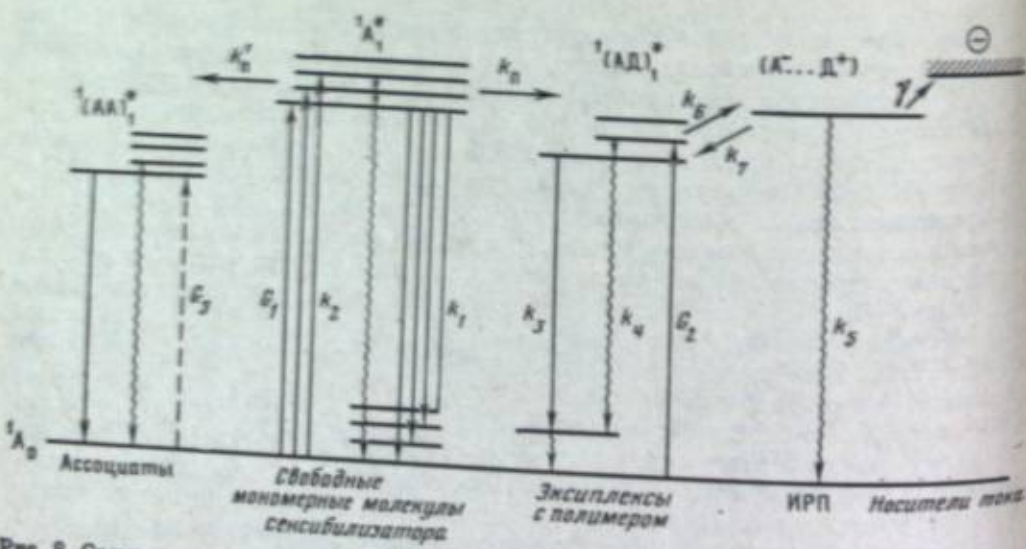


Рис. 8. Схема первичных фотофизических процессов при спектральной сенсибилизации слоев низкомолекулярных ПВК и ПЭПК.

G_1, G_2, G_3 — скорости поглощения света свободными молекулами сенсибилизатора, эксиплексами и ассоциатами соответственно; k_1 и k_2 — константы излучательных переходов в свободных молекулах A_1^* и ассоциатах; k_3, k_4, k_5 — константы скоростей безызлучательных переходов в состояниях A_1^* , $(AD)_1^*$ и эксиплексе; k_6 и k_7 — константы скоростей безызлучательного переноса энергии от радикальной пары соответственно; k_8 и k_9 — константы скоростей безызлучательного переноса энергии от возбужденной молекулы красителя к эксиплексу и ассоциату соответственно.

Результирующая схема переходов, происходящих при спектральной сенсибилизации слоев ПВК и ПЭПК, дана на рис. 8. Уровень эксиплекса находится между уровнями ассоциатов и свободных молекул A_1^* , так как не наблюдается безызлучательного переноса энергии от ассоциатов. Об этом свидетельствует снижение величин $\delta(H)$ и $L(H)$ при ассоциации (рис. 9), происходящее при замене чувствительных к магнитному полю флюоресценции и фотогенерации, связанных с эксиплексным состоянием, соответствующими процессами, происходящими с участием возбужденных ассоциатов, нечувствительных к магнитному полю.

Для концентраций возбужденных свободных мономерных молекул сенсибилизатора ($[{}^3A_1] = m$), эксиплексных состояний ($[({}^3DA)_1^*] = p$) и ион-радикальных пар ($[({}^3A^- \dots D^+)] = q$) имеем (согласно схеме на рис. 8) следующую систему кинетических уравнений:

$$\begin{aligned} dm/dt &= G_1 - (k_1 + k_2 + k_n + k_{n'})m, \\ dp/dt &= G_2 + k_7q + k_{n'}m - (k_3 + k_4 + k_6)p, \\ dq/dt &= k_6p - (k_7 + k_8 + \gamma)q. \end{aligned} \quad (15)$$

В стационарных условиях ($dm/dt = dp/dt = dq/dt = 0$) для эффективности фотогенерации $\beta = \gamma q / (G_1 + G_2 + G_3)$ можно записать исходя из выражений (15) следующие уравнения:

$$\beta = \frac{\beta_n}{G_1 + G_2 + G_3} \left(\frac{k_n}{k_n + k_1 + k_2 + k_{n'}} G_1 + G_2 \right), \quad (16)$$

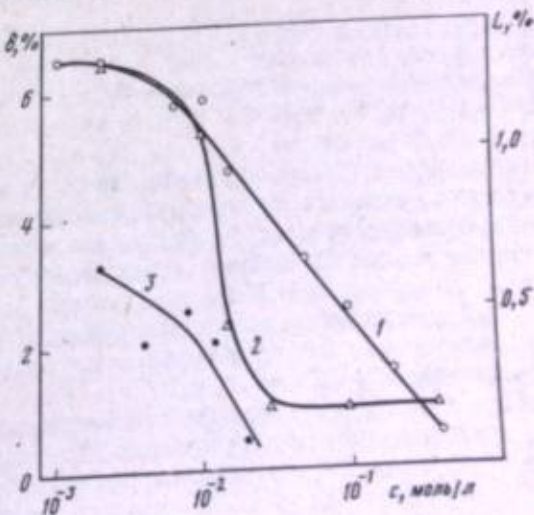
$$\beta_n = \frac{\gamma k_6}{(k_3 + k_4 + k_6)(k_7 + k_8 + \gamma) - k_6 k_7}, \quad (17)$$

где β_n — предельная эффективность фотогенерации, определяемая скоростью диссоциации ион-радикальных пар.

Из выражения (16) следует, что при $k_n \gg k_1 + k_2 + k_{n'}$ (условие безызлучательного переноса энергии от ${}^3A_1^*$ к эксиплексу) $\beta = \beta_n$ ($G_3 = 0$). Очевидно, что это условие соблюдается при достаточно высокой концентрации сенсибилизатора. При обратном условии ($k_n \ll k_1 + k_2 + k_{n'}$) $\beta_n = \beta_n G_2 / (G_1 + G_2 + G_3) < \beta_n$. Таким образом, из уравнений (15) — (17) следует, что β , а следовательно, и η должны возрастать при таких концентрациях сенсибилизатора, когда начинается безызлучательный перенос энергии между его молекулами, так как условие переноса энергии с ${}^3A_1^*$ на эксиплекс совпадает с условием безызлучательного переноса энергии на A_0 .

Отношение $\beta_n/\beta = G_2/(G_1 + G_2 + G_3)$ равно доле световой энергии, поглощаемой молекулами A_0 , находящимися в эксиплексных местах. Однако из рис. 3 и 4 видно, что для родаминовых и оксазиновых красителей δ (и β) не наблюдается. Очевидно, это связано с одновременным резким возрастанием ассоциации молекул красителя (увеличение k_n) и падением доли свободных (и пропорциональной ей доли «эксиплексных») молекул сенсибилизатора (уменьшение $G_1/(G_1 + G_2 + G_3)$).

Рис. 9. Концентрационные зависимости относительных изменений интенсивности флюоресценции L (1, 3) и фотопроводимости δ (2) при $H = 1$ кОе для слоя ПЭПК с родамином БЖ (1, 2) и оксазиновым красителем (3).



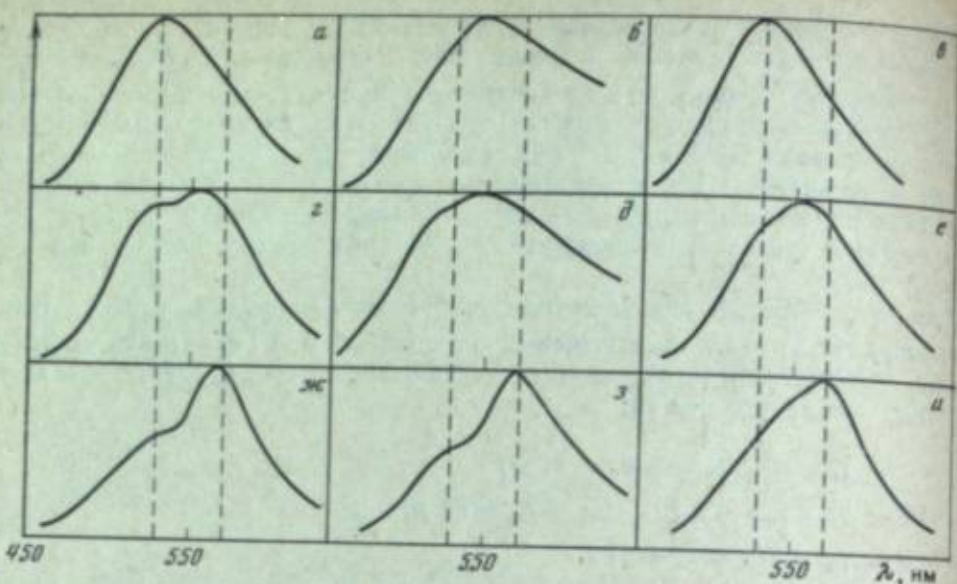


Рис. 10. Спектры флуоресценции красителей в слоях ПВК

Концентрация 1,8-нафтоилен-1',2'-бензимидазола, моль/л: а, з, γс — 0,04; б, δ, з — 0,4; с, е, у — 2. Концентрация родамина 6Ж, моль/л: а—е — 0; з — е — 2·10⁻⁴; γс — у — 10⁻⁸.

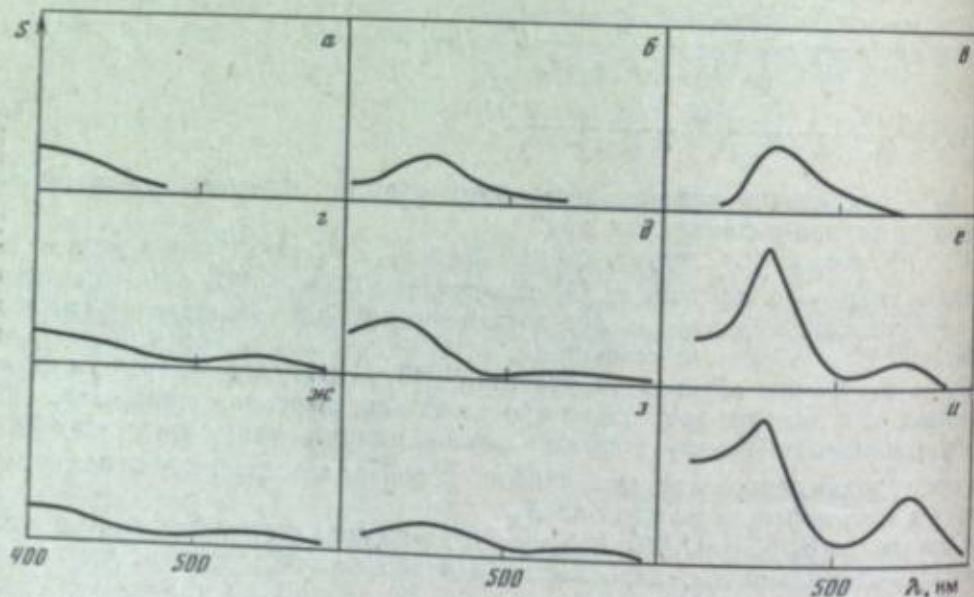


Рис. 11. Спектры электропотографической чувствительности S слоев ПВК при различных концентрациях красителей

Концентрация 1,8-нафтоилен-1',2'-бензимидазола, моль/л: а, з, γс — 0,04; б, δ, з — 0,4; с, е, у — 2. Концентрация родамина 6Ж, моль/л: а—е — 0; з—е — 2·10⁻⁴; γс — у — 10⁻⁸.

Однако рост β при усилении безызлучательного переноса энергии можно наблюдать, если исключить процесс ассоциации. Для этого была исследована электропотографическая чувствительность слоев ПВК и ПЭПК с добавлением двух красителей: эффективного сенсибилизатора (родамина 6Ж) и малоэффективного (1,8-нафтоилен-1',2'-бензимидазола). Второй краситель имел достаточно высокий квантовый выход флуоресценции ($\sim 0,5$) и служил донором энергии возбуждения (его спектр испускания хорошо перекрывается со спектром поглощения родамина 6Ж).

Спектры электропотографической чувствительности слоев исследовали при постоянной концентрации родамина 6Ж и изменении концентрации второго красителя. Процесс безызлучательного переноса энергии наблюдали по спектрам флуоресценции (рис. 10). Из рисунка видно, что безызлучательный перенос

Рис. 12. Спектры поглощения (I—J), электропотографической чувствительности (d) и флуоресценции (5—7) слоев ПЭПК с пирилиевым красителем

Концентрация, моль/л: 1 — ПЭПК в ацетоне ($9 \cdot 10^{-3}$); 2 — пирилиевый краситель в хлороформе (10^{-3}); 3 — смесь пирилиевого красителя ($3,8 \cdot 10^{-3}$) с ПЭПК ($8,6 \cdot 10^{-3}$) в толуоле; 4 — пирилиевый краситель в ПЭПК ($8 \cdot 10^{-3}$); 5 — пирилиевый краситель в полиметилфенилсилоане К-55 ($4 \cdot 10^{-3}$); 6 — то же ($4 \cdot 10^{-3}$); 7 — пирилиевый краситель в слоях ПЭПК ($0,4$)

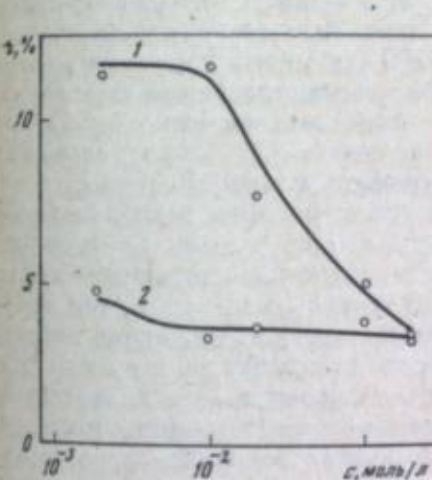
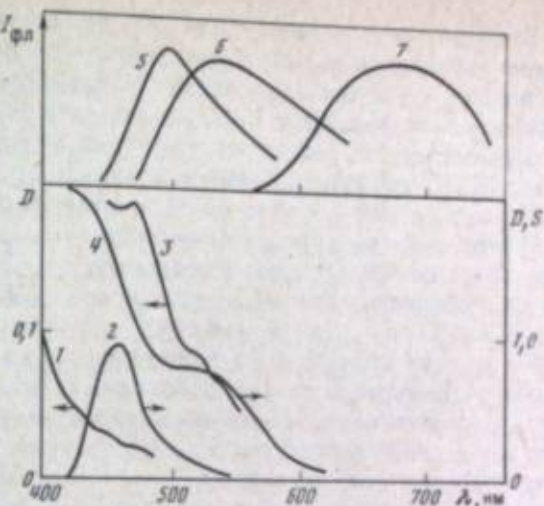


Рис. 13. Концентрационные зависимости анизотропии флуоресценции r пирилиевого красителя

1 — в полиметилфенилсилоане (спектральная область регистрации 500—600 нм); 2 — в слоях ПЭПК (спектральная область регистрации 600—800 нм). Возбуждение светом с $\lambda = 436$ нм

Рис. 14. Концентрационные зависимости интенсивности флуоресценции (I—J) и электропотографической чувствительности (d) слоев ПЭПК с пирилиевым красителем

1 — регистрация в области 400—440 нм; 2 — 500—600; 3 — 600—800; 4 — возбуждение в области 400—500 нм

энергии к родамину 6Ж имеет место уже при самых низких использованных концентрациях донора ($c_D \leq 10^{-3}$ моль/л). В то же время значительное усиление чувствительности в полосе поглощения донора ($\lambda = 400 \div 500$ нм) наблюдается только при $c_D > 10^{-1}$ моль/л (рис. 11). Это означает, что не каждый акт переноса энергии приводит к сенсибилизации. Отсюда следует, что число центров генерации меньше числа молекул сенсибилизатора. Рост эффективности генерации начинается только при значительной миграции энергии возбуждения по молекулам донора, результатом которой является возбуждение центров генерации.

Исследование слоев ПВК и ПЭПК с 1,8-нафтоилен-1',2'-бензимидазолом демонстрирует, что высокий квантовый выход флуоресценции сенсибилизатора является только необходимым условием его эффективности, обеспечивающим высокую скорость безызлучательного переноса энергии. Вторым условием является возможность образования центров генерации при взаимодействии с полимером.

Большую роль играют процессы безызлучательного переноса энергии не только при «эксплекском» механизме, но и при участии в фотогенерации КПЗ в основном состоянии. В настоящей работе исследован комплекс ПЭПК и ПВК с пирилиевым красителем (2,6-диарилпирилийперхлорат). На рис. 12 (правая 5) показан дифференциальный спектр поглощения раствора сенсибилизатора с ПЭПК в толуоле. В кювете сравнения находился раствор соли ($c = 3,8 \cdot 10^{-4}$ моль/л). Из рисунка видно образование полосы КПЗ в области $\lambda = 470$ нм, которая хорошо коррелирует с полосой сенсибилизированной чувствительности. Обнаружена флюoresценция КПЗ в области 650–680 нм (правая 7), которая имеет место одновременно с флюoresценцией свободных молекул ($\lambda = 500$ нм) и их ассоциатов ($\lambda = 550$ нм).

На рис. 13 представлены концентрационные зависимости величины анизотропии r для флюoresценции КПЗ и суммарной флюoresценции свободных молекул и ассоциатов при возбуждении в полосе поглощения сенсибилизатора. Видно, что для последней наблюдается обычная зависимость концентрационной деполяризации флюoresценции, в то время как флюoresценция КПЗ значительно деполяризована при самых низких концентрациях. Отсюда следует, что прямое возбуждение КПЗ при возбуждении одной из его компонент малоэффективно и в основном его возбуждение происходит при безызлучательном переносе энергии от возбужденных молекул сенсибилизатора. Это означает, что не все его молекулы входят компонентами в КПЗ («закомплексованы»), а значительная часть их находится в свободном или ассоциированном состоянии.

На рис. 14 представлены концентрационные зависимости интенсивности флюoresценции КПЗ, молекул и ассоциатов для слоев ПЭПК с пирилиевым красителем. Из рис. 14 и 13 видно, что интенсивность флюoresценции свободных молекул падает при тех концентрациях, когда начинается безызлучательный перенос энергии и ее деполяризация (см. рис. 13). Одновременно нарастает флюoresценция КПЗ. Таким образом, в данном случае концентрационное тушение флюoresценции связано с образованием КПЗ, а не с ассоциацией, так как для этого сенсибилизатора тушение в ассоциатах отсутствует. Снижение эффективности флюoresценции КПЗ связано с ростом числа ассоциатов и с их поглощением, конкурирующим с поглощением свободных молекул. При этом ассоциаты не образуют КПЗ с полимером. Из рис. 14 видно также, что концентрационная зависимость S в этом случае коррелирует с концентрационной зависимостью флюoresценции КПЗ.

Таким образом, для низкомолекулярных полимеров максимальная эффективность сенсибилизации определяется конкуренцией процессов безызлучательного переноса энергии от возбужденной молекулы сенсибилизатора к эксплексу и безызлучательного переноса на ассоциаты. При участии в процессе фотогенерации КПЗ полимера с сенсибилизатором максимальная эффективность сенсибилизации определяется долей световой энергии, поглощаемой свободными и «закомплексованными» молекулами сенсибилизатора. С этим поглощением конкурирует поглощение ассоциатами, энергия возбуждения которых расходуется в излучательных и безызлучательных процессах.

Согласно схеме на рис. 8 ассоциаты являются ловушками энергии возбуждения: их уровень лежит ниже уровня ${}^1A_1^*$ и ${}^1(A\bar{D})_1^*$.

ОСОБЕННОСТИ ПЕРВИЧНЫХ ФОТОФИЗИЧЕСКИХ ПРОЦЕССОВ ФОТОГЕНЕРАЦИИ В СЛОЯХ СЕНСИБИЛИЗИРОВАННЫХ ВЫСОКОМОЛЕКУЛЯРНЫХ ПОЛИ-*N*-ВИНИЛКАРБАЗОЛА И ПОЛИ-*N*-ЭПОКСИПРОПИЛКАРБАЗОЛА С МОЛЕКУЛЯРНЫМ ВЕСОМ $> 10^6$

Известно [18], что надмолекулярная структура макромолекулярных твердых тел имеет свои особенности, связанные с тем, что неоднородности в структуре, имеющие флюктуационную природу, сохраняются длительное время. Поэтому низкомолекулярные добавки, введенные в полимер при температуре ниже температуры стеклования T_{st} , оказываются расположеными в различных микрообъемах полимера, различающихся степенью упорядоченности и плотностью упаковки макромолекул в твердом теле. Эта особенность высокомолекулярных полимеров, проявляющаяся при длине полимерной цепи много больше длины

кинетического сегмента ($A = 10 \div 15$ мономерных звеньев) [19], т. е. при $M_w > 10^4$, приводит к значительным изменениям как кинетики фотохимических реакций [18], так и первичных фотофизических процессов.

В настоящей работе это показано на примере слоев высокомолекулярных ПВК и ПЭПК, сенсибилизированных родамином БЖ, пирилиевым красителем 1,8-нафтоилен-1',2'-бензимидазолом.

На рис. 15 представлены концентрационные зависимости величины анизотропии флюoresценции r для различных красителей в ПВК с $M_w = 1,7 \cdot 10^5$. Сравнение этих зависимостей с аналогичными для низкомолекулярных полимеров (см. рис. 5), а также для этанол-глицериновой смеси (рис. 15, кривая 3) показывает, что явление концентрационной деполяризации флюoresценции в слоях высокомолекулярного ПВК начинается при гораздо меньших концентрациях (при $c_{cr} = 2 \cdot 10^{-5}$ моль/л вместо $c_{cr} = 10^{-3}$ моль/л для низкомолекулярного ПВК), причем эта величина не зависит от природы вводимого сенсибилизатора (конечно, при одинаковых скоростях безызлучательного переноса энергии между его молекулами). Специальными экспериментами показано, что это явление не связано с рассеянием света в частично кристаллизующемся полимере, а также с изменением условий вращательной деполяризации.

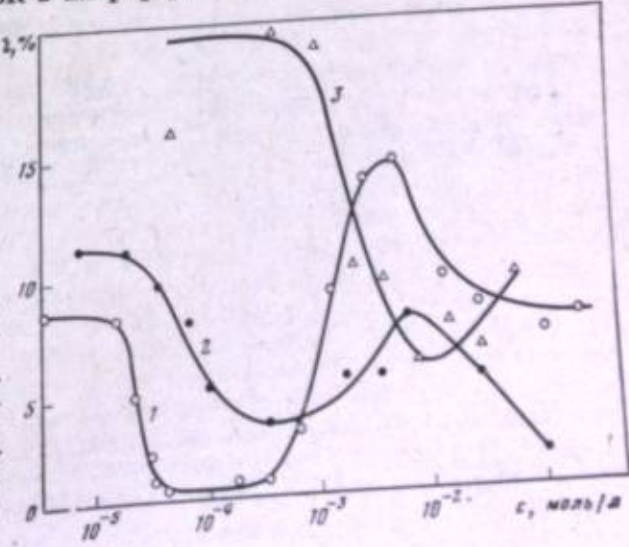
Уменьшение критической концентрации переноса энергии можно объяснить, если принять, что оно связано прежде всего с иерархическим микронеоднородным пространственным распределением сенсибилизатора в полимерной среде. В результате микроскопическая концентрация добавки в 40–50 раз (c_{cr}/c_{cr}) превышает макроскопическую ее концентрацию (см. рис. 15). Это приводит к тому, что интенсивный безызлучательный перенос энергии происходит уже при концентрациях в 40–50 раз меньше критической концентрации переноса.

Из рис. 15 видно также, что при высоких концентрациях сенсибилизатора ($> 10^{-3}$ моль/л) наблюдается аномальное значительное увеличение степени анизотропии флюoresценции, отсутствующее в случае низкомолекулярных полимеров. Для объяснения этого факта следует учесть, что при концентрации сенсибилизатора $> 10^{-3}$ моль/л микроскопическая концентрация добавки $> 4 \cdot 10^{-2}$ моль/л достаточна для образования значительного числа агрегатов молекулярного размера. При этом концентрация свободных мономерных молекул, находящихся вне этих агрегатов, будет невелика. Их вклад в общую интенсивность флюoresценции соответствует небольшой доле поляризованной флюoresценции при $2 \cdot 10^{-5} < c < 10^{-3}$ моль/л.

Наличие значительного числа агрегатов молекулярного размера и отсутствие мономерных молекул приводят к тому, что поглощение и испускание приобретают коллективный характер, так как связаны только с такими агрегатами. Поэтому и наблюдается рост анизотропии испускания при концентрации сенсибилизатора $c > 10^{-3}$ моль/л. Коллективные поглощение и испускание наблюдаются и для вязких (~5 нм) концентрированных растворов высокомолекулярного ПВК с родамином БЖ в хлороформе, а также для слоев ПВК с 1,8-нафтоилен-1',2'-бензимидазолом (см. рис. 15, кривая 2).

Альтернативное объяснение состоит в значительном сокращении времени жизни возбужденных молекул сенсибилизатора при высокой концентрации, аналогично тому, как это происходит для этанол-глицериновых

Рис. 15. Концентрационные зависимости анизотропии флюoresценции ПВК с родамином БЖ (1), ПВК с 1,8-нафтоилен-1',2'-бензимидазолом (2) и родамина БЖ в этанол-глицериновой смеси (3) в возбуждении светом с $\lambda = 547$ нм.



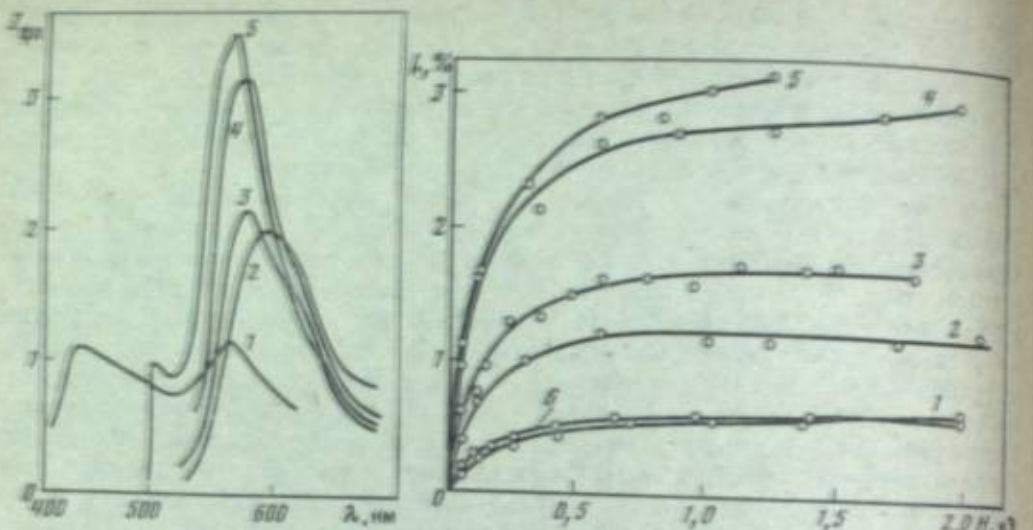


Рис. 16. Спектры флуоресценции слоев ПВК с родамином 6Ж

Концентрация родамина 6Ж, моль/л: 1 — 10^{-6} ; 2 — $2 \cdot 10^{-6}$; 3 — $2 \cdot 10^{-5}$; 4 — 0,1; 5 — 0,2.
Возбуждение светом с $\lambda = 366$ нм

Рис. 17. Зависимость относительных изменений интенсивности флуоресценции L от напряженности магнитного поля H для слоев высокомолекулярных ПВК (1—5) и ПЭПК (6) с родамином 6Ж

Концентрация родамина 6Ж, моль/л: 1 — $2 \cdot 10^{-6}$; 2 — $2 \cdot 10^{-6}$; 3 — 0,2; 4 — $3 \cdot 10^{-5}$; 5 — 10^{-5} ; 6 — 0,2

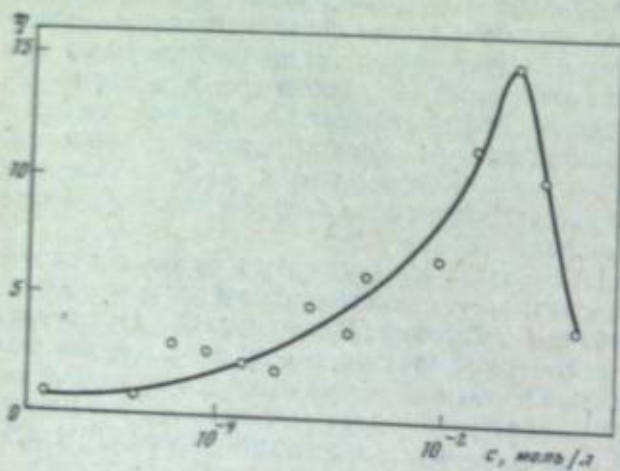
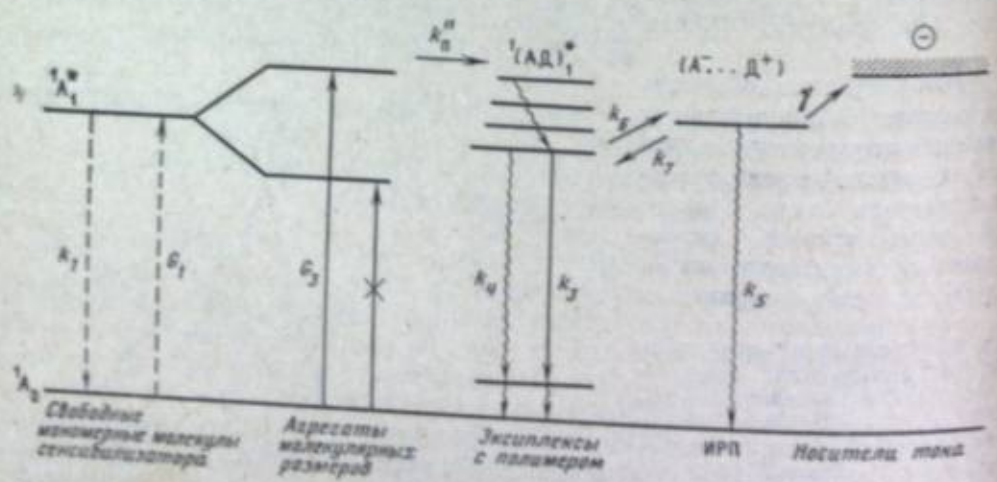


Рис. 18. Концентрационная зависимость относительной эффективности фотогенерации в слоях высокомолекулярного ПВК родамином 6Ж

Рис. 19. Схема первичных фотофизических процессов при спонтанной сенсибилизации слоев высокомолекулярных ПВК и ПЭПК
Пунктиром показаны малоэффективные процессы; волнистыми стрелками — безызлучательные каналы деградации. Обозначения констант скорости те же, что и на рис. 8



растворов родамина 6Ж (см. рис. 15, кривая 3) при $c_{\text{ср}} > 10^{-2}$ моль/л. Для проверки такой возможности получены концентрационные зависимости величин r для слоев высокомолекулярного ПВК с 1,8-нафтоилен-1',2'-бензимидазолом, для которого явление концентрационного тушения флюресценции, а следовательно, и сокращение времени жизни возбужденного состояния отсутствуют. Из рис. 15 (кривая 2) следует, что и в этом случае наблюдается рост r при $c > 10^{-3}$ моль/л.

Наблюдение спектров коллективного испускания для слоев высокомолекулярного ПВК с родамином 6Ж (рис. 16) показало, что это испускание имеет «эксиплексный» характер (максимум при $\lambda = 580 \div 600$ нм, см. рис. 6). Этот вывод подтверждается и обнаруженной нами чувствительностью интенсивности коллективного испускания к внешнему магнитному полю (рис. 17, кривые 3—5), причем характер и знак зависимости от напряженности магнитного поля такие же, как и для слоев низкомолекулярных ПВК и ПЭПК (см. рис. 7).

Высокая степень анизотропии коллективного испускания свидетельствует о том, что эксиплекс жестко связан с агрегатом молекулярного размера. Возможно, что компоненты эксиплекса являются одна из молекул агрегата и карбазолильная группа полимера. В случае 1,8-нафтоилен-1',2'-бензимидазола центром испускания является, по-видимому, одна из молекул агрегата, уровень энергии возбуждения которой расположен ниже, чем у остальных.

Возможность эффективного безызлучательного переноса энергии от агрегата молекулярного размера к эксиплексу связана с повышением возбужденного уровня агрегата в слоях высокомолекулярного полимера так, что он располагается выше уровня эксиплекса (последний, судя по спектрам флуоресценции, показанным на рис. 16, не изменяется). Возможность такого повышения связана с коллективным характером взаимодействия в возбужденном агрегате [20], приводящего к энергетическому расщеплению возбужденного уровня мономерной молекулы на N подуровней (N — число молекул в ассоциате), а также с его геометрией (правильностью и характером упаковки составляющих молекул, определяемыми, возможно, геометрией полимерных дефектов).

Такая инверсия уровней приводит к тому, что ассоциаты, которые в слоях низкомолекулярных полимеров были центрами тушения (см. рис. 8), в слоях высокомолекулярных полимеров становятся агрегатами молекулярных размеров — центрами генерации (за счет безызлучательного переноса энергии на эксиплекс). Измерение концентрационной зависимости относительного выхода фотогенерации подтверждает этот вывод (рис. 18). Эта зависимость значительно отличается от аналогичной зависимости для слоев низкомолекулярных полимеров (см. рис. 3 и 4) и имеет максимум при такой концентрации сенсибилизатора, когда поглощение приобретает коллективный характер ($c \approx 10^{-2}$ моль/л).

Таким образом, особенности высокомолекулярной полимерной матрицы приводят к тому, что ассоциаты молекул сенсибилизатора, которые в низкомолекулярной матрице были неактивными, становятся активными во всех фотофизических процессах (флуоресценция и фотогенерация).

Схема первичных фотофизических процессов в этом случае показана на рис. 19. При достаточно высокой концентрации сенсибилизатора поглощение происходит только в агрегатах молекулярных размеров. При этом, как показано на примере димеров ($N = 2$), при определенной упаковке составляющих его молекул [20] разрешенный является переход в верхнее состояние, а переход в нижнее — запрещенным. После безызлучательного переноса энергии к эксиплексу (с константой скорости k_6) дальнейшие процессы происходят так

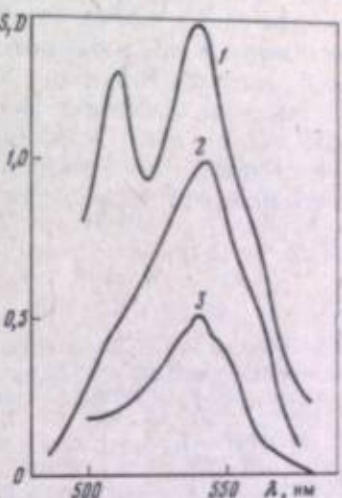


Рис. 20. Спектры электрофотографической чувствительности S слоев ПВК с родамином 6Ж (1, 2) и спектр поглощения родамина 6Ж в глицерине (3)

Концентрация родамина 6Ж, моль/л: 1 — $3 \cdot 10^{-6}$; 2 — $9 \cdot 10^{-6}$; 3 — $2 \cdot 10^{-6}$

же, как и в случае низкомолекулярных полимеров. Коротковолновое смещение поглощения агрегатов в слоях высокомолекулярных полимеров подтверждается спектрами электрофотографической чувствительности (рис. 20). Из рис. 20 (кривая 1) видно, что при высокой концентрации сенсибилизатора в спектре электрофотографической чувствительности появляется максимум при $\lambda = 510$ нм, отсутствующий в соответствующих спектрах при низких концентрации сенсибилизатора (кривая 2) и для слоев низкомолекулярных ПВК и ПЭПК (см. рис. 1, кривая 3).

В случае сенсибилизации высокомолекулярного ПВК пирилиевым красителем пространственная микронеоднородность распределения приводит к тому, что при самых низких концентрациях сенсибилизатора ($c < 10^{-4}$ моль/л) ответственными за флюoresценцию являются ассоциаты ($\lambda = 550$ нм, см. рис. 12); флюoresценция КПЗ ($\lambda = 650 \div 680$ нм) не наблюдается. Это связано с тем, что молекулы сенсибилизатора, связанные в ассоциаты, не могут образовать КПЗ с полимером. В слоях низкомолекулярных ПВК и ПЭПК, наоборот, флюoresценция КПЗ наблюдается (см. рис. 14) и при низких, и при высоких концентрациях сенсибилизатора.

ЛИТЕРАТУРА

1. Бородкина М. С., Малахова И. А., Чельцов Т. В.— В кн.: Фотоника органических полупроводников. Киев: Наук. думка, 1977, с. 115.
2. Hoegel H.— J. Phys. Chem., 1965, vol. 69, p. 755—761.
3. Шафферт Р. Электрофотография/Пер. под ред. В. М. Фридкина, А. Б. Дравина. М.: Мир, 1968. 448 с.
4. Безызлучательный перенос энергии электронного возбуждения / Ермолаев В. Л., Бодунов Е. Н., Свешников Е. Б., Шаллердов Г. А. Л.: Наука, 1977. 310 с.
5. Williams D. J.— In: Photoconductivity in polymers. An interdisciplinary approach/Ed. A. V. Patsis, D. A. Seanor. USA: Technomic, 1976, p. 274.
6. Румянцев В. М., Балабанов Е. И., Букин Ю. И. и др.— В кн.: X координационное совещание по органическим полупроводникам (Косов, 1979): Тез. докл. Косов, 1979, с. 66—67.
7. Соколик И. А., Франкевич Е. Л.— Успехи физ. наук, 1973, т. 111, с. 261—288.
8. Левшин В. Л., Баранова Е. Г.— Оптика и спектроскопия, 1959, т. 6, с. 55—64.
9. Франкевич Е. Л.— В кн.: Фотоника органических полупроводников. Киев: Наук. думка, 1977, с. 133—157.
10. Fox S. J.— In: Photoconductivity in polymers. An interdisciplinary approach/Ed. A. V. Patsis, D. A. Seanor. USA: Technomic, 1976, p. 253.
11. Франкевич Е. Л., Балабанов Е. И., Всеславская Г. В.— Физика твердого тела, 1966, т. 8, с. 1970.
12. Феофилов П. П., Свешников Е. Я.— Журн. эксперим. и теорет. физики, 1940, т. 10, с. 1372.
13. Вукс М. Ф. Рассеяние света в газах, жидкостях и растворах. Л.: Книга, 1977. 320 с.
14. Bojariki C., Kizba J., Obermüller G.— Ztschr. Naturforsch., 1971, Bd. 26A, S. 255—259.
15. Левшин Л. В., Славнова Т. Д., Южаков В. И.— Журн. прикл. спектроскопии, 1976, т. 25, с. 89.
16. Okamoto K., Oda N., Itaya A., Kizabayashi S.— Chem. Phys. Lett., 1975, vol. 35, p. 483—486.
17. Birks J. B.— Nature, 1967, vol. 214, p. 1187—1189.
18. Лашков Г. И.— Успехи науч. фотографии, 1978, т. 19, с. 100—108.
19. Цветков В. Н., Эскин В. Е., Фрэзер С. Я.— В кн.: Структура макромолекул в растворах. М.: Наука, 1964, с. 24.
20. Астаков С.— В кн.: XXVI Всесоюзное совещание по люминесценции (Самара, 1979): Тез. докл. Самара, 1979, с. 178. Изд-во Самарк. гос. ун-та, 1979, с. 178.

III. ПОЛИМЕТИНОВЫЕ КРАСИТЕЛИ В ЛАЗЕРНОЙ ТЕХНИКЕ

В. И. Малышев

УДК 621.373.828.638.824

ПРИМЕНЕНИЕ ПОЛИМЕТИНОВЫХ КРАСИТЕЛЕЙ В КВАНТОВОЙ ЭЛЕКТРОНИКЕ

В настоящее время большое число органических соединений, в том числе полиметиновые красители, широко используется в квантовой электронике. Успешное использование этих красителей в квантовой электронике в Советском Союзе стало возможным благодаря работам по синтезу разнообразных полиметиновых красителей, которые проводились под руководством академика А. И. Киприанова и члена-корреспондента АН СССР И. И. Левкоева.

Настоящая статья написана по материалам докладов, прочитанных автором на симпозиумах, посвященных памяти А. И. Киприанова и И. И. Левкоева. Она содержит краткий обзор ряда опубликованных работ, выполненных в основном в Советском Союзе, по применению полиметиновых красителей в квантовой электронике.

В квантовой электронике полиметиновые красители (ПМК) находят применение в качестве модуляторов добротности в твердотельных лазерах (в лазерах на рубине, стеклах и иттриевом гранате с ионами неодима), генерирующих так называемые «гигантские» импульсы, в лазерах, генерирующих ультракороткие (пикосекундные) импульсы, в качестве так называемых «развязок» в многокаскадных лазерных усилителях. Некоторые ПМК используются также в качестве активных сред в лазерах на красителях, которые позволяют в широких пределах изменять частоту генерируемого излучения. Указанные типы лазеров широко используются в различных областях научных исследований (физике, химии, биологии и др.) и практики.

Прежде чем говорить о свойствах ПМК и их использовании в лазерах, кратко рассмотрим принцип работы твердотельных лазеров.

Твердотельный лазер (рис. 1) состоит из активной среды — стержня из специального материала с полированными торцами (стекла или кристалла), источника возбуждения — разрядной импульсной лампы (источника «накачки») и резонатора — системы зеркал, между которыми расположен стержень активной среды (рубин, неодимовое стекло). В результате поглощения ионами активной среды излучения источника накачки происходит увеличение числа возбужденных ионов или, как говорят, происходит заселение возбужденного уровня 2 (рис. 2), который обычно является метастабильным, т. е. долгоживущим в возбужденном состоянии. Причем заселение уровня 2 может происходить либо непосредственно в результате поглощения, либо в результате безызлучательного перехода с более высокого энергетического уровня 2', возбуждаемого при поглощении излучения накачки (как это показано на рисунке).

Между возбужденным (2) и невозбужденным (1) состояниями возможны три процесса: а) процесс спонтанного излучения — люминесценция, который можно изобразить как $E_2 \rightarrow E_1 + h\nu_{2,1}$, где E_1 и E_2 — энергии основного и возбужденного уровней; $h\nu_{2,1}$ — фотон излучения люминесценции; б) процесс индуцированного излучения ($E_2 + h\nu_{2,1} \rightarrow E_1 + 2h\nu_{2,1}$); в) процесс резонансного поглощения ($E_1 + h\nu_{2,1} \rightarrow E_2$).

При распространении излучения с частотой $\nu_{2,1} = (E_2 - E_1)/\hbar$ в среде изменение его интенсивности определяется законом Бугера

$$I = I_0 \exp(-\alpha_{1,2} l),$$

где $\alpha_{1,2} = \sigma_{1,2}(N_2 - N_1)$ — показатель поглощения; $\sigma_{1,2} = \sigma_{2,1}$ — сечение

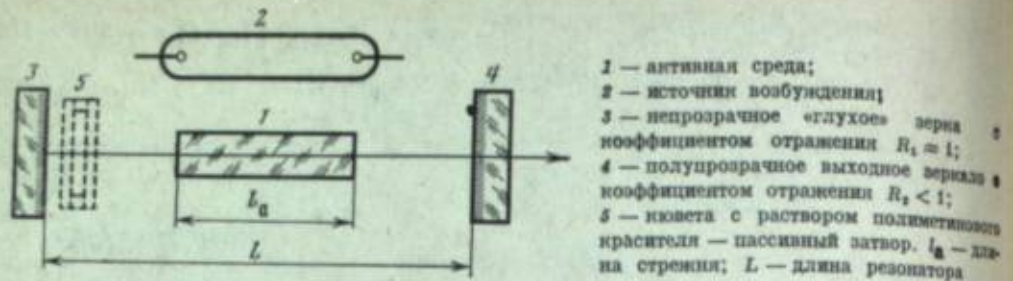


Рис. 1. Схема твердотельного импульсного лазера

поглощения индуцированного перехода; N_2 и N_1 — число возбужденных и небозбужденных частиц или населенности уровней 2 и 1; l — толщина слоя среды.

При отсутствии накачки обычно $N_2 < N_1$, и потому $\alpha_{1,2} < 0$; в среде происходит уменьшение интенсивности проходящего излучения — процесс поглощения преобладает над другими процессами. При «накачке», т. е. при возбуждении уровня 2, можно достичь такого состояния, что $N_2 > N_1$ (это состояние обычно называют состоянием с инверсной населенностью уровня), тогда $\alpha_{1,2} > 0$; в среде происходит увеличение интенсивности проходящего излучения, так как число индуцированных переходов $E_2 + h\nu_{2,1} \rightarrow E_1 + 2h\nu_{2,1}$ преобладает над числом актов поглощения. При этом чем больше разность инверской

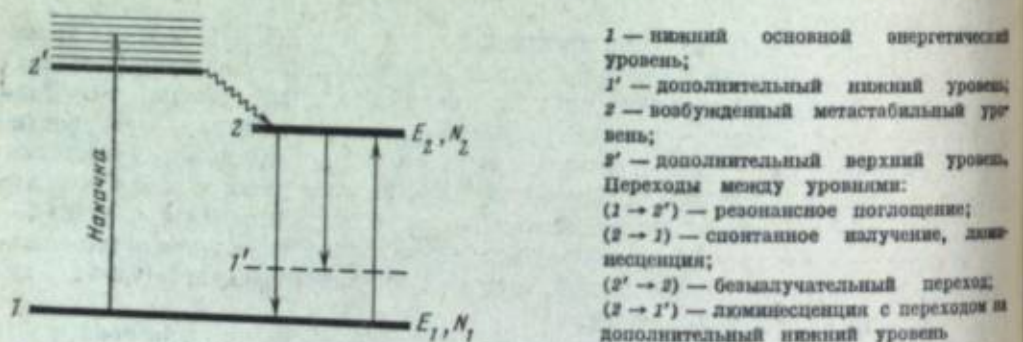


Рис. 2. Схема энергетических уровней твердотельных лазеров

населенности уровней $\Delta N_{2,1} = N_2 - N_1$, тем больше коэффициент усиления интенсивности и большая абсолютная величина энергии, запасенной в активной среде.

Поскольку в лазере активная среда помещена в резонатор, то излучение многократно отражаясь от зеркал, большое число раз проходит через активную среду, что приводит к значительному росту энергии излучения. В активной среде с инверсной населенностью может начать усиливаться и возникающее в самой среде спонтанное излучение, т. е. излучение люминесценции. В этом случае в лазере возникает генерация — резкое лавинообразное увеличение интенсивности излучения на частоте $\nu_{2,1}$.

Однако в реальном лазере всегда имеются дополнительные потери энергии излучения, которые приводят к снижению коэффициента усиления, затрудняют возникновение генерации. К этим потерям энергии относятся: рассеяние излучения в сторону в активной среде, потери вследствие дифракции, потери на зеркалах резонатора, так как их коэффициенты отражения меньше единицы, а одно из зеркал делается полупрозрачным для вывода излучения из резонатора. С учетом этих потерь закон Бугера для реального лазера при прохождении излучением одного полного цикла в резонаторе (двойного прохода излучением между зеркалами) можно написать в виде

$$I = I_0 R_1 R_2 \exp [2(\alpha_{1,2} - \beta) l_a],$$

где R_1 и R_2 — коэффициенты отражения зеркал; l_a — длина пути в активной среде; β — величина, характеризующая остаточные потери.

Возникновение генерации в реальном лазере, очевидно, возможно лишь при таком состоянии активной среды, когда усиление интенсивности излучения за счет индуцированных переходов превышает все потери излучения в резонаторе, если $I > I_0$, т. е.,

$$R_1 R_2 \exp [2(\alpha_{1,2} - \beta) l_a] > 1.$$

Это условие, которое обычно называют условием порога генерации, при заданных R_1 , R_2 , l_a и β выполняется, если $\alpha_{1,2} > \beta$ или $\sigma_{1,2} (N_2 - N_1) > \beta$, что возможно, если разность населенностей $N_2 - N_1 = \Delta N_{2,1}$ превышает некоторую конечную величину $\Delta N_{\text{пор}}$. Чем меньше величина потерь в резонаторе, тем меньшая абсолютная величина $\Delta N_{\text{пор}}$ (или, как говорят, тем выше добротность резонатора) и, следовательно, тем легче возникает генерация в лазере.

Рассмотрим процесс возникновения генерации в твердотельном лазере при импульсной накачке. В начальный момент времени действия накачки населенность нижнего уровня N_1 значительно больше населенности верхнего рабочего уровня, т. е. $N_1 > N_2$, и поэтому преобладает процесс поглощения. Но постепенно по мере действия излучения накачки населенность верхнего уровня N_2 начинает расти, и при достижении инверсного состояния активной среды с $N_2 > N_1$ начинает преобладать процесс индуцированного излучения. В то же время с увеличением N_2 растет интенсивность люминесценции. При достижении пороговой разности населенностей $\Delta N_{2,1} > \Delta N_{\text{пор}}$ спонтанное излучение люминесценции начинает лавинообразно усиливаться — возникает генерация. Однако при возникновении генерации рост инверсии сначала замедляется из-за возросших процессов индуцированного излучения и, как следствие этого, уменьшения N_2 , а затем может вообще прекратиться, приводя к срыву генерации. Но из-за продолжающейся накачки инверсия активной среды вновь возрастает, достигая условия $\Delta N_{2,1} > \Delta N_{\text{пор}}$, в результате чего снова возникает и потом срывается генерация и т. д. В лазере устанавливается так называемый «пичковый» режим свободной генерации, излучение которой представляет собой совокупность следующих друг за другом нерегулярных импульсов, средняя длительность которых $t_{c,r} \approx 10^{-6}$ сек. При прекращении импульса накачки генерация также прекращается. Полная длительность свободной генерации несколько меньше длительности импульса накачки и обычно составляет $\approx 10^{-3}$ сек.

ГЕНЕРАЦИЯ ГИГАНТСКИХ ИМПУЛЬСОВ

Величина максимально достигаемой при свободной генерации разности населенностей $\Delta N_{c,r}$ относительно невелика, а потому и максимальная мощность излучения «пичков» также невелика ($W_{c,r} \approx 10^3$ Вт). Полная же энергия излучения свободной генерации в зависимости от длины и диаметра активного стержня и энергии накачки лежит в пределах 1–10 Дж, а средняя мощность излучения — 1–10 кВт.

С целью увеличения мощности излучения твердотельных лазеров используют метод модуляции добротности. Метод состоит в следующем. В резонатор лазера искусственно вводят дополнительные потери, например, закрывают одно из зеркал затвором или поворачивают его на некоторый угол, устраивая обратную связь. Тогда в процессе накачки в момент, когда ранее возникла свободная генерация, теперь она не возникает, а населенность верхнего рабочего уровня N_2 (соответственно разность населенностей $\Delta N_{2,1}$) продолжает расти и может достичь величины, значительно превышающей пороговую разность населенностей свободной генерации. При этом вследствие возрастания спонтанного излучения и импульсообразной зависимости энергии накачки во времени рост $\Delta N_{2,1}$ постепенно уменьшается, достигая в некоторый момент времени максимума $\Delta N_{\text{шах}} \gg \Delta N_{\text{пор}}$. В этот момент затвор быстро открывают (или поворачивают зеркало, устанавливая его перпендикулярно оси резонатора), в результате чего добротность резонатора резко возрастает (резко уменьшаются потери излучения), и вследствие большой разности населенностей и, следовательно,

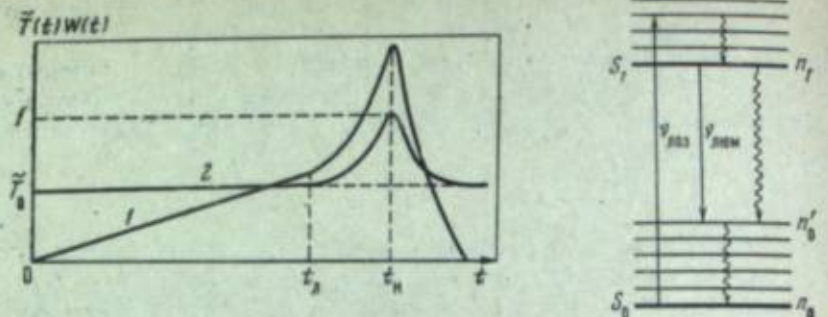


Рис. 3. Изменение энергии лазерного излучения $W(t)$ (1) и коэффициента пропускания раствора красителя $T(t)$ (2) в процессе развития генерации
— I — область линейного усиления; t_1 — t_2 — область нелинейного усиления

Рис. 4. Схема энергетических синглетных уровней молекул полиметиновых красителей
Волнистыми линиями показаны безызлучательные переходы с преобразованием энергии возбуждения в тепловую

большого коэффициента усиления в лазере возникает мощный импульс генерации малой длительности, так называемый гигантский импульс. Его длительность составляет около $\Delta t_{\text{г.и}} \approx 10^{-8}$ сек. Хотя полная энергия гигантского импульса обычно меньше энергии свободной генерации, но за счет существенного сокращения длительности импульса излучения (от 10^{-3} до 10^{-8} сек, т. е. на пять порядков) мощность гигантского импульса значительно возрастает и составляет $W_{\text{г.и}} > 10^8$ Вт.

В первых лазерах, генерирующих гигантские импульсы, модуляция добротности осуществлялась с помощью оптико-механических и электрооптических затворов. В 1964 г. впервые для модуляции добротности твердотельных лазеров были применены растворы ПМК, просветляющиеся под действием лазерного излучения. В резонатор лазера вводили кювету с раствором ПМК (см. рис. 1), полоса поглощения которого совпадала с длиной волны генерации. Концентрация красителя подбиралась такой, чтобы коэффициент пропускания кюветы T_0 на длине волны генерации составлял 10—50%. В результате этого в лазере увеличивались потери для излучения, т. е. уменьшалась добротность резонатора и увеличивался порог генерации.

Процесс генерации гигантского импульса в лазере с просветляющимся раствором качественно можно описать следующим образом. Как и в лазере с механическим затвором, в процессе накачки происходит заселение верхнего рабочего уровня активной среды, появляется спонтанное излучение — люминесценция — интенсивность которой постепенно возрастает. При этом коэффициент пропускания кюветы с раствором красителя в начальной стадии накачки остается неизменным и равным начальному T_0 , а процесс усиления излучения по мере роста разности инверсной населенности $\Delta N_{2,1}$ сохраняется линейным (рис. 3). Процесс линейного усиления продолжается до тех пор, пока под влиянием возрастающей энергии излучения не начнет просветляться раствор красителя, т. е. увеличиваться его коэффициент пропускания T за счет перевода молекул красителя из основного синглетного состояния S_0 в возбужденное S_1 в результате поглощения лазерного излучения (аналогично тому, как это имеет место в активной среде лазера под влиянием накачки).

На рис. 4 приведена схема энергетических синглетных электронно-колебательных уровней молекул ПМК и показаны возможные переходы между ними. При $n_0 > n_1$ у молекул красителя преобладают процессы поглощения $S_0 \rightarrow S_1$ и коэффициент пропускания кюветы $T = T_0 < 1$. При увеличении мощности излучения населенность возбужденного синглетного уровня n_1 растет, коэффициент пропускания увеличивается ($T > T_0$) и при $n_1 = n_0$ раствор красителя полностью просветляется и $T = 1$.

При увеличении коэффициента пропускания кюветы с раствором величина потерь в резонаторе уменьшается, добротность растет, что в свою очередь ведет

к увеличению коэффициента усиления. В результате этого возникает процесс плавленного усиления (см. рис. 3), приводящий к резкому увеличению энергии излучения и к почти полному просветлению раствора $T = 1$. Добротность резонатора резко возрастает, происходит генерация гигантского импульса — вся запасенная в активной среде энергия возбуждения освобождается за короткое время и лазер излучает мощный «гигантский» импульс. Длительность гигантского импульса $\Delta t_{\text{г.и}} \approx 10^{-8}$ сек, а пиковая мощность достигает десятков и сотен мегаватт.

После излучения гигантского импульса коэффициент пропускания раствора красителя уменьшается до первоначального состояния T_0 вследствие релаксации возбужденного состояния молекул красителя. Таким образом, раствор ПМК при модуляции добротности лазера действует как автоматический затвор, открывающийся под действием излучения в момент достижения максимальной инверсии. Такие модуляторы добротности, действующие без внешнего воздействия, обычно называются пассивными затворами (ПЗ).

Впервые растворы ПМК были использованы в качестве пассивных затворов в 1964 г. для модуляции добротности рубиновых лазеров ($\lambda_{\text{ген}} = 694,3$ нм) [1]. Использовали раствор криптоцианина, максимум полосы поглощения которого расположен при $\lambda_{\text{max}} = 704$ нм, т. е. вблизи линии генерации рубина. При этом был получен гигантский импульс длительностью $\Delta t_{\text{г.и}} \approx 10^{-8}$ сек с пиковой мощностью ≈ 20 МВт.

В том же году была получена генерация в режиме гигантского импульса в лазере на неодимовом стекле [2] при модуляции добротности с помощью раствора в метаноле ПМК 3,3'-диэтил-9,11;15,17-бис(β,β-диметилприметил)тиапентакарбоцианиниодида с полосой поглощения $\lambda_{\text{max}} = 1,06$ мкм. Получен гигантский импульс длительностью $2,5 \cdot 10^{-8}$ сек и мощностью ≈ 1 МВт.

В начале 1965 г. в оптической лаборатории ФИАН впервые в СССР была получена генерация гигантского импульса в лазере на неодимовом стекле с пассивным затвором [3]. В качестве пассивного затвора использовали раствор в метаноле полиметинового красителя из класса пентакарбоцианинов — красителя № 1659 У, синтезированного в лаборатории А. И. Киприанова. Был получен гигантский импульс длительностью $\Delta t_{\text{г.и}} = 3,5 \cdot 10^{-8}$ сек с пиковой мощностью ≈ 5 МВт. Однако при генерации гигантских импульсов более высокой мощности раствор этого красителя оказался недостаточно стойким и постепенно разлагался под действием лазерного излучения после нескольких вспышек. Кроме того, раствор этого красителя в метаноле имел недостаточную термическую стойкость, постепенно разлагаясь в течение нескольких суток при хранении при комнатной температуре. В дальнейшем в качестве пассивного затвора был использован раствор другого ПМК 1000 [4], который оказался более стойким и позволял получать гигантские импульсы длительностью около 10 нсек и мощностью до 50 МВт. Однако и этот краситель со временем разлагался.

С целью создания более стабильного пассивного затвора для лазера на неодимовом стекле нами совместно с Государственным оптическим институтом в течение 1965—1966 гг. были проведены систематические исследования растворов большого числа новых ПМК, синтезированных в отделе цвета и строения органических соединений ИОХ АН УССР, руководимом А. И. Киприановым, и отделе органических соединений Госспицхимфотопроекта, руководимом И. И. Левкоевым. Были исследованы растворы более 20 новых красителей в 12 различных растворителях. В этих исследованиях в первую очередь обращалось внимание на термическую и фотохимическую стойкость растворов, а также на относительную величину энергии гигантского импульса по отношению к энергии свободной генерации при одинаковой энергии накачки. Исследования показали, что различные полиметиновые красители резко различаются по термической и фотохимической стойкости; причем на их стойкость существенно влияет природа растворителя и большей стойкостью обладают растворы в нитробензоле.

В результате проведенной работы найдены два новых ПМК (№ 3955 и 3977), растворы которых в нитробензоле обладают достаточно высокой как термической, так и фотохимической стойкостью. Пассивные затворы с растворами этих

красителей позволяют получать гигантские импульсы мощностью до 100–250 МВт без заметного изменения начального коэффициента пропускания после 100 импульсов.

По своим эксплуатационным параметрам пассивный затвор с раствором красителя № 3955 в нитробензоле при генерации гигантского импульса превосходит зарубежные затворы с растворами ПМК фирмы «Eastman Kodak» ЕК-9740 и ЕК-9860. До последнего времени в СССР раствор ПМК № 3955 в нитробензоле является наиболее широко используемым пассивным затвором для лазеров на неодимовом стекле при генерации гигантских импульсов. Для генерации гигантских импульсов в лазерах на рубине и неодимовом стекле наряду с растворами полиметиновых красителей также используются растворы соответствующих фталоцианинов и некоторых других металлогорганических соединений.

ГЕНЕРАЦИЯ УЛЬТРАКОРотКИХ ИМПУЛЬСОВ

При исследовании временной картины излучения твердотельных лазеров с модуляцией добротности с помощью пассивных затворов обнаружено, что генерируемый «гигантский» импульс имеет «гладкую» форму, если спектр излучения имеет небольшую ширину: $\Delta\nu \approx 10^{-2} \div 10^{-3} \text{ см}^{-1}$ (рис. 5, а), когда возбуждается одна или несколько мод — собственных частот резонатора. Такое излучение достигается установкой в резонатор специальных зеркал — селекторов. Если же, наоборот, исключить селекцию мод и добиться того, чтобы излучение лазера имело широкий спектр (лишь несколько меньше ширины спектра люминесценции активной среды: для рубина $\Delta\nu \approx 10 \text{ см}^{-1}$, для неодимового стекла $\Delta\nu \approx 250 \text{ см}^{-1}$), то в определенных условиях и при использовании некоторых пассивных затворов временная картина излучения представит собой цепочку эквидистантных очень коротких импульсов с большой пиковой мощностью (рис. 5, б). Интервал времени между этими импульсами равен времени двойного прохода излучения между зеркалами резонатора, т. е. $\Delta t = 2L/C$, где C — скорость света, и при длине резонатора $L = 1 \text{ м}$ $\Delta t \approx 7 \cdot 10^{-9} \text{ сек}$. Длительность же ультракоротких импульсов много меньше длительности гигантского импульса и может достигать $\delta t \approx 10^{-10} \div 10^{-12} \text{ сек}$, а их пиковая мощность значительно превышает мощность гигантского импульса и может составлять несколько гигаватт.

Таким образом, временная картина излучения такого типа лазеров по своим временным и энергетическим параметрам существенно отличается от картины излучения гигантского импульса.

Указанный тип генерации цепочки регулярных ультракоротких импульсов (УКИ) впервые наблюдался в оптической лаборатории ФИАН в середине 1965 г. [5] (статья поступила в редакцию 3 августа 1965 г.) при излучении лазера на неодимовом стекле с пассивным затвором, в котором использовали раствор ПМК № 3955 в нитробензоле. Почти одновременно генерация цепочки УКИ наблюдалась также американскими исследователями в лазере на рубине (статья поступила в редакцию 20 сентября 1965 г.) [6] и в лазере на неодимовом стекле (статья поступила в редакцию 25 января 1966 г.) [7]. Наблюдаемая регулярная временная структура излучения объяснялась нами [5] взаимодействием возбуждаемых аксиальных мод, различающихся по частоте. При этом найдено, что глубина модуляции временной картины излучения зависит от числа возбуждаемых мод. Чем больше число возбуждаемых мод, тем больше глубина модуляции, т. е. тем меньше длительность отдельных УКИ.

В настоящее время явление генерации регулярной цепочки УКИ в лазере с пассивным затвором называют самосинхронизацией мод. Это означает, что в результате взаимодействия излучения с веществом пассивного затвора происходит установление определенных соотношений между фазами возбуждаемых аксиальных мод, что в свою очередь приводит к образованию ультракоротких временных импульсов как результат взаимодействия сферических мод. Такие представления позволили объяснить многие экспериментальные факты, в частности, объяснить влияние положения пассивного затвора внутри резонатора на временную картину излучения. Так, в работе [8] показано, что при

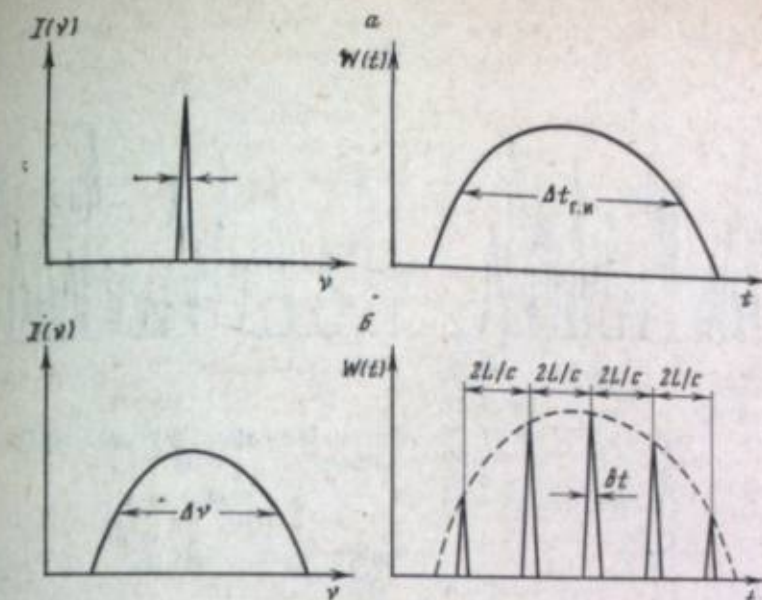


Рис. 5. Схема спектральной $I(v)$ и временной $W(t)$ картин лазерного излучения
а — при генерации гигантского импульса; б — при генерации ультракоротких импульсов

установке кюветы пассивного затвора около одного из зеркал резонатора временной интервал между соседними импульсами $\Delta t = 2L/C$, т. е. времени двойного прохода излучением между зеркалами. При установке кюветы в середине резонатора указанный интервал времени уменьшается в два раза, а при установке на расстоянии $1/3$ длины резонатора этот интервал уменьшается в три раза. Таким образом, доказано, что пассивный затвор в явлении самосинхронизации мод играет основную роль.

В дальнейшем для объяснения процесса самосинхронизации мод была привлечена флюктуационная теория излучения [9, 10], которая предполагает наличие УКИ излучения (так называемых флюктуационных выбросов) в начальной стадии развития генерации, т. е. в спонтанном излучении люминесценции. Согласно флюктуационной теории, спонтанное излучение большого числа независимых атомов или ионов (в том числе возбужденных ионов в активной среде) в силу квантовой природы излучения представляет собой во времени шумовую картину, состоящую из разных флюктуационных выбросов различной интенсивности (рис. 6), средняя длительность δt которых связана (согласно теории Фурье) с шириной спектра излучения соотношением $\delta t = (C\Delta\nu)^{-1}$, где $\Delta\nu$ — ширина спектра в см^{-1} , C — скорость света. При этом спектр также имеет некоторую структуру в виде отдельных минимумов и максимумов (рис. 7), средняя спектральная ширина которых $\delta\nu = (CT)^{-1}$, где T — длительность шумовой картины.

Не останавливаясь на детальном рассмотрении в целом довольно сложного процесса генерации УКИ и взаимодействия шумовой временной картины излучения с веществом пассивного затвора, ограничимся лишь качественным описанием этого процесса.

После накачки активной среды в лазере развивается генерация из излучения люминесценции, которая, как уже указывалось, представляет собой шумовую картину со средней длительностью флюктуационных выбросов $\delta t = (C\Delta\nu_{\text{люм}})^{-1}$, где $\Delta\nu_{\text{люм}}$ — ширина спектра люминесценции. На линейном участке развития генерации (см. рис. 3), как и в случае генерации гигантских импульсов, происходит увеличение интенсивности излучения, причем начальная шумовая картина относительно мало меняется, хотя ширина спектра излучения становится несколько меньше ширины спектра люминесценции. На линейном же участке развития генерации в процессе взаимодействия шумового излучения с пассивным затвором при многократном проходе через него происходит резкое изменение временной картины излучения, которое состоит в преимущественном усилении и выделении наиболее интенсивных флюктуа-

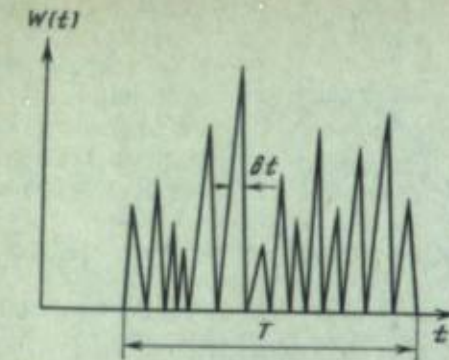


Рис. 6. Начальная шумовая (временная) картина излучения
 $T = 2L/C$ — аксиальный период

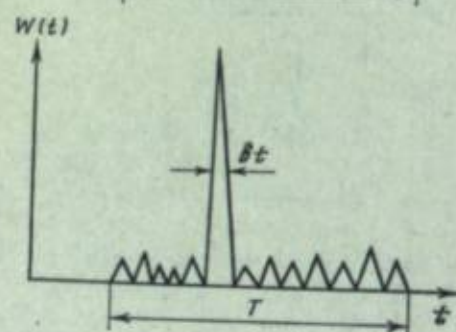


Рис. 7. Спектр шумовой картины

Рис. 8. Временная картина после прохода через пассивный затвор в величайшем участке усиления

ционных выбросов. Это связано с тем, что интенсивные флюктуационные выбросы почти полностью просветляют пассивный затвор, увеличивая его коэффициент пропускания, т. е. как бы открывают его и проходят через него, постепенно усиливаясь при многократном проходе через активную среду, отражаясь от зеркал резонатора. Флюктуационные же выбросы меньшей интенсивности в меньшей степени или совсем не увеличивают коэффициент пропускания пассивного затвора. Для них пассивный затвор остается как бы закрытым, и потому их интенсивность остается небольшой (рис. 8). Одновременно происходит сокращение длительности выделяемых интенсивных импульсов, сглаживание структуры спектра и увеличение его ширины Δv , причем длительность выделяемых импульсов связана с шириной спектра соотношением $\delta t = (C\Delta v)^{-1}$.

Выделяемый пассивным затвором интенсивный ультракороткий импульс после каждого двойного прохода резонатора при отражении от его зеркал выходит через выходное зеркало, в результате чего излучение лазера во времени имеет вид цепочки или цуга импульсов с интервалом $\Delta t = 2L/C$, который обычно называют аксиальным периодом излучения.

Следует отметить, что поскольку пассивный затвор выделяет импульсы случайной шумовой картины излучения, то само явление самосинхронизации мод, т. е. образование цепочки УКИ, носит статистический характер. Это означает, что в принципе с некоторой вероятностью возможно выделение на аксиальном периоде одиночных, нескольких или групп импульсов. В этом процессе взаимодействия шумового излучения с веществом пассивного затвора и выделения импульсов важную роль играет время релаксации просветленного состояния затвора, т. е. времяdezактивации возбужденного состояния молекул красителя, которое можно рассматривать как время «открытия» затвора.

Если время релаксации τ имеет порядок средней длительности флюктуационных выбросов δt , то затвор после прохода наиболее интенсивного выброса и просветления быстро «закрывается», препрятствуя путь менее интенсивным выбросам. В результате выделяется и усиливается только один ультракороткий импульс и излучение лазера будет иметь вид цепочки одиночных импульсов (рис. 9, а). Такой режим генерации обычно называют режимом полной самосинхронизации мод.

Если же время релаксации пассивного затвора больше средней длительности флюктуационных выбросов ($\tau > \delta t$), то затвор после его просветления интенсивным выбросом остается некоторое время (примерно равное τ) в просветленном, т. е. «открытом», состоянии и через него могут пройти близкие к

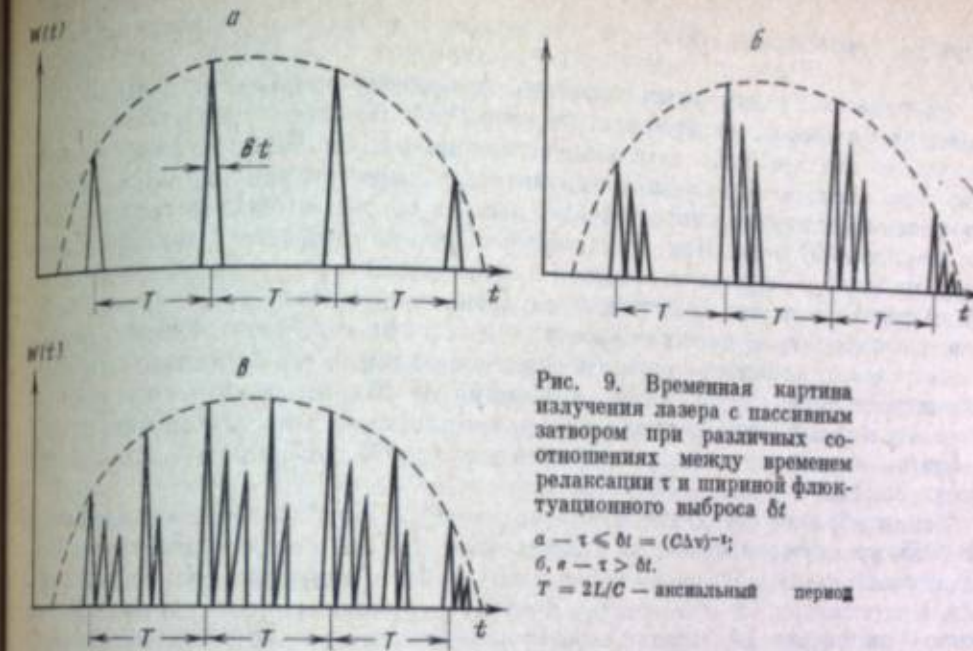


Рис. 9. Временная картина излучения лазера с пассивным затвором при различных соотношениях между временем релаксации τ и шириной флюктуационного выброса δt
а — $\tau \leq \delta t = (C\Delta v)^{-1}$; б, в — $\tau > \delta t$.
 $T = 2L/C$ — аксиальный период

интенсивному, но менее интенсивные выбросы. В этом случае лазер будет излучать цепочку не из одиночных импульсов, а из примерно одинаковых групп импульсов (отрезков шумовой картины) длительностью $\sim \tau$ с периодом $\Delta t = 2L/C$ (рис. 9, б), а иногда и нескольких групп на аксиальном периоде (рис. 9, в). Такой режим генерации называют режимом частичной самосинхронизации мод.

Описанные режимы полной и частичной самосинхронизации мод нашли экспериментальное подтверждение в работах [11, 12]. Различие во временных картинах излучения в режимах полной и частичной самосинхронизации мод проявляется и в спектрах излучения [13]. Если излучается цепочка из одиночных импульсов длительностью $\delta t = (C\Delta v)^{-1}$, то спектр имеет «гладкую» форму, т. е. не имеет структуры с периодом, превышающим межмодовую, $\Delta v_0 = (2L)^{-1}$, которая, как правило, не разрешается обычными спектральными приборами (при $L = 1$ м $\Delta v_0 = 0,005$ см $^{-1}$). При излучении же цепочки из групп импульсов в спектре отчетливо наблюдается некоторая нерегулярная структура. Таким образом, по виду спектра излучения можно качественно судить о степени самосинхронизации мод и выделять случаи полной самосинхронизации [13].

Как уже отмечалось, длительность (δt) одиночных импульсов, генерируемых лазером в режиме самосинхронизации мод, связана с шириной спектра излучения (Δv) соотношением $\delta t = (C\Delta v)^{-1}$. В то же время ширина спектра излучения лазера тем больше, чем больше ширина спектра люминесценции активной среды $\Delta v_{\text{люм}}$. Поэтому предельная длительность генерируемых УКИ определяется шириной спектра люминесценции, и тем меньше, чем шире спектр люминесценции. В этом отношении лазер на неодимовом стекле, ширина спектра люминесценции которого значительно больше ($\Delta v_{\text{люм}} \approx 250$ см $^{-1}$) ширины спектра рубина ($\Delta v_{\text{люм}} \approx 10$ см $^{-1}$) и других твердых активных сред, обладает большими преимуществами среди всех твердотельных лазеров, позволяя в принципе получать более короткие импульсы. Однако для реализации этого принципа необходимо иметь пассивные затворы, временные преимущества неодимового лазера должны быть близкими к времени релаксации просветленного состояния которого должно быть близким к величине $\tau \approx (C\Delta v)^{-1}$, где Δv — наибольшая ширина спектра генерации. Для неодимового лазера величина Δv достигает 20–50 см $^{-1}$ и соответственно τ должно составить около $(0,7 \div 1,7) \cdot 10^{-12}$ сек.

Из всех известных в настоящее время растворов органических красителей, имеющих полосу поглощения в области $\lambda = 1$ мкм и способных просветляться, растворы ПМК имеют наименьшее время релаксации ($\tau \sim 10^{-12}$ сек). Поэтому только пассивные затворы с растворами ПМК, по существу, оказались пригод-

ными для генерации пикосекундных импульсов в лазерах на неодимовом стекле.

Впервые генерация ультракоротких импульсов наблюдалась нами [5] с пассивным затвором, содержащим раствор ПМК № 3955 в нитробензоле. Выполненные позднее более детальные исследования показали [11], что в случае широкого спектра генерации и при использовании указанного затвора генерируются не одиночные короткие импульсы, а группы импульсов средней длительностью ~40 псек. При этом спектр излучения имеет хаотическую структуру, не повторяющуюся от вспышки к вспышке. Все это указывает на то, что время релаксации этого пассивного затвора значительно больше длительности отдельных флюктуационных выбросов, т. е. $\tau > \delta t = (C\Delta\nu)^{-1}$. Если оценивать время релаксации затвора по средней длительности генерируемых на аксиальном периоде групп, то оно оказывается порядка 40 псек. Полученная нами величина τ в дальнейшем была подтверждена при использовании других методов и близка к величине, измеренной методом возбуждающего и зондирующего импульса [14].

Таким образом, по величине τ пассивный затвор с раствором красителя № 3955 практически оказался непригодным для генерации отдельных одиночных импульсов в лазере на неодимовом стекле с широким спектром генерации. Иначе говоря, он не обеспечивал полную самосинхронизацию мод. В этом отношении пассивный затвор с раствором красителя № 3955 значительно уступает зарубежным затворам фирмы «Eastman Kodak» с растворами ПМК ЕК-9740 в хлорбензole и ЕК-9860 в 1,2-дихлорэтане с временами релаксации $8 \cdot 10^{-12}$ и $9 \cdot 10^{-12}$ сек соответственно [15].

Мы предприняли попытку уменьшить время релаксации затвора с красителем № 3955, используя эффект концентрационного тушения путем применения более концентрированных растворов красителя при соответствующем уменьшении толщины поглощающего слоя раствора (при сохранении величины коэффициента пропускания кюветы в целом $\approx 50\%$) [16]. Было найдено, что при уменьшении толщины кюветы от 1 мм до 3 мкм время релаксации сокращается почти в 10 раз. Однако при работе с такими тонкими слоями наблюдается значительный разброс в ширине спектра от вспышки к вспышке, что указывает на нестабильность работы затвора.

Нами также проводилась работа по исследованию влияния природы растворителя на время релаксации раствора красителя № 3955 [17]. Было использовано 17 различных растворителей и найдено, что τ зависит от природы растворителя (изменяясь в несколько раз). Наименьшим временем релаксации ($\tau = 15 \cdot 10^{-12}$ сек) обладает раствор красителя в смеси 50% воды и 50% этинала, однако этот раствор оказался нестабильным.

С целью более детального изучения механизма взаимодействия излучения с веществом пассивного затвора и поиска путей создания затвора с меньшим временем релаксации исследовали спектры поглощения и люминесценции растворов двух пиролоцианиновых красителей в различных растворителях и при различных температурах [18]. В исследованных растворах обнаружены по крайней мере две модификации или формы молекул красителей, различающиеся по своим спектральным характеристикам, а также временем релаксации просветленного состояния. Высказано предположение о возможности создания пассивных затворов с меньшим τ при работе на коротковолновой полосе спектра поглощения.

Для создания эффективного отечественного пассивного затвора для лазера на неодимовом стекле с временем релаксации, меньшим, чем у красителей № 3955, ЕК-9860 и ЕК-9740, нами совместно с сотрудниками отдела цвета и строения органических соединений ИОХ АН УССР, руководимого А. И. Толмачевым, проводилась работа по исследованию спектральных характеристик большого числа специально синтезированных ПМК. В ИОХ АН УССР было синтезировано более 20 полиметиновых красителей пирилоцианинового ряда и их аналогов, поглощающих в области $\lambda = 1$ мкм, отличающихся длиной полиметиновой цепи, размером циклических группировок и структурой гетероциклических ядер. Получены и изучены спектры поглощения и люминесценции, а также оценены времена релаксации τ растворов этих красителей в

нитробензоле двумя независимыми методами. Один из них основан на исследовании зависимости коэффициента пропускания раствора от плотности мощности [19], а другой — на измерении квантового выхода люминесценции растворов красителей [20].

Определенные времена релаксации исследованных растворов 24 различных ПМК оказались лежащими в диапазоне от 0,14 до 40 псек (последняя величина для красителей № 3955). Таким образом, для всех новых синтезированных пирилоцианиновых красителей величина τ оказалась меньше, чем у красителя № 3955, а у 13 красителей — меньше, чем у американских красителей. Для 9 красителей по спектрам люминесценции оценена величина квантового выхода (от $5 \cdot 10^{-3}$ до $0,1 \cdot 10^{-3}$), причем величина квантового выхода тем меньше, чем меньше время релаксации τ . Не останавливаюсь на корреляции между величиной τ и структурой молекул полиметиновых красителей и другими спектральными характеристиками этих молекул, отметим лишь, что, по-видимому, основным «скоростным» каналом дезактивации возбужденного состояния, определяющим время релаксации, являются безызлучательные переходы в результате внутренней конверсии из возбужденного синглетного состояния в основное (см. рис. 4). На это указывают и малые значения τ и квантового выхода люминесценции.

В качестве пассивного затвора в лазере на неодимовом стекле нами были использованы два раствора новых красителей: № 3282 У и 3323 У — в нитробензоле, имеющих времена релаксации 1,5 и 2,2 псек соответственно. Изучены спектрально-временные характеристики этого лазера, причем длительность генерируемых импульсов измерялась с помощью скоростного фотохронографа с временным разрешением 1,5 псек. Исследования показали [21], что генерационные характеристики излучения с новыми быстро релаксирующими пассивными затворами существенно отличаются от характеристик, полученных с раствором красителя № 3955.

Временная картина излучения с быстро релаксирующими затворами представляет собой цепочку практически всегда одиночных УКИ, средняя длительность которых в начале цепочки равна 2 псек, а пиковая мощность их составляет около $0,5 \cdot 10^8$ Вт, что является рекордным для такого типа лазера. Полученные результаты указывают на то, что в данном случае осуществляется полная самосинхронизация мод, поскольку здесь $\tau \approx (C\Delta\nu)^{-1}$. Исследования показали также, что указанные пассивные затворы обладают достаточно высокой термической и фотохимической стойкостью.

Таким образом, создан эффективный пассивный затвор для лазера на неодимовом стекле, обладающий меньшим временем релаксации, чем у всех известных в настоящее время пассивных затворов.

В настоящее время пикосекундные импульсы находят широкое применение. С появлением таких лазеров появилась новая область исследований — пикосекундная спектроскопия, которая успешно используется при изучении быстропротекающих процессов [22, 23]. В физике — это излучательные и безызлучательные процессы электронных и колебательных возбужденных состояний сложных органических молекул, релаксационные процессы носителей заряда в полупроводниках и др.; в химии — процессы фотодиссоциации и рекомбинации нестабильных радикалов, перенос электронов и ионов в растворах и др.; в биологии — процессы фотосинтеза, зрения и т. д.

В этих исследованиях часто необходимо иметь пикосекундные импульсы не только в области $\lambda = 1,06$ мкм, непосредственно генерируемые лазером на неодимовом стекле, но также и в других областях спектра. Можно, например, использовать лазер на рубине с пассивным затвором, состоящим из раствора криптоцианина в этаноле, с излучением при $\lambda = 0,694$ мкм. Однако ввиду меньшей ширины спектра генерации, $\Delta\nu \approx (0,8 \pm 1) \text{ см}^{-1}$, предельная длительность генерируемых импульсов равна $\delta t_{\text{пр}} = (C\Delta\nu)^{-1} \approx (30 \pm 40)$ псек. Практически же длительность генерируемых импульсов больше предельной из-за большей величины времени релаксации пассивного затвора ($\tau = 50$ псек). Поэтому при получении пикосекундных импульсов меньшей длительности (несколько пикосекунд) и лежащих в видимом диапазоне применяют другие методы. Например, можно с помощью нелинейных кристаллов преобразовать

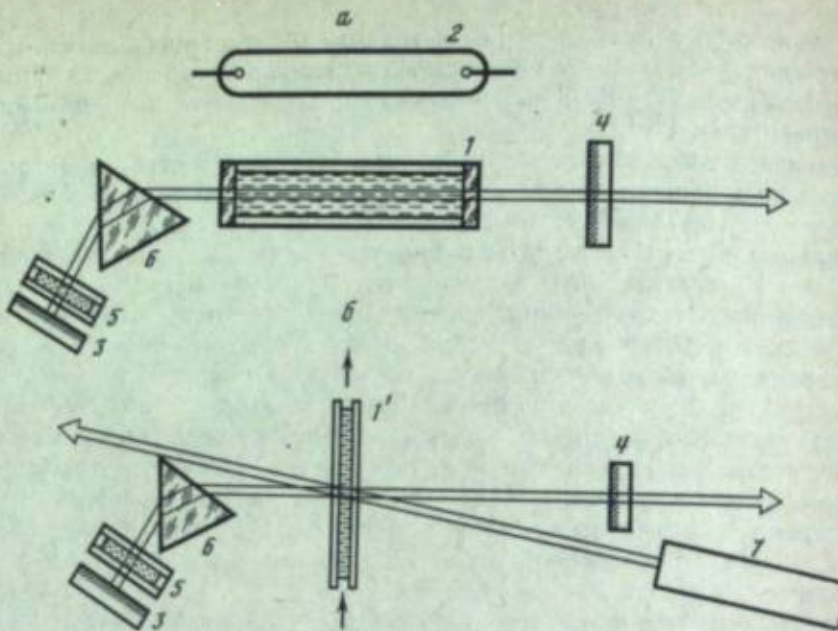


Рис. 10. Принципиальные схемы перестраиваемых лазеров на красителях

а — при ламповом накачке; б — при накачке излучением лазера. 1 — кювета с раствором красителя; 1' — проточная кювета; 2 — лампа накачки; 3 — «глухое» зеркало; 4 — выходное зеркало; 5 — пассивный затвор; 6 — дисперсионная призма; 7 — лазер накачки

излучение неодимового лазера в его гармонику с $\lambda = 530$ нм [24]. Можно далее использовать гармонику неодимового лазера в качестве возбуждающего излучения при получении вынужденного комбинационного рассеяния (ВКР) в различных средах. Так, при возбуждении излучением гармоники с длительностью около $\delta t \approx 2$ псек ВКР в ацетоне [25] первая стоксовская компонента вынужденного комбинационного рассеяния имеет длину волны $\lambda = 627$ нм, мощность которой составляет около 15% от мощности возбуждающего излучения $\lambda = 530$ нм, а длительность импульса — даже несколько меньше 2 псек.

В описанных выше методах изменение длины волны излучением происходит дискретно, хотя иногда желательно иметь непрерывное изменение длины волны в достаточно широких пределах. Для этой цели используют параметрические генераторы света, в которых с помощью нелинейных кристаллов происходит преобразование излучения гармоники неодимового лазера в излучение двух частот v_1 и v_2 , причем $v_{\text{гар}} = v_1 + v_2$. Изменением ориентации кристалла или его температуры можно плавно изменять величины v_1 и v_2 [26]. Таким методом удается плавно изменять излучение в интервале 0,7—1,2 мкм.

Кроме того, импульсы пикосекундной длительности в видимой и ближней ИК-областях спектра с плавной перестройкой можно получать в лазерах на красителях (в том числе и на полиметиновых красителях), используя гармонику неодимового лазера или излучение рубинового лазера в качестве источника накачки.

Как уже указывалось, лазер, работающий в режиме самосинхронизации мод, излучает периодическую цепочку большого числа УКИ, тогда как в некоторых экспериментах пикосекундной спектроскопии необходимо иметь один УКИ. Такое выделение осуществляется с помощью быстродействующих электрооптических затворов, например с ячейкой Керра или элементом Покельса.

ЛАЗЕРЫ НА ПОЛИМЕТИНОВЫХ КРАСИТЕЛЯХ

Принципиальная схема импульсного лазера на красителе (рис. 10, а) аналогична схеме твердотельного лазера (см. рис. 1) и отличается лишь тем, что стержень из стекла или рубина заменен на цилиндрическую кювету с прозрачными торцами, заполненную раствором красителя. Однако при накачке излучением импульсных ламп генерация получена лишь у ограничен-

ного числа красителей. В настоящее время накачка лазеров на красителях обычно осуществляется излучением мощных лазеров (газовых, твердотельных), которые позволяют создать в растворе красителей более высокую плотность тепловых эффектов кюветы с раствором красителя (1') делается проточной, активной средой часто служит свободная струя раствора красителя, вытекающая с большой скоростью из сопла прямоугольного сечения.

Лазеры на красителях, так же как и твердотельные лазеры, могут работать в режиме свободной генерации, а при установке в резонатор пассивного затвора — в режимах гигантского импульса и самосинхронизации мод. Преимуществом лазеров на красителях по сравнению с твердотельными лазерами является то, что они имеют, как правило, более широкие спектры генерации ($40-200 \text{ см}^{-1}$) в соответствии с большой шириной их спектров люминесценции ($600-1200 \text{ см}^{-1}$). Большая ширина спектра генерации лазеров на красителях указывает на принципиальную возможность получения в режиме самосинхронизации мод импульсов очень малой длительности $\delta t \approx (\Delta\nu)^{-1}$.

Введение в резонатор лазера на красителе диспергирующих элементов (преломляющей призмы) или замена «глухого» зеркала дифракционной решеткой позволяют значительно уменьшать ширину спектра генерации и в то же время плавно изменять длину волн генерации в широких пределах (в пределах ширины полосы люминесценции) путем поворота призмы или решетки.

Мы здесь не имеем возможности детально остановиться на условиях, необходимых для получения усиления (а при наличии обратной связи — и генерации) в растворах красителей, и на требованиях, предъявляемых к их спектральным параметрам [27, 28]. Отметим лишь, что в обосновании принципов работы лазеров на красителях и их практической реализации большую роль сыграли работы академика АН БССР Б. И. Степанова и сотрудников.

В настоящее время известно несколько сот красителей, на которых получена генерация в том или ином режиме, и в частности в непрерывном режиме при накачке излучением мощных непрерывных газовых лазеров. Получена генерация в очень большом диапазоне длии волн — от 200 до 1200 нм. Остановимся лишь на лазерах с полиметиновыми красителями, которые позволяют получать перестраиваемую по частоте генерацию в ближней ИК-области спектра.

Сначала заметим, что требования, предъявляемые к растворам полиметиновых красителей, используемых в качестве лазерной активной среды, значительно отличаются от требований, которые предъявляются к ним при использовании в качестве пассивных затворов. Как уже отмечалось, для пассивного затвора важна малая величина времени релаксации возбужденного состояния молекул красителя, которая обычно обусловлена большой вероятностью безызлучательных переходов, у них соответственно мал квантовый выход люминесценции. При применении ПМК в качестве активных сред, наоборот, величина квантового выхода должна быть наибольшей (близкой к единице) и соответственно мала вероятность безызлучательных переходов.

Впервые генерация на растворе полиметинового красителя (раствор криптоцианина в этаноле) получена в 1967 г. при возбуждении гигантским импульсом длительностью 30—40 псек рубинового лазера $\lambda = 694$ нм [29]. Спектр генерации лежал в области $\lambda_{\text{г}} = 808,5$ нм и имел ширину $\Delta\nu_{\text{г}} = 40 \text{ см}^{-1}$. В 1968 г. получена генерация на растворе 3,3'-диэтилтиатрикарбонилцианиниода в этаноле также при возбуждении гигантским импульсом рубинового лазера с пассивным затвором [30]. Максимум полосы генерации $\lambda_{\text{г}} = 816,5$ нм, ширина спектра $\Delta\nu_{\text{г}} \approx 10$ нм, коэффициент преобразования энергии возбуждения в энергию генерации имел величину $\approx 30\%$.

В работе [31] сообщается о получении генерации на растворах 11 полиметиновых красителей цианинового ряда (синтезированных в лаборатории И. И. Левкоева), различающихся длиной полиметиновой цепи и характером гетероциклических остатков, при возбуждении гигантским импульсом рубинового лазера. С помощью этих красителей перекрыта область генерации от 720 до 920 нм. Ширина спектров генерации изменялась в диапазоне 4—20 нм, коэффициент преобразования достигал 35%.

В 1968 г. впервые была получена генерация на растворах 12 полиметиновых красителей (аналогов пентакарбоцианинов), имеющих полосу поглощения в области $\lambda = 1$ мкм, при возбуждении гигантским импульсом с длиной волны $\lambda = 1,06$ мкм неодимового лазера с затвором [32]. Максимумы полос генерации лежали в диапазоне от 1,09 до 1,17 мкм, а ширина спектров — от 100 до 460 см⁻¹. Для некоторых красителей генерация наблюдалась одновременно в двух областях спектра.

В нашей работе [33] осуществлена генерация пикосекундных импульсов в лазере на растворах полиметиновых красителей (аналогов пентакарбоцианинов) при возбуждении (накачке) цепочкой ультракоротких импульсов ($\lambda = 1,06$ мкм), генерируемых лазером на неодимовом стекле, работающим в режиме самосинхронизации мод. При этом ширина спектра генерации лазера на красителе оказалась больше ширины спектра возбуждающего лазера и составляла $\Delta\nu_g \approx 250$ см⁻¹. Заметим, что полиметиновые красители, использованные в работах [32, 33], синтезированы в лаборатории И. И. Левкоева.

С целью выбора оптимальных растворов ПМК как активных сред в работе [34] проведены систематические исследования люминесцентных и генерационных характеристик более 50 различных ПМК и влияния на эти характеристики структуры молекул красителей. В частности, показано, что при увеличении длины полиметиновой цепи, начиная с $n = 1$, квантовый выход люминесценции сначала возрастает, а затем падает. Максимальный квантовый выход соответствует $n = 2 \div 3$, а максимальный коэффициент преобразования энергии излучения соответствует $n = 3$. При исследовании генерационных характеристик накачка растворов красителей осуществлялась излучением моноимпульса рубинового лазера или излучением его гармоники $\lambda = 347,0$ нм. В работе [34] приведен список красителей, перекрывающих диапазон спектра генерации от 590 до 1040 нм.

Теоретические и экспериментальные исследования люминесцентных и генерационных характеристик растворов ПМК проведены также в работе [35]. Авторы подтвердили вывод, сделанный в работе [34], о максимальной величине квантового выхода у ПМК с $n = 2 \div 3$. Выбрали 10 красителей, обеспечивающих плавную перестройку частоты генерации в области $\lambda = 707 \div 1000$ нм.

В лазере на красителе раствор красителя помещен в резонатор и генерации возникает в результате многократного прохода излучения через активную среду при отражении от зеркал резонатора. При отсутствии резонатора раствор красителя после его накачки может служить усилителем интенсивности излучения, если длина волны излучения, направляемого в него, лежит в пределах полосы люминесценции. Такой усилитель на растворе ПМК описан в работе [36]. Он использовался для увеличения интенсивности одной из линий вынужденного комбинационного рассеяния в кальце на $\lambda = 817,5$ нм. Раствор красителя возбуждался излучением рубинового лазера с пассивным затвором.

При очень мощных накачках в растворах красителей может возникнуть такой большой коэффициент усиления, при котором усиление спонтанного излучения происходит за один проход через активную среду с образованием направленного и перестроенного по частоте пучка излучения. Такое явление называется сверхлюминесценцией или сверхизлучением. Сверхлюминесценция на растворах ПМК (цианинового ряда) в области $\lambda = 800$ нм впервые описана в работе [37] при возбуждении самосинхронизированным излучением рубинового лазера с пассивным затвором.

В 1975 г. в нашей лаборатории наблюдали сверхлюминесценцию растворов ПМК № 3955 и 3977 при возбуждении гигантским моноимпульсом, а также цепочкой УКИ излучения неодимового лазера $\lambda = 1,06$ мкм [38]. Отмечается, что контраст временной картины в излучении сверхлюминесценции при возбуждении цепочкой УКИ выше, чем в возбуждающем излучении. Этот результат представляет практический интерес.

РАЗВЯЗЫВАЮЩИЕ ЭЛЕМЕНТЫ НА ОСНОВЕ ПОЛИМЕТИНОВЫХ КРАСИТЕЛЕЙ

Энергия излучения лазерного пучка, генерируемого одним лазером (особенно в режиме самосинхронизации мод), относительно невелика и часто недостаточна для использования в тех или иных конкретных экспериментах, например

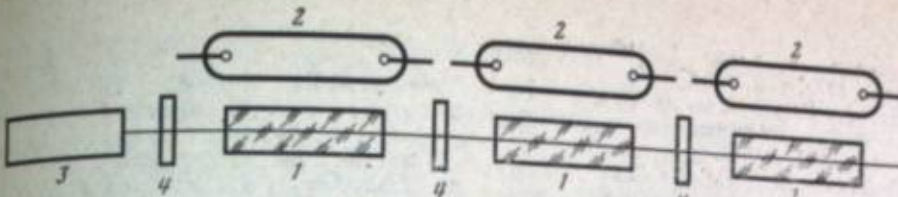


Рис. 11. Схема лазерной установки с трехкаскадным лазерным усилителем
1 — стекки из неодимового стекла (или рубина); 2 — лампы накачки; 3 — задающий импульсный лазер;
4 — развязывающие элементы, кюветы с раствором красителя

в экспериментах по получению высокотемпературной плазмы. В этих случаях применяют одно- или многокаскадные лазерные усилители, позволяющие значительно увеличить энергию задающего лазерного излучения.

Лазерный усилитель, так же как и лазер, состоит из активной среды и ламп накачки, но в отличие от лазера не имеет резонатора (рис. 11). Однако лазерный усилитель, особенно многокаскадный, обладающий большим коэффициентом усиления, способен самовозбуждаться (генерировать) из-за флюктуаций спонтанного излучения. Для предотвращения этого явления между каскадами усилителей устанавливают какие-либо (например, электрооптические) затворы, открывающиеся только в момент прохождения усиливаемого импульса из задающего лазера. В качестве таких затворов или, как их называют, развязывающих элементов могут использоваться просветляющиеся растворы красителей (в том числе полиметиновых). Эти растворы должны полностью просветляться при относительно небольших энергиях и иметь время релаксации просветленного состояния, соизмеримое с длительностью усиливаемого импульса. Кроме того, они должны обладать высокой термической и фотохимической стойкостью. Ряд растворов ПМК удовлетворяют этим требованиям.

Из приведенного обзора видно, что в настоящее время полиметиновые красители весьма широко используются в различных областях лазерной техники. Можно надеяться, что дальнейшее развитие работ в этом направлении при сотрудничестве химиков-органиков и физиков (синтез новых полиметиновых красителей, исследование их спектральных и других характеристик) приведет к еще более эффективному использованию полиметиновых красителей в квантовой электронике.

ЛИТЕРАТУРА

1. Soffer B. — J. Appl. Phys., 1964, vol. 35, p. 2551.
2. Soffer B., Hopkins R. — Nature, 1964, vol. 204, p. 276—277.
3. Малышев В. И., Маркин А. С., Петров В. С. — Письма в ЖЭТФ, 1965, т. 1, с. 49—52.
4. Малышев В. И., Маркин А. С., Петров В. С. и др. — Письма в ЖЭТФ, 1965, т. 1, с. 11—14.
5. Малышев В. И., Маркин А. С. — Журн. эксперим. и теорет. физики, 1965, т. 50, с. 339—342.
6. Mocker H., Collins R. — Appl. Phys. Lett., 1965, vol. 7, д. 270—273.
7. De Maria A. I., Stetser D. A., Neupane H. — Appl. Phys. Lett., 1966, vol. 8, p. 174—176.
8. Кузнецова Т. И., Малышев В. И., Маркин А. С. — Журн. эксперим. и теорет. физики, 1967, т. 52, с. 438—446.
9. Летогов В. С. — Журн. эксперим. и теорет. физики, 1968, т. 55, с. 1077—1089.
10. Кузнецова Т. И. — Журн. эксперим. и теорет. физики, 1969, т. 57, с. 1673—1683.
11. Малышев В. И., Сычев А. А., Бабенко В. А. — Письма в ЖЭТФ, 1971, т. 13, с. 588—592.
12. Бабенко В. А., Зельдович Б. Я., Малышев В. И., Сычев А. А. — Журн. эксперим. и теорет. физики, 1971, т. 61, с. 2270—2278.
13. Малышев В. И., Масалов А. В., Сычев А. А. — Журн. эксперим. и теорет. физики, 1970, т. 59, с. 48—53.
14. Васильева М. А., Малышев В. И., Масалов А. В. — Крат. сообщ. по физике ФИАН, 1978, вып. 7, с. 33—38.
15. Mauer P. — Opt. Spectra, 1967, vol. 1, p. 61—63.
16. Бабенко В. А., Малышев В. И., Сычев А. А. — Письма в ЖЭТФ, 1971, т. 14, с. 461—465.
17. Бабенко В. А., Кошин В. Д., Малышев В. И., Сычев А. А. — Квантовая электрон., 1974, т. 1, с. 1228—1232.
18. Авдеева В. И., Альперович М. А., Бар-

- бенко В. А. и др.— Квантовая электрон., 1975, т. 2, с. 540—545.
19. Бабенко В. А., Малышев В. И., Сычев А. А.— Квантовая электрон., 1976, т. 3, с. 1743—1746.
20. Бабенко В. А., Дядюша Г. Г., Кудинова М. А. и др.— Квантовая электрон., 1980, т. 7, с. 1796—1802.
21. Бабенко В. А., Кудинова М. А., Малышев В. И. и др.— Письма в ЖЭТФ, 1977, т. 25, с. 366—369.
- 22, 23. Шапиро С. Сверхкороткие световые импульсы/Пер. под ред. С. А. Ахманова. М.: Мир, 1981. 479 с.
24. Белоостоцкий Б. Р., Любавский Ю. В., Овчинников В. М. Основы лазерной техники. М.: Сов. радио, 1972. 408 с.
25. Бабенко В. А., Малышев В. И., Сычев А. А.— Квантовая электрон., 1978, т. 5, с. 431—434.
26. Цернике Ф., Мидвинтер Д. Прикладная нелинейная оптика/Пер. под ред. С. А. Ахманова. М.: Мир, 1976. 261 с.
27. Степанов Б. И., Рубинов А. Н.— Успехи физ. наук, 1968, т. 95, с. 45—74.
28. Лазеры на красителях/Под ред. Ф. Шеффера. М.: Мир, 1976. 329 с.
29. Степанов Б. И., Рубинов А. Н., Мостовников В. А.— Письма в ЖЭТФ, 1967, т. 5, с. 144—148.
30. Деркачева Л. Д., Крымова А. И.— Докл. АН СССР, 1968, т. 178, с. 581.
31. Деркачева Л. Д., Крымова А. И., Волпе А. Ф., Левкоев И. И.— Оптика и спектроскопия, 1968, т. 25, с. 723—726.
32. Деркачева Л. Д., Крымова А. И., Малышев В. И., Маркин А. С.— Письма в ЖЭТФ, 1968, т. 7, с. 468—471.
33. Деркачева Л. Д., Крымова А. И., Малышев В. И., Маркин А. С.— Оптика и спектроскопия, 1969, т. 26, с. 1051—1053.
34. Мостовников В. А., Рубинов А. Н., Аддева В. И. и др.— Исследование влияния структурных изменений в молекулах полиметиновых красителей на генерационные и спектроскопические характеристики их растворов: Препр. ИФ АН БССР, Минск, 1971. 14 с.
35. Пржонская О. В., Тихонов Е. А., Швак М. Т.— Оптимизация активных сред на основе полиметиновых красителей для лазеров в ближней ИК-области: Препр. ИФ АН УССР, № 10. Киев, 1978. 43 с.
36. Деркачева Л. Д., Соколовская А. И.— Оптика и спектроскопия, 1968, т. 25, с. 447—448.
37. Mack M.— Appl. Phys. Lett., 1969, vol. 15, N 6, p. 166—168.
38. Бабенко В. А., Малышев В. И., Сычев А. А., Шибанов А. Н.— Квантовая электрон., 1975, т. 2, с. 1923—1929.

О. В. Пржонская, Е. А. Тихонов

УДК 621.373.826.038.834

ПОЛИМЕТИНОВЫЕ КРАСИТЕЛИ ДЛЯ ГЕНЕРАЦИИ И МОДУЛЯЦИИ ЛАЗЕРНОГО ИЗЛУЧЕНИЯ

Развитие оптической квантовой электроники связано с использованием спектрально-люминесцентных свойств обширного класса полиметиновых красителей (ПМК). Растворы ПМК оказались в ряду первых объектов, на которых были получены гигантские импульсы наносекундной [1, 2] и пикосекундной длительности [3], генерация вынужденного излучения [4—7], динамическая самодифракция [8]. В последнее время наметились новые области применения ПМК: генерация непрерывного излучения [9], генерация с накачкой излучением полупроводниковых лазеров [10] и импульсными лампами [11], использование растворов ПМК в качестве активных сред лазеров с динамической распределенной обратной связью [12, 13], генерация света жидкими кристаллами, активированными ПМК [14], и др. Поэтому задача создания активных и пассивных сред на основе ПМК, отвечающих требованиям теории и практики, остается актуальной.

Со времени создания первых лазеров на растворах органических красителей значительно расширился ассортимент активных сред, улучшились их рабочие характеристики, а также усовершенствовались оптические схемы, что позволило поднять КПД и расширить диапазон перестройки. Однако высокий КПД лазера не может быть обеспечен лишь оптимизацией его конструкции и оптической схемы, а неизбежно требует создания лазерных сред с оптимальными спектрально-генерационными параметрами. В число таких параметров входят: спектральное положение и ширина электронных полос поглощения, и флюoresценции, сечения поглощения на частотах накачки, генерации и переходах между возбужденными состояниями, квантовый выход флюoresценции, стоков сдвиг, скорость перехода в триплетные и стереоизомерные состояния, фотоподкисление.

Такое разнообразие параметров не позволяет решить задачу теоретически и предложить единую универсальную модель органического соединения, синтез которого удовлетворял бы всем «лазерным» требованиям. Однако возможно экспериментальное решение этой задачи, которое состоит в изучении взаимосвязи структурных, спектральных и генерационных характеристик молекул ПМК, в установлении ряда закономерностей, позволяющих управлять спектрально-генерационными параметрами молекул, и в создании конкретных молекул, удовлетворяющих требованиям теории и практики лазерного приборостроения.

Молекула красителя в жидким растворе моделируется тремя однородно уширеными электронно-колебательными уровнями (двумя синглетными и одним метастабильным), населенности которых обозначим N_1 , N_2 , N_3 . Отметим, что в данном рассмотрении природа метастабильного состояния не конкретизируется; этот уровень может принадлежать не только триплетному состоянию, но и фотоизомерному, часто образующемуся в растворах ПМК.

Определим взаимосвязь энергетических характеристик лазера с монохроматической накачкой со спектральными параметрами раствора красителя. Генерируемая интенсивность в стационарном режиме равна

$$I_r = I_S^1 (k_0/k_n - 1), \quad (1)$$

где k_0 , k_n , I_S — ненасыщенные коэффициенты усиления и потери и параметр величины в усиливии.

Определение k_0 , I_S через спектральные параметры молекул дает возможность найти их оптимальные значения. С этой целью запишем следующее выражение для насыщенного коэффициента усиления на частоте генерации:

$$k_S(\omega_r) = k_0/(1 + I_r I_S^{-1}) = k_n(\omega_r) = N_2 \sigma_{21}(\omega_r) - N_1 \sigma_{12}(\omega_r), \quad (2)$$

где σ_{ij} — сечения вынужденных переходов $|i\rangle \rightarrow |j\rangle$.

Стационарная населенность лазерных состояний находится из системы балансных уравнений:

$$dN_2/dt = N_1 \sigma^+ - N_2 (\sigma^- + 1/\eta \tau_n), \quad dN_3/dt = N_2 k_{ST} - N_1 k_{TS}, \quad (3)$$

$$N_0 = N_1 + N_2 + N_3,$$

где $\sigma^+ = \sigma_{12}(\omega_n) I_n + \sigma_{21}(\omega_n) I_r$; $\sigma^- = \sigma_{21}(\omega_n) I_n + \sigma_{12}(\omega_r) I_r$; τ_n — излучательное время жизни; η — квантовый выход флюoresценции; k_{ST}/k_{TS} — отношение скоростей переходов через метастабильное состояние; I_n и ω_n — интенсивность и частота возбуждающего света.

Подстановка значений N_2 (I_r , I_n) и N_1 (I_n , I_r), полученных при решении уравнений (3), в выражение (2) дает выражение для $k_0(\omega_r)$ и $I_S(\omega_r)$:

$$k_0(\omega_r) = N_0 \frac{I_n \eta \tau_n \sigma_{12}(\omega_n) \sigma_3(\omega_r) - \sigma_{12}(\omega_r)}{1 + \eta \tau_n I_n [\sigma_{12}(\omega_n) \Pi + \sigma_{21}(\omega_n)]}, \quad (4)$$

$$I_S(\omega_r) = \frac{1 + \eta \tau_n I_n [\sigma_{12}(\omega_n) \Pi + \sigma_{21}(\omega_n)]}{\eta \tau_n [\sigma_{12}(\omega_r) \Pi + \sigma_{21}(\omega_r)]}, \quad (5)$$

где $\Pi = 1 + k_{ST}/k_{TS}$; $\sigma_3(\omega_r) = \sigma_{21}(\omega_r) - \sigma_{12}(\omega_r) \exp [(\omega_0 - \omega_n)/kT]$; ω_0 — частота чисто электронного перехода.

С помощью выражения (4) и условия самовозбуждения находим пороговую интенсивность накачки ($I_{n,0}$). Кривые $I_{n,0} = f(N_0)$ представляют собой гиперболы с асимптотами N_{op} ($k_n = \text{const}$) и $I_{n,0}(N_0 \rightarrow \infty)$. (рис. 1). При концентрациях $N_0 > 10^{17}$ см⁻³ достигаются минимальные пороги генерации (погрешная накачка) для большинства красителей независимо от величины релаксационных потерь. Пороговая интенсивность накачки в этом случае равна

$$I_{n,0} \approx \sigma_{12}(\omega_r) \left\{ \eta \tau_n \sigma_{12}(\omega_n) \left[\sigma_{21}(\omega_r) - \sigma_{12}(\omega_r) \exp \frac{\omega_0 - \omega_n}{kT} \right] \right\}^{-1}. \quad (6)$$

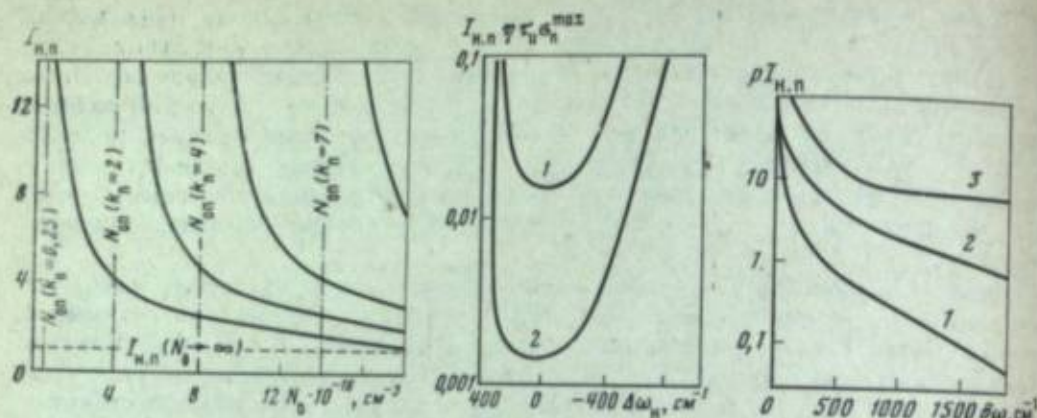


Рис. 1. Зависимость пороговой интенсивности накачки $I_{p,n}$ от концентрации молекул для разных уровней начальных потерь k_n

Рис. 2. Зависимость порога генерации от величины расстройки по частоте накачки $\Delta\omega_n$, для разных значений стоксовых потерь $\delta\omega$, см $^{-1}$: 1 — 500; 2 — 800

Рис. 3. Зависимость порога генерации от величины стоксовых потерь $\delta\omega$, см $^{-1}$: 1 — 500; 2 — 1000; 3 — 2000

Аппроксимируем контуры спектров поглощения и флюоресценции функцией Гаусса

$$\sigma_{ij}(\omega) = \sigma_{ij}^{\max} \exp \left[-\frac{1}{2} \left(\frac{\omega_{ij}^{\max} - \omega}{\Delta\omega} \right)^2 \right], \quad (7)$$

где σ_{ij}^{\max} — сечение перехода в максимуме полосы; $\Delta\omega$ — полуширина спектра.

Подстановка выражения (7) в уравнение (6) после ряда преобразований дает выражение для пороговой накачки

$$I_{p,n}\eta\tau_n\sigma_n^{\max} = \left[\exp \left(\frac{4\delta\omega\Delta\omega_r - 2\Delta\omega_n^2}{\Delta\omega^2} \right) - \exp \left(-\frac{4\delta\omega\Delta\omega_n - 2\Delta\omega_n^2}{\Delta\omega^2} \right) \right]^{-1}, \quad (8)$$

где $\delta\omega = \omega_n^{\max} - \omega_{\phi}^{\max}$ — стоксовые потери; $\Delta\omega_n = \omega_n^{\max} - \omega_n$ — расстройка по частоте накачки; $\Delta\omega_r = \omega_r^{\max} - \omega_r$ — расстройка по частоте генерации.

На рис. 2 представлена зависимость порога генерации от $\Delta\omega_n$ при $\Delta\omega_r = 500$ см $^{-1}$, $\tau_n = 10^{-9}$ сек, $\sigma_n^{\max} = 10^{-16}$ см 2 , $\eta = 1$, $\Delta\omega = 500$ см $^{-1}$ для двух значений стоксовых потерь. Минимальный порог генерации достигается при отсутствии расстройки ($\Delta\omega_n = 0$). Его величина существенно уменьшается при увеличении стоксовых потерь.

Определив τ_n через параметры полосы поглощения

$$\tau_n = 1,336 \cdot 10^{-12} \Delta\omega \sigma_n^{\max} / (\omega_n^{\max})^2$$

и приняв $\Delta\omega_n = 0$, преобразуем выражение (8) к виду

$$I_{p,n}p = [\exp(4\delta\omega\Delta\omega_r/\Delta\omega^2) - 1]^{-1}, \quad (9)$$

где $p = 1,336 \cdot 10^{-12} \eta / (\omega_n^{\max})^2 \Delta\omega$.

На рис. 3 представлена зависимость $I_{p,n}p = f(\delta\omega)$ при $\Delta\omega_r = 100$ см $^{-1}$ для различной полуширины полос поглощения и флюоресценции. При $\Delta\omega \leq \delta\omega$ увеличение $\delta\omega$ приводит к существенному снижению порога генерации. При сравнимых $\delta\omega \approx \Delta\omega$ снижение порога не столь значительно.

Таким образом, для достижения низкого порога генерации необходимы: 1) накачка в максимуме полосы поглощения, т. е. $\Delta\omega_n = 0$; 2) превышение величины стоксовых потерь над шириной полос поглощения и флюоресценции, т. е. $\delta\omega \geq \Delta\omega$; 3) увеличение квантового выхода флюоресценции.

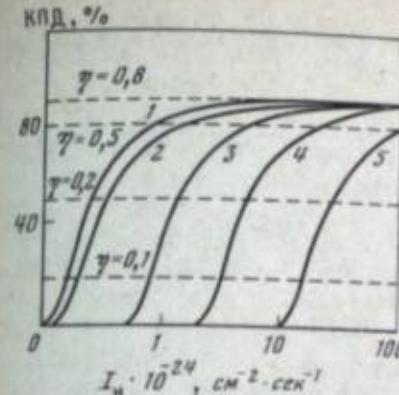


Рис. 4. Зависимость КПД от интенсивности накачки
η: 1 — 1; 2 — 0,8; 3 — 0,2; 4 — 0,05; 5 — 0,01

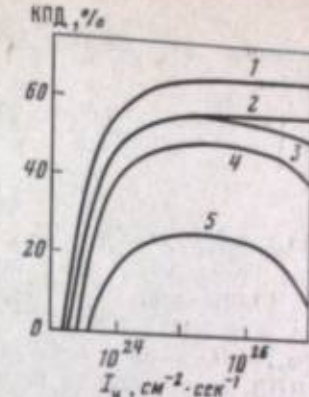


Рис. 5. Расчетная зависимость КПД генерации от интенсивности накачки с учетом перепоглощения в канале синглетных уровней

$N_{12}(\omega_r) = 20$ см $^{-1}$; $k_T/k_{12} = 0,8$;
 $\sigma_{12}(\omega_r) = 10^{-16}$ см 2 ; $\eta = 0,5$; $\tau_n = 10$ сек

Определим условия достижения предельно возможного коэффициента полезного действия лазера на растворах красителей:

$$p_r/p_n = 1 - p_n/p_{p,n}, \quad (10)$$

где p_r , p_n , $p_{p,n}$ — мощности генерации, накачки и пороговая, измеряемые в фотон·см $^{-2}$ ·сек $^{-1}$.

Подставим выражение для k_{12} и Γ_S^{-1} в исходную формулу (1) и запишем полученное выражение в форме выражения (10):

$$\text{КПД} = \left[1 - \frac{\exp[-(\omega_0 - \omega_r)/kT]}{I_n \sigma_{12}(\omega_n) \eta \tau_n} \right] \left[1 - \frac{k_{12}}{\eta \tau_n \sigma_{12}(\omega_n) N_{12}(\omega_r)} - \frac{k_{12} \Pi}{N_{12}(\omega_r)} \right]. \quad (11)$$

На рис. 4 представлены графики зависимости КПД от интенсивности накачки при разных значениях квантового выхода η . Так как η зависит от k_{SS} и k_{ST} , расчет проведен для двух крайних ситуаций: 1) $k_{SS} = \text{var}$, $k_{ST} = \text{const}$; 2) $k_{SS} = \text{const}$, $k_{ST} = \text{var}$. В последнем случае параметр Π в формуле (11) можно записать как $\Pi = (1 - \eta)/(k_{TS}\eta\tau_n) + 1$. Сплошные кривые на рис. 4 соответствуют первому случаю. Для второго случая приведены только предельные значения (пунктирные линии). Видно, что предельное значение КПД достижимо при превышении порога генерации не менее чем в 50–70 раз. Уменьшение η за счет безызлучательных переходов k_{SS} не влияет на предельное значение КПД. Уменьшение η вследствие переходов в метастабильное состояние (k_{ST}) влияет на КПД весьма сильно: при $\eta < 0,1$ генерация в такой системе становится невозможной.

В рамках проведенного анализа энергетики лазера не учитывался эффект перепоглощения накачки (генерации) в системе возбужденных синглетных уровней. Между тем в зависимости от структуры ПМК этот тип поглощения может оказать решающее влияние на ход функции КПД = $f(I_n)$. Система уравнений баланса для населенности с учетом второго возбужденного синглетного состояния имеет вид

$$\begin{aligned} dN_1/dt &= N_1 W_{12} - N_2 (W_{23} + k_{21}) + N_3 k_{32}, \quad dN_3/dt = N_2 W_{23} - N_3 (k_{31} + k_{23}), \\ N_0 &= N_1 + N_2 + N_3, \end{aligned} \quad (12)$$

где N_3 — второй возбужденный синглетный уровень; $W_{12} = \sigma_{12}(\omega_n)I_n$; $W_{23} = \sigma_{23}(\omega_n)I_n$; k_{31} и k_{23} — скорости распада состояния $|3\rangle$ с переходами в

основное и первое возбужденное состояния. КПД генерации для модели ПМК принимает вид

$$\text{КПД} = \left[\frac{1 - m - n(1 + m + U_n)}{1 + \exp(-x)/n} \right] \left[1 - \frac{n + \exp(-x)}{\eta I_n \sigma_{12}(\omega_n) [1 - m - n(1 + m + U_n)]} \right] \frac{k_r}{k_n}, \quad (13)$$

где $m = [\sigma_{23}(\omega_n)/\sigma_{12}(\omega_n)][k_{31}/(k_{31} + k_{32})]$; $n = k_n/N_0 \sigma_{21}(\omega_r)$; $I = \sigma_{23}(\omega_n)/(k_{31} + k_{32})$; $x = (\omega_0 - \omega_r)/kT$; k_n и k_r — суммарные и полезные потери лазера. При $\sigma_{23} = 0$ выражение (13) сводится к выражению (11).

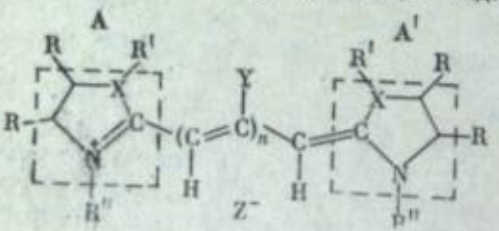
На рис. 5 приведен результат расчета КПД генерации по формуле (13). Для $\sigma_{23}(\omega_n) = 0$, $\sigma_{12}(\omega_n) = \sigma_{12}(\omega_n)$ и $k_{31}, k_{32} > 10^{11}$ сек⁻¹ член U_n , уменьшающий КПД, не работает во всем интервале практически используемых накачек (рис. 5, кривые 1, 2). Уменьшение k_{31} до 10^{10} сек⁻¹ уже при накачках $10^{26} - 10^{27}$ см⁻²·сек⁻¹ приводит к падению КПД вследствие заселения состояния N_3 . Часто наблюдаемая у растворов ПМК флюoresценция из этого состояния с квантовым выходом $\approx 1\%$ дает основание считать этот механизм актуальным [15].

Уменьшение КПД вследствие уменьшения k_{31} иллюстрируется на рис. 5: $k_{31} = 10^{10}$ сек⁻¹; $\gamma = k_{31}/(k_{31} + k_{32}) = 0.1$ (кривая 3), $\gamma = 0.2$ (кривая 4) в $\gamma = 0.5$ (кривая 5). Следует подчеркнуть, что на опыте перепоглощение накачки в системе возбужденных синглетных уровней сопровождается нагревом активной среды, приводящим к рассеянию света накачки и генерации на оптических неоднородностях [16]. Поэтому снижение КПД генерации с ростом накачки не всегда может быть интерпретировано в рамках одного механизма. Однако первопричиной наведенных потерь является отличное от нуля поглощение в системе возбужденных синглетных уровней.

Таким образом, анализ простой модели молекулы ПМК показывает, что «идеальная» лазерная среда должна характеризоваться максимальными сечениями поглощения на частотах накачки и генерации, максимальной величиной стоксовых потерь, максимальной величиной квантового выхода флюoresценции, минимальными потерями, связанными с заселением метастабильных состояний и перепоглощением в каналах возбужденных синглетных и триплетных уровней.

Далее рассмотрим оптимизацию генерационных параметров ПМК методом структурных изменений [17—19].

Структурная формула многочисленных разновидностей полиметиновых красителей имеет следующий общий вид:



Эксперименты показывают, что все важные для генерации и модуляции лазерного излучения параметры молекулы являются функциями элементов структуры: длины цепи сопряжения, зависящей от n ($n = 0 \div 5$); природы гетероциклов А и А'; типа заместителей R, R', R'', Y; природы аниона Z⁻. Влияние элементов структуры на спектральные параметры молекулы избирательно, что и позволяет решить задачу оптимизации положительно.

Так, длина волны первого разрешенного электронного перехода (сила осциллятора ≈ 1) определяется эмпирической зависимостью

$$\lambda_1 = (2n + 2)\lambda + \lambda_A + \lambda_{A'} \quad (14)$$

Причем $\lambda = 50$ нм, $\lambda_{A,A'} \approx 100 \div 300$ нм в зависимости от типа гетероциклов. Изменяя тип гетероцикла и длину цепи сопряжения (рассматриваемый электронный переход связан с осцилляцией π -электронов цепи), можно реализовать молекулы с $\lambda_1 = 500 \div 1300$ нм.

Второй электронный переход локализован в основном на группах А, А': при наличии замкнутой π -электронной системы у гетероциклов полиметиновые красители имеют интенсивное поглощение на втором переходе ($\lambda_{II} = 300 \div 400$ нм). При отсутствии π -сопряжения у гетероциклов такое поглощение при переходах из основного состояния отсутствует. Если $2\omega_n$ или $2\omega_r$ находятся в резонансе с λ_{II} , происходит интенсивное двухступенчатое поглощение. Как отмечалось выше, это ограничивает предельно достижимый КПД. Для ПМК на основе гетероциклов, не имеющих замкнутых π -систем, перепоглощение в системе возбужденных синглетных состояний практически отсутствует: КПД лазера близок к теоретическому; нелинейное просветление характеризуется значительной амплитудой $T_0 - T(I_n)$, где T_0 — начальное пропускание, $T(I_n)$ — пропускание при насыщении поглощения [20].

Однако чем выше частота собственного поглощения гетероциклов А и А', тем меньше λ в формуле (14). Поэтому для достижения поглощения в области 800—1000 нм необходимо увеличить n до 4—6. В настоящее время это предельно достижимая длина цепи сопряжения для молекул ПМК. Реализация столь длинных цепочек в ПМК сопровождается заметным уменьшением химической и фотохимической прочности. Пока неизвестны простые методы повышения фотопрочности ПМК с $n = 5, 6$. Поэтому следует признать, что этот путь синтеза красителей с малым поглощением $\sigma_{23}(\omega_n)$ не является предпочтительным.

Для получения ряда красителей, плавно перекрывающих спектральный диапазон 650—1200 нм, выбран компромиссный вариант. В качестве концевых группировок взяты гетероциклы, которые имеют незначительное собственное поглощение в области $2\omega_n$ и позволяют перекрыть указанный выше диапазон при увеличении n до 4. Кроме того, от природы гетероциклов (основности красителя) при постоянной длине полиметиновой цепи зависит химическая и фотохимическая прочность красителей.

Концевые группировки по мере убывания химической стабильности к действию кислот и по увеличению основности можно расположить в следующий ряд: пиррольные, индолениновые, тиазолиновые, бензоксазольные, бензтиазольные, хинолиновые, пиридиновые, бензимидазольные [21]. Повышение photoустойчивости растворов ПМК как активных сред и модуляторов добротности может быть достигнуто только при соответствии щелочно-кислотных свойств растворителя и свойств концевых группировок. Поэтому для практических удобных спиртовых растворов выбраны красители, синтезированные на основе индолениновых и бензиндолениновых гетероциклов.

Рассмотрим подробнее закономерности, установленные в результате изучения взаимосвязи структурных, спектральных и генерационных характеристик молекул ПМК.

1. Для достижения минимального порога генерации и максимального КПД преобразования стоксовых потерь должны быть максимальными ($\delta\omega \geq \Delta\omega$). Исследования показали, что при введении ароматических или гетероциклических заместителей у атомов азота гетероциклов, стоящих на концах цепи сопряжения, т. е. в положении R'', величина $\delta\omega$ возрастает от 600 до 2000 см⁻¹. Это сопровождается трехчетырехкратным снижением порога генерации [22].

2. Повышение квантового выхода флюoresценции растворов ПМК происходит при увеличении «жесткости» и плоскости молекулярного скелета (при $k_{ST} = \text{const}$) и при увеличении вязкости растворителя. Однако последнее не всегда можно эффективно использовать в лазерных системах вследствие ряда недостатков, присущих вязким растворам. Поэтому более практическими являются изменения в структуре ПМК, повышающие η . Квантовый выход флюoresценции симметричных ПМК является функцией длины полиметиновой цепи и достигает максимального значения при $n = 2 \div 3$.

Для ПМК с короткой цепью некoplanарность за счет стерических эффектов приводит к гашению флюoresценции в начальных членах гомологического ряда. Для длинных цепочек квантовый выход флюoresценции также мал, поскольку, из-за большой скорости внутренней конверсии и большого числа образующихся фотоизомеров. Поэтому необходим выбор структурных элементов А и А', обеспечивающих электронное поглощение в необходимом спектральном диапазоне при оптимальной длине цепи. При $n = \text{const}$ эффект увелич

Характеристики красителей

Номер ПМК	Производственный индекс	$\lambda_{\text{п}}^{\text{max}}$, нм	$\lambda_{\phi}^{\text{max}}$, нм	$\eta, \%$	КПД, %	Диапазон перестройки, нм
686	4568 М	686	707	34	30	707—730
698	5364 М	698	725	26	35	720—760
742	341	742	778	12	30	775—860
756	3428 У	756	800	17	40	800—865
788	3310 У	788	825	13	35	825—890
803	3465 У	803	850	8,5	30	850—905
850	4600 М	850	895	3	18	895—930
865	3488 У	865	903	2	18	897—975
873	3441 У	873	920	1,5	18	925—990
890	5318 М	890	940	1	18	940—1020

ния η на 1,5 порядка достигается за счет присоединения к гетероциклическим в положении R заместителей, препятствующих фотоизомеризации и снижающих вероятность безызлучательных переходов [17].

Кроме того, необходим выбор гетероциклов A и A' с минимальной величиной интерконверсии k_{ST} . На величину k_{ST} оказывают влияние анионы: ПМК с анионами перхлората генерируют эффективнее, чем иодиды или бромиды. Однако это влияние не очень существенно, так как в полярных растворителях молекулы ПМК диссоциированы на ионы.

Гораздо сильнее на величину k_{ST} влияет тип концевых заместителей (гетероциклов) в соответствии с эмпирическим правилом [23]: скорость интерконверсии повышается, если π -электроны гетероциклов могут образовывать «плетлю». В ряду бензиндолениновых, бензоксазольных, бентиазольных и хинолиновых гетероциклов относительная величина k_{ST} меняется приблизительно как 1,5 : 2,5 : 4 : 10 [24]. Поэтому ПМК с хинолиновыми ядрами наименее пригодны для использования в лазерах с продолжительным или непрерывным циклом генерации. Индолениновые и бензиндолениновые красители имеют близкие к оптимальным характеристики.

3. Природа радикала Y, внедренного в мезо-положение полиметиновой цепи, оказывает существенное влияние на вероятность фотоизомерных превращений. Исследования, проведенные на ряде бензиндолениновых дикарбоцианиновых красителей ($Y = H, C_6H_5, Cl, CH_3, O(CH_2)_2OH$), показали, что «эффективный радиус» заместителя Y (т. е. минимальное расстояние, на которое могут сближаться атомы и атомные группы без нарушения плоскостности системы) влияет на вероятность образования *цикло*-изомерной формы [25]. Для красителей с $Y = CH_3, O(CH_2)_2OH$, где Y имеет наибольший «эффективный радиус», спектры наведенного поглощения фотоизомеров перекрываются с контуром усиления исходной *транс*-формы, что снижает коэффициент усиления. Для этанольного раствора ПМК с $Y = O(CH_2)_2OH$ при комнатной температуре измеренное время жизни неравновесной *цикло*-формы, образующейся через первое возбужденное состояние *транс*-формы, равно 1,6 мсек. Вероятность перехода в изомерное состояние также зависит от вязкости растворителя, уменьшаясь с ее ростом.

Возможно получение генерации на образующемся стереоизомере, если квантовые выходы фотоизомеризации и флуоресценции изомера достаточно велики.

Процесс фотоизомеризации ПМК с заместителями в цепи сопряжения, характеризующимися большими «эффективными радиусами»,ложен в основу работы пассивных модуляторов добротности рубиновых лазеров наносекундной длительности [26].

Одним из возможных путей получения фотостойких красителей для модуляции в области 1000—1500 нм является выбор структурных элементов A и A', обеспечивающих электронное поглощение в этой области при $n = 3$. Полиметиновые красители производные бенз[с, d]индола обеспечивают весьма большое значение $\lambda_{A, A'} \approx 300$ нм. Кольцевые π -системы этих гетероциклов повышают значение k_{ST} столь сильно, что даже для $n = 3$ время жизни возбужденного

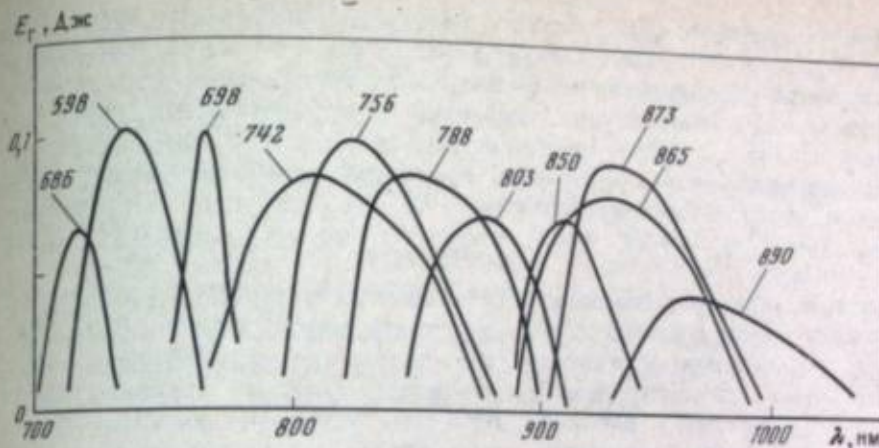


Рис. 6. Зависимость выходной энергии от длины волн генерации
Цифры у кривых — номера ПМК

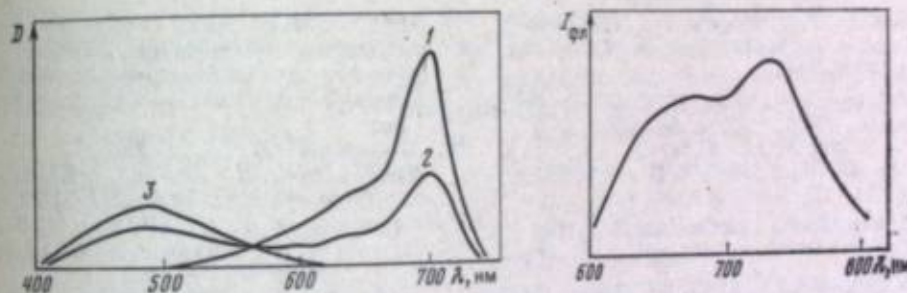


Рис. 7. Спектры поглощения монокатионной (1), протонированной (2) и равновесной смеси двух форм (3) красителей ПМК 700

Рис. 8. Спектр флуоресценции протонированной формы красителя ПМК 700

состояния лежит во временному интервале 4—8 нсек. Это позволило использовать данную серию ПМК для получения импульсов нано- и пикосекундной длительности в лазерах на Nd^{3+} с улучшенными по сравнению с красителем № 3955 параметрами [27, 28].

Проведенные исследования позволили нам совместно с Институтом органической химии АН УССР и ГосНИИхимфотопроектом (Москва) создать группу красителей для лазеров ближней ИК-области спектра (700—1000 нм), наиболее полно удовлетворяющих требованиям к активным и пассивным средам и отличающихся технологичностью и простотой синтеза (см. таблицу.) На рис. 6 представлены частотные зависимости выходной энергии, полученные в лазере на красителях серии «Колорит» (разработка Института физики АН УССР) [29].

Одним из новых направлений в применении полиметиновых красителей, позволяющих расширить спектральный диапазон перестройки лазеров, является использование в их растворах фотопротолитических реакций, т. е. реакций отрыва (депротонирования) и присоединения (протонирование) протонов. Эффективность использования протолитически неравновесных форм связана с реализацией четырехуровневой активной среды, обеспечивающей низкий порог генерации.

Фотопротолитические реакции характерны для органических соединений, кислотно-основные свойства которых в возбужденном состоянии отличаются от кислотно-основных свойств в основном состоянии за счет изменения распределения π -электронной плотности при возбуждении. В работе [30] на примере нового ряда ПМК с сильно основными гетероциклическими исследованы фотофизические процессы, сопровождающие протолитические реакции.

На рис. 7 для одного из исследованных красителей ПМК 700 представлены спектры поглощения исходной монокатионной формы и протонированной, образующейся при увеличении кислотности растворителя. При промежуточных

IV. ФОТОПОЛИМЕРИЗУЮЩИЕСЯ МАТЕРИАЛЫ

значениях кислотности растворителя в равновесии существуют обе протолитические формы, о чем свидетельствует наличие изобистической точки. Возбуждение молекул протонированной формы ПМК 700 приводит к возникновению широкополосной флюoresценции, связанной с излучательными переходами в протонированной и депротонированной формах (рис. 8). Были определены основные константы, характеризующие протекание протолитических реакций: квантовый выход депротонирования $\eta_d = 0.47 \pm 0.09$; константа депротонирования $k_d = (2 \pm 0.5) \cdot 10^9$ сек $^{-1}$; константа протонирования $k_p = (1.2 \pm 0.4) \cdot 10^8$ сек $^{-1}$.

Использование протолитически неравновесных форм ПМК позволяет с помощью двух-трех красителей перекрыть спектральный диапазон 650–1000 нм, т. е. область, для перекрытия которой, как показано ранее, требуется 9–10 красителей. Однако энергетические характеристики лазеров с использованием протолитических реакций в растворах ПМК еще уступают обычным системам. Поэтому необходимы дальнейшие исследования по оптимизации структуры и улучшению спектрально-генерационных параметров указанных систем.

ЛИТЕРАТУРА

1. Kafalas P., Masters J. J., Murray M. E.—J. Appl. Phys., 1964, vol. 35, p. 2349–2353.
2. Тихонов Е. А., Шлак М. Т.—Укр. физ. журн., 1966, т. 5, с. 567–569.
3. De Maria A. J., Stetzer D. A., Neupauer H.—Appl. Phys. Lett., 1966, vol. 8, p. 174–176.
4. Sorokin P. P., Lankard J. R.—IBM J. Res. and Develop., 1966, vol. 10, p. 162–163.
5. Schäfer F. P., Schmidt W., Volze J.—Appl. Phys. Lett., 1966, vol. 9, p. 306–309.
6. Степанов Б. И., Рубинов А. Н., Мостовиков В. А.—Письма в ЖЭТФ, 1967, т. 5, с. 144–148.
7. Тихонов Е. А., Шлак М. Т.—Нелинейные оптические явления в органических соединениях. Киев: Наук. думка, 1979, с. 383.
8. Herlitsen H. J.—Appl. Phys. Lett., 1967, vol. 10, p. 239–241.
9. Romanek K. M., Hildebrand O., Godel E.—Opt. Commun., 1977, vol. 21, p. 16–18.
10. Wang G.—Opt. Commun., 1974, vol. 10, p. 149–153.
11. Webb J. P., Webster F. G., Plourde B. E.—Eastman Org. Chem. Bull., 1974, vol. 46, N 3.
12. Chandra S., Tareuchi N., Hartman S. R.—Appl. Phys. Lett., 1972, vol. 21, p. 144–146.
13. Гороть К. Ф., Забелло Е. И., Малихина Н. Н., Тихонов Е. А.—Квантовая электрон., 1977, т. 4, с. 678–680.
14. Ильчишин И. П., Тихонов Е. А., Шлак М. Т.—Письма в ЖЭТФ, 1976, т. 24, с. 336–339.
15. Тихонов Е. А., Пржонская О. В., Шлак М. Т.—Квантовая электрон., 1976, т. 10, с. 92–108.
16. Ващук В. И., Безродный В. И., Тихонов Е. А.—Журн. техн. физики, 1978, т. 48, с. 151–159.
17. Пржонская О. В., Тихонов Е. А.—Оптика и спектроскопия, 1978, т. 44, с. 480–485.
18. Пржонская О. В., Тихонов Е. А., Шлак М. Т.—Опт. Commun., 1979, vol. 27, p. 101–104.
19. Альперович М. А., Дядюша Г. Г., Пржонская О. В. и др.—Квантовая электрон., 1979, т. 6, с. 1231–1236.
20. Наровлянская Н. М., Пржонская О. В., Тихонов Е. А.—Журн. техн. физики, 1979, т. 49, с. 1678–1682.
21. Киприанов А. И., Фридман С. Г., Пупко Л. С.—Сб. науч. работ Ин-та органической химии АН УССР, 1947, № 13, с. 40–67.
22. А. с. № 568318 (СССР). Активная лазерная среда/Дядюша Г. Г., Зубаровский В. М., Морейко О. В. и др. Заявл. 18.06.75, № 2157563/25; Опубл. в Б. И., 1978, № 31; МКИ Н 01, 3/20.
23. Лазеры на красителях/Под ред. Ф. П. Шефера. М.: Мир, 1976, с. 329.
24. Rotanek K. M., Hildebrand O.—Laser Focus, 1977, vol. 13, N 8, p. 50–52.
25. Пржонская О. В., Ильчишин И. П., Тихонов Е. А., Сломинский Ю. Л.—Квантовая электрон., 1979, т. 6, с. 31–37.
26. Заявка № 2541210/18–25 (СССР). Рабочая среда для пассивного жидкостного модулятора добротности/Пржонская О. В., Мелищук М. В., Наровлянская Н. М. и др. Заявл. 04.11.77, положительное решение от 30.03.78; МКИ Н 01с, 3/10.
27. А. с. № 613692 (СССР). Рабочая среда для пассивных жидкостных модуляторов добротности резонаторов лазеров/Безродный В. И., Михайленко Ф. А., Понежа Е. А. и др. Заявл. 29.12.75, № 2305268/18–25; Опубл. в Б. И., 1979, № 2; МКИ Н 01с, 3/11.
28. Безродный В. И., Понежа Е. А., Тихонов Е. А.—Квантовая электрон., 1978, т. 5, с. 68–74.
29. Смирнова Т. Н., Тихонов Е. А.—Оптимальные режимы генерации лазеров на красителях с направленнойнакачкой: Препр. ИФ АН УССР. Киев, 1980, № 5.
30. Михайленко Ф. А., Морейко О. В., Пржонская О. В., Тихонов Е. А.—Квантовая электрон., 1980, т. 7, с. 572–576.

В. П. Шерстюк

ОПРЕДЕЛЕНИЕ ФОТОГРАФИЧЕСКИХ СВОЙСТВ ФОТОСТРУКТУРИРУЮЩИХСЯ И ФОТОПОЛИМЕРИЗУЮЩИХСЯ МАТЕРИАЛОВ С УЧЕТОМ ФОРМАЛЬНО-КИНЕТИЧЕСКИХ ОСОБЕННОСТЕЙ РЕАКЦИЙ В ПОЛИМЕРНОЙ МАТРИЦЕ

УДК 77.93

Из анализа связи между фотографическими характеристиками светочувствительных материалов и физико-химическими свойствами исходных фотоактивных веществ, проведенного Алфимовым и сотр. [1–3], следует, что для оценки предельных свойств фотографических материалов необходимо учитывать энергетические и кинетические ограничения первичной фотохимической реакции, лежащей в основе получения изображения. При этом важным фактором является тип первичного фотопроцесса, например фотоперенос электрона или фотодиссоциация, в ряде случаев определяющие граничные условия.

Для переноса электрона при бимолекулярных реакциях необходим контакт реагентов. При этом возможны два случая: расстояние между донором и акцептором в фоточувствительном материале достаточно мал, т. е. для переноса электрона не требуется их сближение; процесс является диффузионно-контролируемым. Наряду с этим перенос электрона возможен, когда реагирующие частицы находятся на большом расстоянии друг от друга. В этом случае может реализовываться туннельный эффект [4]. Имеется ряд данных, что туннельные переносы электрона осуществляются и с участием электронно-возбужденных молекул [4, 5].

Отдать предпочтение какому-либо из механизмов в реальных светочувствительных материалах, в том числе для фотоструктурирующих систем полимерное связующее—соль хромовой кислоты, очень трудно. Можно предполагать, что молекулы бихромата (или хромата) образуют комплекс с макромолекулярными лигандами, например, по амино-, карбоксильным или оксигруппам желатины. Действительно, известно, что хромовая кислота может образовывать комплексы с различными соединениями, и в частности со спиртами и карбоновыми кислотами [6]. В растворах и пленках хромированного поливинилового спирта имеются, по-видимому, комплексы такого типа, о чем свидетельствуют также длинноволновые сдвиги максимумов полос поглощения хроматов [7].

Тем не менее процесс фотопереноса электрона вполне может осуществляться и при некотором отдалении реагирующих компонент. Кроме того, для предотвращения обратного процесса необходимо расхождение прореагировавших частиц. Об этом говорит, в частности, малая вероятность рекомбинации ион-радикалов и свободных радикалов, образующихся в первичном фотоакте при проведении процесса в полимерной матрице.

В большинстве светочувствительных материалов, в том числе в хромированных коллоидах (ХК) и фотополимеризующихся (ФП) системах, фотоактивная компонента распределяется в вязкой полимерной среде, что и определяет ограниченную подвижность частиц, участвующих в реакциях. Важной особенностью твердых полимеров является неоднородность их как среды, так как полимер состоит из кристаллической и аморфной фаз. Растворение и взаимодействие реагентов происходит преимущественно в аморфной фазе, которая в свою очередь также не является однородной. Это приводит к тому, что реакции в полимерных матрицах описываются часто полихроматической кинетикой и присущим ей спектром кинетических констант. Такие особенности среды, безусловно, влияют на физические процессы, протекающие в ней, например диф-

фузию [8, 9]. В случае реакций, описываемых полихроматической кинетикой, экспериментальные кинетические кривые удовлетворительно спроямляются в координатах

$$[\text{A}]/[\text{A}_0] = [\ln(k_{\max}/k_{\min})]^{-1} [-\ln(1,76 k_{\min}) - \ln t], \quad (1)$$

где $[\text{A}]/[\text{A}_0]$ — относительная концентрация; k — константы скорости, сек⁻¹; t — время, сек.

Такая форма кинетической кривой объясняется, если предположить, что процесс протекает по реакции первого или второго порядка, величина константы скорости которой имеет широкое распределение, ограниченное сверху k_{\max} , а снизу k_{\min} . Значение k_{\max} должно быть ограничено величиной кинетической константы химической реакции, а k_{\min} — величиной константы поступательной диффузии в системе [9—11]. Такие формально-кинетические особенности объясняются структурной неоднородностью матрицы и, как следствие, наличием распределения по расстояниям между реагирующими частицами или вообще распределения некоторого параметра кинетической неэквивалентности реагирующих частиц [8—11].

Из уравнения (1) при построении графика можно определить величины k_{\max} и k_{\min} , экстраполируя линейный участок до пересечения с линиями $[\text{A}]/[\text{A}_0] = 0$ и $[\text{A}]/[\text{A}_0] = 1$. Ординате $[\text{A}]/[\text{A}_0] = 1$ соответствует значение абсциссы $\ln t_1$, а ординате $[\text{A}]/[\text{A}_0] = 0 - \ln t_2$. Тогда

$$k_{\min} = [1,76 \exp(\ln t_2)]^{-1} = [1,76 \exp(2,302 \lg t_2)]^{-1}, \quad (2)$$

$$k_{\max} = k_{\min} \exp(\ln t_2 - \ln t_1) = k_{\min} \exp[2,302(\lg t_2 - \lg t_1)]. \quad (3)$$

Значение k_{\max} можно также определить, зная k_{\min} и коэффициент контрастности γ :

$$k_{\max} = k_{\min} \exp(2,302/\gamma). \quad (4)$$

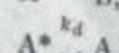
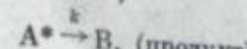
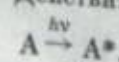
Линейная зависимость между $[\text{A}]/[\text{A}_0]$ и $\ln t$ выполняется при $t \ll 1/k_{\min}$ и $t \geq 1/k_{\max}$. Отметим, что полулогарифмическая зависимость в широком времевом интервале характерна также для процессов туннелирования [4].

В фотохимических реакциях, протекающих в полимерах, в частности, в пленках ХК- и ФП-композиций [6, 12, 13], наблюдаются более сложные кинетические закономерности, чем для соответствующих реакций в растворах, что является следствием особенностей протекания реакций в твердой полимерной матрице. Вполне допустимо, что предельные фотографические характеристики этих материалов также определенным образом связаны со свойствами полимерной среды.

Известно, что фотографические свойства определяются из характеристической кривой [14]. Наиболее часто характеристическая кривая строится в виде зависимости оптической плотности, почернения, дифракционной эффективности или другого отклика (D) на действие света от логарифма экспозиции. Предпринимались попытки аналитически описать характеристические кривые [15], однако строгого теоретического обоснования в построении характеристической кривой в полулогарифмической системе координат нет [14—16].

Мы исходили из того, что описанные выше особенности протекания химических реакций в твердых полимерных матрицах могут быть привлечены для объяснения необычной кинетики фотографического процесса, т. е. фотохимическая стадия фотографического процесса может быть охарактеризована набором констант скоростей. В таком случае оценка предельных характеристик фотографического материала, например красной границы чувствительности или энергетической чувствительности, приведет к некоторому разбросу значений, что связано с наличием набора констант скоростей элементарных стадий.

Действительно, если представить фотопроцесс в общем виде [1, 2]



то квантовый выход образования фотопродукта определяется соотношением констант скоростей фотохимической реакции и процесса дезактивации (как излучательной, так и безизлучательной):

$$q_B = k/(k + k_d).$$

Как следует из сказанного, и в случае химической реакции (k), и в случае физического процесса (k_d) в твердой полимерной матрице будет существовать дисперсия констант скоростей.

ФОТОГРАФИЧЕСКИЕ СВОЙСТВА ФОТОПОЛИМЕРИЗУЩИХСЯ МАТЕРИАЛОВ

Проанализируем данные по спектральному распределению фотографических характеристик фотополимеризующихся (ФП) композиций [17—19] с учетом формально-кинетических особенностей реакций в полимерной среде. Для ФП-систем, содержащих изоцианаты, фотографические свойства можно определять по характеристическим кривым, построенным на основании данных об изменениях интенсивности полосы колебаний изоцианатной ($\nu = 2275 \text{ см}^{-1}$) (рис. 1) и уретановых ($\nu = 1540 \text{ см}^{-1}$) групп, валентных колебаний этиленовых связей ($\nu = 1650 \text{ см}^{-1}$) или же по толщине заполимеризованного слоя [18]. При этом наблюдается хорошая корреляция между фотографическими характеристиками, полученными методом измерения толщины заполимеризованного слоя, и методом ИК-спектроскопии по изменению концентрации изоцианатных групп [18, 19]. Данные по спектральному распределению светочувствительности и контрастности ФП-композиций, определенные по изменению концентрации изоцианатных групп, приведены в табл. 1 [19].

Максимум чувствительности находится, как и следовало ожидать, в области $\lambda = 365 \text{ нм}$ ($70 \text{ Дж}^{-1} \cdot \text{см}^2$). Это значение определено по периоду полуупрещения ($S_{0,5}$). Коэффициент контрастности также максимален при $\lambda = 365 \text{ нм}$. Поэтому неожиданным оказался тот факт, что светочувствительность, определенная по экспозиции, необходимой для 10%-ного превращения ($S_{0,1}$), имеет существенно другое спектральное распределение (она максимальна в области $\lambda = 404 \text{ нм}$ и составляет $17 \text{ Дж}^{-1} \cdot \text{см}^2$).

Для анализа причины такого расхождения в распределении значений $S_{0,5}$ и $S_{0,1}$ используем модель полихроматической кинетики [см. уравнение (1)]. Кинетические кривые, отражающие уменьшение концентрации изоцианатных групп, хорошо спроямляются в системе координат концентрация — логарифм экспозиции (см. рис. 1). Полулогарифмические аноморфозы идентичны характеристическим кривым [19]. Эффективные константы скорости, определяемые с помощью выражения $k = 2,302/[\ln(k_{\max}/k_{\min})]$, соответствуют коэффициентам контрастности γ . В представлениях полихроматической кинетики они определяются широтой распределения k_{\max} и k_{\min} , значения которых (табл. 2) можно найти из выражений (2) — (4), полученных экстраполяцией линейных участков характеристических кривых в пределах $c_{\text{отн}} = 0$ и $c_{\text{отн}} = 1$.

Из данных табл. 1 и 2 видно, что кинетические константы фотохимических процессов, идущих под действием монохроматического света различной длины волн, существенно различаются. Это сказывается прежде всего на величине $\ln(k_{\max}/k_{\min})$, которая связана с фотографической широтой соотношением

$$\Delta H = \frac{\ln(k_{\max}/k_{\min})}{2,302}. \quad (5)$$

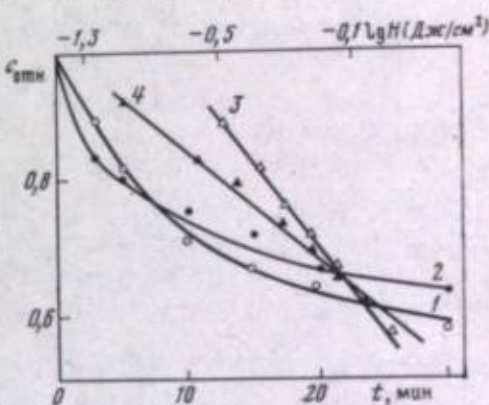


Рис. 1. Кинетика изменения относительной концентрации изоцианатных групп (1, 2) и их полулогарифмические аноморфозы (3, 4) в ходе облучения ФП-композиций

Облучение светом с λ , нм: 1, 3 — 365; 2, 4 — 404

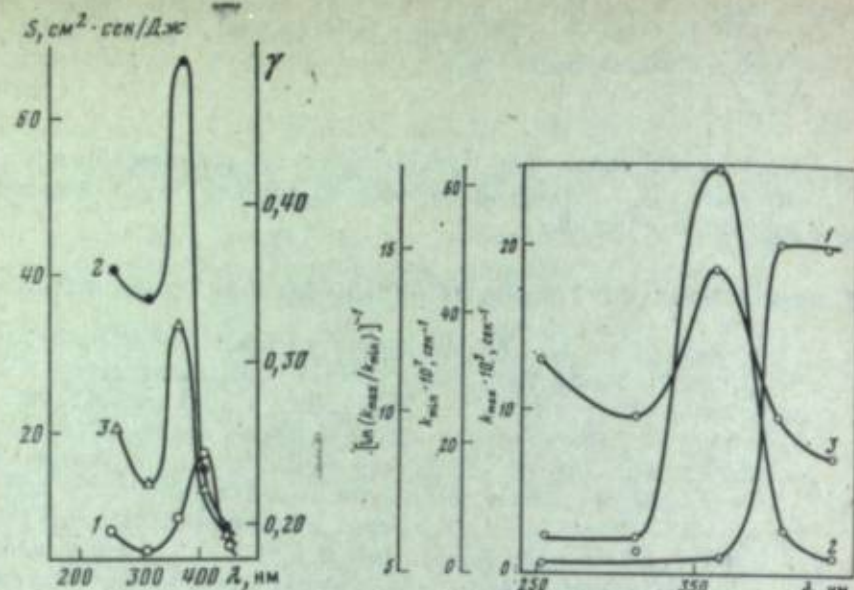


Рис. 2. Спектральное распределение светочувствительности $S_{0.1}$ (1), $S_{0.5}$ (2) и коэффициентов контрастности γ (3)

Рис. 3. Спектральное распределение кинетических констант k_{\max} (1), k_{\min} (2) и $[\ln(k_{\max}/k_{\min})]^{-1}$ (3)

В спектральной области, для которой коэффициент контрастности наибольший, ФП-материал имеет соответственно меньшую фотографическую широту, поскольку коэффициент контрастности обратно пропорционален величине $\ln(k_{\max}/k_{\min})$:

$$\gamma = \frac{2,302}{\ln(k_{\max}/k_{\min})} = \frac{1}{\Delta H} = k. \quad (6)$$

Обращает на себя внимание тот факт, что светочувствительность $S_{0.5}$, определенная по периоду полупревращения, коррелирует с величиной k_{\min} . Максимум спектрального распределения $S_{0.5}$ и k_{\min} находится в области $\lambda = 365$ нм (рис. 2). В тоже время, величина светочувствительности $S_{0.1}$ корре-

Таблица 1

Спектральное распределение светочувствительности и контрастности фотополимеризующихся композиций

λ , нм	$S_{0.1}$, $\text{Дж}^{-1}\cdot\text{см}^2$	$S_{0.5}$, $\text{Дж}^{-1}\cdot\text{см}^2$	γ
436	7,94	8,0	0,192
404	16,9	15,3	0,220
365	9,2	69,2	0,328
313	4,1	37,8	0,225
253	7,6	41,0	0,265

Таблица 2

Спектральное распределение k_{\max} , k_{\min} и $\ln(k_{\max}/k_{\min})$

λ , нм	$k_{\min} \cdot 10^4$, сек^{-1}	$k_{\max} \cdot 10^4$, сек^{-1}	$[\ln(k_{\max}/k_{\min})]^{-1} \cdot 10^4$
436	1,20	19,30	8,34
404	5,71	20,00	9,56
365	61,11	6,82	14,25
313	4,72	13,1	9,77
253	5,15	3,05	11,51

лирует с величиной k_{\max} . Если максимум спектрального распределения k_{\min} находится в области $\lambda = 365$ нм, то максимумы спектрального распределения k_{\max} соответствуют $\lambda = 404$ и 436 нм (рис. 3). По-видимому, соотношение k_{\max} и k_{\min} и сравнительно высокое значение k_{\max} для $\lambda = 404$ нм и определяет большее значение $S_{0.1}$ для этой спектральной области. В этом заключается формально-кинетическая основа такого распределения $S_{0.1}$ (см. рис. 2). Нужно однако, сказать, что физический смысл этого явления не совсем ясен. В исследовавшихся композициях в качестве фотоактивной компоненты использовали метиловый эфир бензоина, в результате фотодиссоциации которого образуются

свободные радикалы. Последние взаимодействуют с ненасыщенными фрагментами полизифира, изоцианатами и растворенным в ФП-композиции кислородом.

Можно предположить, что причина необычного распределения объясняется соотношением констант скоростей взаимодействия свободных радикалов с различными их акцепторами.

Полученные результаты представляются важными при оценке предельных фотографических характеристик фотополимеризационных материалов, поскольку для реальных полимерных светочувствительных систем следует учитывать факт имеющегося широкого распределения кинетических констант.

ФОТОГРАФИЧЕСКИЕ СВОЙСТВА ХРОМИРОВАННЫХ КОЛЛОИДОВ

Как отмечалось выше, для слоев хромированных коллоидов, так же как и для фотополимеризующихся систем, простая кинетика фотографического процесса не наблюдается. В последние годы показано [13, 20—23], что механизм получения фотографического изображения весьма сложный. При действии света на сухой слой ХК происходит фотоперенос электрона с образованием соединений пятивалентного хрома, которые ответственны за формирование скрытого изображения. В присутствии воды тетраэдрические комплексы хрома(V) легко переходят в октаэдрические комплексы трехвалентного хрома с окисленными функциональными группами полимера. Это приводит к тому, что в процессе проявления водой рельефное изображение формируется в результате вымывания необлученных участков и структурирования облученных мест, происходящего вследствие трансформации соединений хрома(V) в комплексы хрома(III). Поэтому фотографические свойства ХК возможно оценивать как по выходу хрома(III) и связанному с ним изменению толщины или оптической плотности проявленного задубленного слоя, так и по выходу хрома(V).

Задача объективной оценки фотографических свойств ХК на различных этапах получения изображения весьма актуальна, поскольку в последние годы вновь возрос интерес к ХК, в частности, к фотографическому материалу желатина-соли хромовой кислоты, в связи с применением его в голограмии [13, 24, 25].

В работе [26] изучено влияние химической модификации желатина на свойства соответствующих ХК. Были исследованы фотографическая желатина и ее химически модифицированные формы: ацетилированная (АЖ), метилированная (МЖ), фталоилированная (ФтЖ) и фенилкарбамоилированная (ФкЖ) желатины, — и определены фотографические характеристики бихромированных слоев соответствующих желатин на стадии образования скрытого изображения.

В результате фотовосстановления хрома(VI) в матрицах различных желатин получают информацию в виде кинетических кривых образования соединений хрома(V) (рис. 4), по которым трудно объективно оценить фотографические свойства соответствующих систем. Не представляется возможным также однозначно определить, замена каких функциональных групп в макромолекулах желатина приводит к существенному изменению светочувствительности и контрастности.

Характеристические кривые в координатах концентрация хрома(V)—логарифм экспозиции с явно выраженным прямолинейным участком удалось построить только для случаев АЖ и МЖ (рис. 5). Можно полагать, что в этих хромированных желатинах фотовосстановление соли хромовой кислоты может быть описано полихроматической кинетикой.

Исходя из предположения, что изменение химической природы желатина, а как следствие, и ее структуры может приводить к изменению механизма процесса фотовосстановления в твердой матрице, в работе [26] предпринята попытка спрятать кинетические кривые (см. рис. 4) с использованием модели диффузионно-контролируемой реакции (модели Уайта)[11, 27]. В соответствии с этой моделью кинетические кривые должны спрятаться в координатах $1/[A] - 1/[A_0]/t$, $1/\sqrt{t}$ по уравнениям

$$1/[A] - 1/[A_0] = at + b\sqrt{t}, \quad (7)$$

$$\frac{1/[A] - 1/[A_0]}{t} = a + b\frac{1}{\sqrt{t}}, \quad (8)$$

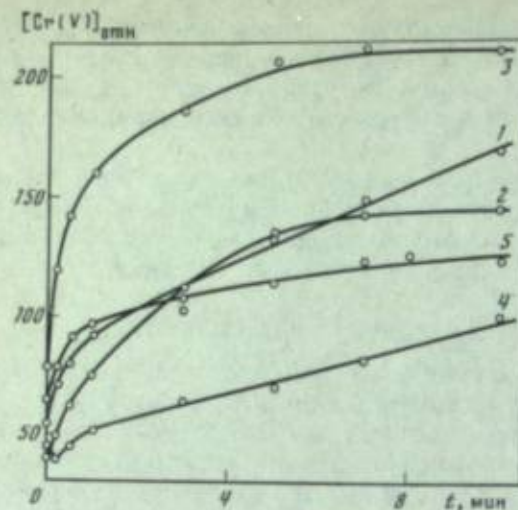


Рис. 4. Кинетика фотовосстановления хромата аммония в хром(V) в матрицах желатина
Желатины: 1 — исходная; 2 — фталоилированная; 3 — ацетилированная; 4 — фенилкарбомоилированная;
5 — метилированная

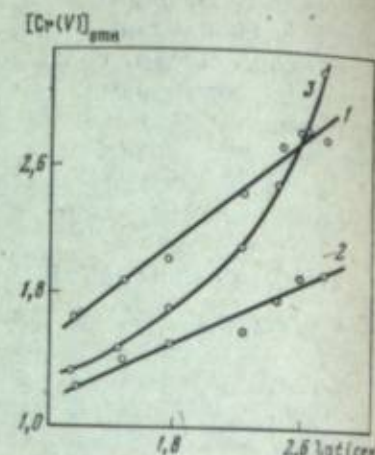


Рис. 5. Полулогарифмические аноморфозы кинетических кривых образования хрома(V) в ацетилированной (1) и метилированной (2) желатинах и характеристическая кривая хромированной исходной желатины (3)

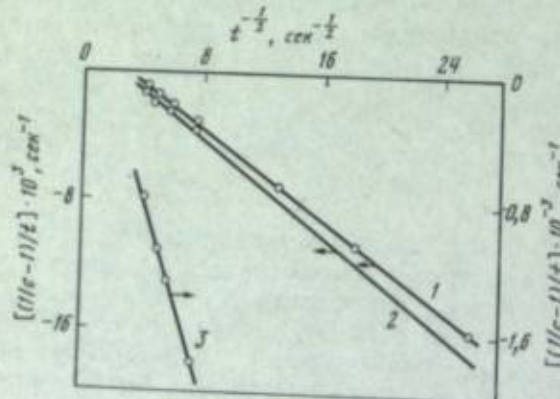


Рис. 6. Спрямление в соответствии с моделью диффузионно-контролируемой реакции кинетических кривых образования хрома(V) в слоях желатина
Желатины:
1 — исходная;
2 — фталоилированная;
3 — фенилкарбомоилированная

где a и b — величины, связанные с радиусом клетки и коэффициентом диффузии [11].

Кинетические кривые образования хрома(V) в слоях ХК на основе немодифицированной исходной желатины (ИЖ), ФтЖ и ФкЖ спрямлены в указанной системе координат (рис. 6). Для остальных исследовавшихся желатин спрямление кинетических кривых наблюдалось для области больших экспозиций. Таким образом, в представлениях модели Уейта можно сравнить ХК на основе всех желатин. Следует отметить также, что все кинетические кривые удовлетворительно спрямлялись в области малых экспозиций в полулогарифмических координатах.

Для практического применения хромированных коллоидов важно знать фотографические свойства в случае как малых, так и больших экспозиций. Поэтому из обычных характеристических кривых, построенных для начальных участков кинетических кривых, найдены величины коэффициентов контрастности и светочувствительности, а также фотографической широты. Светочувствительность определяли по экспозиции, необходимой для роста концентрации хрома(V) на 50% относительно соответствующей концентрации хрома(V) до облучения (относительная концентрация 1,5) (табл. 3).

В случае спрямления экспериментальных кинетических кривых в полулогарифмических координатах [см. уравнение (8)] коэффициенты контрастности

Таблица 3
Фотографические свойства систем хромат аммония—желатина

Желатина	Контрастность				Светочувствительность			
	γ	$\gamma_{\text{отн}}$	k	$k_{\text{отн}}$	$S_{1,5}$ отн, сек^{-1}	$S_{1,5}$ отн	$S_{2,0}$ отн, сек^{-1}	$S_{2,0}$ отн
Исходная	0,69	1,00	5,42	1,00	3,6	1,00	1,61	1,00
Фталоил-	1,15	1,67	6,98	1,27	4,4	1,24	2,58	1,60
Ацетил-	0,81	1,17	5,98	1,10	8,9	2,47	1,96	1,20
Фенилкарбомоил-	0,68	0,98	3,00	0,55	0,5	0,13	0,52	0,32
Метил-	0,45	0,65	3,70	0,68	1,6	0,44	0,84	0,52

Таблица 4

Кинетические данные фотовосстановления хрома(VI) в хром(V) и фотографическая широта (расчетные и экспериментальные данные) соответствующих хромированных коллоидов

Желатина	$\lg t$ при $c = 1$	k_{\min} , сек^{-1}	k_{\max} , сек^{-1}	k_{\max}/k_{\min}	$\Delta H_p = \lg (k_{\max}/k_{\min})$	$\Delta H_{\text{эксп}}$
Исходная	0,74	0,103	2,90	28,10	1,44	1,20
Фталоил-	0,9	0,568	4,205	7,40	0,87	0,78
Ацетил-	0,32	0,272	4,714	17,33	1,24	1,46
Фенилкарбомоил-	1,55	0,016	0,470	29,5	1,47	1,33
Метил-	0,66	0,124	20,70	166,6	2,22	1,52

Примечание. $\Delta H_{\text{эксп}}$ находили как проекцию прямолинейного участка характеристической кривой на ось $\lg t$ (t в сек).

коррелировали с величиной b , а светочувствительность определялась как величина, обратная экспозиции, необходимой для получения относительной концентрации хрома(V) $c_{\text{отн}} = 2,0$. Эти экспозиции вычисляли по формуле

$$t_{\text{отн}} = \left[-\frac{b}{2a} + \frac{b^2}{4a^2} - \sqrt{\frac{1/c_{\text{отн}} - 1/c_0}{a}} \right]^2. \quad (9)$$

При глубине фотовосстановления до $c_{\text{отн}} = 2,0$ формула (9) принимает вид

$$t_{2,0} = \left[\sqrt{b^2/4a^2 + 1/2a} - b/2a \right]^2, \quad (10)$$

где a — отрезок, отсекаемый на оси $(1/[A] - 1/[A_0])/t$ при экстраполяции прямой по уравнению (8) (см. рис. 6); b — величина тангенса угла наклона этой прямой относительно оси $t^{-1/2}$.

Для хромированных коллоидов на основе фотографической желатины и ее химически модифицированных вариантов таким способом определены относительные значения контрастности и светочувствительности для степеней превращения, соответствующих росту концентрации фотохимически генерированного хрома(V) в 1,5 и 2,0 раза по отношению к исходной темновой концентрации (вуали).

Как следует из табл. 3, изменение химической природы функциональных групп в желатине может привести как к уменьшению, так и к увеличению контрастности и светочувствительности. При этом наряду с контрастностью меняется и фотографическая широта, предельное значение которой определяется из выражений (5) и (6). Приведенные в табл. 4 расчетные и экспериментальные значения ΔH показывают, что предельные значения фотографической широты определяются эффективной константой скорости или коэффициентом контрастности при построении характеристической кривой с использованием относительной концентрации соединения, ответственного за фотографическое изображение. В табл. 4 приведены также значения k_{\min} и k_{\max} , рассчитанные из выражений (2) и (3).

Полученные результаты [26] дают основание считать, что светочувствительность хромированной или бихромированной желатины можно изменить максимум в 2–3 раза путем химического модифицирования желатины. Поэтому предельная светочувствительность таких систем должна быть одного порядка независимо от природы желатины. Этот вывод сделан на основании результатов, полученных на первичной фотохимической стадии фотографического процесса без этапа усиления, и поэтому не может касаться всего процесса в целом.

Рассмотренные данные показывают, что в реальных фотографических материалах на скорость фотохимических процессов, лежащих в основе формирования изображения, существенное влияние оказывают неоднородность и жесткость полимерной матрицы как среды, что проявляется в необычных закономерностях кинетики процесса. Они выражаются прежде всего в наличии распределения кинетических констант, что необходимо учитывать при оценке предельных характеристик фотографических материалов.

Автор выражает искреннюю благодарность профессору И. И. Дилунгу за советы и внимание при написании данной статьи.

ЛИТЕРАТУРА

- Алфимов М. В., Якушева О. Б.— Успехи науч. фотографии, 1978, т. 19, с. 152–168.
- Алфимов М. В., Якушева О. Б.— Успехи химии, 1979, т. 48, с. 585–611.
- Алфимов М. В., Назаров В. В., Якушева О. Б.— Успехи науч. фотографии, 1978, т. 19, с. 229–238.
- Замараев К. И., Хайрудинов Р. Ф.— Успехи химии, 1978, т. 47, с. 992–1017.
- Садовский Н. А., Кузьмин М. Г.— Докл. АН СССР, 1975, т. 222, с. 1380–1383.
- Beattie J. K., Haight G. P.— In: Inorganic reaction mechanisms/Pt 2/Ed. J. O. Edwards. N. Y.: Intersci. publ., 1972, p. 93–145.
- Лялецкая О. А., Мазур Л. Е., Дилунг И. И., Шерстюк В. П.— Укр. хим. журн., 1980, т. 46, с. 18–23.
- Якуличенко О. Е., Лебедев Я. С.— Успехи химии, 1978, т. 47, с. 1018–1047.
- Карпухин О. Н.— Успехи химии, 1978, т. 47, с. 1119–1143.
- Михайлов А. И., Лебедев Я. С., Бубен Н. Я.— Кинетика и катализ, 1965, т. 6, вып. 1, с. 48–55.
- Радиг В. А.— Высокомолекулярные соединения, 1976, т. A18, с. 1899–1918.
- Гранчак В. М., Викторова Т. И., Шерстюк В. П., Дилунг И. И.— Высокомолекулярные соединения, 1979, т. B21, с. 437–441.
- Шерстюк В. П.— Успехи науч. фотографии, 1978, т. 19, с. 65–76.
- Миз К., Джеймс Т. Теория фотографического процесса/Пер. с англ.; Под ред. А. Л. Картузянского, В. Н. Синцова. Л.: Химия, 1973. 576 с.
- Фризер Х. Фотографическая регистрация информации/Пер. с нем. под ред. К. В. Вендровского. М.: Мир, 1978. 670 с.
- Neblette C. B. Neblette's handbook of photography and reprography. 11th ed./Ed. J. M. Sturge. N. Y.: N. Y. E. a.
- Van Nostrand Reinold Co, 1977, p. 165.
- Матюшова В. Г., Шерстюк В. П., Матюшов В. Ф., Тремут В. М.— Пласт. массы, 1977, № 6, с. 13–15.
- Матюшова В. Г., Шерстюк В. П., Доценко В. П.— Пласт. массы, 1979, № 6, с. 16–18.
- Доценко В. П., Дилунг И. И., Шерстюк В. П.— В кн.: Фундаментальные основы оптической памяти и среды. Киев: Вища школа, 1981, вып. 12, с. 82–85; Доценко В. П., Шерстюк В. П., Дилунг И. И.— В кн.: Предельные свойства фотографических регистрирующих сред (Черноголовка, 1979); Тез. докл. М.: ГосНИИхимфотопроект, 1979, с. 53–55.
- Матюшова В. Г., Доценко В. П., Шерстюк В. П., Дилунг И. И.— Укр. хим. журн., 1979, т. 45, с. 953–956.
- Бригинец В. Н., Мазур Л. Е., Дилунг И. И., Шерстюк В. П.— Полиграфия, 1975, № 12, с. 26–27.
- Шерстюк В. П., Мазур Л. Е.— В кн.: Третье Всесоюз. совещ. по фотохимии (Ростов-на-Дону, 1977); Тез. докл. М.: Изд-во МГУ, 1977, с. 173.
- Шерстюк В. П., Мазур Л. Е., Карапчанская Л. М.— Журн. науч. и прикл. фотографии и кинематографии, 1980, т. 25, с. 40–43.
- Shankoff T. A.— Appl. Opt., 1968, vol. 10, p. 2101–2105.
- Akagi M.— Photogr. Sci. and Eng., 1974, vol. 18, p. 248–250.
- Шерстюк В. П., Мазур Л. Е., Дилунг И. И.— В кн.: Фундаментальные основы оптической памяти и среды. Киев: Вища школа, 1981, вып. 12, с. 76–81; Шерстюк В. П., Мазур Л. Е.— В кн.: Предельные свойства фотографических регистрирующих сред (Черноголовка, 1979); Тез. докл. М.: ГосНИИхимфотопроект, 1979, с. 62–63.
- Waite T. R.— Phys. Rev., 1957, vol. 107, p. 463–470.

СОДЕРЖАНИЕ

Предисловие	3
I. СИНТЕЗ И ФИЗИКО-ХИМИЧЕСКИЕ СВОЙСТВА ПОЛИМЕТИНОВЫХ КРАСИТЕЛЕЙ	
А. Ф. Вомпе. Синтез поликарбонатов и их превращения	5
А. И. Толмачев, Ю. Л. Сломинский, М. А. Кудинова. Синтез полиметиновых красителей, поглощающих в ближней ИК-области спектра	12
С. М. Макин, А. И. Помогаев. Ацетали и еноловые эфиры в синтезе цианиновых красителей и их предшественников	27
Л. М. Ягупольский, Э. Б. Либшиц, А. Я. Ильченко, В. И. Троицкая. Фторсодержащие цианиновые красители	44
Г. Г. Дядюша, А. Д. Качковский. Теория цветности полиметиновых красителей	55
М. А. Альперович, Р. Д. Райхина, В. Г. Хесин. Химические превращения полиметиновых красителей в основном электронном состоянии	65
В. И. Абдеева, М. А. Альперович. Ионные равновесия цианиновых красителей в органических растворителях	84
В. А. Кузьмин. Photoхимия полиметиновых красителей	90
II. СПЕКТРАЛЬНАЯ СЕНСИБИЛИЗАЦИЯ	
Э. Б. Либшиц, Д. Я. Шагалова, Э. Ф. Климзо. Основные направления изучения процесса спектральной сенсибилизации галогенсеребряных эмульсий	103
В. М. Белоус, В. И. Толстобров, Б. И. Шапиро. Люминесцентные исследования взаимодействия спектральных сенсибилизаторов с примесными центрами галогенсеребряных фотографических эмульсий	125
И. А. Акимов, К. Б. Демидов. Исследование природы связи между спектральной и химической сенсибилизацией	133
Б. И. Шапиро, Л. Я. Капаун, Л. Г. Куркина. Исследование эффективности акцептирования фотоэлектронов и дырок в процессах химической и спектральной сенсибилизации особомелкозернистых галогенсеребряных эмульсий	142
Э. Ф. Климзо, Э. Н. Сергеева, И. И. Кононенко, М. А. Альперович, Б. И. Шапиро. О взаимодействии поликарбонатов с компонентами фотографической галогенсеребряной эмульсии	150
Ю. П. Смирнов, П. В. Мейклар. Влияние адсорбции красителей различных классов на физические свойства эмульсионных микрокристаллов	156

Б. М. Румянцев, Е. И. Балабанов, Л. В. Семенова, Г. И. Юдина, Л. А. Мельничук.
Исследование первичных фотофизических процессов сенсибилизированной фотогенерации носителей тока в поли-N-винилкарбазоле и поли-N-эпоксициропилкарбазоле

161

III. ПОЛИМЕТИНОВЫЕ КРАСИТЕЛИ В ЛАЗЕРНОЙ ТЕХНИКЕ

В. И. Малишев. Применение полиметиновых красителей в квантовой электронике 177
О. В. Пржонская, Е. А. Тихонов. Полиметиновые красители для генерации и модуляции лазерного излучения 192

IV. ФОТОПОЛИМЕРИЗУЮЩИЕСЯ МАТЕРИАЛЫ

В. П. Шерстюк. Определение фотографических свойств фотоструктурирующихся и фотополимеризующихся материалов с учетом формально-кинетических особенностей реакций в полимерной матрице 201

УДК 547.712

В о м п е А. Ф. Синтез поликарбоцанинов и их превращения.— В кн.: Успехи научной фотографии. М.: Наука, 1984, т. 22.

Приведен обзор методов синтеза поликарбоцаниновых красителей, применяемых при изготовлении разнообразных фотографических материалов для сенсибилизации галогенсеребряных эмульсий в близкой ИК-области спектра.
Библиогр. 52 назв.

УДК 547.789.812.818 : 541.651 : 668.82

Толмачев А. И., Сломинский Ю. Л., Кудинова М. А. Синтез полиметиновых красителей, поглощающих в близкой ИК-области спектра.— В кн.: Успехи научной фотографии. М.: Наука, 1984, т. 22.

В обзоре приведены разнообразные схемы синтеза полиметиновых красителей, поглощающих в близкой ИК-области спектра и обладающих специфическим комплексом свойств, в том числе высокой интенсивностью и селективностью поглощения. Полиметиновые красители находят широкое применение как в химико-фотографической промышленности, так и в квантовой электронике.
Табл. 2. Библиогр. 52 назв.

УДК 547.441 + 547.37

Макин С. М., Помогаев А. И. Ацетали и еноловые эфиры в синтезе цианиновых красителей и их предшественников.— В кн.: Успехи научной фотографии. М.: Наука, 1984, т. 22.

В обзоре рассмотрены методы синтеза цианиновых красителей и их предшественников, основанных на химических превращениях ацеталей и еноловых эфиров.
Библиогр. 81 назв.

УДК 547.712 + 77.021.133

Ягупольский Л. М., Лифшиц Э. В., Ильченко А. Я., Троицкая В. И. Фторсодержащие цианиновые красители.— В кн.: Успехи научной фотографии. М.: Наука, 1984, т. 22.

Обсуждаются результаты систематического изучения влияния атомов фтора и фторсодержащих заместителей в гетероструктурах и полиметиновой цепи на окраску и фотографическую эффективность основных типов полиметиновых красителей.
Табл. 6. Библиогр. 87 назв.

УДК 541.65 : 667.662

Дядюша Г. Г., Качинский А. Д. Теория цветности полиметиновых красителей.— В кн.: Успехи научной фотографии. М.: Наука, 1984, т. 22.

Дано квантовохимическое рассмотрение взаимосвязи цветности и окислительно-восстановительных свойств симметричных и несимметричных полиметиновых красителей. Рассмотрена формула для положения максимума полосы поглощения симметричных полиметиновых красителей. Для вычисления параметров ядер — эффективной длины L и электронодонорности Φ — используется Табл. 1. Ил. 1. Библиогр. 43 назв.

УДК 77.021.133 : 547.712 : 543.5

Альперович М. А., Райхина Р. Д., Хесин В. Г. Химические превращения полиметиновых красителей в основном электронном состоянии.— В кн.: Успехи научной фотографии. М.: Наука, 1984, т. 22.

Рассмотрены некоторые реакции цианиновых красителей, обусловленные особенностями их электронного строения. Показана возможность термической гетеролитической диссоциации цианинов по C—C-связям полиметиновой цепи и присоединения по ним молекул гидроксильсодержащих растворителей. Полученные экспериментальные результаты сопоставлены с данными квантовохимических расчетов.
Табл. 3. Ил. 3. Библиогр. 40 назв.

УДК 541.132

Андреева В. И., Альперович М. А. Ионные равновесия цианиновых красителей в органических растворителях.— В кн.: Успехи научной фотографии. М.: Наука, 1984, т. 22.

Приведены результаты исследований ионных равновесий поликарбоцаниновых красителей в органических растворителях с различной диэлектрической проницаемостью. Показано, что цианиновые красители в растворах могут находиться в виде различных ионных форм. Состояние ионных равновесий цианиновых красителей в органических растворителях определяется диэлектрической проницаемостью растворителя, природой катиона и аниона красителя.
Табл. 4. Ил. 7. Библиогр. 18 назв.

УДК 541.14 : 547.712

Кузьмин В. А. Фотохимия полиметиновых красителей.— В кн.: Успехи научной фотографии. М.: Наука, 1984, т. 22.

Рассмотрены вопросы кинетики быстрых фотохимических реакций с участием полиметиновых красителей и родственных соединений, содержащих систему сопряженных связей.
Табл. 1. Библиогр. 65 назв.

УДК 547.713 + 77.012.13

Лифшиц Э. В., Шагалова Д. Я., Климзо Э. Ф. Основные направления изучения процесса спектральной сенсибилизации галогенсеребряных эмульсий. — В кн.: Успехи научной фотографии. М.: Наука, 1984, т. 22.

Статья представляет собой обзор работ, посвященных исследованию спектральной сенсибилизации галогенсеберебристых амальгий полиметиленовыми красителями и выявлению зависимостей их фотографического действия от строения и условий применения.

УДК 771.534.21 : 77.01 : 535.37

Белоус В. М., Толстобров В. И., Шапиро Б. И. Люминесцентные исследования взаимодействия спектральных сенсибилизаторов с примесными центрами галогенисеребряных фотографических эмульсий.— В кн.: Успехи научной фотографии. М.-Новосибирск, 1961, № 2.

В обзоре обсуждается уменьшение интенсивности люминесценции $(Ag_2S)_n$ -кластеров при использовании для возбуждения света из области поглощения J-агрегатов цианиновых красителей. Этот эффект связан с рассмотренным эффектом антирезонанса Фано. Показано, что антирезонанс является информативным методом исследования взаимодействия спектральных сенсибилизаторов с примесными центрами, образующимися в процессе химического созревания эмульсии. Установлено, что суперсенсибилизирующее действие 5-метил-7-окс-1,3,4-триазандолидина связано с образованием визуализационной прослойки между примесными сернистосеребряными центрами и красителем, приводящей к ослаблению оинспективного действия дырок красителя по отношению к фотографическим активным центрам.

УДК 535.315: 561.142: 338.581.2+338.58

Акимов И. А., Демидов К. В. Исследование природы связи между спиральной и химической сенсибилизацией. — В кн.: Успехи научной фотографии. № 1. 1960.

На основании исследований энергетических спектров локальных состояний по всей ширине запрещенной зоны в AgHal , ZnO и ZnS показано, что для получения в фотопроводнике высокой эффективности спектральной сенсибилизации красителем в нем путем предварительной химической сенсибилизации должны быть созданы глубокие в мелкие донорные центры с плотностью порога 10^{17} – 10^{18} см^{-3} . Найдено, что адсорбированные молекулы красителя — спектрального сенсибилизатора — обогащают хвосты плотностей локальных состояний у C - и V -зон, а молекулы красителя — фотографического десенсибилизатора — увеличивают плотность состояний яблока середины запрещенной зоны, т. е. первые являются одновременно и химическими сенсибилизаторами, а вторые — химическими десенсибилизаторами.

УДК 771.534.13 : 771.534.2

Шапиро Б. И., Каллум Л. Я., Куркина Л. Г. Исследование эффективности акцентирования фотоэлектронов и дырок в процессах химической и спектральной сенсибилизации особомедиозернистых галогенсеребряных эмульсий. — В кн.: Успехи научной фотографии. М.: Наука, 1981. т. 22.

Для оценки предельной светочувствительности особомолиевернистых импульсий методом конкуренчных реакций изучен вклад в чувствительность акцептирования электронов и дырок, образующихся при фотовоизлучении AgHal или спектрального сенсибилизатора, продуктами химической сенсибилизации — сернистый (S) и сернисто-золотой ($\text{S} + \text{Au}$) сенсибилизаторы. Химическая сенсибилизация

химической сенсибилизации красителями. Сформулировано правило для эффективной химической сенсибилизации особомелкозернистых эмульсий красителями, единное для различных видов химической сенсибилизации. На основании приведенных исследований сделан вывод о том, что традиционная сернистобоялочная сенсибилизация особомелкозернистых эмульсий не обеспечивает достижения предельных величин светочувствительности и имеется некоторый «запас» как по собственной, так и по дополнительной светочувствительности.

УДК 547.712

Климзо Э.Ф., Сергеева Э.Н., Конопенко И.И., Альперович М.А., Шапиро Б.И. О взаимодействии поликарбонатных с компонентами фотографической галогенес-ребристой эмульсии. — В кн.: Успехи научной фотографии. М.: Наука, 1984. т. 29.

Проведено исследование спектров поглощения и стабильности тиапентакарбонианионных крателей в водно-спиртовых, в водно-желатиновых растворах и в особомоделизованных $\text{AgBr}(\text{J})$ -эмulsionах в зависимости от величин рAg и присутствия суперсensiблизатора — дигидрофенилфосфинов. Установлено, что уменьшение рAg, а также введение суперсensiблизатора увеличивают интенсивность поглощения и стабильность тиапентакарбонианов, адсорбированных на микроталлах AgHal в молекулярном состоянии, за счет уменьшения их взаимодействия с водой и желатиной. С этим частично может быть связан рост светочувствительности инфракрасметодических слоев под влиянием суперсensiблизаторов и при понижении рAg эмульсии.

77.01 : 771.534.21

Смирнов Ю. П., Мейндр П. В. Влияние адсорбции красителей различных классов на физические свойства эмульсионных микрокристаллов. — В кн.: Успехи научной фотографии. М.: Наука, 1984, т. 22.

Методом синхронного и последовательного наложения импульсов электрического поля и света изучено влияние адсорбции цианиновых красителей различного строения на ионную проводимость микроизделий AgBr , а также на изменение внутренних электрических полей в микрокристаллах после адсорбции красителей. Показано, что в зависимости от строения красителей ионная проводимость, а также внутренние электрические поля либо возрастают, либо мало изменяются. Кроме того, красители вызывают заметное изменение распределения светочувствительности и вуали по глубине

микроизделий, не подвергнутых химической сенсибилизации. Дано объяснение наблюдавшихся эффектов.

УДК 721.534.13: 678 : 746.522

Румянцев Б. М., Балабанов Е. И., Семенова Л. В., Юдина Г. И., Мельничук Л. А. Исследование первичных фотофизических процессов в сенсибилизированной фотогенерации носителей тока в поли-*N*-винилнитробазоле и поли-*N*-оксициантилнитробазоле. — В кн.: Успехи научной фотографии. М.: Наука, 1984, т. 22.

Показано, что максимальная эффективность фотогенерации на стадии первичных фотофизических процессов определяется конкуренцией безмалулярного переноса энергии от возбужденной молекулы сенсибилизатора и центру генерации и безмалулярного переноса на ассоциаты. Обнаружено, что в сложах высокомолекулярных полимеров пространственное распределение молекул сенсибилизатора отличается значительной неоднородностью, приводящей к интенсивной миграции энергии возбуждения при самых низких концентрациях сенсибилизатора, а также к усилению образования ассоциатов. При ассоциации из-за повышения уровня возбуждения становятся активными во всех фотофизических процессах (флюоресценция, фотогенерация).
Ил. 20. Библиогр. 20 назв.

УДК 621.373.626.038.824

Малышев В. И. Применение полизитиновых красителей в квантовой электронике.— В кн.: Успехи научной фотографии. М.: Наука, 1984, т. 22.

Статья содержит краткий обзор работ по применению полиметиновых красителей в квантовой альянтронике, в том числе в качестве модуляторов добротности в твердотельных лазерах, генерирующих гигантские импульсы, в лазерах, генерирующих пикосекундные импульсы, и в качестве израильчиков в многонасажденных лазерных усилителях.
Ил. 11. Библиогр. 37 наим.

УДК 621.373.826.038.824

Пржонская О. В., Тихонов Е. А. Полиметиленовые красители для генерации и модуляции лазерного излучения. — В кн.: Успехи научной фотографии. М.: Наука, 1981. — 22.

Представлены результаты работ по созданию оптимальных структур молекул полиметиленовых красителей, используемых в качестве активных сред лазеров для спектрального диапазона 710–1000 нм. На основании теоретической модели активной среды проанализированы требования, которым должны удовлетворять такие красители. Экспериментально изучена взаимосвязь структурных, спектральных и генерационных характеристик, позволяющая приближить краситель к модели. Приведены перечень красителей, наиболее полно удовлетворяющих требованиям заверостроения.

УДК 773.9

Шерстюк В. П. Определение фотографических свойств фотоструктурирующихся и фотополимеризующихся материалов с учетом формально-kinетических особенностей реакций в полимерной матрице.— В кн.: Успехи научной фотографии. М.: Наука, 1984, т. 22.

Для слоев желатины и ряда химически модифицированных желатин, сенсибилизированных солями хромовой кислоты, а также для изоацианатсодержащих фотополимеризующихся композиций найдено распределение эффективных кинетических констант и определены фотографические свойства из анаморфов кинетических кривых, спримененных в соответствии с уравнениями диффузионно-контролируемой реакции и ступенчатой кинетики. Высказано суждение, что построение характеристической кривой в полулогарифмической системе координат может быть теоретически обосновано применением модели ступенчатой кинетики.

УСПЕХИ НАУЧНОЙ ФОТОГРАФИИ

том XXII

Физика и химия полимерных красителей.
Спектральная сенсибилизация

Утверждено к печати Научным советом по проблеме
«Фотографические процессы регистрации информации»
и ордена Ленина Институтом общей
и неорганической химии им. Н. С. Курнакова Академии наук ССР

Редактор Е. П. Шумилова
Редактор издательства Т. Н. Теплова
Художественный редактор С. А. Литвак
Технический редактор Л. И. Куприянова
Корректор А. В. Васильев

ИБ № 27447

Сдано в набор 05.08.83
Подписано к печати 28.12.83
Т-22088. Формат 70×108^{1/2}
Бумага типографская № 2
Гарнитура обыкновенная
Печать высокая

Усл. печ. л. 18,9. Уч.-изд. л. 21,7. Усл. кр. отт. 19,25
Тираж 1000 экз. Тип. зан. 3187
Цена 3 р. 30 к.

Издательство «Наука» 11784 ГСП-7, Москва В-485, Профсоюзная ул., 90
2-я типография издательства «Наука» 121099, Москва, Г-99, Шубинский пер., 10

ИЗДАТЕЛЬСТВО «НАУКА»

ГОТОВЯТСЯ К ВЫПУСКУ СЛЕДУЮЩИЕ КНИГИ

Успехи научной фотографии. Т. 23.
Оптическое изображение и регистрирующие среды.
20 л.

Сборник является первым изданием, в котором химико-фотографические процессы регистрации изображения рассматриваются в их естественной взаимосвязи с проблемами оптических систем, создающих изображение. В книге обсуждаются свойства регистрирующих сред и систем с точки зрения потенциальных возможностей их использования для регистрации оптической информации. Рассмотрены общие принципы построения и пути применения оптико-фотографических, оптико-электронных комплексов. Обсуждается целесообразность применения различных светочувствительных регистрирующих сред в пространственно временных модуляторах света с динамической селекцией изображений. Материалы сборника демонстрируют широкие возможности, которые открывает в оптическом приборостроении использование новых фотографических материалов с разнообразными химическими и физическими свойствами.

Сборник рассчитан на широкий круг научных работников — фотохимиков, оптиков, специалистов, занимающихся разработкой и совершенствованием способов регистрации оптической информации, инженерно-технических работников, сотрудников различных ведомств, использующих светочувствительные материалы в своей практике, конструкторов различных регистрирующих систем.

Константин Владимирович ЧИБИСОВ.
Материалы к библиографии ученых СССР.
7 л.

Персоналия освещает жизнь и деятельность члена-корреспондента АН СССР Константина Владимира Чибисова. Она включает хронологический указатель трудов К. В. Чибисова, охватывающий опубликованные работы с 1926 по 1983 г., краткий очерк научной, научно-организационной деятельности К. В. Чибисова, а также основные даты жизни и деятельности и литературу о жизни и трудах К. В. Чибисова.

Персоналия К. В. Чибисова позволяет оценить ретроспективу развития фотографической науки по наиболее важным ее достижениям, вносит существенный вклад в историю развития советской фотографической науки, представляет большой интерес для всякого, кто интересуется историей советской науки, в особенности советской научной фотографии.

Книги можно предварительно заказать в магазинах Центральной конторы «Академкнига», в местных магазинах книготоргов или потребительской кооперации без ограничений.

ДЛЯ ПОЛУЧЕНИЯ КНИГ ПОЧТОЙ ЗАКАЗЫ НАПРАВЛЯТЬ ПО АДРЕСУ:
117192 Москва, Мичуринский проспект, 12, магазин «Книга — почтой» Центральной конторы «Академкнига»;
197345 Ленинград, Петрозаводская ул., 7, магазин «Книга — почтой» Северо-Западной конторы «Академкнига».

ИЛИ В БЛИЖАЙШИЙ МАГАЗИН «АКАДЕМКНИГА»:

- | | |
|--|---|
| 480091 Алма-Ата, ул. Фурманова, 91/97 | 220012 Минск, Ленинский проспект, 72
(«Книга — почтой»); |
| 370005 Баку, ул. Джаварихи, 13 («Книга — почтой»); | 103009 Москва, ул. Горького, 19а; |
| 320093 Днепропетровск, проспект Гагарина, 24 («Книга — почтой»); | 117312 Москва, ул. Вавилова, 55/7; |
| 734001 Душанбе, проспект Ленина, 95
(«Книга — почтой»); | 630076 Новосибирск, Красный проспект,
51; |
| 375002 Ереван, ул. Туманиана, 31; | 630090 Новосибирск, Академгородок, Морской проспект, 22 («Книга — почтой»); |
| 664033 Иркутск, ул. Лермонтова, 289; | 142292 Пущино, Московской обл., МР «Б», 1; |
| 252030 Киев, ул. Ленина, 42; | 620151 Свердловск, ул. Мамина-Сибиряка, 137 («Книга — почтой»); |
| 252030 Киев, ул. Пирогова, 2; | 700029 Ташкент, ул. Ленина, 73; |
| 252142 Киев, проспект Вернадского, 79; | 700100 Ташкент, ул. Шота Руставели, 43; |
| 252030 Киев, ул. Пирогова, 4 («Книга — почтой»); | 700187 Ташкент, ул. Дружбы Народов, 6
(«Книга — почтой»); |
| 277012 Кипшинев, проспект Ленина, 148
(«Книга — почтой»); | 634050 Томск, наб. реки Ушайки, 18; |
| 343900 Краматорск, Донецкой обл.,
ул. Марата, 1; | 450059 Уфа, ул. Р. Зорге, 10 («Книга — почтой»); |
| 60049 Красноярск, проспект Мира, 84; | 450025 Уфа, ул. Коммунистическая, 49; |
| 443002 Кубышев, проспект Ленина, 2
(«Книга — почтой»); | 720001 Фрунзе, бульвар Дзержинского,
42 («Книга — почтой»); |
| 191104 Ленинград, Литейный проспект,
57; | 810078 Харьков, ул. Чернышевского, 87
(«Книга — почтой»). |
| 199164 Ленинград, Таможенный пер., 2; | |
| 196034 Ленинград, В.О., 9 линия, 16; | |

3 p. 30 n.

208